

ESTUDIO TOPOGRÁFICO

1. Objetivo

1.1. Objetivo general

- Representar gráficamente las características de la franja del terreno donde se emplazará el proyecto, haciendo un levantamiento topográfico con la estación total y procesando esta información en gabinete, de tal manera que en base a esta información se realice el diseño geométrico del camino y otros diseños necesarios.

2. Herramientas y equipos utilizados

Equipos topográficos

- Estación total SOKKIA, del laboratorio de topografía de la U.A.J.M.S.
- GPS “GARMIN”, del laboratorio de topografía de la U.A.J.M.S.
- Y sus complementos como ser: prismas, trípode, cinta métrica, jalones.

Herramientas y materiales utilizadas

Para el colocado de los BM se utilizó las siguientes herramientas: pala, cuchara de albañil, picota, valde, pincel, combo y pintura.

Y los materiales que se utilizó para hacer los mojones de los BM para anclarlos en la superficie son el cemento y el ripio.

Cuadrilla de trabajo

La cuadrilla de trabajo ha sido conformada por tres alarifes y un responsable para el manejo de la estación total, entre esta cuadrilla a estado mi persona presente en todo el trabajo.

Imágenes de trabajo en campo

Imagen N° 1. Cuadrilla para realizar el levantamiento topográfico



Imagen N° 2. Estación posicionada en el BM 6 y la topografía del terreno en la parte montañosa



Imagen N° 3. Vaciado del BM6 con hormigón ciclópeo



Imagen N° 4. Colocado de nombre y vaciado de los BM



De los equipos utilizados

Estación total SOKKIA: Con referente a este equipo utilizado, al tratarse que es de laboratorio y también tenemos responsables que están a cargo de los mismos, nos confirman que están bien calibradas y por tanto no tendría que existir dudas respecto a la toma de puntos. Es solo si, un buen manejo del mismo. Y por tanto constatamos que nuestras curvas de nivel reflejan la superficie del terreno.

GPS GARMIN: Este GPS, es un equipo que nos ayuda en conocer el punto desconocido en base a coordenadas, en nuestro caso, coordenadas UTM. Por tanto, si bien sabemos que su precisión varia en un radio de 2-5 metros, pero nos sirve para partir con este punto, en el levantamiento topográfico. Es decir que el GPS nos da como dato la coordenada absoluta y partir de este punto, obtendremos puntos con coordenadas relativas, con la ayuda del equipo estación total.

3. Determinación y ubicación de puntos BM

- Para fijar el primer punto BM, se coloca el GPS a lado la estaca “BM6” donde se fija el equipo estación total, el cual dentro de un tiempo nos arroja coordenadas absolutas en las direcciones “N, E y Z”. Estas coordenadas cargamos como punto estación al equipo.
- Con el fin de orientar el equipo, necesitamos otro punto conocido que nos pide la estación total. Este punto sería, el punto atrás, que también nos da el GPS. Y con este, el equipo recalcula el punto atrás y de esta manera el equipo ya estaría orientada.
- Una vez orientada el equipo, es momento de fijar la posición de los puntos BM que sean necesarios, o que también serían puntos relativos del punto estación “BM6” por el hecho que estos puntos son colocados en base a tal punto. Estos puntos nos servirán para hacer el levantamiento de la nube de puntos, replanteos, ya que a partir de los mismos podremos orientar el equipo estación total. Por el hecho de que están bien mojonadas y fijadas en el suelo, como se muestra en la imagen N°4.

A continuación, mostramos un esquema referido a la orientación del equipo estación total.

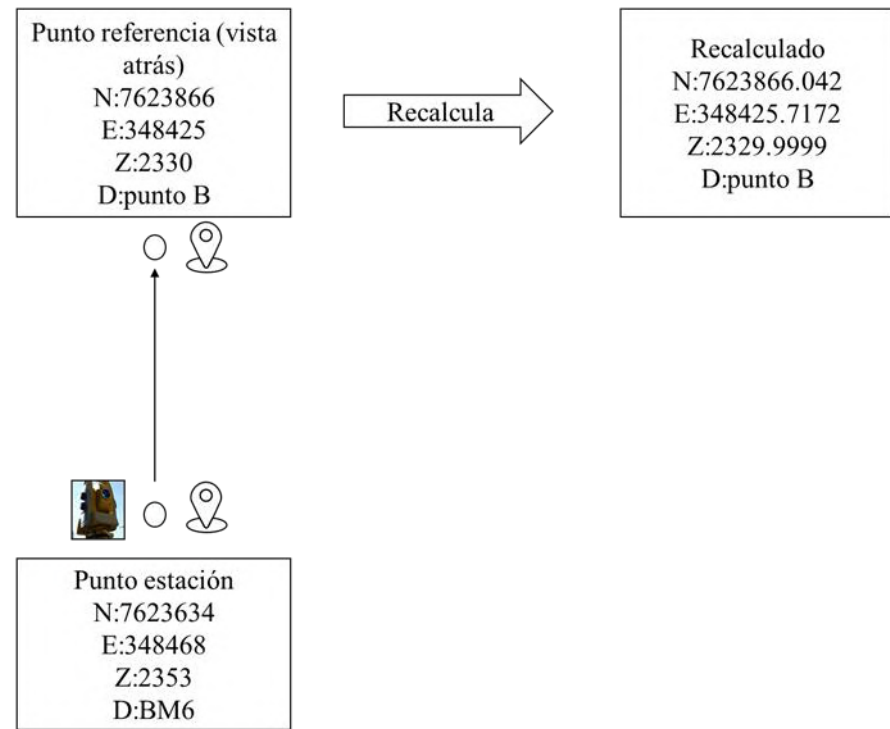


Imagen Nº 5. Ubicación de los puntos BM sin corregir



Sus coordenadas de los puntos BM, se muestra en el siguiente cuadro. Donde se puede apreciar que las coordenadas del punto BM6, lleva números enteros, esto indica que es un punto obtenido con el GPS y el resto de los puntos con estación total.

Cuadro N° 1. Coordenadas de los puntos BM sin corregir

| Punto | Norte | Este | altura |
|-------|-------------|------------|----------|
| BM1 | 7624007.926 | 343735.151 | 2231.186 |
| BM2 | 7623603.381 | 344772.017 | 2240.361 |
| BM3 | 7623843.520 | 346091.774 | 2285.558 |
| BM4 | 7623521.564 | 346837.091 | 2224.035 |
| BM5 | 7623869.897 | 347621.609 | 2334.390 |
| BM6 | 7623634 | 348468 | 2353 |

Fuente: Elaboración propia

4. Ajuste de la poligonal abierta

La poligonal abierta esta conformada por los puntos “BM” mostradas en el cuadro N° 1 e imagen N°5. Esta poligonal esta compuesta por puntos determinadas con el equipo estación total. Por tanto, es necesario hacer un ajuste de la misma en base a los puntos de control obtenidos con la ESTACIÓN DE REFERENCIA DE OPERACIÓN CONTÍNUA C.O.R.S. GEO-9 (Municipio de Tarija).

4.1. Información adicional acerca de la estación de referencia

Antena instalada en una estructura metálica en el 2do. Piso, empotrada en una columna de concreto cerca del tanque de agua en el domicilio ubicado en la Av. José J Pérez, calle Ambrosio Catoira No.227, Zona Senac, Barrio Andalucía. (Municipio Tarija, Provincia Cercado).

Enlace RED MARGEN: Punto enlazado al “Marco de Referencia Geodésico Nacional” MARGEN – SIRGAS, mediante las Estaciones Permanentes del Instituto Geográfico Militar TJA(Tarija), VMON(Villamontes) y YCBA (Yacuiba).

Coordenadas UTM:

UTM (Norte) = 7617010.3987

UTM (Este) = 318487.7002

Meridiano central = - 63

Zona UTM = 20 S

4.2. Información del receptor G.N.S.S.

Información del receptor:

Tipo do Receptor: SOUTH NET S9

Número de Serie: S490A5117341500

Versión del Firmware: 1.8.1245

Fecha de Instalación: 25/11/2021 16:02 UTC

Información de la antena:

Tipo de Antena (Nombre IGS): STHCR3-G3 SOUTH

Número de Serie: C2016001896

Altura de la Antena (m): 0.000 m

Fecha de instalación: 25/11/2021

4.3. Puntos de control obtenidos en campo

Estos puntos son obtenidos en campo con GPS de doble frecuencia. Este equipo necesita de una base que la misma esta ubicado en el municipio de Tarija como se indica en la sección 4.1.

Cuadro N° 2. Puntos de control obtenidos en campo

| Puntos de control obtenidos en campo | | | | |
|--------------------------------------|------------|------------|-----------|-------------|
| Nº | Norte | Este | Altura | Descripción |
| 1 | 7623639.92 | 348625.157 | 2388.9445 | C1 |
| 2 | 7623636.24 | 348476.578 | 2389.2845 | C2 |
| 3 | 7623604.8 | 344782.816 | 2277.4435 | C3 |
| 4 | 7624009.37 | 343746.337 | 2268.3785 | C4 |

Fuente: Elaboración propia

Imagen N° 6. Imágenes de obtención de puntos de control en campo



Fuente: Elaboración propia

4.4. Procedimiento de calculo de ajuste de la poligonal abierta

El punto de control común de referencia para hacer el ajuste de poligonal es el “C2” que el mismo debería de tener las mismas coordenadas que el BM6. Para lograr esto obtenemos un delta (DN, DE y DZ). Como se muestra en el siguiente:

$$DN = 7623636.241 - 7623634 = 2.2405$$

$$DE = 348476.5775 - 348468 = 8.5775$$

$$DZ = 2389.2845 - 2353 = 36.2845$$

Restando los valores de delta a las coordenadas de los puntos de control se logra hacer que estos puntos sean los que conformen las líneas bases de cierre de la poligonal.

En la imagen N° 7 estos puntos conforman las líneas de color verde.

Sus coordenadas son los que se muestra en el siguiente cuadro:

Cuadro N° 3. Puntos de control referenciados con C2 y BM6.

| Puntos de control referenciados con C2 y BM6 | | | | | |
|--|------------|------------|----------|-------------|---------------|
| Nº | Norte | Este | Altura | Descripción | Descripción 2 |
| 1 | 7623637.68 | 348616.579 | 2352.66 | C1 | A |
| 2 | 7623634 | 348468 | 2353 | C2 | B |
| 3 | 7623602.56 | 344774.238 | 2241.159 | C3 | C |
| 4 | 7624007.13 | 343737.76 | 2232.094 | C4 | D |

Fuente: Elaboración propia

Imagen N° 7. Líneas bases de cierre de la poligonal abierta



Fuente: Elaboración propia

Se observa que las coordenadas del punto “C2” llevan números enteros y son las mismas coordenadas del punto BM6 mostrada en el cuadro N° 1.

Con fines de cálculo, los puntos de control tienen la descripción 2, como se muestra en el cuadro N° 3. Es decir, los puntos A, B, C y D. son los puntos de control C1, C2, C3 y C4 sucesivamente.

Con los datos del cuadro N° 1 y cuadro N° 3, forman la poligonal de la figura N° 8 y a partir de esta poligonal y las líneas bases de cierre se hace el ajuste de la poligonal como se muestra en el cuadro N° 4.

Imagen N° 8. Poligonal para hacer el ajuste en base a las líneas de cierre



Fuente: Elaboración propia

Datos de entrada:

| Azimut | |
|------------------|--------------|
| Angulo | g,m,s |
| $\varphi_{AB} =$ | 91°25'11.9'' |
| $\varphi_{CD} =$ | 68°40'39.4'' |

| Coordenadas | | |
|------------------|---------|----------|
| Punto | Norte | Este |
| B | 7623634 | 348468 |
| C | 7623603 | 344774.2 |
| Δ (N y E) | 31.44 | 3693.762 |

Otros datos son las tres primeras columnas del cuadro N° 4: Punto, Angulo horizontal de los vértices y distancia horizontal de las rectas formadas por los puntos.

Cuadro N° 4. Cálculo de la poligonal abierta con control

| Punto | Ang. hor. g.m,s | Distancia m | Acimut g.m,s | corregir | Acimut corr. g.m,s | proyc. Calc. | | Correc. | | proyc. Corre. | | Cordenadas | |
|-------|--------------------|----------------|-----------------|----------|-----------------------|--------------|----------|----------|----------|---------------|----------|------------|----------|
| | | | | | | Norte | Este | CpN | CpE | Norte | Este | Norte | Este |
| A | | | 91°25'11.9'' | | 91°25'11.9'' | | | | | | | | |
| B | 163°0'23'' | | 0°0'1.53'' | | | | | | | | | 7623634 | 348468 |
| | | 878.649 | 74°25'34.9'' | | 74°25'36.44'' | 235.8967 | 846.3904 | 0.185514 | -0.50127 | 236.0823 | 845.8892 | | |
| 1 | 219°30'55'' | | 0°0'1.53'' | | | | | | | | | 7623870 | 347622.1 |
| | | 858.373 | 113°56'29.9'' | | 113°56'32.97'' | -348.333 | 784.518 | 0.181233 | -0.4897 | -348.152 | 784.0283 | | |
| 2 | 132°41'43.3'' | | 0°0'1.53'' | | | | | | | | | 7623522 | 346838.1 |
| | | 811.882 | 66°38'13.2'' | | 66°38'17.82'' | 321.956 | 745.3165 | 0.171417 | -0.46318 | 322.1274 | 744.8533 | | |
| 3 | 213°40'31.89'' | | 0°0'1.53'' | | | | | | | | | 7623844 | 346093.2 |
| | | 1341.426 | 100°18'45.1'' | | 100°18'51.26'' | -240.139 | 1319.756 | 0.283223 | -0.76529 | -239.855 | 1318.991 | | |
| C | 148°21'46.6'' | | 0°0'1.53'' | | | | | | | | | 7623604 | 344774.2 |
| | | | 68°40'31.7'' | | 68°40'39.39'' | | | | | | | | |
| D | | | 68°40'39.4'' | | | 30.61861 | 3695.981 | | | | | | |

$$\sum L = 3890.33 \boxed{0^{\circ}0'7.69''} \quad \begin{aligned} \varepsilon\Delta N &= -0.82339 & 0.823388 \\ \varepsilon\Delta E &= 2.219443 & -2.21944 \end{aligned}$$

$$TL = 0.025 \sqrt{\sum L} = 1.559313 \quad \varepsilon L = \sqrt{\varepsilon\Delta N^2 + \varepsilon\Delta E^2} = 2.367255$$

P = 0.000608
n = 1643.393

Según tabla de valores guías de tolerancia lineal en función “n” los puntos levantados con estación total son válidas, dado que “n = 1643.394” está dentro el rango para 1: 2500 a 1: 5000. Estés rangos presentamos en la siguiente tabla.

Tabla N° 1. Valores guías de tolerancia lineal en función de “n”

| Tolerancia lineal | Tipo de levantamiento |
|-------------------|---|
| 1:800 | Levantamiento de terrenos accidentados, de poco valor, levantamientos de reconocimiento, colonizaciones, etc. |
| 1:1000 a 1:1500 | Levantamientos de terreno de poco valor por taquimetría con doble lectura de mira. |
| 1:1500 a 1:2500 | Levantamiento de terrenos agrícolas de valor medio, con cinta. |
| 1:2500 a 1:5000 | Levantamientos urbanos y rurales, de mediano a alto valor, uso de distanciómetros eléctricos. |
| 1:10000 | Levantamientos geodésicos. |

Fuente: Leonardo Casanova, “Sencico, Curso completo topografía 2010”

Del cuadro N° 4 y el cuadro N° 3 se resume los puntos de control corregidos, los mismos serán validos para hacer un replanteo u orientar los equipos necesarios con fines topográficos del tramo. Los mismos están mojonados como se muestra en la imagen N° 4 y 6.

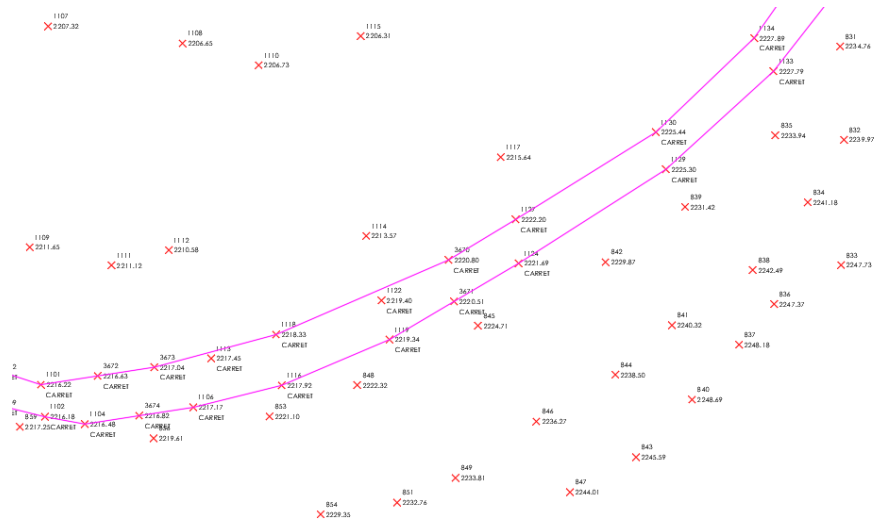
Cuadro N° 5. Puntos BM del tramo Carlazo Centro -Carlazo Este

| Punto | Norte | Este | altura |
|-------|------------|------------|----------|
| BM1 | 7624007.13 | 343737.76 | 2231.186 |
| BM2 | 7623604.2 | 344774.238 | 2240.361 |
| BM3 | 7623844.06 | 346093.229 | 2285.558 |
| BM4 | 7623521.93 | 346838.083 | 2224.035 |
| BM5 | 7623870.08 | 347622.111 | 2334.39 |
| BM6 | 7623634 | 348468 | 2353 |
| BM7 | 7623637.68 | 348616.579 | 2352.66 |

Fuente: Elaboración propia

5. Levantamiento de la nube de puntos

Imagen N° 9. Detalle de nube de puntos



Fuente: Elaboración propia

Posicionando la estación en los puntos BM para orientar el equipo, se empezó a levantar la nube de puntos de la siguiente manera:

- Se levanto los puntos de los lados externos del camino con descripción “CARRET”, ya que esta descripción sirve de mucho para el trabajo en gabinete.

- De la misma manera para los lugares como ser quebradas ríos se puso una descripción
- Y de esa manera se logra hacer el levantamiento de la nube de puntos a lo largo del camino a una distancia del eje de la carretera de aproximadamente 30m a cada lado, llevando 2 líneas tanto a lado derecho e izquierdo del camino y sobre los bordes de cortes del camino.

6. Curvas de nivel

Las curvas de nivel son determinadas con la ayuda del AutoCAD CIVIL 3D, a partir del procesamiento de la nube de puntos. (ver plano general, lamina 01).

Imagen N° 10. Representación de las curvas de nivel



Fuente: Elaboración propia

6.1. Detalle de obtención de curvas de nivel

Para obtener las curvas de nivel hay que trabajarlos en gabinete, en nuestro caso mostramos una sección donde la triangulación es por defecto y cuando la triangulación ya es trabajada. Las diferencias de ambos se pueden apreciar en las siguientes imágenes.

En la imagen N° 11, la línea de triangulación de color azul, debería de hacer la triangulación paralela a la línea color violeta y de esta manera lograr obtener la superficie como tal.

En la imagen N° 12, la triangulación ya está corregida y la línea identificada como mala triangulación, está ya paralela a la línea color violeta.

Imagen N° 11. Detalle de triangulación y curvas de nivel, por defecto, sin trabajar

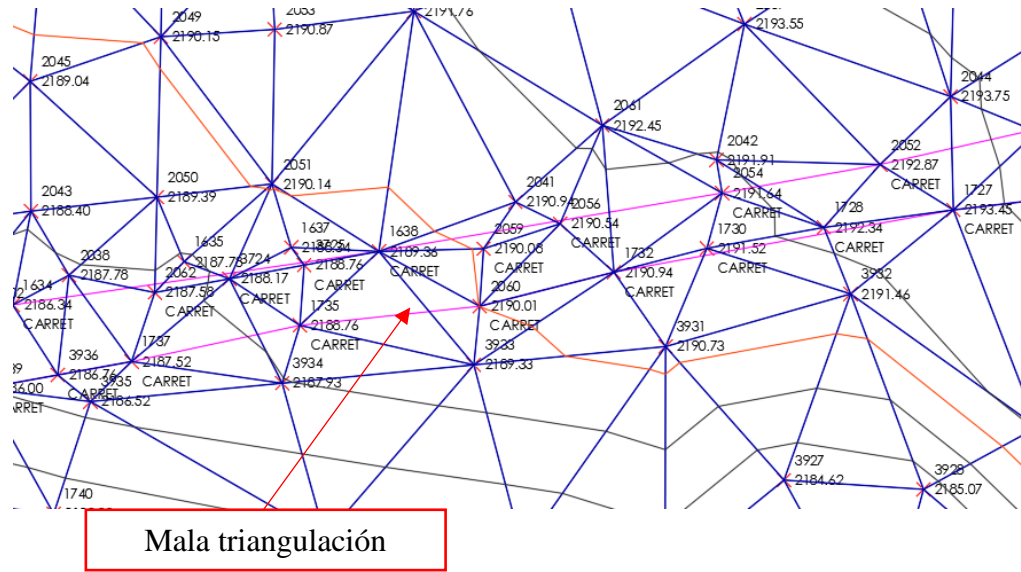
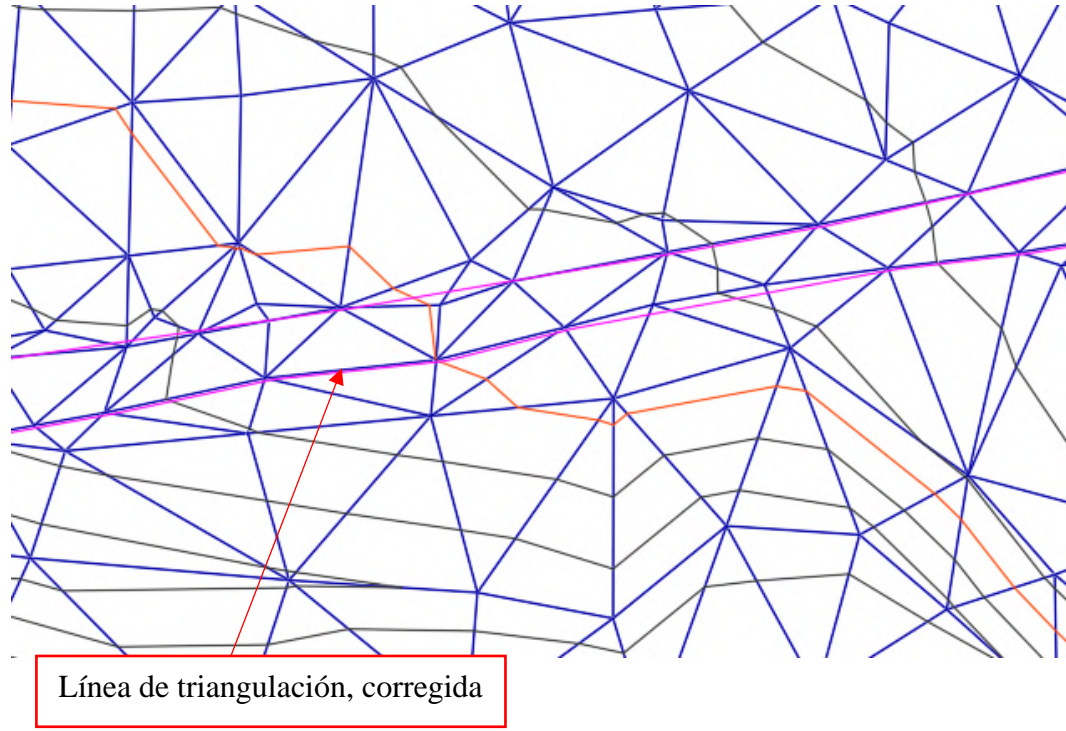


Imagen N° 12. Detalle de triangulación y curvas de nivel, trabajados en gabinete



6.2. Tabla de la nube de puntos

La tabla de nube de puntos se muestra a continuación:

| Nº | Norte | Este | Altura | Descripción | Nº | Norte | Este | Altura | Descripción |
|----|-------------|-------------|-----------|-------------|-----|-------------|-------------|-----------|-------------|
| 1 | 7623634 | 348468 | 2353 | BM6 | 74 | 7623463.169 | 348277.169 | 2318.4463 | |
| 2 | 7623866.042 | 348425.7172 | 2329.9999 | | 75 | 7623471.12 | 348262.1604 | 2322.9916 | |
| 3 | 7623869.821 | 347622.3276 | 2334.3903 | BM5 | 76 | 7623437.134 | 348278.9332 | 2307.7451 | |
| 4 | 7623876.695 | 347618.6447 | 2335.8064 | B | 77 | 7623447.856 | 348251.656 | 2317.1741 | |
| 5 | 7623641.162 | 348468.4598 | 2351.7291 | | 78 | 7623466.205 | 348249.385 | 2322.778 | |
| 6 | 7623649.838 | 348470.7274 | 2349.3371 | | 79 | 7623422.139 | 348266.3385 | 2305.6081 | |
| 7 | 7623659.981 | 348473.5081 | 2346.39 | | 80 | 7623440.5 | 348257.413 | 2314.5815 | |
| 8 | 7623662.653 | 348466.7801 | 2345.3054 | | 81 | 7623470.328 | 348235.9931 | 2321.6536 | |
| 9 | 7623658.616 | 348453.8901 | 2345.7451 | | 82 | 7623414.93 | 348253.6217 | 2304.7139 | |
| 10 | 7623650.515 | 348456.5984 | 2348.3387 | | 83 | 7623464.542 | 348228.4249 | 2321.7317 | BM4 |
| 11 | 7623648.541 | 348451.4035 | 2348.5462 | | 84 | 7623465.134 | 348240.4307 | 2322.7503 | B |
| 12 | 7623643.524 | 348441.4578 | 2349.2131 | | 85 | 7623478.057 | 348246.9725 | 2323.4471 | |
| 13 | 7623630.416 | 348440.1192 | 2351.2862 | | 86 | 7623498.199 | 348245.3042 | 2324.7044 | |
| 14 | 7623638.51 | 348433.0077 | 2349.8785 | | 87 | 7623490.279 | 348264.054 | 2324.0281 | CARRET |
| 15 | 7623641.285 | 348418.0224 | 2349.7448 | | 88 | 7623486.324 | 348257.3947 | 2325.0148 | |
| 16 | 7623642.648 | 348410.974 | 2349.7941 | | 89 | 7623512.507 | 348249.0312 | 2326.6296 | |
| 17 | 7623646.153 | 348398.6999 | 2347.3742 | | 90 | 7623502.888 | 348266.578 | 2327.2794 | |
| 18 | 7623655.904 | 348402.24 | 2346.2939 | | 91 | 7623509.475 | 348272.3176 | 2326.4652 | CARRET |
| 19 | 7623653.717 | 348410.6338 | 2347.4668 | | 92 | 7623529.723 | 348252.1684 | 2327.4714 | |
| 20 | 7623649.819 | 348420.9187 | 2348.0753 | | 93 | 7623509.399 | 348268.4502 | 2327.9643 | |
| 21 | 7623657.617 | 348422.8656 | 2346.1418 | | 94 | 7623530.583 | 348273.7584 | 2328.9534 | CARRET |
| 22 | 7623656.892 | 348429.4088 | 2345.6927 | | 95 | 7623522.731 | 348267.0922 | 2329.9381 | |
| 23 | 7623647.234 | 348433.7295 | 2348.0311 | | 97 | 7623536.796 | 348274.6619 | 2330.6524 | CARRET |
| 27 | 7623666.706 | 348445.2014 | 2344.0212 | CARRET | 98 | 7623548.983 | 348256.1049 | 2328.2483 | |
| 28 | 7623667.601 | 348450.7433 | 2343.8807 | CARRET | 99 | 7623550.559 | 348276.5179 | 2331.2488 | |
| 29 | 7623662.98 | 348452.3772 | 2343.9541 | CARRET | 100 | 7623552.805 | 348279.3383 | 2330.0893 | CARRET |
| 30 | 7623666.102 | 348466.4166 | 2343.4781 | CARRET | 101 | 7623555.031 | 348273.4665 | 2331.5532 | |
| 31 | 7623671.788 | 348468.0249 | 2343.5249 | CARRET | 102 | 7623563.416 | 348261.7912 | 2328.5429 | |
| 32 | 7623623.864 | 348453.9868 | 2354.3498 | | 103 | 7623568.892 | 348276.0774 | 2331.086 | |
| 33 | 7623617.31 | 348434.4973 | 2348.554 | | 104 | 7623577.287 | 348282.8049 | 2331.3911 | CARRET |
| 34 | 7623634.145 | 348421.002 | 2350.1138 | | 105 | 7623597.834 | 348305.4977 | 2333.4877 | CARRET |
| 35 | 7623640.983 | 348394.3201 | 2347.0121 | | 106 | 7623597.686 | 348301.5741 | 2333.1525 | |
| 36 | 7623626.868 | 348415.4449 | 2347.9996 | | 107 | 7623587.305 | 348292.932 | 2332.2375 | CARRET |
| 37 | 7623618.064 | 348418.8457 | 2345.2107 | | 108 | 7623600.989 | 348304.463 | 2334.8013 | |
| 38 | 7623629.111 | 348397.359 | 2345.5064 | | 109 | 7623612.639 | 348317.0791 | 2335.6714 | CARRET |
| 39 | 7623631.288 | 348381.3225 | 2344.1089 | | 110 | 7623610.472 | 348312.3446 | 2336.2553 | |
| 40 | 7623626.225 | 348384.8651 | 2342.3053 | | 111 | 7623610.888 | 348323.3023 | 2335.6992 | CARRET |
| 41 | 7623649.676 | 348369.2484 | 2346.7406 | | 112 | 7623624.448 | 348320.3233 | 2338.223 | |
| 42 | 7623616.925 | 348381.7771 | 2337.4051 | | 113 | 7623618.625 | 348327.42 | 2336.6908 | CARRET |
| 43 | 7623626.21 | 348369.0427 | 2340.844 | | 114 | 7623621.439 | 348323.9118 | 2336.7701 | CARRET |
| 44 | 7623636.079 | 348350.9187 | 2342.1118 | | 115 | 7623623.032 | 348331.1123 | 2337.2752 | CARRET |
| 45 | 7623624.154 | 348359.3537 | 2340.5341 | | 116 | 7623629.646 | 348335.9483 | 2338.5964 | CARRET |
| 46 | 7623611.259 | 348365.8646 | 2335.5159 | | 117 | 7623655.443 | 348377.2333 | 2346.5272 | |
| 47 | 7623616.336 | 348348.3245 | 2338.2248 | | 118 | 7623651.587 | 348391.79 | 2346.4757 | |
| 48 | 7623622.611 | 348335.4432 | 2338.6742 | | 119 | 7623665.214 | 348384.2751 | 2343.768 | CARRET |
| 49 | 7623603.769 | 348348.3841 | 2334.7692 | | 120 | 7623672.469 | 348383.4431 | 2343.4771 | CARRET |
| 50 | 7623606.518 | 348342.7286 | 2336.0339 | | 121 | 7623666.436 | 348390.6686 | 2343.4091 | CARRET |
| 51 | 7623602.253 | 348323.0493 | 2335.8363 | | 122 | 7623659.77 | 348374.9671 | 2345.2246 | |
| 52 | 7623590.469 | 348347.3968 | 2331.0798 | | 123 | 7623672.728 | 348393.5561 | 2343.6972 | CARRET |
| 53 | 7623590.895 | 348329.2202 | 2332.988 | | 124 | 7623665.831 | 348402.8258 | 2343.818 | CARRET |
| 54 | 7623589.902 | 348312.4027 | 2333.7275 | CARRET | 125 | 7623662.504 | 348382.5284 | 2345.0839 | |
| 55 | 7623574.222 | 348335.0887 | 2328.5914 | | 126 | 7623663.643 | 348411.9451 | 2344.2028 | CARRET |
| 56 | 7623579.069 | 348321.6581 | 2331.0398 | | 127 | 7623670.303 | 348415.5529 | 2344.3817 | CARRET |
| 57 | 7623576.649 | 348301.57 | 2331.9172 | CARRET | 128 | 7623663.381 | 348396.5906 | 2345.073 | |
| 58 | 7623554.288 | 348329.6055 | 2323.2385 | | 129 | 7623661.912 | 348421.6251 | 2344.3529 | CARRET |
| 59 | 7623561.753 | 348309.6499 | 2328.8366 | | 130 | 7623666.89 | 348431.0598 | 2344.4356 | CARRET |
| 60 | 7623559.242 | 348289.9954 | 2330.6862 | CARRET | 131 | 7623661.481 | 348407.3768 | 2345.718 | |
| 61 | 7623535.75 | 348318.62 | 2321.2093 | | 132 | 7623660.424 | 348434.505 | 2344.2781 | CARRET |
| 62 | 7623540.877 | 348299.1666 | 2326.6647 | | 133 | 7623666.302 | 348440.6056 | 2344.194 | CARRET |
| 63 | 7623539.708 | 348286.6745 | 2330.465 | CARRET | 134 | 7623658.75 | 348425.3197 | 2345.703 | |
| 64 | 7623517.602 | 348315.5418 | 2319.4201 | | 135 | 7623661.27 | 348445.9573 | 2344.0581 | CARRET |
| 65 | 7623519.735 | 348297.1028 | 2324.9346 | | 136 | 7623667.833 | 348450.757 | 2343.93 | CARRET |
| 66 | 7623518.985 | 348283.4177 | 2328.0395 | CARRET | 137 | 7623658.581 | 348446.5251 | 2345.1454 | |
| 67 | 7623498.038 | 348307.6489 | 2319.6259 | | 138 | 7623670.748 | 348461.4495 | 2343.6536 | CARRET |
| 68 | 7623499.316 | 348291.3225 | 2323.6962 | | 139 | 7623466.42 | 348258.7241 | 2322.5898 | |
| 69 | 7623499.852 | 348279.1064 | 2326.278 | CARRET | 140 | 7623457.711 | 348250.1327 | 2320.7203 | |
| 70 | 7623477.41 | 348294.5692 | 2316.9383 | | 141 | 7623440.116 | 348248.5221 | 2314.6659 | |
| 71 | 7623484.703 | 348286.2827 | 2321.7637 | | 142 | 7623445.814 | 348242.5625 | 2320.9995 | |
| 72 | 7623485.168 | 348272.7602 | 2324.8209 | CARRET | 143 | 7623466.802 | 348245.7459 | 2322.708 | |
| 73 | 7623457.547 | 348290.2342 | 2310.783 | | 144 | 7623459.619 | 348236.775 | 2322.3109 | |

| Nº | Norte | Este | Altura | Descripción | Nº | Norte | Este | Altura | Descripción |
|-----|-------------|-------------|-----------|-------------|-----|-------------|-------------|-----------|-------------|
| 145 | 7623438.553 | 348237.1976 | 2312.9805 | | 219 | 7623513.529 | 348195.0966 | 2311.6344 | CARRET |
| 146 | 7623451.849 | 348235.05 | 2319.1898 | | 220 | 7623504.652 | 348201.3939 | 2313.2124 | CARRET |
| 147 | 7623441.74 | 348225.6587 | 2311.3195 | | 221 | 7623516.736 | 348196.3588 | 2314.2904 | |
| 148 | 7623468.856 | 348238.2858 | 2322.1163 | | 222 | 7623499.104 | 348209.4829 | 2314.5413 | CARRET |
| 149 | 7623476.455 | 348227.9022 | 2319.7737 | | 223 | 7623512.23 | 348208.061 | 2316.9055 | |
| 150 | 7623458.265 | 348220.824 | 2316.0645 | | 224 | 7623491.136 | 348218.5401 | 2316.3146 | CARRET |
| 151 | 7623446.56 | 348216.2353 | 2309.8873 | | 225 | 7623508.654 | 348204.0683 | 2312.9587 | CARRET |
| 152 | 7623467.915 | 348209.4794 | 2314.7371 | | 226 | 7623506.707 | 348212.1919 | 2317.0787 | |
| 153 | 7623487.469 | 348215.2994 | 2317.6603 | | 227 | 7623502.165 | 348212.8335 | 2314.1836 | CARRET |
| 154 | 7623452.689 | 348205.7829 | 2307.9562 | | 228 | 7623482.14 | 348227.4644 | 2318.1992 | CARRET |
| 155 | 7623474.188 | 348202.5438 | 2313.532 | | 229 | 7623489.772 | 348226.7311 | 2316.7966 | CARRET |
| 156 | 7623497.693 | 348200.653 | 2316.2744 | | 230 | 7623497.93 | 348221.665 | 2318.9869 | |
| 157 | 7623458.597 | 348195.861 | 2305.0352 | | 231 | 7623476.439 | 348233.7814 | 2319.2229 | CARRET |
| 158 | 7623480.568 | 348192.1717 | 2311.0457 | | 232 | 7623488.854 | 348231.5212 | 2321.2217 | |
| 159 | 7623502.931 | 348186.6471 | 2313.7939 | | 233 | 7623484.586 | 348231.8137 | 2317.8946 | CARRET |
| 160 | 7623463.288 | 348184.3228 | 2301.9089 | | 234 | 7623471.376 | 348242.5811 | 2320.5234 | CARRET |
| 161 | 7623485.847 | 348180.532 | 2308.5733 | | 235 | 7623480.97 | 348239.8973 | 2322.3823 | |
| 162 | 7623498.094 | 348170.8781 | 2310.1539 | | 236 | 7623478.853 | 348237.7547 | 2319.2612 | CARRET |
| 163 | 7623462.768 | 348174.9855 | 2299.1766 | | 237 | 7623474.144 | 348246.1662 | 2320.65 | CARRET |
| 164 | 7623489.221 | 348171.4052 | 2307.16 | | 238 | 7623469.172 | 348221.1013 | 2319.4102 | |
| 166 | 7623459.317 | 348163.3728 | 2296.5116 | | 239 | 7623473.934 | 348213.5273 | 2318.6416 | |
| 167 | 7623481.862 | 348159.605 | 2304.1 | | 240 | 7623507.225 | 348245.9084 | 2325.4147 | |
| 168 | 7623470.856 | 348144.7531 | 2302.2587 | | 241 | 7623478.764 | 348208.1905 | 2317.7234 | |
| 169 | 7623454.024 | 348153.7655 | 2294.6756 | | 242 | 7623506.243 | 348237.0559 | 2323.3848 | |
| 170 | 7623473.415 | 348151.3754 | 2301.8701 | | 243 | 7623526.651 | 348250.8349 | 2327.0492 | |
| 171 | 7623461.642 | 348134.4885 | 2300.5991 | CARRET | 244 | 7623511.594 | 348227.4871 | 2320.928 | |
| 172 | 7623441.759 | 348146.4784 | 2291.2934 | | 245 | 7623529.955 | 348241.7275 | 2324.691 | |
| 173 | 7623453.482 | 348130.3332 | 2297.2468 | | 246 | 7623489.205 | 348199.3703 | 2316.3951 | |
| 174 | 7623458.537 | 348124.0611 | 2300.2286 | CARRET | 247 | 7623515.931 | 348219.3994 | 2318.4838 | |
| 175 | 7623432.983 | 348134.125 | 2288.6044 | | 248 | 7623495.819 | 348193.3667 | 2315.1435 | |
| 176 | 7623449.051 | 348119.0098 | 2294.9586 | | 249 | 7623520.037 | 348207.9312 | 2314.9829 | |
| 177 | 7623456.456 | 348107.6384 | 2297.5852 | CARRET | 250 | 7623504.642 | 348186.5358 | 2313.6044 | |
| 178 | 7623426.441 | 348117.6131 | 2286.6052 | | 251 | 7623503.779 | 348194.9347 | 2314.8128 | |
| 179 | 7623444.023 | 348101.46 | 2291.8602 | | 252 | 7623495.641 | 348206.547 | 2316.9104 | |
| 180 | 7623456.427 | 348092.357 | 2295.4033 | CARRET | 253 | 7623489.731 | 348216.1791 | 2317.4937 | |
| 181 | 7623423.21 | 348104.5223 | 2286.5345 | | 254 | 7623480.529 | 348224.6354 | 2319.4207 | |
| 182 | 7623442.9 | 348079.9516 | 2288.8428 | | 255 | 7623483.522 | 348235.6392 | 2320.3051 | |
| 183 | 7623457.668 | 348077.3442 | 2293.9376 | CARRET | 256 | 7623493.332 | 347892.2556 | 2208.4719 | CARRET |
| 184 | 7623429.961 | 348088.3488 | 2285.2926 | | 257 | 7623493.407 | 347873.6325 | 2211.1819 | CARRET |
| 185 | 7623444.1 | 348073.4531 | 2288.1223 | | 258 | 7623496.43 | 347898.8291 | 2207.7478 | |
| 186 | 7623464.012 | 348068.4252 | 2292.8702 | CARRET | 259 | 7623499.07 | 347902.4435 | 2208.2082 | |
| 187 | 7623463.91 | 348079.5511 | 2293.713 | CARRET | 260 | 7623493.704 | 347891.6029 | 2207.7825 | |
| 188 | 7623462.598 | 348097.6272 | 2295.9578 | CARRET | 261 | 7623499.155 | 347900.6646 | 2207.4785 | |
| 189 | 7623436.342 | 348074.4664 | 2284.3705 | | 262 | 7623488.221 | 347877.8361 | 2210.368 | CARRET |
| 190 | 7623465.045 | 348113.1904 | 2297.9734 | CARRET | 263 | 7623489.376 | 347900.4468 | 2208.7203 | |
| 191 | 7623467.913 | 348078.6587 | 2295.9125 | | 264 | 7623486.514 | 347888.7568 | 2209.0864 | CARRET |
| 192 | 7623470.516 | 348130.1972 | 2301.1622 | CARRET | 265 | 7623494.467 | 347907.7059 | 2209.5709 | CARRET |
| 193 | 7623465.227 | 348090.4948 | 2296.7151 | | 266 | 7623509.324 | 347916.1367 | 2210.5323 | CARRET |
| 194 | 7623482.351 | 348140.4712 | 2303.35 | CARRET | 267 | 7623499.132 | 347903.451 | 2209.165 | CARRET |
| 195 | 7623466.113 | 348110.6496 | 2299.0227 | | 268 | 7623514.693 | 347918.4879 | 2210.7747 | CARRET |
| 196 | 7623495.084 | 348150.1191 | 2305.3688 | CARRET | 269 | 7623517.871 | 347912.6983 | 2211.1777 | CARRET |
| 197 | 7623469.549 | 348122.9423 | 2302.3095 | | 270 | 7623536.045 | 347924.8838 | 2212.4178 | CARRET |
| 198 | 7623473.348 | 348129.674 | 2303.3804 | | 271 | 7623542.484 | 347920.9468 | 2213.1769 | CARRET |
| 199 | 7623483.889 | 348082.9531 | 2295.9187 | | 272 | 7623552.195 | 347927.421 | 2213.893 | CARRET |
| 200 | 7623483.115 | 348137.3164 | 2305.2094 | | 273 | 7623557.616 | 347920.4821 | 2214.7997 | CARRET |
| 201 | 7623508.747 | 348164.0276 | 2308.1592 | | 274 | 7623568.173 | 347925.2377 | 2215.6145 | CARRET |
| 202 | 7623493.819 | 348142.4287 | 2305.8012 | | 275 | 7623572.598 | 347918.6338 | 2216.4258 | CARRET |
| 203 | 7623498.333 | 348152.4922 | 2306.5232 | | 276 | 7623567.831 | 347907.0092 | 2210.8031 | |
| 204 | 7623473.955 | 348142.4633 | 2303.0248 | CARRET | 277 | 7623579.859 | 347924.2797 | 2217.5622 | CARRET |
| 206 | 7623489.941 | 348154.4486 | 2305.2481 | CARRET | 278 | 7623584.071 | 347901.5326 | 2209.842 | |
| 207 | 7623515.608 | 348168.9184 | 2310.2655 | | 279 | 7623592.686 | 347921.876 | 2218.7745 | CARRET |
| 208 | 7623500.877 | 348164.7174 | 2307.1682 | CARRET | 280 | 7623554.623 | 347895.9556 | 2209.475 | |
| 210 | 7623518.377 | 348174.3876 | 2310.9112 | | 281 | 7623592.204 | 347915.2742 | 2219.1281 | CARRET |
| 211 | 7623508.267 | 348165.6841 | 2307.5647 | CARRET | 282 | 7623576.629 | 347887.5666 | 2209.2917 | |
| 212 | 7623508.897 | 348178.4295 | 2309.4221 | CARRET | 283 | 7623606.255 | 347921.5641 | 2220.261 | CARRET |
| 213 | 7623518.437 | 348182.7787 | 2311.1701 | | 284 | 7623598.731 | 347884.6129 | 2209.8263 | |
| 214 | 7623513.356 | 348174.8766 | 2308.9116 | CARRET | 285 | 7623606.947 | 347915.3782 | 2220.6114 | CARRET |
| 215 | 7623509.865 | 348191.2867 | 2311.4333 | CARRET | 286 | 7623597.587 | 347901.1293 | 2211.5098 | |
| 216 | 7623515.264 | 348184.2753 | 2310.3614 | CARRET | 287 | 7623621.108 | 347921.5367 | 2222.1917 | CARRET |
| 217 | 7623518.756 | 348187.7653 | 2310.3482 | | 288 | 7623624.013 | 347915.5856 | 2222.455 | CARRET |

| Nº | Norte | Este | Altura | Descripción | Nº | Norte | Este | Altura | Descripción |
|-----|-------------|-------------|-----------|-------------|-----|-------------|-------------|-----------|-------------|
| 289 | 7623622.061 | 347880.2862 | 2209.8118 | | 361 | 7623689.529 | 348069.4479 | 2254.2565 | |
| 290 | 7623638.183 | 347923.0691 | 2223.431 | CARRET | 362 | 7623675.858 | 348103.9645 | 2269.6063 | |
| 291 | 7623633.542 | 347879.058 | 2209.5549 | | 363 | 7623682.495 | 348058.59 | 2254.9631 | |
| 292 | 7623640.533 | 347916.9445 | 2224.0067 | CARRET | 364 | 7623702.63 | 348062.9412 | 2251.3014 | |
| 293 | 7623652.123 | 347894.3441 | 2214.7009 | | 365 | 7623661.528 | 348089.8177 | 2271.8068 | |
| 294 | 7623652.783 | 347923.1868 | 2225.0363 | CARRET | 366 | 7623677.07 | 348051.0408 | 2256.0818 | |
| 295 | 7623663.4 | 347889.277 | 2214.9365 | | 367 | 7623685.314 | 348042.7369 | 2252.0848 | CARRET |
| 296 | 7623682.596 | 347884.8954 | 2207.4159 | | 368 | 7623669.41 | 348038.7266 | 2256.7495 | |
| 297 | 7623656.195 | 347914.7024 | 2225.7518 | CARRET | 369 | 7623678.63 | 348044.9148 | 2252.1177 | CARRET |
| 298 | 7623669.914 | 347894.6515 | 2217.2731 | | 370 | 7623661.509 | 348089.7849 | 2271.7944 | |
| 299 | 7623694.384 | 347888.9554 | 2207.6558 | | 371 | 7623662.353 | 348041.281 | 2259.6608 | |
| 300 | 7623669.328 | 347925.7207 | 2226.6711 | CARRET | 373 | 7623663.02 | 348079.3096 | 2270.831 | |
| 301 | 7623682.358 | 347898.0687 | 2216.5738 | | 375 | 7623647.933 | 348022.051 | 2257.8633 | |
| 302 | 7623716.604 | 347894.4683 | 2208.4043 | | 377 | 7623646.846 | 348063.9313 | 2267.8496 | CARRET |
| 303 | 7623673.583 | 347918.6393 | 2227.4142 | CARRET | 378 | 7623715.29 | 348490.4643 | 2331.3531 | |
| 304 | 7623703.831 | 347908.1437 | 2219.6117 | | 379 | 7623680.467 | 348481.6518 | 2340.5651 | |
| 305 | 7623711.73 | 347915.5822 | 2221.0821 | | 380 | 7623701.754 | 348484.8778 | 2335.1499 | |
| 306 | 7623681.167 | 347934.4925 | 2229.0707 | CARRET | 381 | 7623711.617 | 348472.721 | 2329.7066 | |
| 307 | 7623731.336 | 347919.2484 | 2217.3245 | | 382 | 7623697.794 | 348465.3812 | 2333.5299 | |
| 308 | 7623686.914 | 347928.5413 | 2229.3892 | CARRET | 383 | 7623711.426 | 348464.6858 | 2328.3668 | |
| 309 | 7623722.182 | 347941.9469 | 2227.1623 | | 384 | 7623704.615 | 348421.5568 | 2333.9223 | |
| 310 | 7623737.261 | 347928.2374 | 2221.9344 | | 385 | 7623704.648 | 348417.9904 | 2334.25 | |
| 311 | 7623689.727 | 347950.1318 | 2231.7656 | CARRET | 386 | 7623680.948 | 348388.1882 | 2339.9241 | |
| 312 | 7623717.536 | 347951.7615 | 2229.5339 | | 387 | 7623704.616 | 348399.0718 | 2333.018 | |
| 313 | 7623754.353 | 347934.6298 | 2221.2738 | | 388 | 7623692.677 | 348373.6328 | 2331.6518 | |
| 314 | 7623696.7 | 347946.8742 | 2231.944 | CARRET | 389 | 7623692.645 | 348373.6066 | 2331.6182 | |
| 315 | 7623739.422 | 347950.5702 | 2226.1992 | | 390 | 7623711.406 | 348424.9917 | 2331.5499 | |
| 316 | 7623776.634 | 347935.0106 | 2218.1497 | | 391 | 7623692.562 | 348364.07 | 2329.7288 | |
| 317 | 7623695.303 | 347971.0113 | 2234.2943 | CARRET | 392 | 7623708.511 | 348398.9116 | 2331.6734 | |
| 318 | 7623748.047 | 347969.7353 | 2225.4823 | | 393 | 7623648.006 | 348329.9824 | 2337.0216 | |
| 319 | 7623799.964 | 347931.5599 | 2215.6857 | | 394 | 7623703.224 | 348377.0538 | 2327.8153 | |
| 320 | 7623702.423 | 347969.2729 | 2234.3128 | CARRET | 395 | 7623683.048 | 348347.5542 | 2330.1593 | |
| 321 | 7623757.491 | 347995.9242 | 2225.4969 | | 396 | 7623696.048 | 348361.0338 | 2327.5426 | |
| 322 | 7623703.388 | 348001.006 | 2237.8129 | CARRET | 397 | 7623668.598 | 348323.4566 | 2331.0534 | |
| 323 | 7623774.215 | 348017.4587 | 2223.7546 | | 398 | 7623670.426 | 348376.8287 | 2343.0252 | CARRET |
| 325 | 7623784.071 | 348033.5677 | 2223.1314 | | 399 | 7623664.191 | 348376.9984 | 2342.9659 | CARRET |
| 326 | 7623707.757 | 348018.8574 | 2239.6194 | CARRET | 400 | 7623663.582 | 348306.9058 | 2328.7736 | |
| 328 | 7623711.448 | 348033.744 | 2241.9203 | CARRET | 401 | 7623660.743 | 348368.534 | 2342.6582 | CARRET |
| 329 | 7623714.91 | 348045.7152 | 2243.2431 | CARRET | 402 | 7623663.052 | 348359.0685 | 2342.1905 | CARRET |
| 330 | 7623721.794 | 348041.1163 | 2243.3428 | CARRET | 403 | 7623657.823 | 348351.0028 | 2341.7924 | CARRET |
| 331 | 7623717.505 | 348062.9442 | 2245.5114 | CARRET | 404 | 7623651.843 | 348351.9034 | 2341.5193 | CARRET |
| 332 | 7623725.051 | 348062.508 | 2245.6408 | CARRET | 405 | 7623645.753 | 348344.9582 | 2340.474 | CARRET |
| 333 | 7623728.859 | 348013.8915 | 2235.3919 | | 406 | 7623647.016 | 348336.061 | 2339.79 | CARRET |
| 334 | 7623727.919 | 348077.7569 | 2247.777 | CARRET | 407 | 7623637.459 | 348338.964 | 2339.2269 | CARRET |
| 335 | 7623738.447 | 348038.714 | 2236.9644 | | 408 | 7623632.946 | 348336.0379 | 2338.543 | CARRET |
| 336 | 7623718.329 | 348074.474 | 2247.2163 | CARRET | 409 | 7623625.956 | 348310.7024 | 2332.8272 | |
| 337 | 7623739.964 | 348053.194 | 2238.4658 | | 410 | 7623642.978 | 348296.961 | 2325.878 | |
| 338 | 7623770.632 | 348087.5835 | 2235.4757 | | 411 | 7623616.581 | 348303.8227 | 2331.6661 | |
| 339 | 7623740.851 | 348070.9456 | 2241.1813 | | 412 | 7623627.437 | 348289.709 | 2324.0627 | |
| 340 | 7623765.958 | 348103.4515 | 2237.9476 | | 413 | 7623605.886 | 348294.772 | 2330.4312 | |
| 341 | 7623741.712 | 348097.1724 | 2244.2265 | | 414 | 7623614.218 | 348281.1194 | 2323.72 | |
| 342 | 7623755.185 | 348121.7164 | 2243.3624 | | 415 | 7623591.921 | 348285.0069 | 2330.318 | |
| 343 | 7623720.919 | 348084.6978 | 2248.435 | CARRET | 416 | 7623601.127 | 348270.1871 | 2323.5557 | |
| 344 | 7623755.241 | 348121.7594 | 2243.3265 | | 417 | 7623585.594 | 348277.9419 | 2329.7743 | |
| 345 | 7623732.192 | 348111.808 | 2248.4887 | | 418 | 7623582.161 | 348265.784 | 2327.4649 | |
| 346 | 7623714.953 | 348078.9435 | 2247.8989 | CARRET | 419 | 7623586.606 | 348254.8284 | 2321.2009 | |
| 347 | 7623738.417 | 348130.9222 | 2249.8855 | | 420 | 7623576.238 | 348275.6953 | 2330.205 | |
| 348 | 7623706.152 | 348121.7487 | 2259.4948 | | 421 | 7623571.566 | 348258.527 | 2326.0034 | |
| 349 | 7623700.015 | 348068.8645 | 2249.7473 | CARRET | 422 | 7623555.764 | 348270.7971 | 2330.7795 | |
| 350 | 7623716.658 | 348136.473 | 2257.7667 | | 423 | 7623570.749 | 348242.3593 | 2318.8461 | |
| 351 | 7623697.947 | 348104.7823 | 2261.5292 | | 424 | 7623561.596 | 348251.4919 | 2325.4391 | |
| 352 | 7623696.614 | 348072.9061 | 2249.7008 | CARRET | 425 | 7623532.128 | 348263.8433 | 2329.6941 | |
| 353 | 7623700.406 | 348132.0339 | 2262.8588 | | 426 | 7623560.528 | 348238.3221 | 2319.2309 | |
| 354 | 7623684.33 | 348053.8303 | 2251.3452 | CARRET | 427 | 7623546.313 | 348245.7853 | 2324.9811 | |
| 355 | 7623706.288 | 348089.657 | 2253.2716 | | 428 | 7623508.378 | 348261.1403 | 2327.9208 | |
| 356 | 7623687.996 | 348049.0033 | 2251.7113 | CARRET | 429 | 7623551.803 | 348233.9136 | 2318.4309 | |
| 357 | 7623697.491 | 348080.8139 | 2254.2074 | | 430 | 7623523.865 | 348238.4836 | 2323.8434 | |
| 358 | 7623687.039 | 348117.8941 | 2267.4301 | | 431 | 7623541.45 | 348233.4198 | 2319.6836 | |
| 359 | 7623688.124 | 348085.9735 | 2258.2309 | | 432 | 7623488.612 | 348254.1677 | 2324.968 | |
| 360 | 7623694.874 | 348052.143 | 2252.3508 | | 433 | 7623516.2 | 348230.9273 | 2321.5691 | |

| Nº | Norte | Este | Altura | Descripción | Nº | Norte | Este | Altura | Descripción |
|-----|-------------|-------------|-----------|-------------|-----|-------------|-------------|-----------|-------------|
| 434 | 7623488.771 | 348235.7285 | 2321.9557 | | 504 | 7623662.841 | 348056.0355 | 2262.3025 | |
| 435 | 7623532.867 | 348229.4787 | 2319.148 | | 505 | 7623636.768 | 348041.3702 | 2266.0739 | |
| 436 | 7623525.668 | 348221.3249 | 2317.3178 | | 506 | 7623710.35 | 348118.9543 | 2256.6642 | |
| 437 | 7623500.279 | 348221.4978 | 2318.7951 | | 507 | 7623650.701 | 348038.6082 | 2262.3587 | |
| 438 | 7623539.065 | 348219.601 | 2314.6554 | | 508 | 7623627.391 | 348031.3781 | 2265.4268 | |
| 439 | 7623512.434 | 348206.1644 | 2316.1985 | | 509 | 7623637.611 | 348015.3564 | 2259.6188 | |
| 440 | 7623531.581 | 348208.7782 | 2312.8543 | | 510 | 7623727.791 | 348114.7583 | 2250.0502 | |
| 441 | 7623544.14 | 348206.0484 | 2309.0447 | | 511 | 7623640.462 | 348039.8067 | 2266.0809 | |
| 442 | 7623516.81 | 348183.0137 | 2311.0432 | | 512 | 7623746.685 | 348108.0437 | 2243.1441 | |
| 443 | 7623539.883 | 348194.0204 | 2306.8643 | | 513 | 7623631.848 | 348027.6087 | 2265.2429 | |
| 444 | 7623548.565 | 348197.1991 | 2305.5774 | | 514 | 7623617.992 | 348020.6041 | 2265.8512 | |
| 445 | 7623514.061 | 348168.4677 | 2309.9336 | | 515 | 7623626.987 | 348016.9412 | 2265.2902 | |
| 446 | 7623539.732 | 348179.3358 | 2305.1069 | | 516 | 7623756.97 | 348091.4928 | 2238.4827 | |
| 447 | 7623548.858 | 348169.4499 | 2303.2484 | | 517 | 7623621.736 | 348011.7636 | 2265.6699 | |
| 448 | 7623533.923 | 348159.9625 | 2306.5716 | | 518 | 7623609.067 | 348010.9355 | 2263.8825 | |
| 449 | 7623548.066 | 348151.5222 | 2304.7923 | | 519 | 7623741.945 | 348097.7378 | 2243.5796 | |
| 450 | 7623515.605 | 348147.2877 | 2306.403 | | 520 | 7623611.334 | 347999.88 | 2262.5241 | |
| 451 | 7623503.018 | 348154.4749 | 2306.9636 | | 521 | 7623600.427 | 348001.5105 | 2262.4383 | |
| 452 | 7623538.554 | 348135.4398 | 2303.4171 | | 522 | 7623599.387 | 347995.0672 | 2261.4154 | |
| 453 | 7623503.942 | 348133.0731 | 2304.9434 | | 523 | 7623608.831 | 347994.4708 | 2261.0153 | |
| 454 | 7623489.597 | 348137.6053 | 2305.1817 | | 524 | 7623730.308 | 348094.0032 | 2246.8701 | |
| 455 | 7623503.944 | 348133.1108 | 2304.9848 | | 525 | 7623615.853 | 347996.6806 | 2260.0516 | |
| 456 | 7623502.461 | 348123.4348 | 2302.7046 | | 526 | 7623625.988 | 348003.9685 | 2259.2099 | |
| 457 | 7623478.02 | 348122.7086 | 2302.6493 | | 527 | 7623715.615 | 348097.5971 | 2252.0317 | |
| 458 | 7623505.851 | 348112.4531 | 2299.9905 | | 528 | 7623634.848 | 348010.6908 | 2258.2459 | |
| 459 | 7623472.773 | 348104.4188 | 2298.8258 | | 529 | 7623733.383 | 348076.6981 | 2243.4575 | |
| 460 | 7623513.635 | 348087.3342 | 2293.903 | | 530 | 7623642.061 | 348016.7531 | 2257.3765 | |
| 461 | 7623468.697 | 348085.4525 | 2296.9946 | | 531 | 7623647.707 | 348019.6752 | 2256.2559 | |
| 462 | 7623508.45 | 348075.9865 | 2292.4834 | | 532 | 7623741.647 | 348070.225 | 2240.1858 | |
| 463 | 7623471.362 | 348073.3992 | 2294.2165 | | 533 | 7623657.849 | 348028.4349 | 2256.544 | |
| 464 | 7623522.526 | 348086.5718 | 2293.2338 | | 534 | 7623753.874 | 348067.5472 | 2235.6788 | |
| 465 | 7623484.154 | 348067.6014 | 2291.5567 | | 535 | 7623666.677 | 348038.6849 | 2257.2088 | |
| 466 | 7623537.213 | 348089.9571 | 2292.9017 | | 536 | 7623674.67 | 348049.9039 | 2256.0001 | |
| 467 | 7623503.626 | 348061.3288 | 2289.342 | | 537 | 7623752.232 | 348054.3896 | 2233.9973 | |
| 468 | 7623556.945 | 348098.9534 | 2292.4675 | | 538 | 7623682.881 | 348062.2625 | 2255.0544 | |
| 469 | 7623529.88 | 348055.4038 | 2285.3507 | | 539 | 7623740.207 | 348060.1844 | 2239.0328 | |
| 470 | 7623565.059 | 348093.0029 | 2289.9394 | | 540 | 7623728.804 | 348062.8633 | 2242.7625 | |
| 471 | 7623556.195 | 348078.4334 | 2287.5076 | | 541 | 7623777.477 | 348045.9423 | 2240.8131 | |
| 472 | 7623552.486 | 348055.2014 | 2283.4442 | | 542 | 7623675.838 | 348024.5042 | 2253.0962 | |
| 473 | 7623563.922 | 348086.3302 | 2288.3614 | | 543 | 7623668.398 | 348034.5183 | 2253.0123 | CARRET |
| 474 | 7623566.992 | 348075.1005 | 2285.3122 | | 544 | 7623735.854 | 348038.6127 | 2237.2091 | |
| 475 | 7623569.399 | 348056.9528 | 2281.5254 | | 546 | 7623656.368 | 348023.8251 | 2254.2641 | CARRET |
| 476 | 7623573.715 | 348082.3075 | 2286.0599 | | 547 | 7623749.304 | 348037.6889 | 2233.0431 | |
| 477 | 7623581.1 | 348072.1038 | 2282.447 | | 549 | 7623642.447 | 348013.0243 | 2255.322 | CARRET |
| 478 | 7623585.006 | 348064.1462 | 2280.0856 | | 550 | 7623743.408 | 348023.3197 | 2231.7575 | |
| 479 | 7623586.365 | 348087.2333 | 2285.7723 | | 551 | 7623629.301 | 348002.3068 | 2256.4234 | CARRET |
| 480 | 7623595.359 | 348080.3051 | 2282.5261 | | 552 | 7623632.913 | 347996.5957 | 2256.4709 | CARRET |
| 481 | 7623603.484 | 348070.7416 | 2278.5684 | | 553 | 7623734.94 | 348031.3111 | 2236.092 | |
| 482 | 7623602.047 | 348095.5781 | 2286.9014 | | 554 | 7623614.791 | 347993.079 | 2257.7158 | CARRET |
| 483 | 7623608.367 | 348086.7911 | 2283.4265 | | 555 | 7623615.358 | 347984.2351 | 2257.888 | CARRET |
| 484 | 7623616.641 | 348079.2229 | 2279.2455 | | 556 | 7623723.281 | 348038.6618 | 2240.7563 | |
| 485 | 7623618.986 | 348102.5091 | 2287.4987 | | 557 | 7623598.942 | 347991.534 | 2259.6749 | CARRET |
| 486 | 7623626.041 | 348094.6319 | 2283.4119 | | 558 | 7623602.087 | 347983.8448 | 2259.2276 | CARRET |
| 487 | 7623629.71 | 348088.6974 | 2280.1999 | | 559 | 7623717.961 | 348021.1352 | 2239.3417 | CARRET |
| 488 | 7623637.288 | 348111.6226 | 2285.6496 | | 560 | 7623597.562 | 348006.1379 | 2261.5877 | CARRET |
| 489 | 7623642.239 | 348107.2389 | 2282.8718 | | 561 | 7623592.448 | 347988.9875 | 2260.4877 | CARRET |
| 490 | 7623645.779 | 348093.2748 | 2277.4532 | | 562 | 7623731.718 | 348020.5398 | 2234.6303 | |
| 491 | 7623644.372 | 348121.6726 | 2283.6812 | | 563 | 7623588.108 | 347994.4475 | 2261.278 | CARRET |
| 492 | 7623657.298 | 348107.8602 | 2277.3924 | | 564 | 7623580.611 | 347986.181 | 2260.2339 | |
| 493 | 7623658.667 | 348087.5486 | 2277.0441 | | 565 | 7623589.242 | 347999.8329 | 2261.3941 | CARRET |
| 494 | 7623659.501 | 348119.4352 | 2277.9597 | | 566 | 7623593.693 | 348008.663 | 2261.7286 | CARRET |
| 495 | 7623666.429 | 348097.9694 | 2270.7393 | | 567 | 7623603.667 | 348019.5535 | 2262.5663 | CARRET |
| 496 | 7623671.097 | 348112.8623 | 2272.6508 | | 568 | 7623728.749 | 348011.157 | 2234.5075 | |
| 497 | 7623660.46 | 348076.5577 | 2270.497 | CARRET | 569 | 7623603.655 | 348019.6743 | 2262.5693 | CARRET |
| 498 | 7623670.548 | 348087.6205 | 2266.738 | | 570 | 7623603.649 | 348019.659 | 2262.5754 | CARRET |
| 499 | 7623683.348 | 348118.2114 | 2268.1027 | | 571 | 7623621.788 | 348039.0675 | 2264.3687 | CARRET |
| 500 | 7623654.167 | 348063.6836 | 2268.6633 | CARRET | 572 | 7623717.203 | 348011.0616 | 2237.5439 | CARRET |
| 501 | 7623670.241 | 348071.1685 | 2263.1864 | | 573 | 7623627.087 | 348036.1488 | 2264.709 | |
| 502 | 7623698.773 | 348124.0443 | 2261.8519 | | 574 | 7623627.063 | 348036.115 | 2264.6949 | CARRET |
| 503 | 7623647.972 | 348053.2737 | 2267.4675 | | 575 | 7623714.579 | 347999.0245 | 2237.2713 | CARRET |

| Nº | Norte | Este | Altura | Descripción | Nº | Norte | Este | Altura | Descripción |
|-----|-------------|-------------|-----------|-------------|-----|-------------|-------------|-----------|-------------|
| 576 | 7623641.794 | 348059.0785 | 2267.2541 | CARRET | 648 | 7623578.68 | 348046.4568 | 2277.3684 | |
| 577 | 7623639.847 | 348047.8327 | 2266.2646 | CARRET | 649 | 7623581.235 | 348031.8471 | 2275.1227 | |
| 578 | 7623647.612 | 348068.0249 | 2268.4538 | | 650 | 7623559.802 | 348005.4471 | 2270.6583 | |
| 579 | 7623696.766 | 347990.0457 | 2238.3539 | | 651 | 7623589.771 | 348040.4427 | 2274.3802 | |
| 580 | 7623647.615 | 348068.0129 | 2268.5291 | CARRET | 652 | 7623574.455 | 348008.4801 | 2270.9504 | |
| 581 | 7623644.892 | 348076.7475 | 2270.3736 | CARRET | 653 | 7623581.005 | 348047.1089 | 2277.2445 | |
| 582 | 7623651.561 | 348084.165 | 2270.5559 | CARRET | 654 | 7623578.404 | 348019.2493 | 2274.2657 | |
| 583 | 7623699.526 | 348001.7713 | 2240.1402 | | 655 | 7623599.838 | 348052.4624 | 2274.7792 | |
| 584 | 7623640.056 | 348084.2179 | 2271.317 | CARRET | 656 | 7623600.626 | 348041.333 | 2271.5435 | |
| 585 | 7623702.868 | 348014.4887 | 2241.1366 | | 657 | 7623595.87 | 348028.3953 | 2270.6276 | |
| 586 | 7623623.118 | 348077.3176 | 2273.1784 | CARRET | 658 | 7623614.04 | 348048.3705 | 2270.8079 | |
| 587 | 7623659.379 | 348084.384 | 2269.9104 | | 659 | 7623617.095 | 348061.231 | 2274.7539 | |
| 588 | 7623703.869 | 348025.5451 | 2242.9975 | | 660 | 7623602.92 | 348025.5968 | 2268.1037 | |
| 589 | 7623641.468 | 348076.5904 | 2270.8977 | CARRET | 661 | 7623617.031 | 348064.8982 | 2275.0008 | CARRET |
| 590 | 7623628.2 | 348071.9577 | 2273.1593 | CARRET | 662 | 7623634.581 | 348059.3683 | 2270.7105 | |
| 591 | 7623705.314 | 348034.3827 | 2245.0308 | | 663 | 7623593.725 | 348015.7856 | 2267.4445 | |
| 592 | 7623613.749 | 348064.0448 | 2275.2233 | CARRET | 664 | 7623632.247 | 348068.4623 | 2274.2792 | |
| 593 | 7623637.303 | 348076.5238 | 2271.7055 | CARRET | 665 | 7623643.417 | 348070.3709 | 2272.2506 | |
| 594 | 7623610.797 | 348070.5332 | 2274.5657 | CARRET | 666 | 7623634.888 | 348064.8249 | 2273.4045 | |
| 595 | 7623709.556 | 348045.6661 | 2245.9833 | | 667 | 7623640.083 | 348074.896 | 2272.6736 | |
| 596 | 7623598.22 | 348064.168 | 2276.0736 | CARRET | 668 | 7623586.524 | 348007.4965 | 2266.3348 | |
| 597 | 7623601.324 | 348057.3955 | 2276.3936 | CARRET | 669 | 7623640.901 | 348067.3453 | 2272.5775 | |
| 598 | 7623712.624 | 348066.0449 | 2247.6955 | | 670 | 7623627.897 | 348053.8982 | 2269.7804 | |
| 599 | 7623581.85 | 348057.6561 | 2277.9746 | CARRET | 671 | 7623583.598 | 347998.5341 | 2264.5865 | |
| 600 | 7623581.622 | 348051.0234 | 2278.4604 | CARRET | 672 | 7623611.163 | 348033.5776 | 2267.6975 | |
| 601 | 7623557.721 | 348051.1654 | 2280.5466 | CARRET | 673 | 7623606.812 | 348028.9691 | 2267.8969 | |
| 602 | 7623558.987 | 348044.0305 | 2281.2004 | CARRET | 674 | 7623585.467 | 347990.6558 | 2261.1684 | |
| 603 | 7623535.11 | 348053.3154 | 2282.842 | CARRET | 675 | 7623569.458 | 347988.2488 | 2261.1623 | |
| 604 | 7623529.448 | 348045.8174 | 2283.567 | CARRET | 676 | 7623587.379 | 347985.5437 | 2261.4347 | |
| 605 | 7623510.899 | 348055.671 | 2286.0428 | CARRET | 677 | 7623574.768 | 347984.0913 | 2258.8387 | |
| 606 | 7623509.341 | 348050.0201 | 2285.9644 | CARRET | 678 | 7623556.903 | 347991.2684 | 2260.0381 | |
| 607 | 7623494.55 | 348059.9746 | 2288.1549 | CARRET | 679 | 7623580.922 | 347975.6918 | 2254.7463 | |
| 608 | 7623493.229 | 348054.8224 | 2288.0552 | CARRET | 680 | 7623595.219 | 347975.2745 | 2253.2811 | |
| 609 | 7623474.018 | 348067.3529 | 2291.3989 | CARRET | 682 | 7623614.488 | 347973.2302 | 2251.3314 | |
| 610 | 7623471.821 | 348061.9924 | 2291.3831 | CARRET | 683 | 7623562.891 | 347980.64 | 2256.3137 | |
| 612 | 7623457.982 | 348073.3439 | 2293.2592 | | 684 | 7623615.406 | 347983.9762 | 2257.8864 | CARRET |
| 613 | 7623703.452 | 348065.5048 | 2250.9829 | | 685 | 7623566.893 | 347968.7151 | 2250.0967 | |
| 614 | 7623455.216 | 348080.6829 | 2293.9817 | | 686 | 7623628.321 | 347993.4205 | 2256.8351 | CARRET |
| 616 | 7623694.28 | 348053.1133 | 2252.1731 | | 687 | 7623580.227 | 347964.3706 | 2248.8576 | |
| 617 | 7623685.277 | 348038.393 | 2252.9954 | | 688 | 7623637.069 | 347975.8329 | 2250.0092 | |
| 618 | 7623675.767 | 348026.146 | 2253.2076 | | 689 | 7623596.434 | 347964.4131 | 2247.4885 | |
| 619 | 7623455.432 | 348069.2892 | 2292.252 | | 690 | 7623638.782 | 348000.8304 | 2256.143 | CARRET |
| 620 | 7623447.68 | 348069.7893 | 2289.4293 | | 691 | 7623610.737 | 347957.6407 | 2243.2831 | |
| 621 | 7623457.462 | 348070.9397 | 2292.3168 | | 692 | 7623650.195 | 348006.4853 | 2255.4517 | CARRET |
| 622 | 7623453.287 | 348061.3789 | 2287.6011 | | 693 | 7623566.663 | 347997.9983 | 2250.3192 | |
| 623 | 7623438.001 | 348062.186 | 2281.2505 | | 694 | 7623635.219 | 347955.9845 | 2242.7095 | |
| 624 | 7623462.181 | 348067.1773 | 2291.9734 | | 695 | 7623662.013 | 348005.6745 | 2249.8469 | |
| 625 | 7623447.536 | 348051.1376 | 2281.4121 | | 696 | 7623660.56 | 348017.4237 | 2254.4173 | CARRET |
| 626 | 7623470.548 | 348056.1123 | 2287.394 | | 697 | 7623652.687 | 347970.1222 | 2246.6081 | |
| 627 | 7623454.586 | 348051.2997 | 2282.9444 | | 698 | 7623670.786 | 348024.9064 | 2253.6157 | CARRET |
| 628 | 7623454.895 | 348040.8551 | 2278.8473 | | 699 | 7623669.608 | 348010.4646 | 2248.6358 | |
| 629 | 7623487.918 | 348049.9766 | 2285.6542 | | 700 | 7623662.946 | 347988.3266 | 2246.6659 | |
| 630 | 7623462.806 | 348025.7758 | 2274.6854 | | 701 | 7623675.767 | 348024.1249 | 2252.9564 | |
| 631 | 7623501.62 | 348048.483 | 2285.1109 | | 702 | 7623682.018 | 348014.6011 | 2246.5414 | |
| 632 | 7623473.855 | 348025.1882 | 2276.553 | | 703 | 7623673.139 | 347999.5435 | 2245.8868 | |
| 633 | 7623475.417 | 348034.2239 | 2280.0422 | | 704 | 7623679.304 | 348034.6399 | 2252.7472 | CARRET |
| 634 | 7623516.954 | 348045.6179 | 2283.7141 | | 705 | 7623694.768 | 348031.7868 | 2247.1245 | |
| 635 | 7623479.005 | 348046.2398 | 2283.9653 | | 706 | 7623684.436 | 347989.1879 | 2241.7885 | |
| 636 | 7623531.114 | 348042.2878 | 2281.995 | | 707 | 7623683.051 | 348030.6191 | 2252.9271 | |
| 637 | 7623498.277 | 348037.0842 | 2281.2975 | | 708 | 7623689.442 | 348038.8442 | 2252.5903 | |
| 638 | 7623500.473 | 348028.126 | 2278.7216 | | 709 | 7623696.896 | 347990.1766 | 2238.3297 | |
| 639 | 7623510.739 | 348028.6928 | 2278.7363 | | 710 | 7623687.372 | 348042.6916 | 2252.8055 | |
| 640 | 7623519.538 | 348022.1511 | 2274.9499 | | 711 | 7623697.419 | 348049.9513 | 2252.1117 | |
| 641 | 7623543.239 | 348041.6105 | 2280.9244 | | 712 | 7623693.866 | 348053.4139 | 2252.1486 | |
| 642 | 7623531.888 | 348014.2537 | 2272.3816 | | 713 | 7623703.99 | 348056.955 | 2251.1997 | |
| 643 | 7623553.3 | 348038.0014 | 2279.5831 | | 714 | 7623699.438 | 348063.1622 | 2251.081 | |
| 644 | 7623543.875 | 348018.4796 | 2274.2212 | | 715 | 7623691.137 | 347971.4238 | 2236.9685 | |
| 645 | 7623568.23 | 348042.9615 | 2278.4691 | | 716 | 7623709.692 | 348045.7492 | 2245.9288 | |
| 646 | 7623569.562 | 348030.7209 | 2276.8501 | | 717 | 7623662.613 | 347973.154 | 2244.6891 | |
| 647 | 7623548.278 | 348014.8004 | 2272.7193 | | 718 | 7623691.751 | 347973.2424 | 2237.383 | |

| Nº | Norte | Este | Altura | Descripción | Nº | Norte | Este | Altura | Descripción |
|-----|-------------|-------------|-----------|-------------|-----|-------------|-------------|-----------|-------------|
| 719 | 7623686.03 | 347959.1724 | 2236.2818 | | 791 | 7623399.041 | 347859.6014 | 2227.1061 | |
| 720 | 7623674.151 | 347973.0174 | 2240.5649 | | 792 | 7623387.562 | 347855.3319 | 2230.6084 | |
| 721 | 7623684.059 | 347951.1205 | 2234.6717 | | 793 | 7623410.482 | 347852.0834 | 2226.0656 | |
| 722 | 7623680.308 | 347938.86 | 2231.8471 | | 794 | 7623397.195 | 347850.3922 | 2228.9607 | |
| 723 | 7623658.853 | 347955.5336 | 2241.4656 | | 795 | 7623385.776 | 347847.1575 | 2233.1294 | |
| 724 | 7623667.75 | 347946.1268 | 2236.0185 | | 796 | 7623396.544 | 347839.8392 | 2230.1378 | |
| 725 | 7623672.446 | 347929.6457 | 2228.3067 | | 797 | 7623377.607 | 347837.1867 | 2234.1418 | |
| 726 | 7623658.13 | 347940.1255 | 2235.57 | | 798 | 7623396.515 | 347839.8856 | 2230.197 | |
| 727 | 7623648.971 | 347948.6856 | 2238.9779 | | 799 | 7623406.919 | 347832.9706 | 2227.8631 | |
| 728 | 7623660.366 | 347925.8299 | 2229.4443 | | 800 | 7623389.437 | 347814.8627 | 2234.0405 | |
| 729 | 7623648.991 | 347937.3622 | 2234.3522 | | 801 | 7623396.148 | 347826.8691 | 2230.9323 | |
| 730 | 7623635.272 | 347942.9422 | 2236.525 | | 802 | 7623402.197 | 347806.3054 | 2227.9644 | |
| 731 | 7623647.456 | 347924.7246 | 2229.317 | | 804 | 7623396.623 | 347806.6856 | 2229.5545 | |
| 732 | 7623621.656 | 347946.1554 | 2238.1353 | | 805 | 7623373.436 | 347804.6836 | 2236.0242 | |
| 733 | 7623632.804 | 347933.2266 | 2232.3938 | | 806 | 7623400.135 | 347792.1877 | 2228.9137 | |
| 734 | 7623635.971 | 347926.5324 | 2229.5921 | | 807 | 7623389.129 | 347805.7215 | 2233.1453 | |
| 735 | 7623610.069 | 347944.5202 | 2237.8322 | | 808 | 7623400.076 | 347792.103 | 2228.8754 | |
| 736 | 7623621.112 | 347924.1522 | 2227.7535 | | 809 | 7623383.302 | 347795.5863 | 2233.5429 | |
| 737 | 7623625.187 | 347934.1063 | 2233.1411 | | 810 | 7623402.719 | 347764.5638 | 2231.1106 | |
| 738 | 7623598.402 | 347945.4608 | 2237.9634 | | 811 | 7623375.225 | 347795.45 | 2234.274 | |
| 739 | 7623607.527 | 347923.6027 | 2227.214 | | 812 | 7623381.313 | 347786.8403 | 2233.2987 | |
| 740 | 7623608.129 | 347935.6995 | 2233.6179 | | 813 | 7623366.324 | 347794.4824 | 2236.9119 | |
| 741 | 7623589.128 | 347944.1148 | 2237.56 | | 814 | 7623385.883 | 347786.1691 | 2232.9578 | |
| 742 | 7623591.355 | 347935.7385 | 2233.6189 | | 815 | 7623367.568 | 347781.3337 | 2237.3986 | |
| 743 | 7623593.086 | 347925.8638 | 2228.8216 | | 816 | 7623386.532 | 347776.2096 | 2232.9079 | |
| 744 | 7623580.447 | 347948.5348 | 2238.6192 | | 817 | 7623397.399 | 347764.4015 | 2232.0478 | |
| 745 | 7623582.667 | 347937.3098 | 2233.993 | | 818 | 7623392.202 | 347773.8205 | 2232.599 | |
| 746 | 7623578.619 | 347927.924 | 2225.3259 | | 819 | 7623368.39 | 347770.6132 | 2238.1217 | |
| 747 | 7623572.698 | 347949.5278 | 2237.9454 | | 820 | 7623393.906 | 347763.5419 | 2232.3646 | |
| 748 | 7623568.17 | 347940.5485 | 2230.9259 | | 821 | 7623381.398 | 347774.2111 | 2234.8427 | |
| 749 | 7623566.105 | 347929.393 | 2222.4099 | | 823 | 7623368.426 | 347754.2646 | 2239.1722 | |
| 750 | 7623561.593 | 347951.6213 | 2236.3571 | | 824 | 7623390.573 | 347761.4443 | 2234.9928 | |
| 751 | 7623553.632 | 347943.5818 | 2225.999 | | 825 | 7623392.995 | 347744.7638 | 2233.0272 | |
| 752 | 7623555.262 | 347928.2346 | 2217.699 | | 826 | 7623360.815 | 347742.694 | 2241.2946 | |
| 753 | 7623553.218 | 347953.6501 | 2235.8458 | | 827 | 7623381.279 | 347748.4569 | 2236.4775 | |
| 754 | 7623530.243 | 347945.7445 | 2220.6487 | | 828 | 7623382.527 | 347734.0354 | 2234.2062 | |
| 755 | 7623543.103 | 347955.1859 | 2232.5403 | | 829 | 7623368.322 | 347735.6758 | 2238.6041 | |
| 756 | 7623542.674 | 347927.3598 | 2215.1868 | | 830 | 7623351.474 | 347735.5149 | 2243.8955 | |
| 757 | 7623516.609 | 347945.1564 | 2219.3078 | | 831 | 7623370.89 | 347724.6462 | 2234.7581 | |
| 758 | 7623534.833 | 347956.4957 | 2229.0803 | | 832 | 7623356.748 | 347725.2258 | 2239.968 | |
| 759 | 7623525.662 | 347939.2797 | 2217.3345 | | 833 | 7623337.762 | 347724.7922 | 2247.7308 | |
| 760 | 7623525.647 | 347922.8435 | 2213.5376 | | 834 | 7623347.274 | 347719.7509 | 2241.1769 | |
| 761 | 7623511.775 | 347931.9827 | 2215.422 | | 835 | 7623357.41 | 347714.8155 | 2233.9426 | |
| 762 | 7623509.494 | 347918.132 | 2212.5632 | | 836 | 7623331.852 | 347714.6531 | 2247.3672 | |
| 763 | 7623495.506 | 347928.3443 | 2213.9723 | | 837 | 7623325.705 | 347709.352 | 2248.1783 | |
| 764 | 7623513.24 | 347952.3688 | 2221.5967 | | 838 | 7623337.017 | 347711.4097 | 2242.4881 | |
| 765 | 7623468.726 | 347930.1453 | 2213.5171 | | 839 | 7623346.577 | 347701.179 | 2231.423 | |
| 766 | 7623495.4 | 347947.0305 | 2219.3266 | | 840 | 7623317.369 | 347702.2361 | 2248.6865 | |
| 767 | 7623495.628 | 347912.1442 | 2211.4 | | 841 | 7623328.636 | 347699.1982 | 2240.3166 | |
| 768 | 7623454.115 | 347924.9077 | 2213.2055 | | 842 | 7623338.21 | 347689.1254 | 2229.8676 | |
| 769 | 7623438.322 | 347906.6272 | 2209.5324 | | 843 | 7623308.644 | 347693.7581 | 2245.5947 | |
| 770 | 7623462.003 | 347943.961 | 2216.0174 | | 844 | 7623321.153 | 347690.6228 | 2238.5039 | |
| 771 | 7623455.617 | 347910.4457 | 2210.5836 | | 845 | 7623328.583 | 347669.8289 | 2224.7075 | |
| 772 | 7623458.157 | 347899.5117 | 2208.8507 | | 846 | 7623314.066 | 347678.6686 | 2236.2651 | |
| 773 | 7623436.344 | 347903.2169 | 2209.225 | | 847 | 7623303.343 | 347683.7651 | 2244.0053 | |
| 774 | 7623485.001 | 347895.1098 | 2208.6121 | | 848 | 7623319.585 | 347651.5585 | 2222.324 | |
| 775 | 7623484.23 | 347872.8855 | 2213.4986 | | 849 | 7623305.51 | 347666.4216 | 2233.8096 | |
| 776 | 7623453.027 | 347875.9259 | 2218.4401 | | 850 | 7623296.246 | 347671.9272 | 2241.5328 | |
| 777 | 7623444.101 | 347880.4663 | 2218.6215 | | 851 | 7623301.77 | 347657.5891 | 2232.7625 | |
| 778 | 7623476.991 | 347871.9678 | 2217.2147 | | 852 | 7623293.628 | 347661.3962 | 2238.9469 | |
| 779 | 7623433.545 | 347879.0155 | 2219.0554 | | 853 | 7623314.825 | 347638.2835 | 2221.0964 | |
| 781 | 7623429.022 | 347876.5446 | 2219.4663 | CARRET | 854 | 7623299.997 | 347646.0231 | 2229.3471 | |
| 782 | 7623419.557 | 347869.6729 | 2221.1512 | | 855 | 7623289.683 | 347649.6873 | 2236.3276 | |
| 784 | 7623439.604 | 347868.3641 | 2217.7742 | CARRET | 856 | 7623311.511 | 347620.7453 | 2219.6051 | |
| 785 | 7623419.66 | 347869.3405 | 2221.1933 | | 857 | 7623295.018 | 347633.7949 | 2228.1069 | |
| 786 | 7623430.373 | 347867.2599 | 2219.4372 | CARRET | 858 | 7623285.736 | 347640.673 | 2235.2191 | |
| 787 | 7623425.349 | 347864.5953 | 2220.3605 | CARRET | 859 | 7623313.245 | 347600.5068 | 2217.2539 | |
| 788 | 7623416.637 | 347861.9089 | 2221.7945 | | 860 | 7623280.993 | 347627.0049 | 2233.331 | |
| 789 | 7623413.488 | 347866.9462 | 2223.1163 | | 861 | 7623289.815 | 347620.5234 | 2227.6042 | |
| 790 | 7623383.336 | 347868.8695 | 2227.5716 | | 862 | 7623279.619 | 347616.7918 | 2230.6512 | |

| Nº | Norte | Este | Altura | Descripción | Nº | Norte | Este | Altura | Descripción |
|-----|-------------|-------------|-----------|-------------|------|-------------|-------------|-----------|-------------|
| 863 | 7623293.024 | 347605.5233 | 2223.0832 | | 934 | 7623403.882 | 347437.6861 | 2241.3484 | |
| 864 | 7623280.391 | 347607.506 | 2227.3668 | | 935 | 7623403.726 | 347419.9419 | 2229.8966 | |
| 865 | 7623317.413 | 347578.6028 | 2217.9568 | | 936 | 7623419.336 | 347411.1705 | 2221.7995 | |
| 866 | 7623288.058 | 347587.3072 | 2221.4911 | | 937 | 7623391.196 | 347432.1376 | 2239.7522 | |
| 867 | 7623279.706 | 347595.8272 | 2225.9733 | | 938 | 7623391.387 | 347408.6882 | 2229.696 | |
| 868 | 7623292.986 | 347578.4361 | 2224.4444 | | 939 | 7623408.751 | 347396.7386 | 2221.1335 | |
| 869 | 7623279.912 | 347581.2767 | 2227.9314 | | 940 | 7623377.711 | 347418.071 | 2238.134 | |
| 870 | 7623307.619 | 347560.9978 | 2224.5319 | | 941 | 7623377.517 | 347399.4334 | 2230.7921 | |
| 871 | 7623286.397 | 347571.8017 | 2231.2622 | | 942 | 7623392.392 | 347394.0785 | 2224.5955 | |
| 872 | 7623324.816 | 347557.9733 | 2220.0211 | | 943 | 7623362.844 | 347405.8176 | 2238.0339 | |
| 873 | 7623289.119 | 347561.1067 | 2232.4513 | | 944 | 7623362.939 | 347390.8548 | 2232.0467 | |
| 874 | 7623315.203 | 347549.3229 | 2227.0849 | | 945 | 7623371.074 | 347372.7175 | 2225.255 | |
| 875 | 7623300.71 | 347551.3163 | 2230.8748 | | 946 | 7623351.017 | 347399.8534 | 2238.4487 | |
| 876 | 7623335.011 | 347549.2776 | 2220.8687 | | 947 | 7623348.346 | 347378.8352 | 2231.9146 | |
| 877 | 7623324.04 | 347535.9834 | 2233.8367 | | 948 | 7623357.537 | 347360.0551 | 2224.1832 | |
| 878 | 7623333.707 | 347529.078 | 2237.7231 | | 949 | 7623334.366 | 347389.0777 | 2238.2912 | |
| 879 | 7623325.035 | 347543.0176 | 2228.7938 | | 950 | 7623331.078 | 347371.4907 | 2233.3653 | |
| 880 | 7623347.732 | 347520.1672 | 2240.5286 | | 951 | 7623340.955 | 347350.1206 | 2223.3891 | |
| 881 | 7623333.589 | 347535.7957 | 2232.357 | | 952 | 7623307.429 | 347374.4738 | 2239.077 | |
| 882 | 7623354.428 | 347516.6172 | 2242.1236 | | 953 | 7623309.082 | 347363.3968 | 2234.5328 | |
| 883 | 7623351.121 | 347527.457 | 2234.8608 | | 954 | 7623319.123 | 347339.35 | 2223.8724 | |
| 884 | 7623365.908 | 347509.9936 | 2247.5905 | | 955 | 7623291.873 | 347366.7376 | 2239.5371 | |
| 885 | 7623361.672 | 347525.0725 | 2235.0077 | | 956 | 7623294.203 | 347350.2738 | 2232.5652 | |
| 886 | 7623340.658 | 347552.0941 | 2215.8005 | CARRET | 957 | 7623296.236 | 347330.4937 | 2223.5099 | |
| 887 | 7623374.859 | 347502.2421 | 2251.7576 | | 958 | 7623281.096 | 347359.0179 | 2238.5556 | |
| 888 | 7623349.625 | 347555.5081 | 2215.9097 | CARRET | 959 | 7623277.224 | 347341.2749 | 2231.8526 | |
| 889 | 7623374.255 | 347524.6259 | 2234.3713 | | 960 | 7623278.191 | 347328.4952 | 2224.9286 | |
| 890 | 7623390.709 | 347491.9248 | 2254.5923 | | 961 | 7623265.592 | 347352.6208 | 2238.1127 | |
| 891 | 7623369.119 | 347549.0932 | 2216.6116 | CARRET | 962 | 7623260.279 | 347339.9963 | 2232.8354 | |
| 892 | 7623382.857 | 347520.6484 | 2235.0354 | | 963 | 7623249.985 | 347350.3299 | 2238.3387 | |
| 893 | 7623370.864 | 347542.7063 | 2216.6925 | CARRET | 964 | 7623061.053 | 347309.7615 | 2234.8162 | |
| 894 | 7623401.282 | 347482.8959 | 2254.5482 | | 965 | 7623106.41 | 347296.4229 | 2230.8577 | |
| 895 | 7623386.833 | 347530.8731 | 2228.3952 | | 966 | 7623117.168 | 347300.1307 | 2225.2649 | CARRET |
| 896 | 7623393.241 | 347541.7925 | 2217.7543 | CARRET | 967 | 7623066.023 | 347296.9896 | 2240.6296 | |
| 897 | 7623404.316 | 347533.309 | 2224.0712 | | 968 | 7623112.732 | 347292.527 | 2233.3755 | |
| 898 | 7623395.076 | 347547.7473 | 2218.081 | CARRET | 969 | 7623125.423 | 347303.7463 | 2225.3525 | CARRET |
| 899 | 7623413.637 | 347544.5612 | 2218.5807 | CARRET | 970 | 7623079.158 | 347288.1463 | 2243.2448 | |
| 900 | 7623403.341 | 347518.2149 | 2233.0315 | | 971 | 7623118.562 | 347290.9719 | 2234.0437 | |
| 902 | 7623424.342 | 347526.6004 | 2217.7022 | CARRET | 972 | 7623143.086 | 347300.049 | 2226.6347 | CARRET |
| 903 | 7623428.946 | 347528.1397 | 2217.8122 | CARRET | 973 | 7623094.134 | 347281.4771 | 2245.5428 | |
| 904 | 7623412.518 | 347505.3789 | 2234.0648 | | 974 | 7623126.863 | 347287.1185 | 2235.462 | |
| 905 | 7623438.078 | 347510.1965 | 2216.8546 | CARRET | 975 | 7623143.364 | 347292.9516 | 2226.3079 | CARRET |
| 906 | 7623418.559 | 347521.3381 | 2224.6947 | | 976 | 7623111.803 | 347271.0411 | 2247.6866 | |
| 907 | 7623433.17 | 347507.1689 | 2216.6329 | CARRET | 977 | 7623141.951 | 347286.7302 | 2233.3565 | |
| 908 | 7623423.71 | 347511.3466 | 2224.9842 | | 978 | 7623143.367 | 347292.9952 | 2226.3343 | CARRET |
| 909 | 7623438.6 | 347489.6792 | 2215.6624 | CARRET | 979 | 7623163.326 | 347288.8986 | 2227.4274 | CARRET |
| 910 | 7623444.264 | 347491.363 | 2215.9232 | CARRET | 980 | 7623153.338 | 347283.3095 | 2234.1553 | |
| 911 | 7623421.696 | 347498.5231 | 2227.7033 | | 981 | 7623133.246 | 347266.6916 | 2251.4791 | |
| 912 | 7623446.363 | 347475.4402 | 2215.345 | CARRET | 982 | 7623166.167 | 347294.0651 | 2227.4495 | CARRET |
| 913 | 7623430.401 | 347502.2911 | 2221.9884 | | 983 | 7623169 | 347281.1643 | 2234.506 | |
| 914 | 7623441.431 | 347474.3806 | 2215.409 | CARRET | 984 | 7623187.188 | 347289.7639 | 2228.8042 | CARRET |
| 915 | 7623401.2 | 347511.5513 | 2237.7276 | | 985 | 7623147.741 | 347259.2623 | 2252.4334 | |
| 916 | 7623434.18 | 347481.7746 | 2222.6148 | | 986 | 7623182.665 | 347279.1855 | 2233.4579 | |
| 917 | 7623445.863 | 347460.3881 | 2215.3562 | CARRET | 987 | 7623186.883 | 347283.279 | 2228.8251 | CARRET |
| 918 | 7623406.083 | 347506.5698 | 2237.391 | | 988 | 7623164.692 | 347249.9714 | 2251.8308 | |
| 919 | 7623428.43 | 347476.8295 | 2228.9245 | | 989 | 7623195.121 | 347272.1127 | 2238.0551 | |
| 920 | 7623441.827 | 347441.3512 | 2215.3429 | CARRET | 990 | 7623208.278 | 347276.741 | 2230.9489 | CARRET |
| 921 | 7623434.848 | 347441.4598 | 2215.755 | CARRET | 991 | 7623212.811 | 347282.0428 | 2231.0642 | CARRET |
| 922 | 7623419.257 | 347467.4705 | 2238.8141 | | 992 | 7623208.314 | 347269.9586 | 2236.6267 | |
| 923 | 7623412.358 | 347481.131 | 2239.3988 | | 993 | 7623183.242 | 347251.3387 | 2250.0396 | |
| 924 | 7623434.383 | 347462.2916 | 2226.2567 | | 994 | 7623229.715 | 347275.9849 | 2232.592 | CARRET |
| 925 | 7623434.77 | 347454.5339 | 2222.8846 | | 995 | 7623216.881 | 347261.5486 | 2240.4184 | |
| 926 | 7623428.381 | 347439.4037 | 2224.3054 | | 996 | 7623231.618 | 347267.2077 | 2233.0405 | CARRET |
| 927 | 7623413.555 | 347492.9796 | 2241.0056 | | 997 | 7623225.066 | 347263.6562 | 2237.2246 | |
| 928 | 7623419.509 | 347447.3357 | 2236.8874 | | 998 | 7623247.26 | 347255.0072 | 2234.5115 | CARRET |
| 929 | 7623429.04 | 347420.3686 | 2216.9085 | CARRET | 999 | 7623237.808 | 347256.2759 | 2237.3909 | |
| 930 | 7623419.756 | 347455.0182 | 2240.5748 | | 1000 | 7623253.255 | 347260.5648 | 2234.7925 | CARRET |
| 931 | 7623420.75 | 347404.2101 | 2217.6273 | CARRET | 1001 | 7623201.892 | 347244.2504 | 2249.3991 | |
| 932 | 7623426.393 | 347401.4962 | 2217.7338 | CARRET | 1002 | 7623249.218 | 347248.2414 | 2237.9396 | |
| 933 | 7623405.208 | 347428.8606 | 2232.737 | | 1003 | 7623263.037 | 347246.7227 | 2236.2682 | CARRET |

| Nº | Norte | Este | Altura | Descripción | Nº | Norte | Este | Altura | Descripción |
|------|-------------|-------------|-----------|-------------|------|-------------|-------------|-----------|-------------|
| 1004 | 7623210.252 | 347253.3521 | 2245.0801 | | 1076 | 7623445.31 | 347482.2615 | 2215.5237 | CARRET |
| 1005 | 7623253.643 | 347245.1339 | 2237.8817 | | 1077 | 7623435.982 | 347500.6067 | 2216.1933 | CARRET |
| 1006 | 7623263.069 | 347246.7831 | 2236.2128 | CARRET | 1078 | 7623456.157 | 347516.323 | 2202.8449 | |
| 1007 | 7623257.099 | 347243.1577 | 2236.1868 | CARRET | 1079 | 7623440.87 | 347502.7069 | 2216.4977 | CARRET |
| 1008 | 7623233.004 | 347239.036 | 2242.9256 | | 1080 | 7623425.928 | 347523.5813 | 2217.5295 | CARRET |
| 1009 | 7623201.612 | 347285.1425 | 2230.1528 | BM5 | 1082 | 7623450.979 | 347529.6993 | 2200.9226 | |
| 1010 | 7623181.381 | 347284.8304 | 2228.6703 | B | 1083 | 7623440.093 | 347535.3291 | 2207.0753 | |
| 1011 | 7623264.438 | 347280.4711 | 2223.7634 | | 1084 | 7623414.491 | 347536.2932 | 2217.9413 | CARRET |
| 1012 | 7623253.314 | 347286.4512 | 2222.0515 | | 1085 | 7623429.255 | 347551.2026 | 2206.9836 | |
| 1013 | 7623273.234 | 347300.4063 | 2213.28 | | 1086 | 7623434.603 | 347554.6726 | 2200.9427 | |
| 1014 | 7623243.853 | 347290.8658 | 2221.9698 | | 1087 | 7623418.803 | 347542.0419 | 2218.6671 | CARRET |
| 1015 | 7623267.465 | 347269.4083 | 2229.9257 | | 1088 | 7623429.257 | 347551.1941 | 2207.0118 | |
| 1016 | 7623255.345 | 347297.3057 | 2217.1351 | | 1089 | 7623430.957 | 347560.1186 | 2201.7646 | |
| 1017 | 7623233.736 | 347296.8635 | 2221.1115 | | 1090 | 7623424.469 | 347559.6393 | 2207.2733 | |
| 1018 | 7623247.409 | 347278.9645 | 2227.1968 | | 1091 | 7623412.698 | 347571.7136 | 2202.1767 | |
| 1019 | 7623223.431 | 347298.524 | 2220.7386 | | 1092 | 7623339.209 | 347561.0966 | 2215.7026 | CARRET |
| 1020 | 7623221.997 | 347287.4657 | 2226.4908 | | 1093 | 7623333.466 | 347558.9867 | 2215.6491 | CARRET |
| 1021 | 7623203.386 | 347300.8559 | 2219.6842 | | 1094 | 7623409.55 | 347579.7205 | 2202.2595 | |
| 1022 | 7623199.761 | 347292.4581 | 2225.1796 | | 1095 | 7623327.248 | 347566.9903 | 2215.6349 | |
| 1023 | 7623188.057 | 347293.5715 | 2226.6374 | | 1096 | 7623327.262 | 347566.9918 | 2215.6823 | CARRET |
| 1024 | 7623300.508 | 347314.3498 | 2216.8308 | | 1097 | 7623321.385 | 347577.6486 | 2215.9069 | CARRET |
| 1025 | 7623319.65 | 347313.865 | 2214.1741 | | 1098 | 7623327.78 | 347578.8071 | 2215.9333 | CARRET |
| 1026 | 7623328.061 | 347318.3393 | 2213.9965 | | 1099 | 7623309.995 | 347573.8836 | 2205.6571 | |
| 1027 | 7623335.237 | 347320.0441 | 2213.0709 | | 1100 | 7623319.722 | 347584.5076 | 2206.4306 | |
| 1028 | 7623355.307 | 347325.5376 | 2212.0004 | | 1101 | 7623319.638 | 347603.6766 | 2216.2196 | CARRET |
| 1029 | 7623346.982 | 347314.0327 | 2207.6513 | | 1102 | 7623314.774 | 347604.285 | 2216.1849 | CARRET |
| 1030 | 7623368.299 | 347329.2152 | 2211.8138 | | 1103 | 7623358.475 | 347579.245 | 2209.1153 | |
| 1031 | 7623368.565 | 347317.3845 | 2206.7128 | | 1104 | 7623313.669 | 347610.3391 | 2216.4753 | CARRET |
| 1032 | 7623368.291 | 347329.1546 | 2211.8146 | | 1105 | 7623377.489 | 347592.6093 | 2207.519 | |
| 1033 | 7623389.114 | 347320.5195 | 2206.5984 | | 1106 | 7623316.205 | 347626.7574 | 2217.1698 | CARRET |
| 1034 | 7623386.984 | 347345.0008 | 2214.5652 | | 1107 | 7623337.937 | 347604.7857 | 2207.3216 | |
| 1035 | 7623408.135 | 347329.2841 | 2206.7437 | | 1108 | 7623371.358 | 347625.115 | 2206.6548 | |
| 1036 | 7623400.743 | 347347.7854 | 2213.2131 | | 1109 | 7623340.467 | 347601.9956 | 2211.6508 | |
| 1037 | 7623423.658 | 347339.055 | 2207.3561 | | 1110 | 7623368.048 | 347636.6511 | 2206.7324 | |
| 1038 | 7623416.614 | 347360.0107 | 2213.4482 | | 1111 | 7623337.739 | 347614.3622 | 2211.1182 | |
| 1039 | 7623440.433 | 347350.9892 | 2208.9203 | | 1112 | 7623340.025 | 347623.0452 | 2210.5803 | |
| 1040 | 7623421.739 | 347373.6348 | 2213.7402 | | 1113 | 7623323.617 | 347629.4577 | 2217.4484 | CARRET |
| 1041 | 7623445.24 | 347356.2483 | 2209.3244 | | 1114 | 7623342.186 | 347652.9238 | 2213.5657 | |
| 1042 | 7623445.086 | 347369.2225 | 2207.1258 | | 1115 | 7623372.464 | 347652.0828 | 2206.3106 | |
| 1043 | 7623426.749 | 347384.1443 | 2213.6977 | | 1116 | 7623319.534 | 347640.1216 | 2217.9164 | CARRET |
| 1044 | 7623445.917 | 347378.0375 | 2207.1951 | | 1117 | 7623354.111 | 347673.2756 | 2215.643 | |
| 1045 | 7623434.624 | 347397.3947 | 2212.2322 | | 1118 | 7623327.227 | 347639.2671 | 2218.3323 | CARRET |
| 1046 | 7623292.841 | 347324.4501 | 2219.6221 | CARRET | 1119 | 7623326.469 | 347656.4421 | 2219.3394 | CARRET |
| 1047 | 7623295.943 | 347318.2915 | 2219.5937 | CARRET | 1120 | 7623389.904 | 347670.153 | 2206.0899 | |
| 1048 | 7623320.177 | 347332.6683 | 2219.2944 | CARRET | 1121 | 7623386.942 | 347684.7173 | 2208.8308 | |
| 1049 | 7623326.287 | 347327.9751 | 2219.3392 | CARRET | 1122 | 7623332.396 | 347655.2303 | 2219.4023 | CARRET |
| 1050 | 7623342.089 | 347345.1432 | 2220.0862 | CARRET | 1123 | 7623402.418 | 347679.4192 | 2205.4432 | |
| 1051 | 7623348.056 | 347341.0255 | 2219.9909 | CARRET | 1124 | 7623338.025 | 347675.9844 | 2221.6893 | CARRET |
| 1052 | 7623368.237 | 347361.2768 | 2221.2421 | CARRET | 1125 | 7623409.64 | 347700.3526 | 2207.5558 | |
| 1053 | 7623376.754 | 347356.2352 | 2220.9279 | CARRET | 1126 | 7623429.839 | 347690.2554 | 2205.309 | |
| 1054 | 7623394.863 | 347379.6992 | 2219.4997 | CARRET | 1127 | 7623344.671 | 347675.5375 | 2222.1971 | CARRET |
| 1055 | 7623401.867 | 347371.7533 | 2219.7324 | CARRET | 1128 | 7623419.482 | 347704.6561 | 2205.7497 | |
| 1056 | 7623415.572 | 347398.3843 | 2218.0215 | CARRET | 1129 | 7623352.265 | 347698.2803 | 2225.2991 | CARRET |
| 1057 | 7623420.618 | 347394.7447 | 2218.0508 | CARRET | 1130 | 7623357.898 | 347696.7615 | 2225.4444 | CARRET |
| 1059 | 7623435.061 | 347416.9972 | 2216.9938 | CARRET | 1131 | 7623442.653 | 347703.0189 | 2205.5547 | |
| 1060 | 7623448.188 | 347399.4234 | 2207.3881 | | 1132 | 7623430.994 | 347716.5514 | 2206.2079 | |
| 1061 | 7623436.689 | 347408.6065 | 2214.4183 | | 1133 | 7623367.118 | 347714.5589 | 2227.7893 | CARRET |
| 1062 | 7623460.171 | 347408.7504 | 2202.8216 | | 1134 | 7623372.163 | 347711.6372 | 2227.8943 | CARRET |
| 1063 | 7623433.506 | 347433.4832 | 2215.8642 | CARRET | 1135 | 7623442.26 | 347721.875 | 2205.9601 | |
| 1064 | 7623462.737 | 347421.401 | 2203.2062 | | 1136 | 7623381.89 | 347726.118 | 2229.2063 | CARRET |
| 1065 | 7623439.5 | 347434.9248 | 2215.716 | CARRET | 1137 | 7623388.851 | 347723.3681 | 2229.6058 | CARRET |
| 1066 | 7623463.266 | 347437.3799 | 2203.6585 | | 1138 | 7623395.712 | 347738.6614 | 2229.9899 | CARRET |
| 1067 | 7623436.745 | 347445.05 | 2215.2681 | CARRET | 1139 | 7623405.557 | 347734.6244 | 2229.9878 | CARRET |
| 1068 | 7623443.745 | 347429.4409 | 2212.2134 | | 1140 | 7623405.53 | 347759.8649 | 2228.7078 | CARRET |
| 1069 | 7623442.299 | 347443.9526 | 2215.4942 | CARRET | 1141 | 7623413.977 | 347758.2505 | 2229.0985 | CARRET |
| 1070 | 7623463.669 | 347470.8721 | 2204.4903 | | 1142 | 7623464.767 | 347773.4472 | 2212.4373 | |
| 1071 | 7623439.919 | 347458.4183 | 2215.0504 | CARRET | 1143 | 7623478.931 | 347788.4501 | 2212.2288 | |
| 1072 | 7623464.535 | 347479.0064 | 2204.2122 | | 1144 | 7623441.601 | 347758.0875 | 2217.7277 | |
| 1074 | 7623439.057 | 347482.1387 | 2215.6491 | CARRET | 1145 | 7623476.12 | 347802.3272 | 2213.6319 | |
| 1075 | 7623467.428 | 347501.1501 | 2201.3307 | | 1146 | 7623433.747 | 347747.5719 | 2220.1447 | |

| Nº | Norte | Este | Altura | Descripción | Nº | Norte | Este | Altura | Descripción |
|------|-------------|-------------|-----------|-------------|------|-------------|-------------|-----------|-------------|
| 1147 | 7623404.623 | 347772.2171 | 2227.8909 | CARRET | 1217 | 7623296.094 | 347115.5127 | 2235.9503 | |
| 1148 | 7623475.486 | 347812.5799 | 2214.2371 | | 1218 | 7623276.296 | 347105.6491 | 2244.5493 | |
| 1149 | 7623432.519 | 347771.2285 | 2220.6536 | | 1219 | 7623256.736 | 347085.9092 | 2254.3461 | |
| 1150 | 7623411.931 | 347773.143 | 2227.9381 | CARRET | 1220 | 7623299.366 | 347117.4965 | 2233.2971 | CARRET |
| 1151 | 7623467.087 | 347818.9917 | 2215.6469 | | 1221 | 7623272.008 | 347074.4659 | 2251.3377 | |
| 1152 | 7623437.724 | 347792.1197 | 2219.5554 | | 1222 | 7623286.276 | 347092.622 | 2243.732 | |
| 1153 | 7623404.104 | 347797.7513 | 2226.401 | CARRET | 1223 | 7623312.886 | 347099.9274 | 2232.6995 | CARRET |
| 1154 | 7623411.947 | 347796.5021 | 2226.3979 | CARRET | 1224 | 7623284.555 | 347064.5568 | 2249.6418 | |
| 1155 | 7623437.941 | 347808.1586 | 2220.0507 | | 1225 | 7623298.566 | 347079.4233 | 2242.6814 | |
| 1156 | 7623473.542 | 347826.1507 | 2215.5729 | | 1226 | 7623310.076 | 347095.043 | 2235.6308 | |
| 1157 | 7623439.478 | 347823.2366 | 2220.1583 | | 1227 | 7623296.167 | 347053.633 | 2247.344 | |
| 1158 | 7623408.617 | 347821.3334 | 2224.875 | CARRET | 1228 | 7623310.76 | 347063.9577 | 2241.6039 | |
| 1159 | 7623475.129 | 347837.4095 | 2215.9479 | | 1229 | 7623320.53 | 347077.5694 | 2235.8957 | |
| 1160 | 7623439.625 | 347841.2244 | 2221.3277 | | 1230 | 7623301.657 | 347046.0716 | 2246.6019 | |
| 1161 | 7623414.298 | 347819.5713 | 2225.1856 | CARRET | 1231 | 7623325.849 | 347078.132 | 2232.0889 | CARRET |
| 1162 | 7623410.989 | 347830.3756 | 2224.3898 | CARRET | 1232 | 7623317.482 | 347045.6862 | 2241.4578 | |
| 1163 | 7623478.337 | 347846.7124 | 2216.4162 | | 1233 | 7623341.917 | 347057.8438 | 2230.7282 | CARRET |
| 1164 | 7623448.542 | 347851.9957 | 2220.1441 | | 1234 | 7623309.04 | 347034.8743 | 2245.4999 | |
| 1165 | 7623412.511 | 347844.3942 | 2223.6893 | CARRET | 1235 | 7623327.515 | 347031.2036 | 2239.3168 | |
| 1166 | 7623491.92 | 347846.4591 | 2215.0999 | | 1236 | 7623340.394 | 347053.0977 | 2233.4644 | |
| 1167 | 7623413.951 | 347855.7485 | 2222.4443 | | 1237 | 7623313.662 | 347023.9081 | 2245.1069 | |
| 1168 | 7623474.342 | 347855.9522 | 2217.357 | | 1238 | 7623347.755 | 347029.4225 | 2232.8704 | |
| 1169 | 7623428.885 | 347863.3335 | 2221.4524 | | 1239 | 7623332.39 | 347018.0177 | 2238.5426 | |
| 1170 | 7623504.165 | 347853.01 | 2213.6695 | | 1240 | 7623320.059 | 347007.7612 | 2244.1752 | |
| 1171 | 7623425.628 | 347857.8725 | 2223.7247 | | 1241 | 7623351.018 | 347030.495 | 2229.8116 | CARRET |
| 1172 | 7623468.07 | 347857.3541 | 2217.6569 | | 1242 | 7623324.127 | 346996.012 | 2243.9238 | |
| 1173 | 7623424.029 | 347850.31 | 2224.9079 | | 1243 | 7623336.405 | 347001.8979 | 2237.9355 | |
| 1174 | 7623518.975 | 347862.4124 | 2211.4147 | | 1244 | 7623357.294 | 347011.1411 | 2228.9368 | CARRET |
| 1175 | 7623425.381 | 347841.9279 | 2226.6397 | | 1245 | 7623355.552 | 347003.7269 | 2231.9449 | |
| 1176 | 7623420.932 | 347830.1377 | 2226.8251 | | 1246 | 7623328.999 | 346984.9854 | 2243.5986 | |
| 1177 | 7623518.241 | 347839.947 | 2212.5865 | | 1247 | 7623344.66 | 346983.1227 | 2237.1385 | |
| 1178 | 7623533.868 | 347860.5459 | 2210.4331 | | 1248 | 7623360.9 | 346988.5941 | 2231.4388 | |
| 1179 | 7623418.944 | 347820.6977 | 2226.5219 | | 1249 | 7623333.239 | 346973.5298 | 2243.4174 | |
| 1180 | 7623538.399 | 347849.5407 | 2210.7783 | | 1250 | 7623350.344 | 346970.9853 | 2236.7097 | |
| 1181 | 7623538.987 | 347867.2918 | 2210.2475 | | 1251 | 7623367.018 | 346985.8118 | 2227.9755 | CARRET |
| 1182 | 7623554.944 | 347859.1649 | 2209.664 | | 1252 | 7623337.851 | 346960.4439 | 2242.7261 | |
| 1183 | 7623418.745 | 347806.5622 | 2224.463 | | 1253 | 7623359.398 | 346960.9346 | 2235.4325 | |
| 1184 | 7623417.16 | 347793.3195 | 2224.9551 | | 1254 | 7623343.249 | 346948.3496 | 2242.6539 | |
| 1185 | 7623415.484 | 347775.4822 | 2225.7749 | | 1255 | 7623376.123 | 346969.5525 | 2226.7826 | CARRET |
| 1186 | 7623438.98 | 347865.092 | 2220.1034 | | 1256 | 7623349.311 | 346942.4011 | 2241.447 | |
| 1187 | 7623457.903 | 347860.4928 | 2218.5377 | | 1257 | 7623372.029 | 346969.4113 | 2230.6675 | |
| 1188 | 7623473.534 | 347872.9286 | 2217.5453 | BM6 | 1258 | 7623358.542 | 346932.952 | 2240.8147 | |
| 1189 | 7623464.129 | 347875.2936 | 2217.8161 | B | 1259 | 7623380.796 | 346955.6703 | 2230.2397 | |
| 1190 | 7623209.892 | 347231.3406 | 2246.847 | | 1260 | 7623388.314 | 346951.6946 | 2225.9637 | CARRET |
| 1191 | 7623230.119 | 347232.7392 | 2243.4719 | | 1261 | 7623372.05 | 346921.1452 | 2240.3599 | |
| 1192 | 7623251.485 | 347241.3605 | 2239.6913 | | 1262 | 7623388.389 | 346944.4731 | 2230.0176 | |
| 1193 | 7623198.391 | 347210.3397 | 2244.3028 | | 1263 | 7623372.035 | 346921.1306 | 2240.3112 | |
| 1194 | 7623222.32 | 347222.7069 | 2242.3806 | | 1264 | 7623400.536 | 346937.5358 | 2225.0577 | CARRET |
| 1195 | 7623242.056 | 347225.8953 | 2239.7932 | | 1265 | 7623378.251 | 346911.259 | 2240.4967 | |
| 1196 | 7623201.624 | 347188.6011 | 2248.6357 | | 1266 | 7623386.271 | 346931.2584 | 2233.5051 | |
| 1197 | 7623218.819 | 347207.7561 | 2242.3065 | | 1267 | 7623395.06 | 346916.4722 | 2233.3757 | |
| 1198 | 7623240.336 | 347215.9974 | 2238.3268 | | 1268 | 7623384.276 | 346903.4821 | 2239.0928 | |
| 1199 | 7623202.947 | 347173.7118 | 2251.9936 | | 1269 | 7623407.794 | 346926.6474 | 2224.3969 | CARRET |
| 1200 | 7623224.203 | 347186.5775 | 2245.6399 | | 1270 | 7623407.638 | 346918.3847 | 2227.1448 | |
| 1201 | 7623244.249 | 347194.3303 | 2239.5432 | | 1271 | 7623391.714 | 346893.3135 | 2238.2576 | |
| 1202 | 7623209.796 | 347159.7031 | 2253.6352 | | 1272 | 7623406.609 | 346898.8774 | 2230.407 | |
| 1203 | 7623233.361 | 347173.3292 | 2245.8402 | | 1273 | 7623398.259 | 346882.9032 | 2238.8145 | |
| 1204 | 7623249.841 | 347194.2751 | 2238.196 | | 1274 | 7623418.927 | 346905.9701 | 2222.5214 | CARRET |
| 1205 | 7623218.081 | 347147.1893 | 2253.9251 | | 1275 | 7623416.958 | 346900.6234 | 2226.0911 | |
| 1206 | 7623239.84 | 347154.2141 | 2246.2933 | | 1276 | 7623408.579 | 346871.6737 | 2241.028 | |
| 1207 | 7623260.19 | 347172.7708 | 2236.7934 | CARRET | 1277 | 7623421.434 | 346886.562 | 2230.1239 | |
| 1208 | 7623257.988 | 347168.449 | 2239.2452 | | 1278 | 7623432.455 | 346895.0799 | 2221.5885 | CARRET |
| 1209 | 7623225.965 | 347129.8327 | 2253.5522 | | 1279 | 7623421.827 | 346865.3947 | 2241.9546 | |
| 1210 | 7623248.166 | 347138.3657 | 2245.7253 | | 1280 | 7623448.797 | 346886.6052 | 2220.6536 | CARRET |
| 1211 | 7623266.889 | 347150.6273 | 2237.975 | | 1281 | 7623434.5 | 346890.8405 | 2224.494 | |
| 1212 | 7623270.751 | 347150.4243 | 2234.9891 | CARRET | 1282 | 7623431.452 | 346858.6238 | 2243.6446 | |
| 1213 | 7623235.17 | 347116.3454 | 2253.9569 | | 1283 | 7623451.204 | 346881.3829 | 2224.3561 | |
| 1214 | 7623284.491 | 347133.7805 | 2234.0812 | CARRET | 1284 | 7623463.141 | 346880.0459 | 2219.2547 | CARRET |
| 1215 | 7623264.757 | 347116.309 | 2245.3099 | | 1285 | 7623440.974 | 346853.9429 | 2244.652 | |
| 1216 | 7623243.964 | 347099.9906 | 2255.3284 | | 1286 | 7623466.031 | 346873.4135 | 2223.659 | |

| Nº | Norte | Este | Altura | Descripción | Nº | Norte | Este | Altura | Descripción |
|------|-------------|-------------|-----------|-------------|------|-------------|-------------|-----------|-------------|
| 1287 | 7623480.13 | 346869.2487 | 2218.2957 | CARRET | 1357 | 7623386.275 | 347007.161 | 2220.458 | |
| 1288 | 7623458 | 346851.4299 | 2239.3712 | | 1358 | 7623407.919 | 347020.5267 | 2213.2514 | |
| 1289 | 7623474.472 | 346868.2641 | 2222.7226 | | 1359 | 7623368.519 | 346997.3255 | 2228.2425 | CARRET |
| 1290 | 7623494.277 | 346858.0137 | 2217.4381 | CARRET | 1360 | 7623385.431 | 347020.5345 | 2219.7596 | |
| 1291 | 7623466.57 | 346843.0608 | 2237.2571 | | 1361 | 7623399.109 | 347033.4708 | 2214.4553 | |
| 1292 | 7623485.18 | 346859.826 | 2222.8406 | | 1362 | 7623362.437 | 347015.7866 | 2229.2812 | CARRET |
| 1293 | 7623476.21 | 346838.3912 | 2235.0421 | | 1363 | 7623377.422 | 347037.4788 | 2221.5791 | |
| 1294 | 7623495.655 | 346850.2642 | 2223.3396 | | 1364 | 7623390.462 | 347047.8426 | 2216.6888 | |
| 1295 | 7623485.42 | 346834.4674 | 2231.8553 | | 1365 | 7623358.71 | 347034.5846 | 2229.7809 | CARRET |
| 1296 | 7623504.733 | 346847.6318 | 2220.9667 | | 1366 | 7623371.513 | 347053.9243 | 2223.4663 | |
| 1297 | 7623508.86 | 346852.2307 | 2216.6767 | CARRET | 1367 | 7623382.134 | 347066.4911 | 2217.5855 | |
| 1298 | 7623491.173 | 346830.6559 | 2229.0636 | | 1368 | 7623356.032 | 347052.3163 | 2230.8142 | CARRET |
| 1299 | 7623512.464 | 346845.7613 | 2221.4944 | | 1369 | 7623366.922 | 347080.0253 | 2219.0036 | |
| 1300 | 7623500.074 | 346822.2817 | 2227.8035 | | 1370 | 7623359.403 | 347074.3309 | 2223.6525 | |
| 1301 | 7623528.298 | 346843.8404 | 2221.4142 | | 1371 | 7623347.287 | 347065.424 | 2231.3124 | CARRET |
| 1302 | 7623532.82 | 346848.6495 | 2215.1532 | CARRET | 1372 | 7623348.178 | 347085.9027 | 2224.9369 | |
| 1303 | 7623507.648 | 346825.8798 | 2226.6374 | | 1373 | 7623339.594 | 347073.6698 | 2231.5038 | CARRET |
| 1304 | 7623537.449 | 346842.7336 | 2219.0842 | | 1374 | 7623340.37 | 347092.1868 | 2225.8956 | |
| 1305 | 7623546.674 | 346841.3526 | 2213.7617 | CARRET | 1375 | 7623329.438 | 347086.5281 | 2232.417 | CARRET |
| 1306 | 7623543.783 | 346839.55 | 2217.018 | | 1376 | 7623331.007 | 347099.9457 | 2226.8997 | |
| 1307 | 7623521.778 | 346834.3538 | 2223.8094 | | 1377 | 7623356.265 | 347088.8485 | 2220.1933 | |
| 1308 | 7623544.533 | 346822.9263 | 2212.4945 | | 1378 | 7623321.72 | 347096.6646 | 2232.6881 | CARRET |
| 1309 | 7623521.474 | 346837.8152 | 2224.0347 | BM4 | 1379 | 7623342.351 | 347097.6966 | 2223.2043 | |
| 1310 | 7623526.949 | 346836.192 | 2223.6114 | B | 1380 | 7623330.439 | 347111.8156 | 2224.7165 | |
| 1311 | 7623566.445 | 346834.5495 | 2209.4946 | | 1381 | 7623312.845 | 347110.5639 | 2233.3372 | CARRET |
| 1312 | 7623582.664 | 346841.4097 | 2205.0138 | | 1382 | 7623318.427 | 347112.4491 | 2230.1645 | |
| 1313 | 7623552.166 | 346845.5075 | 2214.4206 | CARRET | 1383 | 7623328.592 | 347122.2226 | 2223.7904 | |
| 1314 | 7623563.231 | 346849.9913 | 2209.0316 | | 1384 | 7623319.638 | 347132.2313 | 2224.8051 | |
| 1315 | 7623576.328 | 346858.7557 | 2203.5905 | | 1385 | 7623308.378 | 347124.1017 | 2231.4328 | |
| 1316 | 7623546.871 | 346849.9909 | 2214.8678 | CARRET | 1386 | 7623303.321 | 347123.2888 | 2233.5278 | CARRET |
| 1317 | 7623553.859 | 346856.322 | 2209.1721 | | 1387 | 7623302.267 | 347131.0944 | 2231.783 | |
| 1318 | 7623553.07 | 346862.9884 | 2200.0869 | | 1388 | 7623295.111 | 347132.7814 | 2233.9463 | CARRET |
| 1319 | 7623539.929 | 346852.2267 | 2215.1942 | CARRET | 1389 | 7623296.668 | 347139.6666 | 2231.6171 | |
| 1320 | 7623530.86 | 346853.7164 | 2215.5146 | CARRET | 1390 | 7623289.997 | 347138.5146 | 2234.2494 | CARRET |
| 1321 | 7623520.108 | 346856.0505 | 2216.0892 | CARRET | 1391 | 7623310.663 | 347134.0253 | 2227.7683 | |
| 1322 | 7623507.9 | 346859.3459 | 2216.8629 | CARRET | 1392 | 7623289.287 | 347148.685 | 2231.4199 | |
| 1323 | 7623502.595 | 346861.2218 | 2217.3103 | CARRET | 1393 | 7623278.762 | 347149.1223 | 2235.0921 | CARRET |
| 1324 | 7623498.935 | 346870.3053 | 2211.9258 | | 1394 | 7623286.774 | 347160.4161 | 2231.8799 | |
| 1325 | 7623487.099 | 346869.3595 | 2218.0394 | CARRET | 1395 | 7623301.619 | 347144.504 | 2229.3072 | |
| 1326 | 7623489.347 | 346886.1502 | 2210.644 | | 1396 | 7623283.637 | 347168.3483 | 2231.7475 | |
| 1327 | 7623487.095 | 346869.3331 | 2218.2028 | CARRET | 1397 | 7623272.265 | 347160.2739 | 2235.6689 | CARRET |
| 1328 | 7623478.311 | 346877.8356 | 2218.4696 | CARRET | 1398 | 7623281.978 | 347175.9485 | 2231.402 | |
| 1329 | 7623483.166 | 346897.329 | 2208.4639 | | 1399 | 7623266.69 | 347175.5881 | 2237.1192 | CARRET |
| 1330 | 7623507.206 | 346909.3871 | 2194.0331 | | 1400 | 7623276.835 | 347188.5068 | 2232.1051 | |
| 1331 | 7623475.393 | 346907.7947 | 2208.2913 | | 1401 | 7623265.216 | 347188.3794 | 2237.9504 | |
| 1332 | 7623466.848 | 346885.0653 | 2219.3105 | CARRET | 1403 | 7623266.231 | 347183.8761 | 2237.6167 | |
| 1333 | 7623495.76 | 346928.8009 | 2194.0902 | | 1404 | 7623450.589 | 347866.4401 | 2216.2089 | CARRET |
| 1334 | 7623465.213 | 346915.3698 | 2208.6252 | | 1405 | 7623454.173 | 347870.6196 | 2216.1484 | CARRET |
| 1335 | 7623449.915 | 346892.7494 | 2220.4035 | CARRET | 1406 | 7623466.842 | 347861.4026 | 2214.0898 | CARRET |
| 1336 | 7623481.764 | 346955.2122 | 2195.1316 | | 1407 | 7623470.276 | 347866.05 | 2213.7774 | CARRET |
| 1337 | 7623450.498 | 346924.5614 | 2209.7379 | | 1408 | 7623475.343 | 347859.0981 | 2213.3071 | CARRET |
| 1338 | 7623436.115 | 346900.4925 | 2221.4989 | CARRET | 1409 | 7623475.067 | 347864.6275 | 2213.1792 | CARRET |
| 1339 | 7623463.937 | 346968.3016 | 2196.0992 | | 1410 | 7623489.223 | 347863.0263 | 2212.0774 | CARRET |
| 1340 | 7623438.986 | 346937.7138 | 2210.5925 | | 1411 | 7623485.467 | 347866.9652 | 2211.7034 | CARRET |
| 1341 | 7623420.945 | 346913.1937 | 2222.9646 | CARRET | 1412 | 7623493.148 | 347862.2818 | 2213.8172 | |
| 1342 | 7623460.8 | 346981.1216 | 2195.7466 | | 1413 | 7623487.694 | 347874.4425 | 2210.6402 | CARRET |
| 1343 | 7623430.162 | 346949.5374 | 2211.2494 | | 1414 | 7623501.034 | 347863.8487 | 2212.8509 | |
| 1344 | 7623412.178 | 346929.7942 | 2224.5038 | CARRET | 1415 | 7623491.935 | 347881.9375 | 2209.5947 | CARRET |
| 1345 | 7623415.376 | 346961.638 | 2215.1133 | | 1416 | 7623469.803 | 347887.0747 | 2209.1819 | |
| 1346 | 7623401.466 | 346946.5716 | 2225.6107 | CARRET | 1417 | 7623465.912 | 347886.0485 | 2209.8444 | |
| 1347 | 7623410.427 | 346972.1768 | 2215.5701 | | 1418 | 7623461.864 | 347895.9795 | 2208.8778 | |
| 1348 | 7623455.582 | 346999.3495 | 2196.3957 | | 1419 | 7623490.69 | 347901.4609 | 2209.0551 | CARRET |
| 1349 | 7623406.816 | 346982.0362 | 2215.7705 | | 1420 | 7623484.622 | 347880.5122 | 2209.9398 | CARRET |
| 1350 | 7623391.326 | 346958.2239 | 2226.1266 | CARRET | 1421 | 7623475.488 | 347887.074 | 2209.063 | |
| 1351 | 7623396.272 | 346984.0694 | 2218.5356 | | 1422 | 7623495.949 | 347885.2299 | 2207.6387 | |
| 1352 | 7623420.876 | 347000.2299 | 2209.9515 | | 1423 | 7623464.749 | 347885.8903 | 2209.5583 | |
| 1353 | 7623381.737 | 346971.0885 | 2226.8696 | CARRET | 1424 | 7623521.538 | 347878.1284 | 2207.3059 | |
| 1354 | 7623390.241 | 346992.8316 | 2219.6422 | | 1425 | 7623445.005 | 347890.5473 | 2210.1422 | |
| 1355 | 7623414.248 | 347010.4581 | 2211.9577 | | 1426 | 7623531.549 | 347886.1952 | 2207.2457 | |
| 1356 | 7623373.997 | 346983.9322 | 2227.7841 | CARRET | 1427 | 7623425.545 | 347889.707 | 2210.1759 | |

| Nº | Norte | Este | Altura | Descripción | Nº | Norte | Este | Altura | Descripción |
|------|-------------|-------------|-----------|-------------|------|-------------|-------------|-----------|-------------|
| 1428 | 7623501.888 | 347898.6211 | 2207.5781 | | 1500 | 7623286.956 | 347238.5665 | 2235.7473 | |
| 1429 | 7623082.798 | 347335.9882 | 2231.7046 | | 1501 | 7623315.417 | 347233.9975 | 2234.7994 | |
| 1430 | 7623096.825 | 347320.9856 | 2225.6748 | | 1502 | 7623292.181 | 347232.4158 | 2235.545 | |
| 1431 | 7623110.463 | 347313.3452 | 2224.806 | CARRET | 1503 | 7623252.018 | 347204.2384 | 2238.4267 | |
| 1432 | 7623096.64 | 347339.9204 | 2235.3408 | | 1504 | 7623262.442 | 347198.5129 | 2236.8093 | CARRET |
| 1433 | 7623109.264 | 347330.4051 | 2230.8793 | | 1505 | 7623276.114 | 347196.3434 | 2233.6777 | |
| 1434 | 7623119.938 | 347308.8671 | 2224.4705 | CARRET | 1506 | 7623843.418 | 346092.4926 | 2285.5581 | BM3 |
| 1435 | 7623107.039 | 347341.6238 | 2237.8727 | | 1507 | 7623839.388 | 346096.3974 | 2284.4285 | B |
| 1436 | 7623118.951 | 347332.7921 | 2233.2727 | | 1508 | 7623258.283 | 347214.2681 | 2236.0283 | CARRET |
| 1437 | 7623126.999 | 347333.9252 | 2234.0465 | | 1509 | 7623274.05 | 347210.468 | 2234.5496 | |
| 1438 | 7623122.161 | 347344.7214 | 2240.1823 | | 1510 | 7623282.758 | 347201.6073 | 2231.8189 | |
| 1439 | 7623136.776 | 347323.1495 | 2226.0059 | CARRET | 1511 | 7623286.958 | 347210.5031 | 2230.7769 | |
| 1440 | 7623144.292 | 347337.3543 | 2237.8662 | | 1512 | 7623300.916 | 347204.8748 | 2231.1603 | |
| 1441 | 7623134.779 | 347347.2135 | 2242.6615 | | 1513 | 7623306.659 | 347216.7778 | 2234.8326 | |
| 1442 | 7623150.732 | 347322.3783 | 2225.9205 | CARRET | 1514 | 7623289.439 | 347219.0574 | 2233.6896 | |
| 1443 | 7623150.937 | 347347.8945 | 2243.7803 | | 1515 | 7623278.886 | 347220.0519 | 2233.6693 | |
| 1444 | 7623163.154 | 347342.7286 | 2240.005 | | 1516 | 7623499.145 | 346179.8233 | 2177.9331 | |
| 1445 | 7623153.839 | 347317.0726 | 2225.9921 | CARRET | 1517 | 7623508.185 | 346190.2848 | 2175.9316 | |
| 1446 | 7623164.496 | 347352.8125 | 2245.7674 | | 1518 | 7623491.424 | 346184.3507 | 2179.4398 | |
| 1447 | 7623177.523 | 347344.3107 | 2240.1866 | | 1519 | 7623491.402 | 346206.6822 | 2173.6052 | |
| 1448 | 7623165.971 | 347316.9084 | 2225.744 | CARRET | 1520 | 7623478.075 | 346185.9696 | 2179.3988 | |
| 1449 | 7623178.626 | 347356.4108 | 2246.4711 | | 1521 | 7623475.47 | 346214.0011 | 2173.8863 | |
| 1450 | 7623192.088 | 347343.7979 | 2238.8295 | | 1522 | 7623466.954 | 346184.3821 | 2179.8012 | |
| 1451 | 7623171.249 | 347323.3805 | 2225.7769 | CARRET | 1523 | 7623452.275 | 346219.8379 | 2173.8356 | |
| 1452 | 7623176.789 | 347318.3894 | 2225.2529 | CARRET | 1524 | 7623479.816 | 346168.0625 | 2181.0286 | CARRET |
| 1453 | 7623189.264 | 347360.8316 | 2247.9194 | | 1525 | 7623487.208 | 346170.5455 | 2180.4734 | |
| 1454 | 7623190.164 | 347322.4479 | 2224.5643 | CARRET | 1526 | 7623471.147 | 346174.4509 | 2181.5351 | CARRET |
| 1455 | 7623191.628 | 347317.1099 | 2224.4726 | CARRET | 1527 | 7623471.89 | 346179.2342 | 2181.3607 | CARRET |
| 1456 | 7623205.561 | 347364.0011 | 2247.3319 | | 1528 | 7623455.844 | 346196.3483 | 2177.2335 | |
| 1457 | 7623208.314 | 347344.583 | 2238.2751 | | 1529 | 7623448.635 | 346177.6328 | 2183.0749 | CARRET |
| 1458 | 7623204.001 | 347322.0608 | 2223.3747 | CARRET | 1530 | 7623438.514 | 346205.3992 | 2177.0761 | |
| 1459 | 7623204.236 | 347316.5073 | 2223.5164 | CARRET | 1531 | 7623437.657 | 346223.1754 | 2174.8578 | |
| 1460 | 7623217.836 | 347366.4149 | 2246.7897 | | 1532 | 7623446.875 | 346182.2044 | 2183.0694 | CARRET |
| 1461 | 7623225.614 | 347344.6751 | 2236.9093 | | 1533 | 7623423.994 | 346228.4566 | 2175.1305 | |
| 1462 | 7623220.64 | 347323.1546 | 2222.0481 | CARRET | 1534 | 7623432.548 | 346185.8352 | 2183.972 | CARRET |
| 1463 | 7623220.242 | 347317.4603 | 2222.1608 | CARRET | 1535 | 7623420.465 | 346217.3303 | 2178.12 | |
| 1464 | 7623230.867 | 347368.3466 | 2245.4329 | | 1536 | 7623418.555 | 346189.2547 | 2184.6641 | CARRET |
| 1465 | 7623237.017 | 347347.1342 | 2236.1772 | | 1537 | 7623403.248 | 346191.9219 | 2185.2466 | CARRET |
| 1466 | 7623237.101 | 347325.2431 | 2221.317 | CARRET | 1538 | 7623410.354 | 346239.8228 | 2177.3835 | |
| 1467 | 7623238.219 | 347320.0048 | 2221.1006 | CARRET | 1539 | 7623404.364 | 346202.725 | 2183.5701 | |
| 1468 | 7623244.032 | 347365.628 | 2244.8774 | | 1540 | 7623391.507 | 346194.6776 | 2185.8316 | CARRET |
| 1469 | 7623245.294 | 347343.5804 | 2235.1768 | | 1541 | 7623394.219 | 346212.0214 | 2183.3105 | |
| 1470 | 7623252.985 | 347323.7277 | 2220.8309 | CARRET | 1542 | 7623380.151 | 346198.6087 | 2186.2826 | CARRET |
| 1471 | 7623253.042 | 347317.7682 | 2220.7188 | CARRET | 1543 | 7623393.865 | 346250.0867 | 2177.5864 | |
| 1472 | 7623262.623 | 347365.9009 | 2243.288 | | 1544 | 7623379.533 | 346225.5816 | 2182.91 | |
| 1473 | 7623260.02 | 347339.7676 | 2232.8208 | | 1545 | 7623369.981 | 346202.6715 | 2186.4421 | CARRET |
| 1474 | 7623262.247 | 347323.097 | 2220.3788 | CARRET | 1546 | 7623386.72 | 346263.7238 | 2177.5554 | |
| 1475 | 7623273.168 | 347324.0096 | 2219.9614 | CARRET | 1547 | 7623366.003 | 346233.9592 | 2182.5786 | |
| 1476 | 7623283.061 | 347324.3512 | 2219.6487 | CARRET | 1548 | 7623345.704 | 346216.5884 | 2186.1884 | CARRET |
| 1478 | 7623299.057 | 347313.5391 | 2216.8644 | | 1549 | 7623382.367 | 346277.6722 | 2177.6736 | |
| 1479 | 7623252.518 | 347311.9454 | 2216.7533 | | 1550 | 7623361.399 | 346247.4834 | 2183.4243 | |
| 1481 | 7623238.395 | 347308.7195 | 2216.3796 | | 1551 | 7623329.029 | 346229.112 | 2187.0951 | CARRET |
| 1482 | 7623226.501 | 347304.9129 | 2214.6232 | | 1552 | 7623362.377 | 346255.5727 | 2183.7129 | |
| 1483 | 7623232.326 | 347304.4533 | 2214.2861 | | 1553 | 7623320.317 | 346239.715 | 2188.0436 | CARRET |
| 1484 | 7623216.072 | 347311.2602 | 2219.2846 | | 1554 | 7623353.701 | 346266.0379 | 2185.003 | |
| 1485 | 7623206.805 | 347307.3678 | 2215.6794 | | 1555 | 7623317.633 | 346255.0874 | 2188.5785 | CARRET |
| 1486 | 7623194.616 | 347306.8912 | 2216.8767 | | 1556 | 7623379.272 | 346296.1516 | 2178.9316 | |
| 1487 | 7623185.238 | 347308.0678 | 2217.614 | | 1557 | 7623317.858 | 346272.8897 | 2189.064 | CARRET |
| 1488 | 7623168.63 | 347305.2081 | 2220.4017 | | 1558 | 7623349.605 | 346290.7616 | 2184.859 | |
| 1489 | 7623308.303 | 347321.3205 | 2219.3253 | | 1559 | 7623317.707 | 346285.8722 | 2189.4018 | CARRET |
| 1490 | 7623313.382 | 347323.539 | 2219.186 | | 1560 | 7623385.671 | 346313.5397 | 2177.7674 | |
| 1491 | 7623283.884 | 347265.427 | 2229.6935 | | 1561 | 7623321.792 | 346305.6139 | 2190.2586 | CARRET |
| 1492 | 7623284.243 | 347272.9303 | 2225.4032 | | 1562 | 7623356.164 | 346302.5773 | 2185.3875 | |
| 1493 | 7623292.8 | 347262.7616 | 2230.9328 | | 1563 | 7623327.418 | 346315.0336 | 2190.4486 | CARRET |
| 1494 | 7623295.359 | 347271.1736 | 2225.5373 | | 1564 | 7623362.121 | 346317.4872 | 2186.1827 | |
| 1495 | 7623289.175 | 347255.1785 | 2232.8157 | | 1565 | 7623333.536 | 346325.503 | 2190.7368 | CARRET |
| 1496 | 7623306.226 | 347260.7513 | 2229.5941 | | 1566 | 7623369.319 | 346330.8754 | 2187.1208 | |
| 1497 | 7623279.134 | 347255.7041 | 2234.2449 | | 1567 | 7623339.706 | 346336.3363 | 2191.2631 | CARRET |
| 1498 | 7623302.303 | 347251.2637 | 2232.7135 | | 1568 | 7623390.948 | 346330.5081 | 2178.0718 | |
| 1499 | 7623288.991 | 347249.0584 | 2234.0215 | | 1569 | 7623374.915 | 346344.1658 | 2187.649 | |

| Nº | Norte | Este | Altura | Descripción | Nº | Norte | Este | Altura | Descripción |
|------|-------------|-------------|-----------|-------------|------|-------------|-------------|-----------|-------------|
| 1570 | 7623343.737 | 346348.0874 | 2191.7784 | CARRET | 1640 | 7623575.862 | 346685.3584 | 2194.6585 | |
| 1571 | 7623394.751 | 346347.7959 | 2180.1096 | | 1641 | 7623541.276 | 346675.3252 | 2195.5763 | |
| 1572 | 7623343.979 | 346357.433 | 2192.086 | CARRET | 1642 | 7623581.285 | 346707.7602 | 2195.1051 | |
| 1573 | 7623402.191 | 346356.6626 | 2179.8353 | | 1643 | 7623519.034 | 346664.1802 | 2194.4423 | CARRET |
| 1574 | 7623342.414 | 346366.3856 | 2192.2871 | CARRET | 1644 | 7623550.868 | 346703.134 | 2197.2927 | |
| 1575 | 7623341.548 | 346379.1627 | 2192.8848 | CARRET | 1645 | 7623521.994 | 346676.4599 | 2196.1223 | CARRET |
| 1576 | 7623351.436 | 346385.3868 | 2193.3451 | CARRET | 1646 | 7623554.474 | 346716.9303 | 2197.8838 | |
| 1577 | 7623375.162 | 346374.0054 | 2189.8583 | | 1647 | 7623522.74 | 346679.5576 | 2196.5164 | CARRET |
| 1578 | 7623410.266 | 346372.6093 | 2178.4361 | | 1648 | 7623566.959 | 346738.623 | 2197.9105 | |
| 1579 | 7623360.802 | 346390.804 | 2194.0615 | CARRET | 1649 | 7623524.314 | 346688.3492 | 2197.5161 | CARRET |
| 1580 | 7623388.373 | 346389.5275 | 2189.1711 | | 1650 | 7623537.882 | 346699.0635 | 2197.7597 | |
| 1581 | 7623374.748 | 346400.3109 | 2193.7479 | CARRET | 1651 | 7623577.535 | 346754.4041 | 2198.3671 | |
| 1582 | 7623421.488 | 346389.0193 | 2178.2231 | | 1652 | 7623526.349 | 346700.4218 | 2198.8916 | CARRET |
| 1583 | 7623394.968 | 346399.1782 | 2189.0213 | | 1653 | 7623546.037 | 346718.6853 | 2198.7938 | |
| 1584 | 7623386.486 | 346406.3132 | 2192.9293 | CARRET | 1654 | 7623529.306 | 346718.6268 | 2200.6971 | CARRET |
| 1585 | 7623433.387 | 346400.348 | 2178.2534 | | 1655 | 7623580.269 | 346783.426 | 2199.7049 | |
| 1586 | 7623406.408 | 346409.593 | 2188.8409 | | 1656 | 7623550.3 | 346738.8965 | 2199.995 | |
| 1587 | 7623399.582 | 346412.4916 | 2191.9474 | CARRET | 1657 | 7623530.501 | 346734.7351 | 2202.1953 | CARRET |
| 1588 | 7623415.914 | 346417.0338 | 2188.5044 | | 1658 | 7623549.49 | 346755.9481 | 2202.2003 | |
| 1589 | 7623408.989 | 346417.2292 | 2191.423 | CARRET | 1659 | 7623532.239 | 346747.5683 | 2203.7265 | CARRET |
| 1590 | 7623427.457 | 346418.8126 | 2185.0234 | | 1660 | 7623535.697 | 346764.8929 | 2205.847 | CARRET |
| 1591 | 7623447.18 | 346413.7536 | 2178.3811 | | 1661 | 7623552.741 | 346773.3397 | 2203.6076 | |
| 1592 | 7623420.046 | 346424.2753 | 2190.9656 | CARRET | 1662 | 7623539.509 | 346777.8678 | 2207.5775 | CARRET |
| 1593 | 7623448.431 | 346428.9951 | 2182.5903 | | 1663 | 7623584.236 | 346801.2142 | 2200.7115 | |
| 1594 | 7623462.972 | 346424.9963 | 2178.6747 | | 1664 | 7623562.83 | 346791.5316 | 2204.2403 | |
| 1595 | 7623432.343 | 346432.7834 | 2190.5756 | CARRET | 1665 | 7623542.651 | 346787.686 | 2208.5606 | CARRET |
| 1596 | 7623440.504 | 346438.2843 | 2190.3476 | CARRET | 1666 | 7623589.582 | 346823.6517 | 2201.5963 | |
| 1597 | 7623447.808 | 346443.7235 | 2190.1731 | CARRET | 1667 | 7623570.127 | 346811.9622 | 2205.5109 | |
| 1598 | 7623455.712 | 346451.0847 | 2189.9542 | CARRET | 1668 | 7623547.276 | 346797.7671 | 2209.9021 | CARRET |
| 1599 | 7623467.905 | 346446.405 | 2183.1274 | | 1669 | 7623551.437 | 346808.5215 | 2211.1832 | CARRET |
| 1600 | 7623481.139 | 346443.2741 | 2179.7654 | | 1670 | 7623586.912 | 346837.6328 | 2203.8586 | |
| 1601 | 7623461.257 | 346457.9362 | 2189.7116 | CARRET | 1671 | 7623576.377 | 346834.7208 | 2206.6053 | |
| 1602 | 7623488.265 | 346457.3705 | 2180.9696 | | 1672 | 7623554.768 | 346818.0597 | 2212.2037 | CARRET |
| 1603 | 7623465.97 | 346464.9615 | 2189.4855 | CARRET | 1673 | 7623581.718 | 346853.8864 | 2203.9962 | |
| 1604 | 7623465.957 | 346464.971 | 2189.5012 | CARRET | 1674 | 7623570.18 | 346845.7237 | 2207.7276 | |
| 1605 | 7623481.694 | 346463.1026 | 2183.506 | | 1675 | 7623556.037 | 346829.2648 | 2212.9262 | CARRET |
| 1606 | 7623469.038 | 346473.2561 | 2189.1503 | CARRET | 1676 | 7623553.919 | 346840.7971 | 2213.715 | CARRET |
| 1607 | 7623493.828 | 346472.5036 | 2179.2527 | | 1677 | 7623545.25 | 346842.567 | 2213.818 | CARRET |
| 1608 | 7623479.974 | 346477.5994 | 2184.9037 | | 1678 | 7623503.135 | 346818.2091 | 2225.7823 | |
| 1609 | 7623471.413 | 346481.4205 | 2189.0901 | CARRET | 1679 | 7623530.085 | 346820.3016 | 2218.788 | |
| 1610 | 7623489.564 | 346487.1137 | 2179.3019 | | 1680 | 7623548.525 | 346832.99 | 2212.8048 | CARRET |
| 1611 | 7623471.793 | 346489.8537 | 2188.5202 | CARRET | 1681 | 7623498.396 | 346802.246 | 2221.7702 | |
| 1612 | 7623478.168 | 346495.4583 | 2185.1128 | | 1682 | 7623548.01 | 346818.0929 | 2211.5699 | CARRET |
| 1613 | 7623472.294 | 346499.1085 | 2187.8889 | CARRET | 1683 | 7623544.134 | 346814.707 | 2213.5114 | |
| 1614 | 7623477.86 | 346506.0548 | 2184.9807 | | 1684 | 7623543.53 | 346807.2022 | 2210.4225 | CARRET |
| 1615 | 7623472.339 | 346499.2101 | 2187.9883 | CARRET | 1685 | 7623538.762 | 346803.1058 | 2212.2146 | |
| 1616 | 7623474.996 | 346513.0684 | 2187.4221 | CARRET | 1686 | 7623539.035 | 346796.9156 | 2209.165 | CARRET |
| 1617 | 7623493.108 | 346539.208 | 2180.74 | | 1687 | 7623535.669 | 346789.3608 | 2208.1851 | CARRET |
| 1618 | 7623494.947 | 346520.7274 | 2180.3147 | | 1688 | 7623524.356 | 346798.2919 | 2214.4761 | |
| 1619 | 7623477.978 | 346523.6446 | 2186.744 | CARRET | 1689 | 7623532.92 | 346782.1433 | 2207.3795 | CARRET |
| 1620 | 7623492.378 | 346555.0484 | 2181.2408 | | 1690 | 7623493.209 | 346789.7536 | 2219.7602 | |
| 1621 | 7623479.654 | 346532.0023 | 2186.1675 | CARRET | 1691 | 7623532.863 | 346787.1592 | 2209.9614 | |
| 1622 | 7623499.922 | 346533.1619 | 2182.8191 | | 1692 | 7623529.35 | 346769.8994 | 2205.9918 | CARRET |
| 1623 | 7623483.231 | 346546.9654 | 2185.4182 | CARRET | 1693 | 7623528.483 | 346776.5774 | 2208.3946 | |
| 1624 | 7623499.787 | 346563.5194 | 2185.0319 | | 1694 | 7623488.353 | 346774.7012 | 2215.9556 | |
| 1625 | 7623488.989 | 346561.6447 | 2184.7588 | CARRET | 1695 | 7623511.301 | 346777.8004 | 2212.2147 | |
| 1626 | 7623503.825 | 346555.486 | 2184.7851 | | 1696 | 7623526.863 | 346769.124 | 2207.5405 | |
| 1627 | 7623513.794 | 346545.2826 | 2185.6139 | | 1697 | 7623486.149 | 346764.2727 | 2213.4998 | |
| 1628 | 7623497.733 | 346567.6151 | 2184.9876 | CARRET | 1698 | 7623510.913 | 346763.8668 | 2209.2514 | |
| 1629 | 7623501.801 | 346573.4381 | 2185.4126 | CARRET | 1699 | 7623525.374 | 346762.7899 | 2206.5873 | |
| 1630 | 7623522.589 | 346557.4045 | 2187.2545 | | 1700 | 7623480.712 | 346748.1235 | 2210.18 | |
| 1631 | 7623503.546 | 346569.0365 | 2185.8439 | | 1701 | 7623523.666 | 346752.2201 | 2205.3199 | |
| 1632 | 7623505.766 | 346574.4389 | 2186.1159 | | 1702 | 7623506.629 | 346738.0321 | 2205.4211 | |
| 1633 | 7623502.601 | 346576.121 | 2185.6657 | CARRET | 1703 | 7623522.174 | 346735.8827 | 2203.2861 | |
| 1634 | 7623505.449 | 346583.9203 | 2186.3389 | CARRET | 1704 | 7623480.289 | 346733.302 | 2207.1183 | |
| 1635 | 7623508.837 | 346597.3431 | 2187.7827 | | 1705 | 7623528.366 | 346765.8418 | 2205.3543 | CARRET |
| 1636 | 7623556.751 | 346652.6375 | 2194.6673 | | 1706 | 7623525.431 | 346751.842 | 2203.7167 | CARRET |
| 1637 | 7623509.96 | 346605.7416 | 2188.3366 | | 1707 | 7623524.398 | 346739.2241 | 2202.4305 | CARRET |
| 1638 | 7623509.645 | 346612.6102 | 2189.3568 | CARRET | 1708 | 7623521.351 | 346727.3339 | 2202.23 | |
| 1639 | 7623532.995 | 346657.723 | 2194.6586 | | 1709 | 7623518.976 | 346714.1396 | 2200.9181 | |

| Nº | Norte | Este | Altura | Descripción | Nº | Norte | Este | Altura | Descripción |
|------|-------------|-------------|-----------|-------------|------|-------------|-------------|-----------|-------------|
| 1710 | 7623496.98 | 346719.8023 | 2203.6189 | | 1781 | 7623443.798 | 346445.4752 | 2190.2167 | CARRET |
| 1711 | 7623517.994 | 346704.3864 | 2199.7569 | | 1782 | 7623429.213 | 346465.7843 | 2203.6696 | |
| 1712 | 7623478.338 | 346719.2153 | 2203.6575 | | 1783 | 7623449.584 | 346454.4711 | 2192.15 | |
| 1713 | 7623490.874 | 346702.0065 | 2199.7889 | | 1784 | 7623436.361 | 346453.9778 | 2197.0148 | |
| 1714 | 7623523.155 | 346729.8924 | 2201.5571 | CARRET | 1785 | 7623439.418 | 346445.0742 | 2192.1775 | |
| 1715 | 7623521.677 | 346715.0502 | 2200.0848 | CARRET | 1786 | 7623419.834 | 346457.1844 | 2204.0665 | |
| 1716 | 7623519.376 | 346701.0416 | 2198.4398 | CARRET | 1787 | 7623425.268 | 346445.6949 | 2197.4873 | |
| 1717 | 7623475.652 | 346702.6969 | 2198.9096 | | 1788 | 7623427.369 | 346436.1743 | 2192.6576 | |
| 1718 | 7623491.354 | 346681.017 | 2194.6886 | | 1789 | 7623421.522 | 346432.4664 | 2192.5228 | |
| 1719 | 7623517.227 | 346686.6879 | 2197.043 | CARRET | 1790 | 7623410.113 | 346449.8079 | 2203.849 | |
| 1720 | 7623514.169 | 346668.4003 | 2194.9361 | CARRET | 1791 | 7623437.684 | 346440.7728 | 2190.4184 | CARRET |
| 1721 | 7623474.941 | 346686.7578 | 2193.8225 | | 1792 | 7623426.608 | 346432.9275 | 2190.6796 | CARRET |
| 1722 | 7623516.849 | 346696.5503 | 2198.8218 | | 1793 | 7623410.359 | 346422.0158 | 2191.2627 | CARRET |
| 1723 | 7623515.321 | 346684.6561 | 2197.4819 | | 1794 | 7623411.256 | 346434.0239 | 2196.6872 | |
| 1724 | 7623513.101 | 346671.8784 | 2195.6904 | | 1795 | 7623416.292 | 346428.1066 | 2192.1758 | |
| 1725 | 7623487.728 | 346671.34 | 2192.6735 | | 1796 | 7623391.889 | 346435.8904 | 2202.5442 | |
| 1726 | 7623476.731 | 346651.5302 | 2186.3109 | | 1797 | 7623406.496 | 346423.1828 | 2193.389 | |
| 1727 | 7623512.899 | 346657.6345 | 2193.4474 | CARRET | 1798 | 7623394.261 | 346423.4435 | 2196.5558 | |
| 1728 | 7623511.524 | 346647.4849 | 2192.3426 | CARRET | 1799 | 7623407.835 | 346420.4122 | 2191.2999 | CARRET |
| 1729 | 7623478.14 | 346651.8046 | 2188.7716 | | 1800 | 7623391.884 | 346415.9063 | 2194.4489 | |
| 1730 | 7623509.891 | 346638.3178 | 2191.5221 | CARRET | 1801 | 7623398.175 | 346415.4919 | 2191.8012 | CARRET |
| 1731 | 7623486.252 | 346623.8863 | 2184.1783 | | 1802 | 7623371.391 | 346432.1242 | 2205.4847 | |
| 1732 | 7623508.016 | 346631.033 | 2190.9418 | CARRET | 1803 | 7623336.074 | 346410.6559 | 2192.8193 | CARRET |
| 1734 | 7623474.122 | 346638.0684 | 2189.4576 | | 1804 | 7623381.168 | 346411.0559 | 2195.1156 | |
| 1735 | 7623503.85 | 346606.4199 | 2188.7627 | CARRET | 1805 | 7623357.411 | 346428.708 | 2205.4678 | |
| 1736 | 7623487.268 | 346608.4047 | 2183.7308 | | 1806 | 7623374.041 | 346418.9465 | 2199.346 | |
| 1737 | 7623501.012 | 346593.2276 | 2187.5232 | CARRET | 1807 | 7623372.859 | 346404.4362 | 2193.8246 | CARRET |
| 1738 | 7623475.31 | 346623.0108 | 2190.4962 | | 1808 | 7623372.471 | 346406.782 | 2195.1074 | |
| 1739 | 7623498.912 | 346581.6627 | 2186.0029 | CARRET | 1809 | 7623344.868 | 346422.0264 | 2201.9718 | |
| 1740 | 7623489.085 | 346587.1275 | 2182.8267 | | 1810 | 7623354.22 | 346410.9598 | 2198.7096 | |
| 1741 | 7623472.512 | 346603.5289 | 2190.0445 | | 1811 | 7623360.642 | 346400.1259 | 2195.3939 | |
| 1742 | 7623496.439 | 346574.9867 | 2185.1216 | CARRET | 1812 | 7623347.399 | 346409.7735 | 2198.1617 | |
| 1743 | 7623490.377 | 346576.2899 | 2182.3841 | | 1813 | 7623354.28 | 346396.7589 | 2195.2306 | |
| 1744 | 7623493.901 | 346569.9281 | 2184.8406 | CARRET | 1814 | 7623335.456 | 346419.8293 | 2197.5637 | |
| 1745 | 7623476.478 | 346581.431 | 2191.4088 | | 1815 | 7623345.031 | 346395.3337 | 2194.4249 | |
| 1746 | 7623486.864 | 346565.1988 | 2184.7281 | CARRET | 1816 | 7623340.839 | 346411.6972 | 2195.7499 | |
| 1747 | 7623481.474 | 346565.4615 | 2187.8245 | | 1817 | 7623367.03 | 346401.0016 | 2193.9464 | CARRET |
| 1748 | 7623467.672 | 346568.936 | 2194.0947 | | 1818 | 7623356.782 | 346394.3786 | 2193.8043 | CARRET |
| 1749 | 7623482.191 | 346559.1097 | 2185.0063 | CARRET | 1819 | 7623327.447 | 346418.4574 | 2201.6185 | |
| 1750 | 7623479.815 | 346550.5255 | 2185.1733 | CARRET | 1820 | 7623330.348 | 346405.261 | 2199.4417 | |
| 1751 | 7623453.997 | 346543.688 | 2196.2698 | BM10 | 1821 | 7623343.542 | 346390.5167 | 2193.0202 | CARRET |
| 1752 | 7623446.595 | 346533.4562 | 2197.7731 | B | 1822 | 7623318.334 | 346406.3677 | 2204.7583 | |
| 1753 | 7623476.799 | 346547.7678 | 2187.8632 | | 1823 | 7623336.903 | 346382.6992 | 2193.0965 | CARRET |
| 1754 | 7623477.488 | 346542.9097 | 2185.4685 | CARRET | 1824 | 7623322.46 | 346388.7572 | 2200.447 | |
| 1755 | 7623475.081 | 346540.2164 | 2187.9423 | | 1825 | 7623334.712 | 346387.5854 | 2194.6688 | |
| 1756 | 7623446.516 | 346549.8791 | 2198.914 | | 1826 | 7623332.566 | 346377.8704 | 2194.8346 | |
| 1757 | 7623475.724 | 346532.3178 | 2185.889 | CARRET | 1827 | 7623310.452 | 346391.6288 | 2206.5871 | |
| 1758 | 7623471.277 | 346524.8946 | 2189.5087 | | 1828 | 7623334.991 | 346368.5547 | 2194.617 | |
| 1759 | 7623444.033 | 346529.3666 | 2198.7518 | | 1829 | 7623336.891 | 346359.8919 | 2193.7104 | |
| 1760 | 7623459.083 | 346532.9291 | 2193.7823 | | 1830 | 7623335.593 | 346348.7062 | 2193.0311 | |
| 1761 | 7623472.194 | 346516.653 | 2186.9054 | CARRET | 1831 | 7623308.321 | 346382.0522 | 2205.8023 | |
| 1762 | 7623458.301 | 346510.9974 | 2193.0494 | | 1832 | 7623321.599 | 346373.2269 | 2199.7547 | |
| 1763 | 7623468.828 | 346503.6386 | 2187.7727 | CARRET | 1833 | 7623336.31 | 346376.0464 | 2192.8715 | CARRET |
| 1764 | 7623466.478 | 346503.8408 | 2189.6529 | | 1834 | 7623339.491 | 346361.7208 | 2192.0161 | CARRET |
| 1765 | 7623440.344 | 346513.2414 | 2199.7127 | | 1835 | 7623319.967 | 346360.989 | 2199.2789 | |
| 1766 | 7623467.823 | 346492.021 | 2188.3644 | CARRET | 1836 | 7623303.853 | 346368.119 | 2205.3204 | |
| 1767 | 7623438.858 | 346500.5887 | 2201.5122 | | 1837 | 7623337.55 | 346344.0529 | 2191.293 | CARRET |
| 1768 | 7623465.7 | 346494.7742 | 2189.9611 | | 1838 | 7623299.472 | 346354.2941 | 2205.6521 | |
| 1769 | 7623452.127 | 346494.1 | 2195.4225 | | 1839 | 7623312.261 | 346348.1232 | 2200.1546 | |
| 1770 | 7623464.862 | 346482.135 | 2190.643 | | 1840 | 7623333.384 | 346334.4821 | 2190.9548 | CARRET |
| 1771 | 7623436.794 | 346490.2081 | 2202.1515 | | 1841 | 7623330.042 | 346333.8522 | 2192.2577 | |
| 1772 | 7623467.108 | 346479.0804 | 2189.0348 | CARRET | 1842 | 7623324.756 | 346326.6823 | 2192.444 | |
| 1773 | 7623463.506 | 346467.6913 | 2189.3565 | CARRET | 1843 | 7623309.781 | 346333.6745 | 2198.3114 | |
| 1774 | 7623460.301 | 346466.7663 | 2191.055 | | 1844 | 7623292.533 | 346338.2448 | 2204.2209 | |
| 1775 | 7623451.804 | 346472.9088 | 2194.8849 | | 1845 | 7623318.969 | 346316.4044 | 2191.8165 | |
| 1776 | 7623432.278 | 346474.8022 | 2202.461 | | 1846 | 7623301.89 | 346320.0179 | 2196.7838 | |
| 1777 | 7623453.102 | 346456.2333 | 2191.4235 | | 1847 | 7623279.697 | 346320.7236 | 2202.2785 | |
| 1778 | 7623443.756 | 346459.1529 | 2195.9605 | | 1848 | 7623312.003 | 346302.9025 | 2191.2325 | |
| 1779 | 7623458.505 | 346459.8332 | 2189.4717 | CARRET | 1849 | 7623297.42 | 346306.5054 | 2194.8602 | |
| 1780 | 7623450.964 | 346451.4198 | 2189.7826 | CARRET | 1850 | 7623270.682 | 346299.7311 | 2198.9792 | |

| Nº | Norte | Este | Altura | Descripción | Nº | Norte | Este | Altura | Descripción |
|------|-------------|-------------|-----------|-------------|------|-------------|-------------|-----------|-------------|
| 1851 | 7623309.017 | 346293.1028 | 2191.0045 | | 1923 | 7623352.82 | 345990.4356 | 2175.8724 | |
| 1852 | 7623295.901 | 346292.3757 | 2193.0824 | | 1924 | 7623421.638 | 346002.3144 | 2176.5738 | |
| 1853 | 7623306.725 | 346286.3128 | 2190.8522 | | 1925 | 7623365.412 | 345999.1132 | 2176.0053 | |
| 1854 | 7623265.824 | 346283.4349 | 2197.1186 | | 1926 | 7623434.203 | 345995.5402 | 2176.2065 | |
| 1855 | 7623326.435 | 346322.6219 | 2190.5102 | CARRET | 1927 | 7623444.169 | 345919.7337 | 2171.9497 | |
| 1856 | 7623317.276 | 346307.4231 | 2190.2398 | CARRET | 1928 | 7623373.815 | 345999.7239 | 2178.8985 | |
| 1857 | 7623296.753 | 346279.5028 | 2192.0529 | | 1929 | 7623458.523 | 345986.6453 | 2176.2956 | |
| 1858 | 7623312.649 | 346287.5666 | 2189.4027 | CARRET | 1930 | 7623467.262 | 345941.2045 | 2172.9504 | |
| 1859 | 7623261.546 | 346268.2525 | 2197.6602 | | 1931 | 7623375.502 | 346026.0508 | 2180.0602 | |
| 1860 | 7623312.263 | 346274.957 | 2188.931 | CARRET | 1932 | 7623488.801 | 346017.5492 | 2176.1846 | |
| 1861 | 7623289.683 | 346262.1994 | 2191.9351 | | 1933 | 7623478.323 | 345961.5399 | 2175.043 | |
| 1862 | 7623311.867 | 346260.0355 | 2188.4348 | CARRET | 1934 | 7623383.708 | 346056.9222 | 2180.819 | |
| 1863 | 7623262.623 | 346249.58 | 2197.2996 | | 1935 | 7623461.062 | 346054.5958 | 2178.3153 | |
| 1864 | 7623309.205 | 346275.8684 | 2190.1589 | | 1936 | 7623407.111 | 346102.7024 | 2181.3721 | |
| 1865 | 7623308.999 | 346262.1162 | 2189.5076 | | 1937 | 7623429.3 | 346077.657 | 2180.1752 | CARRET |
| 1866 | 7623306.675 | 346254.5355 | 2189.2091 | | 1938 | 7623419.181 | 345993.9666 | 2176.1574 | |
| 1867 | 7623290.402 | 346243.1661 | 2191.8389 | | 1939 | 7623470.728 | 346061.5315 | 2178.0685 | |
| 1868 | 7623310.738 | 346237.9111 | 2188.9979 | | 1940 | 7623496.448 | 346092.4721 | 2178.5575 | |
| 1869 | 7623269.184 | 346230.3561 | 2197.173 | | 1941 | 7623414.115 | 346045.2885 | 2179.9133 | |
| 1870 | 7623313.502 | 346243.3536 | 2188.2408 | CARRET | 1942 | 7623398.805 | 346019.381 | 2179.686 | |
| 1871 | 7623296.077 | 346224.9412 | 2191.9868 | | 1943 | 7623528.466 | 346108.0705 | 2177.4517 | |
| 1872 | 7623273.968 | 346213.587 | 2197.5505 | | 1944 | 7623398.923 | 345995.0553 | 2177.9942 | |
| 1873 | 7623315.099 | 346239.1952 | 2188.0632 | CARRET | 1945 | 7623542.636 | 346150.7947 | 2173.7664 | |
| 1874 | 7623320.973 | 346229.4851 | 2187.4856 | CARRET | 1946 | 7623524.202 | 346175.3212 | 2174.0707 | |
| 1875 | 7623307.807 | 346211.166 | 2190.7222 | | 1947 | 7623520.871 | 346190.9679 | 2173.9389 | |
| 1876 | 7623330.486 | 346218.2691 | 2186.7836 | CARRET | 1948 | 7623518.069 | 346167.992 | 2175.5314 | |
| 1877 | 7623284.543 | 346198.3003 | 2195.7254 | | 1949 | 7623508.787 | 346184.009 | 2176.0287 | |
| 1878 | 7623321.404 | 346197.185 | 2191.5223 | | 1950 | 7623506.011 | 346167.7623 | 2179.8407 | |
| 1879 | 7623342.999 | 346210.1047 | 2186.5466 | CARRET | 1951 | 7623497.322 | 346171.5609 | 2179.5793 | |
| 1880 | 7623296.885 | 346185.1737 | 2195.9622 | | 1952 | 7623493.581 | 346156.9447 | 2182.5403 | |
| 1881 | 7623359.142 | 346202.2524 | 2186.5167 | CARRET | 1953 | 7623504.622 | 346159.2018 | 2181.4543 | |
| 1882 | 7623336.954 | 346189.0849 | 2191.8383 | | 1954 | 7623498.492 | 346165.2056 | 2181.6009 | |
| 1883 | 7623359.192 | 346202.2759 | 2186.5251 | CARRET | 1955 | 7623488.748 | 346156.6395 | 2182.3721 | |
| 1884 | 7623312.895 | 346177.0909 | 2196.5599 | | 1956 | 7623502.484 | 346146.2655 | 2182.7232 | |
| 1885 | 7623354.416 | 346181.8828 | 2191.6987 | | 1957 | 7623489.803 | 346137.6588 | 2183.0611 | |
| 1886 | 7623378.024 | 346194.2409 | 2186.3768 | CARRET | 1958 | 7623485.039 | 346142.1453 | 2182.6838 | |
| 1887 | 7623337.374 | 346170.0908 | 2195.8799 | | 1959 | 7623478.307 | 346142.7442 | 2181.77 | CARRET |
| 1888 | 7623369.595 | 346177.7415 | 2190.8774 | | 1960 | 7623407.948 | 345914.2583 | 2171.0305 | Q |
| 1889 | 7623400.006 | 346188.1292 | 2185.4411 | CARRET | 1961 | 7623411.734 | 345896.9167 | 2170.7159 | Q |
| 1890 | 7623361.678 | 346164.9541 | 2193.9584 | | 1962 | 7623355.112 | 345962.0849 | 2173.7602 | Q |
| 1891 | 7623385.925 | 346173.1879 | 2190.9279 | | 1963 | 7623428.494 | 345869.7219 | 2169.5658 | Q |
| 1892 | 7623382.749 | 346163.2951 | 2193.1594 | | 1964 | 7623392.881 | 345936.0662 | 2172.595 | Q |
| 1893 | 7623425.776 | 346183.1369 | 2184.2088 | CARRET | 1965 | 7623392.491 | 345916.8043 | 2172.5502 | CARRET |
| 1894 | 7623409.97 | 346168.1236 | 2190.0451 | | 1966 | 7623379.894 | 345862.4083 | 2173.8454 | CARRET |
| 1895 | 7623400.329 | 346157.4477 | 2190.6024 | | 1967 | 7623364.53 | 345828.6634 | 2174.0881 | CARRET |
| 1896 | 7623443.148 | 346178.9759 | 2183.3054 | CARRET | 1968 | 7623367.875 | 345824.8265 | 2174.151 | CARRET |
| 1897 | 7623430.735 | 346166.6442 | 2187.2495 | | 1969 | 7623362.947 | 345821.8956 | 2174.1242 | CARRET |
| 1898 | 7623450.687 | 346167.088 | 2184.5373 | | 1970 | 7623361.831 | 345802.6239 | 2174.3541 | CARRET |
| 1899 | 7623475.666 | 346157.5574 | 2181.4952 | CARRET | 1971 | 7623355.58 | 345803.7049 | 2174.3886 | CARRET |
| 1900 | 7623458.9 | 346160.6526 | 2183.9137 | | 1972 | 7623352.263 | 345782.0704 | 2175.058 | CARRET |
| 1901 | 7623419.03 | 346162.1446 | 2188.6929 | | 1973 | 7623341.247 | 345775.721 | 2175.549 | CARRET |
| 1903 | 7623447.222 | 346148.8107 | 2184.7187 | | 1974 | 7623340.944 | 345765.936 | 2175.4574 | CARRET |
| 1905 | 7623443.8 | 346139.7193 | 2184.1772 | | 1975 | 7623329.004 | 345760.8022 | 2175.1806 | CARRET |
| 1906 | 7623419.989 | 346146.0191 | 2186.7432 | | 1976 | 7623315.751 | 345749.1917 | 2175.0213 | CARRET |
| 1907 | 7623460.681 | 346120.1994 | 2180.4721 | CARRET | 1977 | 7623282.398 | 345710.125 | 2174.4615 | CARRET |
| 1908 | 7623438.85 | 346127.33 | 2182.8683 | | 1978 | 7623265.254 | 345675.1698 | 2174.5256 | CARRET |
| 1909 | 7623454.569 | 346112.4286 | 2180.0209 | CARRET | 1979 | 7623260.028 | 345662.8783 | 2174.4756 | CARRET |
| 1910 | 7623433.738 | 346115.8272 | 2181.6913 | | 1980 | 7623258.515 | 345670.6818 | 2174.5661 | CARRET |
| 1911 | 7623416.711 | 346131.9055 | 2185.1055 | | 1981 | 7623252.141 | 345659.5094 | 2174.5867 | CARRET |
| 1912 | 7623449.129 | 346103.3604 | 2179.7239 | CARRET | 1982 | 7623251.248 | 345627.5313 | 2175.0958 | CARRET |
| 1913 | 7623408.082 | 346122.4376 | 2183.6844 | | 1983 | 7623246.679 | 345624.6639 | 2175.0763 | CARRET |
| 1914 | 7623414.73 | 346028.9068 | 2178.0129 | CARRET | 1984 | 7623246.611 | 345613.2997 | 2175.413 | CARRET |
| 1915 | 7623425.348 | 346045.1015 | 2178.6646 | CARRET | 1985 | 7623249.534 | 345593.2955 | 2176.4116 | CARRET |
| 1916 | 7623404.651 | 345996.5472 | 2175.9929 | CARRET | 1986 | 7623245.286 | 345582.2258 | 2177.4387 | CARRET |
| 1917 | 7623403.442 | 345989.236 | 2175.5096 | CARRET | 1987 | 7623247.522 | 345572.2673 | 2178.45 | CARRET |
| 1918 | 7623396.771 | 345954.1775 | 2173.5818 | CARRET | 1988 | 7623603.255 | 344772.7399 | 2240.3611 | BM2 |
| 1919 | 7623389.869 | 345931.0109 | 2172.7034 | CARRET | 1989 | 7623599.366 | 344769.6544 | 2239.5503 | B |
| 1920 | 7623407.28 | 345939.2535 | 2173.1763 | | 1991 | 7623205.124 | 345684.4345 | 2177.1585 | |
| 1921 | 7623364.448 | 345975.0234 | 2175.0252 | | 1992 | 7623193.032 | 345671.2156 | 2177.6547 | |
| 1922 | 7623409.099 | 345973.8799 | 2174.7908 | | 1993 | 7623310.229 | 345552.1465 | 2172.737 | |

| Nº | Norte | Este | Altura | Descripción | Nº | Norte | Este | Altura | Descripción |
|------|-------------|-------------|-----------|-------------|------|-------------|-------------|-----------|-------------|
| 1994 | 7623197.293 | 345702.6351 | 2178.2034 | | 2067 | 7623502.381 | 346548.207 | 2184.1832 | |
| 1995 | 7623322.34 | 345601.0862 | 2171.5505 | | 2068 | 7623534.131 | 346638.5313 | 2193.6946 | |
| 1996 | 7623207.769 | 345738.876 | 2177.5766 | | 2069 | 7623527.457 | 346641.261 | 2193.5476 | |
| 1997 | 7623263.328 | 345654.5158 | 2173.7081 | | 2070 | 7623503.649 | 346515.6095 | 2182.9707 | |
| 1998 | 7623232.022 | 345768.9718 | 2176.8315 | | 2071 | 7623535.186 | 346653.0561 | 2194.4261 | |
| 1999 | 7623252.467 | 345791.3592 | 2176.8204 | | 2072 | 7623504.932 | 346523.9953 | 2183.5149 | |
| 2000 | 7623283.343 | 345683.4172 | 2173.5429 | | 2073 | 7623544.193 | 346648.1923 | 2194.5544 | |
| 2001 | 7623287.739 | 345822.376 | 2177.401 | | 2074 | 7623514.786 | 346519.3418 | 2184.5125 | |
| 2002 | 7623333.661 | 345739.8667 | 2174.6684 | | 2075 | 7623553.635 | 346643.3367 | 2194.7225 | |
| 2003 | 7623309.424 | 345803.7462 | 2177.0736 | | 2076 | 7623522.086 | 346518.7507 | 2186.346 | |
| 2004 | 7623393.737 | 345711.1053 | 2173.0132 | | 2077 | 7623559.032 | 346654.9488 | 2194.6788 | |
| 2005 | 7623307.42 | 345777.1539 | 2176.35 | | 2078 | 7623524.19 | 346530.1055 | 2186.4078 | |
| 2006 | 7623309.327 | 345759.9781 | 2175.775 | | 2079 | 7623547.788 | 346661.2426 | 2195.0109 | |
| 2007 | 7623418.553 | 345762.9994 | 2175.5608 | | 2080 | 7623531.373 | 346541.6833 | 2188.1135 | |
| 2008 | 7623390.047 | 345782.5922 | 2175.5308 | | 2081 | 7623541.366 | 346664.5171 | 2195.0484 | |
| 2009 | 7623298.665 | 345733.1267 | 2174.8382 | | 2082 | 7623532.859 | 346556.1518 | 2189.4141 | |
| 2010 | 7623439.348 | 345797.2206 | 2170.7744 | | 2083 | 7623520.958 | 346553.7743 | 2186.8614 | |
| 2011 | 7623266.629 | 345690.8873 | 2174.711 | | 2084 | 7623518.876 | 346543.3282 | 2185.5982 | |
| 2012 | 7623458.876 | 345828.5963 | 2169.468 | | 2085 | 7623508.886 | 346546.1853 | 2185.051 | |
| 2013 | 7623409.062 | 345874.7726 | 2171.9703 | | 2086 | 7623507.003 | 346533.5089 | 2184.2861 | |
| 2014 | 7623239.482 | 345688.6672 | 2175.3051 | | 2087 | 7623494.287 | 346544.7391 | 2180.9495 | |
| 2016 | 7623369.458 | 345941.5819 | 2175.9186 | | 2088 | 7623490.768 | 346544.7411 | 2181.2782 | |
| 2017 | 7623375.251 | 345896.9071 | 2176.7485 | | 2089 | 7623492.795 | 346553.4654 | 2181.1985 | |
| 2018 | 7623357.795 | 345948.383 | 2176.5475 | | 2090 | 7623490.864 | 346533.5602 | 2180.8262 | |
| 2019 | 7623359.841 | 345866.297 | 2175.0864 | | 2091 | 7623492.905 | 346491.5539 | 2179.4042 | |
| 2020 | 7623351.893 | 345936.6239 | 2179.4448 | | 2092 | 7623489.777 | 346493.3259 | 2179.5732 | |
| 2021 | 7623344.848 | 345840.5585 | 2175.4052 | | 2093 | 7623397.96 | 344706.6959 | 2190.378 | |
| 2022 | 7623344.056 | 345945.3774 | 2179.6646 | | 2094 | 7623347.932 | 344704.8751 | 2176.5068 | |
| 2023 | 7623320.688 | 345840.6977 | 2177.0652 | | 2095 | 7623328.818 | 344690.6562 | 2172.5771 | CARRET |
| 2024 | 7623335.835 | 345954.519 | 2179.6661 | | 2096 | 7623382.347 | 344735.162 | 2185.3663 | |
| 2025 | 7623291.163 | 345848.8614 | 2177.9915 | | 2097 | 7623343.418 | 344722.8191 | 2176.7454 | |
| 2026 | 7623325.281 | 345945.2338 | 2180.1202 | | 2098 | 7623329.1 | 344701.3786 | 2172.8506 | CARRET |
| 2027 | 7623314.513 | 345893.233 | 2178.7583 | | 2099 | 7623377.615 | 344757.2999 | 2182.5518 | |
| 2028 | 7623322.2 | 345919.4203 | 2179.5167 | | 2100 | 7623342.492 | 344737.5358 | 2176.8364 | |
| 2029 | 7623342.129 | 345904.1449 | 2178.6022 | | 2101 | 7623325.728 | 344716.6682 | 2173.0268 | CARRET |
| 2030 | 7623332.62 | 345898.1044 | 2178.3697 | | 2102 | 7623344.482 | 344752.5265 | 2176.8665 | |
| 2032 | 7623401.563 | 345936.0014 | 2173.2023 | | 2103 | 7623324.17 | 344732.1787 | 2173.4073 | CARRET |
| 2033 | 7623510.935 | 346566.5261 | 2187.0196 | | 2104 | 7623343.927 | 344764.683 | 2176.1608 | |
| 2034 | 7623528.339 | 346565.4009 | 2188.9157 | | 2105 | 7623324.53 | 344750.1316 | 2173.1851 | CARRET |
| 2035 | 7623542.011 | 346565.5982 | 2195.2564 | | 2106 | 7623325.347 | 344769.848 | 2172.6926 | CARRET |
| 2036 | 7623506.388 | 346580.1781 | 2187.0228 | | 2107 | 7623377.891 | 344779.168 | 2180.28 | |
| 2037 | 7623538.732 | 346579.6928 | 2193.7518 | | 2108 | 7623346.9 | 344786.1309 | 2175.3714 | |
| 2038 | 7623507.777 | 346588.3214 | 2187.7824 | | 2109 | 7623326.019 | 344788.6251 | 2172.0529 | CARRET |
| 2039 | 7623527.672 | 346579.2983 | 2189.6246 | | 2110 | 7623378.087 | 344795.0381 | 2178.7016 | |
| 2040 | 7623511.204 | 346573.6413 | 2187.4948 | | 2111 | 7623351.256 | 344799.4271 | 2174.6646 | |
| 2041 | 7623515.517 | 346623.3217 | 2190.936 | | 2112 | 7623327.189 | 344804.5499 | 2171.3947 | CARRET |
| 2042 | 7623516.821 | 346639.0725 | 2191.9062 | | 2113 | 7623383.405 | 344819.723 | 2176.2522 | |
| 2043 | 7623512.803 | 346585.3499 | 2188.4009 | | 2114 | 7623336.807 | 344808.4229 | 2173.7701 | |
| 2044 | 7623521.787 | 346657.4156 | 2193.7549 | | 2115 | 7623329.162 | 344815.5771 | 2170.7387 | CARRET |
| 2045 | 7623522.974 | 346585.2878 | 2189.0447 | | 2116 | 7623335.714 | 344815.2881 | 2173.6167 | |
| 2046 | 7623528.688 | 346668.4414 | 2194.947 | | 2117 | 7623332.003 | 344826.1402 | 2170.2513 | CARRET |
| 2047 | 7623536.095 | 346586.3693 | 2192.4782 | | 2118 | 7623337.82 | 344823.5275 | 2173.1821 | |
| 2048 | 7623536.633 | 346595.713 | 2192.6413 | | 2119 | 7623334.707 | 344835.8409 | 2169.8827 | CARRET |
| 2049 | 7623526.47 | 346595.529 | 2190.1522 | | 2120 | 7623340.924 | 344830.6034 | 2172.9086 | |
| 2050 | 7623513.901 | 346595.2211 | 2189.3904 | | 2121 | 7623381.627 | 344838.001 | 2174.8262 | |
| 2051 | 7623514.936 | 346604.2346 | 2190.1394 | | 2122 | 7623344.591 | 344835.1125 | 2172.7963 | |
| 2052 | 7623516.456 | 346651.8952 | 2192.868 | CARRET | 2123 | 7623341.773 | 344852.5927 | 2168.9684 | CARRET |
| 2053 | 7623527.045 | 346604.4525 | 2190.8708 | | 2124 | 7623356.693 | 344826.7493 | 2173.7445 | |
| 2054 | 7623514.221 | 346639.5107 | 2191.6362 | CARRET | 2125 | 7623345.523 | 344849.7018 | 2172.5652 | |
| 2055 | 7623535.585 | 346603.9386 | 2192.3063 | | 2126 | 7623367.151 | 344843.7688 | 2173.4831 | |
| 2056 | 7623511.813 | 346626.811 | 2190.5412 | CARRET | 2127 | 7623389.245 | 344861.2894 | 2174.7222 | |
| 2057 | 7623538.757 | 346615.3363 | 2193.0444 | | 2128 | 7623365.432 | 344857.9785 | 2172.4423 | |
| 2058 | 7623528.474 | 346615.3604 | 2191.7617 | | 2129 | 7623352.932 | 344873.1266 | 2167.52 | CARRET |
| 2059 | 7623509.858 | 346620.816 | 2190.0765 | CARRET | 2130 | 7623368.923 | 344864.6456 | 2172.1449 | |
| 2060 | 7623505.349 | 346620.5112 | 2190.0052 | CARRET | 2131 | 7623390.562 | 344879.7338 | 2173.8984 | |
| 2061 | 7623519.525 | 346630.1278 | 2192.453 | | 2132 | 7623369.29 | 344869.1954 | 2170.7133 | |
| 2062 | 7623506.422 | 346595.048 | 2187.5775 | CARRET | 2133 | 7623387.684 | 344889.3268 | 2173.4019 | |
| 2063 | 7623533.035 | 346626.5219 | 2192.952 | | 2134 | 7623370.777 | 344886.9301 | 2169.0566 | |
| 2065 | 7623543.258 | 346625.076 | 2194.0957 | | 2135 | 7623357.208 | 344890.2799 | 2165.559 | |
| 2066 | 7623546.118 | 346634.7237 | 2194.4147 | | 2136 | 7623387.818 | 344901.9203 | 2169.7612 | |

| Nº | Norte | Este | Altura | Descripción | Nº | Norte | Este | Altura | Descripción |
|------|-------------|-------------|-----------|-------------|------|-------------|-------------|-----------|-------------|
| 2137 | 7623369.325 | 344903.3581 | 2165.9256 | | 2208 | 7623372.575 | 344992.6945 | 2156.2912 | CARRET |
| 2138 | 7623346.517 | 344900.0941 | 2163.9037 | | 2209 | 7623403.709 | 344958.516 | 2155.9049 | |
| 2139 | 7623358.388 | 344905.0606 | 2164.4925 | | 2210 | 7623389.75 | 344958.8975 | 2155.6767 | |
| 2140 | 7623404.99 | 344901.6392 | 2173.8326 | | 2211 | 7623381.45 | 344980.6441 | 2156.4448 | |
| 2141 | 7623348.936 | 344907.046 | 2163.5186 | | 2212 | 7623392.11 | 344962.3905 | 2155.8041 | |
| 2142 | 7623336.84 | 344905.1904 | 2163.309 | | 2213 | 7623415.79 | 344961.7802 | 2156.5271 | |
| 2143 | 7623351.048 | 344914.9173 | 2161.7883 | | 2214 | 7623393.588 | 344966.8338 | 2156.7739 | |
| 2144 | 7623335.165 | 344913.5644 | 2160.5937 | | 2215 | 7623395.287 | 344983.5753 | 2156.7185 | |
| 2145 | 7623344.455 | 344917.4964 | 2159.89 | | 2216 | 7623400.244 | 344968.5943 | 2156.6984 | |
| 2146 | 7623317.898 | 344917.2576 | 2161.0207 | | 2217 | 7623424.097 | 344969.1862 | 2158.9735 | |
| 2147 | 7623338.959 | 344916.9568 | 2159.2434 | | 2218 | 7623400.957 | 344975.6092 | 2157.7428 | |
| 2148 | 7623346.683 | 344941.3025 | 2153.7571 | | 2219 | 7623393.694 | 344994.3549 | 2156.6217 | CARRET |
| 2149 | 7623332.115 | 344919.4991 | 2158.8101 | | 2220 | 7623400.998 | 344981.3195 | 2157.9031 | |
| 2150 | 7623308.172 | 344921.325 | 2160.3872 | | 2221 | 7623435.783 | 344976.3387 | 2159.1762 | |
| 2151 | 7623333.774 | 344924.877 | 2158.6959 | | 2222 | 7623407.17 | 344985.232 | 2158.189 | |
| 2152 | 7623313.671 | 344926.1672 | 2160.6521 | | 2223 | 7623413.431 | 344986.9494 | 2158.78 | |
| 2153 | 7623329.862 | 344928.9297 | 2158.9507 | | 2224 | 7623407.776 | 344995.9789 | 2156.9161 | CARRET |
| 2154 | 7623305.812 | 344926.8429 | 2159.8695 | | 2225 | 7623400.831 | 344986.1226 | 2156.807 | |
| 2155 | 7623320.26 | 344928.4626 | 2160.2721 | | 2226 | 7623450.041 | 344972.9978 | 2155.32 | |
| 2156 | 7623301.554 | 344922.4018 | 2159.8547 | | 2227 | 7623409.644 | 344989.6055 | 2156.9922 | |
| 2157 | 7623347.139 | 344953.9959 | 2153.9994 | | 2228 | 7623417.788 | 345002.9906 | 2157.2305 | CARRET |
| 2158 | 7623297.992 | 344926.3891 | 2157.4694 | | 2229 | 7623425.58 | 344991.3519 | 2157.5922 | |
| 2160 | 7623299.476 | 344993.098 | 2156.4777 | | 2230 | 7623425.618 | 344987.0682 | 2159.4136 | |
| 2161 | 7623307.443 | 344945.8157 | 2153.3715 | | 2231 | 7623425.082 | 345007.964 | 2157.2132 | CARRET |
| 2162 | 7623292.36 | 344932.587 | 2156.56 | | 2232 | 7623436.721 | 344986.5823 | 2157.8224 | |
| 2163 | 7623294.779 | 344947.2313 | 2153.4248 | | 2233 | 7623464.423 | 344993.7344 | 2156.2841 | |
| 2164 | 7623283.5 | 344917.2347 | 2160.2 | | 2234 | 7623447.737 | 344980.9639 | 2156.8277 | |
| 2165 | 7623296.049 | 344945.3803 | 2153.9219 | | 2235 | 7623437.706 | 345017.5821 | 2157.3667 | CARRET |
| 2166 | 7623300.554 | 344944.5623 | 2153.962 | | 2236 | 7623449.015 | 344988.9072 | 2156.9979 | |
| 2167 | 7623266.217 | 344941.9677 | 2154.3525 | | 2237 | 7623449.835 | 344995.2438 | 2157.1577 | |
| 2168 | 7623290.285 | 344948.8337 | 2153.5312 | | 2238 | 7623451.571 | 344996.3512 | 2156.0269 | |
| 2169 | 7623278.812 | 344939.8485 | 2155.7071 | | 2239 | 7623451.099 | 345002.8215 | 2156.1522 | |
| 2170 | 7623287.768 | 344944.0505 | 2153.8843 | | 2240 | 7623477.201 | 345010.9745 | 2156.276 | |
| 2171 | 7623275.455 | 344953.8902 | 2153.3357 | | 2241 | 7623449.756 | 345003.9885 | 2157.4471 | |
| 2172 | 7623295.586 | 344952.5645 | 2153.2878 | | 2242 | 7623444.985 | 345024.4813 | 2157.4304 | CARRET |
| 2173 | 7623289.728 | 344963.0296 | 2153.3668 | | 2243 | 7623449.759 | 345016.561 | 2157.7353 | |
| 2174 | 7623302.098 | 344958.9742 | 2153.5028 | | 2244 | 7623448.147 | 345029.4643 | 2156.2432 | |
| 2175 | 7623300.551 | 344975.0704 | 2153.949 | | 2245 | 7623450.447 | 345015.1601 | 2156.7859 | |
| 2176 | 7623315.464 | 344954.7319 | 2153.5222 | | 2246 | 7623451.528 | 345036.501 | 2157.4099 | CARRET |
| 2177 | 7623311.183 | 344969.259 | 2153.8112 | | 2247 | 7623453.628 | 345023.89 | 2156.7965 | |
| 2178 | 7623318.928 | 344981.5417 | 2154.6595 | CARRET | 2248 | 7623485.153 | 345041.6702 | 2156.9562 | |
| 2179 | 7623311.546 | 344972.0035 | 2154.2948 | | 2249 | 7623454.845 | 345029.5951 | 2156.5536 | |
| 2180 | 7623317.505 | 344967.8398 | 2153.8024 | | 2250 | 7623449.745 | 345047.3949 | 2157.6783 | CARRET |
| 2181 | 7623329.047 | 344979.1472 | 2155.9064 | | 2251 | 7623453.052 | 345029.7656 | 2157.4178 | |
| 2182 | 7623324.643 | 344966.7891 | 2153.9024 | | 2252 | 7623457.994 | 345038.6814 | 2156.5177 | |
| 2183 | 7623331.859 | 344971.5517 | 2155.6263 | | 2253 | 7623481.765 | 345056.2537 | 2156.9814 | |
| 2184 | 7623323.031 | 344968.6413 | 2154.3667 | | 2254 | 7623454.164 | 345049.0534 | 2157.0638 | |
| 2185 | 7623330.873 | 344966.026 | 2153.9441 | | 2255 | 7623452.268 | 345061.7843 | 2156.851 | |
| 2186 | 7623338.875 | 344987.5822 | 2155.529 | CARRET | 2256 | 7623442.952 | 345055.5696 | 2158.793 | CARRET |
| 2187 | 7623332.511 | 344968.3415 | 2154.7619 | | 2257 | 7623448.182 | 345061.8545 | 2158.5156 | |
| 2188 | 7623337.437 | 344969.3188 | 2155.5494 | | 2258 | 7623431.844 | 345058.9077 | 2159.8241 | CARRET |
| 2189 | 7623339.221 | 344964.761 | 2154.0732 | | 2259 | 7623443.018 | 345070.9179 | 2157.9367 | |
| 2190 | 7623345.7 | 344964.9097 | 2154.275 | | 2261 | 7623430.087 | 345061.0887 | 2161.5123 | |
| 2191 | 7623348.35 | 344967.7565 | 2155.3844 | | 2262 | 7623438.884 | 345083.7287 | 2157.0562 | |
| 2192 | 7623353.686 | 344963.0096 | 2154.3278 | | 2264 | 7623416.056 | 345062.3486 | 2161.597 | CARRET |
| 2193 | 7623349.801 | 344955.4411 | 2154.0801 | | 2265 | 7623426.477 | 345091.4979 | 2158.0973 | |
| 2194 | 7623349.754 | 344955.49 | 2154.0699 | | 2266 | 7623449.289 | 345107.2047 | 2157.5627 | |
| 2195 | 7623351.801 | 344971.8151 | 2155.9293 | | 2267 | 7623417.833 | 345071.7013 | 2163.125 | |
| 2196 | 7623354.316 | 344989.0711 | 2155.7133 | CARRET | 2268 | 7623417.909 | 345078.4278 | 2163.208 | |
| 2197 | 7623360.267 | 344971.6914 | 2156.1847 | | 2269 | 7623435.815 | 345118.943 | 2157.9445 | |
| 2198 | 7623357.113 | 344955.3358 | 2154.2031 | | 2270 | 7623403 | 345070.5076 | 2162.9657 | CARRET |
| 2199 | 7623360.097 | 344965.5393 | 2155.3766 | | 2271 | 7623414.413 | 345090.6138 | 2163.3312 | |
| 2200 | 7623362.132 | 344990.6319 | 2155.856 | CARRET | 2272 | 7623422.264 | 345100.2247 | 2158.2843 | |
| 2201 | 7623370.002 | 344963.1671 | 2155.3985 | | 2273 | 7623402.619 | 345072.9537 | 2164.2395 | |
| 2202 | 7623363.648 | 344949.1621 | 2154.1165 | | 2274 | 7623402.587 | 345093.9552 | 2164.7213 | |
| 2203 | 7623370.892 | 344959.6889 | 2154.7318 | | 2275 | 7623409.451 | 345108.0462 | 2158.4172 | |
| 2204 | 7623376.09 | 344951.2373 | 2154.426 | | 2276 | 7623388.733 | 345080.2841 | 2164.9211 | CARRET |
| 2205 | 7623378.004 | 344953.719 | 2154.5618 | | 2277 | 7623394.904 | 345088.8372 | 2165.8684 | |
| 2206 | 7623385.162 | 344961.1715 | 2155.5616 | | 2278 | 7623405.985 | 345112.467 | 2159.4803 | |
| 2207 | 7623393.599 | 344956.8548 | 2155.0384 | | 2279 | 7623389.164 | 345082.0684 | 2165.649 | |

| Nº | Norte | Este | Altura | Descripción | Nº | Norte | Este | Altura | Descripción |
|------|-------------|--------------|-----------|-------------|------|-------------|-------------|-----------|-------------|
| 2280 | 7623374.177 | 345091.8191 | 2166.6429 | CARRET | 2350 | 7623289.388 | 345446.9721 | 2173.543 | |
| 2281 | 7623380.74 | 345105.7041 | 2166.0975 | | 2351 | 7623250.587 | 345470.1715 | 2180.6796 | CARRET |
| 2282 | 7623394.18 | 345129.2657 | 2159.9699 | | 2352 | 7623268.851 | 345467.77 | 2176.345 | |
| 2283 | 7623363.125 | 345103.1935 | 2167.5765 | CARRET | 2353 | 7623293.984 | 345461.0503 | 2173.935 | |
| 2284 | 7623386.279 | 345139.6924 | 2159.5285 | | 2354 | 7623253.895 | 345492.0119 | 2180.5686 | CARRET |
| 2285 | 7623367.068 | 345110.3484 | 2167.4898 | | 2355 | 7623271.318 | 345489.0167 | 2177.1344 | |
| 2286 | 7623352.79 | 345118.2877 | 2168.041 | CARRET | 2356 | 7623299.434 | 345483.443 | 2174.0517 | |
| 2287 | 7623377.106 | 345149.222 | 2160.3399 | | 2357 | 7623257.417 | 345510.2684 | 2180.6882 | CARRET |
| 2288 | 7623365.281 | 345119.7564 | 2167.0853 | | 2358 | 7623279.735 | 345510.359 | 2176.8981 | |
| 2289 | 7623345.585 | 345129.0382 | 2168.0806 | CARRET | 2359 | 7623303.845 | 345509.9624 | 2174.3751 | |
| 2290 | 7623369.525 | 345163.6006 | 2161.0471 | | 2360 | 7623283.767 | 345533.6391 | 2176.8876 | |
| 2291 | 7623337.23 | 345141.516 | 2168.1619 | CARRET | 2361 | 7623263.366 | 345530.4022 | 2180.4311 | CARRET |
| 2292 | 7623357.567 | 345123.8895 | 2167.8236 | | 2362 | 7623312.602 | 345540.6364 | 2174.1449 | |
| 2293 | 7623358.657 | 345176.3769 | 2161.3896 | | 2363 | 7623288.123 | 345550.1438 | 2176.348 | |
| 2294 | 7623326.977 | 345157.3579 | 2168.3106 | CARRET | 2364 | 7623266.584 | 345555.6392 | 2179.6962 | |
| 2295 | 7623352.605 | 345157.1434 | 2165.0904 | | 2365 | 7623264.919 | 345616.7027 | 2176.8794 | |
| 2296 | 7623345.636 | 345195.9215 | 2161.8532 | | 2366 | 7623253.602 | 345614.0366 | 2179.9838 | |
| 2297 | 7623318.491 | 345169.8294 | 2168.4776 | CARRET | 2367 | 7623227.416 | 345615.2469 | 2186.8763 | |
| 2298 | 7623341.648 | 345159.5585 | 2167.5721 | | 2368 | 7623266.1 | 345605.9466 | 2177.0968 | |
| 2299 | 7623345.096 | 345202.8653 | 2161.8364 | | 2369 | 7623252.588 | 345597.6135 | 2181.1678 | |
| 2300 | 7623309.891 | 345182.6149 | 2168.6345 | CARRET | 2370 | 7623219.577 | 345598.5563 | 2188.8996 | |
| 2301 | 7623331.696 | 345175.4468 | 2167.7065 | | 2371 | 7623251.927 | 345590.3525 | 2181.8 | CARRET |
| 2302 | 7623317.16 | 345187.6462 | 2168.9449 | | 2372 | 7623222.469 | 345590.0208 | 2188.4963 | |
| 2303 | 7623299.382 | 345197.8644 | 2168.9887 | CARRET | 2373 | 7623261.665 | 345568.8105 | 2180.0373 | |
| 2304 | 7623315.956 | 345201.2005 | 2168.3741 | | 2374 | 7623255.322 | 345574.278 | 2182.7996 | |
| 2305 | 7623341.269 | 345228.8067 | 2162.2195 | | 2375 | 7623262.819 | 345562.1045 | 2179.2947 | |
| 2306 | 7623289.4 | 345212.5724 | 2169.4338 | CARRET | 2376 | 7623222.338 | 345576.7284 | 2188.6333 | |
| 2307 | 7623325.916 | 345220.0994 | 2167.8455 | | 2377 | 7623256.674 | 345561.892 | 2181.8 | |
| 2308 | 7623343.283 | 345240.7517 | 2162.2007 | | 2378 | 7623261.17 | 345546.8655 | 2179.7794 | CARRET |
| 2309 | 7623277.1 | 345229.1074 | 2170.1825 | CARRET | 2379 | 7623220.769 | 345558.5172 | 2189.5834 | |
| 2310 | 7623345.139 | 345254.0617 | 2162.315 | | 2380 | 7623245.265 | 345550.032 | 2184.1252 | |
| 2311 | 7623322.995 | 3452426.6528 | 2168.4122 | | 2382 | 7623220.835 | 345545.6476 | 2189.4487 | |
| 2312 | 7623343.565 | 345269.8075 | 2162.7876 | | 2383 | 7623241.029 | 345535.1071 | 2184.6179 | |
| 2313 | 7623267.946 | 345244.1911 | 2170.8761 | CARRET | 2384 | 7623257.837 | 345531.3507 | 2180.9362 | |
| 2314 | 7623336.717 | 345276.6206 | 2164.3748 | | 2385 | 7623258.221 | 345529.9429 | 2180.2559 | CARRET |
| 2315 | 7623258.279 | 345259.9667 | 2171.672 | CARRET | 2386 | 7623254.16 | 345514.8277 | 2180.3735 | CARRET |
| 2316 | 7623246.89 | 345277.6116 | 2172.5494 | CARRET | 2387 | 7623225.779 | 345514.9493 | 2181.0906 | |
| 2317 | 7623293.25 | 345239.1726 | 2170.4826 | | 2388 | 7623240.812 | 345523.1005 | 2184.229 | |
| 2318 | 7623303.189 | 345274.9622 | 2169.9127 | | 2389 | 7623218.821 | 345530.6529 | 2189.5725 | |
| 2319 | 7623238.174 | 345290.7441 | 2173.2274 | CARRET | 2390 | 7623234.157 | 345512.9272 | 2185.3905 | |
| 2320 | 7623275.032 | 345284.4514 | 2171.1541 | | 2391 | 7623249.178 | 345497.5528 | 2180.4993 | CARRET |
| 2321 | 7623297.713 | 345303.1878 | 2169.12 | | 2392 | 7623248.143 | 345496.7675 | 2181.2804 | |
| 2322 | 7623228.978 | 345303.1786 | 2174.0847 | CARRET | 2393 | 7623230.883 | 345498.2994 | 2185.4941 | |
| 2323 | 7623257.285 | 345289.2991 | 2171.9753 | | 2394 | 7623214.64 | 345513.8305 | 2190.2185 | |
| 2324 | 7623269.255 | 345319.317 | 2172.1866 | | 2395 | 7623245.661 | 345472.7441 | 2180.3964 | CARRET |
| 2325 | 7623246.476 | 345298.9147 | 2173.228 | | 2396 | 7623243.698 | 345472.2687 | 2181.2119 | |
| 2326 | 7623218.552 | 345315.4706 | 2175.0851 | CARRET | 2397 | 7623223.956 | 345482.5651 | 2186.5778 | |
| 2327 | 7623261.798 | 345332.6124 | 2173.4456 | | 2398 | 7623209.041 | 345492.9513 | 2191.0277 | |
| 2328 | 7623239.262 | 345307.1445 | 2174.0201 | | 2399 | 7623241.129 | 345454.4838 | 2180.4488 | CARRET |
| 2329 | 7623207.532 | 345331.7827 | 2176.0075 | CARRET | 2400 | 7623239.691 | 345454.5327 | 2181.1242 | |
| 2330 | 7623227.495 | 345315.0178 | 2174.9164 | | 2401 | 7623219.554 | 345467.8201 | 2187.0689 | |
| 2331 | 7623249.351 | 345343.2623 | 2174.4131 | | 2402 | 7623220.754 | 345473.2099 | 2191.3847 | |
| 2332 | 7623225.799 | 345323.0887 | 2172.9613 | | 2403 | 7623234.958 | 345434.7339 | 2180.0557 | CARRET |
| 2333 | 7623204.412 | 345344.3026 | 2176.3655 | CARRET | 2404 | 7623223.3 | 345435.2915 | 2181.3856 | |
| 2334 | 7623224.119 | 345332.6852 | 2175.8239 | | 2405 | 7623214.111 | 345447.0812 | 2186.5549 | |
| 2335 | 7623209.63 | 345354.1757 | 2176.6668 | CARRET | 2406 | 7623196.881 | 345453.9355 | 2191.0581 | |
| 2336 | 7623231.131 | 345358.8547 | 2175.3735 | | 2407 | 7623229.122 | 345415.8511 | 2179.0745 | CARRET |
| 2337 | 7623252.397 | 345370.1971 | 2174.244 | | 2408 | 7623227.42 | 345416.1537 | 2180.5426 | |
| 2338 | 7623233.984 | 345372.114 | 2175.5083 | | 2409 | 7623205.563 | 345426.2191 | 2186.3283 | |
| 2339 | 7623216.383 | 345373.0154 | 2177.2321 | CARRET | 2410 | 7623188.959 | 345435.9074 | 2190.7698 | |
| 2340 | 7623240.068 | 345388.387 | 2175.7813 | | 2411 | 7623221.065 | 345395.2101 | 2177.9258 | CARRET |
| 2341 | 7623224.819 | 345393.2724 | 2178.1733 | CARRET | 2412 | 7623218.338 | 345394.5817 | 2179.0992 | |
| 2342 | 7623263.752 | 345393.3884 | 2173.9468 | | 2413 | 7623199.739 | 345411.1057 | 2185.2536 | |
| 2343 | 7623247.447 | 345407.2994 | 2176.3314 | | 2414 | 7623183.026 | 345421.1767 | 2189.9659 | |
| 2344 | 7623232.992 | 345414.4053 | 2179.3619 | CARRET | 2415 | 7623213.074 | 345377.1454 | 2177.0844 | CARRET |
| 2345 | 7623281.269 | 345421.8098 | 2173.3404 | | 2416 | 7623212.083 | 345377.2062 | 2177.8522 | |
| 2346 | 7623256.315 | 345426.7534 | 2176.2213 | | 2417 | 7623193.855 | 345397.2571 | 2183.7794 | |
| 2347 | 7623238.327 | 345430.3116 | 2180.3457 | CARRET | 2418 | 7623179.171 | 345411.9641 | 2189.1526 | |
| 2348 | 7623245.573 | 345448.8123 | 2180.6507 | CARRET | 2419 | 7623205.358 | 345359.5047 | 2176.5811 | CARRET |
| 2349 | 7623259.984 | 345447.1653 | 2176.7685 | | 2420 | 7623186.684 | 345380.0648 | 2181.7906 | |

| Nº | Norte | Este | Altura | Descripción | Nº | Norte | Este | Altura | Descripción |
|------|-------------|-------------|-----------|-------------|------|-------------|-------------|-----------|-------------|
| 2421 | 7623167.008 | 345396.1702 | 2187.4788 | | 2492 | 7623375.122 | 345085.9266 | 2166.2416 | CARRET |
| 2422 | 7623204.073 | 345359.751 | 2177.3513 | | 2493 | 7623335.899 | 345074.146 | 2157.0681 | |
| 2423 | 7623181.239 | 345370.8799 | 2180.8453 | | 2494 | 7623348.332 | 345098.5865 | 2167.8465 | |
| 2424 | 7623156.85 | 345380.4213 | 2184.9352 | | 2495 | 7623385.82 | 345076.9849 | 2164.9512 | CARRET |
| 2425 | 7623196.842 | 345345.3179 | 2176.4397 | CARRET | 2496 | 7623354.59 | 345092.5765 | 2167.2593 | |
| 2426 | 7623180.292 | 345355.8128 | 2179.2096 | | 2497 | 7623346.094 | 345067.3373 | 2157.3019 | |
| 2428 | 7623199.338 | 345333.8562 | 2176.2857 | CARRET | 2498 | 7623400.248 | 345067.2055 | 2163.2669 | CARRET |
| 2429 | 7623183.133 | 345345.8935 | 2177.0168 | | 2499 | 7623362.068 | 345077.3341 | 2164.2095 | |
| 2430 | 7623149.47 | 345347.7951 | 2182.2769 | | 2500 | 7623371.298 | 345071.7262 | 2162.8587 | |
| 2431 | 7623205.46 | 345324.2226 | 2175.553 | CARRET | 2501 | 7623419.097 | 345056.1591 | 2161.3438 | CARRET |
| 2432 | 7623179.579 | 345335.2025 | 2180.0644 | | 2502 | 7623377.509 | 345060.0121 | 2160.4955 | |
| 2433 | 7623152.18 | 345329.1418 | 2185.0576 | | 2503 | 7623358.547 | 345038.9776 | 2157.4262 | |
| 2434 | 7623213.064 | 345314.8606 | 2175.217 | CARRET | 2504 | 7623442.66 | 345046.357 | 2158.2107 | CARRET |
| 2435 | 7623183.495 | 345319.1171 | 2180.495 | | 2505 | 7623379.554 | 345050.3996 | 2158.0327 | |
| 2436 | 7623156.962 | 345311.2735 | 2187.0265 | | 2506 | 7623446.237 | 345037.6537 | 2157.5971 | CARRET |
| 2437 | 7623192.863 | 345299.2205 | 2178.92 | | 2507 | 7623395.334 | 345048.4068 | 2159.3568 | |
| 2438 | 7623217.723 | 345309.5769 | 2174.7083 | CARRET | 2508 | 7623443.354 | 345038.7995 | 2158.9067 | |
| 2439 | 7623162.436 | 345286.6227 | 2186.1513 | | 2509 | 7623411.444 | 345044.2151 | 2159.4543 | |
| 2440 | 7623217.15 | 345307.7262 | 2175.3052 | | 2510 | 7623440.347 | 345028.4659 | 2157.1445 | CARRET |
| 2441 | 7623202.209 | 345276.2611 | 2177.7685 | | 2511 | 7623419.568 | 345038.4436 | 2159.1416 | |
| 2442 | 7623170.508 | 345270.065 | 2184.9309 | | 2512 | 7623431.494 | 345035.0823 | 2159.6671 | |
| 2443 | 7623233.013 | 345290.8414 | 2173.2437 | CARRET | 2513 | 7623342.028 | 345030.4324 | 2157.2887 | |
| 2444 | 7623223.826 | 345278.6479 | 2177.7067 | | 2514 | 7623433.125 | 345027.1588 | 2158.6861 | |
| 2445 | 7623180.674 | 345258.373 | 2183.0726 | | 2515 | 7623426.297 | 345031.9565 | 2158.9824 | |
| 2446 | 7623230.777 | 345280.0173 | 2173.9687 | | 2516 | 7623430.771 | 345018.7438 | 2157.0137 | CARRET |
| 2447 | 7623243.417 | 345276.2624 | 2172.2888 | CARRET | 2517 | 7623405.65 | 345025.84 | 2158.2897 | |
| 2448 | 7623187.657 | 345242.0285 | 2182.0616 | | 2518 | 7623420.005 | 345010.2115 | 2156.8108 | CARRET |
| 2449 | 7623242.735 | 345273.2873 | 2172.9825 | | 2519 | 7623415.168 | 345014.6215 | 2158.3798 | |
| 2450 | 7623235.149 | 345264.3848 | 2172.9465 | | 2520 | 7623408.904 | 345005.6941 | 2156.89 | CARRET |
| 2451 | 7623203.45 | 345222.3338 | 2179.3943 | | 2521 | 7623323.689 | 345024.4246 | 2157.027 | |
| 2452 | 7623253.245 | 345260.3629 | 2171.6239 | CARRET | 2522 | 7623403.999 | 345009.3008 | 2158.2146 | |
| 2453 | 7623239.179 | 345250.9214 | 2172.1616 | | 2523 | 7623391.299 | 345000.0631 | 2156.7956 | CARRET |
| 2454 | 7623241.599 | 345237.4699 | 2172.1642 | | 2524 | 7623308.192 | 345010.2001 | 2157.1729 | |
| 2455 | 7623216.815 | 345198.8938 | 2176.5988 | | 2525 | 7623377.36 | 344997.9478 | 2156.5103 | CARRET |
| 2456 | 7623252.52 | 345259.4883 | 2171.9277 | | 2526 | 7623376.327 | 345006.7134 | 2157.9414 | |
| 2457 | 7623237.81 | 345227.2655 | 2173.5391 | | 2527 | 7623358.344 | 344995.004 | 2155.9607 | CARRET |
| 2458 | 7623225.792 | 345191.5381 | 2174.7306 | | 2528 | 7623382.255 | 345019.3911 | 2157.7459 | |
| 2459 | 7623264.258 | 345242.8523 | 2170.7834 | CARRET | 2529 | 7623336.888 | 344992.4582 | 2155.145 | CARRET |
| 2460 | 7623214.106 | 345218.8781 | 2174.9088 | | 2530 | 7623370.091 | 345016.396 | 2157.6316 | |
| 2461 | 7623231.345 | 345173.2822 | 2172.9666 | | 2531 | 7623322.335 | 344989.0809 | 2154.9725 | CARRET |
| 2462 | 7623273.287 | 345226.366 | 2170.1955 | CARRET | 2532 | 7623308.681 | 344985.66 | 2154.5673 | CARRET |
| 2463 | 7623213.365 | 345231.1599 | 2177.7897 | | 2533 | 7623363.295 | 345003.8032 | 2157.6094 | |
| 2464 | 7623242.43 | 345163.4572 | 2170.2597 | | 2534 | 7623295.01 | 344979.2385 | 2154.3662 | |
| 2465 | 7623230.092 | 345234.3292 | 2177.809 | | 2535 | 7623355.578 | 345002.2609 | 2157.457 | |
| 2466 | 7623285.228 | 345209.6241 | 2169.3876 | CARRET | 2536 | 7623344.586 | 345000.2327 | 2157.3737 | |
| 2467 | 7623228.174 | 345252.2744 | 2177.7767 | | 2537 | 7623332.93 | 344998.6934 | 2157.4127 | |
| 2468 | 7623295.709 | 345196.5808 | 2168.8614 | CARRET | 2538 | 7623311.166 | 344994.3777 | 2157.2157 | |
| 2469 | 7623262.835 | 345147.8265 | 2162.8088 | | 2539 | 7623290.766 | 344992.3883 | 2156.93 | |
| 2470 | 7623248.92 | 345222.2383 | 2172.2367 | | 2540 | 7623273.512 | 344993.6387 | 2156.6533 | |
| 2471 | 7623310.731 | 345174.8887 | 2168.5087 | CARRET | 2541 | 7623291.38 | 344973.2995 | 2153.6582 | |
| 2472 | 7623272.921 | 345201.5007 | 2169.4171 | | 2542 | 7623261.385 | 344996.5623 | 2156.6073 | |
| 2473 | 7623319.95 | 345159.8658 | 2168.3207 | CARRET | 2543 | 7623286.769 | 344967.4049 | 2153.2823 | |
| 2474 | 7623274.883 | 345177.9306 | 2168.6457 | | 2544 | 7623254.525 | 344986.016 | 2153.1196 | |
| 2475 | 7623328.779 | 345146.3412 | 2168.1125 | CARRET | 2545 | 7623278.884 | 344972.0987 | 2153.3625 | |
| 2476 | 7623280.122 | 345171.8554 | 2169.0021 | | 2546 | 7623230.579 | 344987.4561 | 2152.4869 | |
| 2477 | 7623336.323 | 345133.2978 | 2168.0486 | CARRET | 2547 | 7623228.25 | 344981.7791 | 2152.1327 | |
| 2478 | 7623292.509 | 345161.4975 | 2168.1057 | | 2548 | 7623264.502 | 344966.331 | 2153.0169 | |
| 2479 | 7623276.137 | 345123.3117 | 2156.0065 | | 2549 | 7623227.41 | 344974.5405 | 2152.4183 | |
| 2480 | 7623284.727 | 345146.2416 | 2167.6651 | | 2550 | 7623270.902 | 344962.3018 | 2153.1006 | |
| 2481 | 7623343.76 | 345120.8692 | 2168.0036 | CARRET | 2551 | 7623237.247 | 344976.7475 | 2152.4481 | |
| 2482 | 7623292.048 | 345138.985 | 2167.8535 | | 2552 | 7623277.283 | 344959.9194 | 2153.2012 | |
| 2483 | 7623291.998 | 345110.489 | 2155.9649 | | 2553 | 7623233.676 | 344965.6929 | 2152.8936 | |
| 2484 | 7623306.097 | 345128.0205 | 2167.6325 | | 2554 | 7623272.051 | 344956.5369 | 2153.0791 | |
| 2485 | 7623355.296 | 345105.3246 | 2167.9105 | CARRET | 2555 | 7623218.404 | 344964.0632 | 2153.5239 | |
| 2486 | 7623310.623 | 345139.0651 | 2167.9359 | | 2556 | 7623263.477 | 344958.3024 | 2153.0513 | |
| 2487 | 7623305.629 | 345098.4885 | 2156.1523 | | 2557 | 7623218.514 | 344956.8884 | 2154.2989 | |
| 2488 | 7623330.517 | 345125.995 | 2167.7963 | | 2558 | 7623256.379 | 344958.6312 | 2153.2932 | |
| 2489 | 7623364.822 | 345093.8749 | 2167.1802 | CARRET | 2559 | 7623241.208 | 344953.6397 | 2153.8432 | |
| 2490 | 7623322.031 | 345086.0655 | 2156.5391 | | 2560 | 7623213.405 | 344946.5024 | 2156.795 | |
| 2491 | 7623332.944 | 345111.8296 | 2168.0053 | | 2561 | 7623254.293 | 344951.1329 | 2153.7388 | |

| Nº | Norte | Este | Altura | Descripción | Nº | Norte | Este | Altura | Descripción |
|------|-------------|-------------|-----------|-------------|------|-------------|-------------|-----------|-------------|
| 2562 | 7623236.729 | 344948.1267 | 2154.7096 | | 2634 | 7623319.289 | 344661.9418 | 2167.8575 | |
| 2563 | 7623214.607 | 344936.7864 | 2156.6743 | | 2635 | 7623334.969 | 344671.3055 | 2171.8 | CARRET |
| 2564 | 7623237.092 | 344941.2418 | 2155.539 | | 2636 | 7623301.462 | 344624.1371 | 2164.8181 | |
| 2565 | 7623262.104 | 344947.011 | 2153.9418 | | 2637 | 7623320.286 | 344645.3193 | 2166.3495 | |
| 2566 | 7623226.598 | 344930.5691 | 2156.1827 | | 2638 | 7623345.56 | 344658.5534 | 2171.5105 | CARRET |
| 2567 | 7623262.926 | 344930.7251 | 2155.2844 | | 2639 | 7623318.561 | 344603.7602 | 2165.1013 | |
| 2568 | 7623236.152 | 344931.9016 | 2156.5092 | | 2640 | 7623430.345 | 344955.3666 | 2155.7721 | BM12 |
| 2569 | 7623231.75 | 344915.7296 | 2160.7034 | | 2641 | 7623429.466 | 344962.0763 | 2157.4113 | B |
| 2570 | 7623270.842 | 344923.8048 | 2156.892 | | 2642 | 7623643.888 | 344248.1351 | 2171.6247 | CARRET |
| 2571 | 7623241.085 | 344928.5896 | 2158.3234 | | 2643 | 7623662.349 | 344217.1657 | 2172.5585 | |
| 2572 | 7623293.743 | 344917.4293 | 2159.0743 | | 2644 | 7623650.085 | 344236.2491 | 2172.2812 | |
| 2573 | 7623238.179 | 344920.8806 | 2158.2982 | | 2645 | 7623652.604 | 344205.3045 | 2174.1187 | |
| 2574 | 7623305.054 | 344915.7576 | 2159.938 | | 2646 | 7623631.303 | 344235.8694 | 2172.6021 | CARRET |
| 2575 | 7623245.766 | 344918.4925 | 2158.2675 | | 2647 | 7623645.083 | 344226.8589 | 2173.7612 | |
| 2577 | 7623260.589 | 344923.2645 | 2158.4262 | | 2648 | 7623620.977 | 344223.0049 | 2173.7859 | CARRET |
| 2579 | 7623269.095 | 344921.199 | 2158.8713 | | 2649 | 7623648.159 | 344188.7259 | 2176.5718 | |
| 2580 | 7623308.318 | 344910.8824 | 2162.258 | | 2650 | 7623634.5 | 344209.7709 | 2175.1392 | |
| 2581 | 7623276.967 | 344916.8596 | 2159.9603 | | 2651 | 7623613.936 | 344206.2349 | 2175.88 | CARRET |
| 2582 | 7623327.015 | 344904.955 | 2162.2566 | | 2652 | 7623631.488 | 344190.56 | 2177.8587 | |
| 2583 | 7623291.939 | 344909.0759 | 2163.0894 | | 2653 | 7623653.551 | 344171.9026 | 2179.2814 | |
| 2584 | 7623335.401 | 344899.384 | 2163.2213 | | 2654 | 7623614.082 | 344190.3786 | 2177.8218 | CARRET |
| 2585 | 7623278.02 | 344909.7439 | 2162.6197 | | 2655 | 7623636.928 | 344175.4982 | 2178.7472 | |
| 2586 | 7623346.85 | 344890.9032 | 2165.186 | | 2656 | 7623653.784 | 344156.6936 | 2180.8226 | |
| 2587 | 7623279.438 | 344877.3815 | 2164.1121 | | 2657 | 7623617.073 | 344173.5593 | 2179.0784 | CARRET |
| 2588 | 7623267.385 | 344911.6649 | 2162.3336 | | 2658 | 7623641.232 | 344155.3193 | 2180.8469 | |
| 2589 | 7623350.127 | 344879.629 | 2167.1622 | CARRET | 2659 | 7623620.975 | 344156.7774 | 2180.5315 | CARRET |
| 2590 | 7623276.886 | 344863.1817 | 2164.7018 | | 2660 | 7623648.803 | 344143.7742 | 2182.3642 | |
| 2591 | 7623341.588 | 344865.5221 | 2168.4652 | CARRET | 2661 | 7623661.574 | 344145.6057 | 2181.7053 | |
| 2592 | 7623275.953 | 344845.1194 | 2165.4983 | | 2662 | 7623627.535 | 344139.1307 | 2182.1678 | CARRET |
| 2593 | 7623334.128 | 344852.1182 | 2169.2671 | CARRET | 2663 | 7623656.986 | 344134.179 | 2183.1011 | |
| 2594 | 7623273.526 | 344832.2835 | 2165.7835 | | 2664 | 7623687.917 | 344131.8807 | 2182.3866 | |
| 2595 | 7623328.452 | 344836.9875 | 2170.1303 | CARRET | 2665 | 7623635.97 | 344121.0023 | 2184.3568 | CARRET |
| 2596 | 7623285.514 | 344904.8578 | 2163.0064 | | 2666 | 7623663.211 | 344120.1849 | 2184.4676 | |
| 2597 | 7623295.745 | 344909.1431 | 2163.2128 | | 2667 | 7623705.345 | 344118.1366 | 2183.8737 | |
| 2598 | 7623304.968 | 344902.9924 | 2163.3879 | | 2668 | 7623643.016 | 344107.0952 | 2186.2836 | CARRET |
| 2599 | 7623318.095 | 344897.608 | 2165.0948 | | 2669 | 7623670.166 | 344105.4258 | 2186.5566 | |
| 2600 | 7623310.62 | 344885.0242 | 2165.351 | | 2670 | 7623718.461 | 344104.8086 | 2186.1548 | |
| 2601 | 7623305.88 | 344875.6504 | 2165.6865 | | 2671 | 7623651.624 | 344087.9214 | 2188.8104 | CARRET |
| 2602 | 7623306.889 | 344861.8385 | 2166.5408 | | 2672 | 7623683.115 | 344088.4091 | 2188.5363 | |
| 2603 | 7623306.281 | 344845.4409 | 2167.7563 | | 2673 | 7623729.899 | 344084.9313 | 2189.3184 | |
| 2604 | 7623323.968 | 344821.589 | 2170.9647 | CARRET | 2674 | 7623662.674 | 344064.0745 | 2191.4206 | CARRET |
| 2605 | 7623270.859 | 344812.2773 | 2166.1327 | | 2675 | 7623694.476 | 344067.6778 | 2191.1166 | |
| 2606 | 7623308.088 | 344825.732 | 2168.9703 | | 2676 | 7623740.328 | 344072.6046 | 2191.2124 | |
| 2607 | 7623321.666 | 344808.0019 | 2171.5174 | CARRET | 2677 | 7623668.835 | 344050.871 | 2193.0127 | CARRET |
| 2608 | 7623294.867 | 344799.8977 | 2168.8622 | | 2678 | 7623703.226 | 344045.1178 | 2193.8778 | |
| 2609 | 7623321.117 | 344794.3251 | 2172.0104 | CARRET | 2679 | 7623745.911 | 344056.2374 | 2192.7682 | |
| 2610 | 7623293.484 | 344782.8489 | 2169.3324 | | 2680 | 7623677.226 | 344036.4938 | 2194.3957 | CARRET |
| 2611 | 7623320.423 | 344776.5548 | 2172.8 | CARRET | 2681 | 7623717.402 | 344034.713 | 2194.9785 | |
| 2612 | 7623297.047 | 344767.1808 | 2169.9326 | | 2682 | 7623749.798 | 344041.3992 | 2194.2359 | |
| 2613 | 7623260.376 | 344790.7108 | 2165.9407 | | 2683 | 7623687.444 | 344021.9888 | 2195.877 | CARRET |
| 2614 | 7623297.058 | 344767.1498 | 2169.9599 | | 2684 | 7623728.33 | 344021.9955 | 2196.4721 | |
| 2615 | 762320.272 | 344764.2173 | 2173.2165 | CARRET | 2685 | 7623698.583 | 344008.1246 | 2197.2526 | CARRET |
| 2616 | 7623264.539 | 344766.3015 | 2166.8023 | | 2686 | 7623713.365 | 343994.2351 | 2198.2388 | CARRET |
| 2617 | 7623295.961 | 344754.7609 | 2169.9261 | | 2687 | 7623744.546 | 344008.8359 | 2197.5802 | |
| 2618 | 7623319.977 | 344751.6524 | 2173.4509 | CARRET | 2688 | 7623732.069 | 343987.6265 | 2199.3833 | CARRET |
| 2619 | 7623263.843 | 344743.9052 | 2166.7681 | | 2689 | 7623758.538 | 344027.4446 | 2195.538 | |
| 2620 | 7623297.914 | 344737.5753 | 2170.6471 | | 2690 | 7623753.302 | 343983.7556 | 2200.3056 | CARRET |
| 2621 | 7623220.044 | 344735.7013 | 2173.6671 | CARRET | 2691 | 7623760.664 | 344006.0026 | 2197.6504 | |
| 2622 | 7623263.893 | 344726.1338 | 2166.7122 | | 2692 | 7623771.297 | 343980.1309 | 2200.9059 | CARRET |
| 2623 | 7623320.522 | 344721.739 | 2173.5195 | CARRET | 2693 | 7623779.932 | 344016.7248 | 2196.0545 | |
| 2624 | 7623298.619 | 344718.0412 | 2170.7239 | | 2694 | 7623776.876 | 343999.7943 | 2198.5413 | |
| 2625 | 7623265.865 | 344702.6969 | 2165.9762 | | 2695 | 7623790.97 | 343974.8863 | 2201.732 | CARRET |
| 2626 | 7623321.161 | 344707.7396 | 2173.2345 | CARRET | 2696 | 7623796.996 | 343997.0506 | 2199.1829 | |
| 2627 | 7623304.383 | 344697.8899 | 2169.8051 | | 2697 | 7623811.39 | 344015.3061 | 2197.1517 | |
| 2628 | 7623270.77 | 344684.3532 | 2165.615 | | 2698 | 7623808.736 | 343993.5774 | 2199.4247 | |
| 2629 | 7623326.134 | 344693.0394 | 2173.0839 | CARRET | 2699 | 7623804.417 | 343969.3464 | 2202.4774 | CARRET |
| 2630 | 7623278.976 | 344664.9045 | 2165.0846 | | 2700 | 7623813.787 | 343963.8693 | 2202.6418 | CARRET |
| 2631 | 7623311.479 | 344676.6704 | 2168.4914 | | 2701 | 7623836.563 | 344013.7741 | 2197.9983 | |
| 2632 | 7623331.803 | 344681.7707 | 2172.7811 | CARRET | 2702 | 7623824.22 | 343979.5699 | 2200.9647 | |
| 2633 | 7623289.193 | 344641.8186 | 2164.8739 | | 2703 | 7623825.028 | 343963.695 | 2203.1356 | CARRET |

| Nº | Norte | Este | Altura | Descripción | Nº | Norte | Este | Altura | Descripción |
|------|-------------|-------------|-----------|-------------|------|-------------|-------------|-----------|-------------|
| 2704 | 7623848.267 | 343981.2245 | 2201.8002 | | 2782 | 7623589.179 | 344250.2586 | 2170.9163 | |
| 2705 | 7623858.382 | 344005.9622 | 2199.0684 | | 2783 | 7623612.543 | 344221.081 | 2174.6125 | CARRET |
| 2706 | 7623842.131 | 343961.2425 | 2203.926 | CARRET | 2784 | 7623597.222 | 344230.4471 | 2173.0496 | |
| 2707 | 7623878.436 | 344005.2593 | 2199.8426 | | 2785 | 7623574.581 | 344244.0328 | 2168.0742 | |
| 2708 | 7623873.115 | 343978.2029 | 2202.6202 | | 2786 | 7623588.555 | 344210.4284 | 2173.7947 | |
| 2709 | 7623869.667 | 343954.8368 | 2205.5952 | CARRET | 2787 | 7623571.203 | 344226.4891 | 2171.5504 | |
| 2710 | 7623893.892 | 344002.8935 | 2200.0965 | | 2788 | 7623608.182 | 344208.1894 | 2176.0692 | CARRET |
| 2711 | 7623892.716 | 343972.6912 | 2203.1839 | | 2789 | 7623559.958 | 344208.0785 | 2172.0579 | |
| 2712 | 7623889.064 | 343947.1694 | 2206.2847 | CARRET | 2790 | 7623582.098 | 344195.8262 | 2174.8305 | |
| 2713 | 7623911.633 | 343995.1464 | 2200.404 | | 2791 | 7623550.388 | 344199.0892 | 2171.974 | |
| 2714 | 7623919.07 | 343965.7839 | 2203.9004 | | 2792 | 7623578.423 | 344177.2786 | 2176.5645 | |
| 2715 | 7623910.106 | 343936.9815 | 2207.4621 | CARRET | 2793 | 7623547.854 | 344182.9294 | 2174.1761 | |
| 2716 | 7623932.685 | 343986.5529 | 2201.8094 | | 2794 | 7623553.342 | 344165.8065 | 2175.8242 | |
| 2717 | 7623928.429 | 343928.2288 | 2208.646 | CARRET | 2795 | 7623582.548 | 344161.6478 | 2178.9045 | |
| 2718 | 7623946.554 | 343955.8441 | 2204.9538 | | 2796 | 7623612.33 | 344174.8194 | 2179.2102 | CARRET |
| 2719 | 7623958.676 | 343984.034 | 2201.6422 | | 2797 | 7623566.873 | 344152.7359 | 2178.8275 | |
| 2720 | 7623944.836 | 343920.5018 | 2209.6524 | CARRET | 2798 | 7623588.612 | 344146.7213 | 2181.0795 | |
| 2721 | 7623968.104 | 343946.6256 | 2206.0803 | | 2799 | 7623574.94 | 344133.3841 | 2181.0045 | |
| 2722 | 7623990.401 | 343961.3786 | 2204.703 | | 2800 | 7623616.123 | 344156.6321 | 2180.7583 | CARRET |
| 2723 | 7623978.947 | 343902.5565 | 2211.5403 | CARRET | 2801 | 7623587.774 | 344113.3378 | 2183.5947 | |
| 2724 | 7623996.355 | 343932.1005 | 2207.2703 | | 2802 | 7623600.228 | 344127.6757 | 2183.9482 | |
| 2725 | 7624009.066 | 343944.47 | 2205.3713 | | 2803 | 7623622.219 | 344137.9487 | 2182.4984 | CARRET |
| 2726 | 7623993.691 | 343890.4032 | 2212.912 | CARRET | 2804 | 7623603.396 | 344099.6819 | 2186.2696 | |
| 2727 | 7624013.131 | 343919.9086 | 2208.2459 | | 2805 | 7623610.876 | 344110.1475 | 2186.0115 | |
| 2728 | 7624027.21 | 343936.3884 | 2208.0018 | | 2806 | 7623630.226 | 344121.0956 | 2184.4542 | CARRET |
| 2729 | 7624006.515 | 343879.8049 | 2213.8834 | CARRET | 2807 | 7623599.82 | 344079.3225 | 2188.3176 | |
| 2730 | 7624027.894 | 343901.0525 | 2211.3615 | | 2808 | 7623617.099 | 344092.9862 | 2188.5441 | |
| 2731 | 7624049.042 | 343921.2371 | 2210.387 | | 2809 | 7623638.352 | 344104.5058 | 2186.5267 | CARRET |
| 2732 | 7624019.917 | 343864.0574 | 2215.4301 | CARRET | 2810 | 7623611.552 | 344060.371 | 2191.5108 | |
| 2733 | 7624041.356 | 343879.9232 | 2213.4298 | | 2811 | 7623625.805 | 344073.6731 | 2190.9228 | |
| 2734 | 7624065.633 | 343898.5393 | 2212.0152 | | 2812 | 7623646.238 | 344087.068 | 2188.8371 | CARRET |
| 2735 | 7624032.155 | 343847.347 | 2216.6888 | CARRET | 2813 | 7623620.012 | 344046.1665 | 2192.9653 | |
| 2736 | 7624052.479 | 343859.7324 | 2214.7553 | | 2814 | 7623634.701 | 344051.2465 | 2193.4181 | |
| 2737 | 7624082.734 | 343875.9513 | 2213.1772 | | 2815 | 7623654.851 | 344067.5771 | 2191.0648 | CARRET |
| 2738 | 7624041.245 | 343833.5067 | 2217.6687 | CARRET | 2816 | 7623628.799 | 344024.9497 | 2194.2515 | |
| 2740 | 7624095.187 | 343860.1845 | 2214.2461 | | 2817 | 7623648.161 | 344029.3825 | 2195.75 | |
| 2741 | 7624049.281 | 343818.3978 | 2219.0958 | CARRET | 2818 | 7623665.515 | 344047.0503 | 2193.5322 | CARRET |
| 2743 | 7624099.918 | 343840.4549 | 2215.5178 | | 2819 | 7623642.86 | 344004.0699 | 2196.6484 | |
| 2745 | 7624058.108 | 343805.2176 | 2220.0367 | CARRET | 2820 | 7623659.407 | 344005.7591 | 2197.6317 | |
| 2746 | 7624104.673 | 343826.7271 | 2220.5419 | | 2821 | 7623678.546 | 344026.1214 | 2195.4906 | CARRET |
| 2747 | 7624064.714 | 343823.2605 | 2219.9212 | | 2822 | 7623653.705 | 343983.5807 | 2199.4432 | |
| 2748 | 7624067.755 | 343790.5518 | 2221.2477 | CARRET | 2823 | 7623671.729 | 343991.6561 | 2198.7778 | |
| 2749 | 7624078.139 | 343830.3499 | 2220.6453 | | 2824 | 7623665.295 | 343963.9687 | 2200.2621 | |
| 2750 | 7624116.168 | 343807.7435 | 2220.1883 | | 2825 | 7623691.461 | 344009.1691 | 2197.2643 | CARRET |
| 2751 | 7624075.642 | 343773.9269 | 2222.7541 | CARRET | 2826 | 7623685.707 | 343973.0649 | 2200.3641 | |
| 2752 | 7624085.883 | 343809.8892 | 2220.77 | | 2827 | 7623682.797 | 343947.6758 | 2201.6484 | |
| 2753 | 7624120.548 | 343791.7477 | 2220.8387 | | 2828 | 7623704.358 | 343994.5613 | 2198.5037 | CARRET |
| 2754 | 7624082.743 | 343757.0514 | 2223.8707 | CARRET | 2829 | 7623704.017 | 343958.145 | 2201.462 | |
| 2755 | 7624094.178 | 343786.09 | 2220.8912 | | 2830 | 7623708.195 | 343930.9036 | 2202.7795 | |
| 2756 | 7624125.104 | 343779.3623 | 2222.8198 | | 2831 | 7623719.339 | 343985.4926 | 2199.0933 | CARRET |
| 2757 | 7624089.545 | 343739.0386 | 2224.5336 | CARRET | 2832 | 7623728.83 | 343917.7223 | 2203.9575 | |
| 2758 | 7624103.832 | 343764.7297 | 2221.9602 | | 2833 | 7623725.15 | 343948.2468 | 2202.1124 | |
| 2759 | 7624124.219 | 343764.1734 | 2224.9131 | | 2834 | 7623738.681 | 343981.4151 | 2199.7116 | CARRET |
| 2760 | 7624113 | 343743.1135 | 2224.5946 | | 2835 | 7623745.737 | 343915.5154 | 2204.8747 | |
| 2761 | 7624096.008 | 343722.4709 | 2225.0725 | CARRET | 2836 | 7623749.338 | 343944.2653 | 2203.0148 | |
| 2762 | 7624125.284 | 343742.6156 | 2224.7099 | | 2837 | 7623757.379 | 343978.4426 | 2200.4959 | CARRET |
| 2763 | 7624100.47 | 343702.1819 | 2225.4895 | CARRET | 2838 | 7623766.309 | 343913.8251 | 2206.2738 | |
| 2764 | 7624119.046 | 343719.7786 | 2225.5592 | | 2839 | 7623776.041 | 343939.7722 | 2204.713 | |
| 2765 | 7624099.752 | 343687.7436 | 2225.2663 | CARRET | 2840 | 7623777.164 | 343973.7507 | 2201.251 | CARRET |
| 2766 | 7624112.868 | 343697.4808 | 2225.6248 | | 2841 | 7623789.987 | 343908.8127 | 2207.6685 | |
| 2767 | 7624107.431 | 343682.1327 | 2225.11 | | 2842 | 7623797.725 | 343966.5098 | 2202.2595 | CARRET |
| 2771 | 7624066.5 | 343694.1803 | 2226.3793 | | 2843 | 7623806.65 | 343928.4291 | 2206.2749 | |
| 2772 | 7624047.435 | 343694.2374 | 2227.9373 | | 2844 | 7623812.393 | 343902.2365 | 2209.5004 | |
| 2773 | 7624039.218 | 343706.7529 | 2229.1247 | | 2845 | 7623820.783 | 343958.7538 | 2203.1785 | CARRET |
| 2775 | 7623617.062 | 344248.7214 | 2172.4067 | B | 2846 | 7623829.526 | 343924.9673 | 2207.168 | |
| 2776 | 7623630.186 | 344242.1583 | 2172.6818 | CARRET | 2847 | 7623836.5 | 343897.0144 | 2210.2633 | |
| 2778 | 7623605.021 | 344262.0522 | 2170.9993 | | 2848 | 7623838.839 | 343956.1865 | 2203.8194 | CARRET |
| 2779 | 7623620.906 | 344232.2884 | 2173.6479 | CARRET | 2849 | 7623858.384 | 343952.636 | 2205.0604 | CARRET |
| 2780 | 7623595.12 | 344266.158 | 2166.6631 | | 2850 | 7623861.357 | 343913.9137 | 2209.2097 | |
| 2781 | 7623604.61 | 344239.6873 | 2172.6934 | | 2851 | 7623864.913 | 343891.0007 | 2211.6658 | |

| Nº | Norte | Este | Altura | Descripción | Nº | Norte | Este | Altura | Descripción |
|------|-------------|-------------|-----------|-------------|------|-------------|-------------|-----------|-------------|
| 2852 | 7623878.812 | 343946.1537 | 2206.1173 | CARRET | 2922 | 7623451.788 | 344522.6506 | 2167.8876 | |
| 2853 | 7623887.078 | 343905.3807 | 2210.6645 | | 2923 | 7623457.578 | 344551.7299 | 2170.7376 | CARRET |
| 2854 | 7623893.789 | 343879.0594 | 2214.4343 | | 2924 | 7623417.236 | 344509.3318 | 2166.4656 | |
| 2855 | 7623897.471 | 343936.9609 | 2207.025 | CARRET | 2925 | 7623437.337 | 344543.7484 | 2167.4308 | |
| 2856 | 7623911.538 | 343896.16 | 2212.7295 | | 2926 | 7623445.573 | 344566.1694 | 2171.1231 | CARRET |
| 2857 | 7623907.573 | 343871.8474 | 2215.6318 | | 2927 | 7623392.043 | 344536.9632 | 2166.1829 | |
| 2858 | 7623917.037 | 343928.1079 | 2208.179 | CARRET | 2928 | 7623427.379 | 344560.2758 | 2167.4258 | |
| 2859 | 7623927.298 | 343861.9968 | 2217.0441 | | 2929 | 7623433.641 | 344581.466 | 2171.1121 | CARRET |
| 2860 | 7623929.059 | 343882.0543 | 2214.7209 | | 2930 | 7623415.628 | 344573.7454 | 2167.0428 | |
| 2861 | 7623937.452 | 343918.8759 | 2209.4122 | CARRET | 2931 | 7623374.694 | 344561.1439 | 2166.2127 | |
| 2862 | 7623951.382 | 343869.9 | 2215.8429 | | 2932 | 7623416.379 | 344597.487 | 2170.9367 | CARRET |
| 2863 | 7623942.944 | 343850.3787 | 2219.1772 | | 2933 | 7623395.677 | 344586.2575 | 2166.8533 | |
| 2864 | 7623957.522 | 343909.4384 | 2210.6791 | CARRET | 2934 | 7623402.41 | 344606.1413 | 2171.1683 | CARRET |
| 2865 | 7623965.698 | 343862.4515 | 2216.6635 | | 2935 | 7623368.589 | 344580.9064 | 2165.9659 | |
| 2866 | 7623960.543 | 343837.6563 | 2220.3344 | | 2936 | 7623380.707 | 344617.5633 | 2171 | CARRET |
| 2867 | 7623976.995 | 343897.3675 | 2212.0569 | CARRET | 2937 | 7623382.821 | 344593.6621 | 2166.4559 | |
| 2868 | 7623979.038 | 343849.1897 | 2218.2364 | | 2938 | 7623327.668 | 344625.7025 | 2166.2139 | |
| 2869 | 7623995.414 | 343882.184 | 2213.6288 | CARRET | 2939 | 7623346.749 | 344648 | 2171 | CARRET |
| 2870 | 7623972.591 | 343820.2495 | 2222.1263 | | 2940 | 7623318.283 | 344642.2934 | 2166.3746 | |
| 2871 | 7623990.637 | 343836.8912 | 2219.4119 | | 2941 | 7623397.305 | 344667.6325 | 2184.9951 | |
| 2872 | 7624011.533 | 343865.0478 | 2215.2921 | CARRET | 2942 | 7623339.025 | 344660.1491 | 2171.4 | CARRET |
| 2873 | 7623983.76 | 343806.937 | 2223.2397 | | 2943 | 7623405.727 | 344648.4149 | 2185.966 | |
| 2874 | 7624005.594 | 343811.0791 | 2221.8286 | | 2944 | 7623337.52 | 344675.3939 | 2172.2488 | CARRET |
| 2875 | 7624025.257 | 343845.5644 | 2216.8265 | CARRET | 2945 | 7623355.556 | 344695.0125 | 2177.943 | |
| 2876 | 7623994.077 | 343784.2124 | 2225.6472 | | 2946 | 7623368.782 | 344670.1579 | 2178.4619 | |
| 2877 | 7624013.524 | 343792.8964 | 2223.8386 | | 2947 | 7623375.903 | 344656.6576 | 2177.9675 | |
| 2878 | 7624040.174 | 343825.5002 | 2218.2897 | CARRET | 2948 | 7623360.284 | 344642.1106 | 2171.233 | CARRET |
| 2879 | 7624003.488 | 343769.0978 | 2227.0946 | | 2949 | 7623372.691 | 344628.7093 | 2170.9664 | CARRET |
| 2880 | 7624027.779 | 343774.1087 | 2225.1234 | | 2950 | 7623383.332 | 344640.9313 | 2177.1635 | |
| 2881 | 7624054.105 | 343803.7468 | 2219.8466 | CARRET | 2951 | 7623389.749 | 344617.4958 | 2170.8522 | CARRET |
| 2882 | 7624011.539 | 343749.4292 | 2229.9249 | | 2952 | 7623407.335 | 344637.0829 | 2181.9376 | |
| 2883 | 7624035.133 | 343751.1182 | 2227.3713 | | 2953 | 7623402.143 | 344631.9302 | 2177.8104 | |
| 2884 | 7624067.063 | 343781.5549 | 2221.9017 | CARRET | 2954 | 7623401.637 | 344611.6776 | 2170.7908 | CARRET |
| 2885 | 7624015.607 | 343728.5242 | 2231.1343 | | 2955 | 7623431.842 | 344633.0062 | 2182.9069 | |
| 2886 | 7624077.676 | 343759.2716 | 2223.6057 | CARRET | 2956 | 7623421.171 | 344619.9014 | 2176.4786 | |
| 2887 | 7624036.815 | 343753.0157 | 2226.9218 | | 2957 | 7623416.43 | 344603.8845 | 2170.8374 | CARRET |
| 2888 | 7624024.25 | 343714.4868 | 2230.7163 | | 2958 | 7623454.31 | 344622.402 | 2183.3124 | |
| 2889 | 7624086.02 | 343737.5803 | 2224.5083 | CARRET | 2959 | 7623434.958 | 344608.4269 | 2176.0799 | |
| 2890 | 7624048.888 | 343722.8977 | 2228.1262 | | 2960 | 7623426.89 | 344595.8708 | 2170.8872 | CARRET |
| 2891 | 7624032.431 | 343695.8808 | 2229.5919 | | 2961 | 7623470.465 | 344612.6361 | 2184.1854 | |
| 2892 | 7624094.581 | 343714.5379 | 2225.1281 | CARRET | 2962 | 7623451.451 | 344594.9258 | 2177.0406 | |
| 2893 | 7624054.165 | 343705.6478 | 2227.7005 | | 2963 | 7623442.799 | 344576.7916 | 2171.1208 | CARRET |
| 2894 | 7624096.673 | 343692.8392 | 2225.11 | CARRET | 2964 | 7623459.519 | 344585.7043 | 2176.9943 | |
| 2895 | 7624007.782 | 343735.8667 | 2231.1855 | BM1 | 2965 | 7623450.799 | 344566.1343 | 2170.827 | CARRET |
| 2896 | 7624015.801 | 343728.9069 | 2231.1747 | B | 2966 | 7623439.744 | 344590.0111 | 2173.6895 | |
| 2897 | 7623410.968 | 344349.0886 | 2181.1321 | BM16 | 2967 | 7623448.7 | 344576.8819 | 2173.5554 | |
| 2898 | 7623413.943 | 344341.8361 | 2181.5396 | B | 2968 | 7623460.045 | 344555.4671 | 2170.5498 | CARRET |
| 2899 | 7623449.708 | 344391.3866 | 2171.6426 | B | 2969 | 7623452.291 | 344568.7638 | 2172.8231 | |
| 2900 | 7623435.686 | 344408.3111 | 2171.1011 | | 2970 | 7623461.408 | 344555.6157 | 2171.2812 | |
| 2901 | 7623470.455 | 344440.5772 | 2164.4312 | | 2971 | 7623456.53 | 344563.9786 | 2172.3408 | |
| 2902 | 7623500.881 | 344448.6622 | 2161.0012 | | 2972 | 7623486.839 | 344601.1334 | 2184.6802 | |
| 2903 | 7623446.028 | 344448.9797 | 2165.1052 | | 2973 | 7623469.282 | 344542.2885 | 2170.0353 | CARRET |
| 2904 | 7623481.773 | 344456.1454 | 2161.0625 | | 2974 | 7623475.058 | 344576.1871 | 2178.3111 | |
| 2905 | 7623503.311 | 344451.541 | 2160.9549 | | 2975 | 7623470.012 | 344542.9076 | 2170.9365 | |
| 2906 | 7623480.014 | 344465.987 | 2164.2668 | | 2976 | 7623501.06 | 344582.1965 | 2184.2347 | |
| 2907 | 7623499.6 | 344456.5455 | 2162.2277 | | 2977 | 7623493.32 | 344562.188 | 2177.9294 | |
| 2908 | 7623488.641 | 344462.1261 | 2165.0911 | | 2978 | 7623475.65 | 344533.118 | 2169.4202 | CARRET |
| 2909 | 7623506.05 | 344459.6655 | 2167.0654 | | 2979 | 7623499.419 | 344554.4706 | 2179.0245 | |
| 2910 | 7623495.83 | 344469.0592 | 2167.0436 | | 2980 | 7623510.388 | 344573.6907 | 2184.1667 | |
| 2911 | 7623518.573 | 344472.3347 | 2169.2792 | CARRET | 2981 | 7623476.781 | 344534.4888 | 2170.6031 | |
| 2912 | 7623487.766 | 344485.1407 | 2167.4293 | | 2982 | 7623517.399 | 344561.2109 | 2184.9253 | |
| 2913 | 7623509.825 | 344486.1449 | 2169.2932 | CARRET | 2983 | 7623510.304 | 344542.2069 | 2179.6598 | |
| 2914 | 7623500.546 | 344499.6141 | 2169.4671 | CARRET | 2984 | 7623487.282 | 344520.1604 | 2169.2297 | CARRET |
| 2915 | 7623474.51 | 344494.2139 | 2167.0705 | | 2985 | 7623527.054 | 344547.0148 | 2185.9592 | |
| 2916 | 7623487.352 | 344512.8153 | 2169.215 | CARRET | 2986 | 7623524.364 | 344526.1856 | 2179.5125 | |
| 2917 | 7623464.218 | 344475.9954 | 2163.3396 | | 2987 | 7623503.36 | 344504.3535 | 2169.2278 | CARRET |
| 2918 | 7623475.235 | 344526.1198 | 2169.6385 | CARRET | 2988 | 7623538.29 | 344536.1868 | 2186.733 | |
| 2919 | 7623467.476 | 344501.6224 | 2167.4695 | | 2989 | 7623511.716 | 344491.5347 | 2169.2793 | CARRET |
| 2920 | 7623444.458 | 344491.2171 | 2165.6701 | | 2990 | 7623529.213 | 344502.2593 | 2171.4541 | |
| 2921 | 7623467.321 | 344538.2822 | 2170.2127 | CARRET | 2991 | 7623553.544 | 344523.5353 | 2185.6665 | |

| Nº | Norte | Este | Altura | Descripción | Nº | Norte | Este | Altura | Descripción |
|------|-------------|-------------|-----------|-------------|------|-------------|-------------|-----------|-------------|
| 2992 | 7623522.217 | 344476.4752 | 2169.0959 | CARRET | 3063 | 7623610.894 | 344300.9035 | 2168.9013 | |
| 2993 | 7623543.021 | 344494.711 | 2172.4232 | | 3064 | 7623626.995 | 344296.7913 | 2167.3749 | CARRET |
| 2994 | 7623523.796 | 344476.9699 | 2169.8477 | | 3065 | 7623619.267 | 344292.0454 | 2170.3637 | |
| 2995 | 7623565.43 | 344513.9973 | 2185.2671 | | 3066 | 7623622.161 | 344305.2507 | 2166.228 | CARRET |
| 2996 | 7623551.03 | 344481.8464 | 2172.2456 | | 3067 | 7623602.456 | 344311.9014 | 2166.5354 | |
| 2997 | 7623533.069 | 344461.6141 | 2168.8029 | CARRET | 3068 | 7623581.37 | 344297.2113 | 2169.377 | |
| 2998 | 7623578.087 | 344500.6431 | 2185.5186 | | 3069 | 7623596.761 | 344316.1784 | 2166.0364 | |
| 2999 | 7623534.169 | 344462.8631 | 2169.6512 | | 3070 | 7623616.13 | 344316.9994 | 2165.0959 | CARRET |
| 3000 | 7623560.032 | 344459.8205 | 2173.2616 | | 3071 | 7623579.559 | 344311.5425 | 2168.998 | |
| 3001 | 7623542.85 | 344445.2524 | 2168.1867 | CARRET | 3072 | 7623612.017 | 344324.1729 | 2164.881 | CARRET |
| 3002 | 7623588.392 | 344485.857 | 2186.1436 | | 3073 | 7623574.693 | 344323.2106 | 2168.6646 | |
| 3003 | 7623545.396 | 344445.4368 | 2169.7136 | | 3074 | 7623604.592 | 344325.2579 | 2164.4964 | |
| 3004 | 7623569.625 | 344442.3136 | 2173.4672 | | 3075 | 7623550.917 | 344317.2156 | 2169.8713 | |
| 3005 | 7623551.826 | 344431.8137 | 2167.3464 | CARRET | 3076 | 7623552.14 | 344347.6341 | 2168.3236 | |
| 3006 | 7623601.782 | 344469.6003 | 2186.7485 | | 3077 | 7623589.306 | 344358.276 | 2166.3258 | CARRET |
| 3007 | 7623553.036 | 344432.0299 | 2168.3326 | | 3078 | 7623534.568 | 344377.9832 | 2167.1257 | |
| 3008 | 7623581.295 | 344432.5084 | 2174.6619 | | 3079 | 7623528.241 | 344385.9085 | 2166.8085 | |
| 3009 | 7623613.259 | 344453.6068 | 2185.9922 | | 3080 | 7623584.292 | 344368.8881 | 2166.2493 | CARRET |
| 3010 | 7623561.064 | 344414.4338 | 2166.8057 | CARRET | 3081 | 7623574.3 | 344382.4838 | 2166.3985 | CARRET |
| 3011 | 7623590.692 | 344420.3794 | 2175.9084 | | 3082 | 7623496.499 | 344419.8295 | 2165.3288 | |
| 3012 | 7623623.541 | 344439.3142 | 2185.09 | | 3083 | 7623564.26 | 344397.1386 | 2166.6861 | CARRET |
| 3013 | 7623564.693 | 344411.9748 | 2168.4465 | | 3084 | 7623558.993 | 344406.2025 | 2166.957 | CARRET |
| 3014 | 7623602.316 | 344406.1763 | 2175.1452 | | 3085 | 7623551.862 | 344419.7871 | 2167.4313 | CARRET |
| 3015 | 7623573.915 | 344390.6845 | 2166.3175 | CARRET | 3086 | 7623545.539 | 344430.8979 | 2167.9423 | CARRET |
| 3016 | 7623631.758 | 344427.449 | 2181.702 | | 3087 | 7623538.229 | 344442.5127 | 2168.5585 | CARRET |
| 3017 | 7623577.683 | 344390.4981 | 2168.2133 | | 3088 | 7623531.394 | 344453.7601 | 2169.0243 | CARRET |
| 3018 | 7623603.404 | 344399.9781 | 2172.8106 | | 3089 | 7623525.025 | 344462.0901 | 2169.3021 | CARRET |
| 3019 | 7623588.464 | 344372.9633 | 2166.452 | CARRET | 3091 | 7623602.595 | 344309.6406 | 2166.898 | B |
| 3020 | 7623617.343 | 344387.844 | 2170.2986 | | 3092 | 7623519.578 | 344444.6466 | 2161.6022 | B |
| 3021 | 7623593.908 | 344358.6394 | 2166.1691 | CARRET | 3093 | 7623528.431 | 344440.7924 | 2164.2316 | |
| 3022 | 7623642.364 | 344415.9516 | 2173.8555 | | 3094 | 7623534.794 | 344419.5385 | 2162.0482 | |
| 3023 | 7623624.713 | 344372.513 | 2173.5269 | | 3095 | 7623539.833 | 344409.0447 | 2162.2892 | |
| 3025 | 7623645.704 | 344396.2809 | 2177.6903 | | 3096 | 7623604.257 | 344276.2117 | 2166.6195 | |
| 3026 | 7623597.142 | 344359.001 | 2167.5433 | | 3097 | 7623605.722 | 344282.0844 | 2166.2947 | |
| 3027 | 7623652.54 | 344377.2373 | 2180.2634 | | 3098 | 7623603.19 | 344292.5126 | 2165.8654 | |
| 3028 | 7623630.345 | 344355.2032 | 2175.1969 | | 3099 | 7623598.777 | 344290.3088 | 2165.4613 | |
| 3029 | 7623655.419 | 344352.8004 | 2182.767 | | 3100 | 7623591.918 | 344300.9624 | 2164.8434 | |
| 3030 | 7623634.444 | 344340.934 | 2176.321 | | 3101 | 7623589.855 | 344305.0279 | 2164.8624 | |
| 3031 | 7623608.973 | 344337.1724 | 2165.5682 | CARRET | 3102 | 7623584.667 | 344315.1801 | 2164.4827 | |
| 3032 | 7623660.424 | 344337.8502 | 2182.2306 | | 3103 | 7623583.535 | 344322.3008 | 2164.0933 | |
| 3033 | 7623642.619 | 344327.6031 | 2174.9853 | | 3104 | 7623548.902 | 344392.57 | 2162.6096 | |
| 3034 | 7623614.886 | 344335.0573 | 2168.3308 | | 3105 | 7623545.315 | 344411.3329 | 2162.8037 | |
| 3035 | 7623636.819 | 344324.0299 | 2172.6956 | | 3106 | 7623561.586 | 344373.0766 | 2163.1684 | |
| 3036 | 7623656.132 | 344324.4843 | 2177.5575 | | 3107 | 7623584.478 | 344436.1612 | 2164.32 | |
| 3037 | 7623620.594 | 344316.3554 | 2165.212 | CARRET | 3108 | 7623570.692 | 344359.6927 | 2163.3828 | |
| 3038 | 7623664.847 | 344315.9673 | 2176.7638 | | 3109 | 7623559.652 | 344387.2581 | 2163.7216 | |
| 3039 | 7623635.469 | 344317.9306 | 2166.3281 | | 3110 | 7623580.855 | 344343.4658 | 2164.0105 | |
| 3040 | 7623669.056 | 344308.2303 | 2175.4773 | | 3111 | 7623568.729 | 344370.4187 | 2163.5666 | |
| 3041 | 7623629.496 | 344303.5092 | 2166.8871 | CARRET | 3112 | 7623586.553 | 344343.2496 | 2163.4965 | |
| 3042 | 7623657.876 | 344306.7898 | 2165.8138 | | 3113 | 7623601.427 | 344310.808 | 2166.6454 | |
| 3043 | 7623672.679 | 344300.0852 | 2174.7816 | | 3114 | 7624017.813 | 343730.3129 | 2231.0384 | |
| 3044 | 7623636.148 | 344293.2064 | 2168.4454 | CARRET | 3115 | 7624020.124 | 343734.8447 | 2230.7042 | |
| 3045 | 7623667.717 | 344286.9568 | 2166.5051 | | 3116 | 7624020.506 | 343740.314 | 2230.0982 | |
| 3046 | 7623669.782 | 344294.1148 | 2171.7401 | | 3117 | 7624018.821 | 343742.0084 | 2230.0355 | |
| 3047 | 7623639.701 | 344285.1566 | 2169.214 | CARRET | 3118 | 7624023.751 | 343736.9487 | 2230.1497 | |
| 3048 | 7623656.439 | 344289.7074 | 2166.9473 | | 3119 | 7624049.232 | 343686.4795 | 2227.3762 | |
| 3049 | 7623649.176 | 344283.0157 | 2168.9048 | | 3120 | 7624065.129 | 343691.5097 | 2226.3721 | |
| 3050 | 7623674.615 | 344278.8302 | 2171.5124 | | 3121 | 7624063.845 | 343678.541 | 2225.7344 | |
| 3051 | 7623671.294 | 344268.0981 | 2167.6575 | | 3122 | 7624076.827 | 343691.9065 | 2225.7271 | |
| 3052 | 7623678.281 | 344262.6451 | 2170.7661 | | 3123 | 7624076.831 | 343691.9077 | 2225.7265 | |
| 3053 | 7623644.934 | 344271.3988 | 2170.5843 | CARRET | 3125 | 7624089.52 | 343684.0444 | 2224.7393 | |
| 3054 | 7623645.997 | 344260.9816 | 2171.3551 | CARRET | 3130 | 7624134.953 | 343747.828 | 2221.6311 | CARRET |
| 3055 | 7623627.034 | 344261.5539 | 2171.4554 | | 3131 | 7624130.829 | 343746.9179 | 2224.459 | |
| 3056 | 7623638.573 | 344256.5232 | 2171.1901 | CARRET | 3132 | 7624126.995 | 343734.3742 | 2225.0865 | |
| 3057 | 7623606.061 | 344263.1082 | 2171.0209 | | 3133 | 7624123.115 | 343723.0409 | 2225.7097 | |
| 3058 | 7623621.091 | 344272.4759 | 2170.8016 | | 3134 | 7624117.848 | 343707.5748 | 2225.765 | |
| 3059 | 7623600.126 | 344267.1777 | 2167.2079 | | 3135 | 7624112.68 | 343691.1709 | 2225.3233 | |
| 3060 | 7623607.899 | 344276.6467 | 2170.5152 | | 3136 | 7624108.025 | 343679.0451 | 2225.0338 | |
| 3061 | 7623637.146 | 344276.366 | 2169.6521 | CARRET | 3137 | 7624103.919 | 343669.6904 | 2224.2844 | |
| 3062 | 7623610.428 | 344285.7157 | 2169.8363 | | 3138 | 7624097.853 | 343657.019 | 2223.5557 | |

| Nº | Norte | Este | Altura | Descripción | Nº | Norte | Este | Altura | Descripción |
|------|-------------|-------------|-----------|-------------|------|-------------|-------------|-----------|-------------|
| 3139 | 7624090.344 | 343642.5381 | 2222.4652 | | 3209 | 7624095.914 | 343671.8463 | 2224.2545 | CARRET |
| 3140 | 7624081.379 | 343628.7121 | 2221.5873 | | 3210 | 7624113.365 | 343653.9531 | 2221.1951 | CARRET |
| 3141 | 7624074.999 | 343618.1901 | 2220.1757 | | 3211 | 7624112.253 | 343654.4597 | 2221.4677 | CARRET |
| 3142 | 7624144.438 | 343772.2275 | 2220.9837 | CARRET | 3212 | 7624102.411 | 343654.9716 | 2221.0453 | CARRET |
| 3143 | 7624143.009 | 343772.7545 | 2220.9053 | CARRET | 3213 | 7624110.578 | 343655.0761 | 2221.4253 | CARRET |
| 3144 | 7624150.958 | 343769.234 | 2221.0202 | CARRET | 3214 | 7624099.635 | 343656.3784 | 2220.6527 | CARRET |
| 3145 | 7624152.568 | 343768.4087 | 2220.927 | CARRET | 3215 | 7624090.466 | 343657.6438 | 2223.398 | CARRET |
| 3146 | 7624153.637 | 343767.8316 | 2220.678 | CARRET | 3216 | 7624108.895 | 343644.9295 | 2220.8513 | CARRET |
| 3147 | 7624062.942 | 343600.7302 | 2218.2077 | | 3217 | 7624098.721 | 343647.8663 | 2220.7553 | CARRET |
| 3148 | 7624053.619 | 343587.779 | 2216.9184 | CARRET | 3218 | 7624107.86 | 343645.511 | 2221.1597 | CARRET |
| 3149 | 7624150.363 | 343757.6957 | 2221.0132 | CARRET | 3219 | 7624106.126 | 343646.1196 | 2221.1243 | CARRET |
| 3150 | 7624149.049 | 343758.0157 | 2221.2821 | CARRET | 3220 | 7624095.928 | 343649.1356 | 2220.377 | CARRET |
| 3151 | 7624147.431 | 343758.421 | 2221.3698 | CARRET | 3221 | 7624104.168 | 343636.1237 | 2220.5203 | CARRET |
| 3152 | 7624147.235 | 343748.1346 | 2221.2403 | CARRET | 3222 | 7624103.196 | 343636.6894 | 2220.8112 | CARRET |
| 3153 | 7624145.985 | 343748.4966 | 2221.5228 | CARRET | 3223 | 7624094.707 | 343640.6648 | 2220.4197 | CARRET |
| 3154 | 7624144.316 | 343748.7599 | 2221.6123 | CARRET | 3224 | 7624101.553 | 343637.2874 | 2220.7797 | CARRET |
| 3155 | 7624144.202 | 343738.5803 | 2221.4249 | CARRET | 3225 | 7624092.271 | 343642.1348 | 2220.0808 | CARRET |
| 3156 | 7624142.979 | 343738.963 | 2221.7213 | CARRET | 3226 | 7624086.054 | 343647.3823 | 2222.7394 | CARRET |
| 3157 | 7624141.134 | 343739.097 | 2221.8116 | CARRET | 3227 | 7624090.781 | 343633.7537 | 2220.0821 | CARRET |
| 3158 | 7624141.033 | 343729.1544 | 2221.6233 | CARRET | 3228 | 7624099.219 | 343627.3205 | 2220.0965 | CARRET |
| 3159 | 7624139.907 | 343729.4741 | 2221.8642 | CARRET | 3229 | 7624098.059 | 343628.0891 | 2220.3883 | CARRET |
| 3160 | 7624138.026 | 343729.4905 | 2221.9651 | CARRET | 3230 | 7624088.417 | 343634.9429 | 2219.7518 | CARRET |
| 3161 | 7624141.473 | 343772.5043 | 2220.6767 | CARRET | 3231 | 7624078.753 | 343632.7019 | 2221.8551 | CARRET |
| 3162 | 7624141.211 | 343762.7547 | 2221.2679 | CARRET | 3232 | 7624096.639 | 343628.7925 | 2220.3489 | CARRET |
| 3163 | 7624138.282 | 343762.9629 | 2221.0016 | CARRET | 3233 | 7624086.473 | 343626.5812 | 2219.6794 | CARRET |
| 3164 | 7624138.425 | 343753.644 | 2221.5354 | CARRET | 3234 | 7624084.081 | 343628.1508 | 2219.3835 | CARRET |
| 3165 | 7624135.156 | 343753.3468 | 2221.256 | CARRET | 3235 | 7624073.193 | 343624.9469 | 2221.1307 | CARRET |
| 3166 | 7624135.51 | 343744.7224 | 2221.7401 | CARRET | 3236 | 7624093.988 | 343618.6506 | 2219.6133 | CARRET |
| 3167 | 7624132.185 | 343743.9749 | 2221.4479 | CARRET | 3237 | 7624092.996 | 343619.2766 | 2219.8956 | CARRET |
| 3168 | 7624137.801 | 343719.6165 | 2221.8927 | CARRET | 3238 | 7624091.564 | 343620.3336 | 2219.879 | CARRET |
| 3169 | 7624132.01 | 343733.8316 | 2221.8975 | CARRET | 3239 | 7624082.191 | 343619.5394 | 2219.278 | CARRET |
| 3170 | 7624136.839 | 343720.0243 | 2221.9958 | CARRET | 3240 | 7624081.017 | 343620.5053 | 2219.2021 | CARRET |
| 3171 | 7624132.014 | 343733.7998 | 2221.9042 | CARRET | 3241 | 7624079.739 | 343621.2172 | 2218.9544 | CARRET |
| 3172 | 7624135.025 | 343720.3265 | 2222.0708 | CARRET | 3242 | 7624088.592 | 343610.3749 | 2219.1369 | CARRET |
| 3173 | 7624129.089 | 343734.4819 | 2221.6119 | CARRET | 3243 | 7624087.631 | 343610.9599 | 2219.387 | CARRET |
| 3174 | 7624134.906 | 343710.136 | 2222.0726 | CARRET | 3244 | 7624086.191 | 343612.0215 | 2219.3725 | CARRET |
| 3175 | 7624133.718 | 343710.4565 | 2222.0703 | CARRET | 3245 | 7624076.713 | 343611.204 | 2218.7525 | CARRET |
| 3176 | 7624128.957 | 343724.6876 | 2221.9854 | CARRET | 3246 | 7624075.36 | 343612.0613 | 2218.6444 | CARRET |
| 3177 | 7624126.041 | 343725.2981 | 2221.6629 | CARRET | 3247 | 7624074.106 | 343612.757 | 2218.4217 | CARRET |
| 3178 | 7624131.993 | 343711.1914 | 2222.1307 | CARRET | 3248 | 7624064.445 | 343613.3797 | 2219.8429 | CARRET |
| 3179 | 7624125.836 | 343714.8128 | 2222.0428 | CARRET | 3249 | 7624083.048 | 343602.1745 | 2218.5898 | CARRET |
| 3180 | 7624131.732 | 343700.4695 | 2222.0332 | CARRET | 3250 | 7624082.001 | 343602.8215 | 2218.8658 | CARRET |
| 3181 | 7624122.91 | 343715.7064 | 2221.7263 | CARRET | 3251 | 7624080.715 | 343603.9924 | 2218.853 | CARRET |
| 3182 | 7624130.615 | 343700.9043 | 2222.0892 | CARRET | 3252 | 7624070.658 | 343602.6254 | 2218.1872 | CARRET |
| 3183 | 7624122.726 | 343705.2821 | 2222.0399 | CARRET | 3253 | 7624069.417 | 343603.6424 | 2218.0679 | CARRET |
| 3184 | 7624128.813 | 343701.2748 | 2222.1366 | CARRET | 3254 | 7624068.21 | 343604.5042 | 2217.8081 | CARRET |
| 3185 | 7624119.793 | 343706.2125 | 2221.687 | CARRET | 3255 | 7624076.192 | 343595.0602 | 2218.3439 | CARRET |
| 3186 | 7624128.595 | 343691.0375 | 2221.9933 | CARRET | 3256 | 7624075.17 | 343596.2659 | 2218.3378 | CARRET |
| 3187 | 7624119.562 | 343695.8094 | 2221.985 | CARRET | 3257 | 7624064.602 | 343594.6946 | 2217.6343 | CARRET |
| 3188 | 7624127.443 | 343691.4571 | 2222.0631 | CARRET | 3258 | 7624063.264 | 343595.554 | 2217.5028 | CARRET |
| 3189 | 7624125.676 | 343691.8256 | 2222.0867 | CARRET | 3259 | 7624062.017 | 343596.4248 | 2217.2657 | CARRET |
| 3190 | 7624116.665 | 343696.6905 | 2221.6718 | CARRET | 3260 | 7624070.981 | 343588.174 | 2217.8538 | CARRET |
| 3191 | 7624125.169 | 343681.6781 | 2221.9374 | CARRET | 3261 | 7624069.867 | 343589.3516 | 2217.8475 | CARRET |
| 3192 | 7624124.058 | 343682.0557 | 2221.9839 | CARRET | 3262 | 7624059.395 | 343588.132 | 2217.1534 | CARRET |
| 3193 | 7624116.046 | 343686.3747 | 2221.8714 | CARRET | 3263 | 7624058.116 | 343589.1384 | 2217.0685 | CARRET |
| 3194 | 7624113.239 | 343687.3944 | 2221.5575 | CARRET | 3264 | 7624057.068 | 343590.0972 | 2216.7897 | CARRET |
| 3195 | 7624122.291 | 343682.4835 | 2221.9788 | CARRET | 3265 | 7624065.495 | 343581.3393 | 2217.3779 | CARRET |
| 3196 | 7624113.046 | 343678.5981 | 2221.7446 | CARRET | 3266 | 7624064.398 | 343582.5157 | 2217.3883 | CARRET |
| 3197 | 7624110.31 | 343679.9293 | 2221.4212 | CARRET | 3267 | 7624053.96 | 343581.7513 | 2216.686 | CARRET |
| 3198 | 7624121.453 | 343672.2715 | 2221.7314 | CARRET | 3268 | 7624052.884 | 343582.9143 | 2216.5786 | CARRET |
| 3199 | 7624120.414 | 343672.7521 | 2221.8323 | CARRET | 3269 | 7624057.581 | 343602.5574 | 2218.4182 | CARRET |
| 3200 | 7624109.12 | 343669.4792 | 2221.5248 | CARRET | 3270 | 7624051.797 | 343583.8248 | 2216.3369 | CARRET |
| 3201 | 7624118.549 | 343673.0437 | 2221.8332 | CARRET | 3271 | 7624060.101 | 343574.9543 | 2216.9316 | CARRET |
| 3202 | 7624106.366 | 343670.7408 | 2221.1806 | CARRET | 3272 | 7624058.916 | 343576.0855 | 2216.9378 | CARRET |
| 3203 | 7624099.936 | 343683.2292 | 2225.037 | CARRET | 3273 | 7624047.837 | 343574.7597 | 2216.1401 | CARRET |
| 3204 | 7624105.718 | 343661.9859 | 2221.2993 | CARRET | 3274 | 7624053.558 | 343567.587 | 2216.4095 | CARRET |
| 3205 | 7624117.478 | 343663.0046 | 2221.4705 | CARRET | 3275 | 7624052.444 | 343568.8432 | 2216.4065 | CARRET |
| 3206 | 7624116.456 | 343663.5046 | 2221.69 | CARRET | 3276 | 7624046.907 | 343576.0043 | 2216.0931 | CARRET |
| 3207 | 7624114.592 | 343663.7987 | 2221.6566 | CARRET | 3277 | 7624045.921 | 343577.2862 | 2215.868 | CARRET |
| 3208 | 7624103.083 | 343663.4764 | 2220.9287 | CARRET | 3278 | 7624045.305 | 343559.001 | 2215.7635 | CARRET |

| Nº | Norte | Este | Altura | Descripción | Nº | Norte | Este | Altura | Descripción |
|------|-------------|-------------|-----------|-------------|------|-------------|-------------|-----------|-------------|
| 3279 | 7624044.32 | 343560.2229 | 2215.7556 | CARRET | 3351 | 7624118.021 | 343696.2846 | 2221.9298 | CARRET |
| 3280 | 7624041.795 | 343568.1616 | 2215.6481 | CARRET | 3352 | 7624124.518 | 343699.1922 | 2222.1113 | CARRET |
| 3281 | 7624040.979 | 343569.6568 | 2215.5964 | CARRET | 3353 | 7624120.544 | 343703.9135 | 2221.9504 | CARRET |
| 3282 | 7624050.944 | 343593.2982 | 2217.3236 | CARRET | 3354 | 7624126.926 | 343706.6593 | 2222.1479 | CARRET |
| 3283 | 7624037.174 | 343550.9043 | 2215.1114 | CARRET | 3355 | 7624122.994 | 343711.5196 | 2221.9743 | CARRET |
| 3284 | 7624036.121 | 343552.1264 | 2215.0904 | CARRET | 3356 | 7624129.337 | 343714.2788 | 2222.1415 | CARRET |
| 3285 | 7624048.51 | 343581.8343 | 2216.584 | CARRET | 3357 | 7624125.485 | 343719.1169 | 2221.9412 | CARRET |
| 3286 | 7624039.586 | 343572.478 | 2215.3522 | CARRET | 3358 | 7624131.841 | 343721.8295 | 2222.1175 | CARRET |
| 3287 | 7624031.039 | 343545.2313 | 2214.6468 | CARRET | 3359 | 7624127.985 | 343726.623 | 2221.9172 | CARRET |
| 3288 | 7624029.984 | 343546.3098 | 2214.6474 | CARRET | 3360 | 7624134.331 | 343729.494 | 2222.0289 | CARRET |
| 3289 | 7624037.5 | 343563.9652 | 2215.3095 | CARRET | 3361 | 7624130.498 | 343734.3345 | 2221.8289 | CARRET |
| 3290 | 7624036.043 | 343565.2788 | 2215.1789 | CARRET | 3362 | 7624136.791 | 343737.07 | 2221.9159 | CARRET |
| 3291 | 7624030.876 | 343557.1935 | 2214.8123 | CARRET | 3363 | 7624132.983 | 343741.9639 | 2221.7093 | CARRET |
| 3292 | 7624029.705 | 343558.2012 | 2214.7151 | CARRET | 3364 | 7624139.301 | 343744.7143 | 2221.79 | CARRET |
| 3293 | 7624023.116 | 343538.1148 | 2214.1028 | CARRET | 3365 | 7624135.406 | 343749.5678 | 2221.5659 | CARRET |
| 3294 | 7624022.101 | 343539.3156 | 2214.1068 | CARRET | 3366 | 7624141.76 | 343752.2994 | 2221.6224 | CARRET |
| 3295 | 7624024.692 | 343551.3307 | 2214.3924 | CARRET | 3367 | 7624137.856 | 343757.1839 | 2221.3729 | CARRET |
| 3296 | 7624023.817 | 343552.7315 | 2214.3136 | CARRET | 3368 | 7624144.34 | 343759.9519 | 2221.4126 | CARRET |
| 3297 | 7624013.4 | 343529.9996 | 2213.5715 | CARRET | 3369 | 7624140.278 | 343764.8369 | 2221.1576 | CARRET |
| 3298 | 7624012.434 | 343531.2911 | 2213.5884 | CARRET | 3370 | 7624146.727 | 343767.5824 | 2221.1962 | CARRET |
| 3299 | 7624016.434 | 343543.9845 | 2213.8962 | CARRET | 3371 | 7624142.804 | 343772.3245 | 2220.9173 | CARRET |
| 3300 | 7624015.434 | 343545.2286 | 2213.8015 | CARRET | 3372 | 7624002.953 | 343560.1837 | 2211.0355 | |
| 3301 | 7624004.489 | 343523.1698 | 2213.1908 | CARRET | 3373 | 7624013.738 | 343574.6867 | 2213.6957 | |
| 3302 | 7624003.669 | 343524.49 | 2213.2456 | CARRET | 3374 | 7624013.199 | 343584.9029 | 2214.5228 | |
| 3303 | 7624007.772 | 343536.7227 | 2213.4584 | CARRET | 3375 | 7624030.013 | 343585.5049 | 2215.9916 | |
| 3304 | 7624006.621 | 343537.9019 | 2213.356 | CARRET | 3376 | 7624045.505 | 343592.9045 | 2217.2658 | CARRET |
| 3305 | 7623994.998 | 343516.2013 | 2212.8868 | CARRET | 3377 | 7624022.129 | 343602.8014 | 2216.5575 | |
| 3306 | 7623994.126 | 343517.5846 | 2212.9486 | CARRET | 3378 | 7624047.985 | 343597.2968 | 2217.7188 | CARRET |
| 3307 | 7623998.064 | 343529.1355 | 2213.0808 | CARRET | 3379 | 7624038.094 | 343603.602 | 2217.1786 | |
| 3308 | 7623997.135 | 343530.374 | 2212.995 | CARRET | 3380 | 7624055.559 | 343608.8993 | 2219.0028 | CARRET |
| 3309 | 7623987.155 | 343510.4593 | 2212.7044 | CARRET | 3381 | 7624045.655 | 343617.7396 | 2218.7005 | |
| 3310 | 7623986.503 | 343511.9405 | 2212.7959 | CARRET | 3382 | 7624004.271 | 343598.6269 | 2214.4306 | |
| 3311 | 7623988.09 | 343521.7976 | 2212.7989 | CARRET | 3383 | 7624059.02 | 343613.4503 | 2219.4792 | CARRET |
| 3312 | 7623987.682 | 343517.0416 | 2212.8525 | CARRET | 3384 | 7624012.574 | 343612.4451 | 2218.0065 | |
| 3313 | 7623994.124 | 343521.7087 | 2212.9793 | CARRET | 3385 | 7624065.103 | 343621.5944 | 2220.4211 | CARRET |
| 3314 | 7624000.576 | 343526.4944 | 2213.1467 | CARRET | 3386 | 7624052.97 | 343629.4896 | 2220.9314 | |
| 3315 | 7624006.856 | 343531.4028 | 2213.3846 | CARRET | 3387 | 7624071.081 | 343629.1289 | 2221.232 | CARRET |
| 3316 | 7624013.055 | 343536.3389 | 2213.6555 | CARRET | 3388 | 7624025.092 | 343636.4145 | 2222.3234 | |
| 3317 | 7624019.147 | 343541.5125 | 2213.9851 | CARRET | 3389 | 7624075.657 | 343636.8132 | 2221.9228 | CARRET |
| 3318 | 7624025.17 | 343546.8149 | 2214.3461 | CARRET | 3390 | 7624059.447 | 343643.2218 | 2222.6483 | |
| 3319 | 7624031.039 | 343552.2515 | 2214.7484 | CARRET | 3391 | 7624037.289 | 343656.8839 | 2225.1509 | |
| 3320 | 7624036.78 | 343557.7702 | 2215.1829 | CARRET | 3392 | 7624081.058 | 343647.8304 | 2222.6482 | CARRET |
| 3322 | 7624042.44 | 343563.4429 | 2215.6175 | CARRET | 3393 | 7624064.721 | 343654.8864 | 2223.6097 | |
| 3323 | 7624086.875 | 343619.7652 | 2219.5662 | CARRET | 3394 | 7624042.662 | 343665.5835 | 2225.8944 | |
| 3324 | 7624047.926 | 343569.3195 | 2216.0763 | CARRET | 3395 | 7624086.442 | 343660.0517 | 2223.474 | CARRET |
| 3325 | 7624082.55 | 343613.0475 | 2219.1572 | CARRET | 3396 | 7624068.551 | 343669.0538 | 2224.6293 | |
| 3326 | 7624053.319 | 343575.252 | 2216.5196 | CARRET | 3397 | 7624045.437 | 343679.5173 | 2227.0295 | |
| 3327 | 7624078.012 | 343606.4652 | 2218.7055 | CARRET | 3398 | 7624091.327 | 343673.0023 | 2224.1992 | CARRET |
| 3328 | 7624058.508 | 343581.2335 | 2216.9503 | CARRET | 3399 | 7624072.651 | 343679.9263 | 2225.2384 | |
| 3329 | 7624073.275 | 343599.9031 | 2218.2577 | CARRET | 3400 | 7624051.598 | 343687.267 | 2227.1875 | |
| 3330 | 7624068.583 | 343593.6602 | 2217.8292 | CARRET | 3401 | 7624095.565 | 343683.8868 | 2224.8685 | CARRET |
| 3331 | 7624087.387 | 343630.9012 | 2219.788 | CARRET | 3402 | 7624053.206 | 343694.7439 | 2227.5601 | |
| 3332 | 7624091.217 | 343626.7181 | 2219.9646 | CARRET | 3405 | 7624078.461 | 343696.196 | 2225.7643 | |
| 3333 | 7624095.213 | 343633.5322 | 2220.3282 | CARRET | 3406 | 7623435.241 | 344933.9354 | 2155.684 | |
| 3334 | 7624091.476 | 343637.8883 | 2220.1418 | CARRET | 3407 | 7623436.66 | 344927.5649 | 2159.8545 | |
| 3335 | 7624099.164 | 343640.4655 | 2220.6704 | CARRET | 3408 | 7623427.292 | 344933.6262 | 2154.2758 | |
| 3336 | 7624095.35 | 343644.9713 | 2220.4886 | CARRET | 3409 | 7623422.904 | 344932.3359 | 2154.2601 | |
| 3337 | 7624102.81 | 343647.3669 | 2220.9732 | CARRET | 3410 | 7623448.181 | 344938.2992 | 2154.5027 | |
| 3338 | 7624099.042 | 343652.1394 | 2220.7883 | CARRET | 3411 | 7623453.759 | 344940.7356 | 2154.562 | |
| 3339 | 7624106.384 | 343654.5621 | 2221.2347 | CARRET | 3412 | 7623459.285 | 344941.2673 | 2154.346 | |
| 3340 | 7624102.624 | 343659.2675 | 2221.083 | CARRET | 3413 | 7623459.863 | 344939.0055 | 2155.787 | |
| 3341 | 7624109.792 | 343661.7455 | 2221.4605 | CARRET | 3414 | 7623452.055 | 344935.1109 | 2157.1192 | |
| 3343 | 7624106.034 | 343666.4783 | 2221.3465 | CARRET | 3415 | 7623441.422 | 344931.4326 | 2157.1119 | |
| 3344 | 7624113.037 | 343669.1014 | 2221.6579 | CARRET | 3416 | 7623435.157 | 344931.4377 | 2157.1074 | |
| 3345 | 7624109.272 | 343673.8976 | 2221.5544 | CARRET | 3417 | 7623426.698 | 344931.1298 | 2157.5091 | |
| 3346 | 7624116.073 | 343676.4313 | 2221.8266 | CARRET | 3418 | 7623414.763 | 344925.5849 | 2157.6418 | |
| 3347 | 7624112.458 | 343681.358 | 2221.7199 | CARRET | 3419 | 7623404.627 | 344923.312 | 2157.7727 | |
| 3348 | 7624119.048 | 343683.9345 | 2221.9673 | CARRET | 3420 | 7623391.535 | 344919.6192 | 2157.9759 | |
| 3349 | 7624115.279 | 343688.768 | 2221.8446 | CARRET | 3422 | 7623433.026 | 344923.2956 | 2162.5346 | |
| 3350 | 7624121.847 | 343691.4336 | 2222.0601 | CARRET | 3423 | 7623441.918 | 344925.1381 | 2162.5663 | |

| Nº | Norte | Este | Altura | Descripción | Nº | Norte | Este | Altura | Descripción |
|------|-------------|-------------|-----------|-------------|------|-------------|-------------|-----------|-------------|
| 3424 | 7623454.134 | 344927.6798 | 2163.2734 | | 3498 | 7623449.968 | 344977.251 | 2155.9602 | |
| 3425 | 7623425.431 | 344939.3794 | 2154.2765 | | 3499 | 7623448.893 | 344978.4705 | 2155.9515 | |
| 3426 | 7623409.907 | 344935.8851 | 2154.3038 | | 3500 | 7623437.556 | 344965.2356 | 2156.5997 | |
| 3427 | 7623408.784 | 344943.4196 | 2154.9184 | | 3501 | 7623459.565 | 344995.3594 | 2156.3669 | |
| 3428 | 7623407.965 | 344926.2294 | 2154.9804 | | 3502 | 7623482.307 | 345010.4471 | 2156.525 | |
| 3429 | 7623399.992 | 344950.305 | 2155.0122 | | 3503 | 7623429.398 | 344961.3872 | 2157.1164 | |
| 3430 | 7623395.553 | 344922.8022 | 2155.1347 | | 3504 | 7623433.051 | 344970.0646 | 2157.6253 | |
| 3431 | 7623389.862 | 344943.3108 | 2154.616 | | 3505 | 7623437.144 | 344958.4533 | 2155.5749 | |
| 3432 | 7623381.64 | 344919.2516 | 2155.389 | | 3506 | 7623440.262 | 344953.3094 | 2155.0476 | |
| 3433 | 7623390.457 | 344931.9194 | 2153.687 | | 3507 | 7623439.161 | 344951.1512 | 2154.9323 | |
| 3434 | 7623365.959 | 344918.1907 | 2155.6258 | | 3508 | 7623438.112 | 344947.6363 | 2154.6737 | |
| 3435 | 7623372.073 | 344934.8801 | 2153.6126 | | 3509 | 7623434.5 | 344946.3062 | 2154.8889 | |
| 3436 | 7623356.839 | 344918.4142 | 2156.1239 | | 3510 | 7623427.487 | 344949.1674 | 2155.5715 | |
| 3437 | 7623370.311 | 344942.8395 | 2154.2084 | | 3511 | 7623426.078 | 344949.8985 | 2155.5473 | |
| 3438 | 7623359.702 | 344929.0349 | 2154.2317 | | 3512 | 7623424.716 | 344950.7002 | 2155.4649 | |
| 3439 | 7623355.565 | 344944.2776 | 2154.1121 | | 3513 | 7623424.989 | 344953.1236 | 2155.792 | |
| 3440 | 7623347.261 | 344919.5541 | 2156.2079 | | 3514 | 7623424.209 | 344952.9799 | 2155.9437 | |
| 3441 | 7623350.451 | 344941.2442 | 2153.3704 | | 3515 | 7623709.286 | 348077.4113 | 2248.515 | CARRET |
| 3442 | 7623334.18 | 344916.4172 | 2157.6279 | | 3516 | 7623704.307 | 348074.1385 | 2249.1312 | CARRET |
| 3443 | 7623345.601 | 344930.5345 | 2153.8936 | | 3517 | 7623725.551 | 348082.3527 | 2248.106 | CARRET |
| 3444 | 7623341.552 | 344923.0417 | 2156.0955 | | 3518 | 7623714.249 | 348085.6625 | 2248.7514 | CARRET |
| 3445 | 7623336.942 | 344928.3 | 2154.8586 | | 3519 | 7623707.564 | 348082.3693 | 2249.0679 | CARRET |
| 3446 | 7623328.298 | 344933.1171 | 2153.7965 | | 3520 | 7623700.963 | 348078.2937 | 2249.3843 | CARRET |
| 3447 | 7623330.415 | 344924.1136 | 2157.2165 | | 3521 | 7623696.009 | 348062.2441 | 2250.402 | CARRET |
| 3449 | 7623311.77 | 344933.2496 | 2154.6637 | | 3522 | 7623692.002 | 348055.6236 | 2251.0566 | CARRET |
| 3451 | 7623300.124 | 344938.2173 | 2153.538 | | 3523 | 7623692.519 | 348066.5475 | 2250.2489 | CARRET |
| 3452 | 7623295.443 | 344930.231 | 2154.9299 | | 3524 | 7623688.425 | 348060.1889 | 2250.7971 | CARRET |
| 3453 | 7623285.998 | 344932.3513 | 2154.7289 | | 3525 | 7623607.396 | 348016.1303 | 2262.6234 | CARRET |
| 3454 | 7623363.24 | 344910.8341 | 2159.952 | | 3526 | 7623617.229 | 348026.1226 | 2263.6592 | CARRET |
| 3455 | 7623372.193 | 344910.5802 | 2161.8885 | | 3527 | 7623612.718 | 348029.3632 | 2263.472 | CARRET |
| 3456 | 7623379.092 | 344910.1165 | 2162.9168 | | 3528 | 7623594.797 | 347995.6267 | 2260.3595 | CARRET |
| 3457 | 7623389.863 | 344903.1058 | 2169.1312 | | 3529 | 7623594.962 | 348002.0944 | 2261.044 | CARRET |
| 3458 | 7623409.93 | 344911.9122 | 2167.2712 | | 3530 | 7623633.456 | 348041.9739 | 2265.4797 | CARRET |
| 3459 | 7623420.693 | 344908.5223 | 2171.2379 | | 3531 | 7623628.456 | 348045.7379 | 2265.3305 | CARRET |
| 3460 | 7623407.918 | 344917.4857 | 2162.942 | | 3532 | 7623635.125 | 348052.4082 | 2266.2923 | CARRET |
| 3461 | 7623421.489 | 344918.0281 | 2165.3991 | | 3533 | 7623644.62 | 348053.1164 | 2267.0642 | CARRET |
| 3463 | 7623440.939 | 344918.05 | 2167.5233 | | 3534 | 7623649.393 | 348058.3999 | 2267.8637 | CARRET |
| 3464 | 7623442.541 | 344925.6181 | 2162.3578 | | 3535 | 7623476.229 | 348251.7735 | 2321.4945 | CARRET |
| 3465 | 7623443.217 | 344911.8883 | 2171.6375 | | 3536 | 7623480.044 | 348257.9005 | 2322.339 | CARRET |
| 3466 | 7623452.289 | 344927.6344 | 2162.6482 | | 3537 | 7623485.426 | 348261.6154 | 2323.1836 | CARRET |
| 3467 | 7623458.939 | 344920.002 | 2169.6989 | | 3538 | 7623468.878 | 348249.0127 | 2321.3829 | CARRET |
| 3468 | 7623443.639 | 344911.5754 | 2172.4013 | | 3539 | 7623470.516 | 348256.9326 | 2322.2424 | CARRET |
| 3469 | 7623453.171 | 344916.4628 | 2172.1819 | | 3540 | 7623475.231 | 348263.9385 | 2323.1019 | CARRET |
| 3470 | 7623460.781 | 344915.8869 | 2173.7724 | | 3541 | 7623480.539 | 348268.6112 | 2323.9614 | CARRET |
| 3471 | 7623459.273 | 344924.0149 | 2166.4727 | | 3543 | 7624048.51 | 343581.8343 | 2216.584 | GR |
| 3472 | 7623462.219 | 344937.886 | 2156.89 | | 3544 | 7624048.51 | 343581.8343 | 2216.584 | GR |
| 3473 | 7623480.326 | 344933.8986 | 2156.7157 | | 3545 | 7623671.516 | 348404.5545 | 2344.0394 | CARRET |
| 3474 | 7623487.736 | 344929.7052 | 2160.1497 | | 3548 | 7623416.508 | 347828.5762 | 2224.2206 | CARRET |
| 3475 | 7623485.473 | 344923.4896 | 2165.9513 | | 3549 | 7623418.719 | 347837.5809 | 2223.2556 | CARRET |
| 3476 | 7623442.128 | 344957.3669 | 2155.506 | | 3550 | 7623420.928 | 347846.5858 | 2222.2905 | CARRET |
| 3477 | 7623454.297 | 344958.3298 | 2155.7565 | | 3551 | 7623423.138 | 347855.5905 | 2221.3255 | CARRET |
| 3478 | 7623456.767 | 344961.2924 | 2155.5981 | | 3552 | 7623420.157 | 347867.0513 | 2220.36 | CARRET |
| 3479 | 7623482.415 | 344965.4526 | 2156.3554 | | 3553 | 7623415.06 | 347851.9466 | 2222.5795 | CARRET |
| 3480 | 7623490.528 | 344988.428 | 2156.4869 | | 3554 | 7623417.608 | 347859.4989 | 2221.4698 | CARRET |
| 3481 | 7623483.615 | 344979.7283 | 2155.7041 | | 3557 | 7623445.79 | 347872.5946 | 2217.2544 | CARRET |
| 3482 | 7623492.063 | 344978.2886 | 2157.257 | | 3558 | 7623437.406 | 347874.5696 | 2218.3603 | CARRET |
| 3483 | 7623498.122 | 344975.1 | 2157.6334 | | 3559 | 7623424.589 | 347871.798 | 2219.9132 | CARRET |
| 3484 | 7623491.27 | 344965.1684 | 2157.6199 | | 3560 | 7623627.834 | 348326.9491 | 2337.5251 | CARRET |
| 3485 | 7623485.102 | 344966.3762 | 2157.6239 | | 3561 | 7623634.228 | 348329.9864 | 2338.2801 | CARRET |
| 3486 | 7623485.302 | 344967.5443 | 2157.6048 | | 3562 | 7623640.622 | 348333.0237 | 2339.035 | CARRET |
| 3487 | 7623474.344 | 344959.6685 | 2155.1707 | | 3563 | 7623652.419 | 348343.5318 | 2340.7912 | CARRET |
| 3488 | 7623479.482 | 344956.6882 | 2155.5266 | | 3564 | 7623654.81 | 348357.4469 | 2341.8989 | CARRET |
| 3489 | 7623483.867 | 344955.0821 | 2157.1192 | | 3565 | 7623657.777 | 348362.9905 | 2342.2786 | CARRET |
| 3490 | 7623475.941 | 344942.4593 | 2156.11 | | 3566 | 7623665.51 | 348364.9886 | 2342.4687 | CARRET |
| 3491 | 7623471.266 | 344948.0076 | 2154.6625 | | 3567 | 7623667.968 | 348370.9087 | 2342.747 | CARRET |
| 3492 | 7623465.854 | 344941.9704 | 2154.2332 | | 3568 | 7623668.596 | 348423.3063 | 2344.4086 | CARRET |
| 3493 | 7623457.784 | 344961.4508 | 2155.5683 | | 3569 | 7623567.945 | 348295.7827 | 2331.3017 | CARRET |
| 3494 | 7623455.156 | 344969.3158 | 2155.9948 | | 3570 | 7623565.046 | 348281.0716 | 2330.7402 | CARRET |
| 3495 | 7623453.356 | 344972.3322 | 2155.9906 | | 3571 | 7623542.133 | 348276.2206 | 2330.4647 | CARRET |
| 3496 | 7623452.717 | 344974.4198 | 2155.9611 | | 3572 | 7623547.469 | 348277.7795 | 2330.277 | CARRET |

| Nº | Norte | Este | Altura | Descripción | Nº | Norte | Este | Altura | Descripción |
|------|-------------|-------------|-----------|-------------|------|-------------|-------------|-----------|-------------|
| 3573 | 7623546.219 | 348287.7814 | 2330.0067 | CARRET | 3643 | 7623622.046 | 347997.6928 | 2257.0696 | CARRET |
| 3574 | 7623552.731 | 348288.8885 | 2330.3465 | CARRET | 3644 | 7623649.408 | 348018.4247 | 2254.793 | CARRET |
| 3575 | 7623496.678 | 348266.8086 | 2324.8405 | CARRET | 3645 | 7623719.877 | 348031.1257 | 2241.3422 | CARRET |
| 3576 | 7623503.077 | 348269.5631 | 2325.6528 | CARRET | 3646 | 7623699.346 | 347986.0086 | 2236.0536 | CARRET |
| 3577 | 7623492.51 | 348275.9333 | 2325.5494 | CARRET | 3647 | 7623685.448 | 347942.3121 | 2230.4182 | CARRET |
| 3578 | 7623509.418 | 348281.262 | 2327.1587 | CARRET | 3648 | 7623675.248 | 347930.1066 | 2227.8709 | CARRET |
| 3579 | 7623529.347 | 348285.0461 | 2328.8532 | CARRET | 3649 | 7623661.055 | 347924.4538 | 2225.8537 | CARRET |
| 3580 | 7623520.028 | 348273.038 | 2327.7093 | CARRET | 3650 | 7623560.184 | 347926.3294 | 2214.7537 | CARRET |
| 3581 | 7623463.473 | 348085.5765 | 2294.4613 | CARRET | 3651 | 7623525.369 | 347921.6859 | 2211.5962 | CARRET |
| 3582 | 7623463.036 | 348091.6018 | 2295.2095 | CARRET | 3652 | 7623508.502 | 347908.0746 | 2210.1713 | CARRET |
| 3583 | 7623463.821 | 348105.4088 | 2296.9656 | CARRET | 3653 | 7623499.259 | 347911.7725 | 2209.9236 | CARRET |
| 3584 | 7623467.78 | 348121.6939 | 2299.5678 | CARRET | 3654 | 7623504.292 | 347913.9545 | 2210.2279 | CARRET |
| 3585 | 7623457.048 | 348084.8506 | 2294.6704 | CARRET | 3655 | 7623482.174 | 347910.564 | 2210.973 | |
| 3586 | 7623456.441 | 348099.9977 | 2296.4942 | CARRET | 3656 | 7623468.895 | 347910.5048 | 2210.7783 | |
| 3587 | 7623457.496 | 348115.8497 | 2298.9069 | CARRET | 3657 | 7623492.04 | 347917.7035 | 2212.456 | |
| 3588 | 7623661.169 | 348428.065 | 2344.3155 | CARRET | 3658 | 7623501.907 | 347924.8431 | 2213.939 | |
| 3589 | 7623666.134 | 348396.7471 | 2343.6135 | CARRET | 3659 | 7623502.472 | 347914.3776 | 2211.8654 | |
| 3590 | 7623662.467 | 348372.7661 | 2342.812 | CARRET | 3660 | 7623491.364 | 347906.5018 | 2209.6727 | |
| 3591 | 7623617.46 | 348316.3339 | 2337.2391 | | 3661 | 7623491.702 | 347912.1026 | 2211.0644 | |
| 3592 | 7623617.039 | 348320.4955 | 2336.2208 | CARRET | 3662 | 7623488.602 | 347895.1089 | 2209.0707 | CARRET |
| 3593 | 7623605.237 | 348311.2884 | 2334.5796 | CARRET | 3663 | 7623495.764 | 347899.1343 | 2209.001 | CARRET |
| 3594 | 7623609.039 | 348327.1806 | 2336.7823 | | 3664 | 7623458.716 | 347863.9213 | 2215.1493 | CARRET |
| 3595 | 7623615.826 | 348331.3119 | 2337.7282 | | 3665 | 7623406.36 | 347809.5423 | 2225.638 | CARRET |
| 3596 | 7623543.946 | 348267.3202 | 2330.2368 | | 3666 | 7623411.936 | 347780.9294 | 2227.4247 | CARRET |
| 3597 | 7623530.806 | 348268.6857 | 2330.3419 | | 3667 | 7623411.942 | 347788.7157 | 2226.9113 | CARRET |
| 3598 | 7623538.881 | 348270.2793 | 2330.7456 | | 3668 | 7623404.45 | 347780.7285 | 2227.3943 | CARRET |
| 3599 | 7623546.956 | 348271.8729 | 2331.1494 | | 3669 | 7623404.277 | 347789.2399 | 2226.8976 | CARRET |
| 3600 | 7623486.638 | 348223.0022 | 2317.2569 | CARRET | 3670 | 7623338.534 | 347665.3838 | 2220.7997 | CARRET |
| 3601 | 7623498.034 | 348217.466 | 2315.0546 | CARRET | 3671 | 7623332.248 | 347666.2132 | 2220.5143 | CARRET |
| 3602 | 7623493.903 | 348222.0986 | 2315.9256 | CARRET | 3672 | 7623320.964 | 347612.2703 | 2216.6292 | CARRET |
| 3603 | 7623504.887 | 348171.5734 | 2308.2951 | CARRET | 3673 | 7623322.291 | 347620.864 | 2217.0388 | CARRET |
| 3604 | 7623498.379 | 348154.0104 | 2305.9178 | CARRET | 3674 | 7623314.937 | 347618.5482 | 2216.8225 | CARRET |
| 3605 | 7623501.676 | 348157.9017 | 2306.4667 | CARRET | 3675 | 7623319.182 | 347586.5274 | 2215.9996 | CARRET |
| 3606 | 7623504.971 | 348161.7928 | 2307.0157 | CARRET | 3676 | 7623316.978 | 347595.4063 | 2216.0922 | CARRET |
| 3607 | 7623493.587 | 348157.8715 | 2305.8881 | CARRET | 3677 | 7623325.065 | 347587.097 | 2216.0287 | CARRET |
| 3608 | 7623497.232 | 348161.2945 | 2306.5282 | CARRET | 3678 | 7623322.351 | 347595.3868 | 2216.1242 | CARRET |
| 3609 | 7623490.83 | 348162.9678 | 2307.8632 | | 3679 | 7623403.866 | 347539.0428 | 2217.8478 | CARRET |
| 3610 | 7623494.463 | 348166.9229 | 2309.0085 | | 3680 | 7623403.728 | 347409.2467 | 2217.3638 | CARRET |
| 3611 | 7623488.717 | 348145.2952 | 2304.3594 | CARRET | 3681 | 7623405.218 | 347389.0417 | 2218.7606 | CARRET |
| 3612 | 7623479.284 | 348146.4583 | 2303.7659 | CARRET | 3682 | 7623411.242 | 347383.2489 | 2218.8916 | CARRET |
| 3613 | 7623484.612 | 348150.4535 | 2304.507 | CARRET | 3683 | 7623355.163 | 347353.2101 | 2220.6641 | CARRET |
| 3614 | 7623476.434 | 348135.3342 | 2302.2561 | CARRET | 3684 | 7623357.621 | 347346.0954 | 2220.3032 | CARRET |
| 3615 | 7623488.467 | 348139.8726 | 2305.5053 | | 3685 | 7623367.188 | 347351.1653 | 2220.6156 | CARRET |
| 3616 | 7623468.964 | 348073.452 | 2292.5559 | CARRET | 3686 | 7623301.954 | 347327.1895 | 2219.5129 | CARRET |
| 3617 | 7623487.706 | 348062.434 | 2289.2362 | CARRET | 3687 | 7623311.066 | 347329.9289 | 2219.4036 | CARRET |
| 3618 | 7623480.862 | 348064.8934 | 2290.3176 | CARRET | 3688 | 7623263.767 | 347317.899 | 2220.4375 | CARRET |
| 3619 | 7623486.092 | 348057.2124 | 2289.1645 | CARRET | 3689 | 7623274.493 | 347318.0298 | 2220.1562 | CARRET |
| 3620 | 7623478.956 | 348059.6023 | 2290.2738 | CARRET | 3690 | 7623285.218 | 347318.1606 | 2219.875 | CARRET |
| 3621 | 7623502.725 | 348057.8228 | 2287.0989 | CARRET | 3691 | 7623176.677 | 347291.9144 | 2228.1268 | CARRET |
| 3622 | 7623501.285 | 348052.4213 | 2287.0098 | CARRET | 3692 | 7623216.058 | 347273.5632 | 2231.6461 | CARRET |
| 3623 | 7623527.04 | 348054.1006 | 2283.9089 | CARRET | 3693 | 7623223.838 | 347270.3855 | 2232.3433 | CARRET |
| 3624 | 7623518.97 | 348054.8858 | 2284.9759 | CARRET | 3694 | 7623241.485 | 347268.2748 | 2233.6922 | CARRET |
| 3625 | 7623522.745 | 348047.2183 | 2284.3661 | CARRET | 3695 | 7623250.539 | 347251.0574 | 2235.0699 | CARRET |
| 3626 | 7623516.043 | 348048.6193 | 2285.1653 | CARRET | 3696 | 7623253.819 | 347247.1075 | 2235.6284 | CARRET |
| 3627 | 7623551.602 | 348044.4772 | 2281.792 | CARRET | 3697 | 7623267.231 | 347157.8732 | 2235.5905 | CARRET |
| 3628 | 7623544.217 | 348044.924 | 2282.3837 | CARRET | 3698 | 7623263.711 | 347165.322 | 2236.192 | CARRET |
| 3629 | 7623536.833 | 348045.3707 | 2282.9753 | CARRET | 3699 | 7623261.101 | 347228.2368 | 2235.8 | CARRET |
| 3630 | 7623542.647 | 348052.5987 | 2282.0769 | CARRET | 3700 | 7623267.234 | 347228.4539 | 2235.8 | CARRET |
| 3631 | 7623550.184 | 348051.8821 | 2281.3117 | CARRET | 3701 | 7623252.934 | 347200.0732 | 2236.8 | CARRET |
| 3632 | 7623556.532 | 348046.3615 | 2280.2871 | CARRET | 3702 | 7623257.772 | 347181.8716 | 2236.7956 | CARRET |
| 3633 | 7623574.077 | 348048.6924 | 2279.3737 | CARRET | 3703 | 7623255.353 | 347190.9725 | 2236.7978 | CARRET |
| 3634 | 7623565.764 | 348053.329 | 2279.6893 | CARRET | 3704 | 7623265.274 | 347183.2298 | 2237.0159 | CARRET |
| 3635 | 7623573.807 | 348055.4925 | 2278.8319 | CARRET | 3705 | 7623263.858 | 347190.8713 | 2236.9126 | CARRET |
| 3636 | 7623594.757 | 348055.2715 | 2277.0825 | CARRET | 3706 | 7623321.528 | 347085.3972 | 2232.2924 | CARRET |
| 3637 | 7623588.189 | 348053.1474 | 2277.7715 | CARRET | 3707 | 7623317.207 | 347092.6622 | 2232.496 | CARRET |
| 3638 | 7623587.307 | 348059.8267 | 2277.3409 | CARRET | 3708 | 7623363.776 | 346994.2549 | 2228.2959 | CARRET |
| 3639 | 7623592.763 | 348061.9974 | 2276.7073 | CARRET | 3709 | 7623360.535 | 347002.6979 | 2228.6164 | CARRET |
| 3640 | 7623604.508 | 348067.3507 | 2275.3197 | CARRET | 3710 | 7623384.25 | 346957.6472 | 2226.2367 | CARRET |
| 3641 | 7623612.313 | 348021.1264 | 2263.1413 | CARRET | 3711 | 7623380.187 | 346963.5999 | 2226.5096 | CARRET |
| 3642 | 7623606.866 | 347992.3064 | 2258.6953 | CARRET | 3712 | 7623415.216 | 346912.8625 | 2223.1466 | CARRET |

| Nº | Norte | Este | Altura | Descripción | Nº | Norte | Este | Altura | Descripción |
|------|-------------|-------------|-----------|-------------|------|-------------|-------------|-----------|-------------|
| 3713 | 7623411.505 | 346919.755 | 2223.7717 | CARRET | 3783 | 7623245.728 | 345592.5837 | 2176.7635 | CARRET |
| 3714 | 7623440.626 | 346890.8425 | 2221.121 | CARRET | 3784 | 7623246.169 | 345602.9418 | 2176.0882 | CARRET |
| 3715 | 7623474.467 | 346872.8478 | 2218.6154 | CARRET | 3785 | 7623258.465 | 345634.2763 | 2176.8459 | |
| 3716 | 7623468.804 | 346876.4468 | 2218.935 | CARRET | 3786 | 7623264.124 | 345635.6093 | 2175.2937 | |
| 3717 | 7623503.998 | 346854.1584 | 2216.9305 | CARRET | 3787 | 7623280.392 | 345693.323 | 2174.712 | CARRET |
| 3718 | 7623499.138 | 346856.086 | 2217.1843 | CARRET | 3788 | 7623295.529 | 345711.4763 | 2174.8983 | CARRET |
| 3719 | 7623524.833 | 346849.8433 | 2215.661 | CARRET | 3789 | 7623310.668 | 345729.6295 | 2175.0847 | CARRET |
| 3720 | 7623516.847 | 346851.037 | 2216.1689 | CARRET | 3790 | 7623325.805 | 345747.7827 | 2175.271 | CARRET |
| 3721 | 7623518.301 | 346693.8647 | 2197.7414 | CARRET | 3791 | 7623467.048 | 345039.6777 | 2156.6639 | |
| 3722 | 7623515.189 | 346674.4962 | 2195.6384 | CARRET | 3792 | 7623476.1 | 345040.6739 | 2156.81 | |
| 3723 | 7623516.208 | 346680.5921 | 2196.3407 | CARRET | 3793 | 7623460.813 | 345002.7458 | 2156.4164 | |
| 3724 | 7623507.497 | 346600.9021 | 2188.1706 | CARRET | 3794 | 7623462.059 | 345010.1322 | 2156.4659 | |
| 3725 | 7623508.571 | 346606.7561 | 2188.7637 | CARRET | 3795 | 7623463.307 | 345017.5185 | 2156.5154 | |
| 3726 | 7623485.15 | 346551.8585 | 2185.1984 | CARRET | 3796 | 7623464.553 | 345024.9049 | 2156.5649 | |
| 3727 | 7623487.069 | 346556.7516 | 2184.9786 | CARRET | 3797 | 7623465.8 | 345032.2913 | 2156.6144 | |
| 3728 | 7623467.465 | 346485.5507 | 2188.6996 | CARRET | 3798 | 7623466.369 | 345001.5576 | 2156.3718 | |
| 3729 | 7623454.734 | 346455.6265 | 2189.6272 | CARRET | 3799 | 7623468.314 | 345009.3809 | 2156.4594 | |
| 3730 | 7623415.775 | 346425.653 | 2191.0683 | CARRET | 3800 | 7623470.261 | 345017.2042 | 2156.5471 | |
| 3731 | 7623421.192 | 346429.2903 | 2190.874 | CARRET | 3801 | 7623472.207 | 345025.0274 | 2156.6347 | |
| 3732 | 7623392.124 | 346413.0739 | 2192.3102 | CARRET | 3802 | 7623474.154 | 345032.8506 | 2156.7224 | |
| 3733 | 7623379.467 | 346407.546 | 2193.3219 | CARRET | 3803 | 7623480.407 | 344995.3514 | 2155.99 | |
| 3734 | 7623338.197 | 346349.9422 | 2191.534 | CARRET | 3804 | 7623470.738 | 345053.98 | 2156.9606 | |
| 3735 | 7623338.843 | 346355.8315 | 2191.7751 | CARRET | 3805 | 7623465.375 | 345067.2862 | 2157.1111 | |
| 3736 | 7623329.91 | 346328.552 | 2190.7325 | CARRET | 3806 | 7623460.013 | 345080.5924 | 2157.2616 | |
| 3737 | 7623321.856 | 346315.0225 | 2190.375 | CARRET | 3807 | 7623454.651 | 345093.8985 | 2157.4122 | |
| 3738 | 7623314.191 | 346294.1854 | 2189.6817 | CARRET | 3808 | 7623309.802 | 344940.7473 | 2153.9068 | |
| 3739 | 7623315.734 | 346300.8043 | 2189.9608 | CARRET | 3809 | 7623319.05 | 344936.9321 | 2153.8517 | |
| 3740 | 7623459.382 | 346180.7193 | 2182.215 | CARRET | 3810 | 7623327.369 | 344911.224 | 2162.1648 | |
| 3741 | 7623459.891 | 346176.0418 | 2182.305 | CARRET | 3811 | 7623319.694 | 344908.5559 | 2161.4837 | |
| 3742 | 7624082.404 | 343640.0421 | 2222.2972 | CARRET | 3812 | 7623312.374 | 344912.1567 | 2160.7109 | |
| 3743 | 7624100.111 | 343694.9627 | 2225.3779 | CARRET | 3813 | 7623325.337 | 344926.288 | 2158.7443 | |
| 3744 | 7624095.627 | 343703.6886 | 2225.119 | CARRET | 3814 | 7623330.866 | 344916.0849 | 2160.6054 | |
| 3745 | 7624098.239 | 343712.3264 | 2225.281 | CARRET | 3815 | 7623326.568 | 344918.6055 | 2160.6171 | |
| 3746 | 7623855.899 | 343958.0396 | 2204.7606 | CARRET | 3816 | 7623322.269 | 344921.1261 | 2160.6287 | |
| 3747 | 7623812.018 | 343960.3202 | 2202.64 | CARRET | 3817 | 7623317.954 | 344922.2941 | 2160.7209 | |
| 3748 | 7623630.379 | 344289.9829 | 2168.134 | CARRET | 3818 | 7623278.49 | 344929.3537 | 2157.1294 | |
| 3749 | 7623633.763 | 344283.1744 | 2168.893 | CARRET | 3819 | 7623272.353 | 344935.6608 | 2155.741 | |
| 3750 | 7623604.446 | 344335.5406 | 2165.3626 | CARRET | 3820 | 7623284.991 | 344928.3656 | 2157.2428 | |
| 3751 | 7623596.876 | 344346.9083 | 2165.8442 | CARRET | 3821 | 7623291.492 | 344927.3773 | 2157.3561 | |
| 3752 | 7623569.631 | 344398.6009 | 2166.4802 | CARRET | 3822 | 7623284.255 | 344927.6157 | 2157.8107 | |
| 3753 | 7623565.348 | 344406.5174 | 2166.643 | CARRET | 3823 | 7623290.021 | 344925.8778 | 2158.4921 | |
| 3754 | 7623529.451 | 344466.5677 | 2168.9006 | CARRET | 3824 | 7623295.788 | 344924.1398 | 2159.1734 | |
| 3755 | 7623525.834 | 344471.5215 | 2168.9982 | CARRET | 3825 | 7623286.11 | 344919.5544 | 2158.3469 | |
| 3756 | 7623446.799 | 344571.463 | 2170.9739 | CARRET | 3826 | 7623278.476 | 344921.6796 | 2157.6194 | |
| 3757 | 7623368.179 | 344625.1223 | 2170.8 | CARRET | 3828 | 7623347.617 | 344993.7311 | 2155.5528 | CARRET |
| 3758 | 7623356.467 | 344637.3227 | 2170.8 | CARRET | 3829 | 7623364.683 | 344995.9853 | 2156.1439 | CARRET |
| 3759 | 7623352.922 | 344650.332 | 2171.3717 | CARRET | 3830 | 7623371.021 | 344996.9665 | 2156.3271 | CARRET |
| 3760 | 7623409.672 | 345061.6823 | 2162.3053 | CARRET | 3831 | 7623440.638 | 344975.7676 | 2156.763 | |
| 3761 | 7623435.435 | 345050.9568 | 2159.2551 | CARRET | 3832 | 7623225.555 | 345287.4729 | 2173.8 | |
| 3762 | 7623427.265 | 345053.5579 | 2160.2994 | CARRET | 3833 | 7623205.328 | 345285.3824 | 2173.9 | |
| 3763 | 7623426.581 | 345060.0546 | 2160.4151 | CARRET | 3834 | 7623198.821 | 345282.3011 | 2177.4 | |
| 3764 | 7623421.319 | 345061.2016 | 2161.006 | CARRET | 3835 | 7623201.334 | 345317.6982 | 2175.4905 | |
| 3765 | 7623303.22 | 345185.7347 | 2168.685 | CARRET | 3836 | 7623240.803 | 345566.3356 | 2184.813 | |
| 3766 | 7623304.637 | 345190.2396 | 2168.8116 | CARRET | 3837 | 7623237.434 | 345583.3795 | 2183.2 | |
| 3767 | 7623201.099 | 345352.4113 | 2176.5104 | CARRET | 3838 | 7623235.64 | 345603.1881 | 2182.4 | |
| 3768 | 7623232.039 | 345425.2925 | 2179.5651 | CARRET | 3839 | 7623237.131 | 345616.2113 | 2182.4 | |
| 3769 | 7623238.043 | 345444.6089 | 2180.2522 | CARRET | 3840 | 7623239.637 | 345632.0401 | 2182.4 | |
| 3770 | 7623255.547 | 345540.5239 | 2179.8044 | CARRET | 3841 | 7623223.224 | 345641.2233 | 2182.4 | |
| 3771 | 7623252.872 | 345551.1051 | 2179.3529 | CARRET | 3842 | 7623248.5 | 345636.279 | 2174.9131 | |
| 3772 | 7623250.197 | 345561.6863 | 2178.9015 | CARRET | 3843 | 7623250.32 | 345647.8942 | 2174.7499 | |
| 3773 | 7623250.637 | 345573.392 | 2178.45 | CARRET | 3844 | 7623239.56 | 345660.3537 | 2178.8525 | |
| 3774 | 7623260.878 | 345541.6532 | 2179.8 | CARRET | 3845 | 7623253.443 | 345636.3681 | 2174.9407 | |
| 3775 | 7623253.197 | 345565.4573 | 2178.7875 | CARRET | 3846 | 7623255.638 | 345645.2049 | 2174.7857 | |
| 3776 | 7623255.757 | 345557.5226 | 2179.125 | CARRET | 3847 | 7623257.833 | 345654.0416 | 2174.6306 | |
| 3777 | 7623258.317 | 345549.5879 | 2179.4625 | CARRET | 3848 | 7623239.599 | 345646.1968 | 2180.6263 | |
| 3778 | 7623258.921 | 345554.3787 | 2180.7897 | | 3849 | 7623264.439 | 345538.8145 | 2180.1861 | |
| 3779 | 7623250.086 | 345583.3437 | 2177.4308 | CARRET | 3850 | 7623265.512 | 345547.2269 | 2179.9412 | |
| 3780 | 7623249.962 | 345601.8544 | 2176.0826 | CARRET | 3851 | 7623262.122 | 345536.0277 | 2180.1155 | CARRET |
| 3781 | 7623250.391 | 345610.4134 | 2175.7537 | CARRET | 3852 | 7623238.509 | 345938.6888 | 2172.828 | Q |
| 3782 | 7623250.82 | 345618.9724 | 2175.4247 | CARRET | 3853 | 7623378.403 | 345944.2334 | 2173.2 | Q |

| Nº | Norte | Este | Altura | Descripción | Nº | Norte | Este | Altura | Descripción |
|------|-------------|-------------|-----------|-------------|------|-------------|-------------|-----------|-------------|
| 3854 | 7623371.037 | 345950.7774 | 2173.3026 | Q | 3933 | 7623500.752 | 346620.0562 | 2189.3305 | |
| 3855 | 7623362.962 | 345956.2358 | 2173.5272 | Q | 3934 | 7623499.315 | 346605.0331 | 2187.9275 | |
| 3856 | 7623359.197 | 345967.7451 | 2173.79 | | 3935 | 7623497.877 | 346590.0098 | 2186.5246 | |
| 3857 | 7623388.758 | 345942.4221 | 2172.9214 | Q | 3936 | 7623499.963 | 346587.4451 | 2186.763 | CARRET |
| 3858 | 7623380.623 | 345948.6753 | 2173.0943 | Q | 3939 | 7623259.598 | 347301.7553 | 2213.6154 | |
| 3859 | 7623373.639 | 345955.2671 | 2173.4 | Q | 3940 | 7623245.962 | 347303.1043 | 2213.9507 | |
| 3860 | 7623366.345 | 345961.0592 | 2173.5529 | Q | 3941 | 7623244.541 | 347297.0846 | 2219.1233 | |
| 3861 | 7623346.707 | 345977.5059 | 2174.0933 | Q | 3942 | 7623239.144 | 347303.7788 | 2214.1184 | |
| 3862 | 7623343.504 | 345970.7349 | 2174.1046 | Q | 3943 | 7623298.816 | 347301.5016 | 2212.2329 | |
| 3863 | 7623393.054 | 345930.9344 | 2171.394 | Q | 3944 | 7623324.21 | 347306.1941 | 2211.1859 | |
| 3864 | 7623391.474 | 345925.4838 | 2171.4 | Q | 3945 | 7623349.62 | 347307.3797 | 2210.1388 | |
| 3865 | 7623391.181 | 345923.9076 | 2172.6268 | CARRET | 3946 | 7623376.437 | 347311.3637 | 2209.0917 | |
| 3867 | 7623398.009 | 345925.4142 | 2171.2728 | Q | 3947 | 7623402.629 | 347320.2556 | 2208.0447 | |
| 3868 | 7623403.514 | 345919.6386 | 2171.6203 | Q | 3948 | 7623431.259 | 347328.9583 | 2206.9976 | |
| 3870 | 7623395.965 | 345920.6813 | 2171.66 | Q | 3949 | 7623285.084 | 347290.55 | 2215.3266 | |
| 3871 | 7623399.327 | 345914.8597 | 2171.9381 | Q | 3951 | 7623313.884 | 347279.2683 | 2223.5047 | |
| 3872 | 7623402.022 | 345908.145 | 2172.2346 | Q | 3952 | 7623323.569 | 347258.1547 | 2227.8645 | |
| 3873 | 7623404.883 | 345908.8579 | 2171.03 | Q | 3953 | 7623299.083 | 347297.0546 | 2214.0838 | |
| 3874 | 7623416.126 | 345899.6255 | 2170.7 | Q | 3954 | 7623324.109 | 347300.7556 | 2212.8877 | |
| 3875 | 7623431.807 | 345879.2906 | 2169.6 | Q | 3957 | 7623343.947 | 347265.5076 | 2239.0712 | |
| 3876 | 7623424.596 | 345876.0461 | 2169.8334 | Q | 3958 | 7623307.602 | 347274.2772 | 2220.9741 | |
| 3877 | 7623389.234 | 345902.7411 | 2172.8848 | CARRET | 3959 | 7623451.246 | 347782.7834 | 2215.9964 | |
| 3878 | 7623386.094 | 345889.1839 | 2173.2076 | CARRET | 3960 | 7623453.283 | 347821.1141 | 2217.9026 | |
| 3879 | 7623383.233 | 345876.8267 | 2173.5017 | CARRET | 3961 | 7623451.924 | 347795.5603 | 2216.6318 | |
| 3880 | 7623386.082 | 345903.1705 | 2172.8848 | CARRET | 3962 | 7623452.604 | 347808.3373 | 2217.2672 | |
| 3881 | 7623383.659 | 345889.7479 | 2173.2076 | CARRET | 3963 | 7623620.921 | 348000.3246 | 2259.6307 | |
| 3883 | 7623380.797 | 345877.3906 | 2173.5017 | CARRET | 3964 | 7623510.189 | 348059.8475 | 2288.3442 | |
| 3884 | 7623375.145 | 345863.7121 | 2173.845 | CARRET | 3965 | 7623516.752 | 348058.3662 | 2287.3463 | |
| 3885 | 7623389.137 | 345916.8567 | 2172.567 | CARRET | 3966 | 7623523.316 | 348056.885 | 2286.3485 | |
| 3886 | 7623386.789 | 345931.8919 | 2172.703 | CARRET | 3967 | 7623467.017 | 348082.6041 | 2296.18 | |
| 3887 | 7623387.963 | 345924.3743 | 2172.635 | CARRET | 3968 | 7623466.122 | 348086.5494 | 2296.4476 | |
| 3888 | 7623390.524 | 345927.4593 | 2172.6651 | CARRET | 3969 | 7623465.448 | 348095.5334 | 2297.292 | |
| 3889 | 7623392.17 | 345938.7331 | 2172.9962 | CARRET | 3970 | 7623465.67 | 348100.5722 | 2297.8689 | |
| 3890 | 7623394.47 | 345946.4553 | 2173.289 | CARRET | 3971 | 7623465.891 | 348105.6109 | 2298.4458 | |
| 3891 | 7623392.852 | 345956.0463 | 2173.582 | CARRET | 3972 | 7623491.846 | 348260.4558 | 2325.7697 | |
| 3892 | 7623390.805 | 345949.2342 | 2173.2517 | CARRET | 3973 | 7623497.367 | 348263.5169 | 2326.5245 | |
| 3893 | 7623409.559 | 345995.9868 | 2175.993 | CARRET | 3974 | 7623520.102 | 348268.568 | 2329.1531 | |
| 3894 | 7623398.902 | 345961.1456 | 2173.9837 | CARRET | 3975 | 7623388.017 | 347731.5048 | 2229.606 | |
| 3895 | 7623397.19 | 345968.7223 | 2174.3855 | CARRET | 3976 | 7623370.798 | 347801.6544 | 2236.02 | |
| 3896 | 7623403.166 | 345975.0821 | 2174.7874 | CARRET | 3978 | 7623634.202 | 348468.5933 | 2353.1509 | M |
| 3897 | 7623400.866 | 345983.0923 | 2175.1893 | CARRET | | | | | |
| 3898 | 7623407.428 | 345989.0186 | 2175.5911 | CARRET | | | | | |
| 3899 | 7623408.011 | 346007.3337 | 2176.6662 | CARRET | | | | | |
| 3900 | 7623411.371 | 346018.1202 | 2177.3396 | CARRET | | | | | |
| 3901 | 7623420.06 | 346026.8499 | 2178.013 | CARRET | | | | | |
| 3902 | 7623413.06 | 346006.2745 | 2176.6663 | CARRET | | | | | |
| 3903 | 7623416.56 | 346016.5623 | 2177.3397 | CARRET | | | | | |
| 3904 | 7623420.103 | 346046.5655 | 2178.665 | CARRET | | | | | |
| 3905 | 7623434.045 | 346075.1225 | 2180.175 | CARRET | | | | | |
| 3906 | 7623445.25 | 346105.1125 | 2179.724 | CARRET | | | | | |
| 3907 | 7623471.637 | 346159.2645 | 2181.495 | CARRET | | | | | |
| 3908 | 7623450.528 | 346115.943 | 2180.0782 | CARRET | | | | | |
| 3909 | 7623455.805 | 346126.7733 | 2180.4324 | CARRET | | | | | |
| 3910 | 7623461.083 | 346137.6037 | 2180.7866 | CARRET | | | | | |
| 3911 | 7623466.36 | 346148.4341 | 2181.1408 | CARRET | | | | | |
| 3912 | 7623465.676 | 346132.652 | 2180.8131 | CARRET | | | | | |
| 3913 | 7623470.67 | 346145.1048 | 2181.1542 | CARRET | | | | | |
| 3914 | 7623374.998 | 346354.1124 | 2188.3854 | | | | | | |
| 3919 | 7623381.45 | 346355.6376 | 2183.3034 | | | | | | |
| 3920 | 7623368.149 | 346363.4793 | 2186.4972 | | | | | | |
| 3921 | 7623354.848 | 346371.321 | 2189.691 | | | | | | |
| 3922 | 7623364.136 | 346358.2035 | 2189.686 | | | | | | |
| 3923 | 7623353.275 | 346362.2945 | 2190.9865 | | | | | | |
| 3926 | 7623484.131 | 346635.0397 | 2184.625 | | | | | | |
| 3927 | 7623491.722 | 346644.36 | 2184.625 | | | | | | |
| 3928 | 7623490.997 | 346655.2956 | 2185.072 | | | | | | |
| 3929 | 7623484.867 | 346662.4637 | 2185.519 | | | | | | |
| 3930 | 7623495.869 | 346664.2157 | 2192.19 | | | | | | |
| 3931 | 7623502.19 | 346635.0793 | 2190.7335 | | | | | | |
| 3932 | 7623506.314 | 346649.5801 | 2191.4617 | | | | | | |

ESTUDIO DE TRAFICO VEHICULAR

1. Introducción

El estudio de tráfico vehicular está dirigido a cuantificar, clasificar, conocer el volumen de los vehículos que transitan por el camino, siendo esto un elemento que sirve para: determinar las características de diseño del paquete estructural; para identificar la categoría al que pertenece el camino.

Con la guía del A.B.C. a través de la información que tiene tabulada para categorizar el camino en función al tráfico promedio diario T.P.D. ha sido posible en definir la categoría al que pertenece el camino.

2. Objetivo

2.1. Objetivo general

- Conocer la demanda de tráfico del tramo Carlazo Centro – Carlazo Este, realizando aforos de vehículos y procesando la información en gabinete, para poder lograr categorizar el camino que se pretende diseñar.

2.2. Objetivos específicos

- Realizar el aforo vehicular en campo para conocer el volumen de tráfico.
- Conocer la información de categorización de caminos en base a la guía ABC.
- Procesar la información de campo para lograr conocer el tráfico diario proyectado.

3. Clasificación de carreteras por aspectos técnicos

La clasificación por aspectos técnicos de las carreteras es aquel en que cada país se ha desarrollado para identificar a las carreteras desde la etapa de diseño, construcción y mantenimiento. Los aspectos técnicos más relevantes que han tomado las normas son el tipo de carretera, la velocidad de proyecto admisible y el tráfico permitido representado por la cantidad de vehículos diario que circulará en la carretera.

De acuerdo al manual de la Administradora Boliviana de Carreteras la clasificación por aspectos técnicos es el siguiente:

Tabla N° 1. Clasificación funcional según aspectos técnicos más relevantes

| Categoría | Tipo de calzada | Trafico | Velocidad de proyecto (km/h) |
|------------|------------------------------------|--------------------|------------------------------|
| Autopistas | Unidireccionales | TPD > 10000 | 120-100-80 |
| Autorutas | Unidireccionales | TPD > 5000 | 100-90-80 |
| Primarios | Unidireccionales o bidireccionales | UD > 3000 | 100-90-80 |
| | | BD > 1500 | 100-90-80 |
| Colectores | Unidireccionales o bidireccionales | UD = Caso especial | 80-70-60 |
| | | BD > 500 | 80-70-60 |
| Local | Bidireccionales | No especificado | 70-60-50-40 |
| Desarrollo | Bidireccionales | No especificado | 50-40-30 |

Fuente: Manual de la ABC “Diseño geométrico”

4. Información de tráfico

4.1. Información obtenida en campo

En el campo se logró conocer que por la ruta transitan cuatro tipos de vehículos, siendo estos los que se indican en el cuadro N°1. El aforo se realizó en veintiocho días seguidos donde se registra que transitan en mayor cantidad vehículos pequeños, luego viene los vehículos tipo camioneta y por ultimo y en menor cantidad de tránsito el camión mediano. También es importante hacer conocer que los datos aforados corresponden a vehículos que transitan en ambos sentidos.

Cuadro N° 1. Aforo, camino Carlazo Centro-Carlazo Este

| Fecha de aforo | Tipo de vehículo | | | | | Total |
|----------------|---------------------|-----------|----------------|-------------------------|--|-------|
| | Automóvil, vagoneta | Camioneta | Camión mediano | C2 Camión grande 2 ejes | | |
| 7/12/2020 | 15 | 8 | | | | 23 |
| 8/12/2020 | 17 | 6 | | | | 23 |
| 9/12/2020 | 19 | 7 | | | | 26 |
| 10/12/2020 | 13 | 7 | 3 | | | 23 |
| 11/12/2020 | 16 | 17 | | | | 33 |
| 12/12/2020 | 15 | 7 | | | | 22 |
| 13/12/2020 | 16 | 1 | | 2 | | 19 |
| 14/12/2020 | 15 | 3 | | | | 18 |
| 15/12/2020 | 16 | 5 | | | | 21 |
| 16/12/2020 | 14 | 4 | | | | 18 |
| 17/12/2020 | 11 | 3 | | | | 14 |
| 18/12/2020 | 16 | 4 | 1 | | | 21 |
| 19/12/2020 | 17 | 2 | 1 | | | 20 |
| 20/12/2020 | 13 | 2 | 3 | | | 18 |
| 21/12/2020 | 16 | 4 | 1 | 4 | | 25 |
| 22/12/2020 | 18 | 3 | 1 | | | 22 |
| 23/12/2020 | 17 | 3 | 1 | | | 21 |
| 24/12/2020 | 15 | 2 | 4 | | | 21 |
| 25/12/2020 | 15 | 2 | | | | 17 |
| 26/12/2020 | 14 | 2 | 1 | | | 17 |
| 27/12/2020 | 24 | 2 | 1 | | | 27 |
| 28/12/2020 | 15 | 5 | | | | 20 |
| 29/12/2020 | 12 | 4 | 1 | 3 | | 20 |
| 30/12/2020 | 13 | 6 | | | | 19 |
| 31/12/2020 | 12 | 7 | | | | 19 |
| 1/1/2021 | 12 | 4 | | | | 16 |
| 2/1/2021 | 11 | 7 | 1 | | | 19 |
| 3/1/2021 | 13 | 3 | | | | 16 |
| Total: TPD | 15 | 5 | 2 | 3 | | 25 |

Fuente: Elaboración propia

5. Trafico promedio diario futuro

El proyecto de caminos nuevos o el mejoramiento de las existentes no deben basarse solamente en las características del volumen del tráfico actual, sino que se debe tomar en cuenta el incremento en años futuros. De esta manera el volumen de proyecto ha de corresponder al del año escogido para proyectar.

Considerando que, una vez culminada el diseño del camino, el camino será construida, culminada y puesta en servicio el año 2026. Por otro lado, el periodo de diseño es de 10 años, entonces el TPD deberá de ser proyectada hasta el año 2036.

Con fines de tener información referente al tráfico, se proyecta hasta el año 2046, es decir 20 años. Pero el diseño del paquete estructural, se mantiene con 10 años.

Para su determinación de la proyección del TPD se usa un proceso iterativo con ayuda de la ecuación que se señala a continuación.

$$(F_c) = \left[1 + \frac{(I_c)}{100} \right]^n$$

Donde:

(Fc) = Factor de crecimiento vehicular.

(Ic) =Tasa de crecimiento vehicular, en %.

(n) = Número de años hasta el período de diseño.

5.1. Tasa de crecimiento

La tasa de crecimiento vehicular, se establece a partir de la información del INE de Tarija, donde se tiene información registrada por cada año de la cantidad de tipos de vehículos. De esta información se obtiene la cantidad de vehículos del registro por año, y a partir de esta información es posible determinar la tasa de crecimiento anual promedio obteniendo 9.6 %.

5.2. Tráfico diario normal proyectado

Como base para un proyecto, generalmente se usa un periodo de 10 años. Estimar el tráfico más allá de ese periodo no se justifica, debido a que para ese entonces surgirán cambios en la economía regional, en la población, en el desarrollo de los terrenos ubicados a lo largo de la vía en los sistemas de transporte, que no se puede predecir con ningún grado de seguridad.

Tomando en cuenta lo anterior, el tráfico normal proyectado en función a la tasa de crecimiento anual es como sigue a continuación:

Cuadro N° 2. Tráfico diario normal proyectado

| Año | Tráfico promedio diario proyectado | | | | |
|------|------------------------------------|-----------|----------------|------------------|-------|
| | Tipo de vehículo | | | | Total |
| | Automóvil | Camioneta | Camión mediano | Camión grande 2E | |
| 2021 | 15 | 5 | 2 | 3 | 25 |
| 2022 | 17 | 6 | 3 | 4 | 30 |
| 2023 | 19 | 7 | 3 | 4 | 33 |
| 2024 | 20 | 7 | 3 | 4 | 34 |
| 2025 | 22 | 8 | 3 | 5 | 38 |
| 2026 | 24 | 8 | 4 | 5 | 41 |
| 2027 | 26 | 9 | 4 | 6 | 45 |
| 2028 | 29 | 10 | 4 | 6 | 49 |
| 2029 | 32 | 11 | 5 | 7 | 55 |
| 2030 | 35 | 12 | 5 | 7 | 59 |
| 2031 | 38 | 13 | 6 | 8 | 65 |
| 2032 | 42 | 14 | 6 | 9 | 71 |
| 2033 | 46 | 16 | 7 | 10 | 79 |
| 2034 | 50 | 17 | 7 | 10 | 84 |
| 2035 | 55 | 19 | 8 | 11 | 93 |
| 2036 | 60 | 20 | 8 | 12 | 100 |
| 2037 | 66 | 22 | 9 | 14 | 111 |
| 2038 | 72 | 24 | 10 | 15 | 121 |
| 2039 | 79 | 27 | 11 | 16 | 133 |
| 2040 | 86 | 29 | 12 | 18 | 145 |
| 2041 | 94 | 32 | 13 | 19 | 158 |
| 2042 | 103 | 35 | 14 | 21 | 173 |
| 2043 | 113 | 38 | 16 | 23 | 190 |

| Tráfico promedio diario proyectado | | | | | |
|------------------------------------|------------------|-----------|----------------|------------------|-------|
| Año | Tipo de vehículo | | | | |
| | Automóvil | Camioneta | Camión mediano | Camión grande 2E | Total |
| 2044 | 124 | 42 | 17 | 25 | 208 |
| 2045 | 136 | 46 | 19 | 28 | 229 |
| 2046 | 149 | 50 | 20 | 30 | 249 |

Fuente: Elaboración propia

ESTUDIO HIDROLÓGICO

1. Introducción

La aplicación de los sistemas de información geográfica como el ArcGIS 10.2, el WMS 11.0 nos permiten conocer algunos datos necesarios, para luego tomar decisiones de las estaciones a utilizar para lograr determinar las curvas intensidad duración frecuencia IDF.

2. Objetivo general

Determinar las curvas IDF de la zona en estudio, procesando información pluviométrica, para luego determinar los caudales de diseño para la cuenca y subcuenca de interés.

3. Característica de la cuenca

3.1. Ubicación

La cuenca de aporte se ubica al este del municipio de Tarija a 30 km aproximadamente. Se constituye hidrográficamente en las nacientes de la cuenca del río Santana.

3.2. Principales características físicas de la cuenca de Aporte

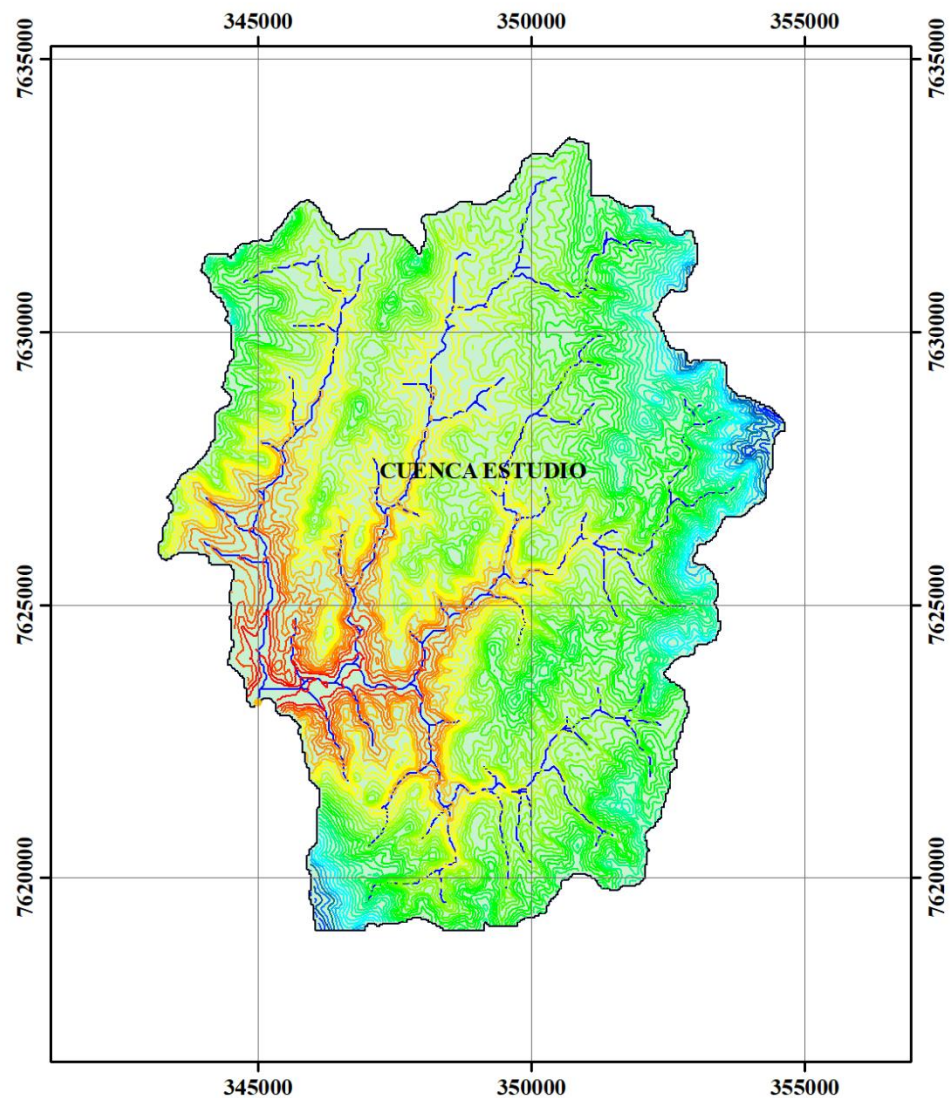
En el siguiente cuadro se presentan las características físicas más importantes, las mismas que han sido estimadas sobre la base de las imágenes satelitales ASTER GEDEM procesadas en WMS 11.0.

Cuadro N° 1. Parámetros físicos de la cuenca

| Parámetros de la cuenca | | |
|-----------------------------------|---------|-----------------|
| Área de la cuenca | 107.6 | km ² |
| Perímetro de la cuenca | 65 | km |
| Elevación inicial del cauce mayor | 2162 | m.s.n.m |
| Elevación máxima del cauce mayor | 2440.5 | m.s.n.m |
| Elevación media de la cuenca | 2430.19 | m.s.n.m |
| Pendiente de la cuenca | 0.251 | m/m |
| Longitud del cauce más largo | 15.13 | km |
| Pendiente del río principal | 0.024 | m/m |

Fuente: Elaboración propia

Mapa N° 1. Cuenca estudio



Fuente: Elaboración propia

4. Estaciones meteorológicas

En la zona de estudio la única estación climatológica con más años de registro y más cercana al área del proyecto es la estación de Yesera Norte, la cual será la estación base para realizar el estudio hidrológico apoyada en las estaciones cercanas con la finalidad de realizar la triangulación para la construcción de los polígonos de Thiessen y las Isoyetas. Las estaciones que fueron consideradas como apoyo son las siguientes: Yesera Sud, Narváez, Cena Vit, y el de aeropuerto que se adoptan como estaciones

fundamentales, dicho análisis se basa en los años de registro y la confiabilidad de la información, especialmente se analizaron los últimos años con el objetivo de uniformizar la información. En el mapa N° 2 se puede observar la localización de las estaciones consideradas en el análisis.

Bajo estas condiciones se trabajará directamente con la información original, completando algunos datos faltantes con apoyo de registro de estaciones que tienen el registro para el mes del año que falta la información.

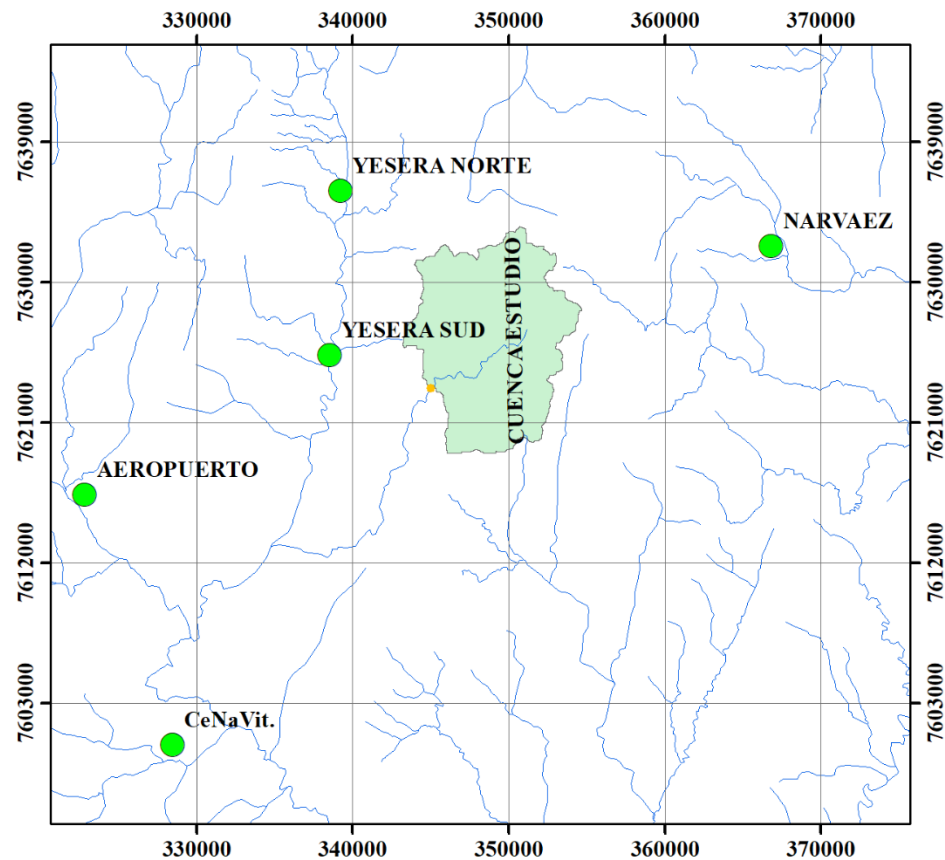
Cuadro N° 2. Ubicación de estaciones climatológicas

| Estación | Norte | Este | Altura |
|--------------|-------------|-----------|--------|
| Yesera Norte | 7635863.468 | 339212.19 | 2277 |
| Yesera Sud | 7625338.472 | 338538.95 | 2092 |
| Cena Vit | 7600352.302 | 328469.42 | 1730 |
| Narváez | 7632329.92 | 366808.06 | 1755 |
| Aeropuerto | 7616377.672 | 322831.23 | 1849 |

Fuente: Senamhi, Tarija

La estación de aeropuerto es de apoyo para las pruebas de homogeneidad de las otras estaciones.

Mapa N° 2. Localización de las estaciones



Fuente: Elaboración propia

4.1. Análisis de consistencia

Tal como lo señala el manual de hidrología del ABC, el primer paso que debe realizarse al efectuar alguna evaluación espacial de cualquier precipitación es verificar que el periodo de la estadística pluviométrica que se va a analizar es consistente, o sea, que la estación haya sido observada durante dicho periodo, de la misma forma, con el mismo criterio y que su instalación no haya sufrido variaciones de ningún tipo.

Para esta verificación se recomienda el método de las curvas doble acumuladas, o de doble acumulación (CDA) o método de doble masa (MDM).

Para este análisis se utilizó las estaciones de Yesera Sud, Yesera Norte, Narváez, Cena Vit y como estación patrón El Aeropuerto por la confiabilidad y calidad de la información, a continuación, se muestra un cuadro de las precipitaciones utilizadas.

Cuadro N° 3. Precipitación total anual y años de registro

| Precipitación total anual (mm) | | | | | |
|--------------------------------|------------|------------|--------------|---------|----------|
| Año | Aeropuerto | Yesera Sud | Yesera Norte | Narváez | Cena Vit |
| 1955 | 497.1 | | | | |
| 1956 | 671.1 | | | | |
| 1957 | 558.2 | | | | |
| 1958 | 623.3 | | | | |
| 1959 | 598.6 | | | | |
| 1960 | 705.1 | | | | |
| 1961 | 710.7 | | | | |
| 1962 | 532.6 | | | | |
| 1963 | 677.9 | | | | |
| 1964 | 505.2 | | | | |
| 1965 | 506.3 | | | | |
| 1966 | 672.0 | | | | |
| 1967 | 645.6 | | | | |
| 1968 | 600.3 | | | | |
| 1969 | 630.7 | | | | |
| 1970 | 697.1 | | | | |
| 1971 | 692.7 | | | | |
| 1972 | 544.0 | | | | |
| 1973 | | | | | |
| 1974 | 674.0 | | | | |
| 1975 | 657.9 | | | | |
| 1976 | 500.1 | | | | |
| 1977 | 564.9 | | 728.7 | | |
| 1978 | 721.3 | | 755.2 | | |
| 1979 | 616.1 | | 752.8 | 1358.2 | |
| 1980 | 540.6 | | 566.9 | 1176.3 | |
| 1981 | 707.4 | | 875.2 | 1673.1 | |
| 1982 | 554.9 | | 707.8 | 1035.8 | |
| 1983 | 310.0 | | 403.1 | 719.0 | |
| 1984 | 676.6 | | 986.9 | 1625.0 | |
| 1985 | 718.6 | | 716.7 | 1523.9 | |
| 1986 | 701.9 | | 820.3 | 943.0 | |
| 1987 | 563.9 | | 599.1 | 975.6 | |

| Precipitación total anual (mm) | | | | | |
|--------------------------------|------------|------------|--------------|---------|----------|
| Año | Aeropuerto | Yesera Sud | Yesera Norte | Narváez | Cena Vit |
| 1988 | 659.3 | | | 1065.8 | |
| 1989 | 566.6 | | | 1043.2 | |
| 1990 | 528.3 | | 692.6 | 1085.1 | 512.5 |
| 1991 | 664.0 | | 620.5 | 1252.0 | 468.6 |
| 1992 | 623.7 | | 597.0 | 1007.0 | 472.1 |
| 1993 | 629.0 | | 669.0 | 1086.1 | 505.7 |
| 1994 | 513.5 | | 469.5 | 1110.3 | 401.7 |
| 1995 | 518.7 | | 597.0 | 1105.6 | 424.0 |
| 1996 | 680.4 | | 676.8 | 1212.2 | 421.6 |
| 1997 | 461.6 | | 616.5 | 1124.3 | 436.1 |
| 1998 | 371.1 | | 494.5 | 855.3 | 290.2 |
| 1999 | 652.0 | | 652.5 | 1452.4 | 377.0 |
| 2000 | 593.4 | | 632.5 | 1110.5 | 511.3 |
| 2001 | 669.8 | | 603.0 | 998.3 | 429.1 |
| 2002 | 562.7 | 351.4 | 505.5 | 1193.8 | 477.3 |
| 2003 | 531.6 | 456.7 | 684.2 | 1075.4 | 582.4 |
| 2004 | 523.2 | 376.4 | 561.1 | 1260.4 | 316.9 |
| 2005 | 655.1 | 563.2 | 693.8 | 1028.9 | 453.2 |
| 2006 | 634.9 | 466.2 | 737.0 | 1682.8 | 469.3 |
| 2007 | 650.4 | 422.3 | 717.5 | 1249.5 | 530.2 |
| 2008 | 760.2 | 712.0 | 933.8 | 1382.9 | 767.8 |
| 2009 | 520.2 | 425.0 | 603.5 | 1178.3 | 551.3 |
| 2010 | 479.2 | 318.3 | 525.0 | 743.5 | 257.3 |
| 2011 | 750.6 | 474.9 | 665.5 | 1264.7 | 494.6 |
| 2012 | 628.1 | 458.3 | 621.6 | 897.5 | 472.6 |
| 2013 | 441.2 | 413.4 | 713.3 | 555.7 | 393.8 |
| 2014 | 489.2 | 360.8 | 592.5 | 893.9 | 405.2 |
| 2015 | 758.7 | 569.6 | 786.2 | 1568.4 | 476.8 |
| 2016 | 387.4 | 288.3 | 594.0 | 1194.8 | 303.5 |
| 2017 | 495.5 | 358.0 | 551.7 | 974.6 | 341.0 |
| 2018 | 650.8 | 597.0 | 716.6 | 1178.5 | 601.8 |
| 2019 | 562.0 | 388.3 | 598.8 | 1331.6 | 316.3 |
| Media | 596.7 | 444.5 | 659.4 | 1151.1 | 448.7 |

Fuente: Senamhi, Tarija

A continuación, se detalla el análisis utilizando la metodología de la curva doble masa para las estaciones más cercanas a la cuenca:

$$P_i \text{ acum} = P_i + P_{(i+1)\text{acum}}$$

Donde:

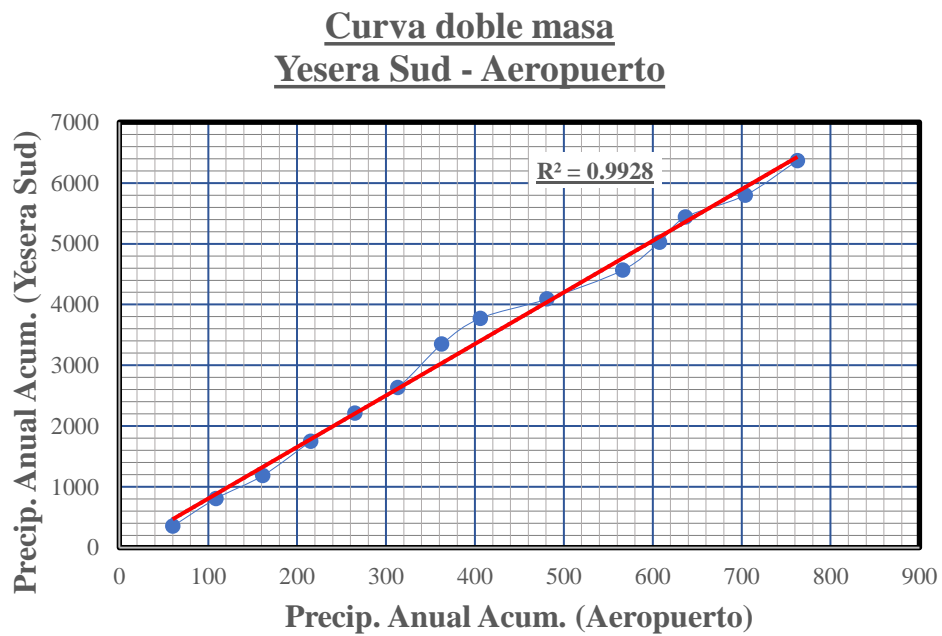
$P_i \text{ acum}$ = Precipitación acumulada, en mm

P_i = Precipitación anual, en mm

$P_{(i+1)\text{acum}}$ = Precipitación acumulada inmediatamente anterior, en mm

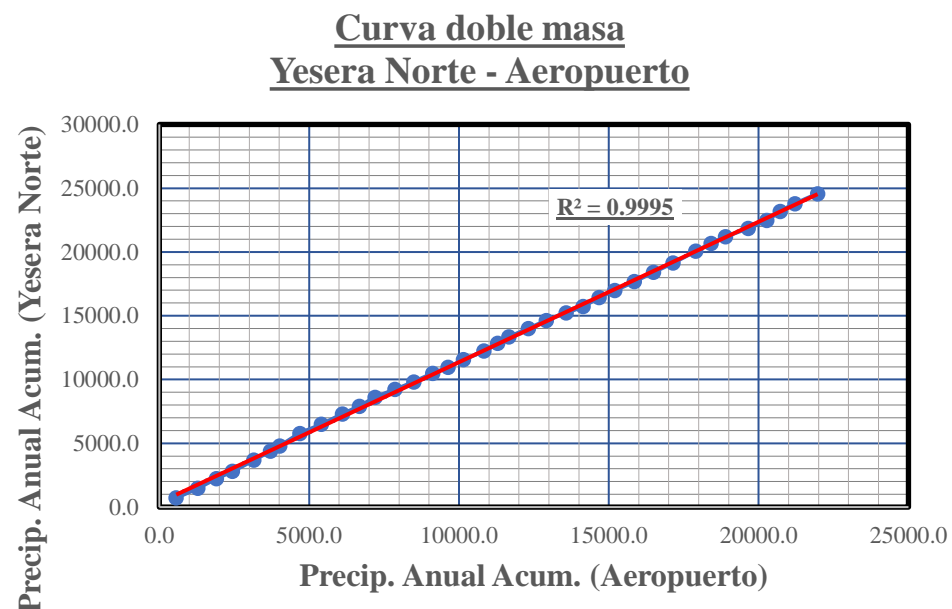
Aplicando la ecuación anterior de precipitación acumulada se tiene, para las estaciones de, Yesera Norte, Yesera Sud, Narváez, Cena Vit que serán las utilizadas para el cálculo de la precipitación máxima media de la cuenca de aporte en base al Polígono de Thiessen. Del análisis de consistencia se tiene los siguientes gráficos:

Gráfico N° 1. Curva de doble masa estación Yesera Sud.



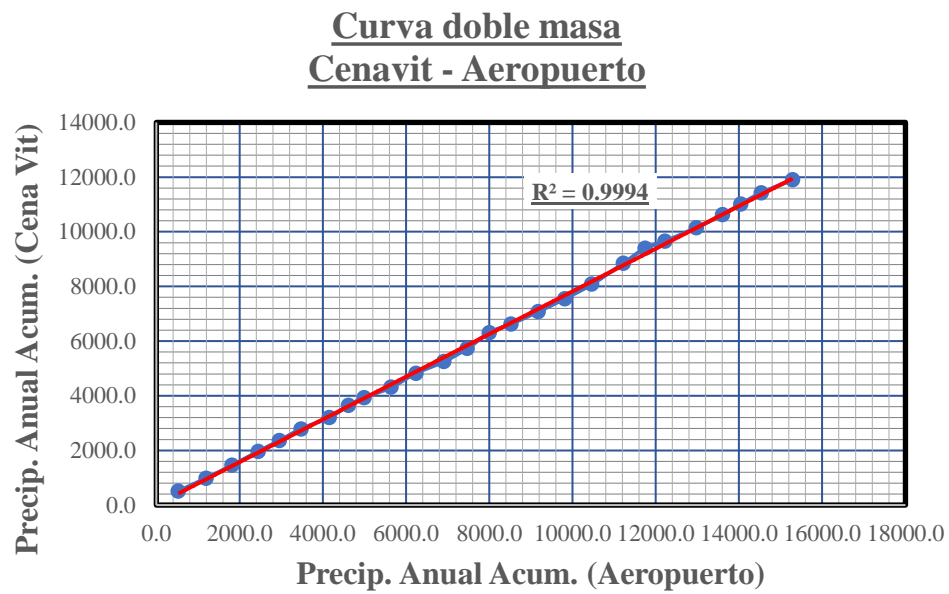
Fuente: Elaboración propia

Gráfico N° 2. Curva de doble masa estación Yesera Norte



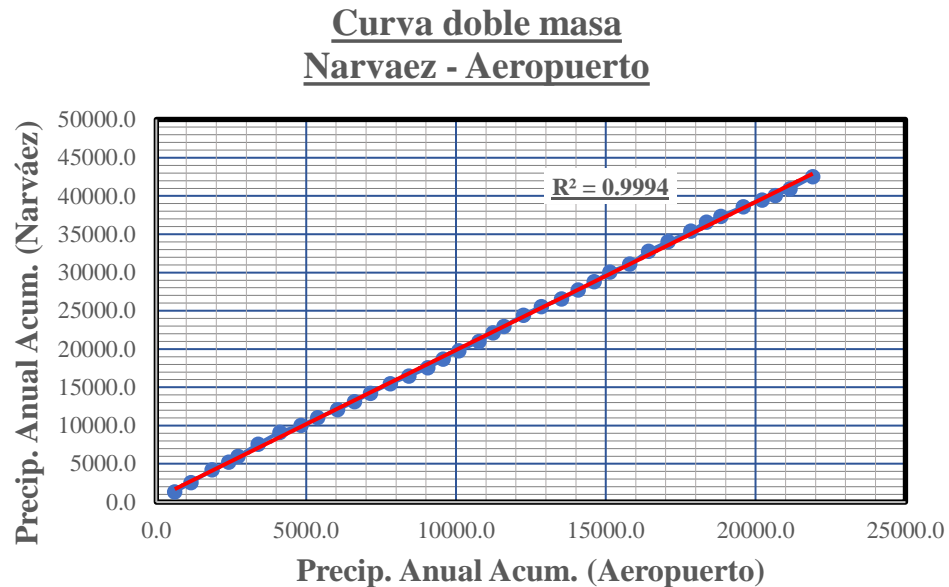
Fuente: Elaboración propia

Gráfico N° 3. Curva de doble masa estación Cena Vit



Fuente: Elaboración propia

Gráfico N° 4.Curva de doble masa estación Narváez



Fuente: Elaboración propia

A continuación, se muestra un cuadro resumen de las consistencias de las estaciones utilizadas en este estudio.

Cuadro N° 4. Resumen de análisis de consistencia

| ESTACION | R ² | Resultado |
|--------------|----------------|-------------|
| Yesera Sud | 0.9928 | Consistente |
| Yesera Norte | 0.9995 | Consistente |
| Cena Vit | 0.9994 | Consistente |
| Narváez | 0.9994 | Consistente |

Fuente: Elaboración propia

El manual de hidrología y drenaje del ABC. indica, un coeficiente igual a 1 significa una correlación perfecta, un coeficiente nulo significa que no hay ninguna correlación. En general, se considerará aceptables o admisibles, coeficientes de correlación superiores a $R= 0.7$, sujetos a tests estadísticos que aseguren su representatividad.

De manera concluyente se define que las estaciones en estudio son consistentes luego del análisis de la curva doble masa, por lo tanto, para estas series de datos, se tiene registrado las precipitaciones máximas en 24 horas como se muestra en el cuadro N° 5

y los mismos serán sujetas a un análisis de la prueba de bondad de ajuste Kolmogórov-Smirnov.

Cuadro N° 5. Precipitaciones máximas en 24 horas

| Precipitaciones máximas en 24 horas (mm) | | | | | |
|--|------------|------------|--------------|---------|----------|
| Año | Aeropuerto | Yesera Sud | Yesera Norte | Narváez | Cena Vit |
| 1955 | 56 | | | | |
| 1956 | 57.2 | | | | |
| 1957 | 54.2 | | | | |
| 1958 | 56 | | | | |
| 1959 | 60.1 | | | | |
| 1960 | 54 | | | | |
| 1961 | 70 | | | | |
| 1962 | 37 | | | | |
| 1963 | 51 | | | | |
| 1964 | 52 | | | | |
| 1965 | 37 | | | | |
| 1966 | 106 | | | | |
| 1967 | 56 | | | | |
| 1968 | 55 | | | | |
| 1969 | 57 | | | | |
| 1970 | 83.3 | | | | |
| 1971 | 55.1 | | | | |
| 1972 | 45 | | | | |
| 1973 | | | | | |
| 1974 | 48.5 | | | | |
| 1975 | 88.3 | | | | |
| 1976 | 40.6 | | | | |
| 1977 | 59 | | 42 | | |
| 1978 | 51 | | 38 | | |
| 1979 | 34.6 | | 53.2 | 83 | |
| 1980 | 39.7 | | 42.3 | 90.1 | |
| 1981 | 64.4 | | 73 | 85.4 | |
| 1982 | 41 | | 40.2 | 51.6 | |
| 1983 | 34 | | 35.2 | 60 | |
| 1984 | 59 | | 97 | 90.5 | |
| 1985 | 84.7 | | 46 | 103.5 | |
| 1986 | 42 | | 68 | 56.9 | |
| 1987 | 97.8 | | 48.2 | 66.3 | |
| 1988 | 40.1 | | | 86.7 | |
| 1989 | 74 | | | 80 | |

| Precipitaciones máximas en 24 horas (mm) | | | | | |
|--|------------|------------|--------------|---------|----------|
| Año | Aeropuerto | Yesera Sud | Yesera Norte | Narváez | Cena Vit |
| 1990 | 44 | | 48.6 | 99 | 60.1 |
| 1991 | 47 | | 67 | 110.8 | 43.6 |
| 1992 | 68.1 | | 52 | 89 | 37.4 |
| 1993 | 50.1 | | 71 | 114 | 51.5 |
| 1994 | 38.2 | | 49.5 | 68 | 40.8 |
| 1995 | 45 | | 51 | 81.4 | 45 |
| 1996 | 52 | | 49.4 | 62 | 41.5 |
| 1997 | 27.7 | | 47.5 | 80 | 56.5 |
| 1998 | 48 | | 55 | 60.6 | 33.8 |
| 1999 | 74.7 | | 52.5 | 75.7 | 92 |
| 2000 | 78 | | 69 | 91 | 71.2 |
| 2001 | 82 | | 47 | 50.6 | 28 |
| 2002 | 60 | 39 | 59 | 64.5 | 33.5 |
| 2003 | 48.8 | 37 | 45 | 100.1 | 116.5 |
| 2004 | 52.4 | 28 | 30 | 84.4 | 33.5 |
| 2005 | 54.2 | 46 | 52.5 | 62 | 39.8 |
| 2006 | 49.5 | 39 | 43.5 | 80 | 40.5 |
| 2007 | 48.3 | 46 | 56 | 80 | 44 |
| 2008 | 49.5 | 54 | 68 | 82 | 42.9 |
| 2009 | 43.2 | 34.3 | 40 | 86.6 | 60.2 |
| 2010 | 75.2 | 34 | 43 | 75 | 40 |
| 2011 | 85 | 47 | 64.5 | 100.6 | 48.3 |
| 2012 | 41.4 | 37 | 35 | 57.5 | 35 |
| 2013 | 29.2 | 43 | 53 | 49.3 | 36.3 |
| 2014 | 67.3 | 46 | 43.5 | 84.5 | 61.6 |
| 2015 | 58.8 | 34.5 | 55 | 167 | 39.5 |
| 2016 | 35.6 | 48 | 34.5 | 77 | 26.9 |
| 2017 | 57.3 | 40 | 59.2 | 64.5 | 37 |
| 2018 | 56.2 | 34 | 47 | 65 | 46.4 |
| 2019 | 55 | 48 | 72.4 | 111.5 | 37 |
| Nº de datos | 64 | 18 | 41 | 41 | 30 |

Fuente: Senamhi, Tarija

4.2. Análisis de frecuencia

El objetivo del análisis de frecuencia de cualquier variable aleatoria es asociar a cada valor de la variable una probabilidad de ocurrencia. Ello se logra representando la variable con un determinado modelo probabilístico y estimando los parámetros de

dicho modelo. Logrado este objetivo se ha construido un modelo probabilístico del fenómeno, pudiendo obtenerse estimados de los valores de la variable asociados a cualquier probabilidad de ocurrencia.

En estadística, la prueba de Kolmogórov-Smirnov (también prueba K-S) es una prueba no paramétrica que se utiliza para determinar la bondad de ajuste de dos distribuciones de probabilidad entre sí.

Conviene tener en cuenta que la prueba Kolmogórov-Smirnov es más sensible a los valores cercanos a la mediana que a los extremos de la distribución.

Las fórmulas para el cálculo son:

| Nombre | Formula |
|---------------------------------|--|
| Media | $\bar{x} = \frac{\sum_{i=1}^n x_i}{n}$ |
| Desviación estándar | $S_x = \sqrt{\frac{\sum_{i=1}^n (x_i - \bar{x})^2}{n}}$ |
| Coeficiente de variación | $C_v = \frac{S_x}{\bar{x}}$ |
| Parámetro de escala | $\sigma_y = \sqrt{\ln(C_v^2 + 1)}$ |
| Parámetro de localización | $u_y = \frac{1}{2} \ln \left(\frac{\bar{x}^2}{C_v^2 + 1} \right)$ |
| Función de probabilidad teórica | $P_{(x \leq X)} = \frac{n_i}{n + 1}$ |
| Variable deducida | $Z = \frac{x_i - u_y}{\sigma_y}$ |

Donde:

n_i = Número de orden en ordenamiento creciente.

n = Número de datos.

El test se basa en calcular el estadígrafo Δ definido como el valor máximo de la diferencia absoluta entre la función distribución acumulada empírica $P_{(x \leq X)}$ y la función distribución $F_{(x)}$ de modelo calculada para cada punto de la muestra.

$$\Delta = P_{(x \leq X)} - F_{(x)}$$

Se utilizará un nivel de confianza del 95% y nivel de significancia (α) del 5%.

Entonces para número de datos mayor a 50 tenemos:

$$\Delta_o = \frac{1.36}{\sqrt{n}}$$

Para número de datos menor a 50 el estadígrafo Δ_o , se obtiene de tablas.

Se elige el Δ de valor más alto para hacer la verificación.

$$\Delta_{max} \leq \Delta_o$$

De cumplirse la condición los datos se ajustan a la ley del modelo escogido.

Seguidamente mostramos un cuadro resumen de los ajustes a la distribución a un modelo mediante la prueba de ajuste de Kolmogórov-Smirnov.

Cuadro N° 6. Resumen del ajuste mediante Kolmogórov-Smirnov

| Resumen del ajuste mediante Kolmogórov-Smirnov | | | | |
|--|--------------|-----------------------|---------------------|--------------------|
| Distribución | Estación | $\Delta_{\text{máx}}$ | De tabla Δ_0 | Observación |
| Normal | Aeropuerto | 0.1445 | 0.1700 | Se ajusta a la ley |
| | Yesera Sud | 0.1470 | 0.3206 | Se ajusta a la ley |
| | Yesera Norte | 0.1153 | 0.2124 | Se ajusta a la ley |
| | Narváez | 0.1077 | 0.2124 | Se ajusta a la ley |
| | Cena Vit | 0.1979 | 0.2483 | Se ajusta a la ley |
| Log Normal de dos Parámetros | Aeropuerto | 0.0919 | 0.1700 | Se ajusta a la ley |
| | Yesera Sud | 0.0922 | 0.3206 | Se ajusta a la ley |
| | Yesera Norte | 0.0667 | 0.2124 | Se ajusta a la ley |
| | Narváez | 0.1049 | 0.2124 | Se ajusta a la ley |
| | Cena Vit | 0.1319 | 0.2483 | Se ajusta a la ley |
| Log Normal de tres Parámetros | Aeropuerto | 0.0922 | 0.1700 | Se ajusta a la ley |
| | Yesera Sud | 0.1586 | 0.3206 | Se ajusta a la ley |
| | Yesera Norte | 0.0591 | 0.2124 | Se ajusta a la ley |
| | Narváez | 0.1390 | 0.2124 | Se ajusta a la ley |
| | Cena Vit | 0.0768 | 0.2483 | Se ajusta a la ley |
| Gumbel | Aeropuerto | 0.0790 | 0.1700 | Se ajusta a la ley |
| | Yesera Sud | 0.1792 | 0.3206 | Se ajusta a la ley |
| | Yesera Norte | 0.0656 | 0.2124 | Se ajusta a la ley |
| | Narváez | 0.1252 | 0.2124 | Se ajusta a la ley |
| | Cena Vit | 0.1374 | 0.2483 | Se ajusta a la ley |
| Log Gumbel | Aeropuerto | 0.1012 | 0.1700 | Se ajusta a la ley |
| | Yesera Sud | 0.1835 | 0.3206 | Se ajusta a la ley |
| | Yesera Norte | 0.0794 | 0.2124 | Se ajusta a la ley |
| | Narváez | 0.1755 | 0.2124 | Se ajusta a la ley |
| | Cena Vit | 0.0696 | 0.2483 | Se ajusta a la ley |
| Gumbel | Aeropuerto | 0.0790 | 0.1700 | Mejor ajuste |
| Log Normal 2Pa | Yesera Sud | 0.0922 | 0.3206 | Mejor ajuste |
| Log Normal 3Pa | Yesera Norte | 0.0591 | 0.2124 | Mejor ajuste |
| Log Normal 2Pa | Narváez | 0.1049 | 0.2124 | Mejor ajuste |
| Log Gumbel | Cena Vit | 0.0696 | 0.2483 | Mejor ajuste |

Fuente: Elaboración propia

4.3. Obtención de curvas IDF

El diseño hidráulico de las obras de drenaje requiere el uso de las llamadas curvas Intensidad – Duración – Frecuencia de lluvias (IDF). Estas relaciones presentan la

variación de la intensidad de la lluvia de distintas duraciones, asociadas a diferentes probabilidades de ocurrencia, siendo necesarias para estimar indirectamente el escurrimiento proveniente en función de la lluvia caída.

Estas familias de curvas llevan en las abscisas la duración de la lluvia, en ordenadas la intensidad y en forma paramétrica el período de retorno o la probabilidad. Ellas son el resultado de un análisis probabilístico de las lluvias máximas anuales de diferentes duraciones.

4.3.1. Obtención de curvas IDF a partir de datos pluviométricos

Debido a que la disponibilidad de registros pluviográficos es escasa y si sólo se dispone de estadísticas pluviométricas diarias, sólo se dispondrá de un punto de la curva, correspondiendo a la intensidad media diaria o en 24 horas.

Es importante señalar que cuando sólo se dispone de datos aportados por un pluviómetro en una estación, es evidente que, en general, sólo se podrá conocer la intensidad media en 24 horas. Como se comprenderá, esta información puede inducir a errores por defecto, por cuanto las lluvias de corta duración son, en general, las más intensas.

El cálculo de las precipitaciones máximas para períodos de retorno de cada estación se lo realiza en base a los modelos probabilísticos de mejor ajuste, siendo estos modelos: Gumbel, Log Normal dos parámetros, Log Normal tres parámetros, y Log Gumbel.

Las precipitaciones máximas determinadas por los modelos mencionados son los que se muestran en el cuadro N° 7. Como no se cuenta de estaciones dentro de la cuenca, se determina las lluvias máximas ponderadas a partir de las precipitaciones máximas (ver cuadro N° 8). En el cuadro se puede observar que las precipitaciones por el método Thiessen son muy bajas en comparación con la estación cercana a la cuenca que es Yesera Norte y cuenta con mayores años de registro de datos pluviométricos, y por el método de las Isoyetas tiende a tener precipitaciones máximas muy próximos a la estación cercana, es por esto que se decide elaborar las curvas a partir de las lluvias máximas ponderadas por el método de isoyetas.

Cuadro N° 7. Alturas de lluvias máximas diarias para períodos de retorno

| Periodo de retorno (años) | Alturas de lluvias máximas diarias h_{dT} (mm) | | | | | |
|---------------------------|--|----------------|----------------|----------------|------------|--|
| | Gumbel | Log Normal 2Pa | Log Normal 3Pa | Log Normal 2Pa | Log Gumbel | |
| Aeropuerto | Yesera Sud | Yesera Norte | Narvaez | Cena Vit | | |
| 5 | 67.24 | 46.42 | 61.79 | 96.9 | 56.02 | |
| 10 | 76.82 | 50.04 | 69.75 | 108.31 | 67.78 | |
| 25 | 88.93 | 54.2 | 79.81 | 121.97 | 86.24 | |
| 50 | 97.91 | 57.06 | 87.32 | 131.69 | 103.11 | |
| 100 | 106.83 | 59.77 | 94.84 | 141.09 | 123.11 | |
| 200 | 115.71 | 62.36 | 102.43 | 150.29 | 146.9 | |

Fuente: Elaboración propia

Los cálculos se realizaron con el Hidroesta 2 a partir de los datos del Precipitaciones máximas en 24 horas.

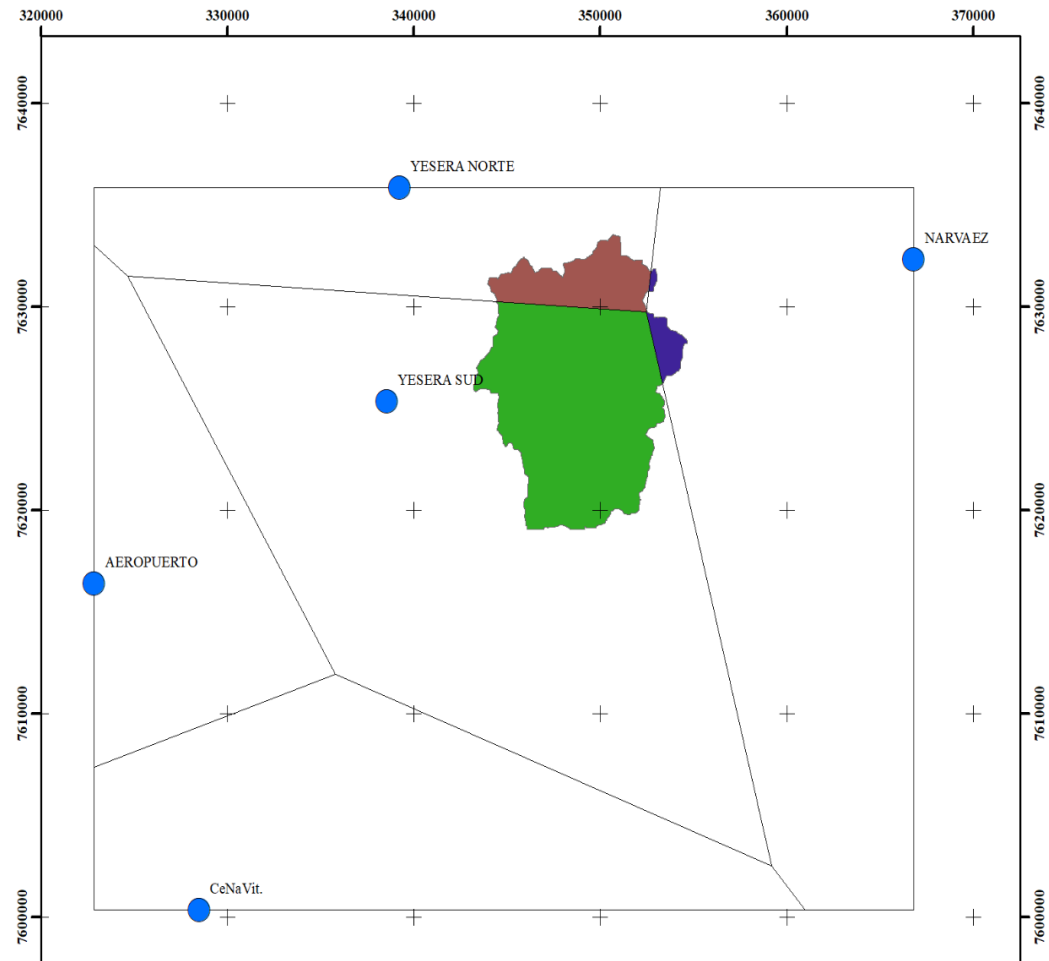
Cuadro N° 8. Lluvias máximas ponderada en 24 horas

| T (Años) | Lluvia máxima ponderada h_{dT} (mm) | | h_{dT} (mm) sin ponderar |
|-------------|---------------------------------------|----------|----------------------------|
| | Método | Thiessen | |
| 5 | 51.0 | 63.9 | 61.79 |
| 10 | 55.7 | 77.2 | 69.75 |
| 25 | 61.2 | 86.6 | 79.81 |
| 50 | 65.1 | 94.1 | 87.32 |
| 100 | 69.0 | 101.7 | 94.84 |
| 200 | 72.7 | 109.6 | 102.43 |

Fuente: Elaboración propia

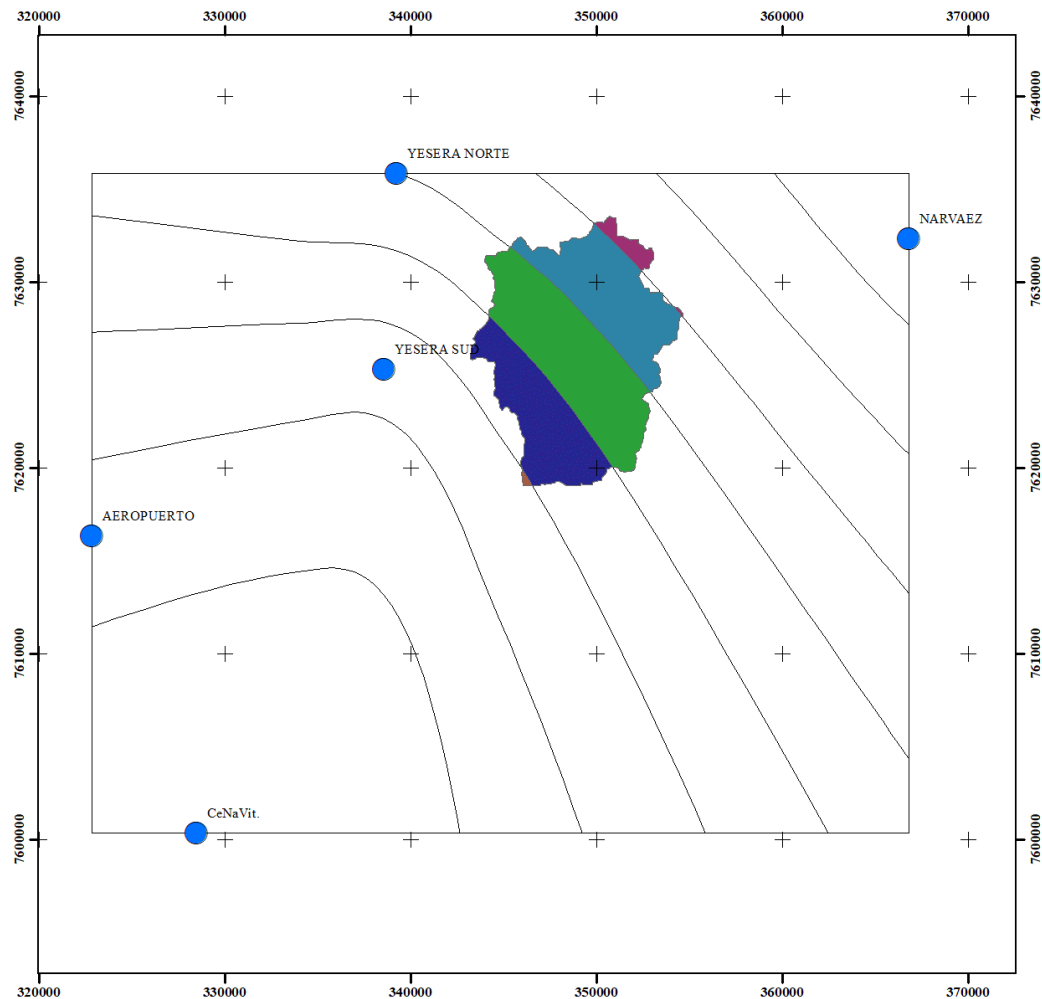
Las imágenes que se muestran a continuación resaltan el área de influencia consideradas por el método de Thiessen para la determinación de las lluvias máximas ponderadas, siendo la estación de Yesera Sud con mayor área de influencia. Por otro lado, la interpolación de alturas de precipitaciones que nos permite realizar el método de las isoyetas, toma en cuenta las cinco estaciones que encierran la cuenca.

Imagen N° 1. Polígonos de Thiessen



Fuente: Elaboración propia

Imagen N° 2. Isoyetas de lluvias máximas diarias en 24 horas



Fuente: Elaboración propia

Con el objetivo de disponer de valores de las alturas de las lluvias máximas en períodos de tiempos inferiores a las diarias, donde no se dispone de registros pluviográficos; se recurre a la experiencia para la estimación, usando la ley de regresión de los valores modales, dentro del cual se conoce como un punto el valor modal de la lluvia diaria.

La fórmula es el siguiente:

$$h_{tT} = \left(\frac{t}{\alpha}\right)^{\beta} h_{dT}$$

Dónde:

t = Tiempo correspondiente a la lluvia diaria, en horas.

β = Exponente que varía de 0.2 a 0.3

El tiempo que corresponde a la lluvia diaria no es igual a 24 horas, este valor se adopta de acuerdo a la región; para este sector según estudios existentes de análisis de datos pluviográficos del sur del país, se adopta valores entre 12 y 18 horas.

Para este caso tomaremos el valor de $\alpha = 12$ Horas y para el exponente más desfavorable o sea $\beta = 0.2$.

Formula que es válida para $t=2$ horas, para un tiempo menor de 2 horas; se obtiene con la expresión propuesta por Bell¹, la expresión es:

$$P_D^T = (0.21 \ln(T) + 0.52)(0.54D^{0.25} - 0.50)P_{60}^{10}$$

Donde:

D = Duración, en min.

T = Periodo de retorno, en años.

P_D^T = Precipitación caída en D min, con un periodo de retorno de T años.

P_{60}^{10} = Precipitación caída en 60 min (1hora), con un periodo de retorno de 10 años.

Las lluvias máximas para diferentes tiempos (t) y periodos de retorno (T) se tiene en el cuadro N° 9, estas lluvias máximas se obtienen a partir de precipitaciones máximas mostradas en el N° 8 del método de isoyetas.

Las intensidades máximas para diferentes periodos de retorno y duración se muestran en el cuadro N° 10, el mismo se obtiene a partir de las lluvias máximas del cuadro N° 9.

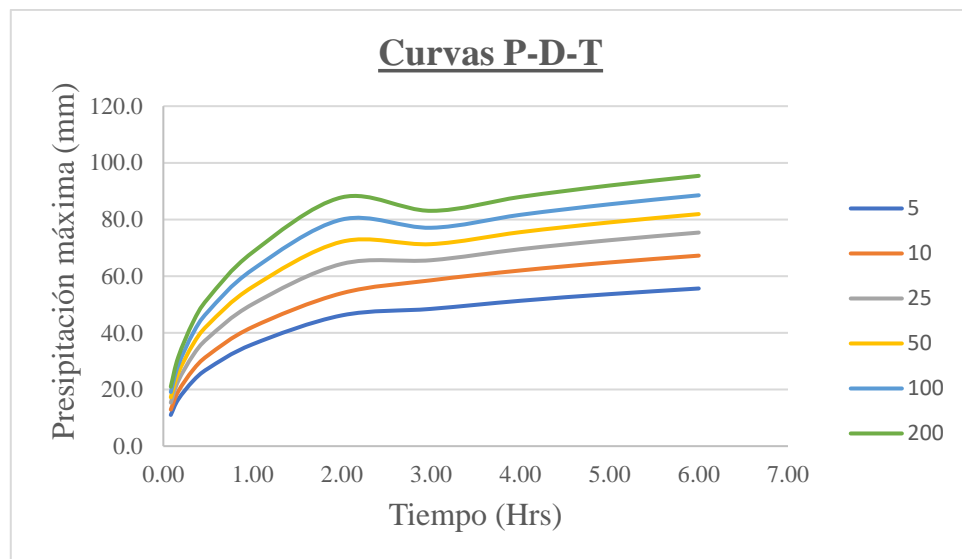
¹ La expresión de Bell esta establecida en el manual de hidrología y drenaje del ABC, en la página 1-22

Cuadro N° 9. Alturas de lluvias máximas para diferentes períodos de retorno y duración, en mm

| Períodos de retorno T (años) | Períodos de duración de lluvias en horas (t) | | | | | | | | | | |
|------------------------------|--|------|------|------|------|------|------|------|------|------|------|
| | 0 | 0.08 | 0.17 | 0.33 | 0.5 | 1 | 2 | 3 | 4 | 5 | 6 |
| 5 | 0 | 11.0 | 16.5 | 23.0 | 27.4 | 36.0 | 46.2 | 48.4 | 51.3 | 53.7 | 55.6 |
| 10 | 0 | 12.9 | 19.3 | 26.9 | 32.0 | 42.1 | 54.0 | 58.5 | 62.0 | 64.8 | 67.2 |
| 25 | 0 | 15.4 | 23.0 | 32.1 | 38.2 | 50.1 | 64.3 | 65.6 | 69.5 | 72.7 | 75.4 |
| 50 | 0 | 17.2 | 25.8 | 36.0 | 42.8 | 56.2 | 72.2 | 71.3 | 75.5 | 79.0 | 81.9 |
| 100 | 0 | 19.1 | 28.6 | 39.9 | 47.5 | 62.3 | 80.0 | 77.1 | 81.6 | 85.4 | 88.5 |
| 200 | 0 | 21.0 | 31.4 | 43.8 | 52.1 | 68.4 | 87.8 | 83.1 | 88.0 | 92.0 | 95.4 |

Fuente: Elaboración propia

Gráfico N° 5. Curvas Precipitación – Duración – Frecuencia.



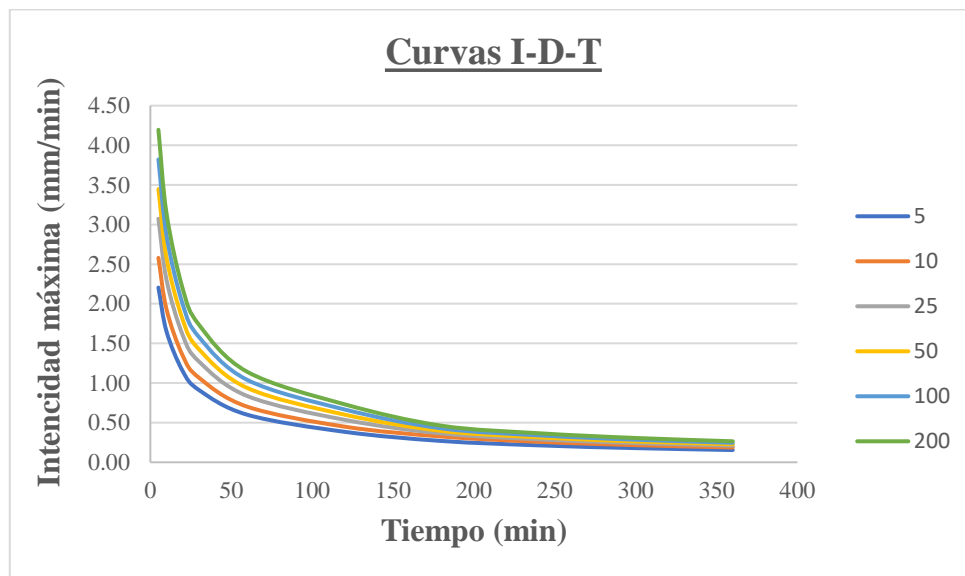
Fuente: Elaboración propia

Cuadro N° 10. Intensidades máximas para diferentes períodos de retorno y duración
mm/min

| Períodos de retorno T (años) | Períodos de duración de lluvias en (min) | | | | | | | | | | |
|------------------------------|--|------|------|------|------|------|------|------|------|------|------|
| | 0 | 5 | 10 | 20 | 30 | 60 | 120 | 180 | 240 | 300 | 360 |
| 5 | 0 | 2.20 | 1.65 | 1.15 | 0.91 | 0.60 | 0.38 | 0.27 | 0.21 | 0.18 | 0.15 |
| 10 | 0 | 2.58 | 1.93 | 1.35 | 1.07 | 0.70 | 0.45 | 0.33 | 0.26 | 0.22 | 0.19 |
| 25 | 0 | 3.07 | 2.30 | 1.60 | 1.27 | 0.84 | 0.54 | 0.36 | 0.29 | 0.24 | 0.21 |
| 50 | 0 | 3.45 | 2.58 | 1.80 | 1.43 | 0.94 | 0.60 | 0.40 | 0.31 | 0.26 | 0.23 |
| 100 | 0 | 3.82 | 2.86 | 1.99 | 1.58 | 1.04 | 0.67 | 0.43 | 0.34 | 0.28 | 0.25 |
| 200 | 0 | 4.20 | 3.14 | 2.19 | 1.74 | 1.14 | 0.73 | 0.46 | 0.37 | 0.31 | 0.27 |

Fuente: Elaboración propia

Gráfico N° 6. Curvas Intensidad – Duración – Frecuencia “IDF”



Fuente: Elaboración propia

Las curvas intensidad – duración – frecuencia, también pueden expresarse como ecuaciones con el fin de evitar la lectura de la intensidad de lluvia de diseño en una gráfica.

Para obtener la ecuación general de las curvas IDF, se eligió la ecuación propuesta por Bernard y Yarnell (1932), definida de la siguiente forma:

$$I = \frac{KT^m}{D^n}$$

Donde:

I = Es la intensidad de precipitación, en mm/min.

T = Es el periodo de retorno, en años.

D = Es la duración de precipitación, en min.

k, m, n = son las constantes que se deben calcular mediante análisis de regresión.

La ecuación general obtenida en base al cuadro N° 10 y a un análisis de regresión es el siguiente:

$$I = \frac{6.053624004T^{0.159698022}}{D^{0.645718151}}$$

Donde:

I = Es la intensidad de precipitación, en mm/min.

T = Es el periodo de retorno, en años.

D = Es la duración de precipitación, en min.

Las estadísticas de la regresión para obtener la ecuación es el siguiente:

| Estadísticas de la regresión | |
|-------------------------------------|-----------|
| Coeficiente de correlación múltiple | 0.9937714 |
| Coeficiente de determinación R^2 | 0.9875815 |
| R^2 ajustado | 0.9871458 |



COMPACTACION

Proyecto: DISEÑO DE INGENIERIA DEL TRAMO CARLAZO CENTRO - CARLAZO ESTE

Solicitante: Dpto. de VIAS Y COMUNICACIONES

Fecha: 25/01/2021

Laboratoristas: Univ. BLADIMIR J. MARTINEZ MALLON

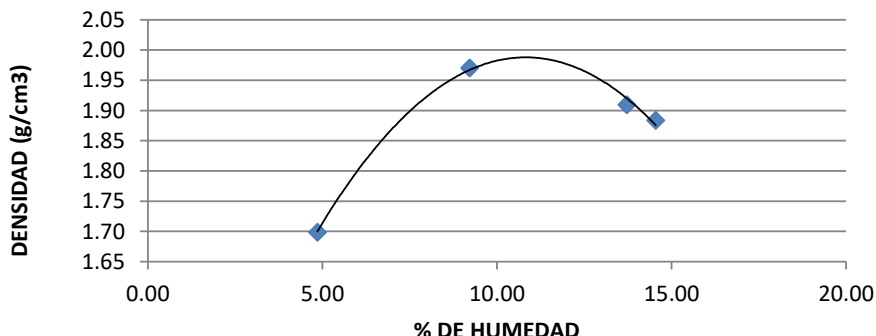
Identificación: MUESTRA 2

| | | |
|----------------|----------------|-----|
| Muestra: Unica | Volumen: 943.3 | cm3 |
|----------------|----------------|-----|

| | | | | |
|---|---------|---------|---------|---------|
| Nº de capas | 3 | 3 | 3 | 3 |
| Nº de golpes por capa | 56 | 56 | 56 | 56 |
| Peso suelo húmedo + molde | 5515.70 | 5865.10 | 5884.00 | 5870.60 |
| Peso del molde | 3835.3 | 3835.3 | 3835.3 | 3835.3 |
| Peso suelo húmedo | 1680.4 | 2029.8 | 2048.7 | 2035.3 |
| Volumén de la muestra | 943.3 | 943.3 | 943.3 | 943.3 |
| Densidad suelo húmedo (gr/cm ³) | 1.78 | 2.15 | 2.17 | 2.16 |
| Cápsula Nº | 1 | 2 | 3 | 4 |
| Peso suelo húmedo + capsula | 41.58 | 36.60 | 33.96 | 47.54 |
| Peso suelo seco + cápsula | 40.22 | 34.56 | 31.25 | 43.04 |
| Peso del agua | 1.36 | 2.04 | 2.71 | 4.50 |
| Peso de la cápsula | 12.19 | 12.42 | 11.5 | 12.11 |
| Peso suelo seco | 28.03 | 22.14 | 19.75 | 30.93 |
| Contenido de humedad (%h) | 4.85 | 9.21 | 13.72 | 14.55 |
| Densidad suelo seco (gr/cm ³) | 1.70 | 1.97 | 1.91 | 1.88 |

GRAFICO DE COMPACTACIÓN

$$y = -0.00808x^2 + 0.17493x + 1.04140$$
$$R^2 = 0.99566$$



| | |
|-----------------|-------------------------|
| Densidad Máxima | 1.99 gr/cm ³ |
| Humedad Optima | 10.82 % |



CALIFORNIA BEARING RATIO (CBR)

| |
|--|
| Proyecto: DISEÑO DE INGENIERIA DEL TRAMO CARLAZO CENTRO - CARLAZO ESTE |
| Solicitante: Dpto. de VIAS Y COMUNICACIONES |

| Muestra | LL | IP | Clasific. | H. Opt. | D. Máx |
|---------|----|----|-----------|---------|--------|
| 2 | 23 | 8 | A-4(2) | 10.82 | 1.99 |

CONTENIDO DE HUMEDAD Y PESO UNITARIO

| | | | | | | |
|--------------------------|------------------|---------|------------------|---------|------------------|---------|
| Nº capas | 5 | | 5 | | 5 | |
| Nº golpes por capa | 12 | | 25 | | 56 | |
| CONDICION DE MUESTRA | Antes de mojarse | D. de M | Antes de mojarse | D. de M | Antes de mojarse | D. de M |
| Peso muestra húm.+molde | 11350 | 11565 | 11700 | 11815 | 11175 | 11230 |
| Peso Molde | 7215 | 7215 | 7140 | 7140 | 6355 | 6355 |
| Peso muestra húmeda | 4135 | 4350 | 4560 | 4675 | 4820 | 4875 |
| Volumen de la muestra | 3211 | 3211 | 3211 | 3211 | 3211 | 3211 |
| Peso Unit. Muestra Húm. | 1.288 | 1.355 | 1.420 | 1.456 | 1.501 | 1.518 |
| MUESTRA DE HUMEDAD | Fondo | Superf. | 2" sup. | Fondo | Superf. | 2" sup. |
| Tara Nº | 1 | 2 | 3 | 1 | 2 | 3 |
| Peso muestra húm + tara | 53.5 | 53.6 | 66.8 | 78.3 | 57.8 | 57.6 |
| Peso muestra seca + tara | 49.1 | 48 | 60.1 | 68.8 | 53.6 | 53.2 |
| Peso del agua | 4.4 | 5.6 | 6.7 | 9.5 | 4.2 | 4.4 |
| Peso de tara | 13.1 | 12.7 | 12.9 | 12.5 | 12.8 | 12.2 |
| Peso de la muestra seca | 36 | 35.3 | 47.2 | 56.3 | 40.8 | 41 |
| Contenido humedad % | 12.222 | 15.864 | 14.195 | 16.874 | 10.294 | 10.732 |
| Promedio cont. Humedad | 14.04 | 14.195 | | 13.58 | 10.732 | 13.11 |
| Peso Unit.muestra seca | 1.129 | 1.1863 | | 1.250 | 1.3148 | 1.327 |
| | | | | | | 1.3802 |

| Hum. Opt. % | Peso Unit. gr/cm3 |
|-------------------|-------------------------|
| 10.82 | 1.99 |

EXPANSION

| FECHA | HORA | TIEMPO EN DIAS | MOLDE N° 1 | | | MOLDE N° 2 | | | MOLDE N° 3 | | |
|--------|-------|----------------------|------------|-----------|--------|------------|-----------|--------|------------|-----------|--------|
| | | | LECT. | EXPANSION | | LECT. | EXPANSION | | LECT. | EXPANSION | |
| | | | EXTENS. | CM. | % | EXTENS. | CM. | % | EXTENS. | CM. | % |
| 9-feb | 13:00 | 1 | 18.94 | 1.894 | 0 | 1.61 | 0.161 | 0 | 20.77 | 2.077 | 0 |
| 10-feb | 08:30 | 2 | 19.61 | 1.961 | 0.5688 | 2.32 | 0.232 | 0.6027 | 20.94 | 2.094 | 0.1443 |
| 12-feb | 08:15 | 4 | 19.7 | 1.97 | 0.0764 | 2.39 | 0.239 | 0.0594 | 21.1 | 2.11 | 0.1358 |
| 18-feb | 09:00 | 10 | 19.75 | 1.975 | 0.0424 | 2.43 | 0.243 | 0.034 | 21.18 | 2.118 | 0.0679 |

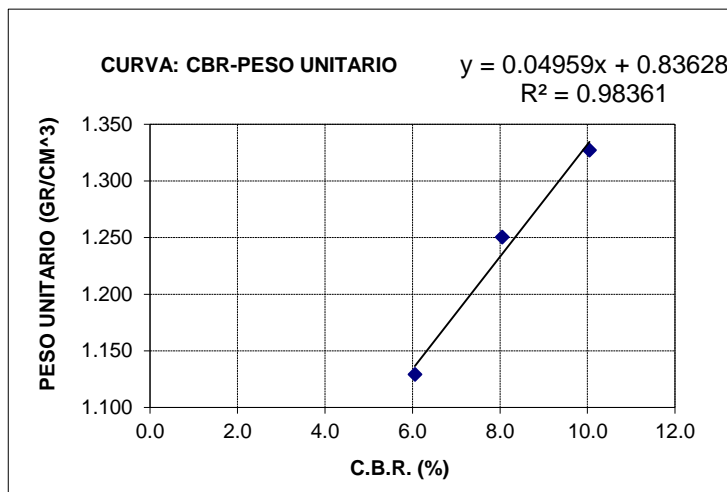
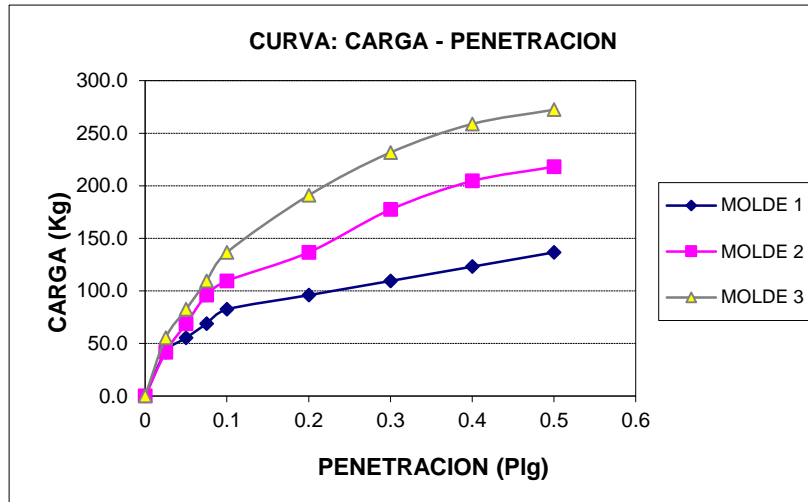
| C.B.R. % | Peso Unit. gr/cm3 |
|-------------|-------------------------|
| 6.1 | 1.129 |
| 8.1 | 1.250 |
| 10.0 | 1.327 |

C.B.R.

| PENETRACION | CARGA NORMAL | MOLDE N° 1 | | | | MOLDE N° 2 | | | | MOLDE N° 3 | | | | |
|-------------|-----------------|--------------|-------|---------------|-----|--------------|-------|---------------|-----|--------------|-------|---------------|------|---|
| | | CARGA ENSAYO | | C.B.R. CORREG | | CARGA ENSAYO | | C.B.R. CORREG | | CARGA ENSAYO | | C.B.R. CORREG | | |
| Pulg. | mm | Kg | Kg | Kg/cm2 | Kg | % | Kg | Kg/cm2 | Kg | % | Kg | Kg/cm2 | Kg | % |
| 0 | 0 | | 0.0 | 0 | | | 0.0 | 0 | | | 0.0 | 0 | | |
| 0.025 | 0.63 | | 41.6 | 2.2 | | | 41.6 | 2.2 | | | 55.2 | 2.9 | | |
| 0.05 | 1.27 | | 55.2 | 2.9 | | | 68.8 | 3.6 | | | 82.3 | 4.3 | | |
| 0.075 | 1.9 | | 68.8 | 3.6 | | | 95.9 | 5.0 | | | 109.5 | 5.7 | | |
| 0.1 | 2.54 | 1360 | 82.3 | 4.3 | 6.1 | 109.5 | 5.7 | | 8.1 | 136.6 | 7.1 | | 10.0 | |
| 0.2 | 5.08 | 2040 | 95.9 | 5.0 | 4.7 | 136.6 | 7.1 | | 6.7 | 190.9 | 9.9 | | 9.4 | |
| 0.3 | 7.62 | | 109.5 | 5.7 | | | 177.3 | 9.2 | | | 231.6 | 12.0 | | |
| 0.4 | 10.16 | | 123.1 | 6.4 | | | 204.5 | 10.6 | | | 258.7 | 13.4 | | |
| 0.5 | 12.7 | | 136.6 | 7.1 | | | 218.0 | 11.3 | | | 272.3 | 14.1 | | |



CALIFORNIA BEARING RATIO (CBR)



| |
|----------------|
| CBR 100% D.máx |
| 25 % |
| CBR 95% D.Máx. |
| 23 % |



COMPACTACION

Proyecto: DISEÑO DE INGENIERIA DEL TRAMO CARLAZO CENTRO - CARLAZO ESTE

Solicitante: Dpto. de VIAS Y COMUNICACIONES

Fecha: 30/01/2021

Laboratoristas: Univ. BLADIMIR J. MARTINEZ MALLON

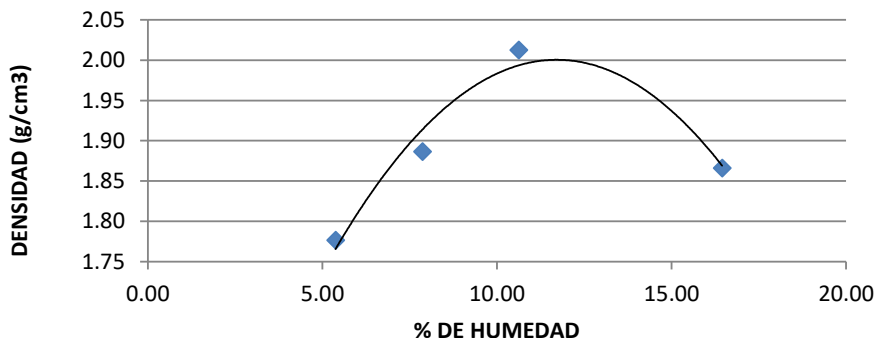
Identificación: MUESTRA 6

| | | |
|----------------|-----------------|-----|
| Muestra: Unica | Volumen: 2124.0 | cm3 |
|----------------|-----------------|-----|

| | | | | |
|---|----------|----------|----------|----------|
| Nº de capas | 5 | 5 | 5 | 5 |
| Nº de golpes por capa | 56 | 56 | 56 | 56 |
| Peso suelo húmedo + molde | 10450.60 | 10796.10 | 11203.10 | 11089.60 |
| Peso del molde | 6474 | 6474 | 6474 | 6474 |
| Peso suelo húmedo | 3976.6 | 4322.1 | 4729.1 | 4615.6 |
| Volumén de la muestra | 2124.0 | 2124.0 | 2124.0 | 2124.0 |
| Densidad suelo húmedo (gr/cm ³) | 1.87 | 2.03 | 2.23 | 2.17 |
| Cápsula Nº | 1 | 2 | 3 | 4 |
| Peso suelo húmedo + capsula | 37.68 | 34.64 | 62.18 | 42.79 |
| Peso suelo seco + cápsula | 36.38 | 33.02 | 57.37 | 38.37 |
| Peso del agua | 1.3 | 1.62 | 4.81 | 4.42 |
| Peso de la cápsula | 12.19 | 12.42 | 12.1 | 11.5 |
| Peso suelo seco | 24.19 | 20.6 | 45.27 | 26.87 |
| Contenido de humedad (%h) | 5.37 | 7.86 | 10.63 | 16.45 |
| Densidad suelo seco (gr/cm ³) | 1.78 | 1.89 | 2.01 | 1.87 |

GRAFICO DE COMPACTACIÓN

$$y = -0.00585x^2 + 0.13700x + 1.19827$$
$$R^2 = 0.95604$$



| | |
|-----------------|-------------------------|
| Densidad Máxima | 2.00 gr/cm ³ |
| Humedad Optima | 11.71 % |



CALIFORNIA BEARING RATIO (CBR)

| | |
|--|---|
| Proyecto: DISEÑO DE INGENIERIA DEL TRAMO CARLAZO CENTRO - CARLAZO ESTE | Solicitante: Dpto. de VIAS Y COMUNICACIONES |
|--|---|

| Muestra | LL | IP | Clasific. | H. Opt. | D. Máx |
|---------|----|----|-----------|---------|--------|
| 6 | 39 | 20 | A-2-6 | 11.71 | 2.00 |

CONTENIDO DE HUMEDAD Y PESO UNITARIO

| | | | | | | |
|--------------------------|------------------|---------|------------------|---------|------------------|---------|
| Nº capas | 5 | | 5 | | 5 | |
| Nº golpes por capa | 12 | | 25 | | 56 | |
| CONDICION DE MUESTRA | Antes de mojarse | D. de M | Antes de mojarse | D. de M | Antes de mojarse | D. de M |
| Peso muestra húm.+molde | 12130 | 12370 | 10730 | 10953 | 12750 | 12870 |
| Peso Molde | 7911.2 | 7911.2 | 6295 | 6295 | 7976 | 7976 |
| Peso muestra húmeda | 4218.8 | 4458.8 | 4435 | 4658 | 4774 | 4894 |
| Volumen de la muestra | 3211 | 3211 | 3211 | 3211 | 3211 | 3211 |
| Peso Unit. Muestra Húm. | 1.314 | 1.389 | 1.381 | 1.451 | 1.487 | 1.524 |
| MUESTRA DE HUMEDAD | Fondo | Superf. | 2" sup. | Fondo | Superf. | 2" sup. |
| Tara Nº | 1 | 2 | 3 | 1 | 2 | 3 |
| Peso muestra húm + tara | 50.7 | 61.7 | 66.2 | 40.29 | 42.33 | 40.95 |
| Peso muestra seca + tara | 44.5 | 53.1 | 58.9 | 36.6 | 37.4 | 37.8 |
| Peso del agua | 6.2 | 8.6 | 7.3 | 3.69 | 4.93 | 3.15 |
| Peso de tara | 13.2 | 12.9 | 13 | 18.2 | 18 | 17.7 |
| Peso de la muestra seca | 31.3 | 40.2 | 45.9 | 18.4 | 19.4 | 20.1 |
| Contenido humedad % | 19.808 | 21.393 | 15.904 | 20.054 | 25.412 | 15.672 |
| Promedio cont. Humedad | 20.60 | | 15.904 | 22.73 | 15.672 | 16.83 |
| Peso Unit.muestra seca | 1.089 | | 1.1981 | 1.125 | 1.2541 | 1.273 |
| | | | | | | |

| Hum. Opt. % | Peso Unit. gr/cm3 |
|-------------------|-------------------------|
| 11.71 | 2.00 |

EXPANSION

| FECHA | HORA | TIEMPO EN DIAS | MOLDE N° 1 | | MOLDE N° 2 | | MOLDE N° 3 | | | | |
|--------|-------|----------------------|------------|-----------|------------|-----------|------------|-----------|-------|-------|--------|
| | | | LECT. | EXPANSION | LECT. | EXPANSION | LECT. | EXPANSION | | | |
| | | | EXTENS. | CM. | % | EXTENS. | CM. | % | | | |
| 8-feb | 12:00 | 1 | 17.28 | 1.728 | 0 | 0 | 0 | 17.34 | 1.734 | 0 | |
| 9-feb | 13:00 | 2 | 22.02 | 2.202 | 4.0238 | 1.28 | 0.128 | 0.7199 | 19.21 | 1.921 | 1.5874 |
| 10-feb | 08:30 | 3 | 22.11 | 2.211 | 0.0764 | 2.57 | 0.257 | 1.4454 | 19.78 | 1.978 | 0.4839 |
| 12-feb | 08:00 | 4 | 22.21 | 2.221 | 0.0849 | 3.38 | 0.338 | 1.901 | 20.22 | 2.022 | 0.3735 |

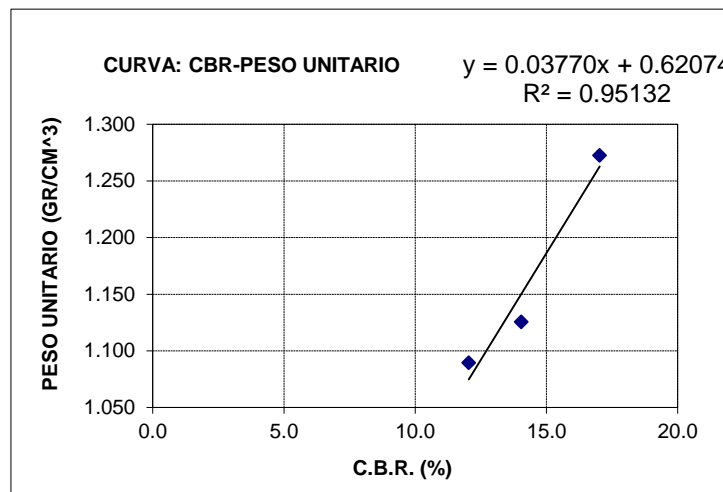
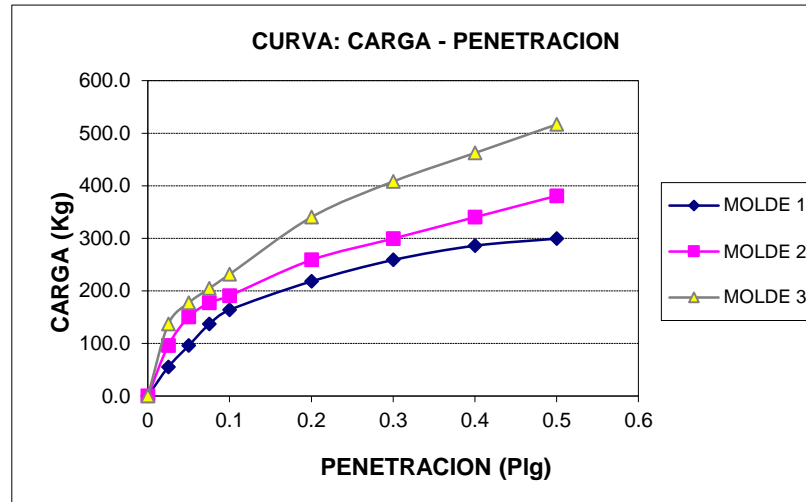
| C.B.R. % | Peso Unit. gr/cm3 |
|-------------|-------------------------|
| 12.0 | 1.089 |
| 14.0 | 1.125 |
| 17.0 | 1.273 |

C.B.R.

| PENETRACION | | CARGA NORMAL | MOLDE N° 1 | | | | MOLDE N° 2 | | | | MOLDE N° 3 | | | |
|-------------|-------|-----------------|--------------|--------|---------------|-------|--------------|--------|---------------|-------|--------------|--------|---------------|---|
| | | | CARGA ENSAYO | | C.B.R. CORREG | | CARGA ENSAYO | | C.B.R. CORREG | | CARGA ENSAYO | | C.B.R. CORREG | |
| Pulg. | mm | Kg | Kg | Kg/cm2 | Kg | % | Kg | Kg/cm2 | Kg | % | Kg | Kg/cm2 | Kg | % |
| 0 | 0 | | 0.0 | 0 | | | 0.0 | 0 | | | 0.0 | 0 | | |
| 0.025 | 0.63 | | 55.2 | 2.9 | | | 95.9 | 5.0 | | | 136.6 | 7.1 | | |
| 0.05 | 1.27 | | 95.9 | 5.0 | | | 150.2 | 7.8 | | | 177.3 | 9.2 | | |
| 0.075 | 1.9 | | 136.6 | 7.1 | | | 177.3 | 9.2 | | | 204.5 | 10.6 | | |
| 0.1 | 2.54 | 1360 | 163.8 | 8.5 | 12.0 | 190.9 | 9.9 | | 14.0 | 231.6 | 12.0 | | 17.0 | |
| 0.2 | 5.08 | 2040 | 218.0 | 11.3 | 10.7 | 258.7 | 13.4 | | 12.7 | 340.2 | 17.6 | | 16.7 | |
| 0.3 | 7.62 | | 258.7 | 13.4 | | | 299.4 | 15.5 | | | 408.0 | 21.1 | | |
| 0.4 | 10.16 | | 285.9 | 14.8 | | | 340.2 | 17.6 | | | 462.3 | 23.9 | | |
| 0.5 | 12.7 | | 299.4 | 15.5 | | | 380.9 | 19.7 | | | 516.6 | 26.7 | | |



CALIFORNIA BEARING RATIO (CBR)



| |
|----------------|
| CBR 100% D.máx |
| 37 % |
| CBR 95% D.Máx. |
| 34 % |

Univ. Bladimir Jhovany Martinez Mallon
LABORATORISTA

Ing. José Ricardo Arce Avendaño
RESP. LAB. SUELOS-TEC-U.A.J.M.S.

Nota: El laboratorio de suelos de la carrera de ingeniería civil, no se hace responsable de los datos obtenidos. Es netamente responsable el laboratorista.



COMPACTACION

Proyecto: DISEÑO DE INGENIERIA DEL TRAMO CARLAZO CENTRO - CARLAZO ESTE

Solicitante: Dpto. de VIAS Y COMUNICACIONES

Fecha: 11/02/2021

Laboratoristas: Univ. BLADIMIR J. MARTINEZ MALLON

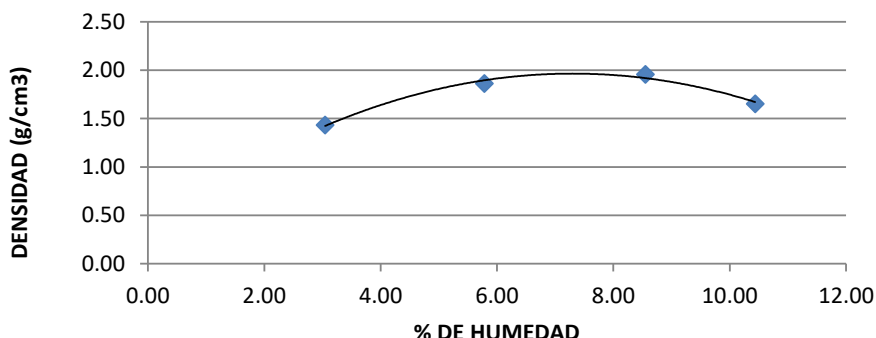
Identificación: MUESTRA 9

| | | |
|----------------|-----------------|-----|
| Muestra: Unica | Volumen: 2124.0 | cm3 |
|----------------|-----------------|-----|

| | | | | |
|---|----------|----------|----------|----------|
| Nº de capas | 5 | 5 | 5 | 5 |
| Nº de golpes por capa | 56 | 56 | 56 | 56 |
| Peso suelo húmedo + molde | 10965.00 | 12010.00 | 12340.00 | 11703.00 |
| Peso del molde | 7825 | 7825 | 7825 | 7825 |
| Peso suelo húmedo | 3140 | 4185 | 4515 | 3878 |
| Volumén de la muestra | 2124.0 | 2124.0 | 2124.0 | 2124.0 |
| Densidad suelo húmedo (gr/cm ³) | 1.48 | 1.97 | 2.13 | 1.83 |
| Cápsula Nº | 1 | 2 | 3 | 4 |
| Peso suelo húmedo + capsula | 198.30 | 170.00 | 180.00 | 188.30 |
| Peso suelo seco + cápsula | 193.00 | 161.70 | 167.00 | 172.30 |
| Peso del agua | 5.3 | 8.3 | 13 | 16.00 |
| Peso de la cápsula | 19 | 18.1 | 15 | 19 |
| Peso suelo seco | 174 | 143.6 | 152 | 153.30 |
| Contenido de humedad (%h) | 3.05 | 5.78 | 8.55 | 10.44 |
| Densidad suelo seco (gr/cm ³) | 1.43 | 1.86 | 1.96 | 1.65 |

GRAFICO DE COMPACTACIÓN

$$y = -0.02985x^2 + 0.43581x + 0.37364$$
$$R^2 = 0.98073$$



| | |
|-----------------|-------------------------|
| Densidad Máxima | 1.96 gr/cm ³ |
| Humedad Optima | 7.30 % |



CALIFORNIA BEARING RATIO (CBR)

| |
|--|
| Proyecto: DISEÑO DE INGENIERIA DEL TRAMO CARLAZO CENTRO - CARLAZO ESTE |
| Solicitante: Dpto. de VIAS Y COMUNICACIONES |

| Muestra | LL | IP | Clasif. | H. Opt. | D. Máx |
|---------|----|----|----------|---------|--------|
| 9 | 36 | 10 | A-2-4(0) | 7.30 | 1.96 |

CONTENIDO DE HUMEDAD Y PESO UNITARIO

| Nº capas | 5 | | 5 | | 5 | | | |
|--------------------------|------------------|---------|------------------|---------|------------------|---------|--------|---------|
| Nº golpes por capa | 12 | | 25 | | 56 | | | |
| CONDICION DE MUESTRA | Antes de mojarse | D. de M | Antes de mojarse | D. de M | Antes de mojarse | D. de M | | |
| Peso muestra húm.+molde | 10000 | 11495 | 10400 | 11625 | 10540 | 12500 | | |
| Peso Molde | 6580 | 6580 | 6460 | 6460 | 6565 | 6565 | | |
| Peso muestra húmeda | 3420 | 4915 | 3940 | 5165 | 3975 | 5935 | | |
| Volumen de la muestra | 2124 | 2124 | 2124 | 2124 | 2124 | 2124 | | |
| Peso Unit. Muestra Húm. | 1.610 | 2.314 | 1.855 | 2.432 | 1.871 | 2.794 | | |
| MUESTRA DE HUMEDAD | Fondo | Superf. | 2" sup. | Fondo | Superf. | 2" sup. | Fondo | Superf. |
| Tara N° | 1 | 2 | 3 | 1 | 2 | 3 | 1 | 2 |
| Peso muestra húm + tara | 135.8 | 109.3 | 103.4 | 112 | 111.2 | 97.6 | 104.4 | 91.5 |
| Peso muestra seca + tara | 113 | 91.6 | 86.4 | 79 | 92.9 | 82.1 | 89.7 | 77.1 |
| Peso del agua | 22.8 | 17.7 | 17 | 33 | 18.3 | 15.5 | 14.7 | 14.4 |
| Peso de tara | 18.2 | 19.3 | 17.1 | 17.8 | 19.8 | 17.5 | 17.6 | 16.3 |
| Peso de la muestra seca | 94.8 | 72.3 | 69.3 | 61.2 | 73.1 | 64.6 | 72.1 | 60.8 |
| Contenido humedad % | 24.051 | 24.481 | 24.531 | 53.922 | 25.034 | 23.994 | 20.388 | 23.68 |
| Promedio cont. Humedad | 24.27 | 24.531 | | 39.48 | 23.994 | | 22.04 | 21.751 |
| Peso Unit.muestra seca | 1.296 | 1.8582 | | 1.330 | 1.9612 | | 1.534 | 2.2951 |

| Hum. Opt. % | Peso Unit. gr/cm3 |
|-------------------|-------------------------|
| 7.30 | 1.96 |

EXPANSION

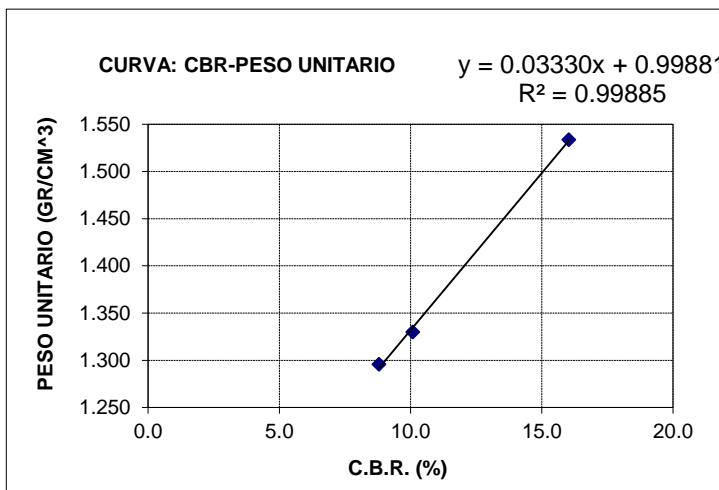
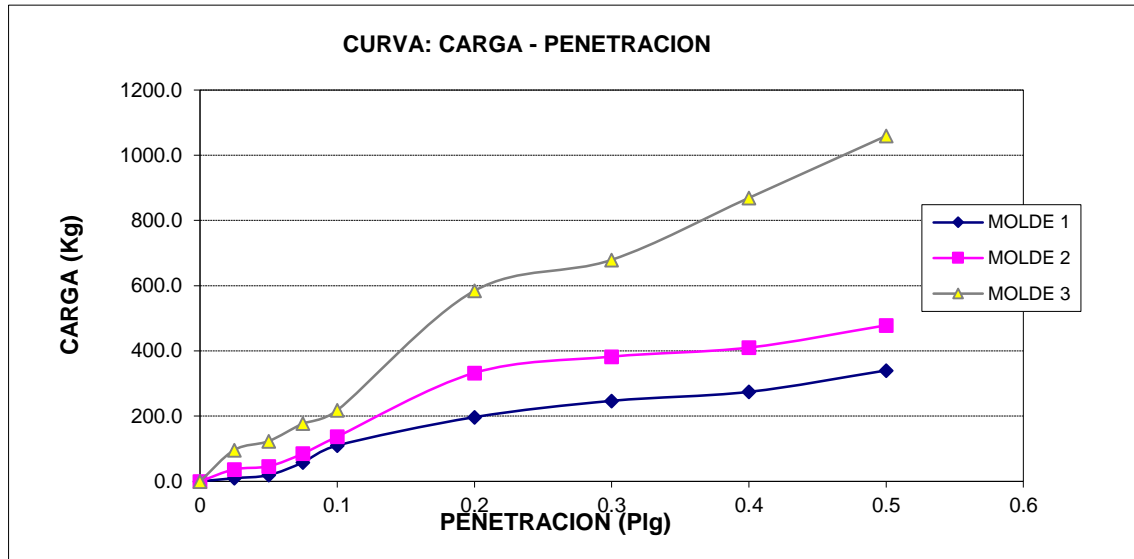
| FECHA | HORA | TIEMPO EN DIAS | MOLDE Nº 1 | | | MOLDE Nº 2 | | | MOLDE Nº 3 | | | C.B.R. % | Peso Unit. gr/cm3 | | |
|--------|-------|----------------------|------------|-----------|--------|------------|-----------|--------|------------|-----------|--------|-------------|-------------------------|--|--|
| | | | LECT. | EXPANSION | | LECT. | EXPANSION | | LECT. | EXPANSION | | | | | |
| | | | EXTENS. | CM. | % | EXTENS. | CM. | % | EXTENS. | CM. | % | | | | |
| 14-may | 10:50 | 1 | 0.27 | 0.027 | 0 | 0.6 | 0.06 | 0 | 5.54 | 0.554 | 0 | 8.8 | 1.296 | | |
| 15-may | 10:30 | 2 | 3.38 | 0.338 | 2.6401 | 2.48 | 0.248 | 1.5959 | 6.84 | 0.684 | 1.1036 | 10.1 | 1.330 | | |
| 16-may | 11:00 | 3 | 4 | 0.4 | 0.5263 | 2.86 | 0.286 | 0.3226 | 7.44 | 0.744 | 0.5093 | 16.0 | 1.534 | | |
| 18-may | 08:00 | 4 | 4.4 | 0.44 | 0.3396 | 3.38 | 0.338 | 0.4414 | 8 | 0.8 | 0.4754 | | | | |

C.B.R.

| PENETRACION | CARGA NORMAL | MOLDE Nº 1 | MOLDE Nº 2 | | | | MOLDE Nº 3 | | | | C.B.R. % | Peso Unit. gr/cm3 | |
|-------------|-----------------|------------|--------------|--------|---------------|--------------|------------|---------------|--------------|--------|---------------|-------------------------|------|
| | | | CARGA ENSAYO | | C.B.R. CORREG | CARGA ENSAYO | | C.B.R. CORREG | CARGA ENSAYO | | C.B.R. CORREG | | |
| Pulg. | mm | Kg | Kg | Kg/cm2 | % | Kg | Kg/cm2 | % | Kg | Kg/cm2 | Kg | % | |
| 0 | 0 | | 0.0 | 0 | | 0.0 | 0 | | 0.0 | 0 | | | |
| 0.025 | 0.63 | | 9.7 | 0.5 | | 36.9 | 1.9 | | 96.2 | 5.0 | | | |
| 0.05 | 1.27 | | 19.1 | 1.0 | | 46.2 | 2.4 | | 123.5 | 6.4 | | | |
| 0.075 | 1.9 | | 58.1 | 3.0 | | 85.2 | 4.4 | | 177.3 | 9.2 | | | |
| 0.1 | 2.54 | 1360 | 110.0 | 5.7 | 8.8 | 137.2 | 7.1 | | 10.1 | 218.0 | 11.3 | 16.0 | |
| 0.2 | 5.08 | 2040 | 197.0 | 10.2 | | 9.7 | 332.7 | 17.2 | 16.3 | 584.4 | 30.2 | | 28.6 |
| 0.3 | 7.62 | | 246.9 | 12.8 | | 382.6 | 19.8 | | 679.4 | 35.1 | | | |
| 0.4 | 10.16 | | 274.5 | 14.2 | | 410.2 | 21.2 | | 869.3 | 44.9 | | | |
| 0.5 | 12.7 | | 340.2 | 17.6 | | 478.6 | 24.7 | | 1059.3 | 54.7 | | | |



CALIFORNIA BEARING RATIO (CBR)



| |
|----------------|
| CBR 100% D.máx |
| 29 % |
| CBR 95% D.Máx. |
| 26 % |

Univ. Bladimir Jhovany Martinez Mallon
LABORATORISTA

Ing. José Ricardo Arce Avendaño
RESP. LAB. SUELOS-TEC-U.A.J.M.S.

Nota: El laboratorio de suelos de la carrera de ingeniería civil, no se hace responsable de los datos obtenidos. Es netamente responsable el laboratorista.

ESTUDIO GEOTÉCNICO

1. Introducción

El estudio geotécnico es el proceso de estudio y la justificación técnica del comportamiento del terreno en relación con un proyecto específico. El estudio geotécnico es necesario siempre que se realicen actuaciones sobre el terreno incluyendo: desmontes, terraplenados, zanjas y cimentaciones. Es por eso que en este estudio nos centraremos a conocer las propiedades de los materiales presentes en el terreno y definir su comportamiento ante la nueva situación.

Para definir las propiedades de los materiales presentes en el terreno, nos respaldamos con el manual de ensayos de suelos y materiales del A.B.C. y para definir el comportamiento se desarrolla un análisis técnico una vez conocida las propiedades de los materiales.

El análisis técnico se desarrolla en base a los requerimientos de diseño del paquete estructural del camino, ya que en el diseño de paquete estructural es necesario conocer las propiedades del terreno de fundación.

2. Objetivos

2.1. Objetivo general

- Conocer las propiedades de los materiales del terreno del tramo Carlazo Centro – Carlazo Este, realizando los diferentes ensayos necesarios en laboratorio de suelos y realizando un análisis técnico, de tal manera que esta información, sea válida para tomar decisiones en el diseño del camino.

2.2. Objetivos específicos

- Realizar un recorrido por la zona y delimitar el terreno en base al reconocimiento visual de las propiedades del terreno.
- Extraer muestras del terreno y llevarlos a laboratorio para conocer sus propiedades.
- Realizar los ensayos necesarios para justificar el comportamiento del terreno.

3. Descripción del terreno en base al reconocimiento visual de sus propiedades

Para el reconocimiento del terreno nos respaldamos con el manual de ensayos del A.B.C. donde nos indica las diferencias entre gravas, arenas, limos y arcillas. En las gravas los granos no se apelmazan, aunque estén húmedos, son de diámetros mayor a 2 milímetros. En las arenas los granos se apelmazan si están húmedos, su tamaño está entre 0.06 a 2 milímetros. De los limos los terrones secos tienen cohesión apreciable, pero se reducen a polvo con los dedos, su tamaño está entre 0.002 a 0.06 milímetros. De las arcillas los terrones secos se pueden partir, pero no se pueden reducir a polvo con los dedos.

Tomando en cuenta de lo mencionado anterior el terreno es delimitado en tres tipos de suelos como se muestra en la imagen N°2, y con diferencias, como se muestra en la imagen N°1. El suelo de la imagen de posición a la izquierda está compuesto por grava y material fino, el material fino está pegado a las gravas y agarrando con los dedos si se desea desprender el material fino se hace dificultoso. El suelo de la imagen de posición al medio, está compuesto por arenas y material fino, el material fino está pegado a las partículas de la arena y agarrando con los dedos, si se desea desprender, el material fino también se hace dificultoso. El suelo de la imagen en posición a lado derecho, está compuesto por partículas finas, si se desea romper algunos de los terrenos con los dedos se dejan romper sin dificultad.

De esa manera se logra delimitar todo el tramo en solo tres tipos de suelos del cual se decide llevar tres muestras de cada tipo, al laboratorio de tal manera que se pueda conocer sus propiedades y poderlos clasificar según los métodos SUCS y AASHTO.

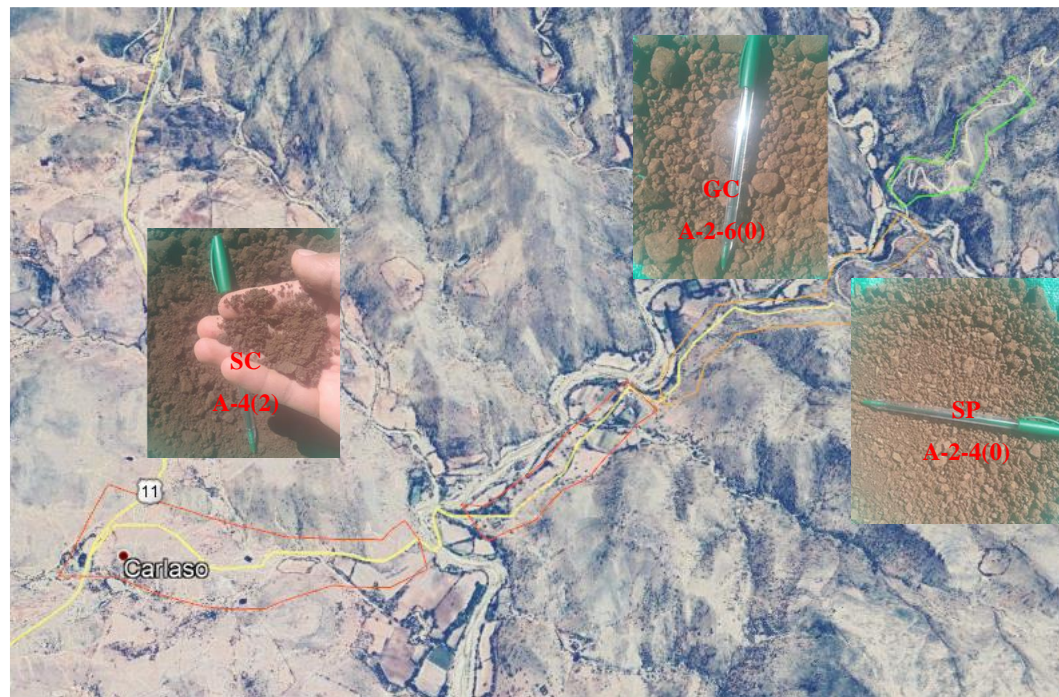
De las delimitaciones mostradas en la imagen N°2. el color rojo corresponde al tipo de suelo ubicado en la derecha, el color naranja corresponde al tipo de suelo mostrada a la izquierda y el color verde corresponde al suelo mostrado al medio de la imagen N°1. De esto vale destacar que en la imagen satelital de la misma es posible diferenciar los tipos de suelos por el color presentes en todo el tramo. El uso de la imagen satelital nos facilita a explicarlo de la existencia de los tres tipos de suelos mencionados.

Imagen N° 1. Diferencias de tres tipos de suelos



Fuente: Elaboración propia

Imagen N° 2. Reconocimiento visual de tipos de suelos



Fuente: Elaboración propia

4. Geotecnia

Los trabajos para el estudio geotécnico de campo se han dividido en dos partes: La primera en relación a los suelos delimitados de manera visual, se han obtenido muestras representativas a través de: calicatas, hasta profundidades no mayores de 1,5 metros. La segunda es de los ensayos realizados en laboratorio, estos ensayos son: la determinación de la distribución granulométrica de las partículas de suelo por la vía del tamizado, la determinación de los límites de Atterberg, la clasificación de los suelos por el Sistema Unificado de Suelos y Sistema AASHTO, el ensayo de compactación AASHTO T-180, y el ensayo del Valor de Soporte de California CBR.

5. Propiedades de los suelos

Las propiedades mostradas en el cuadro N°1, son resultados después de haber hecho los ensayos en laboratorio. El procedimiento de los cálculos de los ensayos mencionados se realizó con la ayuda del Excel, ver en anexos de estudio geotécnico.

Las propiedades de los suelos de subrasante son uno de los datos más importantes en el diseño de un pavimento. Estas propiedades siempre estarán presentes, aunque cambien mediante tratamientos especiales tales como estabilización, compactación, etc.

5.1. Clasificación de suelos

La clasificación de suelos es un indicador universalmente aceptado de las propiedades físicas de los suelos. La clasificación que mejor se adapta para reflejar las propiedades de un suelo como subrasante es la de la AASHTO. Sus variables de entrada son la granulometría y plasticidad.

En general un suelo, de acuerdo a su granulometría, se divide en:

- Grava: tamaño < 76.2 mm (3") hasta tamiz No. 10 (2 mm),
- Arena gruesa: tamaño < 2 mm, tamiz No. 10 hasta tamiz No. 40 (0.425 mm),
- Arena fina: tamaño < 0.425 mm tamiz No. 40 hasta tamiz No. 200 (0.075 mm),
- Limos y arcillas: tamaños menores de 0.075 mm (pasa tamiz 200).

Según AASHTO, un suelo fino es aquel que tiene más del 35 % que pasa el tamiz No. 200 y se denominan comúnmente: A-4; A-5; A-6 o A-7.

Dos suelos finos con granulometría muy similar pueden tener propiedades muy diferentes según su plasticidad, la que se analiza sobre la fracción que pasa el tamiz No 40. Esta propiedad se analiza con los límites de Atterberg (AASHTO T-89 y T-90) que son:

- Límite líquido o LL: porcentaje de humedad máximo que puede tener un suelo para poder ser amasado.
- Límite plástico o LP: porcentaje de humedad mínimo que puede tener un suelo para ser amasado.
- Límite de contracción o LS: porcentaje de humedad por debajo del cual el suelo no pierde más volumen.

En ingeniería vial interesan principalmente el LL y el LP, cuya diferencia es el índice de plasticidad, que indica la plasticidad del material o sea el rango de humedades dentro del cual el suelo puede ser amasado.

Resumiendo, se puede decir que para suelos gruesos la propiedad más importante es la granulometría, mientras que para suelos finos es la plasticidad.

5.2. Relación entre humedad y densidad

La relación entre humedad y densidad para un suelo compactado juega un papel muy importante en las propiedades del mismo, especialmente en cuanto a su resistencia y deformabilidad. Así se tienen los ensayos Proctor T-99 (estándar) y T-180 (modificado) que permiten determinar la humedad óptima, es decir la humedad a la que el suelo alcanza su densidad máxima y por lo tanto presenta sus mejores propiedades mecánicas. El valor de esta humedad óptima depende de la energía de compactación brindada al suelo, y en caso de incrementarse ésta, la humedad óptima será menor y la densidad seca máxima mayor.

Los suelos expansivos son aquellos en los que su volumen se incrementa a mayores contenidos de humedad y requieren especial atención. Para prevenir los potenciales

problemas asociados con este tipo de materiales, es importante que ellos no sean sobre compactados por el lado seco del porcentaje de humedad óptimo. Se recomienda que este tipo de suelos se compacten por el lado húmedo ligeramente en exceso de la humedad óptima determinada por el ensayo AASHTO T- 99, lo cual minimizará la probabilidad de hinchamiento.

5.3. Ensayos de resistencia para suelos de subrasante

Los ensayos destinados a medir la resistencia de un suelo frente a cargas dinámicas de tránsito son muy variados, siendo los más comunes:

- Relación de Valor Soporte California (CBR).
- Valor de resistencia de Hveem (Valor R).
- Ensayo de placa de carga (Valor k).
- Penetración dinámica con cono.
- Módulo resiliente.

5.3.1. Valor Soporte California

Mide la resistencia del suelo a la penetración de un pistón de 1935 mm^2 (3 pulg 2) de área de una probeta de 15 cm (6 pulg) de diámetro y 12.5 cm (5 pulg) de altura, con una velocidad de 1.27 mm/min (0.05pulg/min). La fuerza requerida para forzar el pistón dentro del suelo se mide a determinados intervalos de penetración. Estas fuerzas se comparan con las necesarias para producir iguales penetraciones en una muestra patrón que es una piedra partida bien graduada. El CBR es porcentaje y es, por definición:

$$\text{CBR} = \frac{\text{Carga que produce una penetración de } 2.5 \text{ mm en el suelo}}{\text{Carga que produce una penetración de } 2.5 \text{ mm en la muestra patrón}}$$

Los suelos finos son compactados a la humedad óptima antes de ser ensayados. Los suelos granulares se compactan a diferentes contenidos de humedad por encima y por debajo del óptimo. Las muestras se sumergen en agua durante 96 horas antes del ensayo para simular las condiciones de saturación y tener así los CBR en las condiciones más críticas. Se pueden agregar pesos a la superficie de la probeta para simular las sobrecargas debidas al peso del paquete estructural.

Dado que este ensayo es, por naturaleza arbitrario, tiene bastantes limitaciones, pero sus mayores ventajas son su simpleza y la gran cantidad de datos existentes y acumulados permiten una buena correlación.

5.4. Propiedades determinadas de los suelos encontrados en el tramo de diseño

Las muestras que han sido llevado a laboratorio, son de los puntos que se muestra en la siguiente imagen:

Imagen N° 3.Puntos de muestras llevadas a laboratorio



Fuente: Elaboración propia

Las 10 muestras se clasificaron a grupos de suelos como se muestra en el siguiente cuadro N°1. Donde las muestras, están enmarcadas en las filas, de color plomo, cada uno lleva su posición de acuerdo a la progresiva donde se encuentra. Por ejemplo, en la primera fila de color plomo y columna dos se encuentra, la primera muestra M1, que está en la progresiva 0+040.

Por otro lado, también es válido hacer conocer que en promedio están a distanciados de una muestra a otra, con una separación de 750 m, Puesto que, según Jacob C, indica “las exploraciones de los subsuelos deben ser taladrados a mano, calicatas y perforaciones a máquina, con toma de muestras de dichas exploraciones para efectuar ensayos de identificación”. Es decir, que no se encontró, una bibliografía que indique a qué distancias tomar las muestras. Si no llevar muestras para lograr clasificar los mismos.

Cuadro N° 1. Clasificación de las 10 muestras de suelos del tramo

| Propiedades | Muestra | Muestra | Muestra | Muestra |
|------------------------------------|-----------|-----------|------------|-----------|
| Clasificación de suelos | M1(0+040) | M2(1+140) | M3(2+090) | M4(2+660) |
| Grava (2-76 mm) % peso | 0.30 | 0.31 | 0.29 | 0.27 |
| Arena (0.075-2 mm) % peso | 53.91 | 53.65 | 53.83 | 53.87 |
| limo y arcillas (<0.075 mm) % peso | 45.79 | 46.04 | 45.89 | 45.86 |
| Limite liquido | 23 | 23 | 23 | 23 |
| Índice de plasticidad | 8 | 8 | 8 | 8 |
| Clasificación SUCS | SC | SC | SC | SC |
| Clasificación AASHTO | A-4(2) | A-4(2) | A-4(2) | A-4(2) |
| Clasificación de suelos | M5(3+320) | M6(4+100) | M7(5+300) | |
| Grava (2-76 mm) % peso | 44.64 | 44.48 | 44.69 | |
| Arena (0.075-2 mm) % peso | 37.13 | 37.11 | 37.16 | |
| limo y arcillas (<0.075 mm) % peso | 18.23 | 18.41 | 18.14 | |
| Limite liquido | 39 | 39 | 39 | |
| Índice de plasticidad | 18 | 20 | 18 | |
| Clasificación SUCS | GC | GC | GC | |
| Clasificación AASHTO | A-2-6(0) | A-2-6(0) | A-2-6(0) | |
| Clasificación de suelos | M8(5+870) | M9(6+350) | M10(6+790) | |
| Grava (2-76 mm) % peso | 10.56 | 10.78 | 10.76 | |
| Arena (0.075-2 mm) % peso | 85.12 | 84.72 | 84.88 | |
| limo y arcillas (<0.075 mm) % peso | 4.32 | 4.50 | 4.35 | |
| Limite liquido | 36 | 36 | 36 | |
| Índice de plasticidad | 10 | 10 | 7 | |
| Clasificación SUCS | SP | SP | SP | |
| Clasificación AASHTO | A-2-4(0) | A-2-4(0) | A-2-4(0) | |

Fuente: Elaboración propia

Como se puede apreciar la clasificación de suelos en el cuadro anterior, obedece a la clasificación visual hecha en campo, es decir la presencia de tres tipos de suelos, que, en el primer tramo, se encuentra la presencia de un suelo tipo SC arena arcillosa, segundo tramo de un suelo GC grava arcillosa y el último tramo de un suelo SP arena mal graduada con grava.

Una vez conocida la presencia de los tres tipos de suelos mencionados, se lleva a laboratorio la muestra M2, M6 y la M9, con el objetivo de lograr conocer sus propiedades de compactación T-180 y sus respectivos CBR. La muestra M2 representa al tramo 0+000 a 2+990; la M6 al tramo 2+990 – 5+500; M9 al tramo 5+500 – 7+012.

Lo mencionado se muestra en el siguiente cuadro:

Cuadro N° 2. Propiedades de los tres tipos de suelos del tramo de diseño

| Propiedades | Muestra | | |
|--|-----------------|-----------------|------------------|
| | M2 | M6 | M9 |
| Tramo al que representa la muestra | 0+000- 2+990 | 2+990- 5+500 | 5+500 - 7+012 |
| Clasificación de suelos | | | |
| Grava (2-76 mm) % peso | 0.31 | 44.48 | 10.78 |
| Arena (0.075-2 mm) % peso | 53.65 | 37.11 | 84.72 |
| limo y arcillas (<0.075 mm) % peso | 46.04 | 18.41 | 4.50 |
| Limite liquido | 23 | 39 | 36 |
| Índice de plasticidad | 8 | 20 | 10 |
| Clasificación SUCS | SC | GC | SP |
| Clasificación AASHTO | A-4(2) | A-2-6(0) | A-2-4(0) |
| Relación entre humedad y densidad | | | |
| Densidad máxima (gr/cm ³) | 1.99 | 2.00 | 1.96 |
| Humedad óptima (%) | 10.82 | 11.71 | 7.30 |
| Valores de resistencia de subrasante | | | |
| CBR al 100 % de la densidad máxima (%) | 25 | 37 | 29 |
| CBR al 95 % de la densidad máxima (%) | 23 | 34 | 26 |

Fuente: Elaboración propia

6. Tablas y figuras de referencia para caracterizar el suelo

Tabla N° 1. Clasificación y uso del suelo según el valor de CBR

| Clasificación y uso del suelo según el valor de CBR. | | |
|--|-------------------------------------|-------------|
| CBR | Clasificación cualitativa del suelo | Uso |
| 2-5 | Muy mala | Sub-rasante |
| 5-8 | Mala | Sub-rasante |
| 8-20 | Regular - Buena | Sub-rasante |
| 20-30 | Excelente | Sub-rasante |
| 30-60 | Buena | Sub-base |
| 60-80 | Buena | Base |
| 80-100 | Excelente | Base |

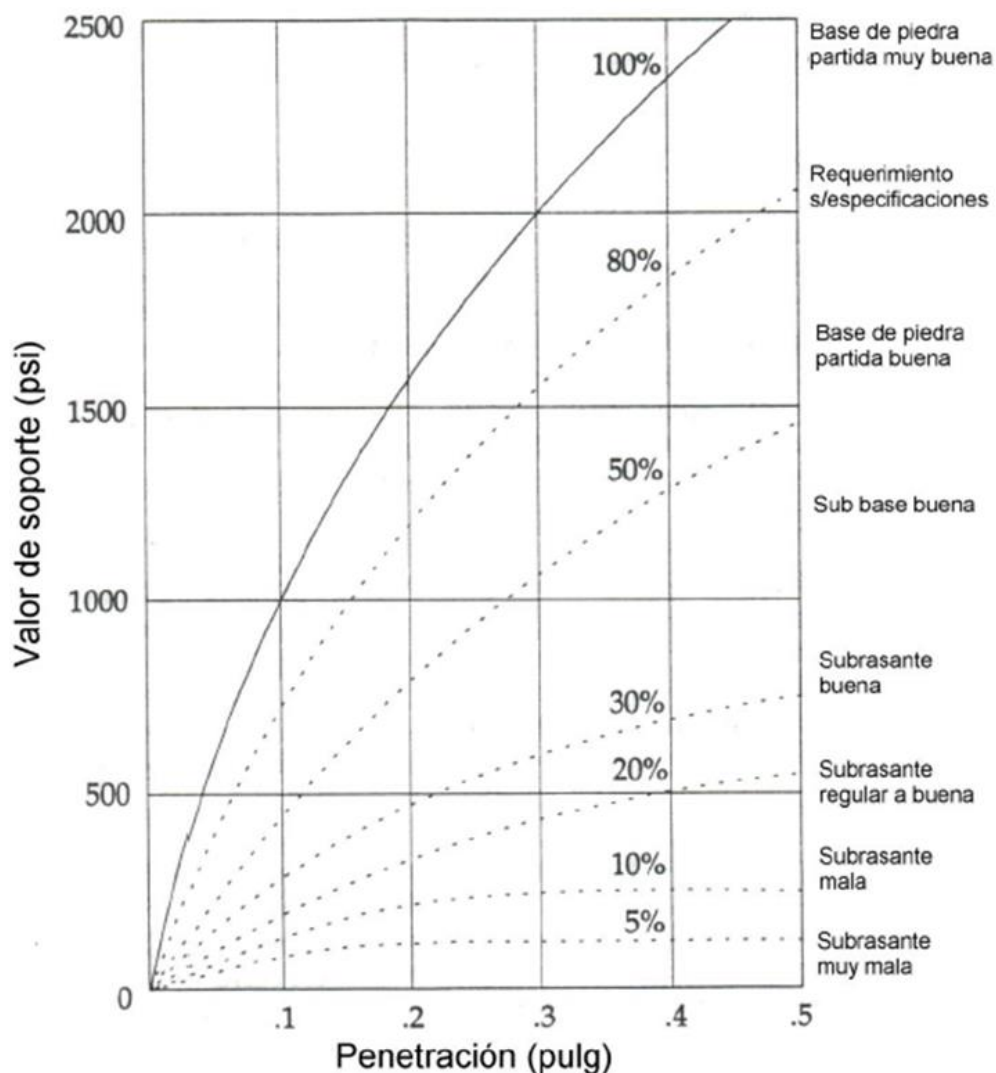
Fuente: Assis A 1988

Tabla N° 2. Características del suelo según el índice de plasticidad

| Características del suelo según el índice de plasticidad | |
|--|---------------------------|
| Índice de plasticidad | Características |
| IP > 20 | Suelos muy arcillosos |
| 20 > IP > 10 | Suelos arcillosos |
| 10 > IP > 4 | Suelos poco arcillosos |
| IP = 0 | Suelos exentos de arcilla |

Fuente: Manual de carreteras suelos, geología, geotecnia y pavimentos, Perú (2013)

Figura N° 1. Curvas de penetración CBR para distintos tipos de suelos



Fuente: Diseño de pavimentos (AASHTO -93) del IBCH

7. Comportamiento del suelo como suelo de fundación del camino

Conocida sus propiedades físicas y propiedades de resistencia de las muestras presentadas en el cuadro número 1 y 2, es momento de entrar a conocer su comportamiento del suelo como suelo de fundación.

El suelo de fundación o también llamado subrasante es la capa de terreno de una carretera que soporta la estructura del pavimento y que se extiende hasta una profundidad que no afecte la carga de diseño que corresponde al tránsito previsto. Esta capa puede estar formada en corte o relleno y una vez compactada debe tener las secciones transversales y pendientes especificadas en los planos finales de diseño.

Un suelo para sub rasante se caracteriza por ser muy mala al tener un CBR entre 2-5 %, mala por tener un CBR entre 5-8 %, regular a buena por tener un CBR entre 8-20 % y excelente por tener entre un CBR entre 20-30 %.

El índice de grupo es un valor entero positivo, comprendido entre 0 y 20 o más. Cuando el IG calculado es negativo, se reporta como cero. Un índice cero significa un suelo muy bueno y un índice igual o mayor a 20, un suelo no utilizable para carreteras. Por esta razón también lo tomamos como excelente al suelo de fundación.

Otro de las propiedades a tomar en cuenta para un suelo de fundación es la expansión. Para conocer el suelo si se trata de un suelo expansivo, es posible identificar en base al índice de plasticidad, siendo de expansión bajo aquel suelo que tiene un índice de plasticidad menor a 18 %, de expansión medio aquel que tiene un índice de plasticidad entre 15-28, de expansión alto aquel que tiene un índice de plasticidad entre 25-41, y de expansión muy alta es aquel que tiene índice de plasticidad mayor a 35 %.

De lo anterior concluimos que el suelo para trabajar como suelo de fundación tiene las condiciones apropiadas como ser: el CBR que varía entre 22-34 % clasificándose como excelente, el índice de grupo que varía entre 0-2 clasificados como muy buena y el índice de plasticidad que varía entre 8-20 % que tiene una expansión de bajo a medio.

8. Resultados de ensayos de laboratorio de suelos



GRANULOMETRÍA

Proyecto: DISEÑO DE INGENIERIA DEL TRAMO CARLAZO CENTRO - CARLAZO ESTE

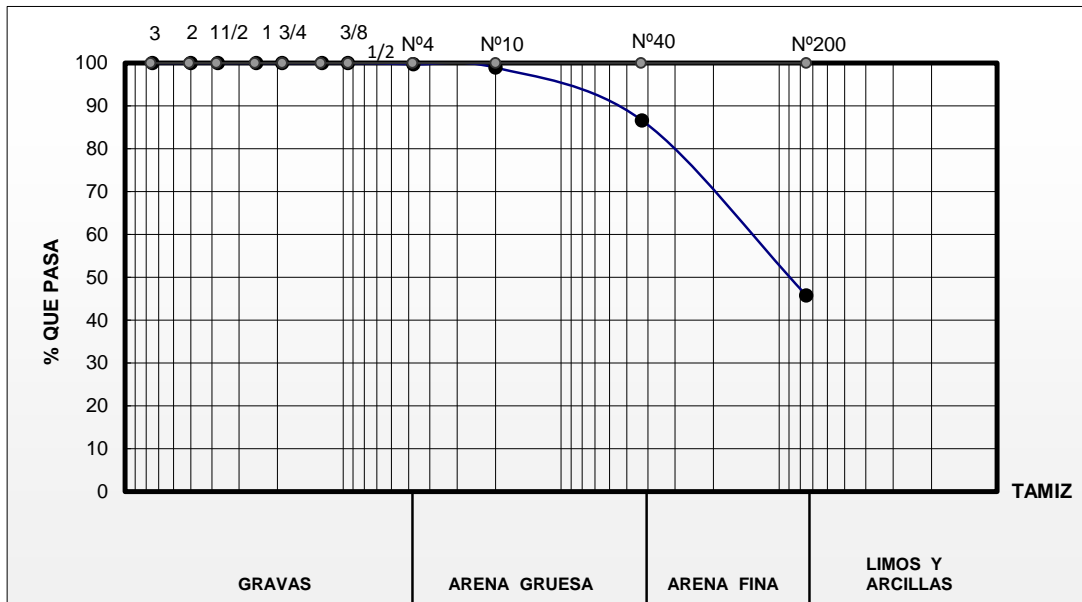
Solicitante: Dpto. de VIAS Y COMUNICACIONES

Fecha: 25/01/2021

Laboratoristas: Univ. BLADIMIR J. MARTINEZ MALLON

Identificación: MUESTRA 1

| Peso Total (gr.) | | | 500.1 | A.S.T.M. | |
|------------------|-------------|----------------|----------------|----------|----------------------|
| Tamices | Tamaño (mm) | Peso Ret. (gr) | Ret. Acum (gr) | % Ret | % Que Pasa del Total |
| 3" | 75 | 0.00 | 0.00 | 0.00 | 100.00 |
| 2" | 50 | 0 | 0.00 | 0.00 | 100.00 |
| 1 1/2" | 37.50 | 0 | 0.00 | 0.00 | 100.00 |
| 1" | 25.00 | 0 | 0.00 | 0.00 | 100.00 |
| 3/4" | 19.00 | 0 | 0.00 | 0.00 | 100.00 |
| 1/2" | 12.50 | 0 | 0.00 | 0.00 | 100.00 |
| 3/8" | 9.50 | 0 | 0.00 | 0.00 | 100.00 |
| Nº4 | 4.75 | 1.52 | 1.52 | 0.30 | 99.70 |
| Nº10 | 2.00 | 3.86 | 5.38 | 1.08 | 98.92 |
| Nº40 | 0.425 | 61.66 | 67.04 | 13.41 | 86.59 |
| Nº200 | 0.075 | 204.06 | 271.10 | 54.21 | 45.79 |



gravas = 0.30
arenas = 53.91
limo y arcilla : 45.79



LIMITES DE ATTERBERG

Proyecto: DISEÑO DE INGENIERIA DEL TRAMO CARLAZO CENTRO - CARLAZO ESTE

Solicitante: Dpto. de VIAS Y COMUNICACIONES

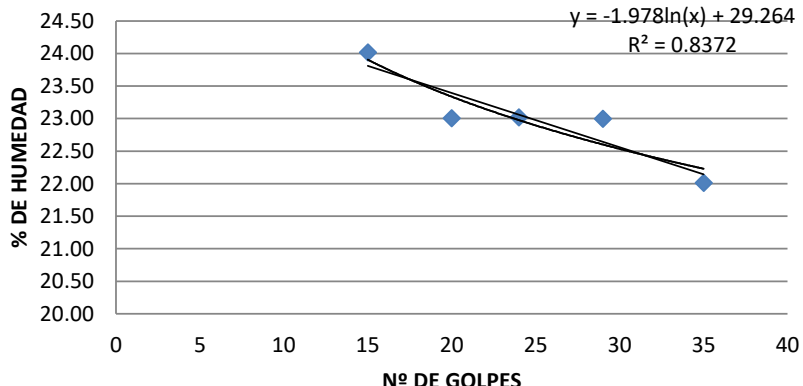
Fecha: 25/01/2021

Laboratoristas: Univ. BLADIMIR J. MARTINEZ MALLON

Identificación: MUESTRA 1

| Capsula Nº | 1 | 2 | 3 | 4 | 5 |
|------------------------|-------|-------|-------|-------|-------|
| Nº de golpes | 15 | 20 | 24 | 29 | 35 |
| Suelo Húmedo + Cápsula | 50.81 | 40.32 | 42.96 | 46.96 | 47.54 |
| Suelo Seco + Cápsula | 43.47 | 35.13 | 37.32 | 40.59 | 41.04 |
| Peso del agua | 7.34 | 5.19 | 5.64 | 6.37 | 6.5 |
| Peso de la Cápsula | 12.91 | 12.57 | 12.82 | 12.89 | 11.51 |
| Peso Suelo seco | 30.56 | 22.56 | 24.5 | 27.7 | 29.53 |
| Porcentaje de Humedad | 24.02 | 23.01 | 23.02 | 23.00 | 22.01 |

LIMITE LIQUIDO



Determinación de Límite Plástico

| Cápsula | 1 | 2 | 3 |
|--------------------------------|-------|-------|-------|
| Peso de suelo húmedo + Cápsula | 14.7 | 14.87 | 16.84 |
| Peso de suelo seco + Cápsula | 14.47 | 14.6 | 16.3 |
| Peso de cápsula | 12.91 | 12.83 | 12.67 |
| Peso de suelo seco | 1.56 | 1.77 | 3.63 |
| Peso del agua | 0.23 | 0.27 | 0.54 |
| Contenido de humedad | 14.74 | 15.25 | 14.88 |

| |
|----------------------------|
| Límite Líquido (LL) |
| 23 |
| Límite Plástico (LP) |
| 15 |
| Indice de plasticidad (IP) |
| 8 |
| Indice de Grupo (IG) |
| 2 |



GRANULOMETRÍA

Proyecto: DISEÑO DE INGENIERIA DEL TRAMO CARLAZO CENTRO - CARLAZO ESTE

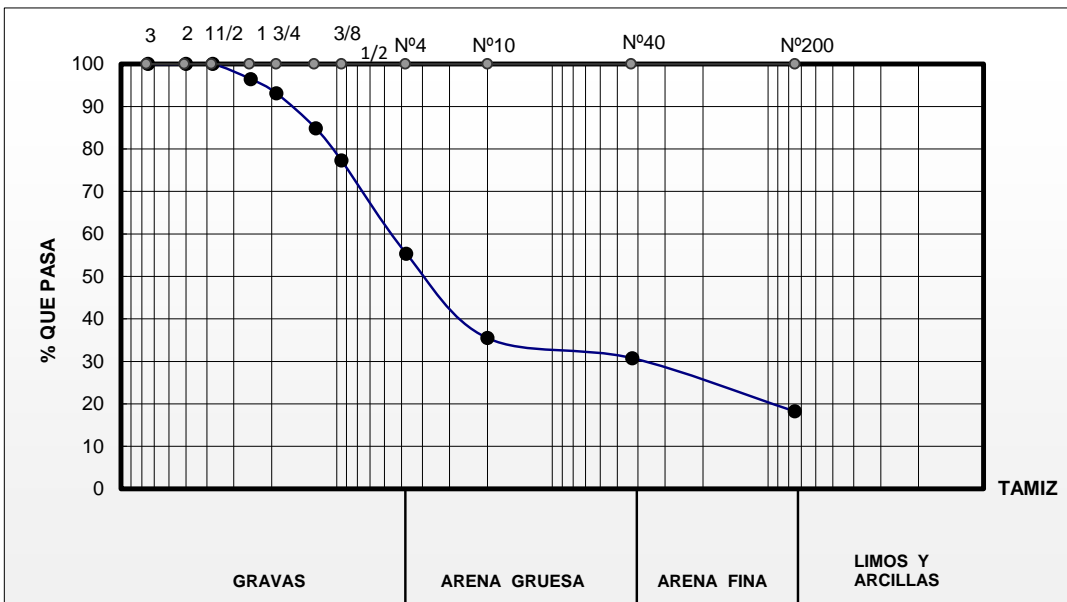
Solicitante: Dpto. de VIAS Y COMUNICACIONES

Fecha: 30/01/2021

Laboratoristas: Univ. BLADIMIR J. MARTINEZ MALLON

Identificación: MUESTRA 5

| Peso Total (gr.) | | | 3206.4 | A.S.T.M. | |
|------------------|-------------|----------------|----------------|----------|----------------------|
| Tamices | Tamaño (mm) | Peso Ret. (gr) | Ret. Acum (gr) | % Ret | % Que Pasa del Total |
| 3" | 75 | 0.00 | 0.00 | 0.00 | 100.00 |
| 2" | 50 | 0.00 | 0.00 | 0.00 | 100.00 |
| 1 1/2" | 37.50 | 0.00 | 0.00 | 0.00 | 100.00 |
| 1" | 25.00 | 114.00 | 114.00 | 3.56 | 96.44 |
| 3/4" | 19.00 | 107.40 | 221.40 | 6.90 | 93.10 |
| 1/2" | 12.50 | 263.40 | 484.80 | 15.12 | 84.88 |
| 3/8" | 9.50 | 243.36 | 728.16 | 22.71 | 77.29 |
| Nº4 | 4.75 | 703.13 | 1431.29 | 44.64 | 55.36 |
| Nº10 | 2.00 | 636.75 | 2068.04 | 64.50 | 35.50 |
| Nº40 | 0.425 | 152.30 | 2220.34 | 69.25 | 30.75 |
| Nº200 | 0.075 | 401.50 | 2621.84 | 81.77 | 18.23 |



gravas = 44.64
arenas = 37.13
limo y arcilla : 18.23

Univ. Bladimir Jhovany Martinez Mallon
LABORATORISTA

Ing. José Ricardo Arce Avendaño
RESP. LAB. SUELOS-TEC-U.A.J.M.S.

Nota: El laboratorio de suelos de la carrera de ingeniería civil, no se hace responsable de los datos obtenidos. Es netamente responsable el laboratorista.



LIMITES DE ATTERBERG

Proyecto: DISEÑO DE INGENIERIA DEL TRAMO CARLAZO CENTRO - CARLAZO ESTE

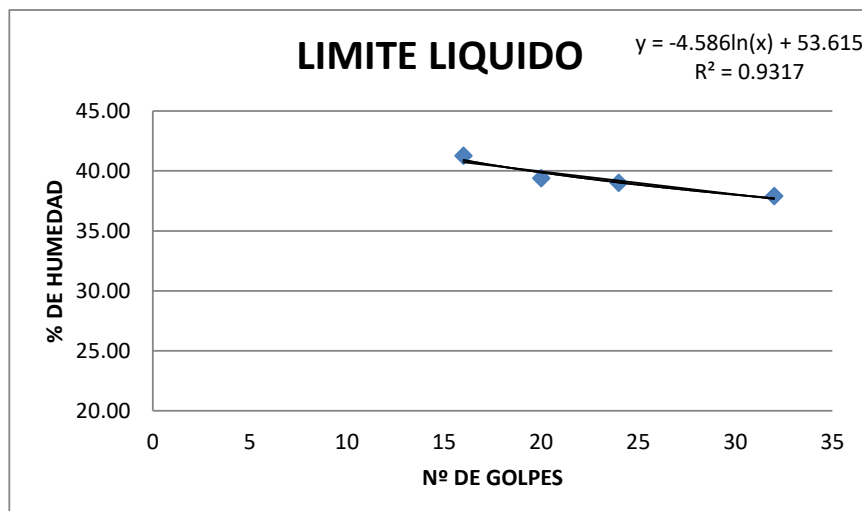
Solicitante: Dpto. de VIAS Y COMUNICACIONES

Fecha: 30/01/2021

Laboratoristas: Univ. BLADIMIR J. MARTINEZ MALLON

Identificación: MUESTRA 5

| Capsula N° | 1 | 2 | 3 | 4 |
|------------------------|-------|-------|----------|---------|
| Nº de golpes | 16 | 20 | 24 | 32 |
| Suelo Húmedo + Cápsula | 35.7 | 37.2 | 36.3 | 36.5 |
| Suelo Seco + Cápsula | 29.06 | 30.18 | 29.619 | 29.89 |
| Peso del agua | 6.67 | 7.03 | 6.65 | 6.58 |
| Peso de la Cápsula | 12.89 | 12.33 | 12.57 | 12.53 |
| Peso Suelo seco | 16.17 | 17.85 | 17.04914 | 17.3604 |
| Porcentaje de Humedad | 41.25 | 39.38 | 39.01 | 37.90 |



Determinación de Límite Plástico

| Cápsula | 1 | 2 | 3 |
|--------------------------------|-------|-------|-------|
| Peso de suelo húmedo + Cápsula | 16.24 | 17.33 | 18.4 |
| Peso de suelo seco + Cápsula | 15.6 | 16.42 | 17.45 |
| Peso de cápsula | 12.53 | 12.33 | 12.8 |
| Peso de suelo seco | 3.07 | 4.09 | 4.65 |
| Peso del agua | 0.64 | 0.91 | 0.95 |
| Contenido de humedad | 20.85 | 22.25 | 20.43 |

| |
|----------------------------|
| Límite Líquido (LL) |
| 39 |
| Límite Plástico (LP) |
| 21 |
| Índice de plasticidad (IP) |
| 18 |
| Índice de Grupo (IG) |
| 0 |



GRANULOMETRÍA

Proyecto: DISEÑO DE INGENIERIA DEL TRAMO CARLAZO CENTRO - CARLAZO ESTE

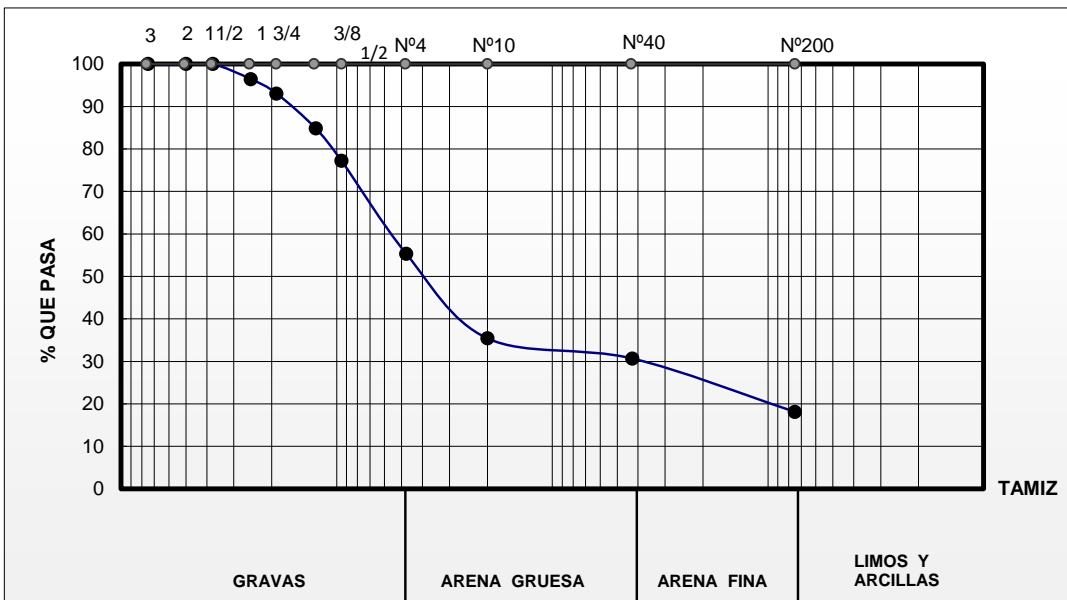
Solicitante: Dpto. de VIAS Y COMUNICACIONES

Fecha: 30/01/2021

Laboratoristas: Univ. BLADIMIR J. MARTINEZ MALLON

Identificación: MUESTRA 7

| Peso Total (gr.) | | | 3204.7 | A.S.T.M. | |
|------------------|-------------|----------------|----------------|----------|----------------------|
| Tamices | Tamaño (mm) | Peso Ret. (gr) | Ret. Acum (gr) | % Ret | % Que Pasa del Total |
| 3" | 75 | 0.00 | 0.00 | 0.00 | 100.00 |
| 2" | 50 | 0.00 | 0.00 | 0.00 | 100.00 |
| 1 1/2" | 37.50 | 0.00 | 0.00 | 0.00 | 100.00 |
| 1" | 25.00 | 113.79 | 113.79 | 3.55 | 96.45 |
| 3/4" | 19.00 | 108.62 | 222.41 | 6.94 | 93.06 |
| 1/2" | 12.50 | 262.97 | 485.38 | 15.15 | 84.85 |
| 3/8" | 9.50 | 244.01 | 729.39 | 22.76 | 77.24 |
| Nº4 | 4.75 | 702.89 | 1432.28 | 44.69 | 55.31 |
| Nº10 | 2.00 | 637.05 | 2069.33 | 64.57 | 35.43 |
| Nº40 | 0.425 | 152.44 | 2221.77 | 69.33 | 30.67 |
| Nº200 | 0.075 | 401.47 | 2623.24 | 81.86 | 18.14 |



gravas = 44.69
arenas = 37.16
limo y arcilla : 18.14



LIMITES DE ATTERBERG

Proyecto: DISEÑO DE INGENIERIA DEL TRAMO CARLAZO CENTRO - CARLAZO ESTE

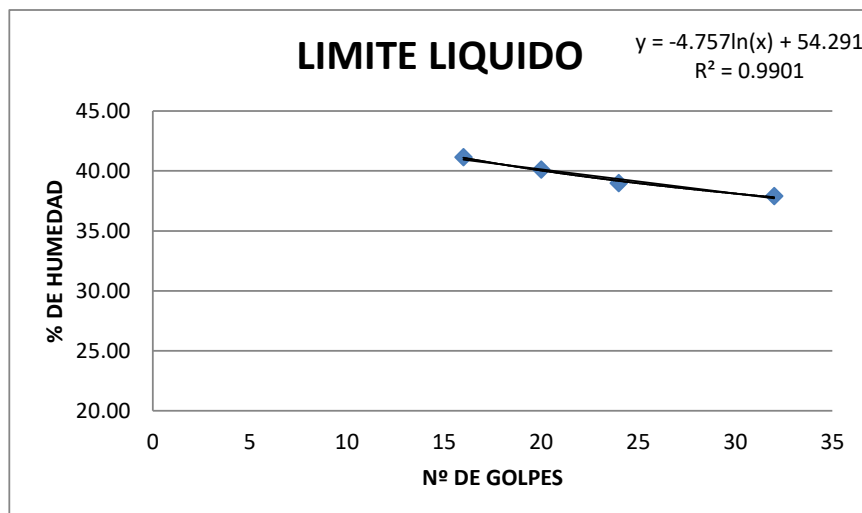
Solicitante: Dpto. de VIAS Y COMUNICACIONES

Fecha: 30/01/2021

Laboratoristas: Univ. BLADIMIR J. MARTINEZ MALLON

Identificación: MUESTRA 7

| Capsula N° | 1 | 2 | 3 | 4 |
|------------------------|-------|-------|-------|-------|
| Nº de golpes | 16 | 20 | 24 | 32 |
| Suelo Húmedo + Cápsula | 36.45 | 37.54 | 39.42 | 36.78 |
| Suelo Seco + Cápsula | 29.44 | 30.4 | 31.95 | 30.06 |
| Peso del agua | 7.01 | 7.14 | 7.47 | 6.72 |
| Peso de la Cápsula | 12.4 | 12.6 | 12.78 | 12.33 |
| Peso Suelo seco | 17.04 | 17.8 | 19.17 | 17.73 |
| Porcentaje de Humedad | 41.14 | 40.11 | 38.97 | 37.90 |



Determinación de Límite Plástico

| Cápsula | 1 | 2 | 3 |
|--------------------------------|-------|-------|-------|
| Peso de suelo húmedo + Cápsula | 16.14 | 17.04 | 18.38 |
| Peso de suelo seco + Cápsula | 15.54 | 16.19 | 17.42 |
| Peso de cápsula | 12.68 | 12.4 | 12.7 |
| Peso de suelo seco | 2.86 | 3.79 | 4.72 |
| Peso del agua | 0.60 | 0.85 | 0.96 |
| Contenido de humedad | 20.98 | 22.43 | 20.34 |

| |
|----------------------------|
| Límite Líquido (LL) |
| 39 |
| Límite Plástico (LP) |
| 21 |
| Índice de plasticidad (IP) |
| 18 |
| Índice de Grupo (IG) |
| 0 |



GRANULOMETRÍA

Proyecto: DISEÑO DE INGENIERIA DEL TRAMO CARLAZO CENTRO - CARLAZO ESTE

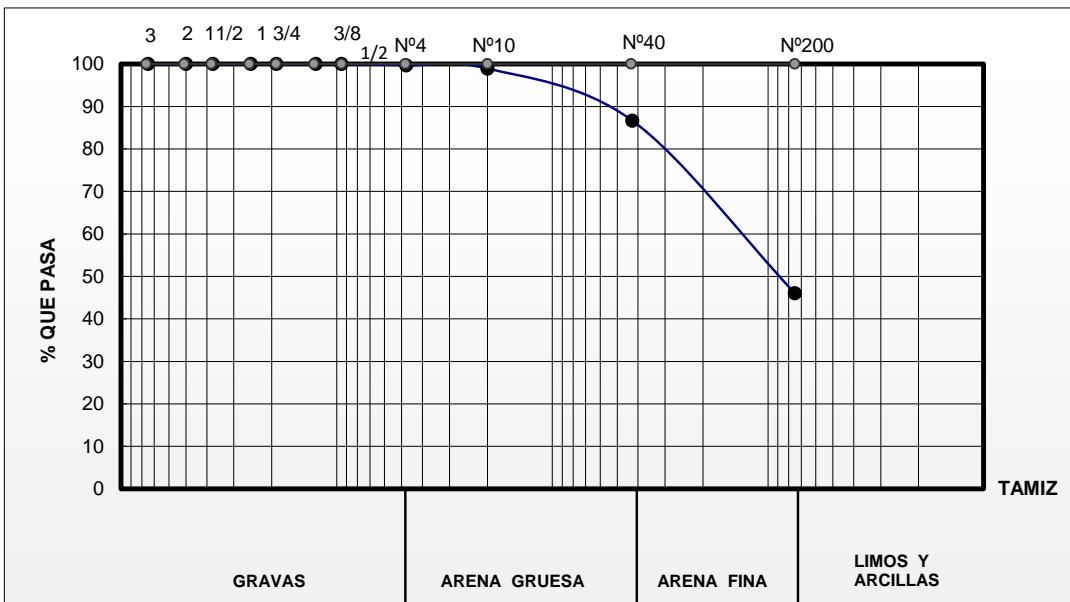
Solicitante: Dpto. de VIAS Y COMUNICACIONES

Fecha: 25/01/2021

Laboratoristas: Univ. BLADIMIR J. MARTINEZ MALLON

Identificación: MUESTRA 2

| Peso Total (gr.) | | | 500.03 | A.S.T.M. | |
|------------------|-------------|----------------|----------------|----------|----------------------|
| Tamices | Tamaño (mm) | Peso Ret. (gr) | Ret. Acum (gr) | % Ret | % Que Pasa del Total |
| 3" | 75 | 0.00 | 0.00 | 0.00 | 100.00 |
| 2" | 50 | 0 | 0.00 | 0.00 | 100.00 |
| 1 1/2" | 37.50 | 0 | 0.00 | 0.00 | 100.00 |
| 1" | 25.00 | 0 | 0.00 | 0.00 | 100.00 |
| 3/4" | 19.00 | 0 | 0.00 | 0.00 | 100.00 |
| 1/2" | 12.50 | 0 | 0.00 | 0.00 | 100.00 |
| 3/8" | 9.50 | 0 | 0.00 | 0.00 | 100.00 |
| Nº4 | 4.75 | 1.56 | 1.56 | 0.31 | 99.69 |
| Nº10 | 2.00 | 3.75 | 5.31 | 1.06 | 98.94 |
| Nº40 | 0.425 | 61.44 | 66.75 | 13.35 | 86.65 |
| Nº200 | 0.075 | 203.08 | 269.83 | 53.96 | 46.04 |



$$\begin{aligned} \text{gravas} &= 0.31 \\ \text{arenas} &= 53.65 \\ \text{lomo y arcilla} &: 46.04 \end{aligned}$$



LIMITES DE ATTERBERG

Proyecto: DISEÑO DE INGENIERIA DEL TRAMO CARLAZO CENTRO - CARLAZO ESTE

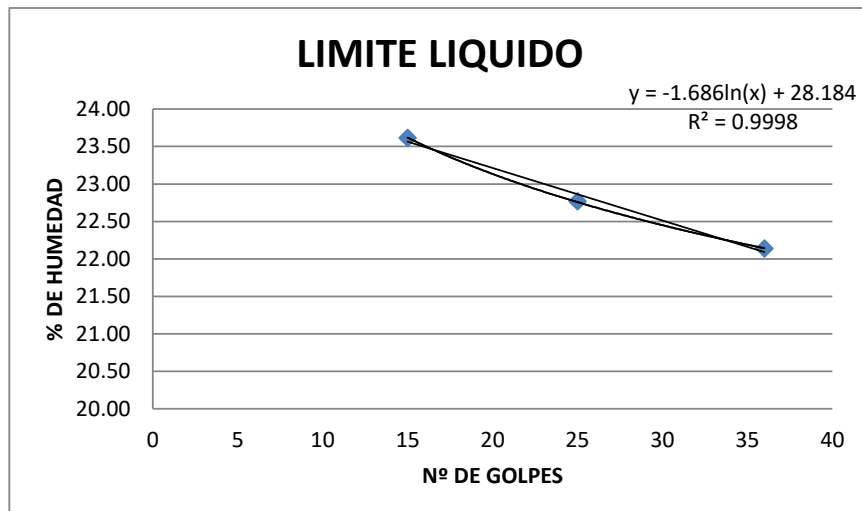
Solicitante: Dpto. de VIAS Y COMUNICACIONES

Fecha: 25/01/2021

Laboratoristas: Univ. BLADIMIR J. MARTINEZ MALLON

Identificación: MUESTRA 2

| Capsula N° | 1 | 2 | 3 |
|------------------------|-------|-------|-------|
| Nº de golpes | 15 | 25 | 36 |
| Suelo Húmedo + Cápsula | 50.8 | 40.3 | 43.0 |
| Suelo Seco + Cápsula | 43.57 | 35.22 | 37.26 |
| Peso del agua | 7.24 | 5.1 | 5.7 |
| Peso de la Cápsula | 12.91 | 12.82 | 11.51 |
| Peso Suelo seco | 30.66 | 22.4 | 25.75 |
| Porcentaje de Humedad | 23.61 | 22.77 | 22.14 |



Determinación de Límite Plástico

| Cápsula | 1 | 2 | 3 |
|--------------------------------|-------|-------|-------|
| Peso de suelo húmedo + Cápsula | 14.68 | 14.81 | 15.31 |
| Peso de suelo seco + Cápsula | 14.4 | 14.57 | 14.98 |
| Peso de cápsula | 12.49 | 12.92 | 12.73 |
| Peso de suelo seco | 1.91 | 1.65 | 2.25 |
| Peso del agua | 0.28 | 0.24 | 0.33 |
| Contenido de humedad | 14.66 | 14.55 | 14.67 |

| |
|----------------------------|
| Límite Líquido (LL) |
| 23 |
| Límite Plástico (LP) |
| 15 |
| Índice de plasticidad (IP) |
| 8 |
| Índice de Grupo (IG) |
| 2 |



GRANULOMETRÍA

Proyecto: DISEÑO DE INGENIERIA DEL TRAMO CARLAZO CENTRO - CARLAZO ESTE

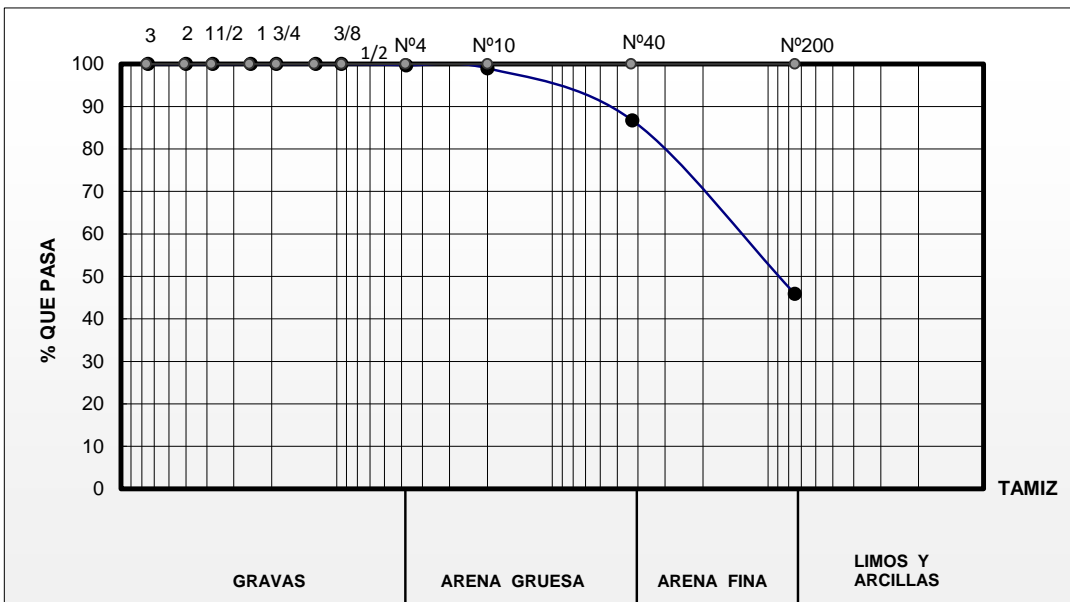
Solicitante: Dpto. de VIAS Y COMUNICACIONES

Fecha: 25/01/2021

Laboratoristas: Univ. BLADIMIR J. MARTINEZ MALLON

Identificación: MUESTRA 3

| Peso Total (gr.) | | | 500.08 | A.S.T.M. | |
|------------------|-------------|----------------|----------------|----------|----------------------|
| Tamices | Tamaño (mm) | Peso Ret. (gr) | Ret. Acum (gr) | % Ret | % Que Pasa del Total |
| 3" | 75 | 0.00 | 0.00 | 0.00 | 100.00 |
| 2" | 50 | 0 | 0.00 | 0.00 | 100.00 |
| 1 1/2" | 37.50 | 0 | 0.00 | 0.00 | 100.00 |
| 1" | 25.00 | 0 | 0.00 | 0.00 | 100.00 |
| 3/4" | 19.00 | 0 | 0.00 | 0.00 | 100.00 |
| 1/2" | 12.50 | 0 | 0.00 | 0.00 | 100.00 |
| 3/8" | 9.50 | 0 | 0.00 | 0.00 | 100.00 |
| Nº4 | 4.75 | 1.43 | 1.43 | 0.29 | 99.71 |
| Nº10 | 2.00 | 3.64 | 5.07 | 1.01 | 98.99 |
| Nº40 | 0.425 | 61.37 | 66.44 | 13.29 | 86.71 |
| Nº200 | 0.075 | 204.17 | 270.61 | 54.11 | 45.89 |



gravas = 0.29
arenas = 53.83
limo y arcilla : 45.89

Univ. Bladimir Jhovany Martinez Mallon
LABORATORISTA

Ing. José Ricardo Arce Avendaño
RESP. LAB. SUELOS-TEC-U.A.J.M.S.

Nota: El laboratorio de suelos de la carrera de ingeniería civil, no se hace responsable de los datos obtenidos. Es netamente responsable el laboratorista.



LIMITES DE ATTERBERG

Proyecto: DISEÑO DE INGENIERIA DEL TRAMO CARLAZO CENTRO - CARLAZO ESTE

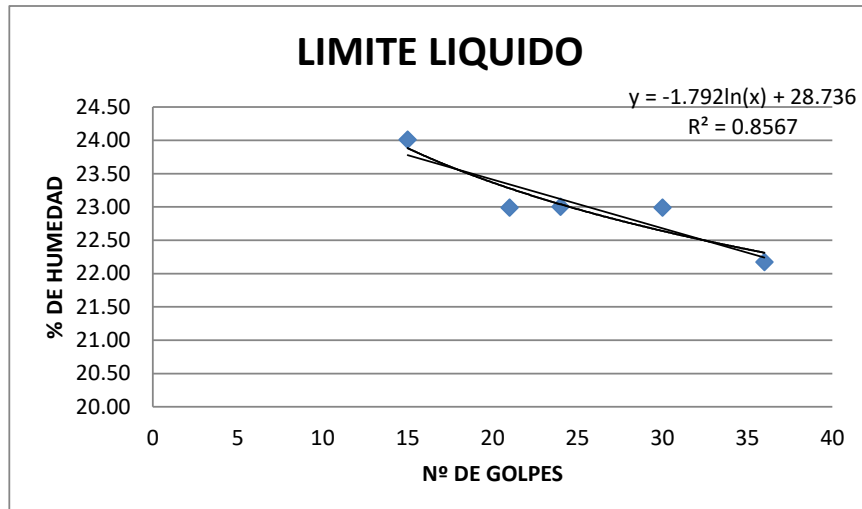
Solicitante: Dpto. de VIAS Y COMUNICACIONES

Fecha: 25/01/2021

Laboratoristas: Univ. BLADIMIR J. MARTINEZ MALLON

Identificación: MUESTRA 3

| Capsula N° | 1 | 2 | 3 | 4 | 5 |
|------------------------|-------|-------|-------|-------|-------|
| Nº de golpes | 15 | 21 | 24 | 30 | 36 |
| Suelo Húmedo + Cápsula | 50.63 | 44.32 | 44.96 | 47.56 | 47.06 |
| Suelo Seco + Cápsula | 43.31 | 38.44 | 38.95 | 41.08 | 40.77 |
| Peso del agua | 7.32 | 5.88 | 6.01 | 6.48 | 6.29 |
| Peso de la Cápsula | 12.82 | 12.86 | 12.82 | 12.89 | 12.4 |
| Peso Suelo seco | 30.49 | 25.58 | 26.13 | 28.19 | 28.37 |
| Porcentaje de Humedad | 24.01 | 22.99 | 23.00 | 22.99 | 22.17 |



Determinación de Límite Plástico

| Cápsula | 1 | 2 | 3 |
|--------------------------------|-------|-------|-------|
| Peso de suelo húmedo + Cápsula | 15.18 | 17.4 | 16.72 |
| Peso de suelo seco + Cápsula | 14.88 | 16.79 | 16.15 |
| Peso de cápsula | 12.86 | 12.82 | 12.34 |
| Peso de suelo seco | 2.02 | 3.97 | 3.81 |
| Peso del agua | 0.30 | 0.61 | 0.57 |
| Contenido de humedad | 14.85 | 15.37 | 14.96 |

| |
|----------------------------|
| Límite Líquido (LL) |
| 23 |
| Límite Plástico (LP) |
| 15 |
| Índice de plasticidad (IP) |
| 8 |
| Índice de Grupo (IG) |
| 2 |



GRANULOMETRÍA

Proyecto: DISEÑO DE INGENIERIA DEL TRAMO CARLAZO CENTRO - CARLAZO ESTE

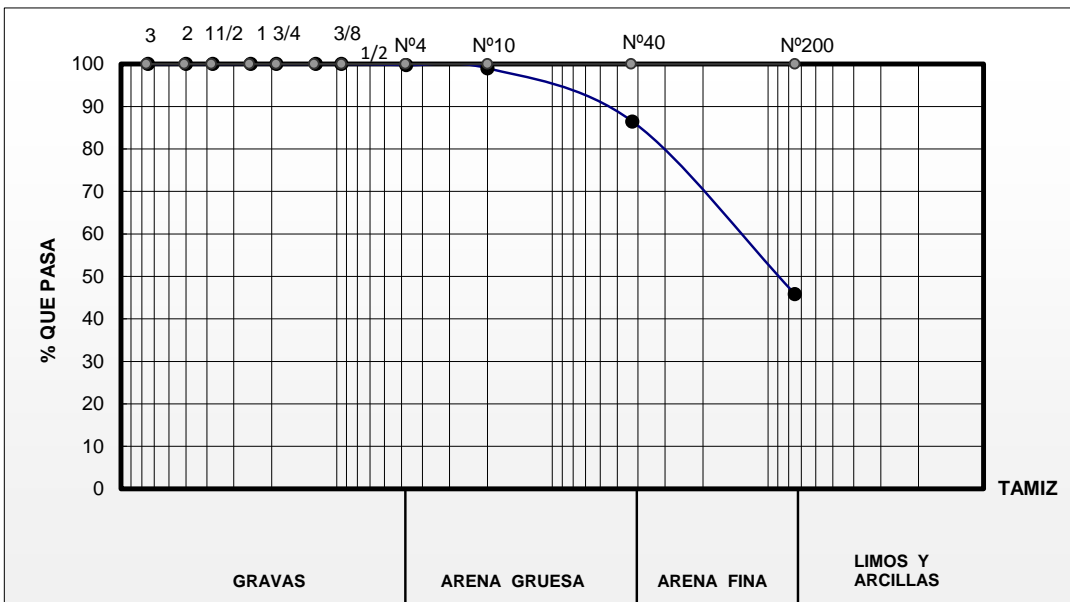
Solicitante: Dpto. de VIAS Y COMUNICACIONES

Fecha: 25/01/2021

Laboratoristas: Univ. BLADIMIR J. MARTINEZ MALLON

Identificación: MUESTRA 4

| Peso Total (gr.) | | | 500.06 | A.S.T.M. | |
|------------------|-------------|----------------|----------------|----------|----------------------|
| Tamices | Tamaño (mm) | Peso Ret. (gr) | Ret. Acum (gr) | % Ret | % Que Pasa del Total |
| 3" | 75 | 0.00 | 0.00 | 0.00 | 100.00 |
| 2" | 50 | 0 | 0.00 | 0.00 | 100.00 |
| 1 1/2" | 37.50 | 0 | 0.00 | 0.00 | 100.00 |
| 1" | 25.00 | 0 | 0.00 | 0.00 | 100.00 |
| 3/4" | 19.00 | 0 | 0.00 | 0.00 | 100.00 |
| 1/2" | 12.50 | 0 | 0.00 | 0.00 | 100.00 |
| 3/8" | 9.50 | 0 | 0.00 | 0.00 | 100.00 |
| Nº4 | 4.75 | 1.33 | 1.33 | 0.27 | 99.73 |
| Nº10 | 2.00 | 3.66 | 4.99 | 1.00 | 99.00 |
| Nº40 | 0.425 | 62.66 | 67.65 | 13.53 | 86.47 |
| Nº200 | 0.075 | 203.07 | 270.72 | 54.14 | 45.86 |



$$\begin{aligned} \text{gravas} &= 0.27 \\ \text{arenas} &= 53.87 \\ \text{lomo y arcilla} &: 45.86 \end{aligned}$$



LIMITES DE ATTERBERG

Proyecto: DISEÑO DE INGENIERIA DEL TRAMO CARLAZO CENTRO - CARLAZO ESTE

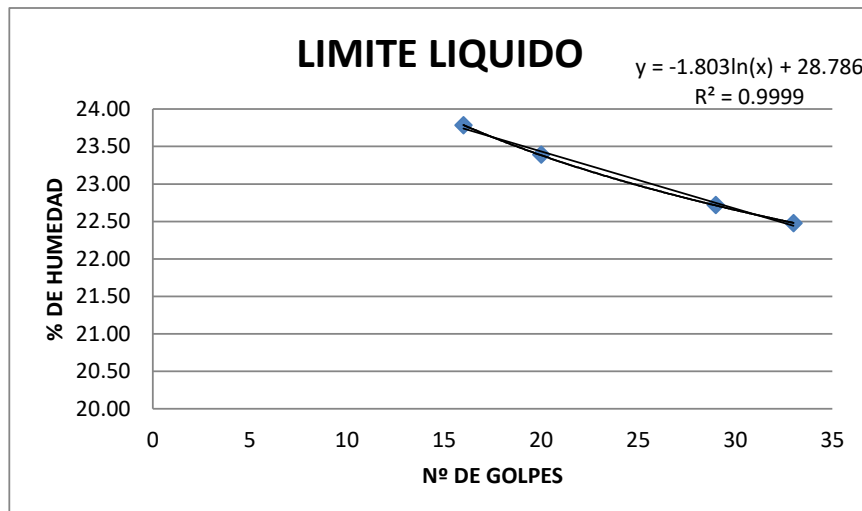
Solicitante: Dpto. de VIAS Y COMUNICACIONES

Fecha: 25/01/2021

Laboratoristas: Univ. BLADIMIR J. MARTINEZ MALLON

Identificación: MUESTRA 4

| Capsula N° | 1 | 2 | 3 | 4 |
|------------------------|-------|-------|-------|-------|
| Nº de golpes | 16 | 20 | 29 | 33 |
| Suelo Húmedo + Cápsula | 48.63 | 63.4 | 54.2 | 53.65 |
| Suelo Seco + Cápsula | 41.75 | 53.82 | 46.54 | 46.17 |
| Peso del agua | 6.88 | 9.58 | 7.66 | 7.48 |
| Peso de la Cápsula | 12.82 | 12.86 | 12.82 | 12.89 |
| Peso Suelo seco | 28.93 | 40.96 | 33.72 | 33.28 |
| Porcentaje de Humedad | 23.78 | 23.39 | 22.72 | 22.48 |



Determinación de Límite Plástico

| Cápsula | 1 | 2 | 3 |
|--------------------------------|-------|-------|-------|
| Peso de suelo húmedo + Cápsula | 15.14 | 17.16 | 16.34 |
| Peso de suelo seco + Cápsula | 14.84 | 16.62 | 15.82 |
| Peso de cápsula | 12.91 | 12.89 | 12.4 |
| Peso de suelo seco | 1.93 | 3.73 | 3.42 |
| Peso del agua | 0.30 | 0.54 | 0.52 |
| Contenido de humedad | 15.54 | 14.48 | 15.20 |

| |
|----------------------------|
| Límite Líquido (LL) |
| 23 |
| Límite Plástico (LP) |
| 15 |
| Índice de plasticidad (IP) |
| 8 |
| Índice de Grupo (IG) |
| 2 |



GRANULOMETRÍA

Proyecto: DISEÑO DE INGENIERIA DEL TRAMO CARLAZO CENTRO - CARLAZO ESTE

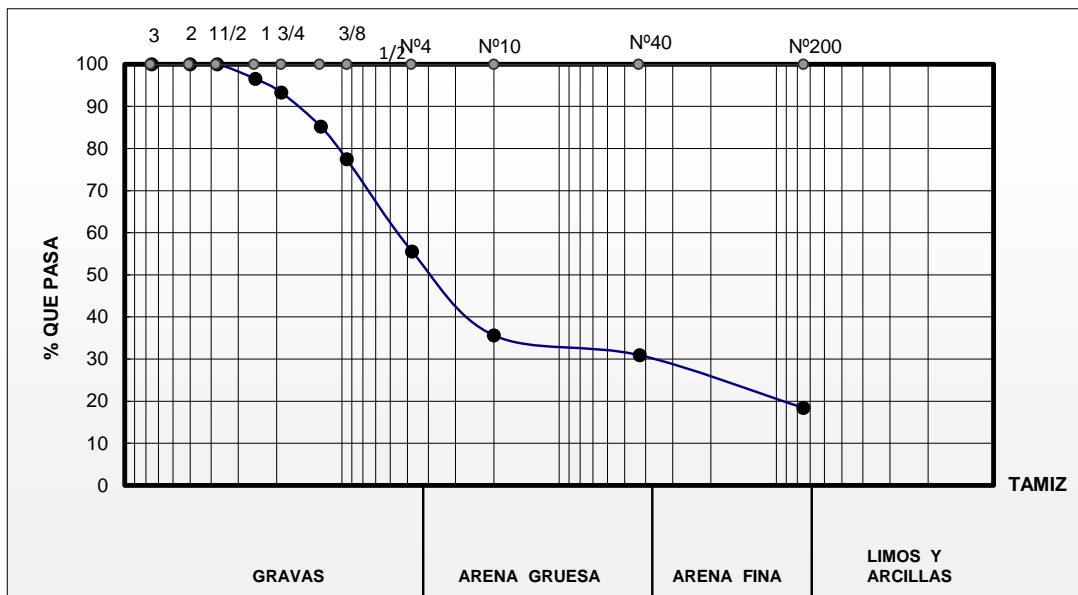
Solicitante: Dpto. de VIAS Y COMUNICACIONES

Fecha: 30/01/2021

Laboratoristas: Univ. BLADIMIR J. MARTINEZ MALLON

Identificación: MUESTRA 6

| Peso Total (gr.) | | | 3208.4 | A.S.T.M. | |
|------------------|-------------|----------------|----------------|----------|----------------------|
| Tamices | Tamaño (mm) | Peso Ret. (gr) | Ret. Acum (gr) | % Ret | % Que Pasa del Total |
| 3" | 75 | 0.00 | 0.00 | 0.00 | 100.00 |
| 2" | 50 | 0.00 | 0.00 | 0.00 | 100.00 |
| 1 1/2" | 37.50 | 0.00 | 0.00 | 0.00 | 100.00 |
| 1" | 25.00 | 111.84 | 111.84 | 3.49 | 96.51 |
| 3/4" | 19.00 | 104.24 | 216.08 | 6.73 | 93.27 |
| 1/2" | 12.50 | 259.31 | 475.39 | 14.82 | 85.18 |
| 3/8" | 9.50 | 248.63 | 724.02 | 22.57 | 77.43 |
| Nº4 | 4.75 | 703.13 | 1427.15 | 44.48 | 55.52 |
| Nº10 | 2.00 | 637.94 | 2065.09 | 64.37 | 35.63 |
| Nº40 | 0.425 | 151.91 | 2217.00 | 69.10 | 30.90 |
| Nº200 | 0.075 | 400.73 | 2617.73 | 81.59 | 18.41 |



gravas = 44.48
arenas = 37.11
limo y arcilla = 18.41



LIMITES DE ATTERBERG

Proyecto: DISEÑO DE INGENIERIA DEL TRAMO CARLAZO CENTRO - CARLAZO ESTE

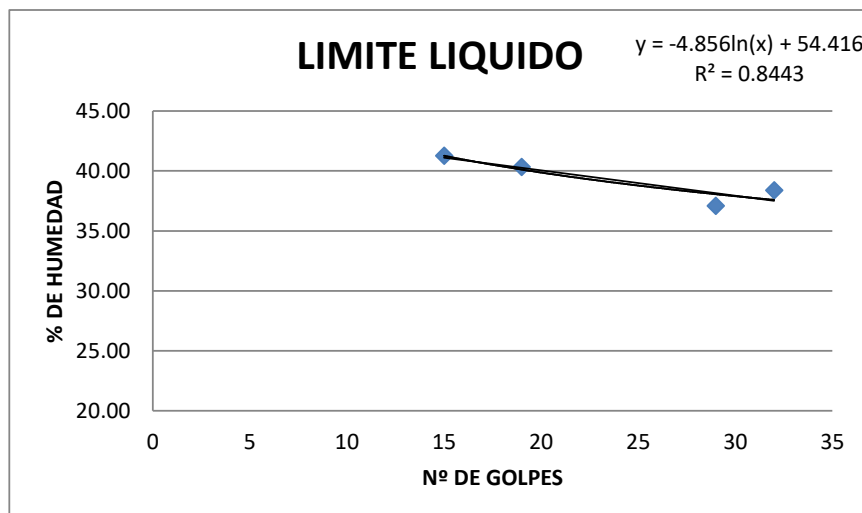
Solicitante: Dpto. de VIAS Y COMUNICACIONES

Fecha: 30/01/2021

Laboratoristas: Univ. BLADIMIR J. MARTINEZ MALLON

Identificación: MUESTRA 6

| Capsula N° | 1 | 2 | 3 | 4 |
|------------------------|-------|-------|-------|-------|
| Nº de golpes | 15 | 19 | 29 | 32 |
| Suelo Húmedo + Cápsula | 35.73 | 37.21 | 36.27 | 36.47 |
| Suelo Seco + Cápsula | 29.06 | 30.06 | 29.86 | 29.83 |
| Peso del agua | 6.67 | 7.15 | 6.41 | 6.64 |
| Peso de la Cápsula | 12.89 | 12.33 | 12.57 | 12.53 |
| Peso Suelo seco | 16.17 | 17.73 | 17.29 | 17.3 |
| Porcentaje de Humedad | 41.25 | 40.33 | 37.07 | 38.38 |



Determinación de Límite Plástico

| Cápsula | 1 | 2 | 3 |
|--------------------------------|-------|-------|-------|
| Peso de suelo húmedo + Cápsula | 14.24 | 14.21 | 13.26 |
| Peso de suelo seco + Cápsula | 13.93 | 13.87 | 13.11 |
| Peso de cápsula | 12.24 | 12.35 | 12.15 |
| Peso de suelo seco | 1.69 | 1.52 | 0.96 |
| Peso del agua | 0.31 | 0.34 | 0.15 |
| Contenido de humedad | 18.34 | 22.37 | 15.63 |

| |
|----------------------------|
| Límite Líquido (LL) |
| 39 |
| Límite Plástico (LP) |
| 19 |
| Indice de plasticidad (IP) |
| 20 |
| Indice de Grupo (IG) |
| 0 |



GRANULOMETRÍA

Proyecto: DISEÑO DE INGENIERIA DEL TRAMO CARLAZO CENTRO - CARLAZO ESTE

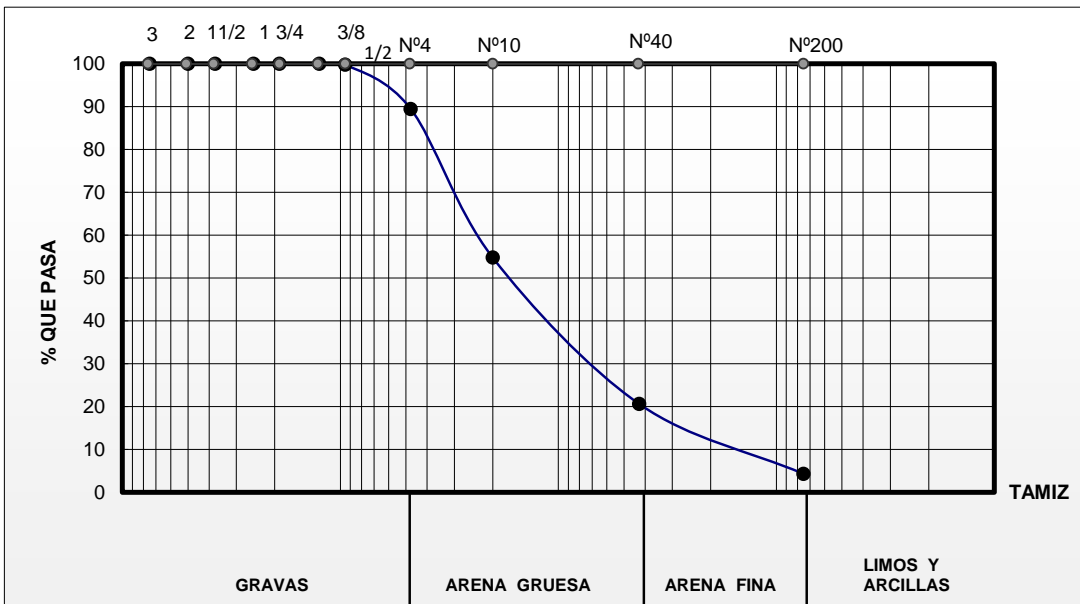
Solicitante: Dpto. de VIAS Y COMUNICACIONES

Fecha: 11/02/2021

Laboratoristas: Univ. BLADIMIR J. MARTINEZ MALLON

Identificación: MUESTRA 8

| Peso Total (gr.) | | | 3500 | A.S.T.M. | |
|------------------|-------------|----------------|----------------|----------|----------------------|
| Tamices | Tamaño (mm) | Peso Ret. (gr) | Ret. Acum (gr) | % Ret | % Que Pasa del Total |
| 3" | 75 | 0.00 | 0.00 | 0.00 | 100.00 |
| 2" | 50 | 0 | 0.00 | 0.00 | 100.00 |
| 1 1/2" | 37.50 | 0 | 0.00 | 0.00 | 100.00 |
| 1" | 25.00 | 0 | 0.00 | 0.00 | 100.00 |
| 3/4" | 19.00 | 0 | 0.00 | 0.00 | 100.00 |
| 1/2" | 12.50 | 0 | 0.00 | 0.00 | 100.00 |
| 3/8" | 9.50 | 7.32 | 7.32 | 0.21 | 99.79 |
| Nº4 | 4.75 | 362.44 | 369.76 | 10.56 | 89.44 |
| Nº10 | 2.00 | 1213 | 1582.76 | 45.22 | 54.78 |
| Nº40 | 0.425 | 1196.2 | 2778.96 | 79.40 | 20.60 |
| Nº200 | 0.075 | 570 | 3348.96 | 95.68 | 4.32 |



gravas = 10.56
arenas = 85.12
limo y arcilla : 4.32



LIMITES DE ATTERBERG

Proyecto: DISEÑO DE INGENIERIA DEL TRAMO CARLAZO CENTRO - CARLAZO ESTE

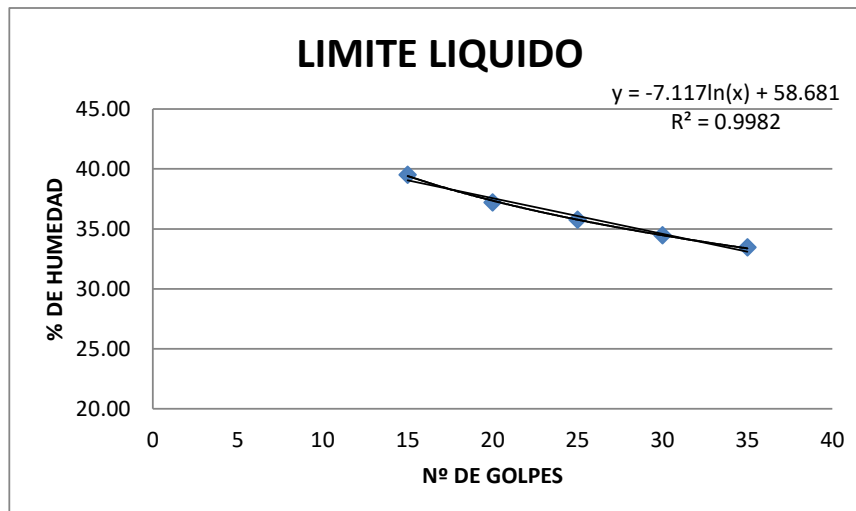
Solicitante: Dpto. de VIAS Y COMUNICACIONES

Fecha: 11/02/2021

Laboratoristas: Univ. BLADIMIR J. MARTINEZ MALLON

Identificación: MUESTRA 8

| Capsula N° | 1 | 2 | 3 | 4 | 5 |
|------------------------|-------|-------|-------|-------|-------|
| Nº de golpes | 15 | 20 | 25 | 30 | 35 |
| Suelo Húmedo + Cápsula | 37.92 | 34.13 | 42.87 | 40.41 | 43.2 |
| Suelo Seco + Cápsula | 30.74 | 28.37 | 34.78 | 33.19 | 35.42 |
| Peso del agua | 7.18 | 5.76 | 8.09 | 7.22 | 7.78 |
| Peso de la Cápsula | 12.57 | 12.89 | 12.15 | 12.24 | 12.16 |
| Peso Suelo seco | 18.17 | 15.48 | 22.63 | 20.95 | 23.26 |
| Porcentaje de Humedad | 39.52 | 37.21 | 35.75 | 34.46 | 33.45 |



Determinación de Límite Plástico

| Cápsula | 1 | 2 | 3 |
|--------------------------------|-------|-------|-------|
| Peso de suelo húmedo + Cápsula | 14.18 | 14.48 | 14.66 |
| Peso de suelo seco + Cápsula | 13.8 | 14 | 14.19 |
| Peso de cápsula | 12.17 | 12.47 | 12.15 |
| Peso de suelo seco | 1.63 | 1.53 | 2.04 |
| Peso del agua | 0.38 | 0.48 | 0.47 |
| Contenido de humedad | 23.31 | 31.37 | 23.04 |

| |
|----------------------------|
| Límite Líquido (LL) |
| 36 |
| Límite Plástico (LP) |
| 26 |
| Índice de plasticidad (IP) |
| 10 |
| Índice de Grupo (IG) |
| 0 |



GRANULOMETRÍA

Proyecto: DISEÑO DE INGENIERIA DEL TRAMO CARLAZO CENTRO - CARLAZO ESTE

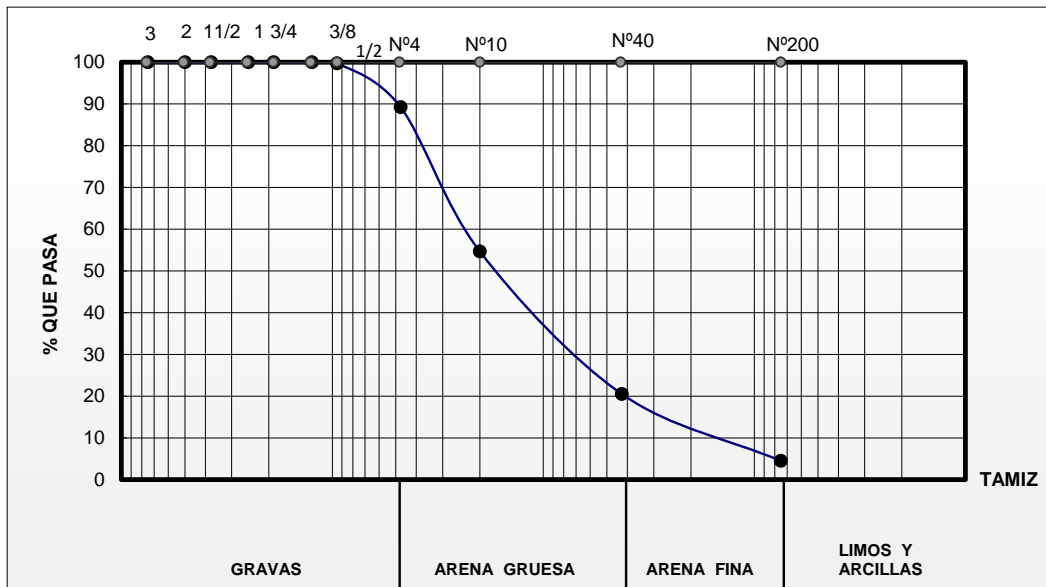
Solicitante: Dpto. de VIAS Y COMUNICACIONES

Fecha: 11/02/2021

Laboratoristas: Univ. BLADIMIR J. MARTINEZ MALLON

Identificación: MUESTRA 9

| Peso Total (gr.) | | | 3500 | A.S.T.M. | |
|------------------|-------------|----------------|----------------|----------|----------------------|
| Tamices | Tamaño (mm) | Peso Ret. (gr) | Ret. Acum (gr) | % Ret | % Que Pasa del Total |
| 3" | 75 | 0.00 | 0.00 | 0.00 | 100.00 |
| 2" | 50 | 0 | 0.00 | 0.00 | 100.00 |
| 1 1/2" | 37.50 | 0 | 0.00 | 0.00 | 100.00 |
| 1" | 25.00 | 0 | 0.00 | 0.00 | 100.00 |
| 3/4" | 19.00 | 0 | 0.00 | 0.00 | 100.00 |
| 1/2" | 12.50 | 0 | 0.00 | 0.00 | 100.00 |
| 3/8" | 9.50 | 8.9 | 8.90 | 0.25 | 99.75 |
| Nº4 | 4.75 | 368.3 | 377.20 | 10.78 | 89.22 |
| Nº10 | 2.00 | 1210.1 | 1587.30 | 45.35 | 54.65 |
| Nº40 | 0.425 | 1195.2 | 2782.50 | 79.50 | 20.50 |
| Nº200 | 0.075 | 560 | 3342.50 | 95.50 | 4.50 |



gravas = 10.78
arenas = 84.72
limo y arcilla : 4.50



LIMITES DE ATTERBERG

Proyecto: DISEÑO DE INGENIERIA DEL TRAMO CARLAZO CENTRO - CARLAZO ESTE

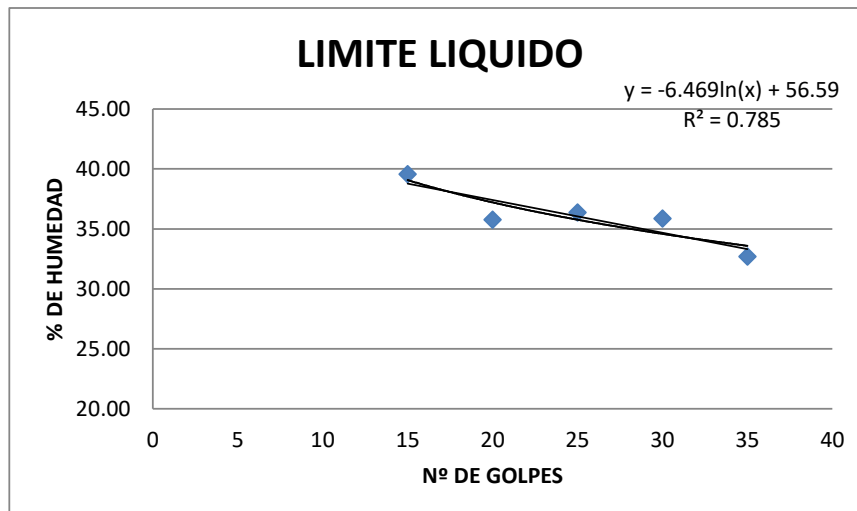
Solicitante: Dpto. de VIAS Y COMUNICACIONES

Fecha: 11/02/2021

Laboratoristas: Univ. BLADIMIR J. MARTINEZ MALLON

Identificación: MUESTRA 9

| Capsula N° | 1 | 2 | 3 | 4 | 5 |
|------------------------|-------|-------|-------|-------|-------|
| Nº de golpes | 15 | 20 | 25 | 30 | 35 |
| Suelo Húmedo + Cápsula | 38.4 | 33.3 | 41.6 | 41.3 | 39.9 |
| Suelo Seco + Cápsula | 31.2 | 27.9 | 34 | 34.2 | 33.2 |
| Peso del agua | 7.2 | 5.4 | 7.6 | 7.1 | 6.7 |
| Peso de la Cápsula | 13 | 12.8 | 13.1 | 14.4 | 12.7 |
| Peso Suelo seco | 18.2 | 15.1 | 20.9 | 19.8 | 20.5 |
| Porcentaje de Humedad | 39.56 | 35.76 | 36.36 | 35.86 | 32.68 |



Determinación de Límite Plástico

| Cápsula | 1 | 2 | 3 |
|--------------------------------|-------|-------|-------|
| Peso de suelo húmedo + Cápsula | 14.3 | 14.7 | 14.4 |
| Peso de suelo seco + Cápsula | 14 | 14.2 | 14.1 |
| Peso de cápsula | 12.7 | 12.6 | 12.8 |
| Peso de suelo seco | 1.30 | 1.60 | 1.30 |
| Peso del agua | 0.30 | 0.50 | 0.30 |
| Contenido de humedad | 23.08 | 31.25 | 23.08 |

| |
|----------------------------|
| Límite Líquido (LL) |
| 36 |
| Límite Plástico (LP) |
| 26 |
| Indice de plasticidad (IP) |
| 10 |
| Indice de Grupo (IG) |
| 0 |



GRANULOMETRÍA

Proyecto: DISEÑO DE INGENIERIA DEL TRAMO CARLAZO CENTRO - CARLAZO ESTE

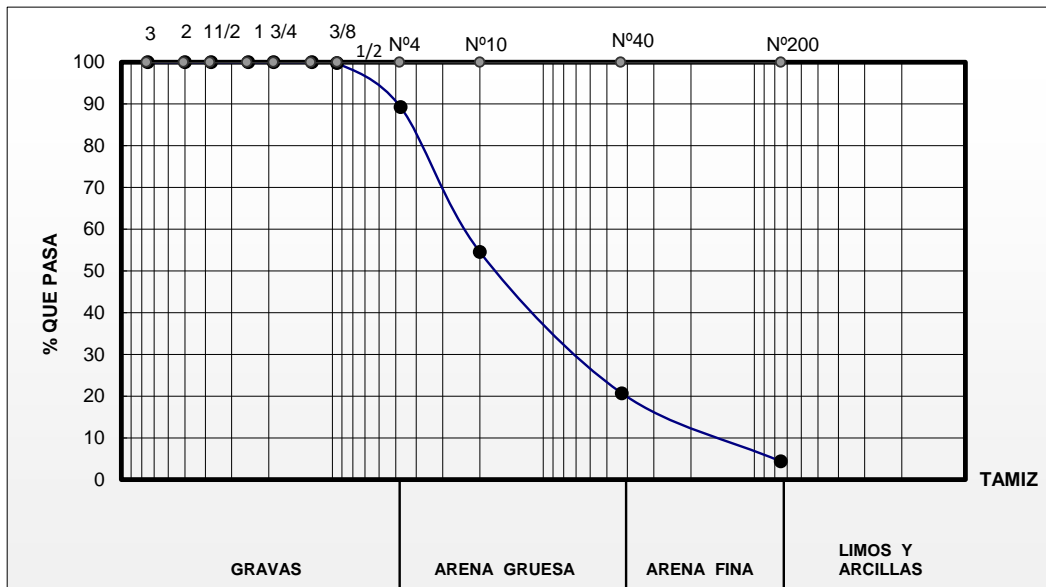
Solicitante: Dpto. de VIAS Y COMUNICACIONES

Fecha: 11/02/2021

Laboratoristas: Univ. BLADIMIR J. MARTINEZ MALLON

Identificación: MUESTRA 10

| Peso Total (gr.) | | | 3500 | A.S.T.M. | |
|------------------|-------------|----------------|----------------|----------|----------------------|
| Tamices | Tamaño (mm) | Peso Ret. (gr) | Ret. Acum (gr) | % Ret | % Que Pasa del Total |
| 3" | 75 | 0.00 | 0.00 | 0.00 | 100.00 |
| 2" | 50 | 0 | 0.00 | 0.00 | 100.00 |
| 1 1/2" | 37.50 | 0 | 0.00 | 0.00 | 100.00 |
| 1" | 25.00 | 0 | 0.00 | 0.00 | 100.00 |
| 3/4" | 19.00 | 0 | 0.00 | 0.00 | 100.00 |
| 1/2" | 12.50 | 0 | 0.00 | 0.00 | 100.00 |
| 3/8" | 9.50 | 7.34 | 7.34 | 0.21 | 99.79 |
| Nº4 | 4.75 | 369.4 | 376.74 | 10.76 | 89.24 |
| Nº10 | 2.00 | 1214.18 | 1590.92 | 45.45 | 54.55 |
| Nº40 | 0.425 | 1184.76 | 2775.68 | 79.31 | 20.69 |
| Nº200 | 0.075 | 572 | 3347.68 | 95.65 | 4.35 |



gravas = 10.76
arenas = 84.88
limo y arcilla : 4.35



LIMITES DE ATTERBERG

Proyecto: DISEÑO DE INGENIERIA DEL TRAMO CARLAZO CENTRO - CARLAZO ESTE

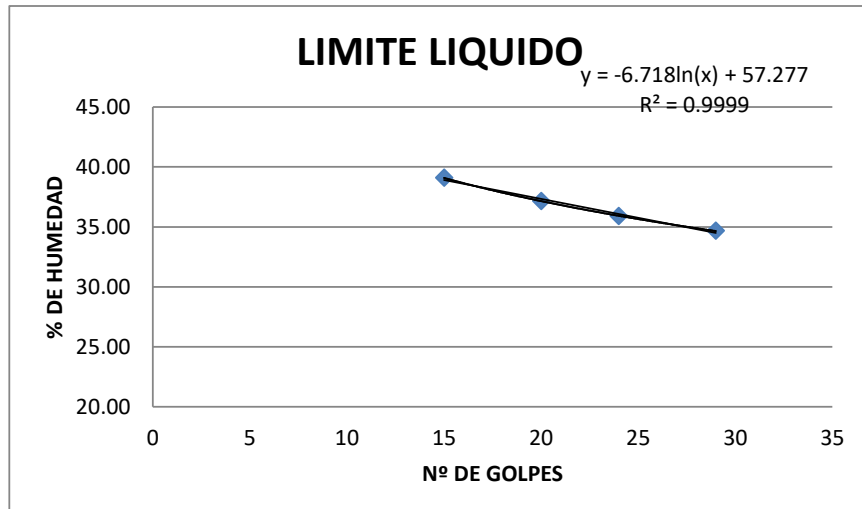
Solicitante: Dpto. de VIAS Y COMUNICACIONES

Fecha: 11/02/2021

Laboratoristas: Univ. BLADIMIR J. MARTINEZ MALLON

Identificación: MUESTRA 10

| Capsula N° | 1 | 2 | 3 | 4 |
|------------------------|-------|-------|-------|-------|
| Nº de golpes | 15 | 20 | 24 | 29 |
| Suelo Húmedo + Cápsula | 39.2 | 36.4 | 39.6 | 39.9 |
| Suelo Seco + Cápsula | 32.23 | 29.98 | 32.52 | 33 |
| Peso del agua | 6.97 | 6.42 | 7.08 | 6.9 |
| Peso de la Cápsula | 14.4 | 12.7 | 12.8 | 13.1 |
| Peso Suelo seco | 17.83 | 17.28 | 19.72 | 19.9 |
| Porcentaje de Humedad | 39.09 | 37.15 | 35.90 | 34.67 |



Determinación de Límite Plástico

| Cápsula | 1 | 2 | 3 |
|--------------------------------|-------|-------|-------|
| Peso de suelo húmedo + Cápsula | 14.17 | 15.32 | 14.84 |
| Peso de suelo seco + Cápsula | 13.8 | 14.7 | 14.34 |
| Peso de cápsula | 12.6 | 12.14 | 12.69 |
| Peso de suelo seco | 1.20 | 2.56 | 1.65 |
| Peso del agua | 0.37 | 0.62 | 0.50 |
| Contenido de humedad | 30.83 | 24.22 | 30.30 |

| |
|----------------------------|
| Límite Líquido (LL) |
| 36 |
| Límite Plástico (LP) |
| 28 |
| Índice de plasticidad (IP) |
| 7 |
| Índice de Grupo (IG) |
| 0 |

PARÁMETROS DE DISEÑO GEOMÉTRICO

1. Categorización de la vía

El tramo “Carlazo Centro- Carlazo Este” es de categoría: camino de desarrollo rural según el manual de la administradora boliviana de carreteras 2007. La categoría es de acuerdo a la cantidad de tráfico proyectado y principalmente a la topografía de cada uno de los tramos, ya que está dada para las condiciones del alineamiento tanto en lo horizontal como en lo vertical.

Tipo de terreno. - el tipo de terreno que se presenta a lo largo de la vía es terreno ondulado fuerte a montañoso, debido a que se presentan tramos donde la pendiente fluctúa entre 3 a 6 % y otros donde la rasante presenta pendientes sostenidas entre 4 y 12 %.

2. Parámetros de diseño geométrico

2.1. Velocidad de proyecto. (V_p)

Es la velocidad de proyecto permite definir las características geométricas mínimas de los elementos del trazado bajo condiciones de seguridad y comodidad, para el presente proyecto se establece una velocidad de proyecto 30 km/hr, esto debido a que se trata de un camino de categoría de desarrollo y el tipo de terreno que presenta es de terreno ondulado fuerte a montañoso, según se especifica en el manual de diseño geométrico de A.B.C.

2.2. Radio mínimo. (R_{min})

El radio mínimo se define en función de la velocidad del proyecto y bajo criterios de seguridad ante el deslizamiento y se calcula con la siguiente formula.

$$R_{min} = \frac{V_p^2}{127 \cdot (e_{max} + f)}$$

Donde:

V_p = Velocidad de proyecto, en km/hr.

f = coeficiente de fricción entre la llanta y el pavimento.

e_{max} = Peralte máximo, en m/m.

R_{min} = 24.850 m.

2.3. Pendiente de la vía.

2.3.1. Pendiente máxima.

La pendiente máxima admisible de la rasante para el proyecto se define según la siguiente tabla.

Tabla Nº 1. Pendientes máximas admisibles [%]

| Categoría | Velocidad de proyecto (km/hr) | | | | | | | | | |
|------------|-------------------------------|------|----|----|----|----|----|-----|-----|-----|
| | ≤ 30 | 40 | 50 | 60 | 70 | 80 | 90 | 100 | 110 | 120 |
| Desarrollo | 10-12 | 10-9 | 9 | - | - | - | - | - | - | - |
| Local | - | 9 | 9 | 8 | 8 | - | - | - | - | - |
| Colector | - | - | - | 8 | 8 | 8 | - | - | - | - |
| Primario | - | - | - | - | - | 6 | 5 | 4,5 | - | - |
| Autorutas | - | - | - | - | - | 6 | 5 | 4,5 | - | - |
| Autopistas | - | - | - | - | - | 5 | - | 4,5 | - | 4 |

Fuente: Manual de diseño geométrico A.B.C.

La pendiente máxima admisible para el camino en desarrollo y velocidad de proyecto es igual a $i_{max} = 12\%$. Y de 30 km/hr.

2.3.2. Pendiente mínima

La fijación de pendientes longitudinales mínimas tiene por objeto asegurar un eficiente escurrimiento de las aguas superficiales sobre la calzada.

En general, es deseable que en los casos de secciones en corte o mixtas la carretera tenga una pequeña pendiente longitudinal, por lo menos del orden del 0.5%.

Por estos motivos se asume una pendiente mínima de $i_{min} = 0.5\%$.

2.4. Distancia mínima de visibilidad de frenado

La distancia de frenado sobre una alineación recta de pendiente uniforme, se calcula mediante la siguiente expresión según el A.B.C.

$$d_f = \frac{V \cdot t}{3.6} + \frac{V^2}{254 \cdot (f_1 + i)}$$

Donde:

Velocidad de proyecto. $V_p = 30 \text{ Km/hr.}$

Coeficiente de roce rodante, pavimento húmedo. $F_1 = 0.420$

Tiempo de percepción + reacción. $T = 2 \text{ Seg.}$

Pendiente longitudinal. $I = 0.040 \text{ m/m.}$

Entonces la distancia de visibilidad de frenado es igual a $d_f = 25 \text{ m.}$

2.5. Distancia de visibilidad de adelantamiento

La distancia de visibilidad mínima de adelantamiento se define según la siguiente tabla.

Tabla N° 2. Distancia mínima de adelantamiento

| V_p (km/hr) | Distancia mínima de adelantamiento (m) |
|------------------|--|
| 30 | 180 |
| 40 | 240 |
| 50 | 300 |
| 60 | 370 |
| 70 | 440 |
| 80 | 500 |
| 90 | 550 |
| 100 | 600 |

Fuente: Manual de diseño geométrico A.B.C.

La distancia mínima de visibilidad de adelantamiento para una velocidad de proyecto de 30 km/hr es de $D_{\text{pasar}} = 180 \text{ m.}$

2.6. Elección del parámetro A de las clotoides

Existen al menos cuatro criterios que determinan la elección del parámetro de una clotoide usada como curva de transición, uno de ellos es el siguiente: por condición de guiado óptico, es decir para tener una clara percepción del elemento de enlace y de la curva circular.

El parámetro debe estar comprendido entre:

$$\frac{R}{3} \leq A \leq R$$

Donde:

R = Radio, en m.

2.7. Longitudes máximas en tangentes

Los criterios de longitudes máximas en tangentes son:

- Se procura evitar longitudes en tangentes superiores a $20*V_p$ (km/hr).
- Se recomienda trazos rectos de longitud comprendida entre $8*V_p$ (km/hr) y $10*V_p$.
- Se recomienda trazos de tangente comprendidos entre 600 a 800 m.

2.8. Longitudes mínimas en tangentes

Se debe distinguir las situaciones asociadas a curvas sucesivas en distinto sentido o curvas en “S” de aquellas correspondientes a curvas en el mismo sentido.

- Tramos rectos intermedios de mayor longitud entre curvas de distinto sentido: deberán de alcanzar o superar a $1.4*V_p$.
- Los valores deseables y mínimos según tipo de terreno y V_p , para tramos rectos entre curvas en el mismo sentido son:

Tabla N° 3. Lr mín. entre curvas del mismo sentido

| Lr mín. entre curvas del mismo sentido | | |
|--|---------|-------------------|
| Vp | Terreno | Terreno Montañoso |
| 30 | - | 25 |
| 40 | 110/55 | 55/30 |
| 50 | 140/70 | 70/40 |
| 60 | 170/85 | 85/50 |
| 70 | 195/98 | 98/65 |
| 80 | 220/110 | 110/90 |
| 90 | 250/125 | - |
| 100 | 280/150 | - |
| 110 | 305/190 | - |

| Lr mín. entre curvas del mismo sentido | | |
|--|---------|-------------------|
| Vp | Terreno | Terreno Montañoso |
| 120 | 330/250 | - |

Fuente: Manual de diseño geométrico A.B.C.

2.9. Elementos de curvas horizontales

En los elementos de curvas se debe considerar lo siguiente:

- La sucesión de elementos curvos limita la V85 %, así mismo en tramos rectos.
- En terrenos llanos y ondulados se debe evitar los radios mínimos correspondientes a la categoría de la ruta.
- En terrenos ondulados montañosos, pueden emplearse elementos en el orden de los mínimos.
- El uso de la clotoide es necesario por razones de seguridad, comodidad y estética.
- Las curvas circulares que no requieren clotoides son: si el radio es mayor o igual a 1500 m. para V menor o igual a 80 km/hr. o R es mayor o igual 3000 m. para V mayor o igual a 80 km/hr.

2.9.1. Desarrollo mínimo en curvas circulares

Dado que el desarrollo de la curva circular es directamente proporcional al producto de la deflexión asociada a la curva circular y por el radio de la misma, para radios en el orden del radio mínimo y deflexiones pequeñas, resultan desarrollos demasiados cortos que conviene evitar en razón de la adecuada percepción de la curva.

Este parámetro está en función a la velocidad de proyecto y ángulo de deflexión, siendo deseables aquellos mayores o iguales a 20 grados.

Tabla N° 4. Desarrollo mínimo para curvas circulares

| Vp(km/hr) | $\Delta = 9^\circ$ | $\Delta = 20^\circ$ |
|-----------|--------------------|---------------------|
| 40 | 7 | 16 |
| 50 | 12 | 26 |
| 60 | 17 | 38 |
| 70 | 26 | 57 |
| 80 | 35 | 78 |
| 90 | 47 | 104 |
| 100 | 60 | 134 |
| 110 | 76 | 170 |
| 120 | 100 | 220 |

Fuente: Manual de diseño geométrico A.B.C.

2.10. Elementos de curvas en S

Los criterios son:

- En los trazos debería de existir coincidencia entre el término de la clotoide de la primera y el inicio de la clotoide de la segunda curva.
- En tramos rectos entre curvas del mismo sentido, se mantendrá en la recta un peralte mínimo igual al bombeo.

2.11. Curvas horizontales con radios sobre los mínimos

El criterio tradicionalmente empleado con anterioridad establecía que, para una velocidad de proyecto dada, correspondían peraltes decrecientes a medida que crecían los radios utilizados. Dicho criterio entra en contradicción con la realidad observada en cuanto a que mientras más amplio es el trazado, mayores son las velocidades que tienden a emplear los usuarios. En consecuencia, las tendencias actuales del diseño mantienen peraltes relativamente altos para un rango amplio de radios, independizándose de la velocidad de proyecto, con lo cual las curvas de radio mayor que el mínimo, aceptan una velocidad específica mayor que la de proyecto, lo que permite mantener la seguridad por criterio de deslizamiento, para aquel grupo de usuarios que tiende a circular a velocidades más elevadas que las de proyecto, todo ello sin aumentar la sensación de enfrentar un trazado aún más amplio.

2.12. Peralte

La relación radio y peralte para caminos es el siguiente:

$$25 \leq R \leq 350 \rightarrow e = 7\%$$

$$350 < R \leq 3500 \rightarrow e = 7\% - 6.08(1 - 350/R)^{1.3}$$

$$3500 < R \rightarrow e = bombeo$$

Donde:

R = Radio de la curva circular, en m.

e = Peralte de la curva, en m.

2.13. Desarrollo de peralte

El peralte tiene como objetivo contrarrestar la acción de la fuerza centrífuga, generada en las curvas horizontales, este valor dependerá principalmente del radio que posee cada curva, así como la velocidad de diseño que se imprimirá sobre la misma.

La longitud de desarrollo del peralte queda dada por:

$$l = \frac{na\Delta_p}{\Delta}$$

Donde:

l = Longitud del desarrollo del peralte (m).

n = Números de carriles entre el eje de giro del peralte y el borde de la calzada.

a = Ancho normal de un carril (m). Se prescinde de los posibles ensanches.

Δ_p = Variación total de la pendiente transversal para el borde que debe transitar entre (-b) y (+e) en caminos bidireccionales o entre -b y (+e) o (-e) para el borde exterior en carreteras unidireccionales.

Δ = Pendiente relativa del borde de la calzada, respecto de la pendiente longitudinal del eje de la vía (%), cuyos valores normales y máximos se dan en la siguiente tabla.

Tabla N° 5. Valores admisibles de pendiente relativa de borde $\Delta\%$

| Valores admisibles de pendiente relativa de borde $\Delta\%$ | | | | |
|--|-------|-------|-------|---------|
| V _p (km/hr) | 30-50 | 60-70 | 80-90 | 100-120 |
| Δ_{normal} | 0.7 | 0.6 | 0.5 | 0.35 |
| $\Delta_{\text{máx. } n=1}$ | 1.5 | 1.3 | 0.9 | 0.8 |
| $\Delta_{\text{máx. } n>1}$ | 1.5 | 1.3 | 0.9 | 0.8 |

Fuente: Manual de diseño geométrico A.B.C.

Los valores de Δ normal deben interpretarse como un Δ deseable, pudiendo emplearse valores menores y mayores con las limitaciones expuestas. Los valores Δ máx. sólo se usarán cuando el espacio disponible para la transición de peralte es limitado.

Sustituyendo valores en la expresión del desarrollo del peralte, para el ancho del carril de 2.5 metros, para número de carriles igual a uno, para la variación total de la pendiente transversal para el borde que debe transitar es de 9.2% y la pendiente relativa de borde de la calzada promediada entre normal y máximo es de 1.1%. Dando como longitud de desarrollo de peralte igual a 26 metros.

2.14. Peralte máximo. (e %)

El valor máximo de la inclinación transversal de la calzada, asociado al diseño de las curvas horizontales se define según la siguiente tabla.

Tabla N° 6. Valores máximos para el peralte y la fricción transversal

| Velocidad | E _{max} | F |
|---|------------------|-----------------|
| Caminos V _p 30 a 80 km/hr | 7 % | 0.265 - v/602.4 |
| Carreteras V _p 80 120 km/hr | 8 % | 0.193 - v/1134 |

Fuente: Manual de diseño geométrico A.B.C.

Para una velocidad de proyecto V_p=30 km/hr, el peralte máximo se define en:

$$e_{\text{max}} = 7\%.$$

2.15. Sobreancho en curvas circulares

En curvas de radio pequeño y mediano, según sea el tipo de vehículos comerciales que circulan habitualmente por la carretera o camino, se deberá ensanchar la calzada con el objeto de asegurar espacios libres adecuados (huelgas), entre vehículos que se cruzan en calzadas bidireccionales o que se adelantan en calzadas unidireccionales, y entre los vehículos y los bordes de las calzadas.

Las expresiones simplificadas que se presentan en el cuadro siguiente, columna E(m), las que permiten calcular el ensanche total requerido en una calzada de dos carriles (bidireccional o unidireccional) con anchos de 7 y 6 m, empleando los parámetros de cálculo “Lo” para unidades simples (Camiones y Buses); L1 y L2 para unidades articuladas (Semitrailer) y el Radio R de la curva.

Para el ensanche se toma como vehículo tipo de diseño el camión de unidad simple con $L_t = 11$ m y $Lo = 9.5$ m , por tanto la expresión simplificada para calzada en recta de dos carriles con ancho de 6 metros es el siguiente:

$$E = \frac{Lo^2}{R} + 0.15$$

Donde:

E = Ensanche o sobreancho de la calzada, en m.

Lo = Distancia entre parachoques delantero y último eje trasero, en m.

La distribución del ensanche, para el carril interno es de 0.55 del ensanche y para el externo es de 0.45 del ensanche.

La expresión del ensanche es válida para curvaturas que varían con radio de $30 \leq R \leq 450$ metros.

Al tratarse del camino de diseño tipo desarrollo se pretende colocar como paquete estructural con un terminado de tratamiento simple, por esta razón y también según tabla 3.1-1 del manual ABC. Nos indica que el ancho de plataforma total esta entre 5 a 6 m. Por tal sentido para hacer el sobre ancho en curvas horizontales, aplico la formula presentada arriba.

2.16. Curvas verticales de enlace

En definitiva, para todos los efectos de cálculo y replanteo, la longitud de la curva vertical de enlace está dada según medidas reducidas a la horizontal y vale:

$$L_v = 2T = K|i_1 - i_2|$$

Donde:

$L_v = 2T$ = Es la proyección horizontal de las tangentes a la curva de enlace.

K = Parámetro de curvas verticales.

$i_1 - i_2 = \Theta$ = Diferencia algebraica de las pendientes de entrada y salida, expresadas en m/m.

2.16.1. Criterios de diseño para curvas verticales

Las curvas verticales deben asegurar en todo punto del camino la visibilidad de frenado, ya sea que se trate de calzadas bidireccionales o unidireccionales.

El cálculo de curvas verticales presenta dos situaciones posibles, a saber:

Caso 1: $D_p < L_{min} = L_v$

La fórmula que determina L_{min} en curvas convexas, es:

$$L_{min} = \frac{\theta D_p^2}{2(\sqrt{h_1} + \sqrt{h_2})^2}$$

Donde:

θ = Diferencia algebraica de pendientes, en m/m.

D_p = Distancia de frenado, en m.

h_1 = Altura ojos del conductor, en m.

h_2 = Altura obstáculo fijo, en m.

La fórmula que determina Lmin en curvas cóncavas, es:

$$L_{min} = \frac{\theta D_p^2}{2(h + D_p \operatorname{sen} \alpha)}$$

Donde:

θ = Diferencia algebraica de pendientes, en m/m.

D_p = Distancia de frenado, en m.

h = Altura focos del vehículo, en m.

Caso 2: $L_{min} = L_v < D_p$

La fórmula que determina Lmin en curvas convexas, es:

$$L_{min} = 2D_p - \frac{2(\sqrt{h_1} + \sqrt{h_2})^2}{\theta}$$

Donde:

θ = Diferencia algebraica de pendientes, en m/m.

D_p = Distancia de frenado, en m.

h_1 = Altura ojos del conductor, en m.

h_2 = Altura obstáculo fijo, en m.

La fórmula que determina Lmin en curvas cóncavas, es:

$$L_{min} = 2D_p - \frac{2(h + D_p \operatorname{sen} \alpha)}{\theta}$$

Donde:

θ = Diferencia algebraica de pendientes, en m/m.

D_p = Distancia de frenado, en m.

h = Altura focos del vehículo, en m.

α = Angulo de abertura del haz luminoso.

Para valores pequeños de i , en las curvas verticales convexas y cóncavas, para los casos donde $D_p > L_v$, la longitud de la curva puede llegar a ser negativa, significando esto que no se necesitaría curva.

Sin embargo, de orden práctico, para evitar al usuario la impresión de un cambio súbito de pendiente, se exige una cierta longitud mínima de curva vertical L_v según la velocidad específica de la curva vertical $V_e = V_p$ expresada en Km/hr, de acuerdo con la siguiente expresión, denominado criterio de operación:

$$L_v(m) = 0.6V_p \left(\frac{km}{hr} \right)$$

Tabla N° 7. Parámetros mínimos por criterio de visibilidad de frenado

| Parámetros mínimos en curvas verticales por criterio de visibilidad de frenado | | | | |
|--|---------------------|---------------------|----------------------|--------------------|
| Velocidad de proyecto VP (km/hr) | Curvas convexas Kv | | | Curvas cóncavas Kc |
| | $V^* = V_p$ (km/hr) | $V^*=V_p+5$ (km/hr) | $V^*=V_p+10$ (km/hr) | V_p (km/hr) |
| 30 | 300 | 300 | 3000 | 400 |
| 40 | 400 | 500 | 600 | 500 |
| 50 | 700 | 950 | 1100 | 1000 |
| 60 | 1200 | 1450 | 1800 | 1400 |
| 70 | 1800 | 2350 | 2850 | 1900 |
| 80 | 3000 | 3550 | 4400 | 2600 |
| 90 | 4700 | 5100 | 6000 | 3400 |
| 100 | 6850 | 7400 | 8200 | 4200 |
| 110 | 9850 | 10600 | 11000 | 5200 |
| 120 | 14000 | 15100 | 16000 | 6300 |

Fuente: Manual de diseño geométrico A.B.C.

Parámetros mínimos en curvas verticales convexas para asegurar la visibilidad de adelantamiento.

Tabla N° 8. Parámetro mínimo para asegurar la visibilidad de adelantamiento

| Velocidad de proyecto Vp (km/hr) | Ka |
|----------------------------------|-------|
| 30 | 3500 |
| 40 | 6300 |
| 50 | 9800 |
| 60 | 14900 |
| 70 | 21000 |
| 80 | 27200 |
| 90 | 33900 |
| 100 | 39100 |
| 110 | 45900 |

Fuente: Manual de diseño geométrico A.B.C.

Tabla N° 9. Resumen de parámetros de diseño

| Parámetros de diseño geométrico | | |
|---------------------------------|--|---|
| DISEÑO EN PLANTA | Topografía | Montañoso |
| | Categoría de la Vía | Camino |
| | Clasificación funcional | Desarrollo |
| | Código Tipo | D (2)-30 |
| | Trafico Promedio Diario “TPD” proyectado | 41 (año 2026) |
| | Número de calzadas | 1 |
| | Número de carriles | 2 (uno por sentido) |
| | Velocidad de Proyecto | 30 km/hr |
| | Radio mínimo (curvas horizontales) | 25 m |
| | Radio mínimo (curvas de retorno) | 9.75 m |
| | Peralte Máximo | 7 % |
| | Parámetro “A” (espirales) | R/3≤A≤R |
| | Longitud de recta mínima en curvas consecutivas tipo “S” | 42 m |
| | Longitud de recta mínima en curvas consecutivas del mismo sentido | 25 m |
| | Coeficiente de fricción transversal | 0.215 |
| | Proporción del peralte a desarrollarse en recta sobreancho (Lo_2/R) +0.15 --- $Lo = 9.5$ ---- $30 \leq R \leq 450$ (bus corriente 12 m) | 0.7 de la transición de peralte int 55 S/ext. 0.45 S |
| | Distancia mínima de frenado | 25 m |
| | Distancia mínima de adelantamiento | 180 m |
| | Longitud de arco mínima en curvas circulares horizontales para 9 grados | 7 m Corresponde a V=40 km/hr |
| | Longitud de arco mínima en curvas circulares horizontales para 20 grados | 16 m Corresponde a V=40 km/hr |
| TRANSVERSAL ALTIMETRICO | Pendiente longitudinal Máxima | 12% |
| | Longitud mínima curvas verticales | 18 m |
| | Parámetro “k” en curvas verticales convexas por visibilidad de frenado | 3 |
| | Parámetro “k” en curvas verticales cóncavas por visibilidad de frenado | 4 |
| | Ancho de Carril | 2.5 m |
| | Ancho de bermas Externas | 0.5 m |
| | Bombeo de los carriles | 2.50% |
| | Bombeo de las bermas | 2.50% |

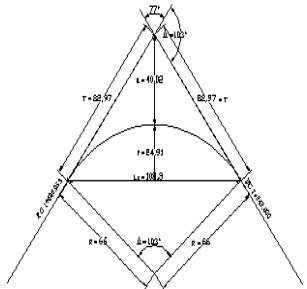
Fuente: Manual de diseño geométrico A.B.C.

| | | | |
|-----------------------|---------|-------|---------|
| VELOCIDAD DE PROYECTO | 30 | Km/hr | CURVA 1 |
| RADIO DE CURVATURA | 50 | m | |
| ANGULO DE DEFLEXION | 44.8122 | ° | |

Velocidad adoptado [Km/h] = Adoptado del manual de abc **30**

$$\text{Radio de curvatura mínimo (m)} = R_{min} = \frac{V_p^2}{127 * (P_{max} + f)} = 24.87$$

Radio de Curvatura [m] : Adoptado **50**



$$\text{Angulo de Deflexión } [\text{ }^\circ] = \frac{44.8122}{0.782120435} = 44.8122$$

Elementos de curva:

$$\text{Tangente} \quad T = R \tan \frac{\Delta}{2} = 20.615 \text{ m}$$

$$\text{Externa} \quad E = R \left(\sec \frac{\Delta}{2} - 1 \right) = 4.08 \text{ m}$$

$$\text{Flecha} \quad f = R \left(1 - \cos \frac{\Delta}{2} \right) = 3.77 \text{ m}$$

$$\text{Desarrollo de Curva} \quad D = \frac{\pi \cdot R \cdot \Delta}{180} = 39.11 \text{ m}$$

$$\text{Longitud de Curva} \quad L_c = 2 \cdot R \cdot \sin \frac{\Delta}{2} = 38.12 \text{ m}$$

Peralte (%):

$$25 \leq R \leq 350 \rightarrow e = 7\%$$

$$\text{Peralte \%} \quad 7$$

$$350 < R \leq 3500 \rightarrow e = 7\% - 6.08(1 - 350/R)^{1.3}$$

$$3500 < R \rightarrow e = \text{bombeo}$$

Desarrollo de peralte:

$$\text{Bombeo \%} \quad -2.5$$

$$\begin{aligned} \text{Números de carriles} \quad n &= 1 \\ \text{Ancho normal de un carril} \quad a &= 2.5 \text{ m} \\ \text{Variación total de la pendiente transversal \%} \quad \Delta_p &= 9.5 \\ \text{Pendiente relativa \%} \quad \Delta &= 1.1 \\ \text{Desarrollo del peralte} \quad l &= \frac{n a \Delta_p}{\Delta} = 21.59 \text{ m} \end{aligned}$$

$$\text{Longitud de transición} \quad L_t = 15.9 \text{ m}$$

$$\text{Longitud de transición en curva} \quad L_{tc} = 4.8 \text{ m}$$

$$\text{Longitud de transición en recta} \quad L_{tr} = 11.1 \text{ m}$$

$$\text{Longitud de aplanamiento} \quad L_a = 5.7 \text{ m}$$

| | Punto geometrico | PK | Nomenclatura C3D | Lisquierdo | Lderecho |
|----|------------------|-----------|-----------------------|------------|----------|
| PC | 0+274.480 | 0+257.662 | End Normal Shoulder | -2.5% | -2.5% |
| PT | 0+313.590 | 0+257.662 | End Normal Crown | -2.5% | -2.5% |
| | | 0+263.344 | Level Crown | 0.0% | -2.5% |
| | | 0+269.025 | Low Shoulder Match | 2.5% | -2.5% |
| | | 0+269.025 | Reverse Crown | 2.5% | -2.5% |
| | | 0+279.253 | Begin Full Super | 7.0% | -7.0% |
| | | 0+308.817 | End Full Super | 7.0% | -7.0% |
| | | 0+319.045 | Low Shoulder Match | 2.5% | -2.5% |
| | | 0+319.045 | Reverse Crown | 2.5% | -2.5% |
| | | 0+324.726 | Level Crown | 0.0% | -2.5% |
| | | 0+330.408 | Begin Normal Crown | -2.5% | -2.5% |
| | | 0+330.408 | Begin Normal Shoulder | -2.5% | -2.5% |

Sobre ancho: Calzada en recta 6m, bidireccional, con huelgas $h_1 = 0.45\text{m}$ y $h_2 = 0.05\text{m}$

Distancia entre parachoques delantero y ultimo eje trasero **L₀** **9.5 m**

$$\text{Sobreancho} \quad E = \frac{L_0^2}{R} + 0.15 = 1.81 \text{ m}$$

$$\text{Sobreancho interior} = 0.55E = 0.99 \text{ m}$$

$$\text{Sobreancho exterior} = 0.45E = 0.81 \text{ m}$$

$$\text{LI} = 3.49$$

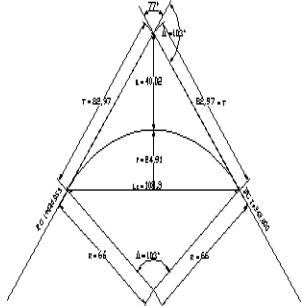
$$\text{LE} = 3.31$$

| | | | |
|-----------------------|---------|-------|---------|
| VELOCIDAD DE PROYECTO | 30 | Km/hr | CURVA 2 |
| RADIO DE CURVATURA | 40 | m | |
| ANGULO DE DEFLEXION | 48.9442 | ° | |

Velocidad adoptado [Km/h] = Adoptado del manual de la abc **30**

$$\text{Radio de curvatura mínimo (m)} = R_{min} = \frac{V_p^2}{127 * (P_{max} + f)} = 24.87$$

Radio de Curvatura [m] : Adoptado **40**



Angulo de Deflexión [°] = **48.9442**
0.85423744

Elementos de curva:

| | | |
|---------------------|--|----------|
| Tangente | $T = R \tan \frac{\Delta}{2}$ | 18.206 m |
| Externa | $E = R \left(\sec \frac{\Delta}{2} - 1 \right)$ | 3.95 m |
| Flecha | $f = R \left(1 - \cos \frac{\Delta}{2} \right)$ | 3.59 m |
| Desarrollo de Curva | $D = \frac{\pi \cdot R \cdot \Delta}{180}$ | 34.17 m |
| Longitud de Curva | $L_c = 2 \cdot R \cdot \sin \frac{\Delta}{2}$ | 33.14 m |

Peralte (%):

$$25 \leq R \leq 350 \rightarrow e = 7\%$$

$$350 < R \leq 3500 \rightarrow e = 7\% - 6.08(1 - 350/R)^{1.3}$$

$$3500 < R \rightarrow e = \text{bombeo}$$

Desarrollo de peralte:

| | | |
|---|-----------------------------------|---------|
| Números de carriles | Bombeo % | -2.5 |
| Ancho normal de un carril | $n =$ | 1 |
| Variación total de la pendiente transversal % | $a =$ | 2.5 m |
| Pendiente relativa % | $\Delta_p =$ | 9.5 |
| Desarrollo del peralte | $\Delta =$ | 1.1 |
| | $l = \frac{n a \Delta_p}{\Delta}$ | 21.59 m |
| Longitud de transición | $L_t =$ | 15.9 m |
| Longitud de transición en curva | $L_{tc} =$ | 4.8 m |
| Longitud de transición en recta | $L_{tr} =$ | 11.1 m |
| Longitud de aplanamiento | $L_a =$ | 5.7 m |

| | Punto geometrico | PK | Nomenclatura C3D | Lisquierdo | Lderecho |
|----|------------------|-----------|-----------------------|------------|----------|
| PC | 0+528.060 | 0+511.242 | End Normal Shoulder | -2.5% | -2.5% |
| PT | 0+562.230 | 0+511.242 | End Normal Crown | -2.5% | -2.5% |
| | | 0+516.924 | Level Crown | -2.5% | 0.0% |
| | | 0+522.605 | Low Shoulder Match | -2.5% | 2.5% |
| | | 0+522.605 | Reverse Crown | -2.5% | 2.5% |
| | | 0+532.833 | Begin Full Super | -7.0% | 7.0% |
| | | 0+557.457 | End Full Super | -7.0% | 7.0% |
| | | 0+567.685 | Low Shoulder Match | -2.5% | 2.5% |
| | | 0+567.685 | Reverse Crown | -2.5% | 2.5% |
| | | 0+573.366 | Level Crown | -2.5% | 0.0% |
| | | 0+579.048 | Begin Normal Crown | -2.5% | -2.5% |
| | | 0+579.048 | Begin Normal Shoulder | -2.5% | -2.5% |

Sobre ancho: Calzada en recta 6m, bidireccional, con huelgas $h_1 = 0.45m$ y $h_2 = 0.05m$

Distancia entre parachoques delantero y ultimo eje trasero L_0 **9.5 m**

$$\text{Sobreancho} \quad E = \frac{L_0^2}{R} + 0.15 = 2.26 \text{ m}$$

$$\text{Sobreancho interior} = 0.55E \quad 1.24 \text{ m}$$

$$\text{Sobreancho exterior} = 0.45E \quad 1.02 \text{ m}$$

$$\text{LI} = 3.74$$

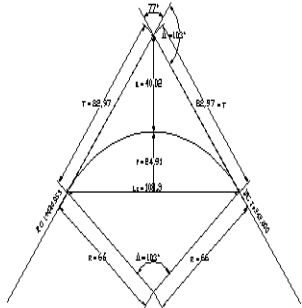
$$\text{LE} = 3.52$$

| | | | |
|-----------------------|---------|-------|---------|
| VELOCIDAD DE PROYECTO | 30 | Km/hr | CURVA 3 |
| RADIO DE CURVATURA | 50 | m | |
| ANGULO DE DEFLEXION | 33.9962 | ° | |

Velocidad adoptado [Km/h] = Adoptado del manual de la abc **30**

$$\text{Radio de curvatura mínimo (m)} = R_{min} = \frac{V_p^2}{127 * (P_{max} + f)} = 24.87$$

Radio de Curvatura [m] : Adoptado **50**



Angulo de Deflexión [°] = **33.9962**
0.593345623

Elementos de curva:

| | | |
|---------------------|--|----------|
| Tangente | $T = R \tan \frac{\Delta}{2}$ | 15.285 m |
| Externa | $E = R \left(\sec \frac{\Delta}{2} - 1 \right)$ | 2.28 m |
| Flecha | $f = R \left(1 - \cos \frac{\Delta}{2} \right)$ | 2.18 m |
| Desarrollo de Curva | $D = \frac{\pi \cdot R \cdot \Delta}{180}$ | 29.67 m |
| Longitud de Curva | $L_c = 2 \cdot R \cdot \sin \frac{\Delta}{2}$ | 29.23 m |

Peralte (%):

$$25 \leq R \leq 350 \rightarrow e = 7\%$$

$$350 < R \leq 3500 \rightarrow e = 7\% - 6.08(1 - 350/R)^{1.3}$$

$$3500 < R \rightarrow e = \text{bombeo}$$

Desarrollo de peralte:

| | | |
|---|-----------------------------------|---------|
| Números de carriles | Bombeo % | -2.5 |
| Ancho normal de un carril | $n =$ | 1 |
| Variación total de la pendiente transversal % | $a =$ | 2.5 m |
| Pendiente relativa % | $\Delta_p =$ | 9.5 |
| Desarrollo del peralte | $\Delta =$ | 1.1 |
| | $l = \frac{n a \Delta_p}{\Delta}$ | 21.59 m |
| Longitud de transición | $L_t =$ | 15.9 m |
| Longitud de transición en curva | $L_{tc} =$ | 4.8 m |
| Longitud de transición en recta | $L_{tr} =$ | 11.1 m |
| Longitud de aplanamiento | $L_a =$ | 5.7 m |

| | Punto geometrico | PK | Nomenclatura C3D | Lisquierdo | Lderecho |
|----|------------------|-----------|-----------------------|------------|----------|
| PC | 0+756.180 | 0+739.362 | End Normal Shoulder | -2.5% | -2.5% |
| PT | 0+785.840 | 0+739.362 | End Normal Crown | -2.5% | -2.5% |
| | | 0+745.044 | Level Crown | -2.5% | 0.0% |
| | | 0+750.725 | Low Shoulder Match | -2.5% | 2.5% |
| | | 0+750.725 | Reverse Crown | -2.5% | 2.5% |
| | | 0+760.953 | Begin Full Super | -7.0% | 7.0% |
| | | 0+781.067 | End Full Super | -7.0% | 7.0% |
| | | 0+791.295 | Low Shoulder Match | -2.5% | 2.5% |
| | | 0+791.295 | Reverse Crown | -2.5% | 2.5% |
| | | 0+796.976 | Level Crown | -2.5% | 0.0% |
| | | 0+802.658 | Begin Normal Crown | -2.5% | -2.5% |
| | | 0+802.658 | Begin Normal Shoulder | -2.5% | -2.5% |

Sobre ancho: Calzada en recta 6m, bidireccional, con huelgas h1 = 0.45m y h2 = 0.05m

Distancia entre parachoques delantero y ultimo eje trasero **L₀** **9.5 m**

$$\text{Sobreancho} \quad E = \frac{L_0^2}{R} + 0.15 = 1.81 \text{ m}$$

$$\text{Sobreancho interior} = 0.55E \quad 0.99 \text{ m}$$

$$\text{Sobreancho exterior} = 0.45E \quad 0.81 \text{ m}$$

$$\text{LI} = 3.49$$

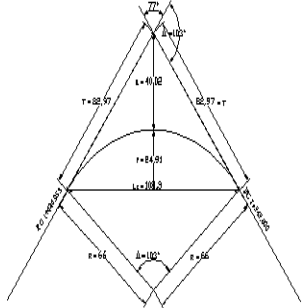
$$\text{LE} = 3.31$$

| | | | |
|-----------------------|---------|-------|---------|
| VELOCIDAD DE PROYECTO | 30 | Km/hr | CURVA 4 |
| RADIO DE CURVATURA | 50 | m | |
| ANGULO DE DEFLEXION | 45.9087 | ° | |

Velocidad adoptado [Km/h] = Adoptado del manual de abc **30**

$$\text{Radio de curvatura mínimo (m)} = R_{min} = \frac{V_p^2}{127 * (P_{max} + f)} = 24.87$$

Radio de Curvatura [m] : Adoptado **50**



Angulo de Deflexión [°] = **45.9087**
0.80125797

Elementos de curva:

| | | |
|---------------------|--|----------|
| Tangente | $T = R \tan \frac{\Delta}{2}$ | 21.177 m |
| Externa | $E = R \left(\sec \frac{\Delta}{2} - 1 \right)$ | 4.30 m |
| Flecha | $f = R \left(1 - \cos \frac{\Delta}{2} \right)$ | 3.96 m |
| Desarrollo de Curva | $D = \frac{\pi \cdot R \cdot \Delta}{180}$ | 40.06 m |
| Longitud de Curva | $L_c = 2 \cdot R \cdot \sin \frac{\Delta}{2}$ | 39.00 m |

Peralte (%):

$$25 \leq R \leq 350 \rightarrow e = 7\%$$

$$350 < R \leq 3500 \rightarrow e = 7\% - 6.08(1 - 350/R)^{1.3}$$

$$3500 < R \rightarrow e = \text{bombeo}$$

Desarrollo de peralte:

| | | |
|---|-----------------------------------|---------|
| Números de carriles | Bombeo % | -2.5 |
| Ancho normal de un carril | $n =$ | 1 |
| Variación total de la pendiente transversal % | $a =$ | 2.5 m |
| Pendiente relativa % | $\Delta_p =$ | 9.5 |
| Desarrollo del peralte | $\Delta =$ | 1.1 |
| | $l = \frac{n a \Delta_p}{\Delta}$ | 21.59 m |
| Longitud de transición | $L_t =$ | 15.9 m |
| Longitud de transición en curva | $L_{tc} =$ | 4.8 m |
| Longitud de transición en recta | $L_{tr} =$ | 11.1 m |
| Longitud de aplanamiento | $L_a =$ | 5.7 m |

| | Punto geometrico | PK | Nomenclatura C3D | Lisquierdo | Lderecho |
|----|------------------|-----------|-----------------------|------------|----------|
| PC | 0+910.410 | 0+893.592 | End Normal Shoulder | -2.5% | -2.5% |
| PT | 0+950.470 | 0+893.592 | End Normal Crown | -2.5% | -2.5% |
| | | 0+899.274 | Level Crown | 0.0% | -2.5% |
| | | 0+904.955 | Low Shoulder Match | 2.5% | -2.5% |
| | | 0+904.955 | Reverse Crown | 2.5% | -2.5% |
| | | 0+915.183 | Begin Full Super | 7.0% | -7.0% |
| | | 0+945.697 | End Full Super | 7.0% | -7.0% |
| | | 0+955.925 | Low Shoulder Match | 2.5% | -2.5% |
| | | 0+955.925 | Reverse Crown | 2.5% | -2.5% |
| | | 0+961.606 | Level Crown | 0.0% | -2.5% |
| | | 0+967.288 | Begin Normal Crown | -2.5% | -2.5% |
| | | 0+967.288 | Begin Normal Shoulder | -2.5% | -2.5% |

Sobre ancho: Calzada en recta 6m, bidireccional, con huelgas $h_1 = 0.45m$ y $h_2 = 0.05m$

Distancia entre parachoques delantero y ultimo eje trasero L_0 **9.5 m**

$$\text{Sobreancho} \quad E = \frac{L_0^2}{R} + 0.15 = 1.81 \text{ m}$$

$$\text{Sobreancho interior} = 0.55E \quad 0.99 \text{ m}$$

$$\text{Sobreancho exterior} = 0.45E \quad 0.81 \text{ m}$$

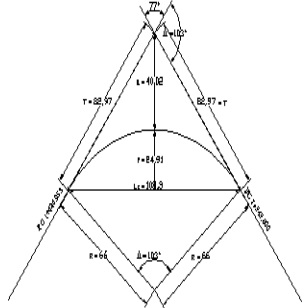
$$\begin{aligned} LI &= 3.49 \\ LE &= 3.31 \end{aligned}$$

| | | | |
|-----------------------|---------|-------|---------|
| VELOCIDAD DE PROYECTO | 30 | Km/hr | CURVA 5 |
| RADIO DE CURVATURA | 70 | m | |
| ANGULO DE DEFLEXION | 19.0884 | ° | |

Velocidad adoptado [Km/h] = Adoptado del manual de abc **30**

$$\text{Radio de curvatura mínimo (m)} = R_{min} = \frac{V_p^2}{127 * (P_{max} + f)} = 24.87$$

Radio de Curvatura [m] : Adoptado **70**



$$\text{Angulo de Deflexión } [\text{ }^\circ] = \frac{19.0884}{0.333155429}$$

Elementos de curva:

| | | |
|---------------------|--|----------|
| Tangente | $T = R \tan \frac{\Delta}{2}$ | 11.770 m |
| Externa | $E = R \left(\sec \frac{\Delta}{2} - 1 \right)$ | 0.98 m |
| Flecha | $f = R \left(1 - \cos \frac{\Delta}{2} \right)$ | 0.97 m |
| Desarrollo de Curva | $D = \frac{\pi \cdot R \cdot \Delta}{180}$ | 23.32 m |
| Longitud de Curva | $L_c = 2 \cdot R \cdot \sin \frac{\Delta}{2}$ | 23.21 m |

Peralte (%):

$$25 \leq R \leq 350 \rightarrow e = 7\%$$

$$350 < R \leq 3500 \rightarrow e = 7\% - 6.08(1 - 350/R)^{1.3}$$

$$3500 < R \rightarrow e = \text{bombeo}$$

Desarrollo de peralte:

| | | |
|---|-----------------------------------|---------|
| Números de carriles | Bombeo % | -2.5 |
| Ancho normal de un carril | $n =$ | 1 |
| Variación total de la pendiente transversal % | $a =$ | 2.5 m |
| Pendiente relativa % | $\Delta_p =$ | 9.5 |
| Desarrollo del peralte | $\Delta =$ | 1.1 |
| | $l = \frac{n a \Delta_p}{\Delta}$ | 21.59 m |
| Longitud de transición | $L_t =$ | 15.9 m |
| Longitud de transición en curva | $L_{tc} =$ | 4.8 m |
| Longitud de transición en recta | $L_{tr} =$ | 11.1 m |
| Longitud de aplanamiento | $L_a =$ | 5.7 m |

| | Punto geometrico | PK | Nomenclatura C3D | Lisquierdo | Lderecho |
|----|------------------|-----------|-----------------------|------------|----------|
| PC | 1+228.280 | 1+211.462 | End Normal Shoulder | -2.5% | -2.5% |
| PT | 1+251.600 | 1+211.462 | End Normal Crown | -2.5% | -2.5% |
| | | 1+217.144 | Level Crown | 0.0% | -2.5% |
| | | 1+222.825 | Low Shoulder Match | 2.5% | -2.5% |
| | | 1+222.825 | Reverse Crown | 2.5% | -2.5% |
| | | 1+233.053 | Begin Full Super | 7.0% | -7.0% |
| | | 1+246.827 | End Full Super | 7.0% | -7.0% |
| | | 1+257.055 | Low Shoulder Match | 2.5% | -2.5% |
| | | 1+257.055 | Reverse Crown | 2.5% | -2.5% |
| | | 1+262.736 | Level Crown | 0.0% | -2.5% |
| | | 1+268.418 | Begin Normal Crown | -2.5% | -2.5% |
| | | 1+268.418 | Begin Normal Shoulder | -2.5% | -2.5% |

Sobre ancho: Calzada en recta 6m, bidireccional, con huelgas $h_1 = 0.45m$ y $h_2 = 0.05m$

Distancia entre parachoques delantero y ultimo eje trasero L_0 **9.5 m**

$$\text{Sobreancho} \quad E = \frac{L_0^2}{R} + 0.15 = 1.29 \text{ m}$$

$$\text{Sobreancho interior} = 0.55E \quad 0.71 \text{ m}$$

$$\text{Sobreancho exterior} = 0.45E \quad 0.58 \text{ m}$$

$$\text{LI} = 3.21$$

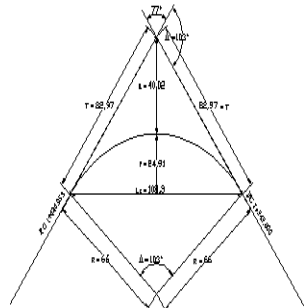
$$\text{LE} = 3.08$$

| | | | |
|-----------------------|-------|-------|---------|
| VELOCIDAD DE PROYECTO | 30 | Km/hr | CURVA 6 |
| RADIO DE CURVATURA | 50 | m | |
| ANGULO DE DEFLEXION | 57.57 | ° | |

Velocidad adoptado [Km/h] = Adoptado del manual de la abc **30**

$$\text{Radio de curvatura mínimo (m)} = R_{min} = \frac{V_p^2}{127 * (P_{max} + f)} = 24.87$$

Radio de Curvatura [m] : Adoptado **50**



Angulo de Deflexión [°] = **57.57**
1.00478605

Elementos de curva:

| | | |
|---------------------|--|----------|
| Tangente | $T = R \tan \frac{\Delta}{2}$ | 27.471 m |
| Externa | $E = R \left(\sec \frac{\Delta}{2} - 1 \right)$ | 7.05 m |
| Flecha | $f = R \left(1 - \cos \frac{\Delta}{2} \right)$ | 6.18 m |
| Desarrollo de Curva | $D = \frac{\pi \cdot R \cdot \Delta}{180}$ | 50.24 m |
| Longitud de Curva | $L_c = 2 \cdot R \cdot \sin \frac{\Delta}{2}$ | 48.15 m |

Peralte (%):

$$25 \leq R \leq 350 \rightarrow e = 7\%$$

$$350 < R \leq 3500 \rightarrow e = 7\% - 6.08(1 - 350/R)^{1.3}$$

$$3500 < R \rightarrow e = \text{bombeo}$$

Desarrollo de peralte:

| | | |
|---|-----------------------------------|---------|
| Números de carriles | Bombeo % | -2.5 |
| Ancho normal de un carril | $n =$ | 1 |
| Variación total de la pendiente transversal % | $a =$ | 2.5 m |
| Pendiente relativa % | $\Delta_p =$ | 9.5 |
| Desarrollo del peralte | $\Delta =$ | 1.1 |
| | $l = \frac{n a \Delta_p}{\Delta}$ | 21.59 m |
| Longitud de transición | $L_t =$ | 15.9 m |
| Longitud de transición en curva | $L_{tc} =$ | 4.8 m |
| Longitud de transición en recta | $L_{tr} =$ | 11.1 m |
| Longitud de aplanamiento | $L_a =$ | 5.7 m |

| | Punto geometrico | PK | Nomenclatura C3D | Lisquierdo | Lderecho |
|----|------------------|-----------|-----------------------|------------|----------|
| PC | 1+332.250 | 1+315.432 | End Normal Shoulder | -2.5% | -2.5% |
| PT | 1+382.490 | 1+315.432 | End Normal Crown | -2.5% | -2.5% |
| | | 1+321.114 | Level Crown | -2.5% | 0.0% |
| | | 1+326.795 | Low Shoulder Match | -2.5% | 2.5% |
| | | 1+326.795 | Reverse Crown | -2.5% | 2.5% |
| | | 1+337.023 | Begin Full Super | -7.0% | 7.0% |
| | | 1+377.717 | End Full Super | -7.0% | 7.0% |
| | | 1+387.945 | Low Shoulder Match | -2.5% | 2.5% |
| | | 1+387.945 | Reverse Crown | -2.5% | 2.5% |
| | | 1+393.626 | Level Crown | -2.5% | 0.0% |
| | | 1+399.308 | Begin Normal Crown | -2.5% | -2.5% |
| | | 1+399.308 | Begin Normal Shoulder | -2.5% | -2.5% |

Sobre ancho: Calzada en recta 6m, bidireccional, con huelgas $h_1 = 0.45m$ y $h_2 = 0.05m$

Distancia entre parachoques delantero y ultimo eje trasero L_0 **9.5 m**

$$\text{Sobreancho} \quad E = \frac{L_0^2}{R} + 0.15 = 1.81 \text{ m}$$

$$\text{Sobreancho interior} = 0.55E \quad 0.99 \text{ m}$$

$$\text{Sobreancho exterior} = 0.45E \quad 0.81 \text{ m}$$

$$\text{LI} = 3.49$$

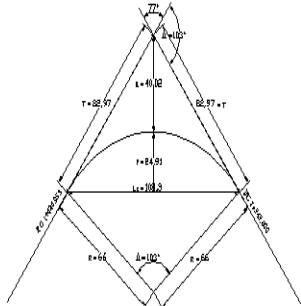
$$\text{LE} = 3.31$$

| | | | |
|-----------------------|---------|-------|---------|
| VELOCIDAD DE PROYECTO | 30 | Km/hr | CURVA 7 |
| RADIO DE CURVATURA | 60 | m | |
| ANGULO DE DEFLEXION | 22.6886 | ° | |

Velocidad adoptado [Km/h] = Adoptado del manual de la abc **30**

$$\text{Radio de curvatura mínimo (m)} = R_{min} = \frac{V_p^2}{127 * (P_{max} + f)} = 24.87$$

Radio de Curvatura [m] : Adoptado **60**



$$\text{Angulo de Deflexión } [\text{ }^\circ] = \frac{22.6886}{0.395990773}$$

Elementos de curva:

| | | |
|---------------------|--|----------|
| Tangente | $T = R \tan \frac{\Delta}{2}$ | 12.037 m |
| Externa | $E = R \left(\sec \frac{\Delta}{2} - 1 \right)$ | 1.20 m |
| Flecha | $f = R \left(1 - \cos \frac{\Delta}{2} \right)$ | 1.17 m |
| Desarrollo de Curva | $D = \frac{\pi \cdot R \cdot \Delta}{180}$ | 23.76 m |
| Longitud de Curva | $L_c = 2 \cdot R \cdot \sin \frac{\Delta}{2}$ | 23.60 m |

Peralte (%):

$$25 \leq R \leq 350 \rightarrow e = 7\%$$

$$350 < R \leq 3500 \rightarrow e = 7\% - 6.08(1 - 350/R)^{1.3}$$

$$3500 < R \rightarrow e = \text{bombeo}$$

Desarrollo de peralte:

| | | |
|---|-----------------------------------|---------|
| Números de carriles | Bombeo % | -2.5 |
| Ancho normal de un carril | $n =$ | 1 |
| Variación total de la pendiente transversal % | $a =$ | 2.5 m |
| Pendiente relativa % | $\Delta_p =$ | 9.5 |
| Desarrollo del peralte | $\Delta =$ | 1.1 |
| | $l = \frac{n a \Delta_p}{\Delta}$ | 21.59 m |
| Longitud de transición | $L_t =$ | 15.9 m |
| Longitud de transición en curva | $L_{tc} =$ | 4.8 m |
| Longitud de transición en recta | $L_{tr} =$ | 11.1 m |
| Longitud de aplanamiento | $L_a =$ | 5.7 m |

| | Punto geometrico | PK | Nomenclatura C3D | Lisquierdo | Lderecho |
|----|------------------|-----------|-----------------------|------------|----------|
| PC | 1+495.610 | 1+478.792 | End Normal Shoulder | -2.5% | -2.5% |
| PT | 1+519.370 | 1+478.792 | End Normal Crown | -2.5% | -2.5% |
| | | 1+484.474 | Level Crown | -2.5% | 0.0% |
| | | 1+490.155 | Low Shoulder Match | -2.5% | 2.5% |
| | | 1+490.155 | Reverse Crown | -2.5% | 2.5% |
| | | 1+500.383 | Begin Full Super | -7.0% | 7.0% |
| | | 1+514.597 | End Full Super | -7.0% | 7.0% |
| | | 1+524.825 | Low Shoulder Match | -2.5% | 2.5% |
| | | 1+524.825 | Reverse Crown | -2.5% | 2.5% |
| | | 1+530.506 | Level Crown | -2.5% | 0.0% |
| | | 1+536.188 | Begin Normal Crown | -2.5% | -2.5% |
| | | 1+536.188 | Begin Normal Shoulder | -2.5% | -2.5% |

Sobre ancho: Calzada en recta 6m, bidireccional, con huelgas $h_1 = 0.45m$ y $h_2 = 0.05m$

Distancia entre parachoques delantero y ultimo eje trasero L_0 **9.5 m**

$$\text{Sobreancho} \quad E = \frac{L_0^2}{R} + 0.15 = 1.50 \text{ m}$$

$$\text{Sobreancho interior} = 0.55E \quad 0.83 \text{ m}$$

$$\text{Sobreancho exterior} = 0.45E \quad 0.68 \text{ m}$$

$$\text{LI} = 3.33$$

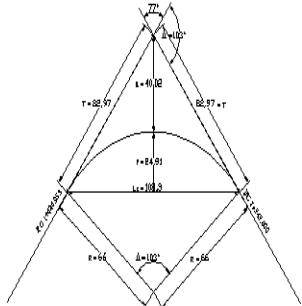
$$\text{LE} = 3.18$$

| | | | |
|-----------------------|---------|-------|---------|
| VELOCIDAD DE PROYECTO | 30 | Km/hr | CURVA 8 |
| RADIO DE CURVATURA | 60 | m | |
| ANGULO DE DEFLEXION | 21.6954 | ° | |

Velocidad adoptado [Km/h] = Adoptado del manual de abc **30**

$$\text{Radio de curvatura mínimo (m)} = R_{min} = \frac{V_p^2}{127 * (P_{max} + f)} = 24.87$$

Radio de Curvatura [m] : Adoptado **60**



$$\text{Angulo de Deflexión } [\text{ }^\circ] = \frac{21.6954}{0.378656163}$$

Elementos de curva:

| | | |
|---------------------|--|----------|
| Tangente | $T = R \tan \frac{\Delta}{2}$ | 11.497 m |
| Externa | $E = R \left(\sec \frac{\Delta}{2} - 1 \right)$ | 1.09 m |
| Flecha | $f = R \left(1 - \cos \frac{\Delta}{2} \right)$ | 1.07 m |
| Desarrollo de Curva | $D = \frac{\pi \cdot R \cdot \Delta}{180}$ | 22.72 m |
| Longitud de Curva | $L_c = 2 \cdot R \cdot \sin \frac{\Delta}{2}$ | 22.58 m |

Peralte (%):

$$25 \leq R \leq 350 \rightarrow e = 7\%$$

$$350 < R \leq 3500 \rightarrow e = 7\% - 6.08(1 - 350/R)^{1.3}$$

$$3500 < R \rightarrow e = \text{bombeo}$$

Desarrollo de peralte:

| | | |
|---|-----------------------------------|---------|
| Números de carriles | Bombeo % | -2.5 |
| Ancho normal de un carril | $n =$ | 1 |
| Variación total de la pendiente transversal % | $a =$ | 2.5 m |
| Pendiente relativa % | $\Delta_p =$ | 9.5 |
| Desarrollo del peralte | $\Delta =$ | 1.1 |
| | $l = \frac{n a \Delta_p}{\Delta}$ | 21.59 m |
| Longitud de transición | $L_t =$ | 15.9 m |
| Longitud de transición en curva | $L_{tc} =$ | 4.8 m |
| Longitud de transición en recta | $L_{tr} =$ | 11.1 m |
| Longitud de aplanamiento | $L_a =$ | 5.7 m |

| | Punto geometrico | PK | Nomenclatura C3D | Lisquierdo | Lderecho |
|----|------------------|-----------|-----------------------|------------|----------|
| PC | 1+572.710 | 1+555.892 | End Normal Shoulder | -2.5% | -2.5% |
| PT | 1+595.430 | 1+555.892 | End Normal Crown | -2.5% | -2.5% |
| | | 1+561.574 | Level Crown | 0.0% | -2.5% |
| | | 1+567.255 | Low Shoulder Match | 2.5% | -2.5% |
| | | 1+567.255 | Reverse Crown | 2.5% | -2.5% |
| | | 1+577.483 | Begin Full Super | 7.0% | -7.0% |
| | | 1+590.657 | End Full Super | 7.0% | -7.0% |
| | | 1+600.885 | Low Shoulder Match | 2.5% | -2.5% |
| | | 1+600.885 | Reverse Crown | 2.5% | -2.5% |
| | | 1+606.566 | Level Crown | 0.0% | -2.5% |
| | | 1+612.248 | Begin Normal Crown | -2.5% | -2.5% |
| | | 1+612.248 | Begin Normal Shoulder | -2.5% | -2.5% |

Sobre ancho: Calzada en recta 6m, bidireccional, con huelgas $h_1 = 0.45m$ y $h_2 = 0.05m$

Distancia entre parachoques delantero y ultimo eje trasero **L₀** **9.5 m**

$$\text{Sobreancho} \quad E = \frac{L_0^2}{R} + 0.15 = 1.50 \text{ m}$$

$$\text{Sobreancho interior} = 0.55E \quad 0.83 \text{ m}$$

$$\text{Sobreancho exterior} = 0.45E \quad 0.68 \text{ m}$$

$$\text{LI} = 3.33$$

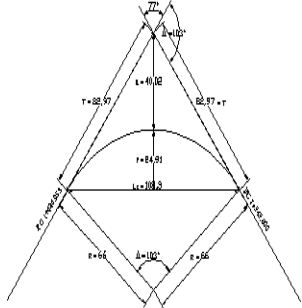
$$\text{LE} = 3.18$$

| | | | |
|-----------------------|---------|-------|---------|
| VELOCIDAD DE PROYECTO | 30 | Km/hr | CURVA 9 |
| RADIO DE CURVATURA | 40 | m | |
| ANGULO DE DEFLEXION | 34.9343 | ° | |

Velocidad adoptado [Km/h] = Adoptado del manual de abc **30**

$$\text{Radio de curvatura mínimo (m)} = R_{min} = \frac{V_p^2}{127 * (P_{max} + f)} = 24.87$$

Radio de Curvatura [m] : Adoptado **40**



$$\text{Angulo de Deflexión } [\text{ }^\circ] = \frac{34.9343}{0.609718557}$$

Elementos de curva:

| | | |
|---------------------|--|----------|
| Tangente | $T = R \tan \frac{\Delta}{2}$ | 12.587 m |
| Externa | $E = R \left(\sec \frac{\Delta}{2} - 1 \right)$ | 1.93 m |
| Flecha | $f = R \left(1 - \cos \frac{\Delta}{2} \right)$ | 1.84 m |
| Desarrollo de Curva | $D = \frac{\pi \cdot R \cdot \Delta}{180}$ | 24.39 m |
| Longitud de Curva | $L_c = 2 \cdot R \cdot \sin \frac{\Delta}{2}$ | 24.01 m |

Peralte (%):

$$25 \leq R \leq 350 \rightarrow e = 7\%$$

$$350 < R \leq 3500 \rightarrow e = 7\% - 6.08(1 - 350/R)^{1.3}$$

$$3500 < R \rightarrow e = \text{bombeo}$$

Desarrollo de peralte:

| | | |
|---|-----------------------------------|---------|
| Números de carriles | Bombeo % | -2.5 |
| Ancho normal de un carril | $n =$ | 1 |
| Variación total de la pendiente transversal % | $a =$ | 2.5 m |
| Pendiente relativa % | $\Delta_p =$ | 9.5 |
| Desarrollo del peralte | $\Delta =$ | 1.1 |
| | $l = \frac{n a \Delta_p}{\Delta}$ | 21.59 m |
| Longitud de transición | $L_t =$ | 15.9 m |
| Longitud de transición en curva | $L_{tc} =$ | 4.8 m |
| Longitud de transición en recta | $L_{tr} =$ | 11.1 m |
| Longitud de aplanamiento | $L_a =$ | 5.7 m |

| | Punto geometrico | PK | Nomenclatura C3D | Lisquierdo | Lderecho |
|----|------------------|-----------|-----------------------|------------|----------|
| PC | 1+799.890 | 1+783.072 | End Normal Shoulder | -2.5% | -2.5% |
| PT | 1+824.280 | 1+783.072 | End Normal Crown | -2.5% | -2.5% |
| | | 1+788.754 | Level Crown | 0.0% | -2.5% |
| | | 1+794.435 | Low Shoulder Match | 2.5% | -2.5% |
| | | 1+794.435 | Reverse Crown | 2.5% | -2.5% |
| | | 1+804.663 | Begin Full Super | 7.0% | -7.0% |
| | | 1+819.507 | End Full Super | 7.0% | -7.0% |
| | | 1+829.735 | Low Shoulder Match | 2.5% | -2.5% |
| | | 1+829.735 | Reverse Crown | 2.5% | -2.5% |
| | | 1+835.416 | Level Crown | 0.0% | -2.5% |
| | | 1+841.098 | Begin Normal Crown | -2.5% | -2.5% |
| | | 1+841.098 | Begin Normal Shoulder | -2.5% | -2.5% |

Sobre ancho: Calzada en recta 6m, bidireccional, con huelgas $h_1 = 0.45m$ y $h_2 = 0.05m$

Distancia entre parachoques delantero y ultimo eje trasero **L₀** **9.5 m**

$$\text{Sobreancho} \quad E = \frac{L_0^2}{R} + 0.15 = 2.26 \text{ m}$$

$$\text{Sobreancho interior} = 0.55E \quad 1.24 \text{ m}$$

$$\text{Sobreancho exterior} = 0.45E \quad 1.02 \text{ m}$$

$$\text{LI} = 3.74$$

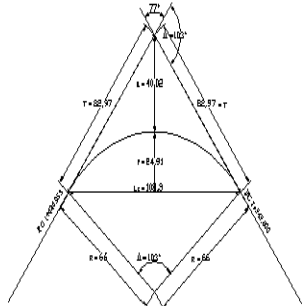
$$\text{LE} = 3.52$$

| | | | |
|-----------------------|---------|-------|----------|
| VELOCIDAD DE PROYECTO | 30 | Km/hr | CURVA 10 |
| RADIO DE CURVATURA | 40 | m | |
| ANGULO DE DEFLEXION | 49.4527 | ° | |

Velocidad adoptado [Km/h] = Adoptado del manual de la abc **30**

$$\text{Radio de curvatura mínimo (m)} = R_{min} = \frac{V_p^2}{127 * (P_{max} + f)} = 24.87$$

Radio de Curvatura [m] : Adoptado **40**



$$\text{Angulo de Deflexión } [\text{ }^\circ] = \frac{49.4527}{0.863112439}$$

Elementos de curva:

| | | |
|---------------------|--|----------|
| Tangente | $T = R \tan \frac{\Delta}{2}$ | 18.420 m |
| Externa | $E = R \left(\sec \frac{\Delta}{2} - 1 \right)$ | 4.04 m |
| Flecha | $f = R \left(1 - \cos \frac{\Delta}{2} \right)$ | 3.67 m |
| Desarrollo de Curva | $D = \frac{\pi \cdot R \cdot \Delta}{180}$ | 34.52 m |
| Longitud de Curva | $L_c = 2 \cdot R \cdot \sin \frac{\Delta}{2}$ | 33.46 m |

Peralte (%):

$$25 \leq R \leq 350 \rightarrow e = 7\%$$

$$350 < R \leq 3500 \rightarrow e = 7\% - 6.08(1 - 350/R)^{1.3}$$

$$3500 < R \rightarrow e = \text{bombeo}$$

Desarrollo de peralte:

| | | |
|---|-----------------------------------|---------|
| Números de carriles | Bombeo % | -2.5 |
| Ancho normal de un carril | $n =$ | 1 |
| Variación total de la pendiente transversal % | $a =$ | 2.5 m |
| Pendiente relativa % | $\Delta_p =$ | 9.5 |
| Desarrollo del peralte | $\Delta =$ | 1.1 |
| | $l = \frac{n a \Delta_p}{\Delta}$ | 21.59 m |
| Longitud de transición | $L_t =$ | 15.9 m |
| Longitud de transición en curva | $L_{tc} =$ | 4.8 m |
| Longitud de transición en recta | $L_{tr} =$ | 11.1 m |
| Longitud de aplanamiento | $L_a =$ | 5.7 m |

| | Punto geometrico | PK | Nomenclatura C3D | Lisquierdo | Lderecho |
|----|------------------|-----------|-----------------------|------------|----------|
| PC | 2+064.810 | 2+047.992 | End Normal Shoulder | -2.5% | -2.5% |
| PT | 2+099.340 | 2+047.992 | End Normal Crown | -2.5% | -2.5% |
| | | 2+053.674 | Level Crown | -2.5% | 0.0% |
| | | 2+059.355 | Low Shoulder Match | -2.5% | 2.5% |
| | | 2+059.355 | Reverse Crown | -2.5% | 2.5% |
| | | 2+069.583 | Begin Full Super | -7.0% | 7.0% |
| | | 2+094.567 | End Full Super | -7.0% | 7.0% |
| | | 2+104.795 | Low Shoulder Match | -2.5% | 2.5% |
| | | 2+104.795 | Reverse Crown | -2.5% | 2.5% |
| | | 2+110.476 | Level Crown | -2.5% | 0.0% |
| | | 2+116.158 | Begin Normal Crown | -2.5% | -2.5% |
| | | 2+116.158 | Begin Normal Shoulder | -2.5% | -2.5% |

Sobre ancho: Calzada en recta 6m, bidireccional, con huelgas $h_1 = 0.45m$ y $h_2 = 0.05m$

Distancia entre parachoques delantero y ultimo eje trasero L_0 **9.5 m**

$$\text{Sobreancho} \quad E = \frac{L_0^2}{R} + 0.15 = 2.26 \text{ m}$$

$$\text{Sobreancho interior} = 0.55E \quad 1.24 \text{ m}$$

$$\text{Sobreancho exterior} = 0.45E \quad 1.02 \text{ m}$$

$$\text{LI} = 3.74$$

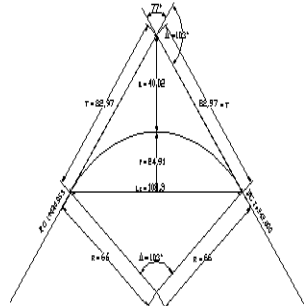
$$\text{LE} = 3.52$$

| | | |
|-----------------------|----------|------------------------|
| VELOCIDAD DE PROYECTO | 30 Km/hr | SPIRAL-CURVA 11-SPIRAL |
| RADIO DE CURVATURA | 180 m | |
| ANGULO DE DEFLEXION | 12.75 ° | |

Velocidad adoptado [Km/h] = Adoptado del manual de la abc **30**

$$\text{Radio de curvatura mínimo (m)} = R_{min} = \frac{V_p^2}{127 * (P_{max} + f)} = 24.87$$

Radio de Curvatura [m] : Adoptado **180**



$$\text{Angulo de Deflexión } [^\circ] = \frac{12.75}{0.22252948}$$

Elementos de curva:

| | | |
|---------------------|--|----------|
| Tangente | $T = R \tan \frac{\Delta}{2}$ | 20.111 m |
| Externa | $E = R \left(\sec \frac{\Delta}{2} - 1 \right)$ | 1.12 m |
| Flecha | $f = R \left(1 - \cos \frac{\Delta}{2} \right)$ | 1.11 m |
| Desarrollo de Curva | $D = \frac{\pi \cdot R \cdot \Delta}{180}$ | 40.06 m |
| Longitud de Curva | $L_c = 2 \cdot R \cdot \sin \frac{\Delta}{2}$ | 39.97 m |

Peralte (%):

$$25 \leq R \leq 350 \rightarrow e = 7\%$$

$$350 < R \leq 3500 \rightarrow e = 7\% - 6.08(1 - 350/R)^{1.3}$$

$$3500 < R \rightarrow e = \text{bombeo}$$

Desarrollo de peralte:

| | Bombeo % | Calculado | Adoptado |
|---|-----------------------------------|-----------|----------|
| Números de carriles | n = | 1 | |
| Ancho normal de un carril | a = | 2.5 m | |
| Variación total de la pendiente transversal % | $\Delta_p =$ | 9.5 | |
| Pendiente relativa % | $\Delta =$ | 1.1 | |
| Desarrollo del peralte | $l = \frac{n a \Delta_p}{\Delta}$ | 21.59 m | 40.71 |
| Longitud de transición | $L_t =$ | 15.9 m | 30 |
| Longitud de transición en curva | $L_{tc} =$ | 4.8 m | |
| Longitud de transición en recta | $L_{tr} =$ | 11.1 m | 30 |
| Longitud de aplanamiento | $L_a =$ | 5.7 m | 10.7 |

| | Punto geometrico | PK | Nomenclatura C3D | Lisquierdo | Lderecho |
|----|------------------|-----------|---------------------|------------|----------|
| PC | 2+289.430 | 2+248.720 | End Normal Shoulder | -2.5% | -2.5% |
| PT | 2+329.490 | 2+248.720 | End Normal Crown | -2.5% | -2.5% |
| | | 2+259.430 | Level Crown | 0.0% | -2.5% |
| | | 2+270.140 | Low Shoulder Match | 2.5% | -2.5% |
| | | 2+270.140 | Reverse Crown | 2.5% | -2.5% |
| | | 2+289.430 | Begin Full Super | 7.0% | -7.0% |
| | | 2+329.490 | End Full Super | 7.0% | -7.0% |

Sobre ancho: Calzada en recta 6m, bidireccional, con huelgas h1 = 0.45m y h2 = 0.05m

Distancia entre parachoques delantero y ultimo eje trasero **L₀** **9.5 m**

$$\text{Sobreancho} \quad E = \frac{L_0^2}{R} + 0.15 = 0.50 \text{ m}$$

$$\text{Sobreancho interior} = 0.55E \quad 0.28 \text{ m}$$

$$\text{Sobreancho exterior} = 0.45E \quad 0.23 \text{ m}$$

$$\text{LI} = 2.78$$

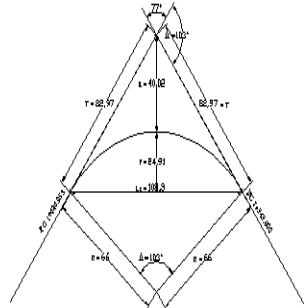
$$\text{LE} = 2.73$$

| | | | |
|-----------------------|---------|-------|------------------------|
| VELOCIDAD DE PROYECTO | 30 | Km/hr | SPIRAL-CURVA 12-SPIRAL |
| RADIO DE CURVATURA | 100 | m | |
| ANGULO DE DEFLEXION | 32.0966 | ° | |

Velocidad adoptado [Km/h] = Adoptado del manual de la abc **30**

$$\text{Radio de curvatura mínimo (m)} = R_{min} = \frac{V_p^2}{127 * (P_{max} + f)} = 24.87$$

Radio de Curvatura [m] : Adoptado **100**



$$\text{Angulo de Deflexión } [^\circ] = \frac{32.0966}{0.560191349} = 57.27^\circ$$

Elementos de curva:

| | | |
|---------------------|--|----------|
| Tangente | $T = R \tan \frac{\Delta}{2}$ | 28.766 m |
| Externa | $E = R \left(\sec \frac{\Delta}{2} - 1 \right)$ | 4.06 m |
| Flecha | $f = R \left(1 - \cos \frac{\Delta}{2} \right)$ | 3.90 m |
| Desarrollo de Curva | $D = \frac{\pi \cdot R \cdot \Delta}{180}$ | 56.02 m |
| Longitud de Curva | $L_c = 2 \cdot R \cdot \sin \frac{\Delta}{2}$ | 55.29 m |

Peralte (%):

$$25 \leq R \leq 350 \rightarrow e = 7\%$$

$$350 < R \leq 3500 \rightarrow e = 7\% - 6.08(1 - 350/R)^{1.3}$$

$$\text{Peralte \%} \quad 7$$

$$3500 < R \rightarrow e = \text{bombeo}$$

Desarrollo de peralte:

| | | |
|---|-----------------------------------|--------------------|
| Números de carriles | Bombeo % | -2.5 |
| Ancho normal de un carril | $n =$ | 1 |
| Variación total de la pendiente transversal % | $a =$ | 2.5 m |
| Pendiente relativa % | $\Delta_p =$ | 9.5 |
| Desarrollo del peralte | $\Delta =$ | 1.1 |
| | $l = \frac{n a \Delta_p}{\Delta}$ | 21.59 m 40.71 |
| Longitud de transición | $L_t =$ | 15.9 m 30 |
| Longitud de transición en curva | $L_{tc} =$ | 4.8 m |
| Longitud de transición en recta | $L_{tr} =$ | 11.1 m 30 |
| Longitud de aplanamiento | $L_a =$ | 5.7 m 10.7 |

| | Punto geometrico | PK | Nomenclatura C3D | Lisquierdo | Lderecho |
|----|------------------|-----------|------------------|------------|----------|
| PC | | 2+389.490 | | | |
| PT | | 2+445.510 | | | |

| | | | |
|-----------|-----------------------|-------|-------|
| 2+389.490 | Begin Full Super | -7.0% | 7.0% |
| 2+445.510 | End Full Super | -7.0% | 7.0% |
| 2+464.800 | Low Shoulder Match | -2.5% | 2.5% |
| 2+464.800 | Reverse Crown | -2.5% | 2.5% |
| 2+475.510 | Level Crown | -2.5% | 0.0% |
| 2+486.220 | Begin Normal Crown | -2.5% | -2.5% |
| 2+486.220 | Begin Normal Shoulder | -2.5% | -2.5% |

Sobre ancho: Calzada en recta 6m, bidireccional, con huelgas h1 = 0.45m y h2 = 0.05m

Distancia entre parachoques delantero y ultimo eje trasero **L₀** **9.5 m**

$$\text{Sobreancho} \quad E = \frac{L_0^2}{R} + 0.15 = 0.90 \text{ m}$$

$$\text{Sobreancho interior} = 0.55E \quad 0.50 \text{ m}$$

$$\text{Sobreancho exterior} = 0.45E \quad 0.41 \text{ m}$$

$$\text{LI} = 3.00$$

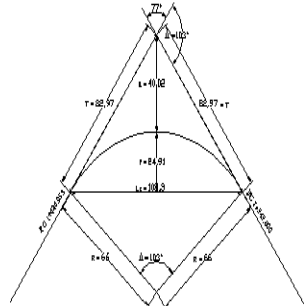
$$\text{LE} = 2.91$$

| | | | |
|-----------------------|---------|-------|----------|
| VELOCIDAD DE PROYECTO | 30 | Km/hr | CURVA 13 |
| RADIO DE CURVATURA | 70 | m | |
| ANGULO DE DEFLEXION | 23.6675 | ° | |

Velocidad adoptado [Km/h] = Adoptado del manual de abc **30**

$$\text{Radio de curvatura mínimo (m)} = R_{min} = \frac{V_p^2}{127 * (P_{max} + f)} = 24.87$$

Radio de Curvatura [m] : Adoptado **70**



Angulo de Deflexión [°] = **23.6675**
0.413075801

Elementos de curva:

| | | |
|---------------------|--|----------|
| Tangente | $T = R \tan \frac{\Delta}{2}$ | 14.667 m |
| Externa | $E = R \left(\sec \frac{\Delta}{2} - 1 \right)$ | 1.52 m |
| Flecha | $f = R \left(1 - \cos \frac{\Delta}{2} \right)$ | 1.49 m |
| Desarrollo de Curva | $D = \frac{\pi \cdot R \cdot \Delta}{180}$ | 28.92 m |
| Longitud de Curva | $L_c = 2 \cdot R \cdot \sin \frac{\Delta}{2}$ | 28.71 m |

Peralte (%):

$$25 \leq R \leq 350 \rightarrow e = 7\%$$

$$350 < R \leq 3500 \rightarrow e = 7\% - 6.08(1 - 350/R)^{1.3}$$

$$3500 < R \rightarrow e = \text{bombeo}$$

Desarrollo de peralte:

| | | |
|---|-----------------------------------|---------|
| Números de carriles | Bombeo % | -2.5 |
| Ancho normal de un carril | $n =$ | 1 |
| Variación total de la pendiente transversal % | $a =$ | 2.5 m |
| Pendiente relativa % | $\Delta_p =$ | 9.5 |
| Desarrollo del peralte | $\Delta =$ | 1.1 |
| | $l = \frac{n a \Delta_p}{\Delta}$ | 21.59 m |
| Longitud de transición | $L_t =$ | 15.9 m |
| Longitud de transición en curva | $L_{tc} =$ | 4.8 m |
| Longitud de transición en recta | $L_{tr} =$ | 11.1 m |
| Longitud de aplanamiento | $L_a =$ | 5.7 m |

| | Punto geometrico | PK | Nomenclatura C3D | Lisquierdo | Lderecho |
|----|------------------|-----------|-----------------------|------------|----------|
| PC | 2+577.140 | 2+560.322 | End Normal Shoulder | -2.5% | -2.5% |
| PT | 2+606.050 | 2+560.322 | End Normal Crown | -2.5% | -2.5% |
| | | 2+566.004 | Level Crown | 0.0% | -2.5% |
| | | 2+571.685 | Low Shoulder Match | 2.5% | -2.5% |
| | | 2+571.685 | Reverse Crown | 2.5% | -2.5% |
| | | 2+581.913 | Begin Full Super | 7.0% | -7.0% |
| | | 2+601.277 | End Full Super | 7.0% | -7.0% |
| | | 2+611.505 | Low Shoulder Match | 2.5% | -2.5% |
| | | 2+611.505 | Reverse Crown | 2.5% | -2.5% |
| | | 2+617.186 | Level Crown | 0.0% | -2.5% |
| | | 2+622.868 | Begin Normal Crown | -2.5% | -2.5% |
| | | 2+622.868 | Begin Normal Shoulder | -2.5% | -2.5% |

Sobre ancho: Calzada en recta 6m, bidireccional, con huelgas $h_1 = 0.45m$ y $h_2 = 0.05m$

Distancia entre parachoques delantero y ultimo eje trasero L_0 **9.5 m**

$$\text{Sobreancho} \quad E = \frac{L_0^2}{R} + 0.15 = 1.29 \text{ m}$$

$$\text{Sobreancho interior} = 0.55E \quad 0.71 \text{ m}$$

$$\text{Sobreancho exterior} = 0.45E \quad 0.58 \text{ m}$$

$$\text{LI} = 3.21$$

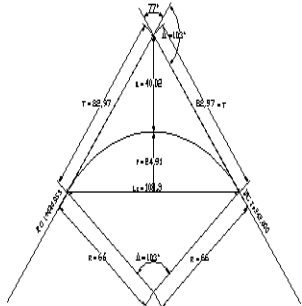
$$\text{LE} = 3.08$$

| | | | |
|-----------------------|---------|-------|----------|
| VELOCIDAD DE PROYECTO | 30 | Km/hr | CURVA 14 |
| RADIO DE CURVATURA | 80 | m | |
| ANGULO DE DEFLEXION | 22.7203 | ° | |

Velocidad adoptado [Km/h] = Adoptado del manual de la abc **30**

$$\text{Radio de curvatura mínimo (m)} = R_{min} = \frac{V_p^2}{127 * (P_{max} + f)} = 24.87$$

Radio de Curvatura [m] : Adoptado **80**



$$\text{Angulo de Deflexión } [\text{ ° }] = \frac{22.7203}{0.396544042}$$

Elementos de curva:

| | | |
|---------------------|--|----------|
| Tangente | $T = R \tan \frac{\Delta}{2}$ | 16.073 m |
| Externa | $E = R \left(\sec \frac{\Delta}{2} - 1 \right)$ | 1.60 m |
| Flecha | $f = R \left(1 - \cos \frac{\Delta}{2} \right)$ | 1.57 m |
| Desarrollo de Curva | $D = \frac{\pi \cdot R \cdot \Delta}{180}$ | 31.72 m |
| Longitud de Curva | $L_c = 2 \cdot R \cdot \sin \frac{\Delta}{2}$ | 31.52 m |

Peralte (%):

$$25 \leq R \leq 350 \rightarrow e = 7\%$$

$$350 < R \leq 3500 \rightarrow e = 7\% - 6.08(1 - 350/R)^{1.3}$$

$$\text{Peralte \%} \quad 7$$

$$3500 < R \rightarrow e = \text{bombeo}$$

Desarrollo de peralte:

| | | |
|---|-----------------------------------|---------|
| Números de carriles | Bombeo % | -2.5 |
| Ancho normal de un carril | $n =$ | 1 |
| Variación total de la pendiente transversal % | $a =$ | 2.5 m |
| Pendiente relativa % | $\Delta_p =$ | 9.5 |
| Desarrollo del peralte | $\Delta =$ | 1.1 |
| | $l = \frac{n a \Delta_p}{\Delta}$ | 21.59 m |
| Longitud de transición | $L_t =$ | 15.9 m |
| Longitud de transición en curva | $L_{tc} =$ | 4.8 m |
| Longitud de transición en recta | $L_{tr} =$ | 11.1 m |
| Longitud de aplanamiento | $L_a =$ | 5.7 m |

| | Punto geometrico | PK | Nomenclatura C3D | Lisquierdo | Lderecho |
|----|------------------|-----------|---------------------|------------|----------|
| PC | 2+923.140 | 2+906.322 | End Normal Shoulder | -2.5% | -2.5% |
| PT | 2+954.860 | 2+906.322 | End Normal Crown | -2.5% | -2.5% |
| | | 2+912.004 | Level Crown | -2.5% | 0.0% |
| | | 2+917.685 | Low Shoulder Match | -2.5% | 2.5% |
| | | 2+917.685 | Reverse Crown | -2.5% | 2.5% |
| | | 2+927.913 | Begin Full Super | -7.0% | 7.0% |
| | | 2+950.087 | End Full Super | -7.0% | 7.0% |

Sobre ancho: Calzada en recta 6m, bidireccional, con huelgas $h_1 = 0.45m$ y $h_2 = 0.05m$

Distancia entre parachoques delantero y ultimo eje trasero L_0 **9.5 m**

$$\text{Sobreancho} \quad E = \frac{L_0^2}{R} + 0.15 = 1.13 \text{ m}$$

$$\text{Sobreancho interior} = 0.55E \quad 0.62 \text{ m}$$

$$\text{Sobreancho exterior} = 0.45E \quad 0.51 \text{ m}$$

$$\text{LI} = 3.12$$

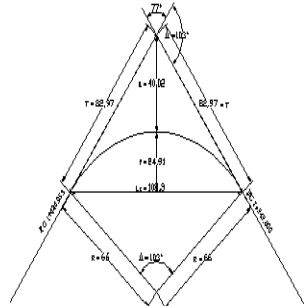
$$\text{LE} = 3.01$$

| | | | |
|-----------------------|---------|-------|----------|
| VELOCIDAD DE PROYECTO | 30 | Km/hr | CURVA 15 |
| RADIO DE CURVATURA | 25 | m | |
| ANGULO DE DEFLEXION | 122.458 | ° | |

Velocidad adoptado [Km/h] = Adoptado del manual de abc **30**

$$\text{Radio de curvatura mínimo (m)} = R_{min} = \frac{V_p^2}{127 * (P_{max} + f)} = 24.87$$

Radio de Curvatura [m] : Adoptado **25**



$$\text{Angulo de Deflexión } [\text{ }^\circ] = \frac{122.458}{2.137295295}$$

Elementos de curva:

| | | |
|---------------------|--|----------|
| Tangente | $T = R \tan \frac{\Delta}{2}$ | 45.529 m |
| Externa | $E = R \left(\sec \frac{\Delta}{2} - 1 \right)$ | 26.94 m |
| Flecha | $f = R \left(1 - \cos \frac{\Delta}{2} \right)$ | 12.97 m |
| Desarrollo de Curva | $D = \frac{\pi \cdot R \cdot \Delta}{180}$ | 53.43 m |
| Longitud de Curva | $L_c = 2 \cdot R \cdot \sin \frac{\Delta}{2}$ | 43.83 m |

Peralte (%):

$$25 \leq R \leq 350 \rightarrow e = 7\%$$

$$350 < R \leq 3500 \rightarrow e = 7\% - 6.08(1 - 350/R)^{1.3}$$

$$3500 < R \rightarrow e = \text{bombeo}$$

Desarrollo de peralte:

| | | |
|---|-----------------------------------|---------|
| Números de carriles | Bombeo % | -2.5 |
| Ancho normal de un carril | $n =$ | 1 |
| Variación total de la pendiente transversal % | $a =$ | 2.5 m |
| Pendiente relativa % | $\Delta_p =$ | 9.5 |
| Desarrollo del peralte | $\Delta =$ | 1.1 |
| | $l = \frac{n a \Delta_p}{\Delta}$ | 21.59 m |
| Longitud de transición | $L_t =$ | 15.9 m |
| Longitud de transición en curva | $L_{tc} =$ | 4.8 m |
| Longitud de transición en recta | $L_{tr} =$ | 11.1 m |
| Longitud de aplanamiento | $L_a =$ | 5.7 m |

| PC | Punto geometrico | PK | Nomenclatura C3D | Lisquierdo | Lderecho |
|----|------------------|----|------------------|------------|----------|
| | 2+954.860 | | | | |
| PT | 3+008.290 | | | | |

| | | | |
|-----------|-----------------------|-------|-------|
| 2+959.633 | Begin Full Super | 7.0% | -7.0% |
| 3+003.517 | End Full Super | 7.0% | -7.0% |
| 3+013.745 | Low Shoulder Match | 2.5% | -2.5% |
| 3+013.745 | Reverse Crown | 2.5% | -2.5% |
| 3+019.426 | Level Crown | 0.0% | -2.5% |
| 3+025.108 | Begin Normal Crown | -2.5% | -2.5% |
| 3+025.108 | Begin Normal Shoulder | -2.5% | -2.5% |

Sobre ancho: Calzada en recta 6m, bidireccional, con huelgas $h_1 = 0.45m$ y $h_2 = 0.05m$

Distancia entre parachoques delantero y ultimo eje trasero L_0 **9.5 m**

$$\text{Sobreancho} \quad E = \frac{L_0^2}{R} + 0.15 \quad 3.61 \text{ m}$$

$$\text{Sobreancho interior} = 0.55E \quad 1.76 \text{ m}$$

$$\text{Sobreancho exterior} = 0.45E \quad 1.44 \text{ m}$$

$$LI = \quad 4.26$$

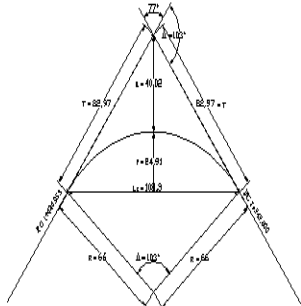
$$LE = \quad 3.94$$

| | | | |
|-----------------------|---------|-------|----------|
| VELOCIDAD DE PROYECTO | 30 | Km/hr | CURVA 16 |
| RADIO DE CURVATURA | 80 | m | |
| ANGULO DE DEFLEXION | 78.2848 | ° | |

Velocidad adoptado [Km/h] = Adoptado del manual de la abc **30**

$$\text{Radio de curvatura mínimo (m)} = R_{min} = \frac{V_p^2}{127 * (P_{max} + f)} = 24.87$$

Radio de Curvatura [m] : Adoptado **80**



$$\text{Angulo de Deflexión } [^\circ] = \frac{R \cdot \Delta}{L} = \frac{80 \cdot 100}{109.3} = 78.2848$$

Elementos de curva:

| | | |
|---------------------|--|----------|
| Tangente | $T = R \tan \frac{\Delta}{2}$ | 65.113 m |
| Externa | $E = R \left(\sec \frac{\Delta}{2} - 1 \right)$ | 23.15 m |
| Flecha | $f = R \left(1 - \cos \frac{\Delta}{2} \right)$ | 17.95 m |
| Desarrollo de Curva | $D = \frac{\pi \cdot R \cdot \Delta}{180}$ | 109.31 m |
| Longitud de Curva | $L_c = 2 \cdot R \cdot \sin \frac{\Delta}{2}$ | 101.00 m |

Peralte (%):

$$25 \leq R \leq 350 \rightarrow e = 7\%$$

$$350 < R \leq 3500 \rightarrow e = 7\% - 6.08(1 - 350/R)^{1.3}$$

$$3500 < R \rightarrow e = \text{bombeo}$$

Desarrollo de peralte:

| | Bombeo % | Calculado | adoptado |
|---|-----------------------------------|-----------|----------|
| Números de carriles | $n =$ | 1 | |
| Ancho normal de un carril | $a =$ | 2.5 m | |
| Variación total de la pendiente transversal % | $\Delta_p =$ | 9.5 | |
| Pendiente relativa % | $\Delta =$ | 1.1 | |
| Desarrollo del peralte | $l = \frac{n a \Delta_p}{\Delta}$ | 21.59 m | 40.71 |
| Longitud de transición | $L_t =$ | 15.9 m | 30 |
| Longitud de transición en curva | $L_{tc} =$ | 4.8 m | |
| Longitud de transición en recta | $L_{tr} =$ | 11.1 m | 30 |
| Longitud de aplanamiento | $L_a =$ | 5.7 m | 10.7 |

| PC | Punto geometrico | PK | Nomenclatura C3D | Lisquierdo | Lderecho |
|----|------------------|-----------|-----------------------|------------|----------|
| | 3+100.800 | 3+060.090 | End Normal Shoulder | -2.5% | -2.5% |
| PT | 3+210.110 | 3+060.090 | End Normal Crown | -2.5% | -2.5% |
| | | 3+070.800 | Level Crown | -2.5% | 0.0% |
| | | 3+081.510 | Low Shoulder Match | -2.5% | 2.5% |
| | | 3+081.510 | Reverse Crown | -2.5% | 2.5% |
| | | 3+100.800 | Begin Full Super | -7.0% | 7.0% |
| | | 3+210.110 | End Full Super | -7.0% | 7.0% |
| | | 3+229.400 | Low Shoulder Match | -2.5% | 2.5% |
| | | 3+229.400 | Reverse Crown | -2.5% | 2.5% |
| | | 3+240.110 | Level Crown | -2.5% | 0.0% |
| | | 3+250.820 | Begin Normal Crown | -2.5% | -2.5% |
| | | 3+250.820 | Begin Normal Shoulder | -2.5% | -2.5% |

Sobre ancho: Calzada en recta 6m, bidireccional, con huelgas $h_1 = 0.45m$ y $h_2 = 0.05m$

Distancia entre parachoques delantero y ultimo eje trasero L_0 **9.5 m**

$$\text{Sobreancho} \quad E = \frac{L_0^2}{R} + 0.15 = 1.13 \text{ m}$$

$$\text{Sobreancho interior} = 0.55E \quad 0.62 \text{ m}$$

$$\text{Sobreancho exterior} = 0.45E \quad 0.51 \text{ m}$$

$$\text{LI} = 3.12$$

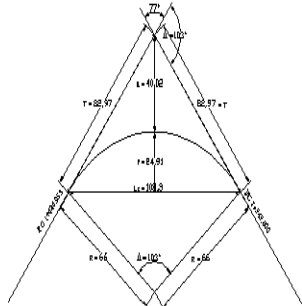
$$\text{LE} = 3.01$$

| | | | |
|-----------------------|---------|-------|----------|
| VELOCIDAD DE PROYECTO | 30 | Km/hr | CURVA 17 |
| RADIO DE CURVATURA | 40 | m | |
| ANGULO DE DEFLEXION | 42.9469 | ° | |

Velocidad adoptado [Km/h] = Adoptado del manual de la abc **30**

$$\text{Radio de curvatura mínimo (m)} = R_{min} = \frac{V_p^2}{127 * (P_{max} + f)} = 24.87$$

Radio de Curvatura [m] : Adoptado **40**



$$\text{Angulo de Deflexión } [^\circ] = \frac{T}{R} = \frac{15.735}{40} = 42.9469$$

Elementos de curva:

| | | |
|---------------------|--|----------|
| Tangente | $T = R \tan \frac{\Delta}{2}$ | 15.735 m |
| Externa | $E = R \left(\sec \frac{\Delta}{2} - 1 \right)$ | 2.98 m |
| Flecha | $f = R \left(1 - \cos \frac{\Delta}{2} \right)$ | 2.78 m |
| Desarrollo de Curva | $D = \frac{\pi \cdot R \cdot \Delta}{180}$ | 29.98 m |
| Longitud de Curva | $L_c = 2 \cdot R \cdot \sin \frac{\Delta}{2}$ | 29.29 m |

Peralte (%):

$$25 \leq R \leq 350 \rightarrow e = 7\%$$

$$350 < R \leq 3500 \rightarrow e = 7\% - 6.08(1 - 350/R)^{1.3}$$

$$\text{Peralte \%} \quad 7$$

$$3500 < R \rightarrow e = \text{bombeo}$$

Desarrollo de peralte:

| | | |
|---|-----------------------------------|---------|
| Números de carriles | Bombeo % | -2.5 |
| Ancho normal de un carril | $n =$ | 1 |
| Variación total de la pendiente transversal % | $a =$ | 2.5 m |
| Pendiente relativa % | $\Delta_p =$ | 9.5 |
| Desarrollo del peralte | $\Delta =$ | 1.1 |
| | $l = \frac{n a \Delta_p}{\Delta}$ | 21.59 m |
| Longitud de transición | $L_t =$ | 15.9 m |
| Longitud de transición en curva | $L_{tc} =$ | 4.8 m |
| Longitud de transición en recta | $L_{tr} =$ | 11.1 m |
| Longitud de aplanamiento | $L_a =$ | 5.7 m |

| | Punto geometrico | PK | Nomenclatura C3D | Lisquierdo | Lderecho |
|----|------------------|-----------|-----------------------|------------|----------|
| PC | 3+307.380 | 3+290.562 | End Normal Shoulder | -2.5% | -2.5% |
| PT | 3+337.360 | 3+290.562 | End Normal Crown | -2.5% | -2.5% |
| | | 3+296.244 | Level Crown | -2.5% | 0.0% |
| | | 3+301.925 | Low Shoulder Match | -2.5% | 2.5% |
| | | 3+301.925 | Reverse Crown | -2.5% | 2.5% |
| | | 3+312.153 | Begin Full Super | -7.0% | 7.0% |
| | | 3+332.587 | End Full Super | -7.0% | 7.0% |
| | | 3+342.815 | Low Shoulder Match | -2.5% | 2.5% |
| | | 3+342.815 | Reverse Crown | -2.5% | 2.5% |
| | | 3+348.496 | Level Crown | -2.5% | 0.0% |
| | | 3+354.178 | Begin Normal Crown | -2.5% | -2.5% |
| | | 3+354.178 | Begin Normal Shoulder | -2.5% | -2.5% |

Sobre ancho: Calzada en recta 6m, bidireccional, con huelgas $h_1 = 0.45m$ y $h_2 = 0.05m$

Distancia entre parachoques delantero y ultimo eje trasero L_0 **9.5 m**

$$\text{Sobreancho} \quad E = \frac{L_0^2}{R} + 0.15 = 2.26 \text{ m}$$

$$\text{Sobreancho interior} = 0.55E \quad 1.24 \text{ m}$$

$$\text{Sobreancho exterior} = 0.45E \quad 1.02 \text{ m}$$

$$\text{LI} = 3.74$$

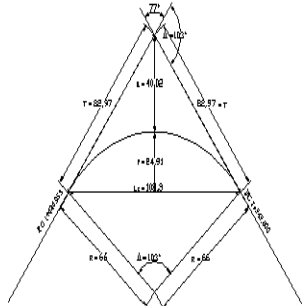
$$\text{LE} = 3.52$$

| | | | |
|-----------------------|---------|-------|----------|
| VELOCIDAD DE PROYECTO | 30 | Km/hr | CURVA 18 |
| RADIO DE CURVATURA | 60 | m | |
| ANGULO DE DEFLEXION | 49.0398 | ° | |

Velocidad adoptado [Km/h] = Adoptado del manual de abc **30**

$$\text{Radio de curvatura mínimo (m)} = R_{min} = \frac{V_p^2}{127 * (P_{max} + f)} = 24.87$$

Radio de Curvatura [m] : Adoptado **60**



$$\text{Angulo de Deflexión } [^\circ] = \frac{V_p^2}{0.855905975} = \mathbf{49.0398}$$

Elementos de curva:

| | | |
|---------------------|--|----------|
| Tangente | $T = R \tan \frac{\Delta}{2}$ | 27.369 m |
| Externa | $E = R \left(\sec \frac{\Delta}{2} - 1 \right)$ | 5.95 m |
| Flecha | $f = R \left(1 - \cos \frac{\Delta}{2} \right)$ | 5.41 m |
| Desarrollo de Curva | $D = \frac{\pi \cdot R \cdot \Delta}{180}$ | 51.35 m |
| Longitud de Curva | $L_c = 2 \cdot R \cdot \sin \frac{\Delta}{2}$ | 49.80 m |

Peralte (%):

$$25 \leq R \leq 350 \rightarrow e = 7\%$$

$$350 < R \leq 3500 \rightarrow e = 7\% - 6.08(1 - 350/R)^{1.3}$$

$$3500 < R \rightarrow e = \text{bombeo}$$

Desarrollo de peralte:

| | | |
|---|-----------------------------------|---------|
| Números de carriles | Bombeo % | -2.5 |
| Ancho normal de un carril | $n =$ | 1 |
| Variación total de la pendiente transversal % | $a =$ | 2.5 m |
| Pendiente relativa % | $\Delta_p =$ | 9.5 |
| Desarrollo del peralte | $\Delta =$ | 1.1 |
| | $l = \frac{n a \Delta_p}{\Delta}$ | 21.59 m |
| Longitud de transición | $L_t =$ | 15.9 m |
| Longitud de transición en curva | $L_{tc} =$ | 4.8 m |
| Longitud de transición en recta | $L_{tr} =$ | 11.1 m |
| Longitud de aplanamiento | $L_a =$ | 5.7 m |

| | Punto geometrico | PK | Nomenclatura C3D | Lisquierdo | Lderecho |
|----|------------------|-----------|-----------------------|------------|----------|
| PC | 3+426.640 | 3+409.822 | End Normal Shoulder | -2.5% | -2.5% |
| PT | 3+478.000 | 3+409.822 | End Normal Crown | -2.5% | -2.5% |
| | | 3+415.504 | Level Crown | 0.0% | -2.5% |
| | | 3+421.185 | Low Shoulder Match | 2.5% | -2.5% |
| | | 3+421.185 | Reverse Crown | 2.5% | -2.5% |
| | | 3+431.413 | Begin Full Super | 7.0% | -7.0% |
| | | 3+473.227 | End Full Super | 7.0% | -7.0% |
| | | 3+483.455 | Low Shoulder Match | 2.5% | -2.5% |
| | | 3+483.455 | Reverse Crown | 2.5% | -2.5% |
| | | 3+489.136 | Level Crown | 0.0% | -2.5% |
| | | 3+494.818 | Begin Normal Crown | -2.5% | -2.5% |
| | | 3+494.818 | Begin Normal Shoulder | -2.5% | -2.5% |

Sobre ancho: Calzada en recta 6m, bidireccional, con huelgas $h_1 = 0.45m$ y $h_2 = 0.05m$

Distancia entre parachoques delantero y ultimo eje trasero L_0 **9.5 m**

$$\text{Sobreancho} \quad E = \frac{L_0^2}{R} + 0.15 = 1.50 \text{ m}$$

$$\text{Sobreancho interior} = 0.55E \quad 0.83 \text{ m}$$

$$\text{Sobreancho exterior} = 0.45E \quad 0.68 \text{ m}$$

$$\text{LI} = 3.33$$

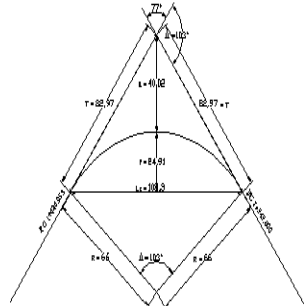
$$\text{LE} = 3.18$$

| | | | |
|-----------------------|---------|-------|----------|
| VELOCIDAD DE PROYECTO | 30 | Km/hr | CURVA 19 |
| RADIO DE CURVATURA | 30 | m | |
| ANGULO DE DEFLEXION | 54.5782 | ° | |

Velocidad adoptado [Km/h] = Adoptado del manual de la abc **30**

$$\text{Radio de curvatura mínimo (m)} = R_{min} = \frac{V_p^2}{127 * (P_{max} + f)} = 24.87$$

Radio de Curvatura [m] : Adoptado **30**



Angulo de Deflexión [°] = **54.5782**
0.95256929

Elementos de curva:

| | | |
|---------------------|--|----------|
| Tangente | $T = R \tan \frac{\Delta}{2}$ | 15.477 m |
| Externa | $E = R \left(\sec \frac{\Delta}{2} - 1 \right)$ | 3.76 m |
| Flecha | $f = R \left(1 - \cos \frac{\Delta}{2} \right)$ | 3.34 m |
| Desarrollo de Curva | $D = \frac{\pi \cdot R \cdot \Delta}{180}$ | 28.58 m |
| Longitud de Curva | $L_c = 2 \cdot R \cdot \sin \frac{\Delta}{2}$ | 27.51 m |

Peralte (%):

$$25 \leq R \leq 350 \rightarrow e = 7\%$$

$$350 < R \leq 3500 \rightarrow e = 7\% - 6.08(1 - 350/R)^{1.3}$$

$$3500 < R \rightarrow e = \text{bombeo}$$

Desarrollo de peralte:

| | | |
|---|-----------------------------------|---------|
| Números de carriles | Bombeo % | -2.5 |
| Ancho normal de un carril | $n =$ | 1 |
| Variación total de la pendiente transversal % | $a =$ | 2.5 m |
| Pendiente relativa % | $\Delta_p =$ | 9.5 |
| Desarrollo del peralte | $\Delta =$ | 1.1 |
| | $l = \frac{n a \Delta_p}{\Delta}$ | 21.59 m |
| Longitud de transición | $L_t =$ | 15.9 m |
| Longitud de transición en curva | $L_{tc} =$ | 4.8 m |
| Longitud de transición en recta | $L_{tr} =$ | 11.1 m |
| Longitud de aplanamiento | $L_a =$ | 5.7 m |

| | Punto geometrico | PK | Nomenclatura C3D | Lisquierdo | Lderecho |
|----|------------------|-----------|---------------------|------------|----------|
| PC | 3+547.940 | 3+531.122 | End Normal Shoulder | -2.5% | -2.5% |
| PT | 3+576.520 | 3+531.122 | End Normal Crown | -2.5% | -2.5% |
| | | 3+536.804 | Level Crown | -2.5% | 0.0% |
| | | 3+542.485 | Low Shoulder Match | -2.5% | 2.5% |
| | | 3+542.485 | Reverse Crown | -2.5% | 2.5% |
| | | 3+552.713 | Begin Full Super | -7.0% | 7.0% |
| | | 3+571.747 | End Full Super | -7.0% | 7.0% |

Sobre ancho: Calzada en recta 6m, bidireccional, con huelgas $h_1 = 0.45m$ y $h_2 = 0.05m$

Distancia entre parachoques delantero y ultimo eje trasero L_0 **9.5 m**

$$\text{Sobreancho} \quad E = \frac{L_0^2}{R} + 0.15 = 3.01 \text{ m}$$

$$\text{Sobreancho interior} = 0.55E \quad 1.65 \text{ m}$$

$$\text{Sobreancho exterior} = 0.45E \quad 1.35 \text{ m}$$

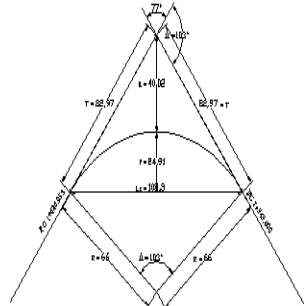
$$\text{LI} = 4.15 \\ \text{LE} = 3.85$$

| | | | |
|-----------------------|---------|-------|----------|
| VELOCIDAD DE PROYECTO | 30 | Km/hr | CURVA 20 |
| RADIO DE CURVATURA | 25 | m | |
| ANGULO DE DEFLEXION | 59.9098 | ° | |

Velocidad adoptado [Km/h] = Adoptado del manual de la abc **30**

$$\text{Radio de curvatura mínimo (m)} = R_{min} = \frac{V_p^2}{127 * (P_{max} + f)} = 24.87$$

Radio de Curvatura [m] : Adoptado **25**



$$\text{Angulo de Deflexión } [\text{ }^\circ] = \frac{\pi \cdot R \cdot \Delta}{180} = \frac{59.9098}{1.045623264} = 59.9098$$

Elementos de curva:

| | | |
|---------------------|--|----------|
| Tangente | $T = R \tan \frac{\Delta}{2}$ | 14.408 m |
| Externa | $E = R \left(\sec \frac{\Delta}{2} - 1 \right)$ | 3.85 m |
| Flecha | $f = R \left(1 - \cos \frac{\Delta}{2} \right)$ | 3.34 m |
| Desarrollo de Curva | $D = \frac{\pi \cdot R \cdot \Delta}{180}$ | 26.14 m |
| Longitud de Curva | $L_c = 2 \cdot R \cdot \sin \frac{\Delta}{2}$ | 24.97 m |

Peralte (%):

$$25 \leq R \leq 350 \rightarrow e = 7\%$$

$$350 < R \leq 3500 \rightarrow e = 7\% - 6.08(1 - 350/R)^{1.3}$$

$$\text{Peralte \%} \quad 7$$

$$3500 < R \rightarrow e = \text{bombeo}$$

Desarrollo de peralte:

| | | |
|---|-----------------------------------|---------|
| Números de carriles | Bombeo % | -2.5 |
| Ancho normal de un carril | $n =$ | 1 |
| Variación total de la pendiente transversal % | $a =$ | 2.5 m |
| Pendiente relativa % | $\Delta_p =$ | 9.5 |
| Desarrollo del peralte | $\Delta =$ | 1.1 |
| | $l = \frac{n a \Delta_p}{\Delta}$ | 21.59 m |
| Longitud de transición | $L_t =$ | 15.9 m |
| Longitud de transición en curva | $L_{tc} =$ | 4.8 m |
| Longitud de transición en recta | $L_{tr} =$ | 11.1 m |
| Longitud de aplanamiento | $L_a =$ | 5.7 m |

| PC | Punto geometrico | PK | Nomenclatura C3D | Lisquierdo | Lderecho |
|----|------------------|----|------------------|------------|----------|
| | 3+576.520 | | | | |
| PT | 3+602.660 | | | | |

| | | | |
|-----------|-----------------------|-------|-------|
| 3+581.293 | Begin Full Super | 7.0% | -7.0% |
| 3+597.887 | End Full Super | 7.0% | -7.0% |
| 3+608.115 | Low Shoulder Match | 2.5% | -2.5% |
| 3+608.115 | Reverse Crown | 2.5% | -2.5% |
| 3+613.796 | Level Crown | 0.0% | -2.5% |
| 3+619.478 | Begin Normal Crown | -2.5% | -2.5% |
| 3+619.478 | Begin Normal Shoulder | -2.5% | -2.5% |

Sobre ancho: Calzada en recta 6m, bidireccional, con huelgas $h_1 = 0.45m$ y $h_2 = 0.05m$

Distancia entre parachoques delantero y ultimo eje trasero L_0 **9.5 m**

$$\text{Sobreancho} \quad E = \frac{L_0^2}{R} + 0.15 = \frac{9.5^2}{25} + 0.15 = 3.61 \text{ m}$$

$$\text{Sobreancho interior} = 0.55E \quad 1.76 \text{ m}$$

$$\text{Sobreancho exterior} = 0.45E \quad 1.44 \text{ m}$$

$$\text{LI} = 4.26$$

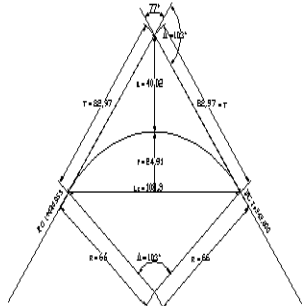
$$\text{LE} = 3.94$$

| | | | |
|-----------------------|---------|-------|------------------------|
| VELOCIDAD DE PROYECTO | 30 | Km/hr | SPIRAL-CURVA 21-SPIRAL |
| RADIO DE CURVATURA | 70 | m | |
| ANGULO DE DEFLEXION | 10.4582 | ° | |

Velocidad adoptado [Km/h] = Adoptado del manual de la abc **30**

$$\text{Radio de curvatura mínimo (m)} = R_{min} = \frac{V_p^2}{127 * (P_{max} + f)} = 24.87$$

Radio de Curvatura [m] : Adoptado **70**



$$\text{Angulo de Deflexión } [^\circ] = \frac{10.4582}{0.182530024}$$

Elementos de curva:

| | | |
|---------------------|--|---------|
| Tangente | $T = R \tan \frac{\Delta}{2}$ | 6.406 m |
| Externa | $E = R \left(\sec \frac{\Delta}{2} - 1 \right)$ | 0.29 m |
| Flecha | $f = R \left(1 - \cos \frac{\Delta}{2} \right)$ | 0.29 m |
| Desarrollo de Curva | $D = \frac{\pi \cdot R \cdot \Delta}{180}$ | 12.78 m |
| Longitud de Curva | $L_c = 2 \cdot R \cdot \sin \frac{\Delta}{2}$ | 12.76 m |

Peralte (%):

$$25 \leq R \leq 350 \rightarrow e = 7\%$$

$$350 < R \leq 3500 \rightarrow e = 7\% - 6.08(1 - 350/R)^{1.3}$$

$$3500 < R \rightarrow e = \text{bombeo}$$

Desarrollo de peralte:

| | Bombeo % | Calculado | Adoptado |
|---|-----------------------------------|-----------|----------|
| Números de carriles | n = | 1 | |
| Ancho normal de un carril | a = | 2.5 m | |
| Variación total de la pendiente transversal % | $\Delta_p =$ | 9.5 | |
| Pendiente relativa % | $\Delta =$ | 1.1 | |
| Desarrollo del peralte | $l = \frac{n a \Delta_p}{\Delta}$ | 21.59 m | 27.14 |
| Longitud de transición | $L_t =$ | 15.9 m | 20 |
| Longitud de transición en curva | $L_{tc} =$ | 4.8 m | |
| Longitud de transición en recta | $L_{tr} =$ | 11.1 m | 20 |
| Longitud de aplanamiento | $L_a =$ | 5.7 m | 7.1 |

| PC | Punto geometrico | PK | Nomenclatura C3D | Lisquierdo | Lderecho |
|----|------------------|-----------|---------------------|------------|----------|
| | 3+783.990 | 3+756.850 | End Normal Shoulder | -2.5% | -2.5% |
| PT | 3+796.760 | 3+756.850 | End Normal Crown | -2.5% | -2.5% |
| | | 3+763.990 | Level Crown | -2.5% | 0.0% |
| | | 3+771.130 | Low Shoulder Match | -2.5% | 2.5% |
| | | 3+771.130 | Reverse Crown | -2.5% | 2.5% |
| | | 3+783.990 | Begin Full Super | -7.0% | 7.0% |
| | | 3+796.760 | End Full Super | -7.0% | 7.0% |

Sobre ancho: Calzada en recta 6m, bidireccional, con huelgas h1 = 0.45m y h2 = 0.05m

Distancia entre parachoques delantero y ultimo eje trasero **L₀** **9.5 m**

$$\text{Sobreancho} \quad E = \frac{L_0^2}{R} + 0.15 = 1.29 \text{ m}$$

$$\text{Sobreancho interior} = 0.55E \quad 0.71 \text{ m}$$

$$\text{Sobreancho exterior} = 0.45E \quad 0.58 \text{ m}$$

$$\text{LI} = \quad 3.21$$

$$\text{LE} = \quad 3.08$$

| | | |
|-----------------------|-----------|------------------------|
| VELOCIDAD DE PROYECTO | 30 Km/hr | SPIRAL-CURVA 22-SPIRAL |
| RADIO DE CURVATURA | 26.6 m | |
| ANGULO DE DEFLEXION | 67.6114 ° | |

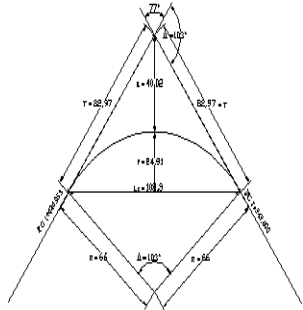
Velocidad adoptado [Km/h] = Adoptado del manual de la abc **30**

$$\text{Radio de curvatura mínimo (m)} = R_{min} = \frac{V_p^2}{127 * (P_{max} + f)} = 24.87$$

Radio de Curvatura [m] : Adoptado **26.6**

$$\text{Angulo de Deflexión } [^\circ] = \frac{67.6114}{1.180041542}$$

Elementos de curva:



$$\text{Tangente} \quad T = R \tan \frac{\Delta}{2} = 17.811 \text{ m}$$

$$\text{Externa} \quad E = R \left(\sec \frac{\Delta}{2} - 1 \right) = 5.41 \text{ m}$$

$$\text{Flecha} \quad f = R \left(1 - \cos \frac{\Delta}{2} \right) = 4.50 \text{ m}$$

$$\text{Desarrollo de Curva} \quad D = \frac{\pi \cdot R \cdot \Delta}{180} = 31.39 \text{ m}$$

$$\text{Longitud de Curva} \quad L_c = 2 \cdot R \cdot \sin \frac{\Delta}{2} = 29.60 \text{ m}$$

Peralte (%):

$$25 \leq R \leq 350 \rightarrow e = 7\%$$

$$\text{Peralte \%} \quad 7$$

$$350 < R \leq 3500 \rightarrow e = 7\% - 6.08(1 - 350/R)^{1.3}$$

$$3500 < R \rightarrow e = \text{bombeo}$$

Desarrollo de peralte:

| | | |
|---|-----------------------------------|--------------------|
| Números de carriles | Bombeo % | -2.5 |
| Ancho normal de un carril | $n =$ | 1 |
| Variación total de la pendiente transversal % | $a =$ | 2.5 m |
| Pendiente relativa % | $\Delta_p =$ | 9.5 |
| Desarrollo del peralte | $\Delta =$ | 1.1 |
| | $l = \frac{n a \Delta_p}{\Delta}$ | 21.59 m 27.14 |
| Longitud de transición | $L_t =$ | 15.9 m 20 |
| Longitud de transición en curva | $L_{tc} =$ | 4.8 m |
| Longitud de transición en recta | $L_{tr} =$ | 11.1 m 20 |
| Longitud de aplanamiento | $L_a =$ | 5.7 m 7.1 |

| PC | Punto geometrico | PK | Nomenclatura C3D | Lisquierdo | Lderecho |
|----|------------------|----|------------------|------------|----------|
| | 3+836.760 | | | | |
| PT | 3+868.150 | | | | |

| | | | |
|-----------|-----------------------|-------|-------|
| 3+836.760 | Begin Full Super | 7.0% | -7.0% |
| 3+868.150 | End Full Super | 7.0% | -7.0% |
| 3+881.010 | Low Shoulder Match | 2.5% | -2.5% |
| 3+881.010 | Reverse Crown | 2.5% | -2.5% |
| 3+888.150 | Level Crown | 0.0% | -2.5% |
| 3+895.290 | Begin Normal Crown | -2.5% | -2.5% |
| 3+895.290 | Begin Normal Shoulder | -2.5% | -2.5% |

Sobre ancho: Calzada en recta 6m, bidireccional, con huelgas h1 = 0.45m y h2 = 0.05m

Distancia entre parachoques delantero y ultimo eje trasero **L₀** **9.5 m**

$$\text{Sobreancho} \quad E = \frac{L_0^2}{R} + 0.15 = 3.39 \text{ m}$$

$$\text{Sobreancho interior} = 0.55E = 1.76 \text{ m}$$

$$\text{Sobreancho exterior} = 0.45E = 1.44 \text{ m}$$

$$\text{LI} = 4.26$$

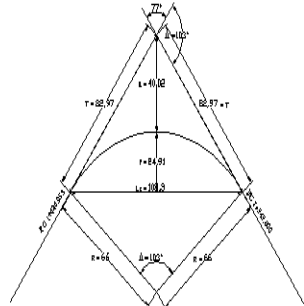
$$\text{LE} = 3.94$$

| | | | |
|-----------------------|---------|-------|----------|
| VELOCIDAD DE PROYECTO | 30 | Km/hr | CURVA 23 |
| RADIO DE CURVATURA | 60 | m | |
| ANGULO DE DEFLEXION | 18.4588 | ° | |

Velocidad adoptado [Km/h] = Adoptado del manual de la abc **30**

$$\text{Radio de curvatura mínimo (m)} = R_{min} = \frac{V_p^2}{127 * (P_{max} + f)} = 24.87$$

Radio de Curvatura [m] : Adoptado **60**



$$\text{Angulo de Deflexión } [^\circ] = \frac{\Delta}{2} = \frac{18.4588}{2} = 9.23^\circ$$

Elementos de curva:

| | | |
|---------------------|--|---------|
| Tangente | $T = R \tan \frac{\Delta}{2}$ | 9.749 m |
| Externa | $E = R \left(\sec \frac{\Delta}{2} - 1 \right)$ | 0.79 m |
| Flecha | $f = R \left(1 - \cos \frac{\Delta}{2} \right)$ | 0.78 m |
| Desarrollo de Curva | $D = \frac{\pi \cdot R \cdot \Delta}{180}$ | 19.33 m |
| Longitud de Curva | $L_c = 2 \cdot R \cdot \sin \frac{\Delta}{2}$ | 19.25 m |

Peralte (%):

$$25 \leq R \leq 350 \rightarrow e = 7\%$$

$$350 < R \leq 3500 \rightarrow e = 7\% - 6.08(1 - 350/R)^{1.3}$$

$$\text{Peralte \%} \quad 7$$

$$3500 < R \rightarrow e = \text{bombeo}$$

Desarrollo de peralte:

| | | |
|---|-----------------------------------|---------|
| Números de carriles | Bombeo % | -2.5 |
| Ancho normal de un carril | $n =$ | 1 |
| Variación total de la pendiente transversal % | $a =$ | 2.5 m |
| Pendiente relativa % | $\Delta_p =$ | 9.5 |
| Desarrollo del peralte | $\Delta =$ | 1.1 |
| | $l = \frac{n a \Delta_p}{\Delta}$ | 21.59 m |
| Longitud de transición | $L_t =$ | 15.9 m |
| Longitud de transición en curva | $L_{tc} =$ | 4.8 m |
| Longitud de transición en recta | $L_{tr} =$ | 11.1 m |
| Longitud de aplanamiento | $L_a =$ | 5.7 m |

| | Punto geometrico | PK | Nomenclatura C3D | Lisquierdo | Lderecho |
|----|------------------|-----------|-----------------------|------------|----------|
| PC | 3+901.040 | 3+884.222 | End Normal Shoulder | -2.5% | -2.5% |
| PT | 3+920.370 | 3+884.222 | End Normal Crown | -2.5% | -2.5% |
| | | 3+889.904 | Level Crown | 0.0% | -2.5% |
| | | 3+895.585 | Low Shoulder Match | 2.5% | -2.5% |
| | | 3+895.585 | Reverse Crown | 2.5% | -2.5% |
| | | 3+905.813 | Begin Full Super | 7.0% | -7.0% |
| | | 3+915.597 | End Full Super | 7.0% | -7.0% |
| | | 3+925.825 | Low Shoulder Match | 2.5% | -2.5% |
| | | 3+925.825 | Reverse Crown | 2.5% | -2.5% |
| | | 3+931.506 | Level Crown | 0.0% | -2.5% |
| | | 3+937.188 | Begin Normal Crown | -2.5% | -2.5% |
| | | 3+937.188 | Begin Normal Shoulder | -2.5% | -2.5% |

Sobre ancho: Calzada en recta 6m, bidireccional, con huelgas $h_1 = 0.45m$ y $h_2 = 0.05m$

Distancia entre parachoques delantero y ultimo eje trasero L_0 **9.5 m**

$$\text{Sobreancho} \quad E = \frac{L_0^2}{R} + 0.15 = 1.50 \text{ m}$$

$$\text{Sobreancho interior} = 0.55E \quad 0.83 \text{ m}$$

$$\text{Sobreancho exterior} = 0.45E \quad 0.68 \text{ m}$$

$$\text{LI} = 3.33$$

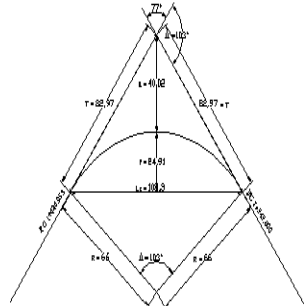
$$\text{LE} = 3.18$$

| | | | |
|-----------------------|---------|-------|----------|
| VELOCIDAD DE PROYECTO | 30 | Km/hr | CURVA 24 |
| RADIO DE CURVATURA | 50 | m | |
| ANGULO DE DEFLEXION | 27.2198 | ° | |

Velocidad adoptado [Km/h] = Adoptado del manual de la abc **30**

$$\text{Radio de curvatura mínimo (m)} = R_{min} = \frac{V_p^2}{127 * (P_{max} + f)} = 24.87$$

Radio de Curvatura [m] : Adoptado **50**



$$\text{Angulo de Deflexión } [^\circ] = \frac{T}{R} \tan \frac{\Delta}{2} = \frac{12.105}{50} \tan \frac{27.2198}{2} = 27.2198$$

Elementos de curva:

| | | |
|---------------------|--|----------|
| Tangente | $T = R \tan \frac{\Delta}{2}$ | 12.105 m |
| Externa | $E = R \left(\sec \frac{\Delta}{2} - 1 \right)$ | 1.44 m |
| Flecha | $f = R \left(1 - \cos \frac{\Delta}{2} \right)$ | 1.40 m |
| Desarrollo de Curva | $D = \frac{\pi \cdot R \cdot \Delta}{180}$ | 23.75 m |
| Longitud de Curva | $L_c = 2 \cdot R \cdot \sin \frac{\Delta}{2}$ | 23.53 m |

Peralte (%):

$$25 \leq R \leq 350 \rightarrow e = 7\%$$

$$350 < R \leq 3500 \rightarrow e = 7\% - 6.08(1 - 350/R)^{1.3}$$

$$\text{Peralte \%} \quad 7$$

$$3500 < R \rightarrow e = \text{bombeo}$$

Desarrollo de peralte:

| | | |
|---|-----------------------------------|---------|
| Números de carriles | Bombeo % | -2.5 |
| Ancho normal de un carril | $n =$ | 1 |
| Variación total de la pendiente transversal % | $a =$ | 2.5 m |
| Pendiente relativa % | $\Delta_p =$ | 9.5 |
| Desarrollo del peralte | $\Delta =$ | 1.1 |
| | $l = \frac{n a \Delta_p}{\Delta}$ | 21.59 m |
| Longitud de transición | $L_t =$ | 15.9 m |
| Longitud de transición en curva | $L_{tc} =$ | 4.8 m |
| Longitud de transición en recta | $L_{tr} =$ | 11.1 m |
| Longitud de aplanamiento | $L_a =$ | 5.7 m |

| | Punto geometrico | PK | Nomenclatura C3D | Lisquierdo | Lderecho |
|----|------------------|-----------|-----------------------|------------|----------|
| PC | 3+999.290 | 3+982.472 | End Normal Shoulder | -2.5% | -2.5% |
| PT | 4+023.040 | 3+982.472 | End Normal Crown | -2.5% | -2.5% |
| | | 3+988.154 | Level Crown | -2.5% | 0.0% |
| | | 3+993.835 | Low Shoulder Match | -2.5% | 2.5% |
| | | 3+993.835 | Reverse Crown | -2.5% | 2.5% |
| | | 4+004.063 | Begin Full Super | -7.0% | 7.0% |
| | | 4+018.267 | End Full Super | -7.0% | 7.0% |
| | | 4+028.495 | Low Shoulder Match | -2.5% | 2.5% |
| | | 4+028.495 | Reverse Crown | -2.5% | 2.5% |
| | | 4+034.176 | Level Crown | -2.5% | 0.0% |
| | | 4+039.858 | Begin Normal Crown | -2.5% | -2.5% |
| | | 4+039.858 | Begin Normal Shoulder | -2.5% | -2.5% |

Sobre ancho: Calzada en recta 6m, bidireccional, con huelgas $h_1 = 0.45m$ y $h_2 = 0.05m$

Distancia entre parachoques delantero y ultimo eje trasero L_0 **9.5 m**

$$\text{Sobreancho} \quad E = \frac{L_0^2}{R} + 0.15 = \frac{9.5^2}{50} + 0.15 = 1.81 \text{ m}$$

$$\text{Sobreancho interior} = 0.55E \quad 0.99 \text{ m}$$

$$\text{Sobreancho exterior} = 0.45E \quad 0.81 \text{ m}$$

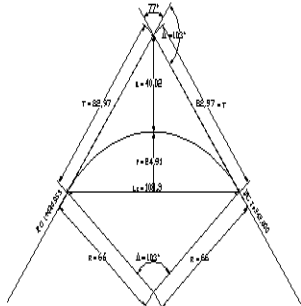
$$\begin{aligned} \text{LI} &= 3.49 \\ \text{LE} &= 3.31 \end{aligned}$$

| | | | |
|-----------------------|--------|-------|----------|
| VELOCIDAD DE PROYECTO | 30 | Km/hr | CURVA 25 |
| RADIO DE CURVATURA | 60 | m | |
| ANGULO DE DEFLEXION | 15.341 | ° | |

Velocidad adoptado [Km/h] = Adoptado del manual de la abc **30**

$$\text{Radio de curvatura mínimo (m)} = R_{min} = \frac{V_p^2}{127 * (P_{max} + f)} = 24.87$$

Radio de Curvatura [m] : Adoptado **60**



$$\text{Angulo de Deflexión } [\text{ }^\circ] = \frac{15.341}{0.267750961}$$

Elementos de curva:

| | | |
|---------------------|--|---------|
| Tangente | $T = R \tan \frac{\Delta}{2}$ | 8.081 m |
| Externa | $E = R \left(\sec \frac{\Delta}{2} - 1 \right)$ | 0.54 m |
| Flecha | $f = R \left(1 - \cos \frac{\Delta}{2} \right)$ | 0.54 m |
| Desarrollo de Curva | $D = \frac{\pi \cdot R \cdot \Delta}{180}$ | 16.07 m |
| Longitud de Curva | $L_c = 2 \cdot R \cdot \sin \frac{\Delta}{2}$ | 16.02 m |

Peralte (%):

$$25 \leq R \leq 350 \rightarrow e = 7\%$$

$$350 < R \leq 3500 \rightarrow e = 7\% - 6.08(1 - 350/R)^{1.3}$$

$$3500 < R \rightarrow e = \text{bombeo}$$

Desarrollo de peralte:

| | | |
|---|-----------------------------------|---------|
| Números de carriles | Bombeo % | -2.5 |
| Ancho normal de un carril | $n =$ | 1 |
| Variación total de la pendiente transversal % | $a =$ | 2.5 m |
| Pendiente relativa % | $\Delta_p =$ | 9.5 |
| Desarrollo del peralte | $\Delta =$ | 1.1 |
| | $l = \frac{n a \Delta_p}{\Delta}$ | 21.59 m |
| Longitud de transición | $L_t =$ | 15.9 m |
| Longitud de transición en curva | $L_{tc} =$ | 4.8 m |
| Longitud de transición en recta | $L_{tr} =$ | 11.1 m |
| Longitud de aplanamiento | $L_a =$ | 5.7 m |

| | Punto geometrico | PK | Nomenclatura C3D | Lisquierdo | Lderecho |
|----|------------------|-----------|-----------------------|------------|----------|
| PC | 4+101.710 | 4+084.892 | End Normal Shoulder | -2.5% | -2.5% |
| PT | 4+117.780 | 4+084.892 | End Normal Crown | -2.5% | -2.5% |
| | | 4+090.574 | Level Crown | -2.5% | 0.0% |
| | | 4+096.255 | Low Shoulder Match | -2.5% | 2.5% |
| | | 4+096.255 | Reverse Crown | -2.5% | 2.5% |
| | | 4+106.483 | Begin Full Super | -7.0% | 7.0% |
| | | 4+113.007 | End Full Super | -7.0% | 7.0% |
| | | 4+123.235 | Low Shoulder Match | -2.5% | 2.5% |
| | | 4+123.235 | Reverse Crown | -2.5% | 2.5% |
| | | 4+128.916 | Level Crown | -2.5% | 0.0% |
| | | 4+134.598 | Begin Normal Crown | -2.5% | -2.5% |
| | | 4+134.598 | Begin Normal Shoulder | -2.5% | -2.5% |

Sobre ancho: Calzada en recta 6m, bidireccional, con huelgas $h_1 = 0.45m$ y $h_2 = 0.05m$

Distancia entre parachoques delantero y ultimo eje trasero **L₀** **9.5 m**

$$\text{Sobreancho} \quad E = \frac{L_0^2}{R} + 0.15 = 1.50 \text{ m}$$

$$\text{Sobreancho interior} = 0.55E \quad 0.83 \text{ m}$$

$$\text{Sobreancho exterior} = 0.45E \quad 0.68 \text{ m}$$

$$\text{LI} = 3.33$$

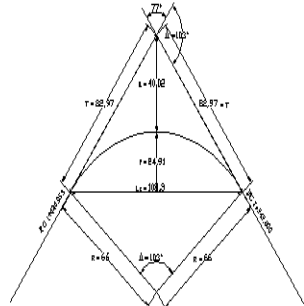
$$\text{LE} = 3.18$$

| | | | |
|-----------------------|---------|-------|----------|
| VELOCIDAD DE PROYECTO | 30 | Km/hr | CURVA 26 |
| RADIO DE CURVATURA | 50 | m | |
| ANGULO DE DEFLEXION | 21.0512 | ° | |

Velocidad adoptado [Km/h] = Adoptado del manual de abc **30**

$$\text{Radio de curvatura mínimo (m)} = R_{min} = \frac{V_p^2}{127 * (P_{max} + f)} = 24.87$$

Radio de Curvatura [m] : Adoptado **50**



$$\text{Angulo de Deflexión } [^\circ] = \frac{21.0512}{0.367412751}$$

Elementos de curva:

| | | |
|---------------------|--|---------|
| Tangente | $T = R \tan \frac{\Delta}{2}$ | 9.290 m |
| Externa | $E = R \left(\sec \frac{\Delta}{2} - 1 \right)$ | 0.86 m |
| Flecha | $f = R \left(1 - \cos \frac{\Delta}{2} \right)$ | 0.84 m |
| Desarrollo de Curva | $D = \frac{\pi \cdot R \cdot \Delta}{180}$ | 18.37 m |
| Longitud de Curva | $L_c = 2 \cdot R \cdot \sin \frac{\Delta}{2}$ | 18.27 m |

Peralte (%):

$$25 \leq R \leq 350 \rightarrow e = 7\%$$

$$350 < R \leq 3500 \rightarrow e = 7\% - 6.08(1 - 350/R)^{1.3}$$

$$3500 < R \rightarrow e = \text{bombeo}$$

Desarrollo de peralte:

| | | |
|---|-----------------------------------|---------|
| Números de carriles | Bombeo % | -2.5 |
| Ancho normal de un carril | $n =$ | 1 |
| Variación total de la pendiente transversal % | $a =$ | 2.5 m |
| Pendiente relativa % | $\Delta_p =$ | 9.5 |
| Desarrollo del peralte | $\Delta =$ | 1.1 |
| | $l = \frac{n a \Delta_p}{\Delta}$ | 21.59 m |
| Longitud de transición | $L_t =$ | 15.9 m |
| Longitud de transición en curva | $L_{tc} =$ | 4.8 m |
| Longitud de transición en recta | $L_{tr} =$ | 11.1 m |
| Longitud de aplanamiento | $L_a =$ | 5.7 m |

| | Punto geometrico | PK | Nomenclatura C3D | Lisquierdo | Lderecho |
|----|------------------|-----------|-----------------------|------------|----------|
| PC | 4+168.540 | 4+151.722 | End Normal Shoulder | -2.5% | -2.5% |
| PT | 4+186.910 | 4+151.722 | End Normal Crown | -2.5% | -2.5% |
| | | 4+157.404 | Level Crown | 0.0% | -2.5% |
| | | 4+163.085 | Low Shoulder Match | 2.5% | -2.5% |
| | | 4+163.085 | Reverse Crown | 2.5% | -2.5% |
| | | 4+173.313 | Begin Full Super | 7.0% | -7.0% |
| | | 4+182.137 | End Full Super | 7.0% | -7.0% |
| | | 4+192.365 | Low Shoulder Match | 2.5% | -2.5% |
| | | 4+192.365 | Reverse Crown | 2.5% | -2.5% |
| | | 4+198.046 | Level Crown | 0.0% | -2.5% |
| | | 4+203.728 | Begin Normal Crown | -2.5% | -2.5% |
| | | 4+203.728 | Begin Normal Shoulder | -2.5% | -2.5% |

Sobre ancho: Calzada en recta 6m, bidireccional, con huelgas $h_1 = 0.45m$ y $h_2 = 0.05m$

Distancia entre parachoques delantero y ultimo eje trasero L_0 **9.5 m**

$$\text{Sobreancho} \quad E = \frac{L_0^2}{R} + 0.15 = 1.81 \text{ m}$$

$$\text{Sobreancho interior} = 0.55E \quad 0.99 \text{ m}$$

$$\text{Sobreancho exterior} = 0.45E \quad 0.81 \text{ m}$$

$$\text{LI} = 3.49$$

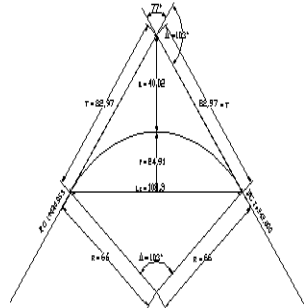
$$\text{LE} = 3.31$$

| | | |
|-----------------------|-----------|------------------------|
| VELOCIDAD DE PROYECTO | 30 Km/hr | SPIRAL-CURVA 27-SPIRAL |
| RADIO DE CURVATURA | 66.2 m | |
| ANGULO DE DEFLEXION | 26.3273 ° | |

Velocidad adoptado [Km/h] = Adoptado del manual de la abc **30**

$$\text{Radio de curvatura mínimo (m)} = R_{min} = \frac{V_p^2}{127 * (P_{max} + f)} = 24.87$$

Radio de Curvatura [m] : Adoptado **66.2**



Angulo de Deflexión [°] = **26.3273**
0.459498068

Elementos de curva:

| | | |
|---------------------|--|----------|
| Tangente | $T = R \tan \frac{\Delta}{2}$ | 15.483 m |
| Externa | $E = R \left(\sec \frac{\Delta}{2} - 1 \right)$ | 1.79 m |
| Flecha | $f = R \left(1 - \cos \frac{\Delta}{2} \right)$ | 1.74 m |
| Desarrollo de Curva | $D = \frac{\pi \cdot R \cdot \Delta}{180}$ | 30.42 m |
| Longitud de Curva | $L_c = 2 \cdot R \cdot \sin \frac{\Delta}{2}$ | 30.15 m |

Peralte (%):

$$25 \leq R \leq 350 \rightarrow e = 7\%$$

$$350 < R \leq 3500 \rightarrow e = 7\% - 6.08(1 - 350/R)^{1.3}$$

$$3500 < R \rightarrow e = \text{bombeo}$$

Desarrollo de peralte:

| | Bombeo % | Calculado | Adoptado |
|---|-----------------------------------|-----------|----------|
| Números de carriles | n = | 1 | |
| Ancho normal de un carril | a = | 2.5 m | |
| Variación total de la pendiente transversal % | $\Delta_p =$ | 9.5 | |
| Pendiente relativa % | $\Delta =$ | 1.1 | |
| Desarrollo del peralte | $l = \frac{n a \Delta_p}{\Delta}$ | 21.59 m | 27.14 |
| Longitud de transición | $L_t =$ | 15.9 m | 20 |
| Longitud de transición en curva | $L_{tc} =$ | 4.8 m | |
| Longitud de transición en recta | $L_{tr} =$ | 11.1 m | 20 |
| Longitud de aplanamiento | $L_a =$ | 5.7 m | 7.1 |

| Punto geometrico | PK | Nomenclatura C3D | Lisquierdo | Lderecho |
|------------------|-----------|--|--|--|
| PC | 4+308.660 | 4+281.520 End Normal Shoulder | -2.5% | -2.5% |
| PT | 4+339.080 | 4+281.520 End Normal Crown 4+288.660 Level Crown 4+295.800 Low Shoulder Match 4+295.800 Reverse Crown 4+308.660 Begin Full Super 4+339.080 End Full Super | -2.5% -2.5% -2.5% -2.5% -7.0% -7.0% | -2.5% -2.5% 0.0% 2.5% 2.5% 7.0% 7.0% |

Sobre ancho: Calzada en recta 6m, bidireccional, con huelgas h1 = 0.45m y h2 = 0.05m

Distancia entre parachoques delantero y ultimo eje trasero **L₀** **9.5 m**

$$\text{Sobreancho} \quad E = \frac{L_0^2}{R} + 0.15 = 1.36 \text{ m}$$

$$\text{Sobreancho interior} = 0.55E \quad 0.75 \text{ m}$$

$$\text{Sobreancho exterior} = 0.45E \quad 0.61 \text{ m}$$

$$\text{LI} = \quad 3.25$$

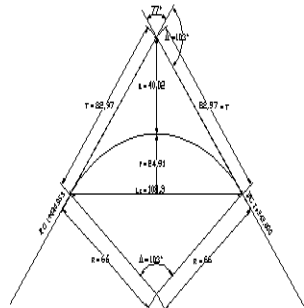
$$\text{LE} = \quad 3.11$$

| | | | |
|-----------------------|--------|-------|------------------------|
| VELOCIDAD DE PROYECTO | 30 | Km/hr | SPIRAL-CURVA 28-SPIRAL |
| RADIO DE CURVATURA | 48 | m | |
| ANGULO DE DEFLEXION | 55.348 | ° | |

Velocidad adoptado [Km/h] = Adoptado del manual de la abc **30**

$$\text{Radio de curvatura mínimo (m)} = R_{min} = \frac{V_p^2}{127 * (P_{max} + f)} = 24.87$$

Radio de Curvatura [m] : Adoptado **48**



$$\text{Angulo de Deflexión } [\text{ }^\circ] = \frac{55.348}{0.966004834}$$

Elementos de curva:

| | | |
|---------------------|--|----------|
| Tangente | $T = R \tan \frac{\Delta}{2}$ | 25.173 m |
| Externa | $E = R \left(\sec \frac{\Delta}{2} - 1 \right)$ | 6.20 m |
| Flecha | $f = R \left(1 - \cos \frac{\Delta}{2} \right)$ | 5.49 m |
| Desarrollo de Curva | $D = \frac{\pi \cdot R \cdot \Delta}{180}$ | 46.37 m |
| Longitud de Curva | $L_c = 2 \cdot R \cdot \sin \frac{\Delta}{2}$ | 44.59 m |

Peralte (%):

$$25 \leq R \leq 350 \rightarrow e = 7\%$$

$$350 < R \leq 3500 \rightarrow e = 7\% - 6.08(1 - 350/R)^{1.3}$$

$$3500 < R \rightarrow e = \text{bombeo}$$

Desarrollo de peralte:

| | | |
|---|-----------------------------------|--------------------|
| Números de carriles | Bombeo % | -2.5 |
| Ancho normal de un carril | $n =$ | 1 |
| Variación total de la pendiente transversal % | $a =$ | 2.5 m |
| Pendiente relativa % | $\Delta_p =$ | 9.5 |
| Desarrollo del peralte | $\Delta =$ | 1.1 |
| | $l = \frac{n a \Delta_p}{\Delta}$ | 21.59 m 27.14 |
| Longitud de transición | $L_t =$ | 15.9 m 20 |
| Longitud de transición en curva | $L_{tc} =$ | 4.8 m |
| Longitud de transición en recta | $L_{tr} =$ | 11.1 m 20 |
| Longitud de aplanamiento | $L_a =$ | 5.7 m 7.1 |

| PC | Punto geometrico | PK | Nomenclatura C3D | Lisquierdo | Lderecho |
|----|------------------|----|------------------|------------|----------|
| | 4+379.080 | | | | |
| PT | 4+425.450 | | | | |

| | | | |
|-----------|-----------------------|-------|-------|
| 4+379.080 | Begin Full Super | 7.0% | -7.0% |
| 4+425.450 | End Full Super | 7.0% | -7.0% |
| 4+438.310 | Low Shoulder Match | 2.5% | -2.5% |
| 4+438.310 | Reverse Crown | 2.5% | -2.5% |
| 4+445.450 | Level Crown | 0.0% | -2.5% |
| 4+452.590 | Begin Normal Crown | -2.5% | -2.5% |
| 4+452.590 | Begin Normal Shoulder | -2.5% | -2.5% |

Sobre ancho: Calzada en recta 6m, bidireccional, con huelgas $h_1 = 0.45m$ y $h_2 = 0.05m$

Distancia entre parachoques delantero y ultimo eje trasero L_0 **9.5 m**

$$\text{Sobreancho} \quad E = \frac{L_0^2}{R} + 0.15 = 1.88 \text{ m}$$

$$\text{Sobreancho interior} = 0.55E \quad 1.03 \text{ m}$$

$$\text{Sobreancho exterior} = 0.45E \quad 0.85 \text{ m}$$

$$\text{LI} = 3.53$$

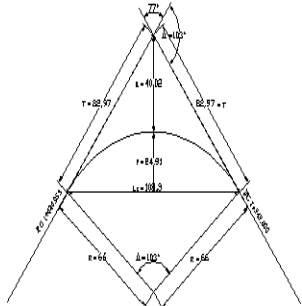
$$\text{LE} = 3.35$$

| | | | |
|-----------------------|----------|-------|------------------|
| VELOCIDAD DE PROYECTO | 30 | Km/hr | CURVA 29 REVERSA |
| RADIO DE CURVATURA | 16 | m | |
| ANGULO DE DEFLEXION | 160.5513 | ° | |

Velocidad adoptado [Km/h] = Adoptado del manual de la abc **30**

$$\text{Radio de curvatura mínimo (m)} = R_{min} = \frac{V_p^2}{127 * (P_{max} + f)} = 24.87$$

Radio de Curvatura [m] : Adoptado **16**



Angulo de Deflexión [°] = **160.5513**
2.802148803

Elementos de curva:

| | | |
|---------------------|--|----------|
| Tangente | $T = R \tan \frac{\Delta}{2}$ | 93.365 m |
| Externa | $E = R \left(\sec \frac{\Delta}{2} - 1 \right)$ | 78.73 m |
| Flecha | $f = R \left(1 - \cos \frac{\Delta}{2} \right)$ | 13.30 m |
| Desarrollo de Curva | $D = \frac{\pi \cdot R \cdot \Delta}{180}$ | 44.83 m |
| Longitud de Curva | $L_c = 2 \cdot R \cdot \sin \frac{\Delta}{2}$ | 31.54 m |

Peralte (%):

$$25 \leq R \leq 350 \rightarrow e = 7\%$$

$$350 < R \leq 3500 \rightarrow e = 7\% - 6.08(1 - 350/R)^{1.3}$$

Peralte % **7**

$$3500 < R \rightarrow e = \text{bombeo}$$

Desarrollo de peralte:

| | | |
|---|-----------------------------------|---------|
| Números de carriles | Bombeo % | -2.5 |
| Ancho normal de un carril | $n =$ | 1 |
| Variación total de la pendiente transversal % | $a =$ | 2.5 m |
| Pendiente relativa % | $\Delta_p =$ | 9.5 |
| Desarrollo del peralte | $\Delta =$ | 1.1 |
| | $l = \frac{n a \Delta_p}{\Delta}$ | 21.59 m |
| Longitud de transición | $L_t =$ | 15.9 m |
| Longitud de transición en curva | $L_{tc} =$ | 4.8 m |
| Longitud de transición en recta | $L_{tr} =$ | 11.1 m |
| Longitud de aplanamiento | $L_a =$ | 5.7 m |

| | Punto geometrico | PK | Nomenclatura C3D | Lisquierdo | Lderecho |
|----|------------------|-----------|-----------------------|------------|----------|
| PC | 4+510.200 | 4+493.382 | End Normal Shoulder | -2.5% | -2.5% |
| PT | 4+555.040 | 4+493.382 | End Normal Crown | -2.5% | -2.5% |
| | | 4+499.064 | Level Crown | -2.5% | 0.0% |
| | | 4+504.745 | Low Shoulder Match | -2.5% | 2.5% |
| | | 4+504.745 | Reverse Crown | -2.5% | 2.5% |
| | | 4+514.973 | Begin Full Super | -7.0% | 7.0% |
| | | 4+550.267 | End Full Super | -7.0% | 7.0% |
| | | 4+560.495 | Low Shoulder Match | -2.5% | 2.5% |
| | | 4+560.495 | Reverse Crown | -2.5% | 2.5% |
| | | 4+566.176 | Level Crown | -2.5% | 0.0% |
| | | 4+571.858 | Begin Normal Crown | -2.5% | -2.5% |
| | | 4+571.858 | Begin Normal Shoulder | -2.5% | -2.5% |

Sobre ancho: Calzada en recta 6m, bidireccional, con huelgas $h_1 = 0.45m$ y $h_2 = 0.05m$

Distancia entre parachoques delantero y ultimo eje trasero L_0 **9.5 m**

$$\text{Sobreancho} \quad E = \frac{L_0^2}{R} + 0.15 = 3.20 \text{ m}$$

Sobreancho interior = **0.55E** **1.76 m**

Sobreancho exterior = **0.45E** **1.44 m**

LI = **4.26**

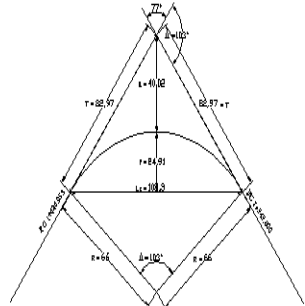
LE = **3.94**

| | | | |
|-----------------------|---------|-------|----------|
| VELOCIDAD DE PROYECTO | 30 | Km/hr | CURVA 30 |
| RADIO DE CURVATURA | 40 | m | |
| ANGULO DE DEFLEXION | 23.4858 | ° | |

Velocidad adoptado [Km/h] = Adoptado del manual de abc **30**

$$\text{Radio de curvatura mínimo (m)} = R_{min} = \frac{V_p^2}{127 * (P_{max} + f)} = 24.87$$

Radio de Curvatura [m] : Adoptado **40**



Angulo de Deflexión [°] = **23.4858**
0.409904537

Elementos de curva:

| | | |
|---------------------|--|---------|
| Tangente | $T = R \tan \frac{\Delta}{2}$ | 8.315 m |
| Externa | $E = R \left(\sec \frac{\Delta}{2} - 1 \right)$ | 0.86 m |
| Flecha | $f = R \left(1 - \cos \frac{\Delta}{2} \right)$ | 0.84 m |
| Desarrollo de Curva | $D = \frac{\pi \cdot R \cdot \Delta}{180}$ | 16.40 m |
| Longitud de Curva | $L_c = 2 \cdot R \cdot \sin \frac{\Delta}{2}$ | 16.28 m |

Peralte (%):

$$25 \leq R \leq 350 \rightarrow e = 7\%$$

$$350 < R \leq 3500 \rightarrow e = 7\% - 6.08(1 - 350/R)^{1.3}$$

$$3500 < R \rightarrow e = \text{bombeo}$$

Desarrollo de peralte:

| | | |
|---|-----------------------------------|---------|
| Números de carriles | Bombeo % | -2.5 |
| Ancho normal de un carril | $n =$ | 1 |
| Variación total de la pendiente transversal % | $a =$ | 2.5 m |
| Pendiente relativa % | $\Delta_p =$ | 9.5 |
| Desarrollo del peralte | $\Delta =$ | 1.1 |
| | $l = \frac{n a \Delta_p}{\Delta}$ | 21.59 m |
| Longitud de transición | $L_t =$ | 15.9 m |
| Longitud de transición en curva | $L_{tc} =$ | 4.8 m |
| Longitud de transición en recta | $L_{tr} =$ | 11.1 m |
| Longitud de aplanamiento | $L_a =$ | 5.7 m |

| | Punto geometrico | PK | Nomenclatura C3D | Lisquierdo | Lderecho |
|----|------------------|-----------|-----------------------|------------|----------|
| PC | 4+700.100 | 4+683.282 | End Normal Shoulder | -2.5% | -2.5% |
| PT | 4+716.500 | 4+683.282 | End Normal Crown | -2.5% | -2.5% |
| | | 4+688.964 | Level Crown | 0.0% | -2.5% |
| | | 4+694.645 | Low Shoulder Match | 2.5% | -2.5% |
| | | 4+694.645 | Reverse Crown | 2.5% | -2.5% |
| | | 4+704.873 | Begin Full Super | 7.0% | -7.0% |
| | | 4+711.727 | End Full Super | 7.0% | -7.0% |
| | | 4+721.955 | Low Shoulder Match | 2.5% | -2.5% |
| | | 4+721.955 | Reverse Crown | 2.5% | -2.5% |
| | | 4+727.636 | Level Crown | 0.0% | -2.5% |
| | | 4+733.318 | Begin Normal Crown | -2.5% | -2.5% |
| | | 4+733.318 | Begin Normal Shoulder | -2.5% | -2.5% |

Sobre ancho: Calzada en recta 6m, bidireccional, con huelgas $h_1 = 0.45m$ y $h_2 = 0.05m$

Distancia entre parachoques delantero y ultimo eje trasero L_0 **9.5 m**

$$\text{Sobreancho} \quad E = \frac{L_0^2}{R} + 0.15 = 2.26 \text{ m}$$

$$\text{Sobreancho interior} = 0.55E \quad 1.24 \text{ m}$$

$$\text{Sobreancho exterior} = 0.45E \quad 1.02 \text{ m}$$

$$LI = 3.74$$

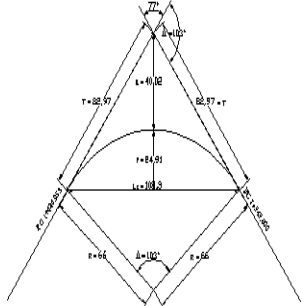
$$LE = 3.52$$

| | | | |
|-----------------------|---------|-------|----------|
| VELOCIDAD DE PROYECTO | 30 | Km/hr | CURVA 31 |
| RADIO DE CURVATURA | 130 | m | |
| ANGULO DE DEFLEXION | 78.9792 | ° | |

Velocidad adoptado [Km/h] = Adoptado del manual de la abc **30**

$$\text{Radio de curvatura mínimo (m)} = R_{min} = \frac{V_p^2}{127 * (P_{max} + f)} = 24.87$$

Radio de Curvatura [m] : Adoptado **130**



$$\text{Angulo de Deflexión } [^\circ] = \frac{T}{R} = \frac{107.124}{130} = 78.9792$$

Elementos de curva:

| | | |
|---------------------|--|-----------|
| Tangente | $T = R \tan \frac{\Delta}{2}$ | 107.124 m |
| Externa | $E = R \left(\sec \frac{\Delta}{2} - 1 \right)$ | 38.45 m |
| Flecha | $f = R \left(1 - \cos \frac{\Delta}{2} \right)$ | 29.67 m |
| Desarrollo de Curva | $D = \frac{\pi \cdot R \cdot \Delta}{180}$ | 179.20 m |
| Longitud de Curva | $L_c = 2 \cdot R \cdot \sin \frac{\Delta}{2}$ | 165.34 m |

Peralte (%):

$$25 \leq R \leq 350 \rightarrow e = 7\%$$

$$350 < R \leq 3500 \rightarrow e = 7\% - 6.08(1 - 350/R)^{1.3}$$

$$\text{Peralte \%} \quad 7$$

$$3500 < R \rightarrow e = \text{bombeo}$$

Desarrollo de peralte:

| | | |
|---|-----------------------------------|---------|
| Números de carriles | Bombeo % | -2.5 |
| Ancho normal de un carril | $n =$ | 1 |
| Variación total de la pendiente transversal % | $a =$ | 2.5 m |
| Pendiente relativa % | $\Delta_p =$ | 9.5 |
| Desarrollo del peralte | $\Delta =$ | 1.1 |
| | $l = \frac{n a \Delta_p}{\Delta}$ | 21.59 m |
| Longitud de transición | $L_t =$ | 15.9 m |
| Longitud de transición en curva | $L_{tc} =$ | 4.8 m |
| Longitud de transición en recta | $L_{tr} =$ | 11.1 m |
| Longitud de aplanamiento | $L_a =$ | 5.7 m |

| | Punto geometrico | PK | Nomenclatura C3D | Lisquierdo | Lderecho |
|----|------------------|-----------|---------------------|------------|----------|
| PC | 4+771.860 | 4+755.042 | End Normal Shoulder | -2.5% | -2.5% |
| PT | 4+951.060 | 4+755.042 | End Normal Crown | -2.5% | -2.5% |
| | | 4+760.724 | Level Crown | 0.0% | -2.5% |
| | | 4+766.405 | Low Shoulder Match | 2.5% | -2.5% |
| | | 4+766.405 | Reverse Crown | 2.5% | -2.5% |
| | | 4+776.633 | Begin Full Super | 7.0% | -7.0% |
| | | 4+946.287 | End Full Super | 7.0% | -7.0% |

Sobre ancho: Calzada en recta 6m, bidireccional, con huelgas $h_1 = 0.45m$ y $h_2 = 0.05m$

Distancia entre parachoques delantero y ultimo eje trasero L_0 **9.5 m**

$$\text{Sobreancho} \quad E = \frac{L_0^2}{R} + 0.15 = \frac{9.5^2}{130} + 0.15 = 0.69 \text{ m}$$

$$\text{Sobreancho interior} = 0.55E \quad 0.38 \text{ m}$$

$$\text{Sobreancho exterior} = 0.45E \quad 0.31 \text{ m}$$

$$\text{LI} = 2.88$$

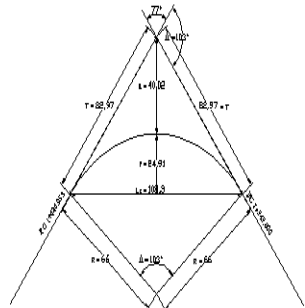
$$\text{LE} = 2.81$$

| | | | |
|-----------------------|---------|-------|----------|
| VELOCIDAD DE PROYECTO | 30 | Km/hr | CURVA 32 |
| RADIO DE CURVATURA | 50 | m | |
| ANGULO DE DEFLEXION | 82.1485 | ° | |

Velocidad adoptado [Km/h] = Adoptado del manual de la abc **30**

$$\text{Radio de curvatura mínimo (m)} = R_{min} = \frac{V_p^2}{127 * (P_{max} + f)} = 24.87$$

Radio de Curvatura [m] : Adoptado **50**



$$\text{Angulo de Deflexión } [^\circ] = \frac{82.1485}{1.433761801}$$

Elementos de curva:

| | | |
|---------------------|--|----------|
| Tangente | $T = R \tan \frac{\Delta}{2}$ | 43.578 m |
| Externa | $E = R \left(\sec \frac{\Delta}{2} - 1 \right)$ | 16.33 m |
| Flecha | $f = R \left(1 - \cos \frac{\Delta}{2} \right)$ | 12.31 m |
| Desarrollo de Curva | $D = \frac{\pi \cdot R \cdot \Delta}{180}$ | 71.69 m |
| Longitud de Curva | $L_c = 2 \cdot R \cdot \sin \frac{\Delta}{2}$ | 65.70 m |

Peralte (%):

$$25 \leq R \leq 350 \rightarrow e = 7\%$$

$$350 < R \leq 3500 \rightarrow e = 7\% - 6.08(1 - 350/R)^{1.3}$$

$$\text{Peralte \%} \quad 7$$

$$3500 < R \rightarrow e = \text{bombeo}$$

Desarrollo de peralte:

| | | |
|---|-----------------------------------|---------|
| Números de carriles | Bombeo % | -2.5 |
| Ancho normal de un carril | $n =$ | 1 |
| Variación total de la pendiente transversal % | $a =$ | 2.5 m |
| Pendiente relativa % | $\Delta_p =$ | 9.5 |
| Desarrollo del peralte | $\Delta =$ | 1.1 |
| | $l = \frac{n a \Delta_p}{\Delta}$ | 21.59 m |
| Longitud de transición | $L_t =$ | 15.9 m |
| Longitud de transición en curva | $L_{tc} =$ | 4.8 m |
| Longitud de transición en recta | $L_{tr} =$ | 11.1 m |
| Longitud de aplanamiento | $L_a =$ | 5.7 m |

| | Punto geometrico | PK | Nomenclatura C3D | Lisquierdo | Lderecho |
|----|------------------|----|------------------|------------|----------|
| PC | 4+951.060 | | | | |
| PT | 5+022.750 | | | | |

| | | |
|----------------------------|------|-------|
| 4+955.833 Begin Full Super | 7.0% | -7.0% |
| 5+017.977 End Full Super | 7.0% | -7.0% |

Sobre ancho: Calzada en recta 6m, bidireccional, con huelgas h1 = 0.45m y h2 = 0.05m

Distancia entre parachoques delantero y ultimo eje trasero L_0 **9.5 m**

$$\text{Sobreancho} \quad E = \frac{L_0^2}{R} + 0.15 = 1.81 \text{ m}$$

$$\text{Sobreancho interior} = 0.55E \quad 0.99 \text{ m}$$

$$\text{Sobreancho exterior} = 0.45E \quad 0.81 \text{ m}$$

$$\text{LI} = 3.49$$

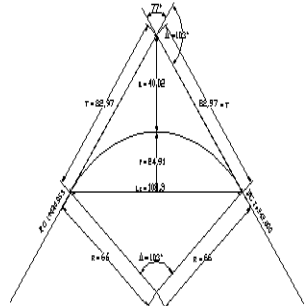
$$\text{LE} = 3.31$$

| | | | |
|-----------------------|---------|-------|----------|
| VELOCIDAD DE PROYECTO | 30 | Km/hr | CURVA 33 |
| RADIO DE CURVATURA | 60 | m | |
| ANGULO DE DEFLEXION | 78.1337 | ° | |

Velocidad adoptado [Km/h] = Adoptado del manual de la abc **30**

$$\text{Radio de curvatura mínimo (m)} = R_{min} = \frac{V_p^2}{127 * (P_{max} + f)} = 24.87$$

Radio de Curvatura [m] : Adoptado **60**



$$\text{Angulo de Deflexión } [\text{ }^\circ] = \frac{78.1337}{1.363690322}$$

Elementos de curva:

| | | |
|---------------------|--|----------|
| Tangente | $T = R \tan \frac{\Delta}{2}$ | 48.703 m |
| Externa | $E = R \left(\sec \frac{\Delta}{2} - 1 \right)$ | 17.28 m |
| Flecha | $f = R \left(1 - \cos \frac{\Delta}{2} \right)$ | 13.42 m |
| Desarrollo de Curva | $D = \frac{\pi \cdot R \cdot \Delta}{180}$ | 81.82 m |
| Longitud de Curva | $L_c = 2 \cdot R \cdot \sin \frac{\Delta}{2}$ | 75.63 m |

Peralte (%):

$$25 \leq R \leq 350 \rightarrow e = 7\%$$

$$350 < R \leq 3500 \rightarrow e = 7\% - 6.08(1 - 350/R)^{1.3}$$

$$\text{Peralte \%} \quad 7$$

$$3500 < R \rightarrow e = \text{bombeo}$$

Desarrollo de peralte:

| | | |
|---|-----------------------------------|---------|
| Números de carriles | Bombeo % | -2.5 |
| Ancho normal de un carril | $n =$ | 1 |
| Variación total de la pendiente transversal % | $a =$ | 2.5 m |
| Pendiente relativa % | $\Delta_p =$ | 9.5 |
| Desarrollo del peralte | $\Delta =$ | 1.1 |
| | $l = \frac{n a \Delta_p}{\Delta}$ | 21.59 m |
| Longitud de transición | $L_t =$ | 15.9 m |
| Longitud de transición en curva | $L_{tc} =$ | 4.8 m |
| Longitud de transición en recta | $L_{tr} =$ | 11.1 m |
| Longitud de aplanamiento | $L_a =$ | 5.7 m |

| | Punto geometrico | PK | Nomenclatura C3D | Lisquierdo | Lderecho |
|----|------------------|-----------|------------------|------------|----------|
| PC | | 5+022.750 | | | |
| PT | | 5+104.570 | | | |

| | | |
|----------------------------|-------|------|
| 5+027.523 Begin Full Super | -7.0% | 7.0% |
| 5+099.797 End Full Super | -7.0% | 7.0% |

Sobre ancho: Calzada en recta 6m, bidireccional, con huelgas $h_1 = 0.45m$ y $h_2 = 0.05m$

Distancia entre parachoques delantero y ultimo eje trasero L_0 **9.5 m**

$$\text{Sobreancho} \quad E = \frac{L_0^2}{R} + 0.15 = 1.50 \text{ m}$$

$$\text{Sobreancho interior} = 0.55E \quad 0.83 \text{ m}$$

$$\text{Sobreancho exterior} = 0.45E \quad 0.68 \text{ m}$$

$$\text{LI} = 3.33$$

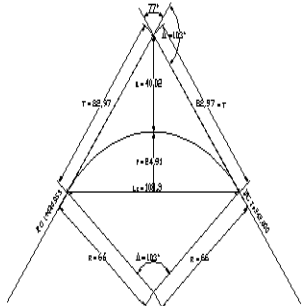
$$\text{LE} = 3.18$$

| | | | |
|-----------------------|---------|-------|----------|
| VELOCIDAD DE PROYECTO | 30 | Km/hr | CURVA 34 |
| RADIO DE CURVATURA | 80 | m | |
| ANGULO DE DEFLEXION | 49.1641 | ° | |

Velocidad adoptado [Km/h] = Adoptado del manual de la abc **30**

$$\text{Radio de curvatura mínimo (m)} = R_{min} = \frac{V_p^2}{127 * (P_{max} + f)} = 24.87$$

Radio de Curvatura [m] : Adoptado **80**



$$\text{Angulo de Deflexión } [\text{ }^\circ] = \frac{\pi \cdot R \cdot \Delta}{180} = \frac{49.1641}{0.858075419} = 49.1641$$

Elementos de curva:

| | | |
|---------------------|--|----------|
| Tangente | $T = R \tan \frac{\Delta}{2}$ | 36.597 m |
| Externa | $E = R \left(\sec \frac{\Delta}{2} - 1 \right)$ | 7.97 m |
| Flecha | $f = R \left(1 - \cos \frac{\Delta}{2} \right)$ | 7.25 m |
| Desarrollo de Curva | $D = \frac{\pi \cdot R \cdot \Delta}{180}$ | 68.65 m |
| Longitud de Curva | $L_c = 2 \cdot R \cdot \sin \frac{\Delta}{2}$ | 66.56 m |

Peralte (%):

$$25 \leq R \leq 350 \rightarrow e = 7\%$$

$$350 < R \leq 3500 \rightarrow e = 7\% - 6.08(1 - 350/R)^{1.3}$$

$$\text{Peralte \%} \quad 7$$

$$3500 < R \rightarrow e = \text{bombeo}$$

Desarrollo de peralte:

| | | |
|---|-----------------------------------|---------|
| Números de carriles | Bombeo % | -2.5 |
| Ancho normal de un carril | $n =$ | 1 |
| Variación total de la pendiente transversal % | $a =$ | 2.5 m |
| Pendiente relativa % | $\Delta_p =$ | 9.5 |
| Desarrollo del peralte | $\Delta =$ | 1.1 |
| | $l = \frac{n a \Delta_p}{\Delta}$ | 21.59 m |
| Longitud de transición | $L_t =$ | 15.9 m |
| Longitud de transición en curva | $L_{tc} =$ | 4.8 m |
| Longitud de transición en recta | $L_{tr} =$ | 11.1 m |
| Longitud de aplanamiento | $L_a =$ | 5.7 m |

| PC | Punto geometrico | PK | Nomenclatura C3D | Lisquierdo | Lderecho |
|----|------------------|----|------------------|------------|----------|
| | 5+104.570 | | | | |
| PT | 5+173.210 | | | | |

| | | | |
|-----------|-----------------------|-------|-------|
| 5+109.343 | Begin Full Super | -7.0% | 7.0% |
| 5+168.437 | End Full Super | -7.0% | 7.0% |
| 5+178.665 | Low Shoulder Match | -2.5% | 2.5% |
| 5+178.665 | Reverse Crown | -2.5% | 2.5% |
| 5+184.346 | Level Crown | -2.5% | 0.0% |
| 5+190.028 | Begin Normal Crown | -2.5% | -2.5% |
| 5+190.028 | Begin Normal Shoulder | -2.5% | -2.5% |

Sobre ancho: Calzada en recta 6m, bidireccional, con huelgas h1 = 0.45m y h2 = 0.05m

Distancia entre parachoques delantero y ultimo eje trasero **L₀** **9.5 m**

$$\text{Sobreancho} \quad E = \frac{L_0^2}{R} + 0.15 = \frac{9.5^2}{80} + 0.15 = 1.13 \text{ m}$$

$$\text{Sobreancho interior} = 0.55E \quad 0.62 \text{ m}$$

$$\text{Sobreancho exterior} = 0.45E \quad 0.51 \text{ m}$$

$$\text{LI} = 3.12$$

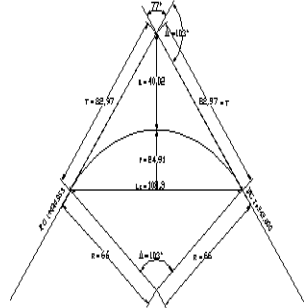
$$\text{LE} = 3.01$$

| | | | |
|-----------------------|--------|-------|----------|
| VELOCIDAD DE PROYECTO | 30 | Km/hr | CURVA 35 |
| RADIO DE CURVATURA | 110 | m | |
| ANGULO DE DEFLEXION | 27.233 | ° | |

Velocidad adoptado [Km/h] = Adoptado del manual de la abc **30**

$$\text{Radio de curvatura mínimo (m)} = R_{min} = \frac{V_p^2}{127 * (P_{max} + f)} = 24.87$$

Radio de Curvatura [m] : Adoptado **110**



$$\text{Angulo de Deflexión } [^\circ] = \frac{27.233}{0.475305515}$$

Elementos de curva:

| | | |
|---------------------|--|----------|
| Tangente | $T = R \tan \frac{\Delta}{2}$ | 26.645 m |
| Externa | $E = R \left(\sec \frac{\Delta}{2} - 1 \right)$ | 3.18 m |
| Flecha | $f = R \left(1 - \cos \frac{\Delta}{2} \right)$ | 3.09 m |
| Desarrollo de Curva | $D = \frac{\pi \cdot R \cdot \Delta}{180}$ | 52.28 m |
| Longitud de Curva | $L_c = 2 \cdot R \cdot \sin \frac{\Delta}{2}$ | 51.79 m |

Peralte (%):

$$25 \leq R \leq 350 \rightarrow e = 7\%$$

$$\text{Peralte \%} \quad 7$$

$$350 < R \leq 3500 \rightarrow e = 7\% - 6.08(1 - 350/R)^{1.3}$$

$$3500 < R \rightarrow e = \text{bombeo}$$

Desarrollo de peralte:

| | | |
|---|-----------------------------------|---------|
| Números de carriles | Bombeo % | -2.5 |
| Ancho normal de un carril | $n =$ | 1 |
| Variación total de la pendiente transversal % | $a =$ | 2.5 m |
| Pendiente relativa % | $\Delta_p =$ | 9.5 |
| Desarrollo del peralte | $\Delta =$ | 1.1 |
| | $l = \frac{n a \Delta_p}{\Delta}$ | 21.59 m |
| Longitud de transición | $L_t =$ | 15.9 m |
| Longitud de transición en curva | $L_{tc} =$ | 4.8 m |
| Longitud de transición en recta | $L_{tr} =$ | 11.1 m |
| Longitud de aplanamiento | $L_a =$ | 5.7 m |

| | Punto geometrico | PK | Nomenclatura C3D | Lisquierdo | Lderecho |
|----|------------------|-----------|---------------------|------------|----------|
| PC | 5+218.150 | 5+201.332 | End Normal Shoulder | -2.5% | -2.5% |
| PT | 5+270.440 | 5+201.332 | End Normal Crown | -2.5% | -2.5% |
| | | 5+207.014 | Level Crown | -2.5% | 0.0% |
| | | 5+212.695 | Low Shoulder Match | -2.5% | 2.5% |
| | | 5+212.695 | Reverse Crown | -2.5% | 2.5% |
| | | 5+222.923 | Begin Full Super | -7.0% | 7.0% |
| | | 5+265.667 | End Full Super | -7.0% | 7.0% |

Sobre ancho: Calzada en recta 6m, bidireccional, con huelgas $h_1 = 0.45m$ y $h_2 = 0.05m$

Distancia entre parachoques delantero y ultimo eje trasero L_0 **9.5 m**

$$\text{Sobreancho} \quad E = \frac{L_0^2}{R} + 0.15 = 0.82 \text{ m}$$

$$\text{Sobreancho interior} = 0.55E \quad 0.45 \text{ m}$$

$$\text{Sobreancho exterior} = 0.45E \quad 0.37 \text{ m}$$

$$\text{LI} = 2.95$$

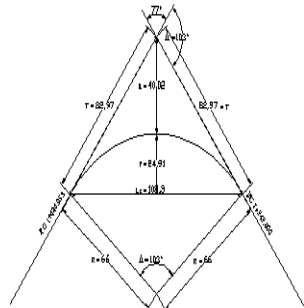
$$\text{LE} = 2.87$$

| | | | |
|-----------------------|---------|-------|----------|
| VELOCIDAD DE PROYECTO | 30 | Km/hr | CURVA 36 |
| RADIO DE CURVATURA | 50 | m | |
| ANGULO DE DEFLEXION | 62.9674 | ° | |

Velocidad adoptado [Km/h] = Adoptado del manual de la abc **30**

$$\text{Radio de curvatura mínimo (m)} = R_{min} = \frac{V_p^2}{127 * (P_{max} + f)} = 24.87$$

Radio de Curvatura [m] : Adoptado **50**



$$\text{Angulo de Deflexión } [^\circ] = \frac{\pi \cdot R \cdot \Delta}{180} = \frac{\pi \cdot 50 \cdot 62.9674}{180} = 62.9674$$

Elementos de curva:

| | | |
|---------------------|--|----------|
| Tangente | $T = R \tan \frac{\Delta}{2}$ | 30.620 m |
| Externa | $E = R \left(\sec \frac{\Delta}{2} - 1 \right)$ | 8.63 m |
| Flecha | $f = R \left(1 - \cos \frac{\Delta}{2} \right)$ | 7.36 m |
| Desarrollo de Curva | $D = \frac{\pi \cdot R \cdot \Delta}{180}$ | 54.95 m |
| Longitud de Curva | $L_c = 2 \cdot R \cdot \sin \frac{\Delta}{2}$ | 52.23 m |

Peralte (%):

$$25 \leq R \leq 350 \rightarrow e = 7\%$$

$$350 < R \leq 3500 \rightarrow e = 7\% - 6.08(1 - 350/R)^{1.3}$$

$$\text{Peralte \%} \quad 7$$

$$3500 < R \rightarrow e = \text{bombeo}$$

Desarrollo de peralte:

| | | |
|---|-----------------------------------|---------|
| Números de carriles | Bombeo % | -2.5 |
| Ancho normal de un carril | $n =$ | 1 |
| Variación total de la pendiente transversal % | $a =$ | 2.5 m |
| Pendiente relativa % | $\Delta_p =$ | 9.5 |
| Desarrollo del peralte | $\Delta =$ | 1.1 |
| | $l = \frac{n a \Delta_p}{\Delta}$ | 21.59 m |
| Longitud de transición | $L_t =$ | 15.9 m |
| Longitud de transición en curva | $L_{tc} =$ | 4.8 m |
| Longitud de transición en recta | $L_{tr} =$ | 11.1 m |
| Longitud de aplanamiento | $L_a =$ | 5.7 m |

| | Punto geometrico | PK | Nomenclatura C3D | Lisquierdo | Lderecho |
|----|------------------|-----------|------------------|------------|----------|
| PC | | 5+270.440 | | | |
| PT | | 5+325.390 | | | |

| | | |
|----------------------------|------|-------|
| 5+275.213 Begin Full Super | 7.0% | -7.0% |
| 5+320.617 End Full Super | 7.0% | -7.0% |

Sobre ancho: Calzada en recta 6m, bidireccional, con huelgas $h_1 = 0.45m$ y $h_2 = 0.05m$

Distancia entre parachoques delantero y ultimo eje trasero L_0 **9.5 m**

$$\text{Sobreancho} \quad E = \frac{L_0^2}{R} + 0.15 = \frac{9.5^2}{50} + 0.15 = 1.81 \text{ m}$$

$$\text{Sobreancho interior} = 0.55E \quad 0.99 \text{ m}$$

$$\text{Sobreancho exterior} = 0.45E \quad 0.81 \text{ m}$$

$$\text{LI} = \frac{1}{2} (E - 0.55E) = \frac{1}{2} (1.81 - 0.99) = 0.46 \text{ m}$$

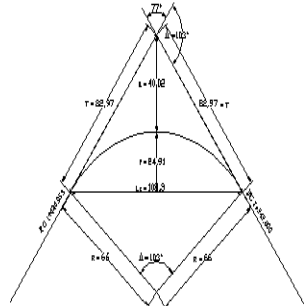
$$\text{LE} = \frac{1}{2} (E - 0.45E) = \frac{1}{2} (1.81 - 0.81) = 0.50 \text{ m}$$

| | | | |
|-----------------------|---------|-------|----------|
| VELOCIDAD DE PROYECTO | 30 | Km/hr | CURVA 37 |
| RADIO DE CURVATURA | 155 | m | |
| ANGULO DE DEFLEXION | 27.7599 | ° | |

Velocidad adoptado [Km/h] = Adoptado del manual de la abc **30**

$$\text{Radio de curvatura mínimo (m)} = R_{min} = \frac{V_p^2}{127 * (P_{max} + f)} = 24.87$$

Radio de Curvatura [m] : Adoptado **155**



Angulo de Deflexión [°] = **27.7599**
0.484501655

Elementos de curva:

| | | |
|---------------------|--|----------|
| Tangente | $T = R \tan \frac{\Delta}{2}$ | 38.301 m |
| Externa | $E = R \left(\sec \frac{\Delta}{2} - 1 \right)$ | 4.66 m |
| Flecha | $f = R \left(1 - \cos \frac{\Delta}{2} \right)$ | 4.53 m |
| Desarrollo de Curva | $D = \frac{\pi \cdot R \cdot \Delta}{180}$ | 75.10 m |
| Longitud de Curva | $L_c = 2 \cdot R \cdot \sin \frac{\Delta}{2}$ | 74.37 m |

Peralte (%):

$$25 \leq R \leq 350 \rightarrow e = 7\%$$

$$350 < R \leq 3500 \rightarrow e = 7\% - 6.08(1 - 350/R)^{1.3}$$

Peralte % **7**

$$3500 < R \rightarrow e = \text{bombeo}$$

Desarrollo de peralte:

| | | |
|---|-----------------------------------|---------|
| Números de carriles | Bombeo % | -2.5 |
| Ancho normal de un carril | $n =$ | 1 |
| Variación total de la pendiente transversal % | $a =$ | 2.5 m |
| Pendiente relativa % | $\Delta_p =$ | 9.5 |
| Desarrollo del peralte | $\Delta =$ | 1.1 |
| | $l = \frac{n a \Delta_p}{\Delta}$ | 21.59 m |
| Longitud de transición | $L_t =$ | 15.9 m |
| Longitud de transición en curva | $L_{tc} =$ | 4.8 m |
| Longitud de transición en recta | $L_{tr} =$ | 11.1 m |
| Longitud de aplanamiento | $L_a =$ | 5.7 m |

| | Punto geometrico | PK | Nomenclatura C3D | Lisquierdo | Lderecho |
|----|------------------|----|------------------|------------|----------|
| PC | 5+325.390 | | | | |
| PT | 5+400.480 | | | | |

| | | |
|----------------------------|-------|------|
| 5+330.163 Begin Full Super | -7.0% | 7.0% |
| 5+395.707 End Full Super | -7.0% | 7.0% |

Sobre ancho: Calzada en recta 6m, bidireccional, con huelgas $h_1 = 0.45m$ y $h_2 = 0.05m$

Distancia entre parachoques delantero y ultimo eje trasero L_0 **9.5 m**

$$\text{Sobreancho} \quad E = \frac{L_0^2}{R} + 0.15 = 0.58 \text{ m}$$

$$\text{Sobreancho interior} = 0.55E \quad 0.32 \text{ m}$$

$$\text{Sobreancho exterior} = 0.45E \quad 0.26 \text{ m}$$

$$\text{LI} = 2.82$$

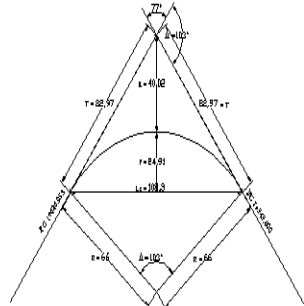
$$\text{LE} = 2.76$$

| | | | |
|-----------------------|---------|-------|----------|
| VELOCIDAD DE PROYECTO | 30 | Km/hr | CURVA 38 |
| RADIO DE CURVATURA | 30 | m | |
| ANGULO DE DEFLEXION | 87.7686 | ° | |

Velocidad adoptado [Km/h] = Adoptado del manual de la abc **30**

$$\text{Radio de curvatura mínimo (m)} = R_{min} = \frac{V_p^2}{127 * (P_{max} + f)} = 24.87$$

Radio de Curvatura [m] : Adoptado **30**



$$\text{Angulo de Deflexión } [^\circ] = \frac{\pi \cdot R \cdot \Delta}{180} = \frac{\pi \cdot 30 \cdot 87.7686}{180} = 87.7686$$

Elementos de curva:

| | | |
|---------------------|--|----------|
| Tangente | $T = R \tan \frac{\Delta}{2}$ | 28.854 m |
| Externa | $E = R \left(\sec \frac{\Delta}{2} - 1 \right)$ | 11.62 m |
| Flecha | $f = R \left(1 - \cos \frac{\Delta}{2} \right)$ | 8.38 m |
| Desarrollo de Curva | $D = \frac{\pi \cdot R \cdot \Delta}{180}$ | 45.96 m |
| Longitud de Curva | $L_c = 2 \cdot R \cdot \sin \frac{\Delta}{2}$ | 41.59 m |

Peralte (%):

$$25 \leq R \leq 350 \rightarrow e = 7\%$$

$$350 < R \leq 3500 \rightarrow e = 7\% - 6.08(1 - 350/R)^{1.3}$$

$$\text{Peralte \%} \quad 7$$

$$3500 < R \rightarrow e = \text{bombeo}$$

Desarrollo de peralte:

| | | |
|---|-----------------------------------|---------|
| Números de carriles | Bombeo % | -2.5 |
| Ancho normal de un carril | $n =$ | 1 |
| Variación total de la pendiente transversal % | $a =$ | 2.5 m |
| Pendiente relativa % | $\Delta_p =$ | 9.5 |
| Desarrollo del peralte | $\Delta =$ | 1.1 |
| | $l = \frac{n a \Delta_p}{\Delta}$ | 21.59 m |
| Longitud de transición | $L_t =$ | 15.9 m |
| Longitud de transición en curva | $L_{tc} =$ | 4.8 m |
| Longitud de transición en recta | $L_{tr} =$ | 11.1 m |
| Longitud de aplanamiento | $L_a =$ | 5.7 m |

| | Punto geometrico | PK | Nomenclatura C3D | Lisquierdo | Lderecho |
|----|------------------|----|------------------|------------|----------|
| PC | 5+400.480 | | | | |
| PT | 5+446.440 | | | | |

| | | |
|----------------------------|-------|------|
| 5+405.253 Begin Full Super | -7.0% | 7.0% |
| 5+441.667 End Full Super | -7.0% | 7.0% |

Sobre ancho: Calzada en recta 6m, bidireccional, con huelgas $h_1 = 0.45m$ y $h_2 = 0.05m$

Distancia entre parachoques delantero y ultimo eje trasero L_0 **9.5 m**

$$\text{Sobreancho} \quad E = \frac{L_0^2}{R} + 0.15 = \frac{9.5^2}{30} + 0.15 = 3.01 \text{ m}$$

$$\text{Sobreancho interior} = 0.55E \quad 1.65 \text{ m}$$

$$\text{Sobreancho exterior} = 0.45E \quad 1.35 \text{ m}$$

$$\text{LI} = 4.15 \text{ m}$$

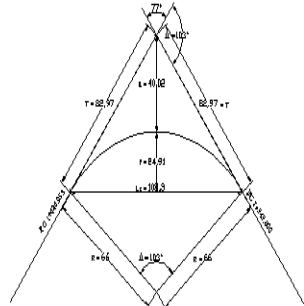
$$\text{LE} = 3.85 \text{ m}$$

| | | | |
|-----------------------|---------|-------|----------|
| VELOCIDAD DE PROYECTO | 30 | Km/hr | CURVA 39 |
| RADIO DE CURVATURA | 25 | m | |
| ANGULO DE DEFLEXION | 86.4255 | ° | |

Velocidad adoptado [Km/h] = Adoptado del manual de la abc **30**

$$\text{Radio de curvatura mínimo (m)} = R_{min} = \frac{V_p^2}{127 * (P_{max} + f)} = 24.87$$

Radio de Curvatura [m] : Adoptado **25**



Angulo de Deflexión [°] = **86.4255**
1.508409533

Elementos de curva:

| | | |
|---------------------|--|----------|
| Tangente | $T = R \tan \frac{\Delta}{2}$ | 23.487 m |
| Externa | $E = R \left(\sec \frac{\Delta}{2} - 1 \right)$ | 9.30 m |
| Flecha | $f = R \left(1 - \cos \frac{\Delta}{2} \right)$ | 6.78 m |
| Desarrollo de Curva | $D = \frac{\pi \cdot R \cdot \Delta}{180}$ | 37.71 m |
| Longitud de Curva | $L_c = 2 \cdot R \cdot \sin \frac{\Delta}{2}$ | 34.24 m |

Peralte (%):

$$25 \leq R \leq 350 \rightarrow e = 7\%$$

$$350 < R \leq 3500 \rightarrow e = 7\% - 6.08(1 - 350/R)^{1.3}$$

Peralte % **7**

$$3500 < R \rightarrow e = \text{bombeo}$$

Desarrollo de peralte:

| | | |
|---|-----------------------------------|---------|
| Números de carriles | Bombeo % | -2.5 |
| Ancho normal de un carril | $n =$ | 1 |
| Variación total de la pendiente transversal % | $a =$ | 2.5 m |
| Pendiente relativa % | $\Delta_p =$ | 9.5 |
| Desarrollo del peralte | $\Delta =$ | 1.1 |
| | $l = \frac{n a \Delta_p}{\Delta}$ | 21.59 m |
| Longitud de transición | $L_t =$ | 15.9 m |
| Longitud de transición en curva | $L_{tc} =$ | 4.8 m |
| Longitud de transición en recta | $L_{tr} =$ | 11.1 m |
| Longitud de aplanamiento | $L_a =$ | 5.7 m |

| PC | Punto geometrico | PK | Nomenclatura C3D | Lisquierdo | Lderecho |
|----|------------------|----|------------------|------------|----------|
| | 5+446.440 | | | | |
| PT | 5+484.150 | | | | |

| | | | |
|-----------|-----------------------|-------|-------|
| 5+451.213 | Begin Full Super | 7.0% | -7.0% |
| 5+479.377 | End Full Super | 7.0% | -7.0% |
| 5+489.605 | Low Shoulder Match | 2.5% | -2.5% |
| 5+489.605 | Reverse Crown | 2.5% | -2.5% |
| 5+495.286 | Level Crown | 0.0% | -2.5% |
| 5+500.968 | Begin Normal Crown | -2.5% | -2.5% |
| 5+500.968 | Begin Normal Shoulder | -2.5% | -2.5% |

Sobre ancho: Calzada en recta 6m, bidireccional, con huelgas $h_1 = 0.45m$ y $h_2 = 0.05m$

Distancia entre parachoques delantero y ultimo eje trasero **L₀** **9.5 m**

$$\text{Sobreancho} \quad E = \frac{L_0^2}{R} + 0.15 \quad 3.61 \text{ m}$$

$$\text{Sobreancho interior} = 0.55E \quad 1.76 \text{ m}$$

$$\text{Sobreancho exterior} = 0.45E \quad 1.44 \text{ m}$$

$$\text{LI} = \quad 4.26$$

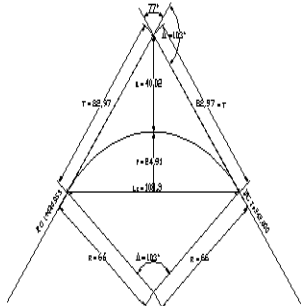
$$\text{LE} = \quad 3.94$$

| | | | |
|-----------------------|---------|-------|----------|
| VELOCIDAD DE PROYECTO | 30 | Km/hr | CURVA 40 |
| RADIO DE CURVATURA | 40 | m | |
| ANGULO DE DEFLEXION | 74.1613 | ° | |

Velocidad adoptado [Km/h] = Adoptado del manual de la abc **30**

$$\text{Radio de curvatura mínimo (m)} = R_{min} = \frac{V_p^2}{127 * (P_{max} + f)} = 24.87$$

Radio de Curvatura [m] : Adoptado **40**



$$\text{Angulo de Deflexión } [^\circ] = \frac{T}{R} \tan \frac{\Delta}{2} = \frac{30.231}{40} \tan \frac{74.1613}{2} = 74.1613$$

Elementos de curva:

| | | |
|---------------------|--|----------|
| Tangente | $T = R \tan \frac{\Delta}{2}$ | 30.231 m |
| Externa | $E = R \left(\sec \frac{\Delta}{2} - 1 \right)$ | 10.14 m |
| Flecha | $f = R \left(1 - \cos \frac{\Delta}{2} \right)$ | 8.09 m |
| Desarrollo de Curva | $D = \frac{\pi \cdot R \cdot \Delta}{180}$ | 51.77 m |
| Longitud de Curva | $L_c = 2 \cdot R \cdot \sin \frac{\Delta}{2}$ | 48.24 m |

Peralte (%):

$$25 \leq R \leq 350 \rightarrow e = 7\%$$

$$350 < R \leq 3500 \rightarrow e = 7\% - 6.08(1 - 350/R)^{1.3}$$

$$\text{Peralte \%} \quad 7$$

$$3500 < R \rightarrow e = \text{bombeo}$$

Desarrollo de peralte:

| | | |
|---|-----------------------------------|---------|
| Números de carriles | Bombeo % | -2.5 |
| Ancho normal de un carril | $n =$ | 1 |
| Variación total de la pendiente transversal % | $a =$ | 2.5 m |
| Pendiente relativa % | $\Delta_p =$ | 9.5 |
| Desarrollo del peralte | $\Delta =$ | 1.1 |
| | $l = \frac{n a \Delta_p}{\Delta}$ | 21.59 m |
| Longitud de transición | $L_t =$ | 15.9 m |
| Longitud de transición en curva | $L_{tc} =$ | 4.8 m |
| Longitud de transición en recta | $L_{tr} =$ | 11.1 m |
| Longitud de aplanamiento | $L_a =$ | 5.7 m |

| | Punto geometrico | PK | Nomenclatura C3D | Lisquierdo | Lderecho |
|----|------------------|-----------|-----------------------|------------|----------|
| PC | 5+513.920 | 5+497.102 | End Normal Shoulder | -2.5% | -2.5% |
| PT | 5+565.690 | 5+497.102 | End Normal Crown | -2.5% | -2.5% |
| | | 5+502.784 | Level Crown | -2.5% | 0.0% |
| | | 5+508.465 | Low Shoulder Match | -2.5% | 2.5% |
| | | 5+508.465 | Reverse Crown | -2.5% | 2.5% |
| | | 5+518.693 | Begin Full Super | -7.0% | 7.0% |
| | | 5+560.917 | End Full Super | -7.0% | 7.0% |
| | | 5+571.145 | Low Shoulder Match | -2.5% | 2.5% |
| | | 5+571.145 | Reverse Crown | -2.5% | 2.5% |
| | | 5+576.826 | Level Crown | -2.5% | 0.0% |
| | | 5+582.508 | Begin Normal Crown | -2.5% | -2.5% |
| | | 5+582.508 | Begin Normal Shoulder | -2.5% | -2.5% |

Sobre ancho: Calzada en recta 6m, bidireccional, con huelgas $h_1 = 0.45m$ y $h_2 = 0.05m$

Distancia entre parachoques delantero y ultimo eje trasero L_0 **9.5 m**

$$\text{Sobreancho} \quad E = \frac{L_0^2}{R} + 0.15 = \frac{9.5^2}{40} + 0.15 = 2.26 \text{ m}$$

$$\text{Sobreancho interior} = 0.55E \quad 1.24 \text{ m}$$

$$\text{Sobreancho exterior} = 0.45E \quad 1.02 \text{ m}$$

$$\text{LI} = 3.74$$

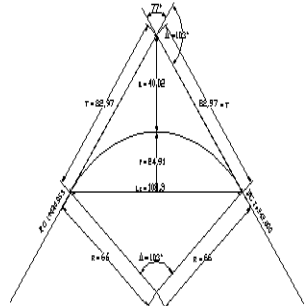
$$\text{LE} = 3.52$$

| | | | |
|-----------------------|---------|-------|----------|
| VELOCIDAD DE PROYECTO | 30 | Km/hr | CURVA 41 |
| RADIO DE CURVATURA | 60 | m | |
| ANGULO DE DEFLEXION | 11.4721 | ° | |

Velocidad adoptado [Km/h] = Adoptado del manual de abc **30**

$$\text{Radio de curvatura mínimo (m)} = R_{min} = \frac{V_p^2}{127 * (P_{max} + f)} = 24.87$$

Radio de Curvatura [m] : Adoptado **60**



$$\text{Angulo de Deflexión } [^\circ] = \frac{11.4721}{0.200225917}$$

Elementos de curva:

| | | |
|---------------------|--|---------|
| Tangente | $T = R \tan \frac{\Delta}{2}$ | 6.027 m |
| Externa | $E = R \left(\sec \frac{\Delta}{2} - 1 \right)$ | 0.30 m |
| Flecha | $f = R \left(1 - \cos \frac{\Delta}{2} \right)$ | 0.30 m |
| Desarrollo de Curva | $D = \frac{\pi \cdot R \cdot \Delta}{180}$ | 12.01 m |
| Longitud de Curva | $L_c = 2 \cdot R \cdot \sin \frac{\Delta}{2}$ | 11.99 m |

Peralte (%):

$$25 \leq R \leq 350 \rightarrow e = 7\%$$

$$350 < R \leq 3500 \rightarrow e = 7\% - 6.08(1 - 350/R)^{1.3}$$

$$\text{Peralte \%} \quad 7$$

$$3500 < R \rightarrow e = \text{bombeo}$$

Desarrollo de peralte:

| | | |
|---|-----------------------------------|---------|
| Números de carriles | Bombeo % | -2.5 |
| Ancho normal de un carril | $n =$ | 1 |
| Variación total de la pendiente transversal % | $a =$ | 2.5 m |
| Pendiente relativa % | $\Delta_p =$ | 9.5 |
| Desarrollo del peralte | $\Delta =$ | 1.1 |
| | $l = \frac{n a \Delta_p}{\Delta}$ | 21.59 m |
| Longitud de transición | $L_t =$ | 15.9 m |
| Longitud de transición en curva | $L_{tc} =$ | 4.8 m |
| Longitud de transición en recta | $L_{tr} =$ | 11.1 m |
| Longitud de aplanamiento | $L_a =$ | 5.7 m |

| | Punto geometrico | PK | Nomenclatura C3D | Lisquierdo | Lderecho |
|----|------------------|-----------|-----------------------|------------|----------|
| PC | 5+628.470 | 5+611.652 | End Normal Shoulder | -2.5% | -2.5% |
| PT | 5+640.480 | 5+611.652 | End Normal Crown | -2.5% | -2.5% |
| | | 5+617.334 | Level Crown | 0.0% | -2.5% |
| | | 5+623.015 | Low Shoulder Match | 2.5% | -2.5% |
| | | 5+623.015 | Reverse Crown | 2.5% | -2.5% |
| | | 5+633.243 | Begin Full Super | 7.0% | -7.0% |
| | | 5+635.707 | End Full Super | 7.0% | -7.0% |
| | | 5+645.935 | Low Shoulder Match | 2.5% | -2.5% |
| | | 5+645.935 | Reverse Crown | 2.5% | -2.5% |
| | | 5+651.616 | Level Crown | 0.0% | -2.5% |
| | | 5+657.298 | Begin Normal Crown | -2.5% | -2.5% |
| | | 5+657.298 | Begin Normal Shoulder | -2.5% | -2.5% |

Sobre ancho: Calzada en recta 6m, bidireccional, con huelgas $h_1 = 0.45m$ y $h_2 = 0.05m$

Distancia entre parachoques delantero y ultimo eje trasero L_0 **9.5 m**

$$\text{Sobreancho} \quad E = \frac{L_0^2}{R} + 0.15 = 1.50 \text{ m}$$

$$\text{Sobreancho interior} = 0.55E \quad 0.83 \text{ m}$$

$$\text{Sobreancho exterior} = 0.45E \quad 0.68 \text{ m}$$

$$\text{LI} = 3.33$$

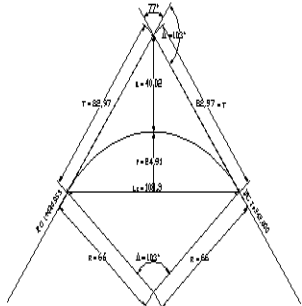
$$\text{LE} = 3.18$$

| | | | |
|-----------------------|---------|-------|----------|
| VELOCIDAD DE PROYECTO | 30 | Km/hr | CURVA 42 |
| RADIO DE CURVATURA | 40 | m | |
| ANGULO DE DEFLEXION | 72.5898 | ° | |

Velocidad adoptado [Km/h] = Adoptado del manual de abc **30**

$$\text{Radio de curvatura mínimo (m)} = R_{min} = \frac{V_p^2}{127 * (P_{max} + f)} = 24.87$$

Radio de Curvatura [m] : Adoptado **40**



Angulo de Deflexión [°] = **72.5898**
1.266931013

Elementos de curva:

| | | |
|---------------------|--|----------|
| Tangente | $T = R \tan \frac{\Delta}{2}$ | 29.377 m |
| Externa | $E = R \left(\sec \frac{\Delta}{2} - 1 \right)$ | 9.63 m |
| Flecha | $f = R \left(1 - \cos \frac{\Delta}{2} \right)$ | 7.76 m |
| Desarrollo de Curva | $D = \frac{\pi \cdot R \cdot \Delta}{180}$ | 50.68 m |
| Longitud de Curva | $L_c = 2 \cdot R \cdot \sin \frac{\Delta}{2}$ | 47.36 m |

Peralte (%):

$$25 \leq R \leq 350 \rightarrow e = 7\%$$

$$350 < R \leq 3500 \rightarrow e = 7\% - 6.08(1 - 350/R)^{1.3}$$

$$3500 < R \rightarrow e = \text{bombeo}$$

Desarrollo de peralte:

| | | |
|---|-----------------------------------|---------|
| Números de carriles | Bombeo % | -2.5 |
| Ancho normal de un carril | $n =$ | 1 |
| Variación total de la pendiente transversal % | $a =$ | 2.5 m |
| Pendiente relativa % | $\Delta_p =$ | 9.5 |
| Desarrollo del peralte | $\Delta =$ | 1.1 |
| | $l = \frac{n a \Delta_p}{\Delta}$ | 21.59 m |
| Longitud de transición | $L_t =$ | 15.9 m |
| Longitud de transición en curva | $L_{tc} =$ | 4.8 m |
| Longitud de transición en recta | $L_{tr} =$ | 11.1 m |
| Longitud de aplanamiento | $L_a =$ | 5.7 m |

| | Punto geometrico | PK | Nomenclatura C3D | Lisquierdo | Lderecho |
|----|------------------|-----------|-----------------------|------------|----------|
| PC | 5+683.350 | 5+666.532 | End Normal Shoulder | -2.5% | -2.5% |
| PT | 5+734.030 | 5+666.532 | End Normal Crown | -2.5% | -2.5% |
| | | 5+672.214 | Level Crown | 0.0% | -2.5% |
| | | 5+677.895 | Low Shoulder Match | 2.5% | -2.5% |
| | | 5+677.895 | Reverse Crown | 2.5% | -2.5% |
| | | 5+688.123 | Begin Full Super | 7.0% | -7.0% |
| | | 5+729.257 | End Full Super | 7.0% | -7.0% |
| | | 5+739.485 | Low Shoulder Match | 2.5% | -2.5% |
| | | 5+739.485 | Reverse Crown | 2.5% | -2.5% |
| | | 5+745.166 | Level Crown | 0.0% | -2.5% |
| | | 5+750.848 | Begin Normal Crown | -2.5% | -2.5% |
| | | 5+750.848 | Begin Normal Shoulder | -2.5% | -2.5% |

Sobre ancho: Calzada en recta 6m, bidireccional, con huelgas $h_1 = 0.45m$ y $h_2 = 0.05m$

Distancia entre parachoques delantero y ultimo eje trasero L_0 **9.5 m**

$$\text{Sobreancho} \quad E = \frac{L_0^2}{R} + 0.15 = 2.26 \text{ m}$$

$$\text{Sobreancho interior} = 0.55E \quad 1.24 \text{ m}$$

$$\text{Sobreancho exterior} = 0.45E \quad 1.02 \text{ m}$$

$$LI = 3.74$$

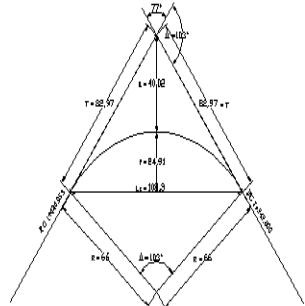
$$LE = 3.52$$

| | | |
|-----------------------|------------|----------|
| VELOCIDAD DE PROYECTO | 15 Km/hr | CURVA 43 |
| RADIO DE CURVATURA | 16 m | |
| ANGULO DE DEFLEXION | 186.7412 ° | |

Velocidad adoptado [Km/h] = Adoptado del manual de la abc **15**

$$\text{Radio de curvatura mínimo (m)} = R_{min} = \frac{V_p^2}{127 * (P_{max} + f)} \quad 6.22$$

Radio de Curvatura [m] : Adoptado **16**



$$\text{Angulo de Deflexión } [^\circ] = \frac{186.7412}{3.259248789}$$

Elementos de curva:

| | | |
|---------------------|--|------------|
| Tangente | $T = R \tan \frac{\Delta}{2}$ | -271.665 m |
| Externa | $E = R \left(\sec \frac{\Delta}{2} - 1 \right)$ | -288.14 m |
| Flecha | $f = R \left(1 - \cos \frac{\Delta}{2} \right)$ | 16.94 m |
| Desarrollo de Curva | $D = \frac{\pi \cdot R \cdot \Delta}{180}$ | 52.15 m |
| Longitud de Curva | $L_c = 2 \cdot R \cdot \sin \frac{\Delta}{2}$ | 31.94 m |

Peralte (%):

$$25 \leq R \leq 350 \rightarrow e = 7\%$$

$$350 < R \leq 3500 \rightarrow e = 7\% - 6.08(1 - 350/R)^{1.3}$$

$$\text{Peralte \%} \quad 5$$

$$3500 < R \rightarrow e = \text{bombeo}$$

Desarrollo de peralte:

| | | |
|---|-----------------------------------|---------|
| Números de carriles | Bombeo % | -2.5 |
| Ancho normal de un carril | $n =$ | 1 |
| Variación total de la pendiente transversal % | $a =$ | 2.5 m |
| Pendiente relativa % | $\Delta_p =$ | 7.5 |
| Desarrollo del peralte | $\Delta =$ | 1.1 |
| | $l = \frac{n a \Delta_p}{\Delta}$ | 17.05 m |
| Longitud de transición | $L_t =$ | 11.4 m |
| Longitud de transición en curva | $L_{tc} =$ | 3.4 m |
| Longitud de transición en recta | $L_{tr} =$ | 8.0 m |
| Longitud de aplanamiento | $L_a =$ | 5.7 m |

| | Punto geometrico | PK | Nomenclatura C3D | Lisquierdo | Lderecho |
|----|------------------|-----------|---------------------|------------|----------|
| PC | 5+852.510 | 5+838.874 | End Normal Shoulder | -2.5% | -2.5% |
| PT | 5+904.650 | 5+838.874 | End Normal Crown | -2.5% | -2.5% |
| | | 5+844.555 | Level Crown | 0.0% | -2.5% |
| | | 5+850.237 | Low Shoulder Match | 2.5% | -2.5% |
| | | 5+850.237 | Reverse Crown | 2.5% | -2.5% |
| | | 5+855.919 | Begin Full Super | 5.0% | -5.0% |
| | | 5+901.241 | End Full Super | 5.0% | -5.0% |

Sobre ancho: Calzada en recta 6m, bidireccional, con huelgas $h_1 = 0.45m$ y $h_2 = 0.05m$

Distancia entre parachoques delantero y ultimo eje trasero L_0 **9.5 m**

$$\text{Sobreancho} \quad E = \frac{L_0^2}{R} + 0.15 \quad 3.20 \text{ m}$$

$$\text{Sobreancho interior} = 0.55E \quad 1.76 \text{ m}$$

$$\text{Sobreancho exterior} = 0.45E \quad 1.44 \text{ m}$$

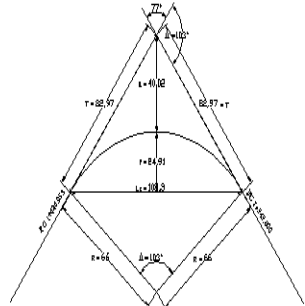
$$\begin{aligned} LI &= 4.26 \\ LE &= 3.94 \end{aligned}$$

| | | |
|-----------------------|-----------|----------|
| VELOCIDAD DE PROYECTO | 15 Km/hr | CURVA 44 |
| RADIO DE CURVATURA | 70 m | |
| ANGULO DE DEFLEXION | 49.1301 ° | |

Velocidad adoptado [Km/h] = Adoptado del manual de la abc **15**

$$\text{Radio de curvatura mínimo (m)} = R_{min} = \frac{V_p^2}{127 * (P_{max} + f)} \quad 6.22$$

Radio de Curvatura [m] : Adoptado **70**



$$\text{Angulo de Deflexión } [^\circ] = \frac{\Delta}{2} \quad \text{49.1301}$$

Elementos de curva:

| | | |
|---------------------|--|----------|
| Tangente | $T = R \tan \frac{\Delta}{2}$ | 31.997 m |
| Externa | $E = R \left(\sec \frac{\Delta}{2} - 1 \right)$ | 6.97 m |
| Flecha | $f = R \left(1 - \cos \frac{\Delta}{2} \right)$ | 6.34 m |
| Desarrollo de Curva | $D = \frac{\pi \cdot R \cdot \Delta}{180}$ | 60.02 m |
| Longitud de Curva | $L_c = 2 \cdot R \cdot \sin \frac{\Delta}{2}$ | 58.20 m |

Peralte (%):

$$25 \leq R \leq 350 \rightarrow e = 7\%$$

$$350 < R \leq 3500 \rightarrow e = 7\% - 6.08(1 - 350/R)^{1.3} \quad \text{Peralte \%} \quad 5$$

$$3500 < R \rightarrow e = \text{bombeo}$$

Desarrollo de peralte:

| | | |
|---|-----------------------------------|---------|
| Números de carriles | Bombeo % | -2.5 |
| Ancho normal de un carril | $n =$ | 1 |
| Variación total de la pendiente transversal % | $a =$ | 2.5 m |
| Pendiente relativa % | $\Delta_p =$ | 7.5 |
| Desarrollo del peralte | $\Delta =$ | 1.1 |
| | $l = \frac{n a \Delta_p}{\Delta}$ | 17.05 m |
| Longitud de transición | $L_t =$ | 11.4 m |
| Longitud de transición en curva | $L_{tc} =$ | 3.4 m |
| Longitud de transición en recta | $L_{tr} =$ | 8.0 m |
| Longitud de aplanamiento | $L_a =$ | 5.7 m |

| PC | Punto geometrico | PK | Nomenclatura C3D | Lisquierdo | Lderecho |
|----|------------------|----|------------------|------------|----------|
| | 5+904.650 | | | | |
| PT | 5+964.680 | | | | |

| | | | |
|-----------|-----------------------|-------|-------|
| 5+908.059 | Begin Full Super | -5.0% | 5.0% |
| 5+961.271 | End Full Super | -5.0% | 5.0% |
| 5+966.953 | Low Shoulder Match | -2.5% | 2.5% |
| 5+966.953 | Reverse Crown | -2.5% | 2.5% |
| 5+972.635 | Level Crown | -2.5% | 0.0% |
| 5+978.316 | Begin Normal Crown | -2.5% | -2.5% |
| 5+978.316 | Begin Normal Shoulder | -2.5% | -2.5% |

Sobre ancho: Calzada en recta 6m, bidireccional, con huelgas $h_1 = 0.45m$ y $h_2 = 0.05m$

Distancia entre parachoques delantero y ultimo eje trasero L_0 **9.5 m**

$$\text{Sobreancho} \quad E = \frac{L_0^2}{R} + 0.15 \quad 1.29 \text{ m}$$

$$\text{Sobreancho interior} = 0.55E \quad 0.71 \text{ m}$$

$$\text{Sobreancho exterior} = 0.45E \quad 0.58 \text{ m}$$

$$\text{LI} = \quad 3.21$$

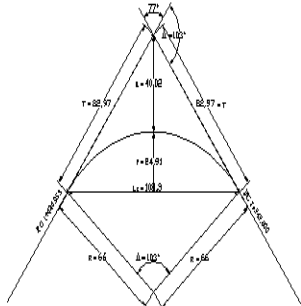
$$\text{LE} = \quad 3.08$$

| | | |
|-----------------------|------------|----------|
| VELOCIDAD DE PROYECTO | 15 Km/hr | CURVA 45 |
| RADIO DE CURVATURA | 16 m | |
| ANGULO DE DEFLEXION | 193.8296 ° | |

Velocidad adoptado [Km/h] = Adoptado del manual de la abc **15**

$$\text{Radio de curvatura mínimo (m)} = R_{min} = \frac{V_p^2}{127 * (P_{max} + f)} \quad 6.22$$

Radio de Curvatura [m] : Adoptado **16**



$$\text{Angulo de Deflexión } [^\circ] = \frac{193.8296}{3.382964708}$$

Elementos de curva:

| | | |
|---------------------|--|------------|
| Tangente | $T = R \tan \frac{\Delta}{2}$ | -131.931 m |
| Externa | $E = R \left(\sec \frac{\Delta}{2} - 1 \right)$ | 148.90 m |
| Flecha | $f = R \left(1 - \cos \frac{\Delta}{2} \right)$ | 17.93 m |
| Desarrollo de Curva | $D = \frac{\pi \cdot R \cdot \Delta}{180}$ | 54.13 m |
| Longitud de Curva | $L_c = 2 \cdot R \cdot \sin \frac{\Delta}{2}$ | 31.77 m |

Peralte (%):

$$25 \leq R \leq 350 \rightarrow e = 7\%$$

$$350 < R \leq 3500 \rightarrow e = 7\% - 6.08(1 - 350/R)^{1.3}$$

$$3500 < R \rightarrow e = \text{bombeo}$$

Desarrollo de peralte:

| | | |
|---|-----------------------------------|---------|
| Números de carriles | Bombeo % | -2.5 |
| Ancho normal de un carril | $n =$ | 1 |
| Variación total de la pendiente transversal % | $a =$ | 2.5 m |
| Pendiente relativa % | $\Delta_p =$ | 7.5 |
| Desarrollo del peralte | $\Delta =$ | 1.1 |
| | $l = \frac{n a \Delta_p}{\Delta}$ | 17.05 m |
| Longitud de transición | $L_t =$ | 11.4 m |
| Longitud de transición en curva | $L_{tc} =$ | 3.4 m |
| Longitud de transición en recta | $L_{tr} =$ | 8.0 m |
| Longitud de aplanamiento | $L_a =$ | 5.7 m |

| | Punto geometrico | PK | Nomenclatura C3D | Lisquierdo | Lderecho |
|----|------------------|-----------|---------------------|------------|----------|
| PC | 6+024.030 | 6+010.394 | End Normal Shoulder | -2.5% | -2.5% |
| PT | 6+078.160 | 6+010.394 | End Normal Crown | -2.5% | -2.5% |
| | | 6+016.075 | Level Crown | -2.5% | 0.0% |
| | | 6+021.757 | Low Shoulder Match | -2.5% | 2.5% |
| | | 6+021.757 | Reverse Crown | -2.5% | 2.5% |
| | | 6+027.439 | Begin Full Super | -5.0% | 5.0% |
| | | 6+074.751 | End Full Super | -5.0% | 5.0% |

Sobre ancho: Calzada en recta 6m, bidireccional, con huelgas $h_1 = 0.45m$ y $h_2 = 0.05m$

Distancia entre parachoques delantero y ultimo eje trasero L_0 **9.5 m**

$$\text{Sobreancho} \quad E = \frac{L_0^2}{R} + 0.15 \quad 3.20 \text{ m}$$

$$\text{Sobreancho interior} = 0.55E \quad 1.76 \text{ m}$$

$$\text{Sobreancho exterior} = 0.45E \quad 1.44 \text{ m}$$

$$\text{LI} = 4.26$$

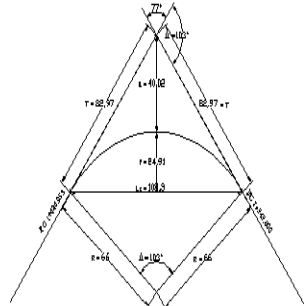
$$\text{LE} = 3.94$$

| | | |
|-----------------------|-----------|----------|
| VELOCIDAD DE PROYECTO | 15 Km/hr | CURVA 46 |
| RADIO DE CURVATURA | 70 m | |
| ANGULO DE DEFLEXION | 24.7347 ° | |

Velocidad adoptado [Km/h] = Adoptado del manual de abc **15**

$$\text{Radio de curvatura mínimo (m)} = R_{min} = \frac{V_p^2}{127 * (P_{max} + f)} \quad 6.22$$

Radio de Curvatura [m] : Adoptado **70**



$$\text{Angulo de Deflexión } [^\circ] = \frac{24.7347}{0.431701954}$$

Elementos de curva:

| | | |
|---------------------|--|----------|
| Tangente | $T = R \tan \frac{\Delta}{2}$ | 15.349 m |
| Externa | $E = R \left(\sec \frac{\Delta}{2} - 1 \right)$ | 1.66 m |
| Flecha | $f = R \left(1 - \cos \frac{\Delta}{2} \right)$ | 1.62 m |
| Desarrollo de Curva | $D = \frac{\pi \cdot R \cdot \Delta}{180}$ | 30.22 m |
| Longitud de Curva | $L_c = 2 \cdot R \cdot \sin \frac{\Delta}{2}$ | 29.99 m |

Peralte (%):

$$25 \leq R \leq 350 \rightarrow e = 7\%$$

$$350 < R \leq 3500 \rightarrow e = 7\% - 6.08(1 - 350/R)^{1.3}$$

$$3500 < R \rightarrow e = \text{bombeo}$$

Desarrollo de peralte:

| | | |
|---|-----------------------------------|---------|
| Números de carriles | Bombeo % | -2.5 |
| Ancho normal de un carril | $n =$ | 1 |
| Variación total de la pendiente transversal % | $a =$ | 2.5 m |
| Pendiente relativa % | $\Delta_p =$ | 7.5 |
| Desarrollo del peralte | $\Delta =$ | 1.1 |
| | $l = \frac{n a \Delta_p}{\Delta}$ | 17.05 m |
| Longitud de transición | $L_t =$ | 11.4 m |
| Longitud de transición en curva | $L_{tc} =$ | 3.4 m |
| Longitud de transición en recta | $L_{tr} =$ | 8.0 m |
| Longitud de aplanamiento | $L_a =$ | 5.7 m |

| PC | Punto geometrico | PK | Nomenclatura C3D | Lisquierdo | Lderecho |
|----|------------------|-----------|------------------|------------|----------|
| | | 6+078.160 | | | |
| PT | | 6+108.380 | | | |

| | | | |
|-----------|-----------------------|-------|-------|
| 6+081.569 | Begin Full Super | 5.0% | -5.0% |
| 6+104.971 | End Full Super | 5.0% | -5.0% |
| 6+110.653 | Low Shoulder Match | 2.5% | -2.5% |
| 6+110.653 | Reverse Crown | 2.5% | -2.5% |
| 6+116.335 | Level Crown | 0.0% | -2.5% |
| 6+122.016 | Begin Normal Crown | -2.5% | -2.5% |
| 6+122.016 | Begin Normal Shoulder | -2.5% | -2.5% |

Sobre ancho: Calzada en recta 6m, bidireccional, con huelgas $h_1 = 0.45m$ y $h_2 = 0.05m$

Distancia entre parachoques delantero y ultimo eje trasero L_0 **9.5 m**

$$\text{Sobreancho} \quad E = \frac{L_0^2}{R} + 0.15 \quad 1.29 \text{ m}$$

$$\text{Sobreancho interior} = 0.55E \quad 0.71 \text{ m}$$

$$\text{Sobreancho exterior} = 0.45E \quad 0.58 \text{ m}$$

$$\text{LI} = 3.21$$

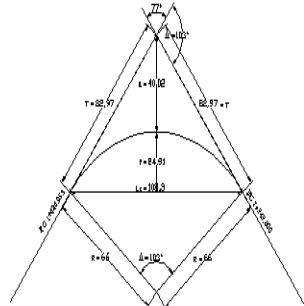
$$\text{LE} = 3.08$$

| | | |
|-----------------------|------------|----------|
| VELOCIDAD DE PROYECTO | 15 Km/hr | CURVA 47 |
| RADIO DE CURVATURA | 16 m | |
| ANGULO DE DEFLEXION | 202.1036 ° | |

Velocidad adoptado [Km/h] = Adoptado del manual de la abc **15**

$$\text{Radio de curvatura mínimo (m)} = R_{min} = \frac{V_p^2}{127 * (P_{max} + f)} \quad 6.22$$

Radio de Curvatura [m] : Adoptado **16**



Angulo de Deflexión [°] = **202.1036**
3.52737325

Elementos de curva:

| | | |
|---------------------|--|-----------|
| Tangente | $T = R \tan \frac{\Delta}{2}$ | -81.917 m |
| Externa | $E = R \left(\sec \frac{\Delta}{2} - 1 \right)$ | -99.47 m |
| Flecha | $f = R \left(1 - \cos \frac{\Delta}{2} \right)$ | 19.07 m |
| Desarrollo de Curva | $D = \frac{\pi \cdot R \cdot \Delta}{180}$ | 56.44 m |
| Longitud de Curva | $L_c = 2 \cdot R \cdot \sin \frac{\Delta}{2}$ | 31.41 m |

Peralte (%):

$$25 \leq R \leq 350 \rightarrow e = 7\%$$

$$350 < R \leq 3500 \rightarrow e = 7\% - 6.08(1 - 350/R)^{1.3}$$

Peralte % **5**

$$3500 < R \rightarrow e = \text{bombeo}$$

Desarrollo de peralte:

| | | |
|---|-----------------------------------|---------|
| Números de carriles | Bombeo % | -2.5 |
| Ancho normal de un carril | $n =$ | 1 |
| Variación total de la pendiente transversal % | $a =$ | 2.5 m |
| Pendiente relativa % | $\Delta_p =$ | 7.5 |
| Desarrollo del peralte | $\Delta =$ | 1.1 |
| | $l = \frac{n a \Delta_p}{\Delta}$ | 17.05 m |
| Longitud de transición | $L_t =$ | 11.4 m |
| Longitud de transición en curva | $L_{tc} =$ | 3.4 m |
| Longitud de transición en recta | $L_{tr} =$ | 8.0 m |
| Longitud de aplanamiento | $L_a =$ | 5.7 m |

| | Punto geometrico | PK | Nomenclatura C3D | Lisquierdo | Lderecho |
|----|------------------|-----------|---------------------|------------|----------|
| PC | 6+151.410 | 6+137.774 | End Normal Shoulder | -2.5% | -2.5% |
| PT | 6+207.850 | 6+137.774 | End Normal Crown | -2.5% | -2.5% |
| | | 6+143.455 | Level Crown | 0.0% | -2.5% |
| | | 6+149.137 | Low Shoulder Match | 2.5% | -2.5% |
| | | 6+149.137 | Reverse Crown | 2.5% | -2.5% |
| | | 6+154.819 | Begin Full Super | 5.0% | -5.0% |
| | | 6+204.441 | End Full Super | 5.0% | -5.0% |

Sobre ancho: Calzada en recta 6m, bidireccional, con huelgas $h_1 = 0.45m$ y $h_2 = 0.05m$

Distancia entre parachoques delantero y ultimo eje trasero L_0 **9.5 m**

$$\text{Sobreancho} \quad E = \frac{L_0^2}{R} + 0.15 \quad 3.20 \text{ m}$$

$$\text{Sobreancho interior} = 0.55E \quad 1.76 \text{ m}$$

$$\text{Sobreancho exterior} = 0.45E \quad 1.44 \text{ m}$$

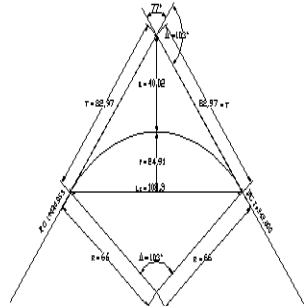
$$\begin{aligned} LI &= 4.26 \\ LE &= 3.94 \end{aligned}$$

| | | |
|-----------------------|-----------|----------|
| VELOCIDAD DE PROYECTO | 15 Km/hr | CURVA 48 |
| RADIO DE CURVATURA | 35 m | |
| ANGULO DE DEFLEXION | 61.4572 ° | |

Velocidad adoptado [Km/h] = Adoptado del manual de la abc **15**

$$\text{Radio de curvatura mínimo (m)} = R_{min} = \frac{V_p^2}{127 * (P_{max} + f)} \quad 6.22$$

Radio de Curvatura [m] : Adoptado **35**



$$\text{Angulo de Deflexión } [^\circ] = \frac{61.4572}{1.072630489}$$

Elementos de curva:

| | | |
|---------------------|--|----------|
| Tangente | $T = R \tan \frac{\Delta}{2}$ | 20.805 m |
| Externa | $E = R \left(\sec \frac{\Delta}{2} - 1 \right)$ | 5.72 m |
| Flecha | $f = R \left(1 - \cos \frac{\Delta}{2} \right)$ | 4.91 m |
| Desarrollo de Curva | $D = \frac{\pi \cdot R \cdot \Delta}{180}$ | 37.54 m |
| Longitud de Curva | $L_c = 2 \cdot R \cdot \sin \frac{\Delta}{2}$ | 35.77 m |

Peralte (%):

$$25 \leq R \leq 350 \rightarrow e = 7\%$$

$$350 < R \leq 3500 \rightarrow e = 7\% - 6.08(1 - 350/R)^{1.3}$$

$$3500 < R \rightarrow e = \text{bombeo}$$

Desarrollo de peralte:

| | | |
|---|-----------------------------------|---------|
| Números de carriles | Bombeo % | -2.5 |
| Ancho normal de un carril | $n =$ | 1 |
| Variación total de la pendiente transversal % | $a =$ | 2.5 m |
| Pendiente relativa % | $\Delta_p =$ | 7.5 |
| Desarrollo del peralte | $\Delta =$ | 1.1 |
| | $l = \frac{n a \Delta_p}{\Delta}$ | 17.05 m |
| Longitud de transición | $L_t =$ | 11.4 m |
| Longitud de transición en curva | $L_{tc} =$ | 3.4 m |
| Longitud de transición en recta | $L_{tr} =$ | 8.0 m |
| Longitud de aplanamiento | $L_a =$ | 5.7 m |

| | Punto geometrico | PK | Nomenclatura C3D | Lisquierdo | Lderecho |
|----|------------------|----|------------------|------------|----------|
| PC | 6+207.850 | | | | |
| PT | 6+245.390 | | | | |

| | | | |
|-----------|-----------------------|-------|-------|
| 6+211.259 | Begin Full Super | -5.0% | 5.0% |
| 6+241.981 | End Full Super | -5.0% | 5.0% |
| 6+247.663 | Low Shoulder Match | -2.5% | 2.5% |
| 6+247.663 | Reverse Crown | -2.5% | 2.5% |
| 6+253.345 | Level Crown | -2.5% | 0.0% |
| 6+259.026 | Begin Normal Crown | -2.5% | -2.5% |
| 6+259.026 | Begin Normal Shoulder | -2.5% | -2.5% |

Sobre ancho: Calzada en recta 6m, bidireccional, con huelgas $h_1 = 0.45m$ y $h_2 = 0.05m$

Distancia entre parachoques delantero y ultimo eje trasero L_0 **9.5 m**

$$\text{Sobreancho} \quad E = \frac{L_0^2}{R} + 0.15 \quad 2.58 \text{ m}$$

$$\text{Sobreancho interior} = 0.55E \quad 1.42 \text{ m}$$

$$\text{Sobreancho exterior} = 0.45E \quad 1.16 \text{ m}$$

$$LI = \quad 3.92$$

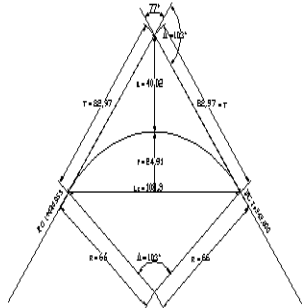
$$LE = \quad 3.66$$

| | | |
|-----------------------|------------|----------|
| VELOCIDAD DE PROYECTO | 15 Km/hr | CURVA 49 |
| RADIO DE CURVATURA | 16 m | |
| ANGULO DE DEFLEXION | 224.1363 ° | |

Velocidad adoptado [Km/h] = Adoptado del manual de la abc **15**

$$\text{Radio de curvatura mínimo (m)} = R_{min} = \frac{V_p^2}{127 * (P_{max} + f)} \quad 6.22$$

Radio de Curvatura [m] : Adoptado **16**



Angulo de Deflexión [°] = **224.1363**
3.911916408

Elementos de curva:

| | | |
|---------------------|--|-----------|
| Tangente | $T = R \tan \frac{\Delta}{2}$ | -39.466 m |
| Externa | $E = R \left(\sec \frac{\Delta}{2} - 1 \right)$ | 58.59 m |
| Flecha | $f = R \left(1 - \cos \frac{\Delta}{2} \right)$ | 22.01 m |
| Desarrollo de Curva | $D = \frac{\pi \cdot R \cdot \Delta}{180}$ | 62.59 m |
| Longitud de Curva | $L_c = 2 \cdot R \cdot \sin \frac{\Delta}{2}$ | 29.66 m |

Peralte (%):

$$25 \leq R \leq 350 \rightarrow e = 7\%$$

$$350 < R \leq 3500 \rightarrow e = 7\% - 6.08(1 - 350/R)^{1.3}$$

Peralte % **5**

$$3500 < R \rightarrow e = \text{bombeo}$$

Desarrollo de peralte:

| | | |
|---|-----------------------------------|---------|
| Números de carriles | Bombeo % | -2.5 |
| Ancho normal de un carril | $n =$ | 1 |
| Variación total de la pendiente transversal % | $a =$ | 2.5 m |
| Pendiente relativa % | $\Delta_p =$ | 7.5 |
| Desarrollo del peralte | $\Delta =$ | 1.1 |
| | $l = \frac{n a \Delta_p}{\Delta}$ | 17.05 m |
| Longitud de transición | $L_t =$ | 11.4 m |
| Longitud de transición en curva | $L_{tc} =$ | 3.4 m |
| Longitud de transición en recta | $L_{tr} =$ | 8.0 m |
| Longitud de aplanamiento | $L_a =$ | 5.7 m |

| | Punto geometrico | PK | Nomenclatura C3D | Lisquierdo | Lderecho |
|----|------------------|-----------|---------------------|------------|----------|
| PC | 6+346.810 | 6+333.174 | End Normal Shoulder | -2.5% | -2.5% |
| PT | 6+409.400 | 6+333.174 | End Normal Crown | -2.5% | -2.5% |
| | | 6+338.855 | Level Crown | -2.5% | 0.0% |
| | | 6+344.537 | Low Shoulder Match | -2.5% | 2.5% |
| | | 6+344.537 | Reverse Crown | -2.5% | 2.5% |
| | | 6+350.219 | Begin Full Super | -5.0% | 5.0% |
| | | 6+405.991 | End Full Super | -5.0% | 5.0% |

Sobre ancho: Calzada en recta 6m, bidireccional, con huelgas $h_1 = 0.45m$ y $h_2 = 0.05m$

Distancia entre parachoques delantero y ultimo eje trasero L_0 **9.5 m**

$$\text{Sobreancho} \quad E = \frac{L_0^2}{R} + 0.15 \quad 3.20 \text{ m}$$

$$\text{Sobreancho interior} = 0.55E \quad 1.76 \text{ m}$$

$$\text{Sobreancho exterior} = 0.45E \quad 1.44 \text{ m}$$

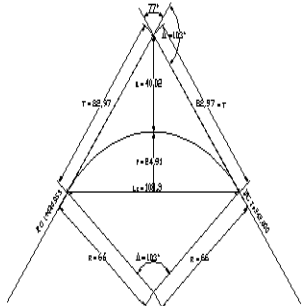
$$\begin{aligned} LI &= 4.26 \\ LE &= 3.94 \end{aligned}$$

| | | |
|-----------------------|-----------|----------|
| VELOCIDAD DE PROYECTO | 15 Km/hr | CURVA 50 |
| RADIO DE CURVATURA | 16 m | |
| ANGULO DE DEFLEXION | 87.9519 ° | |

Velocidad adoptado [Km/h] = Adoptado del manual de abc **15**

$$\text{Radio de curvatura mínimo (m)} = R_{min} = \frac{V_p^2}{127 * (P_{max} + f)} \quad 6.22$$

Radio de Curvatura [m] : Adoptado **16**



$$\text{Angulo de Deflexión } [^\circ] = \frac{87.9519}{1.535050238}$$

Elementos de curva:

| | | |
|---------------------|--|----------|
| Tangente | $T = R \tan \frac{\Delta}{2}$ | 15.438 m |
| Externa | $E = R \left(\sec \frac{\Delta}{2} - 1 \right)$ | 6.23 m |
| Flecha | $f = R \left(1 - \cos \frac{\Delta}{2} \right)$ | 4.49 m |
| Desarrollo de Curva | $D = \frac{\pi \cdot R \cdot \Delta}{180}$ | 24.56 m |
| Longitud de Curva | $L_c = 2 \cdot R \cdot \sin \frac{\Delta}{2}$ | 22.22 m |

Peralte (%):

$$25 \leq R \leq 350 \rightarrow e = 7\%$$

$$350 < R \leq 3500 \rightarrow e = 7\% - 6.08(1 - 350/R)^{1.3} \quad \text{Peralte \%} \quad 5$$

$$3500 < R \rightarrow e = \text{bombeo}$$

Desarrollo de peralte:

| | | |
|---|-----------------------------------|---------|
| Números de carriles | Bombeo % | -2.5 |
| Ancho normal de un carril | $n =$ | 1 |
| Variación total de la pendiente transversal % | $a =$ | 2.5 m |
| Pendiente relativa % | $\Delta_p =$ | 7.5 |
| Desarrollo del peralte | $\Delta =$ | 1.1 |
| | $l = \frac{n a \Delta_p}{\Delta}$ | 17.05 m |
| Longitud de transición | $L_t =$ | 11.4 m |
| Longitud de transición en curva | $L_{tc} =$ | 3.4 m |
| Longitud de transición en recta | $L_{tr} =$ | 8.0 m |
| Longitud de aplanamiento | $L_a =$ | 5.7 m |

| PC | Punto geometrico | PK | Nomenclatura C3D | Lisquierdo | Lderecho |
|----|------------------|----|------------------|------------|----------|
| | 6+409.400 | | | | |
| PT | 6+433.960 | | | | |

| | | | |
|-----------|-----------------------|-------|-------|
| 6+412.809 | Begin Full Super | 5.0% | -5.0% |
| 6+430.551 | End Full Super | 5.0% | -5.0% |
| 6+436.233 | Low Shoulder Match | 2.5% | -2.5% |
| 6+436.233 | Reverse Crown | 2.5% | -2.5% |
| 6+441.915 | Level Crown | 0.0% | -2.5% |
| 6+447.596 | Begin Normal Crown | -2.5% | -2.5% |
| 6+447.596 | Begin Normal Shoulder | -2.5% | -2.5% |

Sobre ancho: Calzada en recta 6m, bidireccional, con huelgas $h_1 = 0.45m$ y $h_2 = 0.05m$

Distancia entre parachoques delantero y ultimo eje trasero L_0 **9.5 m**

$$\text{Sobreancho} \quad E = \frac{L_0^2}{R} + 0.15 \quad 3.20 \text{ m}$$

$$\text{Sobreancho interior} = 0.55E \quad 1.76 \text{ m}$$

$$\text{Sobreancho exterior} = 0.45E \quad 1.44 \text{ m}$$

$$\text{LI} = 4.26$$

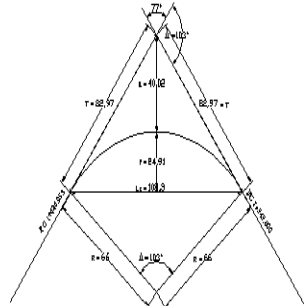
$$\text{LE} = 3.94$$

| | | | |
|-----------------------|----------|-------|----------|
| VELOCIDAD DE PROYECTO | 30 | Km/hr | CURVA 51 |
| RADIO DE CURVATURA | 41 | m | |
| ANGULO DE DEFLEXION | 124.0626 | ° | |

Velocidad adoptado [Km/h] = Adoptado del manual de la abc **30**

$$\text{Radio de curvatura mínimo (m)} = R_{min} = \frac{V_p^2}{127 * (P_{max} + f)} = 24.87$$

Radio de Curvatura [m] : Adoptado **41**



Angulo de Deflexión [°] = **124.0626**
2.165300849

Elementos de curva:

| | | |
|---------------------|--|----------|
| Tangente | $T = R \tan \frac{\Delta}{2}$ | 77.212 m |
| Externa | $E = R \left(\sec \frac{\Delta}{2} - 1 \right)$ | 46.42 m |
| Flecha | $f = R \left(1 - \cos \frac{\Delta}{2} \right)$ | 21.77 m |
| Desarrollo de Curva | $D = \frac{\pi \cdot R \cdot \Delta}{180}$ | 88.78 m |
| Longitud de Curva | $L_c = 2 \cdot R \cdot \sin \frac{\Delta}{2}$ | 72.42 m |

Peralte (%):

$$25 \leq R \leq 350 \rightarrow e = 7\%$$

$$350 < R \leq 3500 \rightarrow e = 7\% - 6.08(1 - 350/R)^{1.3}$$

$$3500 < R \rightarrow e = \text{bombeo}$$

Desarrollo de peralte:

| | | |
|---|-----------------------------------|---------|
| Números de carriles | Bombeo % | -2.5 |
| Ancho normal de un carril | $n =$ | 1 |
| Variación total de la pendiente transversal % | $a =$ | 2.5 m |
| Pendiente relativa % | $\Delta_p =$ | 9.5 |
| Desarrollo del peralte | $\Delta =$ | 1.1 |
| | $l = \frac{n a \Delta_p}{\Delta}$ | 21.59 m |
| Longitud de transición | $L_t =$ | 15.9 m |
| Longitud de transición en curva | $L_{tc} =$ | 4.8 m |
| Longitud de transición en recta | $L_{tr} =$ | 11.1 m |
| Longitud de aplanamiento | $L_a =$ | 5.7 m |

| | Punto geometrico | PK | Nomenclatura C3D | Lisquierdo | Lderecho |
|----|------------------|-----------|---------------------|------------|----------|
| PC | 6+507.490 | 6+490.672 | End Normal Shoulder | -2.5% | -2.5% |
| PT | 6+596.260 | 6+490.672 | End Normal Crown | -2.5% | -2.5% |
| | | 6+496.354 | Level Crown | 0.0% | -2.5% |
| | | 6+502.035 | Low Shoulder Match | 2.5% | -2.5% |
| | | 6+502.035 | Reverse Crown | 2.5% | -2.5% |
| | | 6+512.263 | Begin Full Super | 7.0% | -7.0% |
| | | 6+591.487 | End Full Super | 7.0% | -7.0% |

Sobre ancho: Calzada en recta 6m, bidireccional, con huelgas $h_1 = 0.45m$ y $h_2 = 0.05m$

Distancia entre parachoques delantero y ultimo eje trasero L_0 **9.5 m**

$$\text{Sobreancho} \quad E = \frac{L_0^2}{R} + 0.15 = 2.20 \text{ m}$$

$$\text{Sobreancho interior} = 0.55E \quad 1.21 \text{ m}$$

$$\text{Sobreancho exterior} = 0.45E \quad 0.99 \text{ m}$$

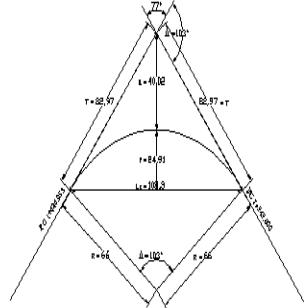
$$\begin{aligned} \text{LI} &= 3.71 \\ \text{LE} &= 3.49 \end{aligned}$$

| | | | |
|-----------------------|---------|-------|----------|
| VELOCIDAD DE PROYECTO | 30 | Km/hr | CURVA 52 |
| RADIO DE CURVATURA | 100 | m | |
| ANGULO DE DEFLEXION | 37.2647 | ° | |

Velocidad adoptado [Km/h] = Adoptado del manual de la abc **30**

$$\text{Radio de curvatura mínimo (m)} = R_{min} = \frac{V_p^2}{127 * (P_{max} + f)} = 24.87$$

Radio de Curvatura [m] : Adoptado **100**



$$\text{Angulo de Deflexión } [\text{ }^\circ] = \frac{\pi \cdot R \cdot \Delta}{180} = \frac{37.2647}{0.65039171} = 37.2647$$

Elementos de curva:

| | | |
|---------------------|--|----------|
| Tangente | $T = R \tan \frac{\Delta}{2}$ | 33.717 m |
| Externa | $E = R \left(\sec \frac{\Delta}{2} - 1 \right)$ | 5.53 m |
| Flecha | $f = R \left(1 - \cos \frac{\Delta}{2} \right)$ | 5.24 m |
| Desarrollo de Curva | $D = \frac{\pi \cdot R \cdot \Delta}{180}$ | 65.04 m |
| Longitud de Curva | $L_c = 2 \cdot R \cdot \sin \frac{\Delta}{2}$ | 63.90 m |

Peralte (%):

$$25 \leq R \leq 350 \rightarrow e = 7\%$$

$$350 < R \leq 3500 \rightarrow e = 7\% - 6.08(1 - 350/R)^{1.3}$$

$$\text{Peralte \%} \quad 7$$

$$3500 < R \rightarrow e = \text{bombeo}$$

Desarrollo de peralte:

| | | |
|---|-----------------------------------|---------|
| Números de carriles | Bombeo % | -2.5 |
| Ancho normal de un carril | $n =$ | 1 |
| Variación total de la pendiente transversal % | $a =$ | 2.5 m |
| Pendiente relativa % | $\Delta_p =$ | 9.5 |
| Desarrollo del peralte | $\Delta =$ | 1.1 |
| | $l = \frac{n a \Delta_p}{\Delta}$ | 21.59 m |
| Longitud de transición | $L_t =$ | 15.9 m |
| Longitud de transición en curva | $L_{tc} =$ | 4.8 m |
| Longitud de transición en recta | $L_{tr} =$ | 11.1 m |
| Longitud de aplanamiento | $L_a =$ | 5.7 m |

| | Punto geometrico | PK | Nomenclatura C3D | Lisquierdo | Lderecho |
|----|------------------|----|------------------|------------|----------|
| PC | 6+596.260 | | | | |
| PT | 6+661.300 | | | | |

| | | |
|----------------------------|-------|------|
| 6+601.033 Begin Full Super | -7.0% | 7.0% |
| 6+656.527 End Full Super | -7.0% | 7.0% |

Sobre ancho: Calzada en recta 6m, bidireccional, con huelgas $h_1 = 0.45m$ y $h_2 = 0.05m$

Distancia entre parachoques delantero y ultimo eje trasero L_0 **9.5 m**

$$\text{Sobreancho} \quad E = \frac{L_0^2}{R} + 0.15 = 0.90 \text{ m}$$

$$\text{Sobreancho interior} = 0.55E \quad 0.50 \text{ m}$$

$$\text{Sobreancho exterior} = 0.45E \quad 0.41 \text{ m}$$

$$\text{LI} = 3.00$$

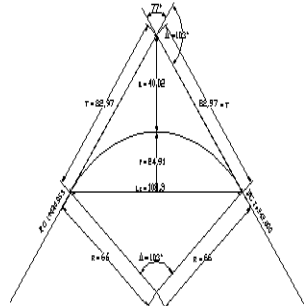
$$\text{LE} = 2.91$$

| | | | |
|-----------------------|----------|-------|----------|
| VELOCIDAD DE PROYECTO | 30 | Km/hr | CURVA 53 |
| RADIO DE CURVATURA | 27 | m | |
| ANGULO DE DEFLEXION | 128.5866 | ° | |

Velocidad adoptado [Km/h] = Adoptado del manual de la abc **30**

$$\text{Radio de curvatura mínimo (m)} = R_{min} = \frac{V_p^2}{127 * (P_{max} + f)} = 24.87$$

Radio de Curvatura [m] : Adoptado **27**



Angulo de Deflexión [°] = **128.5866**
2.244259544

Elementos de curva:

| | | |
|---------------------|--|----------|
| Tangente | $T = R \tan \frac{\Delta}{2}$ | 56.085 m |
| Externa | $E = R \left(\sec \frac{\Delta}{2} - 1 \right)$ | 35.25 m |
| Flecha | $f = R \left(1 - \cos \frac{\Delta}{2} \right)$ | 15.29 m |
| Desarrollo de Curva | $D = \frac{\pi \cdot R \cdot \Delta}{180}$ | 60.60 m |
| Longitud de Curva | $L_c = 2 \cdot R \cdot \sin \frac{\Delta}{2}$ | 48.66 m |

Peralte (%):

$$25 \leq R \leq 350 \rightarrow e = 7\%$$

$$350 < R \leq 3500 \rightarrow e = 7\% - 6.08(1 - 350/R)^{1.3}$$

$$3500 < R \rightarrow e = \text{bombeo}$$

Desarrollo de peralte:

| | | |
|---|-----------------------------------|---------|
| Números de carriles | Bombeo % | -2.5 |
| Ancho normal de un carril | $n =$ | 1 |
| Variación total de la pendiente transversal % | $a =$ | 2.5 m |
| Pendiente relativa % | $\Delta_p =$ | 9.5 |
| Desarrollo del peralte | $\Delta =$ | 1.1 |
| | $l = \frac{n a \Delta_p}{\Delta}$ | 21.59 m |
| Longitud de transición | $L_t =$ | 15.9 m |
| Longitud de transición en curva | $L_{tc} =$ | 4.8 m |
| Longitud de transición en recta | $L_{tr} =$ | 11.1 m |
| Longitud de aplanamiento | $L_a =$ | 5.7 m |

| PC | Punto geometrico | PK | Nomenclatura C3D | Lisquierdo | Lderecho |
|----|------------------|----|------------------|------------|----------|
| | 6+661.300 | | | | |
| PT | 6+721.900 | | | | |

| | | | |
|-----------|-----------------------|-------|-------|
| 6+666.073 | Begin Full Super | -7.0% | 7.0% |
| 6+717.127 | End Full Super | -7.0% | 7.0% |
| 6+727.355 | Low Shoulder Match | -2.5% | 2.5% |
| 6+727.355 | Reverse Crown | -2.5% | 2.5% |
| 6+733.036 | Level Crown | -2.5% | 0.0% |
| 6+738.718 | Begin Normal Crown | -2.5% | -2.5% |
| 6+738.718 | Begin Normal Shoulder | -2.5% | -2.5% |

Sobre ancho: Calzada en recta 6m, bidireccional, con huelgas h1 = 0.45m y h2 = 0.05m

Distancia entre parachoques delantero y ultimo eje trasero **L₀** **9.5 m**

$$\text{Sobreancho} \quad E = \frac{L_0^2}{R} + 0.15 \quad 3.34 \text{ m}$$

$$\text{Sobreancho interior} = 0.55E \quad 1.76 \text{ m}$$

$$\text{Sobreancho exterior} = 0.45E \quad 1.44 \text{ m}$$

$$LI = \quad 4.26$$

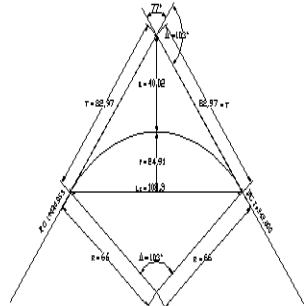
$$LE = \quad 3.94$$

| | | | |
|-----------------------|---------|-------|----------|
| VELOCIDAD DE PROYECTO | 30 | Km/hr | CURVA 54 |
| RADIO DE CURVATURA | 50 | m | |
| ANGULO DE DEFLEXION | 27.6951 | ° | |

Velocidad adoptado [Km/h] = Adoptado del manual de abc **30**

$$\text{Radio de curvatura mínimo (m)} = R_{min} = \frac{V_p^2}{127 * (P_{max} + f)} = 24.87$$

Radio de Curvatura [m] : Adoptado **50**



$$\text{Angulo de Deflexión } [\text{ }^\circ] = \frac{27.6951}{0.483370682}$$

Elementos de curva:

| | | |
|---------------------|--|----------|
| Tangente | $T = R \tan \frac{\Delta}{2}$ | 12.325 m |
| Externa | $E = R \left(\sec \frac{\Delta}{2} - 1 \right)$ | 1.50 m |
| Flecha | $f = R \left(1 - \cos \frac{\Delta}{2} \right)$ | 1.45 m |
| Desarrollo de Curva | $D = \frac{\pi \cdot R \cdot \Delta}{180}$ | 24.17 m |
| Longitud de Curva | $L_c = 2 \cdot R \cdot \sin \frac{\Delta}{2}$ | 23.93 m |

Peralte (%):

$$25 \leq R \leq 350 \rightarrow e = 7\%$$

$$350 < R \leq 3500 \rightarrow e = 7\% - 6.08(1 - 350/R)^{1.3}$$

$$3500 < R \rightarrow e = \text{bombeo}$$

Desarrollo de peralte:

| | | |
|---|-----------------------------------|---------|
| Números de carriles | Bombeo % | -2.5 |
| Ancho normal de un carril | $n =$ | 1 |
| Variación total de la pendiente transversal % | $a =$ | 2.5 m |
| Pendiente relativa % | $\Delta_p =$ | 9.5 |
| Desarrollo del peralte | $\Delta =$ | 1.1 |
| | $l = \frac{n a \Delta_p}{\Delta}$ | 21.59 m |
| Longitud de transición | $L_t =$ | 15.9 m |
| Longitud de transición en curva | $L_{tc} =$ | 4.8 m |
| Longitud de transición en recta | $L_{tr} =$ | 11.1 m |
| Longitud de aplanamiento | $L_a =$ | 5.7 m |

| | Punto geometrico | PK | Nomenclatura C3D | Lisquierdo | Lderecho |
|----|------------------|-----------|-----------------------|------------|----------|
| PC | 6+787.570 | 6+770.752 | End Normal Shoulder | -2.5% | -2.5% |
| PT | 6+811.740 | 6+770.752 | End Normal Crown | -2.5% | -2.5% |
| | | 6+776.434 | Level Crown | 0.0% | -2.5% |
| | | 6+782.115 | Low Shoulder Match | 2.5% | -2.5% |
| | | 6+782.115 | Reverse Crown | 2.5% | -2.5% |
| | | 6+792.343 | Begin Full Super | 7.0% | -7.0% |
| | | 6+806.967 | End Full Super | 7.0% | -7.0% |
| | | 6+817.195 | Low Shoulder Match | 2.5% | -2.5% |
| | | 6+817.195 | Reverse Crown | 2.5% | -2.5% |
| | | 6+822.876 | Level Crown | 0.0% | -2.5% |
| | | 6+828.558 | Begin Normal Crown | -2.5% | -2.5% |
| | | 6+828.558 | Begin Normal Shoulder | -2.5% | -2.5% |

Sobre ancho: Calzada en recta 6m, bidireccional, con huelgas $h_1 = 0.45m$ y $h_2 = 0.05m$

Distancia entre parachoques delantero y ultimo eje trasero L_0 **9.5 m**

$$\text{Sobreancho} \quad E = \frac{L_0^2}{R} + 0.15 = 1.81 \text{ m}$$

$$\text{Sobreancho interior} = 0.55E \quad 0.99 \text{ m}$$

$$\text{Sobreancho exterior} = 0.45E \quad 0.81 \text{ m}$$

$$\text{LI} = 3.49$$

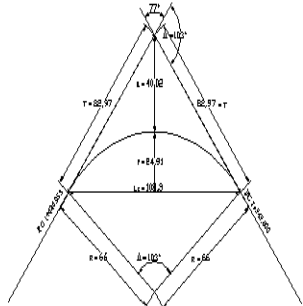
$$\text{LE} = 3.31$$

| | | | |
|-----------------------|---------|-------|----------|
| VELOCIDAD DE PROYECTO | 30 | Km/hr | CURVA 55 |
| RADIO DE CURVATURA | 50 | m | |
| ANGULO DE DEFLEXION | 54.4166 | ° | |

Velocidad adoptado [Km/h] = Adoptado del manual de abc **30**

$$\text{Radio de curvatura mínimo (m)} = R_{min} = \frac{V_p^2}{127 * (P_{max} + f)} = 24.87$$

Radio de Curvatura [m] : Adoptado **50**



Angulo de Deflexión [°] = **54.4166**
0.949748838

Elementos de curva:

| | | |
|---------------------|--|----------|
| Tangente | $T = R \tan \frac{\Delta}{2}$ | 25.706 m |
| Externa | $E = R \left(\sec \frac{\Delta}{2} - 1 \right)$ | 6.22 m |
| Flecha | $f = R \left(1 - \cos \frac{\Delta}{2} \right)$ | 5.53 m |
| Desarrollo de Curva | $D = \frac{\pi \cdot R \cdot \Delta}{180}$ | 47.49 m |
| Longitud de Curva | $L_c = 2 \cdot R \cdot \sin \frac{\Delta}{2}$ | 45.72 m |

Peralte (%):

$$25 \leq R \leq 350 \rightarrow e = 7\%$$

$$350 < R \leq 3500 \rightarrow e = 7\% - 6.08(1 - 350/R)^{1.3}$$

Peralte % **7**

$$3500 < R \rightarrow e = \text{bombeo}$$

Desarrollo de peralte:

| | | |
|---|-----------------------------------|---------|
| Números de carriles | Bombeo % | -2.5 |
| Ancho normal de un carril | $n =$ | 1 |
| Variación total de la pendiente transversal % | $a =$ | 2.5 m |
| Pendiente relativa % | $\Delta_p =$ | 9.5 |
| Desarrollo del peralte | $\Delta =$ | 1.1 |
| | $l = \frac{n a \Delta_p}{\Delta}$ | 21.59 m |
| Longitud de transición | $L_t =$ | 15.9 m |
| Longitud de transición en curva | $L_{tc} =$ | 4.8 m |
| Longitud de transición en recta | $L_{tr} =$ | 11.1 m |
| Longitud de aplanamiento | $L_a =$ | 5.7 m |

| | Punto geometrico | PK | Nomenclatura C3D | Lisquierdo | Lderecho |
|----|------------------|-----------|-----------------------|------------|----------|
| PC | 6+879.190 | 6+862.372 | End Normal Shoulder | -2.5% | -2.5% |
| PT | 6+926.680 | 6+862.372 | End Normal Crown | -2.5% | -2.5% |
| | | 6+868.054 | Level Crown | 0.0% | -2.5% |
| | | 6+873.735 | Low Shoulder Match | 2.5% | -2.5% |
| | | 6+873.735 | Reverse Crown | 2.5% | -2.5% |
| | | 6+883.963 | Begin Full Super | 7.0% | -7.0% |
| | | 6+921.907 | End Full Super | 7.0% | -7.0% |
| | | 6+932.135 | Low Shoulder Match | 2.5% | -2.5% |
| | | 6+932.135 | Reverse Crown | 2.5% | -2.5% |
| | | 6+937.816 | Level Crown | 0.0% | -2.5% |
| | | 6+943.498 | Begin Normal Crown | -2.5% | -2.5% |
| | | 6+943.498 | Begin Normal Shoulder | -2.5% | -2.5% |

Sobre ancho: Calzada en recta 6m, bidireccional, con huelgas $h_1 = 0.45m$ y $h_2 = 0.05m$

Distancia entre parachoques delantero y ultimo eje trasero L_0 **9.5 m**

$$\text{Sobreancho} \quad E = \frac{L_0^2}{R} + 0.15 = 1.81 \text{ m}$$

$$\text{Sobreancho interior} = 0.55E \quad 0.99 \text{ m}$$

$$\text{Sobreancho exterior} = 0.45E \quad 0.81 \text{ m}$$

$$LI = 3.49$$

$$LE = 3.31$$

| | | | |
|-------------------------------------|-------|-------------|-----|
| VELOCIDAD DE PROYECTO | 30 | Km/abertura | CV1 |
| LONGITUD DE CURVA VERTICAL | 30 | m | |
| DIFERENCIA ALGEBRAICA DE PENDIENTES | 9.57% | | |

Curvas verticales convexas:

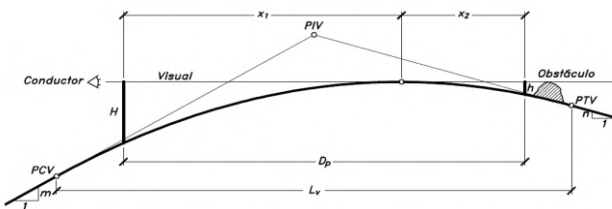
| | | |
|---|----------------------|----------------|
| Altura ojos del conductor, en m. | h1 = | 1.1 |
| Altura obstáculo fijo, en m | h2 = | 0.2 |
| Pendiente de entrada a la CV, en decimal. | m = | 2.70% 0.027 |
| Pendiente de salida a la CV, en decimal. | n = | -6.87% -0.0687 |
| Diferencia algebraica de pendientes | $\Theta = lm - nl =$ | 9.57% 0.0957 |

Distancia de frenado:

| | | |
|--|------|-------------|
| Velocidad de proyecto (VP o V*), en Km/abertura. | V = | 30 |
| Tiempo de percepción + Reacción, en se. | t = | 2 |
| Coeficiente de roce rodante, pavimento húmedo. | f1 = | 0.42 |
| Pendiente longitudinal, en m/m | i = | 2.70% 0.027 |

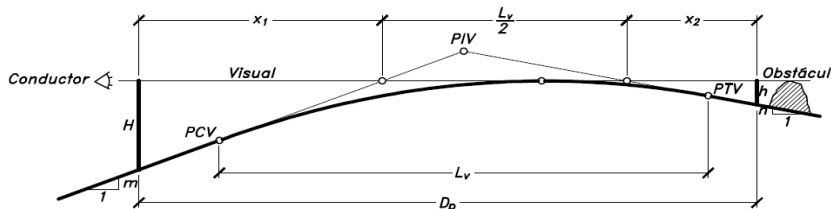
$$\text{Distancia de frenado, en m. } D_p = \frac{Vt}{3.6} + \frac{V^2}{254(f1 \pm i)} \quad D_p = 25$$

Caso 1: $D_p < L_{min} = L_v$



$$\text{Longitud mínima de curva vertical, en m. } L_{min} = \frac{\theta D_p^2}{2(\sqrt{h1} + \sqrt{h2})^2} \quad 13 \text{ FALSO}$$

Caso 2: $L_{min} = L_v < D_p$



$$\text{Longitud mínima de curva vertical, en m. } L_{min} = 2D_p - \frac{2(\sqrt{h1} + \sqrt{h2})^2}{\theta} \quad 2.41 \text{ OK}$$

Longitud mínima por comodidad y estética:

La longitud mínima debe ser igual o mayor a la velocidad de proyecto en km/hra.

$$L_{min} (\text{m}) \geq V_p (\text{Km/hr}) \quad L_{min} = 30 \text{ m}$$

Situaciones en que se puede aceptar valores de $L_{min} = L_v < V_p$:

$$\frac{2.24}{D_p} \leq \theta \leq \frac{4.48}{D_p} \quad \left\{ \begin{array}{l} \frac{2.24}{D_p} = 0.0911 \\ \frac{4.48}{D_p} = 0.1822 \end{array} \right. \quad \theta = 0.0957 \longrightarrow L_{min} = 2.41$$

$$\theta < \frac{2.24}{D_p} \quad \left[\longrightarrow \right. \quad L_{min} (\text{m}) \geq 0.6V_p (\text{Km/hr}) \quad L_{min} = \text{Falso}$$

$$\text{Longitud de curva vertical de diseño} \quad L_v = 30 \text{ m}$$

| | | | |
|-------------------------------------|-------|-------|-----|
| VELOCIDAD DE PROYECTO | 30 | Km/hr | CV2 |
| LONGITUD DE CURVA VERTICAL | 18 | m | |
| DIFERENCIA ALGEBRAICA DE PENDIENTES | 1.94% | | |

Curvas verticales convexas:

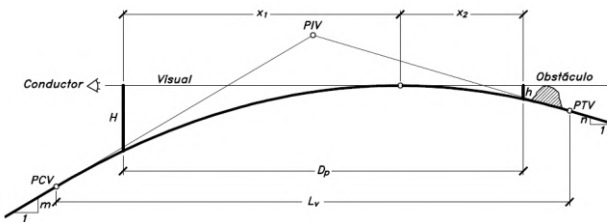
| | | |
|---|----------------------|----------------|
| Altura ojos del conductor, en m. | h1 = | 1.1 |
| Altura obstáculo fijo, en m | h2 = | 0.2 |
| Pendiente de entrada a la CV, en decimal. | m = | -6.87% -0.0687 |
| Pendiente de salida a la CV, en decimal. | n = | -8.81% -0.0881 |
| Diferencia algebraica de pendientes | $\Theta = lm - nl =$ | 1.94% 0.0194 |

Distancia de frenado:

| | | |
|--|------|----------------|
| Velocidad de proyecto (V_p o V^*), en Km/hr. | V = | 30 |
| Tiempo de percepción + Reacción, en seg. | t = | 2 |
| Coeficiente de roce rodante, pavimento húmedo. | f1 = | 0.42 |
| Pendiente longitudinal, en m/m | i = | -6.87% -0.0687 |

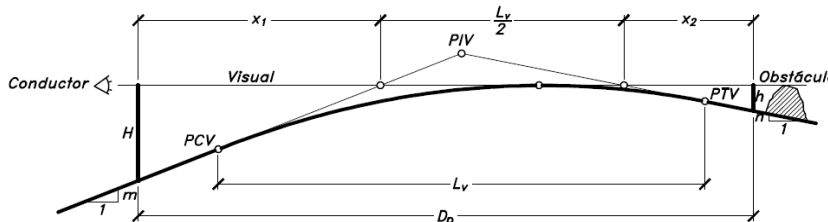
$$\text{Distancia de frenado, en m. } D_p = \frac{Vt}{3.6} + \frac{V^2}{254(f1 \pm i)} \quad D_p = 27$$

Caso 1: $D_p < L_{min} = L_v$



$$\text{Longitud mínima de curva vertical, en m. } L_{min} = \frac{\theta D_p^2}{2(\sqrt{h1} + \sqrt{h2})^2} \quad 3 \text{ FALSO}$$

Caso 2: $L_{min} = L_v < D_p$



$$\text{Longitud mínima de curva vertical, en m. } L_{min} = 2D_p - \frac{2(\sqrt{h1} + \sqrt{h2})^2}{\theta} \quad -177.22 \text{ OK}$$

Longitud mínima por comodidad y estética:

La longitud mínima debe ser igual o mayor a la velocidad de proyecto en km/hra.

$$L_{min} (\text{m}) \geq V_p (\text{Km/hr}) \quad L_{min} = 30 \text{ m}$$

Situaciones en que se puede aceptar valores de $L_{min} = L_v < V_p$:

$$\frac{2.24}{D_p} \leq \theta \leq \frac{4.48}{D_p} \quad \left\{ \begin{array}{l} \frac{2.24}{D_p} = 0.0837 \\ \frac{4.48}{D_p} = 0.1675 \end{array} \right. \quad \theta = 0.0194 \longrightarrow L_{min} = \text{Siguiente}$$

$$\theta < \frac{2.24}{D_p} \quad \left[\longrightarrow \right. \quad L_{min} (\text{m}) \geq 0.6V_p (\text{Km/hr}) \quad L_{min} = 18$$

$$\text{Longitud de curva vertical de diseño} \quad L_v = 18 \text{ m}$$

| | | | |
|-------------------------------------|-------|-------|-----|
| VELOCIDAD DE PROYECTO | 30 | Km/hr | CV3 |
| LONGITUD DE CURVA VERTICAL | 22 | m | |
| DIFERENCIA ALGEBRAICA DE PENDIENTES | 6.42% | | |

Curvas verticales cóncavas:

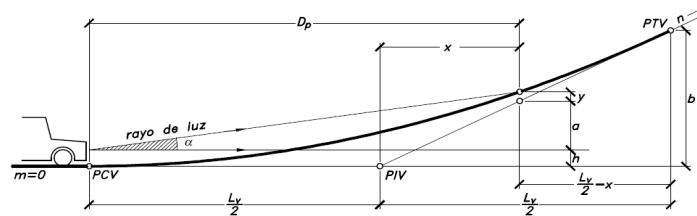
| | | |
|---|--------------------|----------------|
| Angulo de apertura del haz luminoso | $\alpha =$ | 1 ° |
| Altura focos del vehículo | $h =$ | 0.6 |
| Pendiente de entrada a la CV, en decimal. | $m =$ | -8.81% -0.0881 |
| Pendiente de salida a la CV, en decimal. | $n =$ | -2.39% -0.0239 |
| Diferencia algebraica de pendientes | $\Theta = m-n =$ | 6.42% 0.0642 |

Distancia de frenado:

| | | |
|--|---------|----------------|
| Velocidad de proyecto (V_p o V^*), en Km/hr. | $V =$ | 30 |
| Tiempo de percepción + Reacción, en seg. | $t =$ | 2 |
| Coeficiente de roce rodante, pavimento húmedo. | $f_1 =$ | 0.42 |
| Pendiente longitudinal, en m/m | $i =$ | -8.81% -0.0881 |

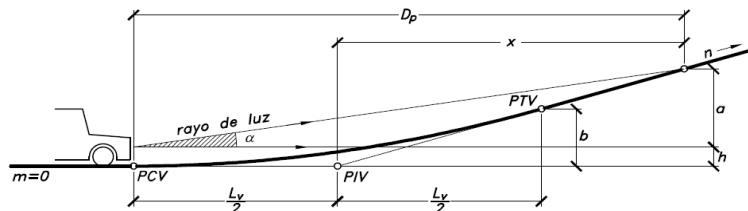
$$\text{Distancia de frenado, en m. } D_p = \frac{Vt}{3.6} + \frac{V^2}{254(f_1 \pm i)} \quad D_p = 27$$

Caso 1: $D_p < L_{min} = L_v$



$$\text{Longitud mínima de curva vertical, en m. } L_{min} = \frac{\theta D_p^2}{2(h + D_p \operatorname{sen}\alpha)} \quad 22 \text{ FALSO}$$

Caso 2: $L_{min} = L_v < D_p$



$$\text{Longitud mínima de curva vertical, en m. } L_{min} = 2D_p - \frac{2(h + D_p \operatorname{sen}\alpha)}{\theta} \quad 21.13 \text{ OK}$$

Longitud de curva vertical de diseño $L_v = 22 \text{ m}$

| | | | |
|-------------------------------------|-------|-------|-----|
| VELOCIDAD DE PROYECTO | 30 | Km/hr | CV4 |
| LONGITUD DE CURVA VERTICAL | 18 | m | |
| DIFERENCIA ALGEBRAICA DE PENDIENTES | 2.11% | | |

Curvas verticales convexas:

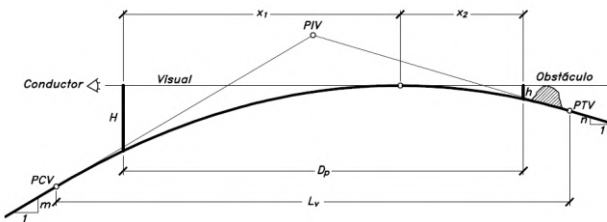
| | | |
|---|--------------------|----------------|
| Altura ojos del conductor, en m. | $h_1 =$ | 1.1 |
| Altura obstáculo fijo, en m | $h_2 =$ | 0.2 |
| Pendiente de entrada a la CV, en decimal. | $m =$ | -2.39% -0.0239 |
| Pendiente de salida a la CV, en decimal. | $n =$ | -4.50% -0.045 |
| Diferencia algebraica de pendientes | $\theta = m-n =$ | 2.11% 0.0211 |

Distancia de frenado:

| | | |
|--|---------|----------------|
| Velocidad de proyecto (V_p o V^*), en Km/hr. | $V =$ | 30 |
| Tiempo de percepción + Reacción, en seg. | $t =$ | 2 |
| Coeficiente de roce rodante, pavimento húmedo. | $f_1 =$ | 0.42 |
| Pendiente longitudinal, en m/m | $i =$ | -2.39% -0.0239 |

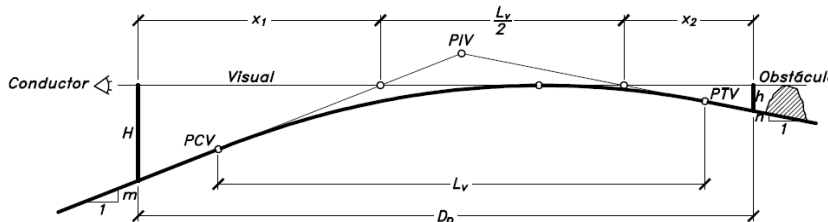
$$\text{Distancia de frenado, en m. } D_p = \frac{Vt}{3.6} + \frac{V^2}{254(f_1 \pm i)} \quad D_p = 26$$

Caso 1: $D_p < L_{min} = L_v$



$$\text{Longitud mínima de curva vertical, en m. } L_{min} = \frac{\theta D_p^2}{2(\sqrt{h_1} + \sqrt{h_2})^2} \quad 3 \text{ FALSO}$$

Caso 2: $L_{min} = L_v < D_p$



$$\text{Longitud mínima de curva vertical, en m. } L_{min} = 2D_p - \frac{2(\sqrt{h_1} + \sqrt{h_2})^2}{\theta} \quad -160.92 \text{ OK}$$

Longitud mínima por comodidad y estética:

La longitud mínima debe ser igual o mayor a la velocidad de proyecto en km/hra.

$$L_{min} (\text{m}) \geq V_p (\text{Km/hr}) \quad L_{min} = 30 \text{ m}$$

Situaciones en que se puede aceptar valores de $L_{min} = L_v < V_p$:

$$\frac{2.24}{D_p} \leq \theta \leq \frac{4.48}{D_p} \quad \left\{ \begin{array}{l} \frac{2.24}{D_p} = 0.0875 \\ \frac{4.48}{D_p} = 0.1749 \end{array} \right. \quad \theta = 0.0211 \longrightarrow L_{min} = \text{Siguiente}$$

$$\theta < \frac{2.24}{D_p} \quad \left[\longrightarrow \right. \quad L_{min} (\text{m}) \geq 0.6V_p (\text{Km/hr}) \quad L_{min} = 18$$

$$\text{Longitud de curva vertical de diseño} \quad L_v = 18 \text{ m}$$

| | | | |
|-------------------------------------|-------|-------|-----|
| VELOCIDAD DE PROYECTO | 30 | Km/hr | CV5 |
| LONGITUD DE CURVA VERTICAL | 18 | m | |
| DIFERENCIA ALGEBRAICA DE PENDIENTES | 5.61% | | |

Curvas verticales convexas:

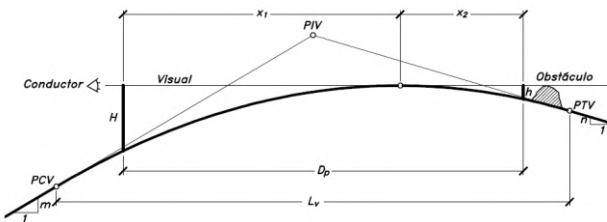
| | | |
|---|----------------------|--------------|
| Altura ojos del conductor, en m. | h1 = | 1.1 |
| Altura obstáculo fijo, en m | h2 = | 0.2 |
| Pendiente de entrada a la CV, en decimal. | m = | -4.50% |
| Pendiente de salida a la CV, en decimal. | n = | -10.11% |
| Diferencia algebraica de pendientes | $\Theta = lm - nl =$ | 5.61% 0.0561 |

Distancia de frenado:

| | | |
|--|------|---------------|
| Velocidad de proyecto (V_p o V^*), en Km/hr. | V = | 30 |
| Tiempo de percepción + Reacción, en seg. | t = | 2 |
| Coeficiente de roce rodante, pavimento húmedo. | f1 = | 0.42 |
| Pendiente longitudinal, en m/m | i = | -4.50% -0.045 |

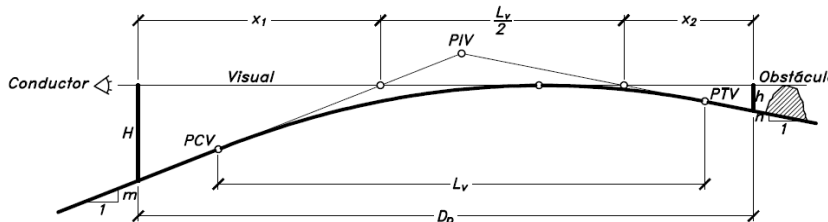
$$\text{Distancia de frenado, en m. } D_p = \frac{Vt}{3.6} + \frac{V^2}{254(f1 \pm i)} \quad D_p = 26$$

Caso 1: $D_p < L_{min} = L_v$



$$\text{Longitud mínima de curva vertical, en m. } L_{min} = \frac{\theta D_p^2}{2(\sqrt{h1} + \sqrt{h2})^2} \quad 9 \text{ FALSO}$$

Caso 2: $L_{min} = L_v < D_p$



$$\text{Longitud mínima de curva vertical, en m. } L_{min} = 2D_p - \frac{2(\sqrt{h1} + \sqrt{h2})^2}{\theta} \quad -27.56 \text{ OK}$$

Longitud mínima por comodidad y estética:

La longitud mínima debe ser igual o mayor a la velocidad de proyecto en km/hra.

$$L_{min} (\text{m}) \geq V_p (\text{Km/hr}) \quad L_{min} = 30 \text{ m}$$

Situaciones en que se puede aceptar valores de $L_{min} = L_v < V_p$:

$$\frac{2.24}{D_p} \leq \theta \leq \frac{4.48}{D_p} \quad \left\{ \begin{array}{l} \frac{2.24}{D_p} = 0.0858 \\ \frac{4.48}{D_p} = 0.1715 \end{array} \right. \quad \theta = 0.0561 \longrightarrow L_{min} = \text{Siguiente}$$

$$\theta < \frac{2.24}{D_p} \quad \left[\longrightarrow \right. \quad L_{min} (\text{m}) \geq 0.6V_p (\text{Km/hr}) \quad L_{min} = 18$$

$$\text{Longitud de curva vertical de diseño} \quad L_v = 18 \text{ m}$$

| | | | |
|-------------------------------------|-------|-------|-----|
| VELOCIDAD DE PROYECTO | 30 | Km/hr | CV6 |
| LONGITUD DE CURVA VERTICAL | 18 | m | |
| DIFERENCIA ALGEBRAICA DE PENDIENTES | 0.84% | | |

Curvas verticales cóncavas:

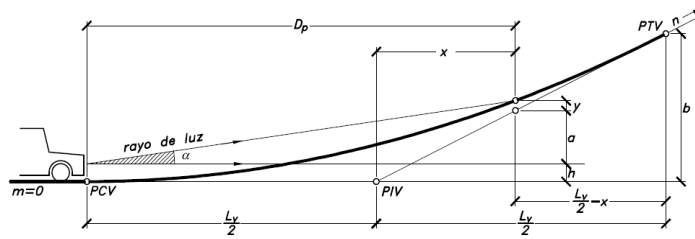
| | | |
|---|--------------------|-----------------|
| Angulo de apertura del haz luminoso | $\alpha =$ | 1 ° |
| Altura focos del vehículo | $h =$ | 0.6 |
| Pendiente de entrada a la CV, en decimal. | $m =$ | -10.11% -0.1011 |
| Pendiente de salida a la CV, en decimal. | $n =$ | -9.27% -0.0927 |
| Diferencia algebraica de pendientes | $\Theta = m-n =$ | 0.84% 0.0084 |

Distancia de frenado:

| | | |
|--|---------|-----------------|
| Velocidad de proyecto (V_p o V^*), en Km/hr. | $V =$ | 30 |
| Tiempo de percepción + Reacción, en seg. | $t =$ | 2 |
| Coeficiente de roce rodante, pavimento húmedo. | $f_1 =$ | 0.42 |
| Pendiente longitudinal, en m/m | $i =$ | -10.11% -0.1011 |

$$\text{Distancia de frenado, en m. } D_p = \frac{Vt}{3.6} + \frac{V^2}{254(f_1 \pm i)} \quad D_p = 28$$

Caso 1: $D_p < L_{min} = L_v$

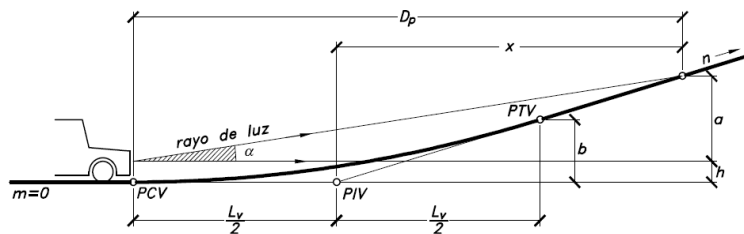


Longitud mínima de curva vertical, en m.

$$L_{min} = \frac{\theta D_p^2}{2(h + D_p \operatorname{sen} \alpha)}$$

3 FALSO

Caso 2: $L_{min} = L_v < D_p$



Longitud mínima de curva vertical, en m.

$$L_{min} = 2D_p - \frac{2(h + D_p \operatorname{sen} \alpha)}{\theta}$$

-202.73 OK

Longitud mínima por comodidad y estética:

La longitud mínima debe ser igual o mayor a la velocidad de proyecto en km/hra.

$$L_{min} (\text{m}) \geq V_p (\text{Km/hr}) \quad L_{min} = 30 \text{ m}$$

Situaciones en que se puede aceptar valores de $L_{min} = L_v < V_p$:

$$\frac{2.24}{D_p} \leq \theta \leq \frac{4.48}{D_p} \quad \left\{ \begin{array}{l} \frac{2.24}{D_p} = 0.0806 \\ \frac{4.48}{D_p} = 0.1613 \end{array} \right. \quad \theta = 0.0084 \longrightarrow L_{min} = \text{Siguiente}$$

$$\theta < \frac{2.24}{D_p} \quad \left[\longrightarrow \right. \quad L_{min} (\text{m}) \geq 0.6V_p (\text{Km/hr}) \quad L_{min} = 18$$

$$\text{Longitud de curva vertical de diseño} \quad L_v = 18 \text{ m}$$

| | | | |
|-------------------------------------|--------|-------|-----|
| VELOCIDAD DE PROYECTO | 30 | Km/hr | CV7 |
| LONGITUD DE CURVA VERTICAL | 36 | m | |
| DIFERENCIA ALGEBRAICA DE PENDIENTES | 10.08% | | |

Curvas verticales cóncavas:

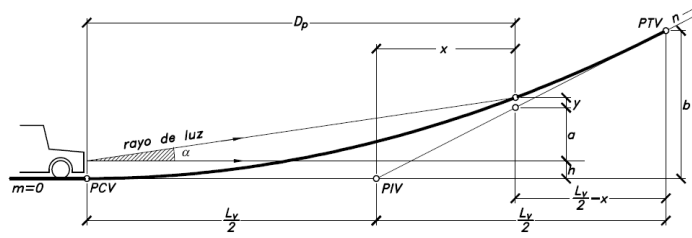
| | | |
|---|--------------------|----------------|
| Angulo de apertura del haz luminoso | $\alpha =$ | 1 ° |
| Altura focos del vehículo | $h =$ | 0.6 |
| Pendiente de entrada a la CV, en decimal. | $m =$ | -9.27% -0.0927 |
| Pendiente de salida a la CV, en decimal. | $n =$ | 0.81% 0.0081 |
| Diferencia algebraica de pendientes | $\Theta = m-n =$ | 10.08% 0.1008 |

Distancia de frenado:

| | | |
|--|---------|----------------|
| Velocidad de proyecto (V_p o V^*), en Km/hr. | $V =$ | 30 |
| Tiempo de percepción + Reacción, en seg. | $t =$ | 2 |
| Coeficiente de roce rodante, pavimento húmedo. | $f_1 =$ | 0.42 |
| Pendiente longitudinal, en m/m | $i =$ | -9.27% -0.0927 |

$$\text{Distancia de frenado, en m. } D_p = \frac{Vt}{3.6} + \frac{V^2}{254(f_1 \pm i)} \quad D_p = 27$$

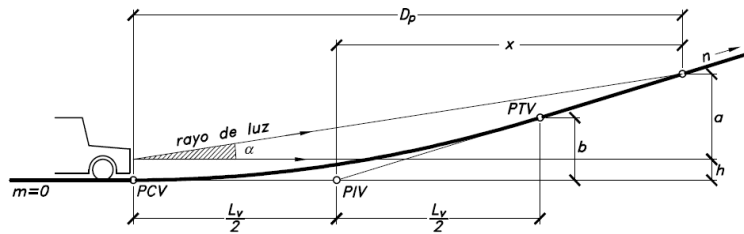
Caso 1: $D_p < L_{min} = L_v$



Longitud mínima de curva vertical, en m.

$$L_{min} = \frac{\theta D_p^2}{2(h + D_p \operatorname{sen} \alpha)} \quad 35 \text{ OK}$$

Caso 2: $L_{min} = L_v < D_p$



Longitud mínima de curva vertical, en m.

$$L_{min} = 2D_p - \frac{2(h + D_p \operatorname{sen} \alpha)}{\theta} \quad 33.56 \text{ FALSO}$$

Longitud mínima por comodidad y estética:

La longitud mínima debe ser igual o mayor a la velocidad de proyecto en km/hra.

$$L_{min} (\text{m}) \geq V_p (\text{Km/hr}) \quad L_{min} = 30 \text{ m}$$

Situaciones en que se puede aceptar valores de $L_{min} = L_v < V_p$:

$$\frac{2.24}{D_p} \leq \theta \leq \frac{4.48}{D_p} \quad \left\{ \begin{array}{l} \frac{2.24}{D_p} = 0.0815 \\ \frac{4.48}{D_p} = 0.1630 \end{array} \right. \quad \theta = 0.1008 \longrightarrow L_{min} = 33.56$$

$$\theta < \frac{2.24}{D_p} \quad \left[\longrightarrow \right] \quad L_{min} (\text{m}) \geq 0.6V_p (\text{Km/hr}) \quad L_{min} = \text{Falso}$$

$$\text{Longitud de curva vertical de diseño} \quad L_v = 36 \text{ m}$$

| | | | |
|-------------------------------------|-------|-------|-----|
| VELOCIDAD DE PROYECTO | 30 | Km/hr | CV8 |
| LONGITUD DE CURVA VERTICAL | 18 | m | |
| DIFERENCIA ALGEBRAICA DE PENDIENTES | 2.10% | | |

Curvas verticales convexas:

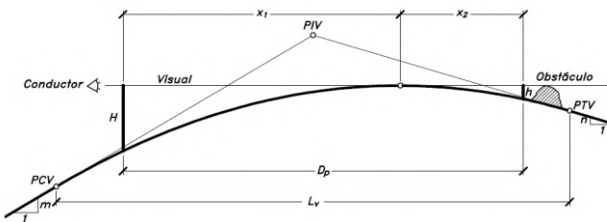
| | | |
|---|----------------------|----------------|
| Altura ojos del conductor, en m. | $h_1 =$ | 1.1 |
| Altura obstáculo fijo, en m | $h_2 =$ | 0.2 |
| Pendiente de entrada a la CV, en decimal. | $m =$ | 0.81% 0.0081 |
| Pendiente de salida a la CV, en decimal. | $n =$ | -1.29% -0.0129 |
| Diferencia algebraica de pendientes | $\Theta = lm - nl =$ | 2.10% 0.021 |

Distancia de frenado:

| | | |
|--|---------|--------------|
| Velocidad de proyecto (V_p o V^*), en Km/hr. | $V =$ | 30 |
| Tiempo de percepción + Reacción, en seg. | $t =$ | 2 |
| Coeficiente de roce rodante, pavimento húmedo. | $f_1 =$ | 0.42 |
| Pendiente longitudinal, en m/m | $i =$ | 0.81% 0.0081 |

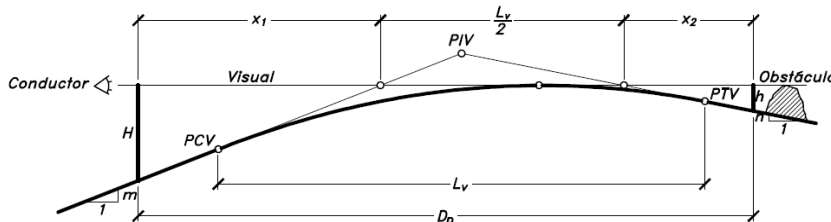
$$\text{Distancia de frenado, en m. } D_p = \frac{Vt}{3.6} + \frac{V^2}{254(f_1 \pm i)} \quad D_p = 25$$

Caso 1: $D_p < L_{min} = L_v$



$$\text{Longitud mínima de curva vertical, en m. } L_{min} = \frac{\theta D_p^2}{2(\sqrt{h_1} + \sqrt{h_2})^2} \quad 3 \text{ FALSO}$$

Caso 2: $L_{min} = L_v < D_p$



$$\text{Longitud mínima de curva vertical, en m. } L_{min} = 2D_p - \frac{2(\sqrt{h_1} + \sqrt{h_2})^2}{\theta} \quad -163.26 \text{ OK}$$

Longitud mínima por comodidad y estética:

La longitud mínima debe ser igual o mayor a la velocidad de proyecto en km/hra.

$$L_{min} (\text{m}) \geq V_p (\text{Km/hr}) \quad L_{min} = 30 \text{ m}$$

Situaciones en que se puede aceptar valores de $L_{min} = L_v < V_p$:

$$\frac{2.24}{D_p} \leq \theta \leq \frac{4.48}{D_p} \quad \left\{ \begin{array}{l} \frac{2.24}{D_p} = 0.0898 \\ \frac{4.48}{D_p} = 0.1796 \end{array} \right. \quad \theta = 0.021 \longrightarrow L_{min} = \text{Siguiente}$$

$$\theta < \frac{2.24}{D_p} \quad \left[\longrightarrow \right. \quad L_{min} (\text{m}) \geq 0.6V_p (\text{Km/hr}) \quad L_{min} = 18$$

$$\text{Longitud de curva vertical de diseño} \quad L_v = 18 \text{ m}$$

| | | | |
|-------------------------------------|-------|-------|-----|
| VELOCIDAD DE PROYECTO | 30 | Km/hr | CV9 |
| LONGITUD DE CURVA VERTICAL | 18 | m | |
| DIFERENCIA ALGEBRAICA DE PENDIENTES | 4.00% | | |

Curvas verticales cóncavas:

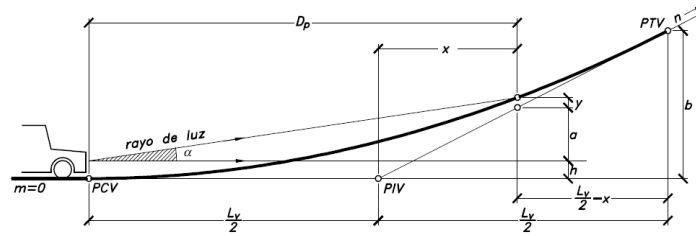
| | | |
|---|--------------------|----------------|
| Angulo de apertura del haz luminoso | $\alpha =$ | 1 ° |
| Altura focos del vehículo | $h =$ | 0.6 |
| Pendiente de entrada a la CV, en decimal. | $m =$ | -1.29% -0.0129 |
| Pendiente de salida a la CV, en decimal. | $n =$ | 2.71% 0.0271 |
| Diferencia algebraica de pendientes | $\theta = m-n =$ | 4.00% 0.04 |

Distancia de frenado:

| | | |
|--|---------|----------------|
| Velocidad de proyecto (V_p o V^*), en Km/hr. | $V =$ | 30 |
| Tiempo de percepción + Reacción, en seg. | $t =$ | 2 |
| Coeficiente de roce rodante, pavimento húmedo. | $f_1 =$ | 0.42 |
| Pendiente longitudinal, en m/m | $i =$ | -1.29% -0.0129 |

$$\text{Distancia de frenado, en m. } D_p = \frac{Vt}{3.6} + \frac{V^2}{254(f_1 \pm i)} \quad D_p = 25$$

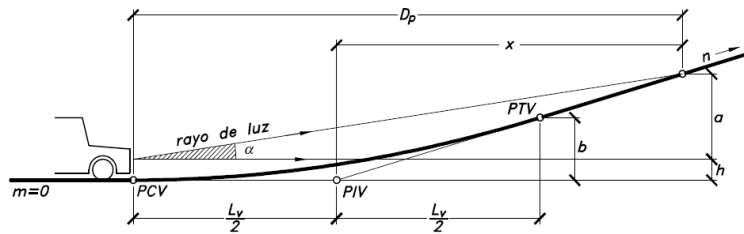
Caso 1: $D_p < L_{min} = L_v$



Longitud mínima de curva vertical, en m.

$$L_{min} = \frac{\theta D_p^2}{2(h + D_p \operatorname{sen} \alpha)} \quad 12 \text{ FALSO}$$

Caso 2: $L_{min} = L_v < D_p$



Longitud mínima de curva vertical, en m.

$$L_{min} = 2D_p - \frac{2(h + D_p \operatorname{sen} \alpha)}{\theta} \quad -1.40 \text{ OK}$$

Longitud mínima por comodidad y estética:

La longitud mínima debe ser igual o mayor a la velocidad de proyecto en km/hra.

$$L_{min} (\text{m}) \geq V_p (\text{Km/hr}) \quad L_{min} = 30 \text{ m}$$

Situaciones en que se puede aceptar valores de $L_{min} = L_v < V_p$:

$$\frac{2.24}{D_p} \leq \theta \leq \frac{4.48}{D_p} \quad \left\{ \begin{array}{l} \frac{2.24}{D_p} = 0.0883 \\ \frac{4.48}{D_p} = 0.1766 \end{array} \right. \quad \theta = 0.04 \longrightarrow L_{min} = \text{Siguiente}$$

$$\theta < \frac{2.24}{D_p} \quad \left[\longrightarrow \right] \quad L_{min} (\text{m}) \geq 0.6V_p (\text{Km/hr}) \quad L_{min} = 18$$

$$\text{Longitud de curva vertical de diseño} \quad L_v = 18 \text{ m}$$

| | | | |
|-------------------------------------|-------|-------|------|
| VELOCIDAD DE PROYECTO | 30 | Km/hr | CV10 |
| LONGITUD DE CURVA VERTICAL | 18 | m | |
| DIFERENCIA ALGEBRAICA DE PENDIENTES | 3.61% | | |

Curvas verticales convexas:

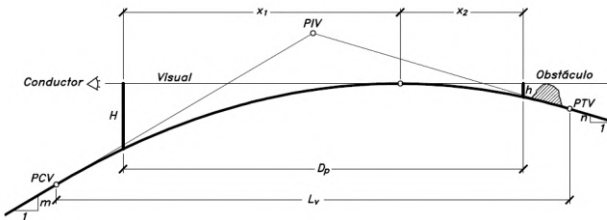
| | | |
|---|--------------------|---------------|
| Altura ojos del conductor, en m. | h1 = | 1.1 |
| Altura obstáculo fijo, en m | h2 = | 0.2 |
| Pendiente de entrada a la CV, en decimal. | m = | 2.71% 0.0271 |
| Pendiente de salida a la CV, en decimal. | n = | -0.90% -0.009 |
| Diferencia algebraica de pendientes | $\theta = m-n =$ | 3.61% 0.0361 |

Distancia de frenado:

| | | |
|--|------|--------------|
| Velocidad de proyecto (V_p o V^*), en Km/hr. | V = | 30 |
| Tiempo de percepción + Reacción, en seg. | t = | 2 |
| Coeficiente de roce rodante, pavimento húmedo. | f1 = | 0.42 |
| Pendiente longitudinal, en m/m | i = | 2.71% 0.0271 |

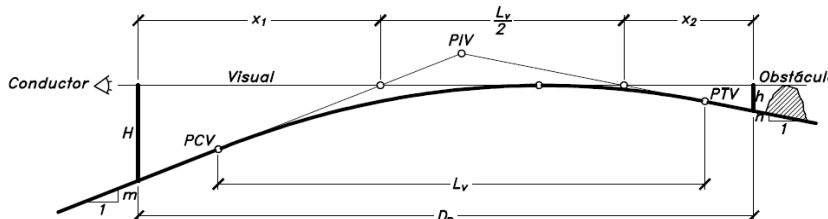
$$\text{Distancia de frenado, en m. } D_p = \frac{Vt}{3.6} + \frac{V^2}{254(f1 \pm i)} \quad D_p = 25$$

Caso 1: $D_p < L_{min} = L_v$



$$\text{Longitud mínima de curva vertical, en m. } L_{min} = \frac{\theta D_p^2}{2(\sqrt{h1} + \sqrt{h2})^2} \quad 5 \text{ FALSO}$$

Caso 2: $L_{min} = L_v < D_p$



$$\text{Longitud mínima de curva vertical, en m. } L_{min} = 2D_p - \frac{2(\sqrt{h1} + \sqrt{h2})^2}{\theta} \quad -74.81 \text{ OK}$$

Longitud mínima por comodidad y estética:

La longitud mínima debe ser igual o mayor a la velocidad de proyecto en km/hra.

$$L_{min} (\text{m}) \geq V_p (\text{Km/hr}) \quad L_{min} = 30 \text{ m}$$

Situaciones en que se puede aceptar valores de $L_{min} = L_v < V_p$:

$$\frac{2.24}{D_p} \leq \theta \leq \frac{4.48}{D_p} \quad \left\{ \begin{array}{l} \frac{2.24}{D_p} = 0.0911 \\ \frac{4.48}{D_p} = 0.1822 \end{array} \right. \quad \theta = 0.0361 \longrightarrow L_{min} = \text{Siguiente}$$

$$\theta < \frac{2.24}{D_p} \quad \left[\longrightarrow \right. \quad L_{min} (\text{m}) \geq 0.6V_p (\text{Km/hr}) \quad L_{min} = 18$$

$$\text{Longitud de curva vertical de diseño} \quad L_v = 18 \text{ m}$$

| | | | |
|-------------------------------------|-------|-------|------|
| VELOCIDAD DE PROYECTO | 30 | Km/hr | CV11 |
| LONGITUD DE CURVA VERTICAL | 21 | m | |
| DIFERENCIA ALGEBRAICA DE PENDIENTES | 5.54% | | |

Curvas verticales cóncavas:

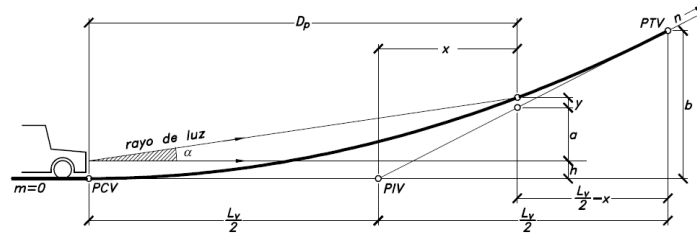
| | | |
|---|--------------------|---------------|
| Angulo de apertura del haz luminoso | $\alpha =$ | 1 ° |
| Altura focos del vehículo | $h =$ | 0.6 |
| Pendiente de entrada a la CV, en decimal. | $m =$ | -0.90% -0.009 |
| Pendiente de salida a la CV, en decimal. | $n =$ | 4.64% 0.0464 |
| Diferencia algebraica de pendientes | $\theta = m-n =$ | 5.54% 0.0554 |

Distancia de frenado:

| | | |
|--|---------|---------------|
| Velocidad de proyecto (V_p o V^*), en Km/hr. | $V =$ | 30 |
| Tiempo de percepción + Reacción, en seg. | $t =$ | 2 |
| Coeficiente de roce rodante, pavimento húmedo. | $f_1 =$ | 0.42 |
| Pendiente longitudinal, en m/m | $i =$ | -0.90% -0.009 |

$$\text{Distancia de frenado, en m. } D_p = \frac{Vt}{3.6} + \frac{V^2}{254(f_1 \pm i)} \quad D_p = 25$$

Caso 1: $D_p < L_{min} = L_v$

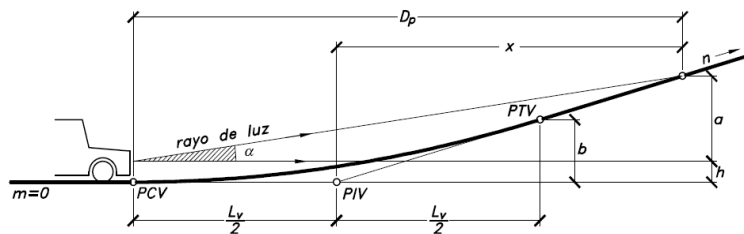


Longitud mínima de curva vertical, en m.

$$L_{min} = \frac{\theta D_p^2}{2(h + D_p \operatorname{sen} \alpha)}$$

17 FALSO

Caso 2: $L_{min} = L_v < D_p$



Longitud mínima de curva vertical, en m.

$$L_{min} = 2D_p - \frac{2(h + D_p \operatorname{sen} \alpha)}{\theta}$$

12.98 OK

Longitud mínima por comodidad y estética:

La longitud mínima debe ser igual o mayor a la velocidad de proyecto en km/hra.

$$L_{min} (\text{m}) \geq V_p (\text{Km/hr}) \quad L_{min} = 30 \text{ m}$$

Situaciones en que se puede aceptar valores de $L_{min} = L_v < V_p$:

$$\frac{2.24}{D_p} \leq \theta \leq \frac{4.48}{D_p} \quad \left\{ \begin{array}{l} \frac{2.24}{D_p} = 0.0886 \\ \frac{4.48}{D_p} = 0.1772 \end{array} \right. \quad \theta = 0.0554 \longrightarrow L_{min} = \text{Siguiente}$$

$$\theta < \frac{2.24}{D_p} \quad \left[\longrightarrow \right] \quad L_{min} (\text{m}) \geq 0.6V_p (\text{Km/hr}) \quad L_{min} = 18$$

$$\text{Longitud de curva vertical de diseño} \quad L_v = 21 \text{ m}$$

| | | | |
|-------------------------------------|-------|-------|------|
| VELOCIDAD DE PROYECTO | 30 | Km/hr | CV12 |
| LONGITUD DE CURVA VERTICAL | 18 | m | |
| DIFERENCIA ALGEBRAICA DE PENDIENTES | 8.19% | | |

Curvas verticales convexas:

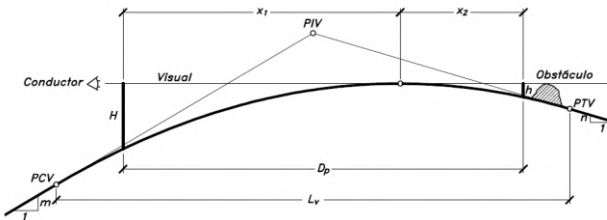
| | | |
|---|----------------------|----------------|
| Altura ojos del conductor, en m. | h1 = | 1.1 |
| Altura obstáculo fijo, en m | h2 = | 0.2 |
| Pendiente de entrada a la CV, en decimal. | m = | 4.64% 0.0464 |
| Pendiente de salida a la CV, en decimal. | n = | -3.55% -0.0355 |
| Diferencia algebraica de pendientes | $\Theta = lm - nl =$ | 8.19% 0.0819 |

Distancia de frenado:

| | | |
|--|------|--------------|
| Velocidad de proyecto (V_p o V^*), en Km/hr. | V = | 30 |
| Tiempo de percepción + Reacción, en seg. | t = | 2 |
| Coeficiente de roce rodante, pavimento húmedo. | f1 = | 0.42 |
| Pendiente longitudinal, en m/m | i = | 4.64% 0.0464 |

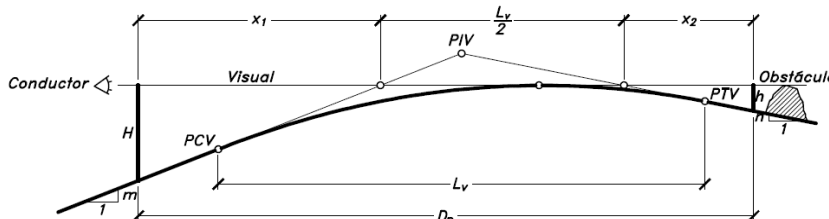
$$\text{Distancia de frenado, en m. } D_p = \frac{Vt}{3.6} + \frac{V^2}{254(f1 \pm i)} \quad D_p = 24$$

Caso 1: $D_p < L_{min} = L_v$



$$\text{Longitud mínima de curva vertical, en m. } L_{min} = \frac{\theta D_p^2}{2(\sqrt{h1} + \sqrt{h2})^2} \quad 11 \text{ FALSO}$$

Caso 2: $L_{min} = L_v < D_p$



$$\text{Longitud mínima de curva vertical, en m. } L_{min} = 2D_p - \frac{2(\sqrt{h1} + \sqrt{h2})^2}{\theta} \quad -6.13 \text{ OK}$$

Longitud mínima por comodidad y estética:

La longitud mínima debe ser igual o mayor a la velocidad de proyecto en km/hra.

$$L_{min} (\text{m}) \geq V_p (\text{Km/hr}) \quad L_{min} = 30 \text{ m}$$

Situaciones en que se puede aceptar valores de $L_{min} = L_v < V_p$:

$$\frac{2.24}{D_p} \leq \theta \leq \frac{4.48}{D_p} \quad \left\{ \begin{array}{l} \frac{2.24}{D_p} = 0.0923 \\ \frac{4.48}{D_p} = 0.1846 \end{array} \right. \quad \theta = 0.0819 \longrightarrow L_{min} = \text{Siguiente}$$

$$\theta < \frac{2.24}{D_p} \quad \left[\longrightarrow \right. \quad L_{min} (\text{m}) \geq 0.6V_p (\text{Km/hr}) \quad L_{min} = 18$$

$$\text{Longitud de curva vertical de diseño} \quad L_v = 18 \text{ m}$$

| | | | |
|-------------------------------------|-------|-------|------|
| VELOCIDAD DE PROYECTO | 30 | Km/hr | CV13 |
| LONGITUD DE CURVA VERTICAL | 18 | m | |
| DIFERENCIA ALGEBRAICA DE PENDIENTES | 8.34% | | |

Curvas verticales convexas:

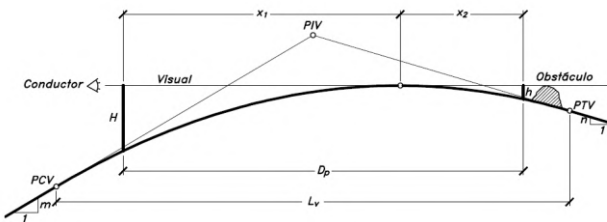
| | | |
|---|----------------------|--------------|
| Altura ojos del conductor, en m. | h1 = | 1.1 |
| Altura obstáculo fijo, en m | h2 = | 0.2 |
| Pendiente de entrada a la CV, en decimal. | m = | -3.55% |
| Pendiente de salida a la CV, en decimal. | n = | -11.89% |
| Diferencia algebraica de pendientes | $\Theta = lm - nl =$ | 8.34% 0.0834 |

Distancia de frenado:

| | | |
|--|------|----------------|
| Velocidad de proyecto (Vp o V*), en Km/hr. | V = | 30 |
| Tiempo de percepción + Reacción, en seg. | t = | 2 |
| Coeficiente de roce rodante, pavimento húmedo. | f1 = | 0.42 |
| Pendiente longitudinal, en m/m | i = | -3.55% -0.0355 |

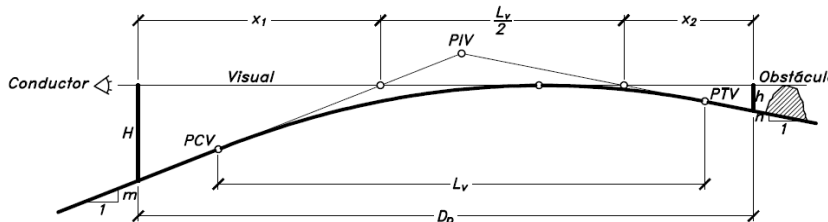
$$\text{Distancia de frenado, en m. } D_p = \frac{Vt}{3.6} + \frac{V^2}{254(f1 \pm i)} \quad D_p = 26$$

Caso 1: $D_p < L_{min} = L_v$



$$\text{Longitud mínima de curva vertical, en m. } L_{min} = \frac{\theta D_p^2}{2(\sqrt{h1} + \sqrt{h2})^2} \quad 12 \text{ FALSO}$$

Caso 2: $L_{min} = L_v < D_p$



$$\text{Longitud mínima de curva vertical, en m. } L_{min} = 2D_p - \frac{2(\sqrt{h1} + \sqrt{h2})^2}{\theta} \quad -1.91 \text{ OK}$$

Longitud mínima por comodidad y estética:

La longitud mínima debe ser igual o mayor a la velocidad de proyecto en km/hra.

$$L_{min} (\text{m}) \geq V_p (\text{Km/hr}) \quad L_{min} = 30 \text{ m}$$

Situaciones en que se puede aceptar valores de $L_{min} = L_v < V_p$:

$$\frac{2.24}{D_p} \leq \theta \leq \frac{4.48}{D_p} \quad \left\{ \begin{array}{l} \frac{2.24}{D_p} = 0.0865 \\ \frac{4.48}{D_p} = 0.1731 \end{array} \right. \quad \theta = 0.0834 \longrightarrow L_{min} = \text{Siguiente}$$

$$\theta < \frac{2.24}{D_p} \quad \left[\longrightarrow \right. \quad L_{min} (\text{m}) \geq 0.6V_p (\text{Km/hr}) \quad L_{min} = 18$$

$$\text{Longitud de curva vertical de diseño} \quad L_v = 18 \text{ m}$$

| | | | |
|-------------------------------------|--------|-------|------|
| VELOCIDAD DE PROYECTO | 30 | Km/hr | CV14 |
| LONGITUD DE CURVA VERTICAL | 44 | m | |
| DIFERENCIA ALGEBRAICA DE PENDIENTES | 11.91% | | |

Curvas verticales cóncavas:

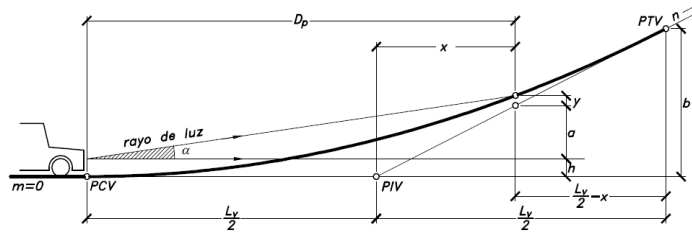
| | | |
|---|--------------------|---------------|
| Angulo de apertura del haz luminoso | $\alpha =$ | 1 ° |
| Altura focos del vehículo | $h =$ | 0.6 |
| Pendiente de entrada a la CV, en decimal. | $m =$ | -11.89% |
| Pendiente de salida a la CV, en decimal. | $n =$ | 0.02% |
| Diferencia algebraica de pendientes | $\Theta = m-n =$ | 11.91% 0.1191 |

Distancia de frenado:

| | | |
|--|---------|-----------------|
| Velocidad de proyecto (V_p o V^*), en Km/hr. | $V =$ | 30 |
| Tiempo de percepción + Reacción, en seg. | $t =$ | 2 |
| Coeficiente de roce rodante, pavimento húmedo. | $f_1 =$ | 0.42 |
| Pendiente longitudinal, en m/m | $i =$ | -11.89% -0.1189 |

$$\text{Distancia de frenado, en m. } D_p = \frac{Vt}{3.6} + \frac{V^2}{254(f_1 \pm i)} \quad D_p = 28$$

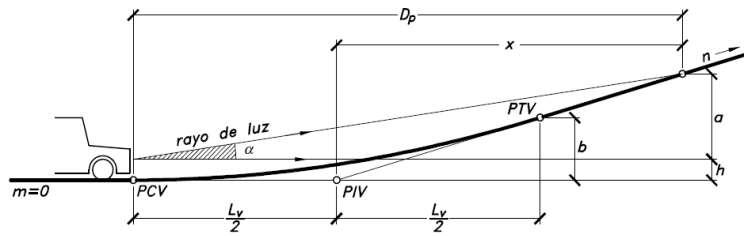
Caso 1: $D_p < L_{min} = L_v$



Longitud mínima de curva vertical, en m.

$$L_{min} = \frac{\theta D_p^2}{2(h + D_p \operatorname{sen} \alpha)} \quad 44 \text{ OK}$$

Caso 2: $L_{min} = L_v < D_p$



Longitud mínima de curva vertical, en m.

$$L_{min} = 2D_p - \frac{2(h + D_p \operatorname{sen} \alpha)}{\theta} \quad 38.46 \text{ FALSO}$$

Longitud mínima por comodidad y estética:

La longitud mínima debe ser igual o mayor a la velocidad de proyecto en km/hra.

$$L_{min} (\text{m}) \geq V_p (\text{Km/hr}) \quad L_{min} = 30 \text{ m}$$

Situaciones en que se puede aceptar valores de $L_{min} = L_v < V_p$:

$$\frac{2.24}{D_p} \leq \theta \leq \frac{4.48}{D_p} \quad \left\{ \begin{array}{l} \frac{2.24}{D_p} = 0.0788 \\ \frac{4.48}{D_p} = 0.1576 \end{array} \right. \quad \theta = 0.1191 \longrightarrow L_{min} = 38.46$$

$$\theta < \frac{2.24}{D_p} \quad \left[\longrightarrow \right. \quad L_{min} (\text{m}) \geq 0.6V_p (\text{Km/hr}) \quad L_{min} = \text{Falso}$$

$$\text{Longitud de curva vertical de diseño} \quad L_v = 44 \text{ m}$$

| | | | |
|-------------------------------------|-------|-------|------|
| VELOCIDAD DE PROYECTO | 30 | Km/hr | CV15 |
| LONGITUD DE CURVA VERTICAL | 18 | m | |
| DIFERENCIA ALGEBRAICA DE PENDIENTES | 4.58% | | |

Curvas verticales cóncavas:

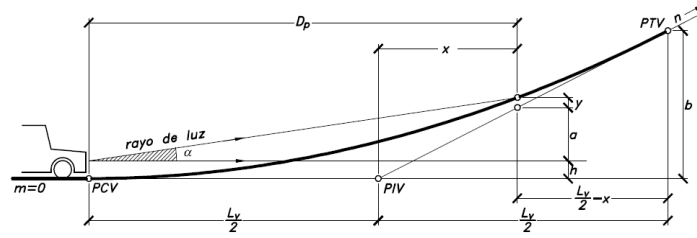
| | | |
|---|--------------------|--------------|
| Angulo de apertura del haz luminoso | $\alpha =$ | 1 ° |
| Altura focos del vehículo | $h =$ | 0.6 |
| Pendiente de entrada a la CV, en decimal. | $m =$ | 0.02% 0.0002 |
| Pendiente de salida a la CV, en decimal. | $n =$ | 4.60% 0.046 |
| Diferencia algebraica de pendientes | $\theta = m-n =$ | 4.58% 0.0458 |

Distancia de frenado:

| | | |
|--|---------|--------------|
| Velocidad de proyecto (V_p o V^*), en Km/hr. | $V =$ | 30 |
| Tiempo de percepción + Reacción, en seg. | $t =$ | 2 |
| Coeficiente de roce rodante, pavimento húmedo. | $f_1 =$ | 0.42 |
| Pendiente longitudinal, en m/m | $i =$ | 0.02% 0.0002 |

$$\text{Distancia de frenado, en m. } D_p = \frac{Vt}{3.6} + \frac{V^2}{254(f_1 \pm i)}$$

Caso 1: $D_p < L_{min} = L_v$

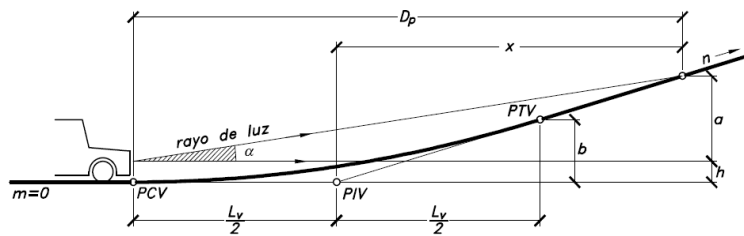


Longitud mínima de curva vertical, en m.

$$L_{min} = \frac{\theta D_p^2}{2(h + D_p \operatorname{sen} \alpha)}$$

14 FALSO

Caso 2: $L_{min} = L_v < D_p$



Longitud mínima de curva vertical, en m.

$$L_{min} = 2D_p - \frac{2(h + D_p \operatorname{sen} \alpha)}{\theta}$$

4.87 OK

Longitud mínima por comodidad y estética:

La longitud mínima debe ser igual o mayor a la velocidad de proyecto en km/hra.

$$L_{min} (\text{m}) \geq V_p (\text{Km/hr}) \quad L_{min} = \quad 30 \text{ m}$$

Situaciones en que se puede aceptar valores de $L_{min} = L_v < V_p$:

$$\frac{2.24}{D_p} \leq \theta \leq \frac{4.48}{D_p} \quad \left\{ \begin{array}{l} \frac{2.24}{D_p} = 0.0892 \\ \frac{4.48}{D_p} = 0.1785 \end{array} \right. \quad \theta = 0.0458 \longrightarrow L_{min} = \text{Siguiente}$$

$$\theta < \frac{2.24}{D_p} \quad \left[\longrightarrow \right. \quad L_{min} (\text{m}) \geq 0.6V_p (\text{Km/hr}) \quad L_{min} = \quad 18$$

$$\text{Longitud de curva vertical de diseño} \quad L_v = \quad 18 \text{ m}$$

| | | | |
|-------------------------------------|-------|-------|------|
| VELOCIDAD DE PROYECTO | 30 | Km/hr | CV16 |
| LONGITUD DE CURVA VERTICAL | 18 | m | |
| DIFERENCIA ALGEBRAICA DE PENDIENTES | 4.90% | | |

Curvas verticales cóncavas:

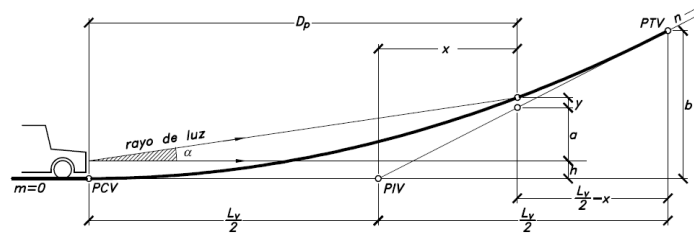
| | | |
|---|--------------------|-------------|
| Angulo de apertura del haz luminoso | $\alpha =$ | 1 ° |
| Altura focos del vehículo | $h =$ | 0.6 |
| Pendiente de entrada a la CV, en decimal. | $m =$ | 4.60% 0.046 |
| Pendiente de salida a la CV, en decimal. | $n =$ | 9.50% 0.095 |
| Diferencia algebraica de pendientes | $\theta = m-n =$ | 4.90% 0.049 |

Distancia de frenado:

| | | |
|--|---------|-------------|
| Velocidad de proyecto (V_p o V^*), en Km/hr. | $V =$ | 30 |
| Tiempo de percepción + Reacción, en seg. | $t =$ | 2 |
| Coeficiente de roce rodante, pavimento húmedo. | $f_1 =$ | 0.42 |
| Pendiente longitudinal, en m/m | $i =$ | 4.60% 0.046 |

$$\text{Distancia de frenado, en m. } D_p = \frac{Vt}{3.6} + \frac{V^2}{254(f_1 \pm i)} \quad D_p = 24$$

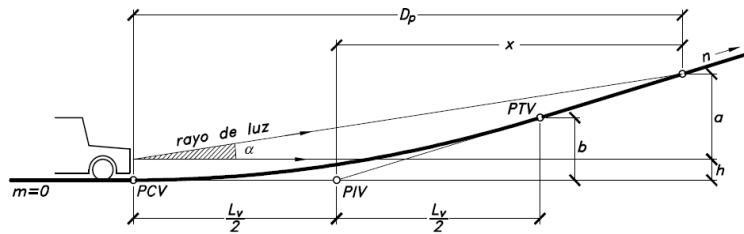
Caso 1: $D_p < L_{min} = L_v$



Longitud mínima de curva vertical, en m.

$$L_{min} = \frac{\theta D_p^2}{2(h + D_p \operatorname{sen} \alpha)} \quad 14 \text{ FALSO}$$

Caso 2: $L_{min} = L_v < D_p$



Longitud mínima de curva vertical, en m.

$$L_{min} = 2D_p - \frac{2(h + D_p \operatorname{sen} \alpha)}{\theta} \quad 6.76 \text{ OK}$$

Longitud mínima por comodidad y estética:

La longitud mínima debe ser igual o mayor a la velocidad de proyecto en km/hra.

$$L_{min} (\text{m}) \geq V_p (\text{Km/hr}) \quad L_{min} = 30 \text{ m}$$

Situaciones en que se puede aceptar valores de $L_{min} = L_v < V_p$:

$$\frac{2.24}{D_p} \leq \theta \leq \frac{4.48}{D_p} \quad \left\{ \begin{array}{l} \frac{2.24}{D_p} = 0.0923 \\ \frac{4.48}{D_p} = 0.1846 \end{array} \right. \quad \theta = 0.049 \longrightarrow L_{min} = \text{Siguiente}$$

$$\theta < \frac{2.24}{D_p} \quad \left[\longrightarrow \right] \quad L_{min} (\text{m}) \geq 0.6V_p (\text{Km/hr}) \quad L_{min} = 18$$

$$\text{Longitud de curva vertical de diseño} \quad L_v = 18 \text{ m}$$

| | | | |
|-------------------------------------|--------|-------|------|
| VELOCIDAD DE PROYECTO | 30 | Km/hr | CV17 |
| LONGITUD DE CURVA VERTICAL | 30 | m | |
| DIFERENCIA ALGEBRAICA DE PENDIENTES | 10.64% | | |

Curvas verticales convexas:

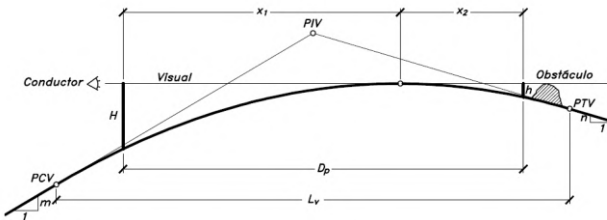
| | | |
|---|----------------------|----------------|
| Altura ojos del conductor, en m. | $h_1 =$ | 1.1 |
| Altura obstáculo fijo, en m | $h_2 =$ | 0.2 |
| Pendiente de entrada a la CV, en decimal. | $m =$ | 9.50% 0.095 |
| Pendiente de salida a la CV, en decimal. | $n =$ | -1.14% -0.0114 |
| Diferencia algebraica de pendientes | $\Theta = lm - nl =$ | 10.64% 0.1064 |

Distancia de frenado:

| | | |
|--|---------|-------------|
| Velocidad de proyecto (V_p o V^*), en Km/hr. | $V =$ | 30 |
| Tiempo de percepción + Reacción, en seg. | $t =$ | 2 |
| Coeficiente de roce rodante, pavimento húmedo. | $f_1 =$ | 0.42 |
| Pendiente longitudinal, en m/m | $i =$ | 9.50% 0.095 |

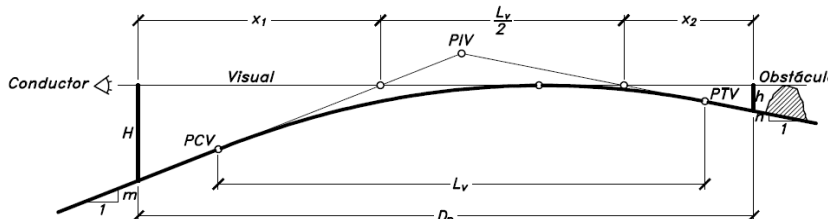
$$\text{Distancia de frenado, en m. } D_p = \frac{Vt}{3.6} + \frac{V^2}{254(f_1 \pm i)} \quad D_p = 24$$

Caso 1: $D_p < L_{min} = L_v$



$$\text{Longitud mínima de curva vertical, en m. } L_{min} = \frac{\theta D_p^2}{2(\sqrt{h_1} + \sqrt{h_2})^2} \quad 13 \text{ FALSO}$$

Caso 2: $L_{min} = L_v < D_p$



$$\text{Longitud mínima de curva vertical, en m. } L_{min} = 2D_p - \frac{2(\sqrt{h_1} + \sqrt{h_2})^2}{\theta} \quad 5.02 \text{ OK}$$

Longitud mínima por comodidad y estética:

La longitud mínima debe ser igual o mayor a la velocidad de proyecto en km/hra.

$$L_{min} (\text{m}) \geq V_p (\text{Km/hr}) \quad L_{min} = 30 \text{ m}$$

Situaciones en que se puede aceptar valores de $L_{min} = L_v < V_p$:

$$\frac{2.24}{D_p} \leq \theta \leq \frac{4.48}{D_p} \quad \left\{ \begin{array}{l} \frac{2.24}{D_p} = 0.0951 \\ \frac{4.48}{D_p} = 0.1903 \end{array} \right. \quad \theta = 0.1064 \longrightarrow L_{min} = 5.02$$

$$\theta < \frac{2.24}{D_p} \quad \left[\longrightarrow \right. \quad L_{min} (\text{m}) \geq 0.6V_p (\text{Km/hr}) \quad L_{min} = \text{Falso}$$

$$\text{Longitud de curva vertical de diseño} \quad L_v = 30 \text{ m}$$

| | | | |
|-------------------------------------|-------|-------|------|
| VELOCIDAD DE PROYECTO | 30 | Km/hr | CV18 |
| LONGITUD DE CURVA VERTICAL | 18 | m | |
| DIFERENCIA ALGEBRAICA DE PENDIENTES | 5.92% | | |

Curvas verticales convexas:

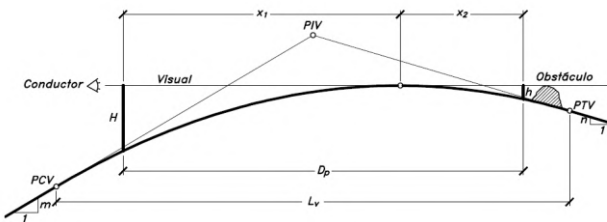
| | | |
|---|----------------------|----------------|
| Altura ojos del conductor, en m. | h1 = | 1.1 |
| Altura obstáculo fijo, en m | h2 = | 0.2 |
| Pendiente de entrada a la CV, en decimal. | m = | -1.14% -0.0114 |
| Pendiente de salida a la CV, en decimal. | n = | -7.06% -0.0706 |
| Diferencia algebraica de pendientes | $\Theta = lm - nl =$ | 5.92% 0.0592 |

Distancia de frenado:

| | | |
|--|------|----------------|
| Velocidad de proyecto (V_p o V^*), en Km/hr. | V = | 30 |
| Tiempo de percepción + Reacción, en seg. | t = | 2 |
| Coeficiente de roce rodante, pavimento húmedo. | f1 = | 0.42 |
| Pendiente longitudinal, en m/m | i = | -1.14% -0.0114 |

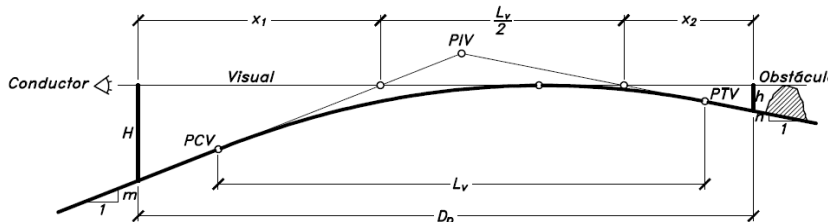
$$\text{Distancia de frenado, en m. } D_p = \frac{Vt}{3.6} + \frac{V^2}{254(f1 \pm i)} \quad D_p = 25$$

Caso 1: $D_p < L_{min} = L_v$



$$\text{Longitud mínima de curva vertical, en m. } L_{min} = \frac{\theta D_p^2}{2(\sqrt{h1} + \sqrt{h2})^2} \quad 8 \text{ FALSO}$$

Caso 2: $L_{min} = L_v < D_p$



$$\text{Longitud mínima de curva vertical, en m. } L_{min} = 2D_p - \frac{2(\sqrt{h1} + \sqrt{h2})^2}{\theta} \quad -24.93 \text{ OK}$$

Longitud mínima por comodidad y estética:

La longitud mínima debe ser igual o mayor a la velocidad de proyecto en km/hra.

$$L_{min} (\text{m}) \geq V_p (\text{Km/hr}) \quad L_{min} = 30 \text{ m}$$

Situaciones en que se puede aceptar valores de $L_{min} = L_v < V_p$:

$$\frac{2.24}{D_p} \leq \theta \leq \frac{4.48}{D_p} \quad \left\{ \begin{array}{l} \frac{2.24}{D_p} = 0.0884 \\ \frac{4.48}{D_p} = 0.1768 \end{array} \right. \quad \theta = 0.0592 \longrightarrow L_{min} = \text{Siguiente}$$

$$\theta < \frac{2.24}{D_p} \quad \left[\longrightarrow \right. \quad L_{min} (\text{m}) \geq 0.6V_p (\text{Km/hr}) \quad L_{min} = 18$$

$$\text{Longitud de curva vertical de diseño} \quad L_v = 18 \text{ m}$$

| | | | |
|-------------------------------------|-------|-------|------|
| VELOCIDAD DE PROYECTO | 30 | Km/hr | CV19 |
| LONGITUD DE CURVA VERTICAL | 27 | m | |
| DIFERENCIA ALGEBRAICA DE PENDIENTES | 7.50% | | |

Curvas verticales cóncavas:

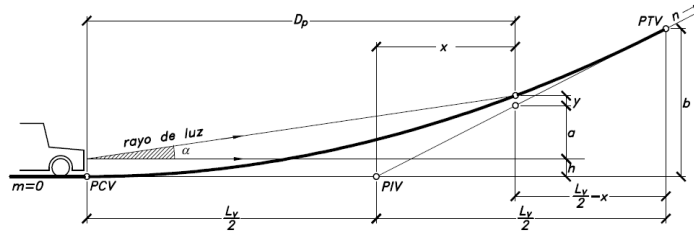
| | | |
|---|--------------------|----------------|
| Angulo de apertura del haz luminoso | $\alpha =$ | 1 ° |
| Altura focos del vehículo | $h =$ | 0.6 |
| Pendiente de entrada a la CV, en decimal. | $m =$ | -7.06% -0.0706 |
| Pendiente de salida a la CV, en decimal. | $n =$ | 0.44% 0.0044 |
| Diferencia algebraica de pendientes | $\Theta = m-n =$ | 7.50% 0.075 |

Distancia de frenado:

| | | |
|--|---------|----------------|
| Velocidad de proyecto (V_p o V^*), en Km/hr. | $V =$ | 30 |
| Tiempo de percepción + Reacción, en seg. | $t =$ | 2 |
| Coeficiente de roce rodante, pavimento húmedo. | $f_1 =$ | 0.42 |
| Pendiente longitudinal, en m/m | $i =$ | -7.06% -0.0706 |

$$\text{Distancia de frenado, en m. } D_p = \frac{Vt}{3.6} + \frac{V^2}{254(f_1 \pm i)} \quad D_p = 27$$

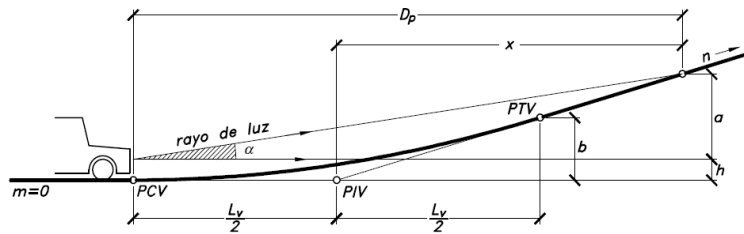
Caso 1: $D_p < L_{min} = L_v$



Longitud mínima de curva vertical, en m.

$$L_{min} = \frac{\theta D_p^2}{2(h + D_p \operatorname{sen} \alpha)} \quad 25 \text{ FALSO}$$

Caso 2: $L_{min} = L_v < D_p$



Longitud mínima de curva vertical, en m.

$$L_{min} = 2D_p - \frac{2(h + D_p \operatorname{sen} \alpha)}{\theta} \quad 25.14 \text{ OK}$$

Longitud mínima por comodidad y estética:

La longitud mínima debe ser igual o mayor a la velocidad de proyecto en km/hra.

$$L_{min} (\text{m}) \geq V_p (\text{Km/hr}) \quad L_{min} = 30 \text{ m}$$

Situaciones en que se puede aceptar valores de $L_{min} = L_v < V_p$:

$$\frac{2.24}{D_p} \leq \theta \leq \frac{4.48}{D_p} \quad \left\{ \begin{array}{l} \frac{2.24}{D_p} = 0.0836 \\ \frac{4.48}{D_p} = 0.1671 \end{array} \right. \quad \theta = 0.075 \longrightarrow L_{min} = \text{Siguiente}$$

$$\theta < \frac{2.24}{D_p} \quad \left[\longrightarrow \right] \quad L_{min} (\text{m}) \geq 0.6V_p (\text{Km/hr}) \quad L_{min} = 18$$

$$\text{Longitud de curva vertical de diseño} \quad L_v = 27 \text{ m}$$

| | | | |
|-------------------------------------|-------|-------|------|
| VELOCIDAD DE PROYECTO | 30 | Km/hr | CV20 |
| LONGITUD DE CURVA VERTICAL | 18 | m | |
| DIFERENCIA ALGEBRAICA DE PENDIENTES | 2.03% | | |

Curvas verticales convexas:

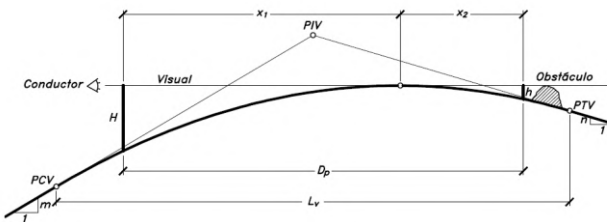
| | | |
|---|----------------------|----------------|
| Altura ojos del conductor, en m. | $h_1 =$ | 1.1 |
| Altura obstáculo fijo, en m | $h_2 =$ | 0.2 |
| Pendiente de entrada a la CV, en decimal. | $m =$ | 0.44% 0.0044 |
| Pendiente de salida a la CV, en decimal. | $n =$ | -1.59% -0.0159 |
| Diferencia algebraica de pendientes | $\Theta = lm - nl =$ | 2.03% 0.0203 |

Distancia de frenado:

| | | |
|--|---------|--------------|
| Velocidad de proyecto (V_p o V^*), en Km/hr. | $V =$ | 30 |
| Tiempo de percepción + Reacción, en seg. | $t =$ | 2 |
| Coeficiente de roce rodante, pavimento húmedo. | $f_1 =$ | 0.42 |
| Pendiente longitudinal, en m/m | $i =$ | 0.44% 0.0044 |

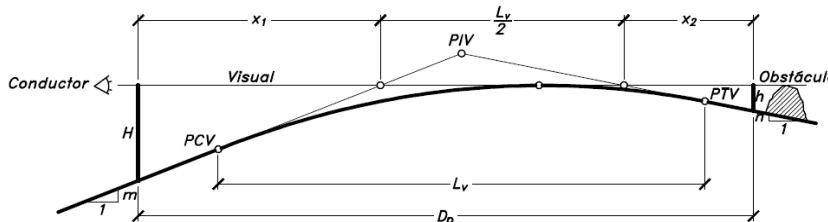
$$\text{Distancia de frenado, en m. } D_p = \frac{Vt}{3.6} + \frac{V^2}{254(f_1 \pm i)} \quad D_p = 25$$

Caso 1: $D_p < L_{min} = L_v$



$$\text{Longitud mínima de curva vertical, en m. } L_{min} = \frac{\theta D_p^2}{2(\sqrt{h_1} + \sqrt{h_2})^2} \quad 3 \text{ FALSO}$$

Caso 2: $L_{min} = L_v < D_p$



$$\text{Longitud mínima de curva vertical, en m. } L_{min} = 2D_p - \frac{2(\sqrt{h_1} + \sqrt{h_2})^2}{\theta} \quad -170.47 \text{ OK}$$

Longitud mínima por comodidad y estética:

La longitud mínima debe ser igual o mayor a la velocidad de proyecto en km/hra.

$$L_{min} (\text{m}) \geq V_p (\text{Km/hr}) \quad L_{min} = 30 \text{ m}$$

Situaciones en que se puede aceptar valores de $L_{min} = L_v < V_p$:

$$\frac{2.24}{D_p} \leq \theta \leq \frac{4.48}{D_p} \quad \left\{ \begin{array}{l} \frac{2.24}{D_p} = 0.0895 \\ \frac{4.48}{D_p} = 0.1791 \end{array} \right. \quad \theta = 0.0203 \longrightarrow L_{min} = \text{Siguiente}$$

$$\theta < \frac{2.24}{D_p} \quad \left[\longrightarrow \right. \quad L_{min} (\text{m}) \geq 0.6V_p (\text{Km/hr}) \quad L_{min} = 18$$

$$\text{Longitud de curva vertical de diseño} \quad L_v = 18 \text{ m}$$

| | | | |
|-------------------------------------|-------|-------|------|
| VELOCIDAD DE PROYECTO | 30 | Km/hr | CV21 |
| LONGITUD DE CURVA VERTICAL | 18 | m | |
| DIFERENCIA ALGEBRAICA DE PENDIENTES | 2.50% | | |

Curvas verticales cóncavas:

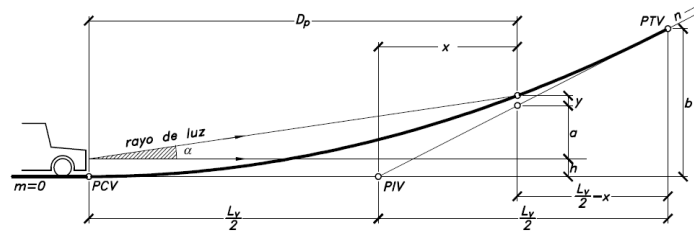
| | | |
|---|--------------------|----------------|
| Angulo de apertura del haz luminoso | $\alpha =$ | 1 ° |
| Altura focos del vehículo | $h =$ | 0.6 |
| Pendiente de entrada a la CV, en decimal. | $m =$ | -1.59% -0.0159 |
| Pendiente de salida a la CV, en decimal. | $n =$ | 0.91% 0.0091 |
| Diferencia algebraica de pendientes | $\Theta = m-n =$ | 2.50% 0.025 |

Distancia de frenado:

| | | |
|--|---------|----------------|
| Velocidad de proyecto (V_p o V^*), en Km/hr. | $V =$ | 30 |
| Tiempo de percepción + Reacción, en seg. | $t =$ | 2 |
| Coeficiente de roce rodante, pavimento húmedo. | $f_1 =$ | 0.42 |
| Pendiente longitudinal, en m/m | $i =$ | -1.59% -0.0159 |

$$\text{Distancia de frenado, en m. } D_p = \frac{Vt}{3.6} + \frac{V^2}{254(f_1 \pm i)} \quad D_p = 25$$

Caso 1: $D_p < L_{min} = L_v$

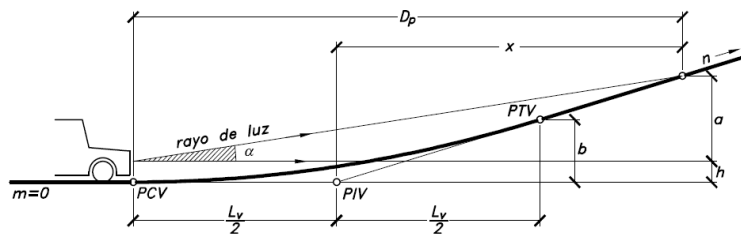


Longitud mínima de curva vertical, en m.

$$L_{min} = \frac{\theta D_p^2}{2(h + D_p \operatorname{sen} \alpha)}$$

8 FALSO

Caso 2: $L_{min} = L_v < D_p$



Longitud mínima de curva vertical, en m.

$$L_{min} = 2D_p - \frac{2(h + D_p \operatorname{sen} \alpha)}{\theta}$$

-32.64 OK

Longitud mínima por comodidad y estética:

La longitud mínima debe ser igual o mayor a la velocidad de proyecto en km/hra.

$$L_{min} (\text{m}) \geq V_p (\text{Km/hr}) \quad L_{min} = 30 \text{ m}$$

Situaciones en que se puede aceptar valores de $L_{min} = L_v < V_p$:

$$\frac{2.24}{D_p} \leq \theta \leq \frac{4.48}{D_p} \quad \left\{ \begin{array}{l} \frac{2.24}{D_p} = 0.0881 \\ \frac{4.48}{D_p} = 0.1761 \end{array} \right. \quad \theta = 0.025 \longrightarrow L_{min} = \text{Siguiente}$$

$$\theta < \frac{2.24}{D_p} \quad \left[\longrightarrow \right] \quad L_{min} (\text{m}) \geq 0.6V_p (\text{Km/hr}) \quad L_{min} = 18$$

$$\text{Longitud de curva vertical de diseño} \quad L_v = 18 \text{ m}$$

| | | | |
|-------------------------------------|-------|-------|------|
| VELOCIDAD DE PROYECTO | 30 | Km/hr | CV22 |
| LONGITUD DE CURVA VERTICAL | 18 | m | |
| DIFERENCIA ALGEBRAICA DE PENDIENTES | 2.94% | | |

Curvas verticales cóncavas:

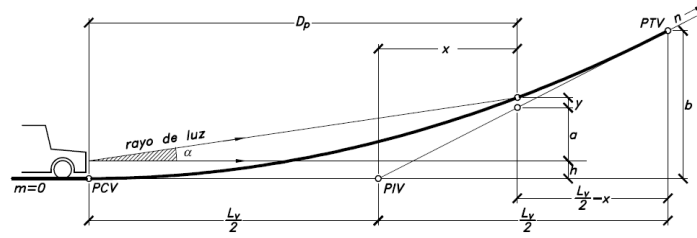
| | | |
|---|--------------------|--------------|
| Angulo de apertura del haz luminoso | $\alpha =$ | 1 ° |
| Altura focos del vehículo | $h =$ | 0.6 |
| Pendiente de entrada a la CV, en decimal. | $m =$ | 0.91% 0.0091 |
| Pendiente de salida a la CV, en decimal. | $n =$ | 3.85% 0.0385 |
| Diferencia algebraica de pendientes | $\theta = m-n =$ | 2.94% 0.0294 |

Distancia de frenado:

| | | |
|--|---------|--------------|
| Velocidad de proyecto (V_p o V^*), en Km/hr. | $V =$ | 30 |
| Tiempo de percepción + Reacción, en seg. | $t =$ | 2 |
| Coeficiente de roce rodante, pavimento húmedo. | $f_1 =$ | 0.42 |
| Pendiente longitudinal, en m/m | $i =$ | 0.91% 0.0091 |

$$\text{Distancia de frenado, en m. } D_p = \frac{Vt}{3.6} + \frac{V^2}{254(f_1 \pm i)} \quad D_p = 25$$

Caso 1: $D_p < L_{min} = L_v$

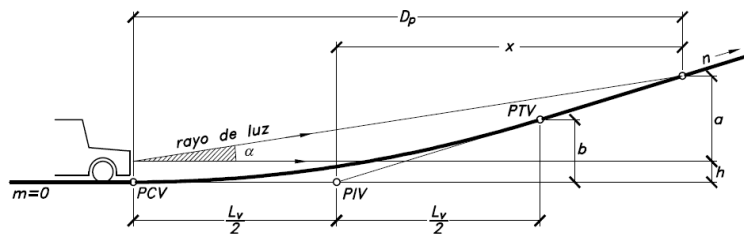


Longitud mínima de curva vertical, en m.

$$L_{min} = \frac{\theta D_p^2}{2(h + D_p \operatorname{sen} \alpha)}$$

9 FALSO

Caso 2: $L_{min} = L_v < D_p$



Longitud mínima de curva vertical, en m.

$$L_{min} = 2D_p - \frac{2(h + D_p \operatorname{sen} \alpha)}{\theta}$$

-20.56 OK

Longitud mínima por comodidad y estética:

La longitud mínima debe ser igual o mayor a la velocidad de proyecto en km/hra.

$$L_{min} (\text{m}) \geq V_p (\text{Km/hr}) \quad L_{min} = 30 \text{ m}$$

Situaciones en que se puede aceptar valores de $L_{min} = L_v < V_p$:

$$\frac{2.24}{D_p} \leq \theta \leq \frac{4.48}{D_p} \quad \left\{ \begin{array}{l} \frac{2.24}{D_p} = 0.0899 \\ \frac{4.48}{D_p} = 0.1797 \end{array} \right. \quad \theta = 0.0294 \longrightarrow L_{min} = \text{Siguiente}$$

$$\theta < \frac{2.24}{D_p} \quad \left[\longrightarrow \right] \quad L_{min} (\text{m}) \geq 0.6V_p (\text{Km/hr}) \quad L_{min} = 18$$

$$\text{Longitud de curva vertical de diseño} \quad L_v = 18 \text{ m}$$

| | | | |
|-------------------------------------|-------|-------|------|
| VELOCIDAD DE PROYECTO | 30 | Km/hr | CV23 |
| LONGITUD DE CURVA VERTICAL | 18 | m | |
| DIFERENCIA ALGEBRAICA DE PENDIENTES | 1.15% | | |

Curvas verticales convexas:

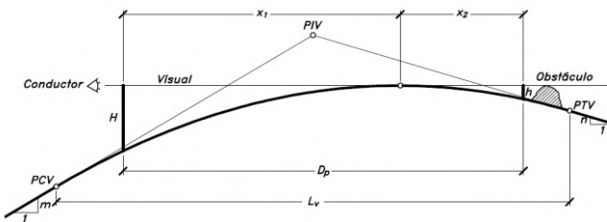
| | | |
|---|--------------------|--------------|
| Altura ojos del conductor, en m. | $h_1 =$ | 1.1 |
| Altura obstáculo fijo, en m | $h_2 =$ | 0.2 |
| Pendiente de entrada a la CV, en decimal. | $m =$ | 3.85% 0.0385 |
| Pendiente de salida a la CV, en decimal. | $n =$ | 2.70% 0.027 |
| Diferencia algebraica de pendientes | $\Theta = m-n =$ | 1.15% 0.0115 |

Distancia de frenado:

| | | |
|--|---------|--------------|
| Velocidad de proyecto (V_p o V^*), en Km/hr. | $V =$ | 30 |
| Tiempo de percepción + Reacción, en seg. | $t =$ | 2 |
| Coeficiente de roce rodante, pavimento húmedo. | $f_1 =$ | 0.42 |
| Pendiente longitudinal, en m/m | $i =$ | 3.85% 0.0385 |

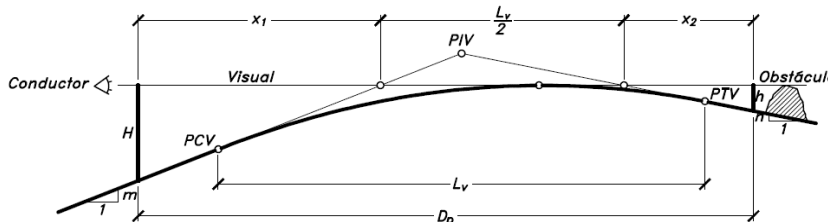
$$\text{Distancia de frenado, en m. } D_p = \frac{Vt}{3.6} + \frac{V^2}{254(f_1 \pm i)} \quad D_p = 24$$

Caso 1: $D_p < L_{min} = L_v$



$$\text{Longitud mínima de curva vertical, en m. } L_{min} = \frac{\theta D_p^2}{2(\sqrt{h_1} + \sqrt{h_2})^2} \quad 2 \text{ FALSO}$$

Caso 2: $L_{min} = L_v < D_p$



$$\text{Longitud mínima de curva vertical, en m. } L_{min} = 2D_p - \frac{2(\sqrt{h_1} + \sqrt{h_2})^2}{\theta} \quad -340.44 \text{ OK}$$

Longitud mínima por comodidad y estética:

La longitud mínima debe ser igual o mayor a la velocidad de proyecto en km/hra.

$$L_{min} (\text{m}) \geq V_p (\text{Km/hr}) \quad L_{min} = 30 \text{ m}$$

Situaciones en que se puede aceptar valores de $L_{min} = L_v < V_p$:

$$\frac{2.24}{D_p} \leq \theta \leq \frac{4.48}{D_p} \quad \left\{ \begin{array}{l} \frac{2.24}{D_p} = 0.0918 \\ \frac{4.48}{D_p} = 0.1836 \end{array} \right. \quad \theta = 0.0115 \longrightarrow L_{min} = \text{Siguiente}$$

$$\theta < \frac{2.24}{D_p} \quad \left[\longrightarrow \right] \quad L_{min} (\text{m}) \geq 0.6V_p (\text{Km/hr}) \quad L_{min} = 18$$

$$\text{Longitud de curva vertical de diseño} \quad L_v = 18 \text{ m}$$

| | | | |
|-------------------------------------|-------|-------|------|
| VELOCIDAD DE PROYECTO | 30 | Km/hr | CV24 |
| LONGITUD DE CURVA VERTICAL | 18 | m | |
| DIFERENCIA ALGEBRAICA DE PENDIENTES | 6.59% | | |

Curvas verticales convexas:

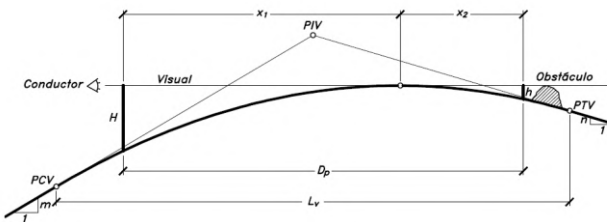
| | | |
|---|----------------------|----------------|
| Altura ojos del conductor, en m. | $h_1 =$ | 1.1 |
| Altura obstáculo fijo, en m | $h_2 =$ | 0.2 |
| Pendiente de entrada a la CV, en decimal. | $m =$ | 2.70% 0.027 |
| Pendiente de salida a la CV, en decimal. | $n =$ | -3.89% -0.0389 |
| Diferencia algebraica de pendientes | $\Theta = lm - nl =$ | 6.59% 0.0659 |

Distancia de frenado:

| | | |
|--|---------|-------------|
| Velocidad de proyecto (V_p o V^*), en Km/hr. | $V =$ | 30 |
| Tiempo de percepción + Reacción, en seg. | $t =$ | 2 |
| Coeficiente de roce rodante, pavimento húmedo. | $f_1 =$ | 0.42 |
| Pendiente longitudinal, en m/m | $i =$ | 2.70% 0.027 |

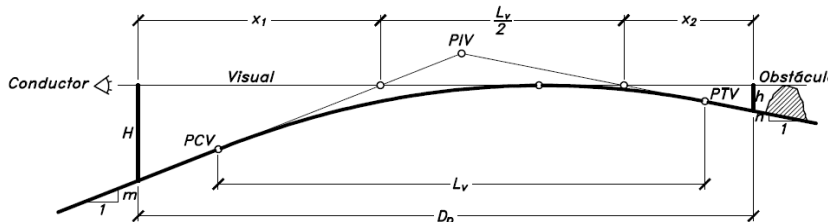
$$\text{Distancia de frenado, en m. } D_p = \frac{Vt}{3.6} + \frac{V^2}{254(f_1 \pm i)} \quad D_p = 25$$

Caso 1: $D_p < L_{min} = L_v$



$$\text{Longitud mínima de curva vertical, en m. } L_{min} = \frac{\theta D_p^2}{2(\sqrt{h_1} + \sqrt{h_2})^2} \quad 9 \text{ FALSO}$$

Caso 2: $L_{min} = L_v < D_p$



$$\text{Longitud mínima de curva vertical, en m. } L_{min} = 2D_p - \frac{2(\sqrt{h_1} + \sqrt{h_2})^2}{\theta} \quad -18.74 \text{ OK}$$

Longitud mínima por comodidad y estética:

La longitud mínima debe ser igual o mayor a la velocidad de proyecto en km/hra.

$$L_{min} (\text{m}) \geq V_p (\text{Km/hr}) \quad L_{min} = 30 \text{ m}$$

Situaciones en que se puede aceptar valores de $L_{min} = L_v < V_p$:

$$\frac{2.24}{D_p} \leq \theta \leq \frac{4.48}{D_p} \quad \left\{ \begin{array}{l} \frac{2.24}{D_p} = 0.0911 \\ \frac{4.48}{D_p} = 0.1822 \end{array} \right. \quad \theta = 0.0659 \longrightarrow L_{min} = \text{Siguiente}$$

$$\theta < \frac{2.24}{D_p} \quad \left[\longrightarrow \right. \quad L_{min} (\text{m}) \geq 0.6V_p (\text{Km/hr}) \quad L_{min} = 18$$

$$\text{Longitud de curva vertical de diseño} \quad L_v = 18 \text{ m}$$

| | | | |
|-------------------------------------|-------|-------|------|
| VELOCIDAD DE PROYECTO | 30 | Km/hr | CV25 |
| LONGITUD DE CURVA VERTICAL | 18 | m | |
| DIFERENCIA ALGEBRAICA DE PENDIENTES | 4.05% | | |

Curvas verticales cóncavas:

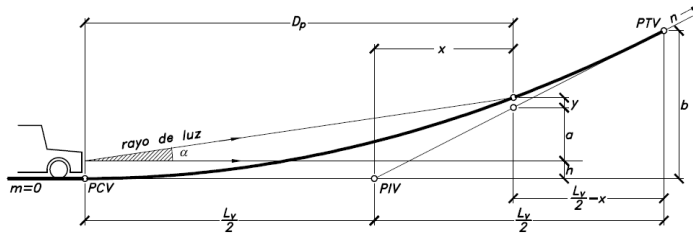
| | | |
|---|--------------------|--------------|
| Angulo de apertura del haz luminoso | $\alpha =$ | 1 ° |
| Altura focos del vehículo | $h =$ | 0.6 |
| Pendiente de entrada a la CV, en decimal. | $m =$ | -3.89% |
| Pendiente de salida a la CV, en decimal. | $n =$ | 0.16% |
| Diferencia algebraica de pendientes | $\Theta = m-n =$ | 4.05% 0.0405 |

Distancia de frenado:

| | | |
|--|---------|----------------|
| Velocidad de proyecto (V_p o V^*), en Km/hr. | $V =$ | 30 |
| Tiempo de percepción + Reacción, en seg. | $t =$ | 2 |
| Coeficiente de roce rodante, pavimento húmedo. | $f_1 =$ | 0.42 |
| Pendiente longitudinal, en m/m | $i =$ | -3.89% -0.0389 |

$$\text{Distancia de frenado, en m. } D_p = \frac{Vt}{3.6} + \frac{V^2}{254(f_1 \pm i)} \quad D_p = 26$$

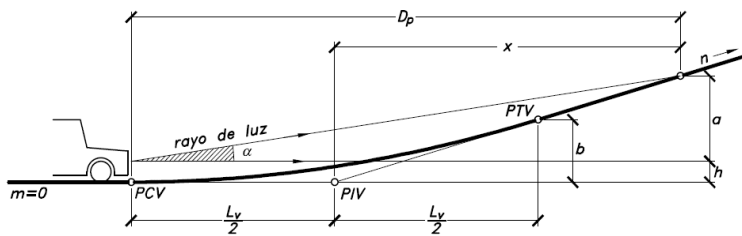
Caso 1: $D_p < L_{min} = L_v$



Longitud mínima de curva vertical, en m.

$$L_{min} = \frac{\theta D_p^2}{2(h + D_p \operatorname{sen} \alpha)} \quad 13 \text{ FALSO}$$

Caso 2: $L_{min} = L_v < D_p$



Longitud mínima de curva vertical, en m.

$$L_{min} = 2D_p - \frac{2(h + D_p \operatorname{sen} \alpha)}{\theta} \quad -0.08 \text{ OK}$$

Longitud mínima por comodidad y estética:

La longitud mínima debe ser igual o mayor a la velocidad de proyecto en km/hra.

$$L_{min} (\text{m}) \geq V_p (\text{Km/hr}) \quad L_{min} = 30 \text{ m}$$

Situaciones en que se puede aceptar valores de $L_{min} = L_v < V_p$:

$$\frac{2.24}{D_p} \leq \theta \leq \frac{4.48}{D_p} \quad \left\{ \begin{array}{l} \frac{2.24}{D_p} = 0.0863 \\ \frac{4.48}{D_p} = 0.1725 \end{array} \right. \quad \theta = 0.0405 \longrightarrow L_{min} = \text{Siguiente}$$

$$\theta < \frac{2.24}{D_p} \quad \left[\longrightarrow \right] \quad L_{min} (\text{m}) \geq 0.6V_p (\text{Km/hr}) \quad L_{min} = 18$$

$$\text{Longitud de curva vertical de diseño} \quad L_v = 18 \text{ m}$$

| | | | |
|-------------------------------------|--------|-------|------|
| VELOCIDAD DE PROYECTO | 30 | Km/hr | CV26 |
| LONGITUD DE CURVA VERTICAL | 32 | m | |
| DIFERENCIA ALGEBRAICA DE PENDIENTES | 10.25% | | |

Curvas verticales cóncavas:

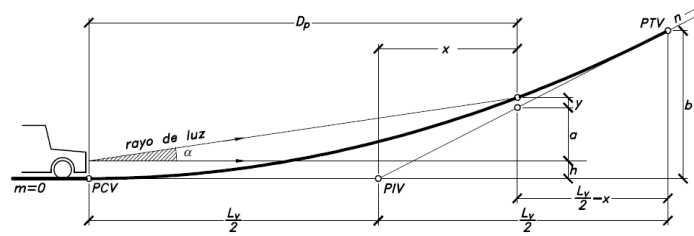
| | | |
|---|--------------------|---------------|
| Angulo de apertura del haz luminoso | $\alpha =$ | 1 ° |
| Altura focos del vehículo | $h =$ | 0.6 |
| Pendiente de entrada a la CV, en decimal. | $m =$ | 0.16% 0.0016 |
| Pendiente de salida a la CV, en decimal. | $n =$ | 10.41% 0.1041 |
| Diferencia algebraica de pendientes | $\theta = m-n =$ | 10.25% 0.1025 |

Distancia de frenado:

| | | |
|--|---------|--------------|
| Velocidad de proyecto (V_p o V^*), en Km/hr. | $V =$ | 30 |
| Tiempo de percepción + Reacción, en seg. | $t =$ | 2 |
| Coeficiente de roce rodante, pavimento húmedo. | $f_1 =$ | 0.42 |
| Pendiente longitudinal, en m/m | $i =$ | 0.16% 0.0016 |

$$\text{Distancia de frenado, en m. } D_p = \frac{Vt}{3.6} + \frac{V^2}{254(f_1 \pm i)} \quad D_p = 25$$

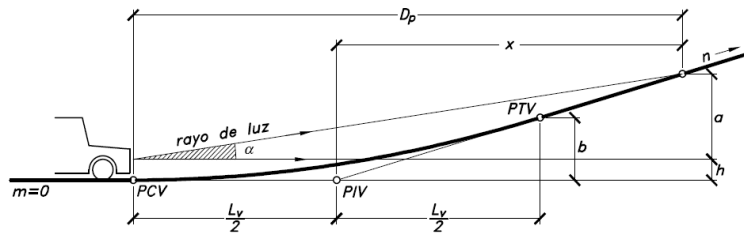
Caso 1: $D_p < L_{min} = L_v$



Longitud mínima de curva vertical, en m.

$$L_{min} = \frac{\theta D_p^2}{2(h + D_p \operatorname{sen} \alpha)} \quad 31 \text{ OK}$$

Caso 2: $L_{min} = L_v < D_p$



Longitud mínima de curva vertical, en m.

$$L_{min} = 2D_p - \frac{2(h + D_p \operatorname{sen} \alpha)}{\theta} \quad 29.90 \text{ FALSO}$$

Longitud mínima por comodidad y estética:

La longitud mínima debe ser igual o mayor a la velocidad de proyecto en km/hra.

$$L_{min} (\text{m}) \geq V_p (\text{Km/hr}) \quad L_{min} = 30 \text{ m}$$

Situaciones en que se puede aceptar valores de $L_{min} = L_v < V_p$:

$$\frac{2.24}{D_p} \leq \theta \leq \frac{4.48}{D_p} \quad \left\{ \begin{array}{l} \frac{2.24}{D_p} = 0.0893 \\ \frac{4.48}{D_p} = 0.1787 \end{array} \right. \quad \theta = 0.1025 \longrightarrow L_{min} = 29.90$$

$$\theta < \frac{2.24}{D_p} \quad \left[\longrightarrow \right. \quad L_{min} (\text{m}) \geq 0.6V_p (\text{Km/hr}) \quad L_{min} = \text{Falso}$$

$$\text{Longitud de curva vertical de diseño} \quad L_v = 32 \text{ m}$$

| | | | |
|-------------------------------------|-------|-------|------|
| VELOCIDAD DE PROYECTO | 30 | Km/hr | CV27 |
| LONGITUD DE CURVA VERTICAL | 18 | m | |
| DIFERENCIA ALGEBRAICA DE PENDIENTES | 4.57% | | |

Curvas verticales convexas:

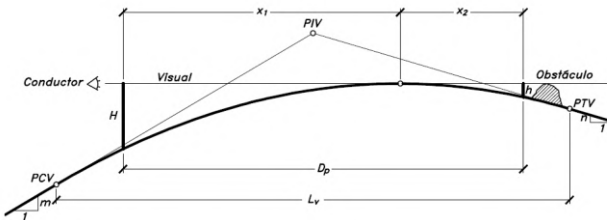
| | | |
|---|--------------------|---------------|
| Altura ojos del conductor, en m. | $h_1 =$ | 1.1 |
| Altura obstáculo fijo, en m | $h_2 =$ | 0.2 |
| Pendiente de entrada a la CV, en decimal. | $m =$ | 10.41% 0.1041 |
| Pendiente de salida a la CV, en decimal. | $n =$ | 5.84% 0.0584 |
| Diferencia algebraica de pendientes | $\Theta = m-n =$ | 4.57% 0.0457 |

Distancia de frenado:

| | | |
|--|---------|---------------|
| Velocidad de proyecto (V_p o V^*), en Km/hr. | $V =$ | 30 |
| Tiempo de percepción + Reacción, en seg. | $t =$ | 2 |
| Coeficiente de roce rodante, pavimento húmedo. | $f_1 =$ | 0.42 |
| Pendiente longitudinal, en m/m | $i =$ | 10.41% 0.1041 |

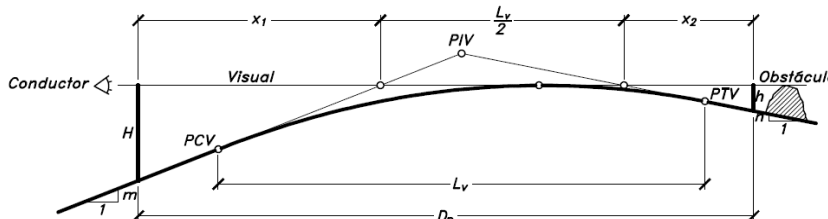
$$\text{Distancia de frenado, en m. } D_p = \frac{Vt}{3.6} + \frac{V^2}{254(f_1 \pm i)} \quad D_p = 23$$

Caso 1: $D_p < L_{min} = L_v$



$$\text{Longitud mínima de curva vertical, en m. } L_{min} = \frac{\theta D_p^2}{2(\sqrt{h_1} + \sqrt{h_2})^2} \quad 6 \text{ FALSO}$$

Caso 2: $L_{min} = L_v < D_p$



$$\text{Longitud mínima de curva vertical, en m. } L_{min} = 2D_p - \frac{2(\sqrt{h_1} + \sqrt{h_2})^2}{\theta} \quad -51.09 \text{ OK}$$

Longitud mínima por comodidad y estética:

La longitud mínima debe ser igual o mayor a la velocidad de proyecto en km/hra.

$$L_{min} (\text{m}) \geq V_p (\text{Km/hr}) \quad L_{min} = 30 \text{ m}$$

Situaciones en que se puede aceptar valores de $L_{min} = L_v < V_p$:

$$\frac{2.24}{D_p} \leq \theta \leq \frac{4.48}{D_p} \quad \left\{ \begin{array}{l} \frac{2.24}{D_p} = 0.0956 \\ \frac{4.48}{D_p} = 0.1912 \end{array} \right. \quad \theta = 0.0457 \longrightarrow L_{min} = \text{Siguiente}$$

$$\theta < \frac{2.24}{D_p} \quad \left[\longrightarrow \right. \quad L_{min} (\text{m}) \geq 0.6V_p (\text{Km/hr}) \quad L_{min} = 18$$

$$\text{Longitud de curva vertical de diseño} \quad L_v = 18 \text{ m}$$

| | | | |
|-------------------------------------|-------|-------|------|
| VELOCIDAD DE PROYECTO | 30 | Km/hr | CV28 |
| LONGITUD DE CURVA VERTICAL | 18 | m | |
| DIFERENCIA ALGEBRAICA DE PENDIENTES | 1.19% | | |

Curvas verticales convexas:

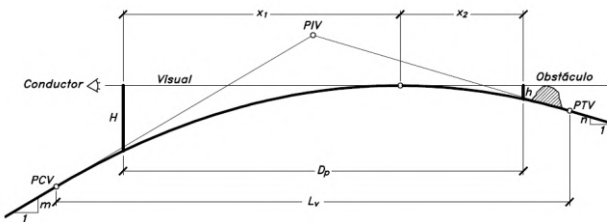
| | | |
|---|--------------------|--------------|
| Altura ojos del conductor, en m. | $h_1 =$ | 1.1 |
| Altura obstáculo fijo, en m | $h_2 =$ | 0.2 |
| Pendiente de entrada a la CV, en decimal. | $m =$ | 5.00% 0.05 |
| Pendiente de salida a la CV, en decimal. | $n =$ | 3.81% 0.0381 |
| Diferencia algebraica de pendientes | $\theta = m-n =$ | 1.19% 0.0119 |

Distancia de frenado:

| | | |
|--|---------|------------|
| Velocidad de proyecto (V_p o V^*), en Km/hr. | $V =$ | 30 |
| Tiempo de percepción + Reacción, en seg. | $t =$ | 2 |
| Coeficiente de roce rodante, pavimento húmedo. | $f_1 =$ | 0.42 |
| Pendiente longitudinal, en m/m | $i =$ | 5.00% 0.05 |

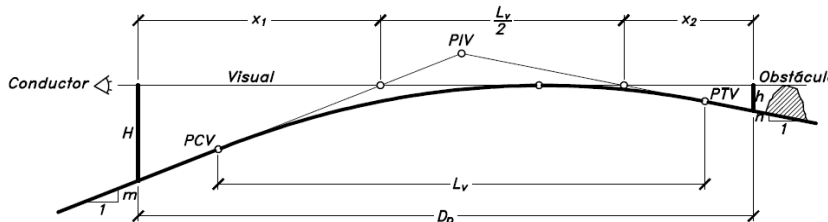
$$\text{Distancia de frenado, en m. } D_p = \frac{Vt}{3.6} + \frac{V^2}{254(f_1 \pm i)} \quad D_p = 24$$

Caso 1: $D_p < L_{min} = L_v$



$$\text{Longitud mínima de curva vertical, en m. } L_{min} = \frac{\theta D_p^2}{2(\sqrt{h_1} + \sqrt{h_2})^2} \quad 2 \text{ FALSO}$$

Caso 2: $L_{min} = L_v < D_p$



$$\text{Longitud mínima de curva vertical, en m. } L_{min} = 2D_p - \frac{2(\sqrt{h_1} + \sqrt{h_2})^2}{\theta} \quad -327.74 \text{ OK}$$

Longitud mínima por comodidad y estética:

La longitud mínima debe ser igual o mayor a la velocidad de proyecto en km/hra.

$$L_{min} (\text{m}) \geq V_p (\text{Km/hr}) \quad L_{min} = 30 \text{ m}$$

Situaciones en que se puede aceptar valores de $L_{min} = L_v < V_p$:

$$\frac{2.24}{D_p} \leq \theta \leq \frac{4.48}{D_p} \quad \left\{ \begin{array}{l} \frac{2.24}{D_p} = 0.0925 \\ \frac{4.48}{D_p} = 0.1851 \end{array} \right. \quad \theta = 0.0119 \longrightarrow L_{min} = \text{Siguiente}$$

$$\theta < \frac{2.24}{D_p} \quad \left[\longrightarrow \right. \quad L_{min} (\text{m}) \geq 0.6V_p (\text{Km/hr}) \quad L_{min} = 18$$

$$\text{Longitud de curva vertical de diseño} \quad L_v = 18 \text{ m}$$

| | | | |
|-------------------------------------|-------|-------|------|
| VELOCIDAD DE PROYECTO | 30 | Km/hr | CV29 |
| LONGITUD DE CURVA VERTICAL | 18 | m | |
| DIFERENCIA ALGEBRAICA DE PENDIENTES | 7.06% | | |

Curvas verticales convexas:

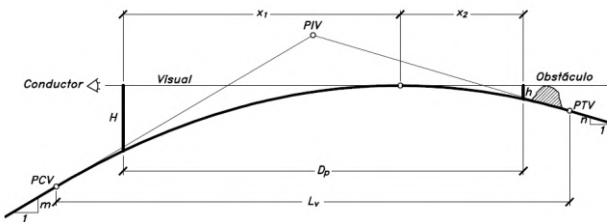
| | | |
|---|----------------------|----------------|
| Altura ojos del conductor, en m. | $h_1 =$ | 1.1 |
| Altura obstáculo fijo, en m | $h_2 =$ | 0.2 |
| Pendiente de entrada a la CV, en decimal. | $m =$ | 3.81% 0.0381 |
| Pendiente de salida a la CV, en decimal. | $n =$ | -3.25% -0.0325 |
| Diferencia algebraica de pendientes | $\Theta = lm - nl =$ | 7.06% 0.0706 |

Distancia de frenado:

| | | |
|--|---------|--------------|
| Velocidad de proyecto (V_p o V^*), en Km/hr. | $V =$ | 30 |
| Tiempo de percepción + Reacción, en seg. | $t =$ | 2 |
| Coeficiente de roce rodante, pavimento húmedo. | $f_1 =$ | 0.42 |
| Pendiente longitudinal, en m/m | $i =$ | 3.81% 0.0381 |

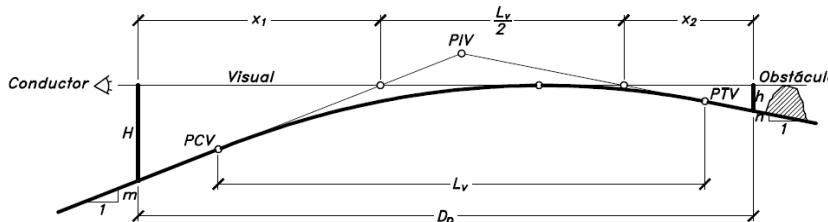
$$\text{Distancia de frenado, en m. } D_p = \frac{Vt}{3.6} + \frac{V^2}{254(f_1 \pm i)} \quad D_p = 24$$

Caso 1: $D_p < L_{min} = L_v$



$$\text{Longitud mínima de curva vertical, en m. } L_{min} = \frac{\theta D_p^2}{2(\sqrt{h_1} + \sqrt{h_2})^2} \quad 9 \text{ FALSO}$$

Caso 2: $L_{min} = L_v < D_p$



$$\text{Longitud mínima de curva vertical, en m. } L_{min} = 2D_p - \frac{2(\sqrt{h_1} + \sqrt{h_2})^2}{\theta} \quad -14.60 \text{ OK}$$

Longitud mínima por comodidad y estética:

La longitud mínima debe ser igual o mayor a la velocidad de proyecto en km/hra.

$$L_{min} (\text{m}) \geq V_p (\text{Km/hr}) \quad L_{min} = 30 \text{ m}$$

Situaciones en que se puede aceptar valores de $L_{min} = L_v < V_p$:

$$\frac{2.24}{D_p} \leq \theta \leq \frac{4.48}{D_p} \quad \left\{ \begin{array}{l} \frac{2.24}{D_p} = 0.0918 \\ \frac{4.48}{D_p} = 0.1836 \end{array} \right. \quad \theta = 0.0706 \longrightarrow L_{min} = \text{Siguiente}$$

$$\theta < \frac{2.24}{D_p} \quad \left[\longrightarrow \right] \quad L_{min} (\text{m}) \geq 0.6V_p (\text{Km/hr}) \quad L_{min} = 18$$

$$\text{Longitud de curva vertical de diseño} \quad L_v = 18 \text{ m}$$

| | | | |
|-------------------------------------|-------|-------|------|
| VELOCIDAD DE PROYECTO | 30 | Km/hr | CV30 |
| LONGITUD DE CURVA VERTICAL | 18 | m | |
| DIFERENCIA ALGEBRAICA DE PENDIENTES | 5.22% | | |

Curvas verticales convexas:

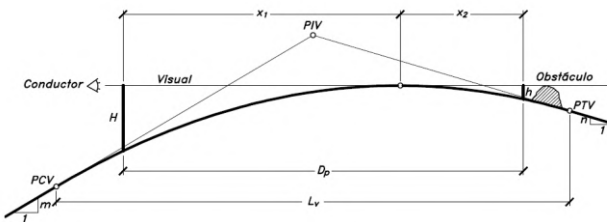
| | | |
|---|----------------------|----------------|
| Altura ojos del conductor, en m. | h1 = | 1.1 |
| Altura obstáculo fijo, en m | h2 = | 0.2 |
| Pendiente de entrada a la CV, en decimal. | m = | -3.25% -0.0325 |
| Pendiente de salida a la CV, en decimal. | n = | -8.47% -0.0847 |
| Diferencia algebraica de pendientes | $\Theta = lm - nl =$ | 5.22% 0.0522 |

Distancia de frenado:

| | | |
|--|------|----------------|
| Velocidad de proyecto (V_p o V^*), en Km/hr. | V = | 30 |
| Tiempo de percepción + Reacción, en seg. | t = | 2 |
| Coeficiente de roce rodante, pavimento húmedo. | f1 = | 0.42 |
| Pendiente longitudinal, en m/m | i = | -3.25% -0.0325 |

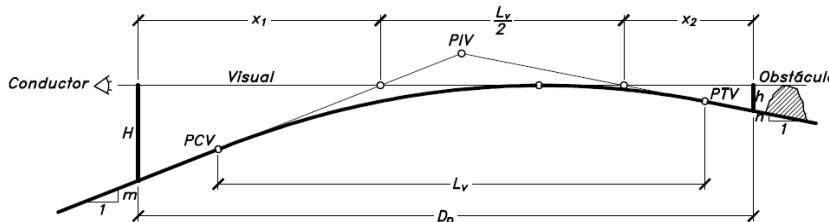
$$\text{Distancia de frenado, en m. } D_p = \frac{Vt}{3.6} + \frac{V^2}{254(f1 \pm i)} \quad D_p = 26$$

Caso 1: $D_p < L_{min} = L_v$



$$\text{Longitud mínima de curva vertical, en m. } L_{min} = \frac{\theta D_p^2}{2(\sqrt{h1} + \sqrt{h2})^2} \quad 8 \text{ FALSO}$$

Caso 2: $L_{min} = L_v < D_p$



$$\text{Longitud mínima de curva vertical, en m. } L_{min} = 2D_p - \frac{2(\sqrt{h1} + \sqrt{h2})^2}{\theta} \quad -34.13 \text{ OK}$$

Longitud mínima por comodidad y estética:

La longitud mínima debe ser igual o mayor a la velocidad de proyecto en km/hra.

$$L_{min} (\text{m}) \geq V_p (\text{Km/hr}) \quad L_{min} = 30 \text{ m}$$

Situaciones en que se puede aceptar valores de $L_{min} = L_v < V_p$:

$$\frac{2.24}{D_p} \leq \theta \leq \frac{4.48}{D_p} \quad \left\{ \begin{array}{l} \frac{2.24}{D_p} = 0.0868 \\ \frac{4.48}{D_p} = 0.1736 \end{array} \right. \quad \theta = 0.0522 \longrightarrow L_{min} = \text{Siguiente}$$

$$\theta < \frac{2.24}{D_p} \quad \left[\longrightarrow \right. \quad L_{min} (\text{m}) \geq 0.6V_p (\text{Km/hr}) \quad L_{min} = 18$$

$$\text{Longitud de curva vertical de diseño} \quad L_v = 18 \text{ m}$$

| | | | |
|-------------------------------------|-------|-------|------|
| VELOCIDAD DE PROYECTO | 30 | Km/hr | CV31 |
| LONGITUD DE CURVA VERTICAL | 20 | m | |
| DIFERENCIA ALGEBRAICA DE PENDIENTES | 6.10% | | |

Curvas verticales cóncavas:

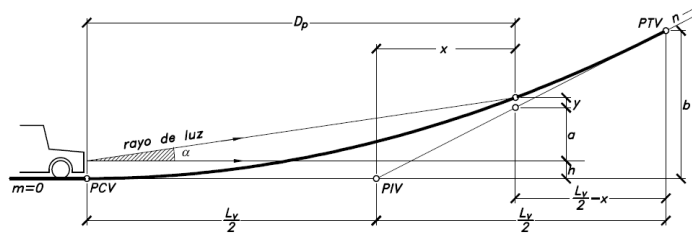
| | | |
|---|--------------------|----------------|
| Angulo de apertura del haz luminoso | $\alpha =$ | 1 ° |
| Altura focos del vehículo | $h =$ | 0.6 |
| Pendiente de entrada a la CV, en decimal. | $m =$ | -8.47% -0.0847 |
| Pendiente de salida a la CV, en decimal. | $n =$ | -2.37% -0.0237 |
| Diferencia algebraica de pendientes | $\Theta = m-n =$ | 6.10% 0.061 |

Distancia de frenado:

| | | |
|--|---------|----------------|
| Velocidad de proyecto (V_p o V^*), en Km/hr. | $V =$ | 30 |
| Tiempo de percepción + Reacción, en seg. | $t =$ | 2 |
| Coeficiente de roce rodante, pavimento húmedo. | $f_1 =$ | 0.42 |
| Pendiente longitudinal, en m/m | $i =$ | -8.47% -0.0847 |

$$\text{Distancia de frenado, en m. } D_p = \frac{Vt}{3.6} + \frac{V^2}{254(f_1 \pm i)} \quad D_p = 27$$

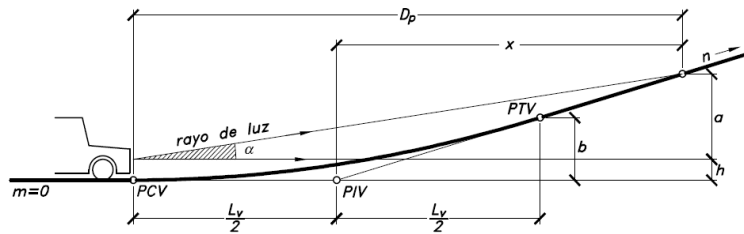
Caso 1: $D_p < L_{min} = L_v$



Longitud mínima de curva vertical, en m.

$$L_{min} = \frac{\theta D_p^2}{2(h + D_p \operatorname{sen} \alpha)} \quad 21 \text{ FALSO}$$

Caso 2: $L_{min} = L_v < D_p$



Longitud mínima de curva vertical, en m.

$$L_{min} = 2D_p - \frac{2(h + D_p \operatorname{sen} \alpha)}{\theta} \quad 19.21 \text{ OK}$$

Longitud mínima por comodidad y estética:

La longitud mínima debe ser igual o mayor a la velocidad de proyecto en km/hra.

$$L_{min} (\text{m}) \geq V_p (\text{Km/hr}) \quad L_{min} = 30 \text{ m}$$

Situaciones en que se puede aceptar valores de $L_{min} = L_v < V_p$:

$$\frac{2.24}{D_p} \leq \theta \leq \frac{4.48}{D_p} \quad \left\{ \begin{array}{l} \frac{2.24}{D_p} = 0.0822 \\ \frac{4.48}{D_p} = 0.1645 \end{array} \right. \quad \theta = 0.061 \longrightarrow L_{min} = \text{Siguiente}$$

$$\theta < \frac{2.24}{D_p} \quad \left[\longrightarrow \right] \quad L_{min} (\text{m}) \geq 0.6V_p (\text{Km/hr}) \quad L_{min} = 18$$

$$\text{Longitud de curva vertical de diseño} \quad L_v = 20 \text{ m}$$

| | | | |
|-------------------------------------|-------|-------|------|
| VELOCIDAD DE PROYECTO | 30 | Km/hr | CV32 |
| LONGITUD DE CURVA VERTICAL | 18 | m | |
| DIFERENCIA ALGEBRAICA DE PENDIENTES | 1.78% | | |

Curvas verticales convexas:

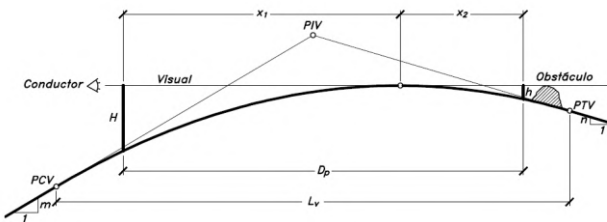
| | | |
|---|----------------------|----------------|
| Altura ojos del conductor, en m. | h1 = | 1.1 |
| Altura obstáculo fijo, en m | h2 = | 0.2 |
| Pendiente de entrada a la CV, en decimal. | m = | -2.37% -0.0237 |
| Pendiente de salida a la CV, en decimal. | n = | -4.15% -0.0415 |
| Diferencia algebraica de pendientes | $\Theta = lm - nl =$ | 1.78% 0.0178 |

Distancia de frenado:

| | | |
|--|------|----------------|
| Velocidad de proyecto (V_p o V^*), en Km/hr. | V = | 30 |
| Tiempo de percepción + Reacción, en seg. | t = | 2 |
| Coeficiente de roce rodante, pavimento húmedo. | f1 = | 0.42 |
| Pendiente longitudinal, en m/m | i = | -2.37% -0.0237 |

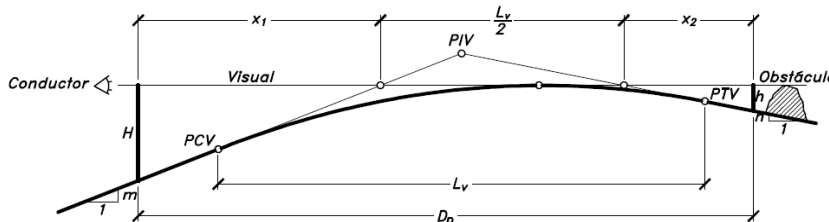
$$\text{Distancia de frenado, en m. } D_p = \frac{Vt}{3.6} + \frac{V^2}{254(f1 \pm i)} \quad D_p = 26$$

Caso 1: $D_p < L_{min} = L_v$



$$\text{Longitud mínima de curva vertical, en m. } L_{min} = \frac{\theta D_p^2}{2(\sqrt{h_1} + \sqrt{h_2})^2} \quad 3 \text{ FALSO}$$

Caso 2: $L_{min} = L_v < D_p$



$$\text{Longitud mínima de curva vertical, en m. } L_{min} = 2D_p - \frac{2(\sqrt{h_1} + \sqrt{h_2})^2}{\theta} \quad -200.25 \text{ OK}$$

Longitud mínima por comodidad y estética:

La longitud mínima debe ser igual o mayor a la velocidad de proyecto en km/hra.

$$L_{min} (\text{m}) \geq V_p (\text{Km/hr}) \quad L_{min} = 30 \text{ m}$$

Situaciones en que se puede aceptar valores de $L_{min} = L_v < V_p$:

$$\frac{2.24}{D_p} \leq \theta \leq \frac{4.48}{D_p} \quad \left\{ \begin{array}{l} \frac{2.24}{D_p} = 0.0875 \\ \frac{4.48}{D_p} = 0.1749 \end{array} \right. \quad \theta = 0.0178 \longrightarrow L_{min} = \text{Siguiente}$$

$$\theta < \frac{2.24}{D_p} \quad \left[\longrightarrow \right. \quad L_{min} (\text{m}) \geq 0.6V_p (\text{Km/hr}) \quad L_{min} = 18$$

$$\text{Longitud de curva vertical de diseño} \quad L_v = 18 \text{ m}$$

| | | | |
|-------------------------------------|-------|-------|------|
| VELOCIDAD DE PROYECTO | 30 | Km/hr | CV33 |
| LONGITUD DE CURVA VERTICAL | 18 | m | |
| DIFERENCIA ALGEBRAICA DE PENDIENTES | 0.88% | | |

Curvas verticales cóncavas:

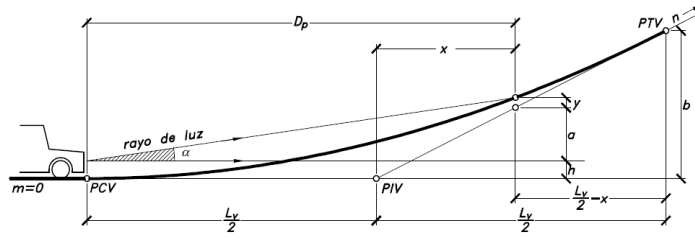
| | | |
|---|--------------------|----------------|
| Angulo de apertura del haz luminoso | $\alpha =$ | 1 ° |
| Altura focos del vehículo | $h =$ | 0.6 |
| Pendiente de entrada a la CV, en decimal. | $m =$ | -4.15% -0.0415 |
| Pendiente de salida a la CV, en decimal. | $n =$ | -3.27% -0.0327 |
| Diferencia algebraica de pendientes | $\theta = m-n =$ | 0.88% 0.0088 |

Distancia de frenado:

| | | |
|--|---------|----------------|
| Velocidad de proyecto (V_p o V^*), en Km/hr. | $V =$ | 30 |
| Tiempo de percepción + Reacción, en seg. | $t =$ | 2 |
| Coeficiente de roce rodante, pavimento húmedo. | $f_1 =$ | 0.42 |
| Pendiente longitudinal, en m/m | $i =$ | -4.15% -0.0415 |

$$\text{Distancia de frenado, en m. } D_p = \frac{Vt}{3.6} + \frac{V^2}{254(f_1 \pm i)} \quad D_p = 26$$

Caso 1: $D_p < L_{min} = L_v$

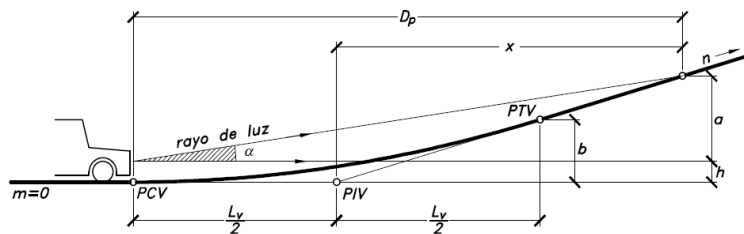


Longitud mínima de curva vertical, en m.

$$L_{min} = \frac{\theta D_p^2}{2(h + D_p \operatorname{sen} \alpha)}$$

3 FALSO

Caso 2: $L_{min} = L_v < D_p$



Longitud mínima de curva vertical, en m.

$$L_{min} = 2D_p - \frac{2(h + D_p \operatorname{sen} \alpha)}{\theta}$$

-187.55 OK

Longitud mínima por comodidad y estética:

La longitud mínima debe ser igual o mayor a la velocidad de proyecto en km/hra.

$$L_{min} (\text{m}) \geq V_p (\text{Km/hr}) \quad L_{min} = 30 \text{ m}$$

Situaciones en que se puede aceptar valores de $L_{min} = L_v < V_p$:

$$\frac{2.24}{D_p} \leq \theta \leq \frac{4.48}{D_p} \quad \left\{ \begin{array}{l} \frac{2.24}{D_p} = 0.0861 \\ \frac{4.48}{D_p} = 0.1721 \end{array} \right. \quad \theta = 0.0088 \longrightarrow L_{min} = \text{Siguiente}$$

$$\theta < \frac{2.24}{D_p} \quad \left[\longrightarrow \right] \quad L_{min} (\text{m}) \geq 0.6V_p (\text{Km/hr}) \quad L_{min} = 18$$

$$\text{Longitud de curva vertical de diseño} \quad L_v = 18 \text{ m}$$

| | | | |
|-------------------------------------|-------|-------|------|
| VELOCIDAD DE PROYECTO | 30 | Km/hr | CV34 |
| LONGITUD DE CURVA VERTICAL | 18 | m | |
| DIFERENCIA ALGEBRAICA DE PENDIENTES | 2.82% | | |

Curvas verticales cóncavas:

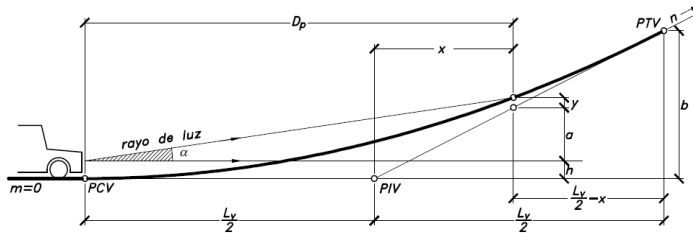
| | | |
|---|--------------------|----------------|
| Angulo de apertura del haz luminoso | $\alpha =$ | 1 ° |
| Altura focos del vehículo | $h =$ | 0.6 |
| Pendiente de entrada a la CV, en decimal. | $m =$ | -3.27% -0.0327 |
| Pendiente de salida a la CV, en decimal. | $n =$ | -0.45% -0.0045 |
| Diferencia algebraica de pendientes | $\theta = m-n =$ | 2.82% 0.0282 |

Distancia de frenado:

| | | |
|--|---------|----------------|
| Velocidad de proyecto (V_p o V^*), en Km/hr. | $V =$ | 30 |
| Tiempo de percepción + Reacción, en seg. | $t =$ | 2 |
| Coeficiente de roce rodante, pavimento húmedo. | $f_1 =$ | 0.42 |
| Pendiente longitudinal, en m/m | $i =$ | -3.27% -0.0327 |

$$\text{Distancia de frenado, en m. } D_p = \frac{Vt}{3.6} + \frac{V^2}{254(f_1 \pm i)} \quad D_p = 26$$

Caso 1: $D_p < L_{min} = L_v$

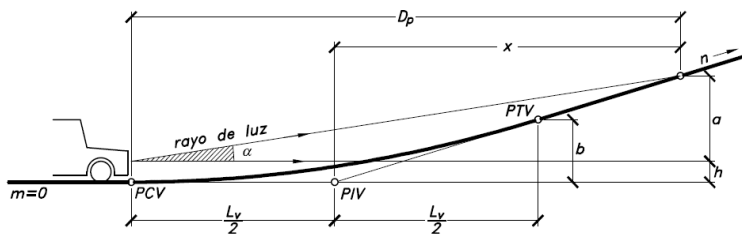


Longitud mínima de curva vertical, en m.

$$L_{min} = \frac{\theta D_p^2}{2(h + D_p \operatorname{sen} \alpha)}$$

9 FALSO

Caso 2: $L_{min} = L_v < D_p$



Longitud mínima de curva vertical, en m.

$$L_{min} = 2D_p - \frac{2(h + D_p \operatorname{sen} \alpha)}{\theta}$$

-22.88 OK

Longitud mínima por comodidad y estética:

La longitud mínima debe ser igual o mayor a la velocidad de proyecto en km/hra.

$$L_{min} (\text{m}) \geq V_p (\text{Km/hr}) \quad L_{min} = 30 \text{ m}$$

Situaciones en que se puede aceptar valores de $L_{min} = L_v < V_p$:

$$\frac{2.24}{D_p} \leq \theta \leq \frac{4.48}{D_p} \quad \left\{ \begin{array}{l} \frac{2.24}{D_p} = 0.0868 \\ \frac{4.48}{D_p} = 0.1735 \end{array} \right. \quad \theta = 0.0282 \longrightarrow L_{min} = \text{Siguiente}$$

$$\theta < \frac{2.24}{D_p} \quad \left[\longrightarrow \right] \quad L_{min} (\text{m}) \geq 0.6V_p (\text{Km/hr}) \quad L_{min} = 18$$

$$\text{Longitud de curva vertical de diseño} \quad L_v = 18 \text{ m}$$

| | | | |
|-------------------------------------|-------|-------|------|
| VELOCIDAD DE PROYECTO | 30 | Km/hr | CV35 |
| LONGITUD DE CURVA VERTICAL | 18 | m | |
| DIFERENCIA ALGEBRAICA DE PENDIENTES | 8.08% | | |

Curvas verticales convexas:

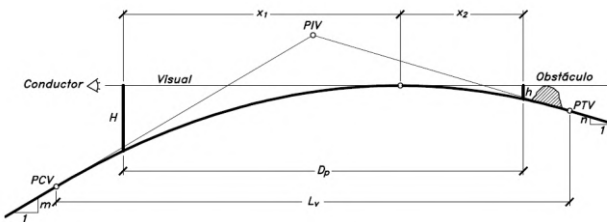
| | | |
|---|----------------------|----------------|
| Altura ojos del conductor, en m. | $h_1 =$ | 1.1 |
| Altura obstáculo fijo, en m | $h_2 =$ | 0.2 |
| Pendiente de entrada a la CV, en decimal. | $m =$ | 2.72% 0.0272 |
| Pendiente de salida a la CV, en decimal. | $n =$ | -5.36% -0.0536 |
| Diferencia algebraica de pendientes | $\Theta = lm - nl =$ | 8.08% 0.0808 |

Distancia de frenado:

| | | |
|--|---------|--------------|
| Velocidad de proyecto (V_p o V^*), en Km/hr. | $V =$ | 30 |
| Tiempo de percepción + Reacción, en seg. | $t =$ | 2 |
| Coeficiente de roce rodante, pavimento húmedo. | $f_1 =$ | 0.42 |
| Pendiente longitudinal, en m/m | $i =$ | 2.72% 0.0272 |

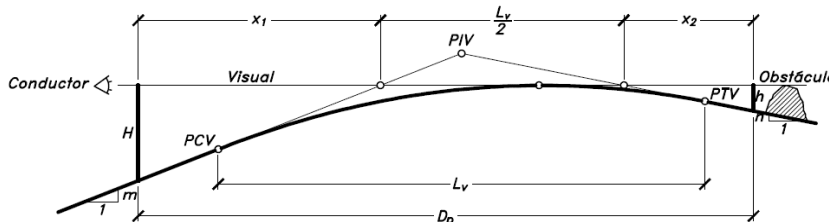
$$\text{Distancia de frenado, en m. } D_p = \frac{Vt}{3.6} + \frac{V^2}{254(f_1 \pm i)} \quad D_p = 25$$

Caso 1: $D_p < L_{min} = L_v$



$$\text{Longitud mínima de curva vertical, en m. } L_{min} = \frac{\theta D_p^2}{2(\sqrt{h_1} + \sqrt{h_2})^2} \quad 11 \text{ FALSO}$$

Caso 2: $L_{min} = L_v < D_p$



$$\text{Longitud mínima de curva vertical, en m. } L_{min} = 2D_p - \frac{2(\sqrt{h_1} + \sqrt{h_2})^2}{\theta} \quad -6.22 \text{ OK}$$

Longitud mínima por comodidad y estética:

La longitud mínima debe ser igual o mayor a la velocidad de proyecto en km/hra.

$$L_{min} (\text{m}) \geq V_p (\text{Km/hr}) \quad L_{min} = 30 \text{ m}$$

Situaciones en que se puede aceptar valores de $L_{min} = L_v < V_p$:

$$\frac{2.24}{D_p} \leq \theta \leq \frac{4.48}{D_p} \quad \left\{ \begin{array}{l} \frac{2.24}{D_p} = 0.0911 \\ \frac{4.48}{D_p} = 0.1822 \end{array} \right. \quad \theta = 0.0808 \longrightarrow L_{min} = \text{Siguiente}$$

$$\theta < \frac{2.24}{D_p} \quad \left[\longrightarrow \right. \quad L_{min} (\text{m}) \geq 0.6V_p (\text{Km/hr}) \quad L_{min} = 18$$

$$\text{Longitud de curva vertical de diseño} \quad L_v = 18 \text{ m}$$

| | | | |
|-------------------------------------|-------|-------|------|
| VELOCIDAD DE PROYECTO | 30 | Km/hr | CV36 |
| LONGITUD DE CURVA VERTICAL | 18 | m | |
| DIFERENCIA ALGEBRAICA DE PENDIENTES | 3.32% | | |

Curvas verticales cóncavas:

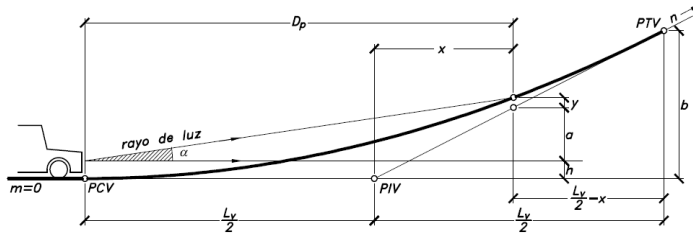
| | | |
|---|--------------------|----------------|
| Angulo de apertura del haz luminoso | $\alpha =$ | 1 ° |
| Altura focos del vehículo | $h =$ | 0.6 |
| Pendiente de entrada a la CV, en decimal. | $m =$ | -4.43% -0.0443 |
| Pendiente de salida a la CV, en decimal. | $n =$ | -1.11% -0.0111 |
| Diferencia algebraica de pendientes | $\theta = m-n =$ | 3.32% 0.0332 |

Distancia de frenado:

| | | |
|--|---------|----------------|
| Velocidad de proyecto (V_p o V^*), en Km/hr. | $V =$ | 30 |
| Tiempo de percepción + Reacción, en seg. | $t =$ | 2 |
| Coeficiente de roce rodante, pavimento húmedo. | $f_1 =$ | 0.42 |
| Pendiente longitudinal, en m/m | $i =$ | -4.43% -0.0443 |

$$\text{Distancia de frenado, en m. } D_p = \frac{Vt}{3.6} + \frac{V^2}{254(f_1 \pm i)} \quad D_p = 26$$

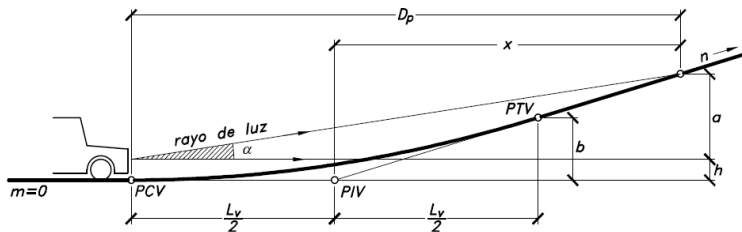
Caso 1: $D_p < L_{min} = L_v$



Longitud mínima de curva vertical, en m.

$$L_{min} = \frac{\theta D_p^2}{2(h + D_p \operatorname{sen} \alpha)} \quad 11 \text{ FALSO}$$

Caso 2: $L_{min} = L_v < D_p$



Longitud mínima de curva vertical, en m.

$$L_{min} = 2D_p - \frac{2(h + D_p \operatorname{sen} \alpha)}{\theta} \quad -11.39 \text{ OK}$$

Longitud mínima por comodidad y estética:

La longitud mínima debe ser igual o mayor a la velocidad de proyecto en km/hra.

$$L_{min} (\text{m}) \geq V_p (\text{Km/hr}) \quad L_{min} = 30 \text{ m}$$

Situaciones en que se puede aceptar valores de $L_{min} = L_v < V_p$:

$$\frac{2.24}{D_p} \leq \theta \leq \frac{4.48}{D_p} \quad \left\{ \begin{array}{l} \frac{2.24}{D_p} = 0.0858 \\ \frac{4.48}{D_p} = 0.1717 \end{array} \right. \quad \theta = 0.0332 \longrightarrow L_{min} = \text{Siguiente}$$

$$\theta < \frac{2.24}{D_p} \quad \left[\longrightarrow \right] \quad L_{min} (\text{m}) \geq 0.6V_p (\text{Km/hr}) \quad L_{min} = 18$$

$$\text{Longitud de curva vertical de diseño} \quad L_v = 18 \text{ m}$$

| | | | |
|-------------------------------------|-------|-------|------|
| VELOCIDAD DE PROYECTO | 30 | Km/hr | CV37 |
| LONGITUD DE CURVA VERTICAL | 18 | m | |
| DIFERENCIA ALGEBRAICA DE PENDIENTES | 2.25% | | |

Curvas verticales cóncavas:

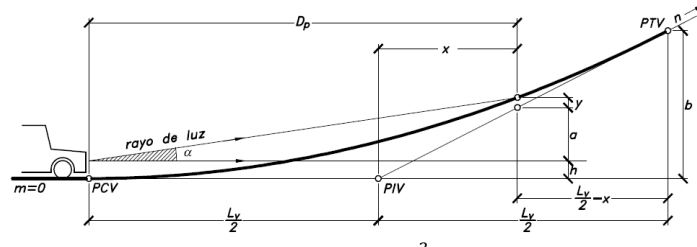
| | | |
|---|--------------------|----------------|
| Angulo de apertura del haz luminoso | $\alpha =$ | 1 ° |
| Altura focos del vehículo | $h =$ | 0.6 |
| Pendiente de entrada a la CV, en decimal. | $m =$ | -1.11% -0.0111 |
| Pendiente de salida a la CV, en decimal. | $n =$ | 1.14% 0.0114 |
| Diferencia algebraica de pendientes | $\theta = m-n =$ | 2.25% 0.0225 |

Distancia de frenado:

| | | |
|--|---------|----------------|
| Velocidad de proyecto (V_p o V^*), en Km/hr. | $V =$ | 30 |
| Tiempo de percepción + Reacción, en seg. | $t =$ | 2 |
| Coeficiente de roce rodante, pavimento húmedo. | $f_1 =$ | 0.42 |
| Pendiente longitudinal, en m/m | $i =$ | -1.11% -0.0111 |

$$\text{Distancia de frenado, en m. } D_p = \frac{Vt}{3.6} + \frac{V^2}{254(f_1 \pm i)} \quad D_p = 25$$

Caso 1: $D_p < L_{min} = L_v$

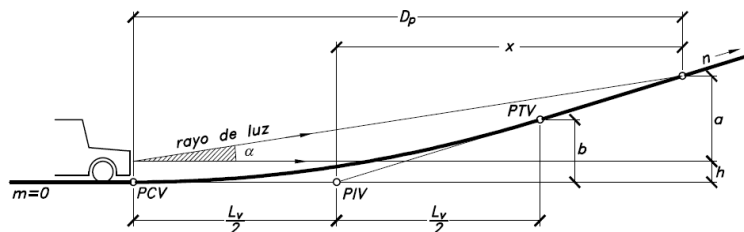


Longitud mínima de curva vertical, en m.

$$L_{min} = \frac{\theta D_p^2}{2(h + D_p \operatorname{sen} \alpha)}$$

7 FALSO

Caso 2: $L_{min} = L_v < D_p$



Longitud mínima de curva vertical, en m.

$$L_{min} = 2D_p - \frac{2(h + D_p \operatorname{sen} \alpha)}{\theta}$$

-41.97 OK

Longitud mínima por comodidad y estética:

La longitud mínima debe ser igual o mayor a la velocidad de proyecto en km/hra.

$$L_{min} (\text{m}) \geq V_p (\text{Km/hr}) \quad L_{min} = 30 \text{ m}$$

Situaciones en que se puede aceptar valores de $L_{min} = L_v < V_p$:

$$\frac{2.24}{D_p} \leq \theta \leq \frac{4.48}{D_p} \quad \left\{ \begin{array}{l} \frac{2.24}{D_p} = 0.0884 \\ \frac{4.48}{D_p} = 0.1769 \end{array} \right. \quad \theta = 0.0225 \longrightarrow L_{min} = \text{Siguiente}$$

$$\theta < \frac{2.24}{D_p} \quad \left[\longrightarrow \right. \quad L_{min} (\text{m}) \geq 0.6V_p (\text{Km/hr}) \quad L_{min} = 18$$

$$\text{Longitud de curva vertical de diseño} \quad L_v = 18 \text{ m}$$

| | | | |
|-------------------------------------|-------|-------|------|
| VELOCIDAD DE PROYECTO | 30 | Km/hr | CV38 |
| LONGITUD DE CURVA VERTICAL | 28 | m | |
| DIFERENCIA ALGEBRAICA DE PENDIENTES | 9.51% | | |

Curvas verticales cóncavas:

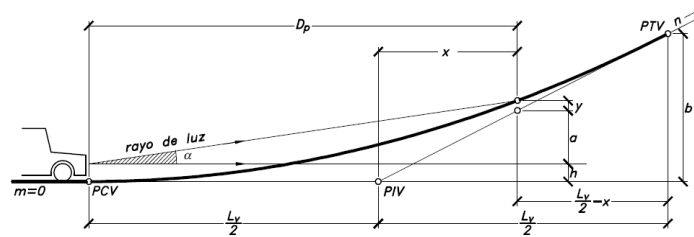
| | | |
|---|--------------------|---------------|
| Angulo de apertura del haz luminoso | $\alpha =$ | 1 ° |
| Altura focos del vehículo | $h =$ | 0.6 |
| Pendiente de entrada a la CV, en decimal. | $m =$ | 1.14% 0.0114 |
| Pendiente de salida a la CV, en decimal. | $n =$ | 10.65% 0.1065 |
| Diferencia algebraica de pendientes | $\Theta = m-n =$ | 9.51% 0.0951 |

Distancia de frenado:

| | | |
|--|---------|--------------|
| Velocidad de proyecto (V_p o V^*), en Km/hr. | $V =$ | 30 |
| Tiempo de percepción + Reacción, en seg. | $t =$ | 2 |
| Coeficiente de roce rodante, pavimento húmedo. | $f_1 =$ | 0.42 |
| Pendiente longitudinal, en m/m | $i =$ | 1.14% 0.0114 |

$$\text{Distancia de frenado, en m. } D_p = \frac{Vt}{3.6} + \frac{V^2}{254(f_1 \pm i)}$$

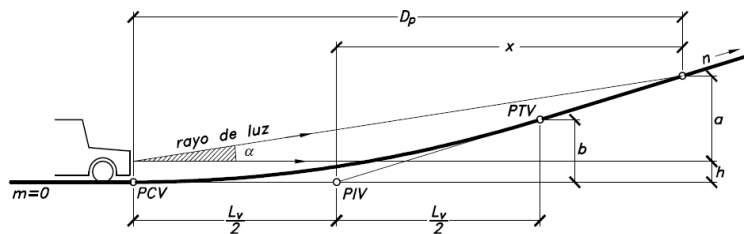
Caso 1: $D_p < L_{min} = L_v$



Longitud mínima de curva vertical, en m.

$$L_{min} = \frac{\theta D_p^2}{2(h + D_p \operatorname{sen} \alpha)} \quad 28 \text{ OK}$$

Caso 2: $L_{min} = L_v < D_p$



Longitud mínima de curva vertical, en m.

$$L_{min} = 2D_p - \frac{2(h + D_p \operatorname{sen} \alpha)}{\theta} \quad 28.01 \text{ FALSO}$$

Longitud mínima por comodidad y estética:

La longitud mínima debe ser igual o mayor a la velocidad de proyecto en km/hra.

$$L_{min} (\text{m}) \geq V_p (\text{Km/hr}) \quad L_{min} = \quad 30 \text{ m}$$

Situaciones en que se puede aceptar valores de $L_{min} = L_v < V_p$:

$$\frac{2.24}{D_p} \leq \theta \leq \frac{4.48}{D_p} \quad \left\{ \begin{array}{l} \frac{2.24}{D_p} = 0.0900 \\ \frac{4.48}{D_p} = 0.1801 \end{array} \right. \quad \theta = 0.0951 \longrightarrow L_{min} = \quad 28.01$$

$$\theta < \frac{2.24}{D_p} \quad \left[\longrightarrow \right] \quad L_{min} (\text{m}) \geq 0.6V_p (\text{Km/hr}) \quad L_{min} = \quad \text{Falso}$$

$$\text{Longitud de curva vertical de diseño} \quad L_v = \quad 28 \text{ m}$$

| | | | |
|-------------------------------------|--------|-------|------|
| VELOCIDAD DE PROYECTO | 30 | Km/hr | CV39 |
| LONGITUD DE CURVA VERTICAL | 70 | m | |
| DIFERENCIA ALGEBRAICA DE PENDIENTES | 21.55% | | |

Curvas verticales convexas:

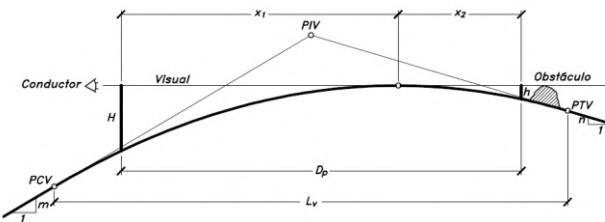
| | | |
|---|----------------------|----------------|
| Altura ojos del conductor, en m. | $h_1 =$ | 1.1 |
| Altura obstáculo fijo, en m | $h_2 =$ | 0.2 |
| Pendiente de entrada a la CV, en decimal. | $m =$ | 10.65% 0.1065 |
| Pendiente de salida a la CV, en decimal. | $n =$ | -10.90% -0.109 |
| Diferencia algebraica de pendientes | $\Theta = lm - nl =$ | 21.55% 0.2155 |

Distancia de frenado:

| | | |
|--|---------|---------------|
| Velocidad de proyecto (V_p o V^*), en Km/hr. | $V =$ | 30 |
| Tiempo de percepción + Reacción, en seg. | $t =$ | 2 |
| Coeficiente de roce rodante, pavimento húmedo. | $f_1 =$ | 0.42 |
| Pendiente longitudinal, en m/m | $i =$ | 10.65% 0.1065 |

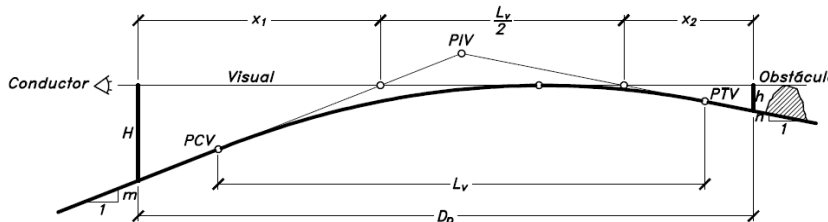
$$\text{Distancia de frenado, en m. } D_p = \frac{Vt}{3.6} + \frac{V^2}{254(f_1 \pm i)} \quad D_p = 23$$

Caso 1: $D_p < L_{min} = L_v$



$$\text{Longitud mínima de curva vertical, en m. } L_{min} = \frac{\theta D_p^2}{2(\sqrt{h_1} + \sqrt{h_2})^2} \quad 26 \text{ OK}$$

Caso 2: $L_{min} = L_v < D_p$



$$\text{Longitud mínima de curva vertical, en m. } L_{min} = 2D_p - \frac{2(\sqrt{h_1} + \sqrt{h_2})^2}{\theta} \quad 26.02 \text{ FALSO}$$

Longitud mínima por comodidad y estética:

La longitud mínima debe ser igual o mayor a la velocidad de proyecto en km/hra.

$$L_{min} (\text{m}) \geq V_p (\text{Km/hr}) \quad L_{min} = 30 \text{ m}$$

Situaciones en que se puede aceptar valores de $L_{min} = L_v < V_p$:

$$\frac{2.24}{D_p} \leq \theta \leq \frac{4.48}{D_p} \quad \left\{ \begin{array}{l} \frac{2.24}{D_p} = 0.0957 \\ \frac{4.48}{D_p} = 0.1915 \end{array} \right. \quad \theta = 0.2155 \longrightarrow L_{min} = 26.02$$

$$\theta < \frac{2.24}{D_p} \quad \left[\longrightarrow \right. \quad L_{min} (\text{m}) \geq 0.6V_p (\text{Km/hr}) \quad L_{min} = \text{Falso}$$

$$\text{Longitud de curva vertical de diseño} \quad L_v = 70 \text{ m}$$

| | | | |
|-------------------------------------|--------|-------|------|
| VELOCIDAD DE PROYECTO | 30 | Km/hr | CV40 |
| LONGITUD DE CURVA VERTICAL | 38 | m | |
| DIFERENCIA ALGEBRAICA DE PENDIENTES | 11.68% | | |

Curvas verticales cóncavas:

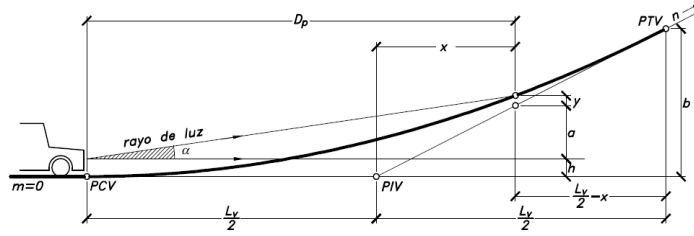
| | | |
|---|--------------------|----------------|
| Angulo de apertura del haz luminoso | $\alpha =$ | 1 ° |
| Altura focos del vehículo | $h =$ | 0.6 |
| Pendiente de entrada a la CV, en decimal. | $m =$ | -10.90% -0.109 |
| Pendiente de salida a la CV, en decimal. | $n =$ | 0.78% 0.0078 |
| Diferencia algebraica de pendientes | $\Theta = m-n =$ | 11.68% 0.1168 |

Distancia de frenado:

| | | |
|--|---------|----------------|
| Velocidad de proyecto (V_p o V^*), en Km/hr. | $V =$ | 30 |
| Tiempo de percepción + Reacción, en seg. | $t =$ | 2 |
| Coeficiente de roce rodante, pavimento húmedo. | $f_1 =$ | 0.42 |
| Pendiente longitudinal, en m/m | $i =$ | -10.90% -0.109 |

$$\text{Distancia de frenado, en m. } D_p = \frac{Vt}{3.6} + \frac{V^2}{254(f_1 \pm i)} \quad D_p = 28$$

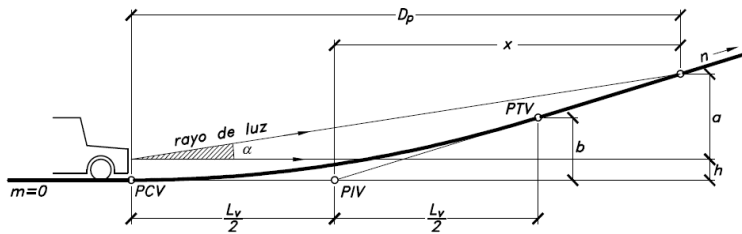
Caso 1: $D_p < L_{min} = L_v$



Longitud mínima de curva vertical, en m.

$$L_{min} = \frac{\theta D_p^2}{2(h + D_p \operatorname{sen} \alpha)} \quad 42 \text{ OK}$$

Caso 2: $L_{min} = L_v < D_p$



Longitud mínima de curva vertical, en m.

$$L_{min} = 2D_p - \frac{2(h + D_p \operatorname{sen} \alpha)}{\theta} \quad 37.46 \text{ FALSO}$$

Longitud mínima por comodidad y estética:

La longitud mínima debe ser igual o mayor a la velocidad de proyecto en km/hra.

$$L_{min} (\text{m}) \geq V_p (\text{Km/hr}) \quad L_{min} = 30 \text{ m}$$

Situaciones en que se puede aceptar valores de $L_{min} = L_v < V_p$:

$$\frac{2.24}{D_p} \leq \theta \leq \frac{4.48}{D_p} \quad \left\{ \begin{array}{l} \frac{2.24}{D_p} = 0.0798 \\ \frac{4.48}{D_p} = 0.1597 \end{array} \right. \quad \theta = 0.1168 \longrightarrow L_{min} = 37.46$$

$$\theta < \frac{2.24}{D_p} \quad \left[\longrightarrow \right] \quad L_{min} (\text{m}) \geq 0.6V_p (\text{Km/hr}) \quad L_{min} = \text{Falso}$$

$$\text{Longitud de curva vertical de diseño} \quad L_v = 38 \text{ m}$$

| | | | |
|-------------------------------------|--------|-------|------|
| VELOCIDAD DE PROYECTO | 30 | Km/hr | CV41 |
| LONGITUD DE CURVA VERTICAL | 36 | m | |
| DIFERENCIA ALGEBRAICA DE PENDIENTES | 11.17% | | |

Curvas verticales cóncavas:

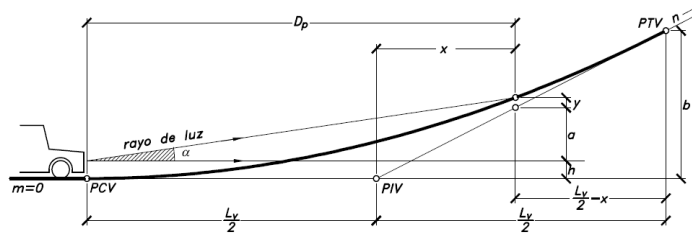
| | | |
|---|--------------------|---------------|
| Angulo de apertura del haz luminoso | $\alpha =$ | 1 ° |
| Altura focos del vehículo | $h =$ | 0.6 |
| Pendiente de entrada a la CV, en decimal. | $m =$ | 0.78% 0.0078 |
| Pendiente de salida a la CV, en decimal. | $n =$ | 11.95% 0.1195 |
| Diferencia algebraica de pendientes | $\Theta = m-n =$ | 11.17% 0.1117 |

Distancia de frenado:

| | | |
|--|---------|--------------|
| Velocidad de proyecto (V_p o V^*), en Km/hr. | $V =$ | 30 |
| Tiempo de percepción + Reacción, en seg. | $t =$ | 2 |
| Coeficiente de roce rodante, pavimento húmedo. | $f_1 =$ | 0.42 |
| Pendiente longitudinal, en m/m | $i =$ | 0.78% 0.0078 |

$$\text{Distancia de frenado, en m. } D_p = \frac{Vt}{3.6} + \frac{V^2}{254(f_1 \pm i)} \quad D_p = 25$$

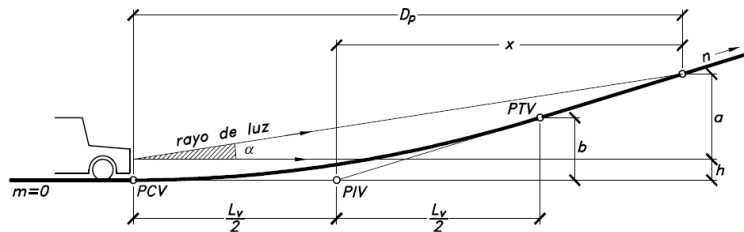
Caso 1: $D_p < L_{min} = L_v$



Longitud mínima de curva vertical, en m.

$$L_{min} = \frac{\theta D_p^2}{2(h + D_p \operatorname{sen} \alpha)} \quad 34 \text{ OK}$$

Caso 2: $L_{min} = L_v < D_p$



Longitud mínima de curva vertical, en m.

$$L_{min} = 2D_p - \frac{2(h + D_p \operatorname{sen} \alpha)}{\theta} \quad 31.36 \text{ FALSO}$$

Longitud mínima por comodidad y estética:

La longitud mínima debe ser igual o mayor a la velocidad de proyecto en km/hra.

$$L_{min} (\text{m}) \geq V_p (\text{Km/hr}) \quad L_{min} = 30 \text{ m}$$

Situaciones en que se puede aceptar valores de $L_{min} = L_v < V_p$:

$$\frac{2.24}{D_p} \leq \theta \leq \frac{4.48}{D_p} \quad \left\{ \begin{array}{l} \frac{2.24}{D_p} = 0.0898 \\ \frac{4.48}{D_p} = 0.1796 \end{array} \right. \quad \theta = 0.1117 \longrightarrow L_{min} = 31.36$$

$$\theta < \frac{2.24}{D_p} \quad \left[\longrightarrow \right] \quad L_{min} (\text{m}) \geq 0.6V_p (\text{Km/hr}) \quad L_{min} = \text{Falso}$$

$$\text{Longitud de curva vertical de diseño} \quad L_v = 36 \text{ m}$$

| | | | |
|-------------------------------------|-------|-------|------|
| VELOCIDAD DE PROYECTO | 30 | Km/hr | CV42 |
| LONGITUD DE CURVA VERTICAL | 18 | m | |
| DIFERENCIA ALGEBRAICA DE PENDIENTES | 4.98% | | |

Curvas verticales convexas:

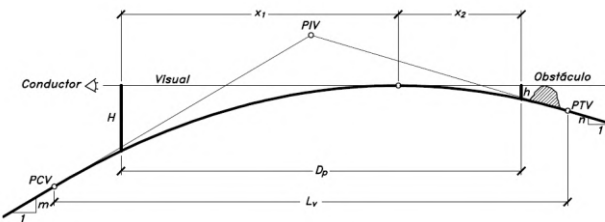
| | | |
|---|--------------------|---------------|
| Altura ojos del conductor, en m. | $h_1 =$ | 1.1 |
| Altura obstáculo fijo, en m | $h_2 =$ | 0.2 |
| Pendiente de entrada a la CV, en decimal. | $m =$ | 11.95% 0.1195 |
| Pendiente de salida a la CV, en decimal. | $n =$ | 6.97% 0.0697 |
| Diferencia algebraica de pendientes | $\Theta = m-n =$ | 4.98% 0.0498 |

Distancia de frenado:

| | | |
|--|---------|---------------|
| Velocidad de proyecto (V_p o V^*), en Km/hr. | $V =$ | 30 |
| Tiempo de percepción + Reacción, en seg. | $t =$ | 2 |
| Coeficiente de roce rodante, pavimento húmedo. | $f_1 =$ | 0.42 |
| Pendiente longitudinal, en m/m | $i =$ | 11.95% 0.1195 |

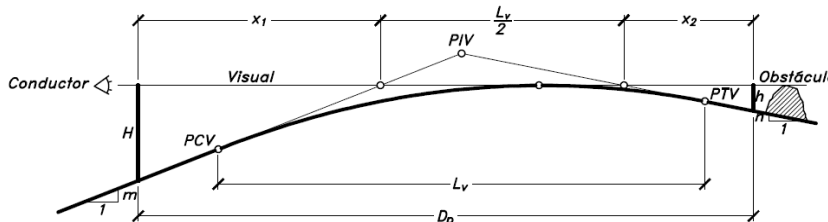
$$\text{Distancia de frenado, en m. } D_p = \frac{Vt}{3.6} + \frac{V^2}{254(f_1 \pm i)} \quad D_p = 23$$

Caso 1: $D_p < L_{min} = L_v$



$$\text{Longitud mínima de curva vertical, en m. } L_{min} = \frac{\theta D_p^2}{2(\sqrt{h_1} + \sqrt{h_2})^2} \quad 6 \text{ FALSO}$$

Caso 2: $L_{min} = L_v < D_p$



$$\text{Longitud mínima de curva vertical, en m. } L_{min} = 2D_p - \frac{2(\sqrt{h_1} + \sqrt{h_2})^2}{\theta} \quad -43.41 \text{ OK}$$

Longitud mínima por comodidad y estética:

La longitud mínima debe ser igual o mayor a la velocidad de proyecto en km/hra.

$$L_{min} (\text{m}) \geq V_p (\text{Km/hr}) \quad L_{min} = 30 \text{ m}$$

Situaciones en que se puede aceptar valores de $L_{min} = L_v < V_p$:

$$\frac{2.24}{D_p} \leq \theta \leq \frac{4.48}{D_p} \quad \left\{ \begin{array}{l} \frac{2.24}{D_p} = 0.0964 \\ \frac{4.48}{D_p} = 0.1928 \end{array} \right. \quad \theta = 0.0498 \longrightarrow L_{min} = \text{Siguiente}$$

$$\theta < \frac{2.24}{D_p} \quad \left[\longrightarrow \right. \quad L_{min} (\text{m}) \geq 0.6V_p (\text{Km/hr}) \quad L_{min} = 18$$

$$\text{Longitud de curva vertical de diseño} \quad L_v = 18 \text{ m}$$

| | | | |
|-------------------------------------|-------|-------|------|
| VELOCIDAD DE PROYECTO | 30 | Km/hr | CV43 |
| LONGITUD DE CURVA VERTICAL | 18 | m | |
| DIFERENCIA ALGEBRAICA DE PENDIENTES | 0.24% | | |

Curvas verticales cóncavas:

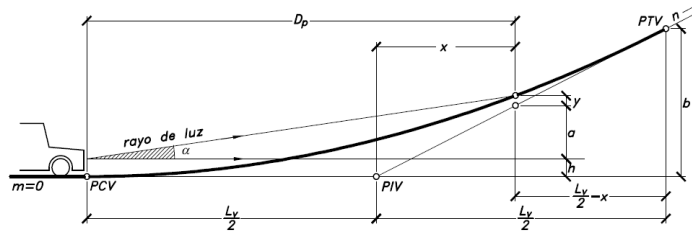
| | | |
|---|--------------------|--------------|
| Angulo de apertura del haz luminoso | $\alpha =$ | 1 ° |
| Altura focos del vehículo | $h =$ | 0.6 |
| Pendiente de entrada a la CV, en decimal. | $m =$ | 6.97% 0.0697 |
| Pendiente de salida a la CV, en decimal. | $n =$ | 6.73% 0.0673 |
| Diferencia algebraica de pendientes | $\theta = m-n =$ | 0.24% 0.0024 |

Distancia de frenado:

| | | |
|--|---------|--------------|
| Velocidad de proyecto (V_p o V^*), en Km/hr. | $V =$ | 30 |
| Tiempo de percepción + Reacción, en seg. | $t =$ | 2 |
| Coeficiente de roce rodante, pavimento húmedo. | $f_1 =$ | 0.42 |
| Pendiente longitudinal, en m/m | $i =$ | 6.97% 0.0697 |

$$\text{Distancia de frenado, en m. } D_p = \frac{Vt}{3.6} + \frac{V^2}{254(f_1 \pm i)} \quad D_p = 24$$

Caso 1: $D_p < L_{min} = L_v$

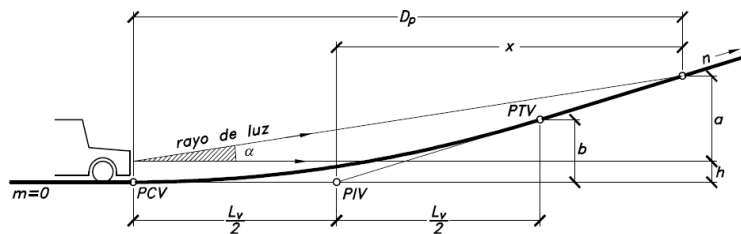


Longitud mínima de curva vertical, en m.

$$L_{min} = \frac{\theta D_p^2}{2(h + D_p \operatorname{sen} \alpha)}$$

1 FALSO

Caso 2: $L_{min} = L_v < D_p$



Longitud mínima de curva vertical, en m.

$$L_{min} = 2D_p - \frac{2(h + D_p \operatorname{sen} \alpha)}{\theta}$$

-799.82 OK

Longitud mínima por comodidad y estética:

La longitud mínima debe ser igual o mayor a la velocidad de proyecto en km/hra.

$$L_{min} (\text{m}) \geq V_p (\text{Km/hr}) \quad L_{min} = 30 \text{ m}$$

Situaciones en que se puede aceptar valores de $L_{min} = L_v < V_p$:

$$\frac{2.24}{D_p} \leq \theta \leq \frac{4.48}{D_p} \quad \left\{ \begin{array}{l} \frac{2.24}{D_p} = 0.0937 \\ \frac{4.48}{D_p} = 0.1874 \end{array} \right. \quad \theta = 0.0024 \longrightarrow L_{min} = \text{Siguiente}$$

$$\theta < \frac{2.24}{D_p} \quad \left[\longrightarrow \right] \quad L_{min} (\text{m}) \geq 0.6V_p (\text{Km/hr}) \quad L_{min} = 18$$

$$\text{Longitud de curva vertical de diseño} \quad L_v = 18 \text{ m}$$

| | | | |
|-------------------------------------|-------|-------|------|
| VELOCIDAD DE PROYECTO | 30 | Km/hr | CV44 |
| LONGITUD DE CURVA VERTICAL | 18 | m | |
| DIFERENCIA ALGEBRAICA DE PENDIENTES | 1.74% | | |

Curvas verticales cóncavas:

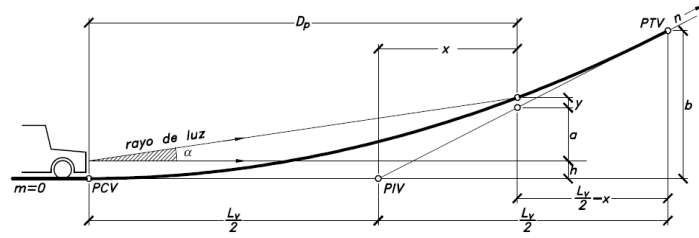
| | | |
|---|--------------------|--------------|
| Angulo de apertura del haz luminoso | $\alpha =$ | 1 ° |
| Altura focos del vehículo | $h =$ | 0.6 |
| Pendiente de entrada a la CV, en decimal. | $m =$ | 6.73% 0.0673 |
| Pendiente de salida a la CV, en decimal. | $n =$ | 8.47% 0.0847 |
| Diferencia algebraica de pendientes | $\theta = m-n =$ | 1.74% 0.0174 |

Distancia de frenado:

| | | |
|--|---------|--------------|
| Velocidad de proyecto (V_p o V^*), en Km/hr. | $V =$ | 30 |
| Tiempo de percepción + Reacción, en seg. | $t =$ | 2 |
| Coeficiente de roce rodante, pavimento húmedo. | $f_1 =$ | 0.42 |
| Pendiente longitudinal, en m/m | $i =$ | 6.73% 0.0673 |

$$\text{Distancia de frenado, en m. } D_p = \frac{Vt}{3.6} + \frac{V^2}{254(f_1 \pm i)} \quad D_p = 24$$

Caso 1: $D_p < L_{min} = L_v$

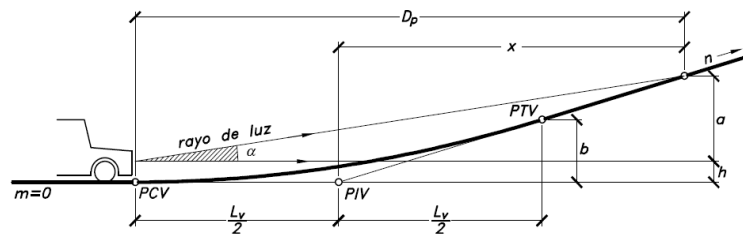


Longitud mínima de curva vertical, en m.

$$L_{min} = \frac{\theta D_p^2}{2(h + D_p \operatorname{sen} \alpha)}$$

5 FALSO

Caso 2: $L_{min} = L_v < D_p$



Longitud mínima de curva vertical, en m.

$$L_{min} = 2D_p - \frac{2(h + D_p \operatorname{sen} \alpha)}{\theta}$$

-69.11 OK

Longitud mínima por comodidad y estética:

La longitud mínima debe ser igual o mayor a la velocidad de proyecto en km/hra.

$$L_{min} (\text{m}) \geq V_p (\text{Km/hr}) \quad L_{min} = 30 \text{ m}$$

Situaciones en que se puede aceptar valores de $L_{min} = L_v < V_p$:

$$\frac{2.24}{D_p} \leq \theta \leq \frac{4.48}{D_p} \quad \left\{ \begin{array}{l} \frac{2.24}{D_p} = 0.0936 \\ \frac{4.48}{D_p} = 0.1872 \end{array} \right. \quad \theta = 0.0174 \longrightarrow L_{min} = \text{Siguiente}$$

$$\theta < \frac{2.24}{D_p} \quad \left[\longrightarrow \right] \quad L_{min} (\text{m}) \geq 0.6V_p (\text{Km/hr}) \quad L_{min} = 18$$

$$\text{Longitud de curva vertical de diseño} \quad L_v = 18 \text{ m}$$

| | | | |
|-------------------------------------|-------|-------|------|
| VELOCIDAD DE PROYECTO | 30 | Km/hr | CV45 |
| LONGITUD DE CURVA VERTICAL | 18 | m | |
| DIFERENCIA ALGEBRAICA DE PENDIENTES | 2.10% | | |

Curvas verticales convexas:

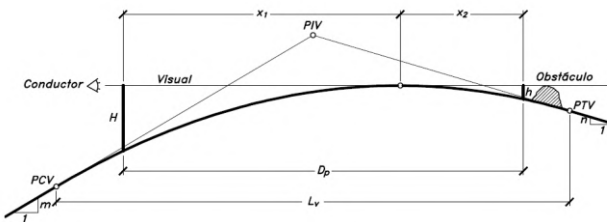
| | | |
|---|--------------------|--------------|
| Altura ojos del conductor, en m. | $h_1 =$ | 1.1 |
| Altura obstáculo fijo, en m | $h_2 =$ | 0.2 |
| Pendiente de entrada a la CV, en decimal. | $m =$ | 8.47% 0.0847 |
| Pendiente de salida a la CV, en decimal. | $n =$ | 6.37% 0.0637 |
| Diferencia algebraica de pendientes | $\theta = m-n =$ | 2.10% 0.021 |

Distancia de frenado:

| | | |
|--|---------|--------------|
| Velocidad de proyecto (V_p o V^*), en Km/hr. | $V =$ | 30 |
| Tiempo de percepción + Reacción, en seg. | $t =$ | 2 |
| Coeficiente de roce rodante, pavimento húmedo. | $f_1 =$ | 0.42 |
| Pendiente longitudinal, en m/m | $i =$ | 8.47% 0.0847 |

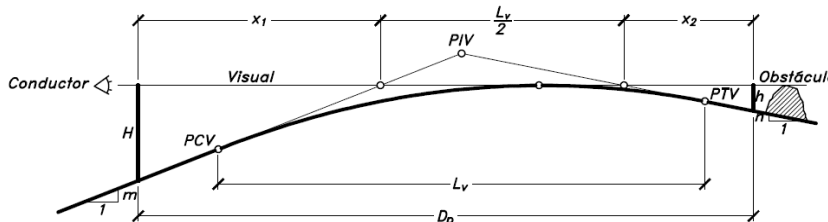
$$\text{Distancia de frenado, en m. } D_p = \frac{Vt}{3.6} + \frac{V^2}{254(f_1 \pm i)} \quad D_p = 24$$

Caso 1: $D_p < L_{min} = L_v$



$$\text{Longitud mínima de curva vertical, en m. } L_{min} = \frac{\theta D_p^2}{2(\sqrt{h_1} + \sqrt{h_2})^2} \quad 3 \text{ FALSO}$$

Caso 2: $L_{min} = L_v < D_p$



$$\text{Longitud mínima de curva vertical, en m. } L_{min} = 2D_p - \frac{2(\sqrt{h_1} + \sqrt{h_2})^2}{\theta} \quad -165.78 \text{ OK}$$

Longitud mínima por comodidad y estética:

La longitud mínima debe ser igual o mayor a la velocidad de proyecto en km/hra.

$$L_{min} (\text{m}) \geq V_p (\text{Km/hr}) \quad L_{min} = 30 \text{ m}$$

Situaciones en que se puede aceptar valores de $L_{min} = L_v < V_p$:

$$\frac{2.24}{D_p} \leq \theta \leq \frac{4.48}{D_p} \quad \left\{ \begin{array}{l} \frac{2.24}{D_p} = 0.0946 \\ \frac{4.48}{D_p} = 0.1891 \end{array} \right. \quad \theta = 0.021 \longrightarrow L_{min} = \text{Siguiente}$$

$$\theta < \frac{2.24}{D_p} \quad \left[\longrightarrow \right] \quad L_{min} (\text{m}) \geq 0.6V_p (\text{Km/hr}) \quad L_{min} = 18$$

$$\text{Longitud de curva vertical de diseño} \quad L_v = 18 \text{ m}$$

| | | | |
|-------------------------------------|-------|-------|------|
| VELOCIDAD DE PROYECTO | 30 | Km/hr | CV46 |
| LONGITUD DE CURVA VERTICAL | 18 | m | |
| DIFERENCIA ALGEBRAICA DE PENDIENTES | 3.73% | | |

Curvas verticales cóncavas:

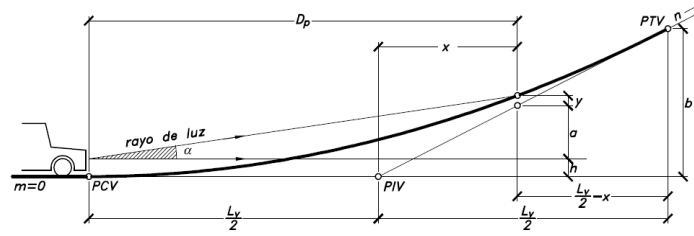
| | | |
|---|--------------------|--------------|
| Angulo de apertura del haz luminoso | $\alpha =$ | 1 ° |
| Altura focos del vehículo | $h =$ | 0.6 |
| Pendiente de entrada a la CV, en decimal. | $m =$ | 6.37% 0.0637 |
| Pendiente de salida a la CV, en decimal. | $n =$ | 10.10% 0.101 |
| Diferencia algebraica de pendientes | $\theta = m-n =$ | 3.73% 0.0373 |

Distancia de frenado:

| | | |
|--|---------|--------------|
| Velocidad de proyecto (V_p o V^*), en Km/hr. | $V =$ | 30 |
| Tiempo de percepción + Reacción, en seg. | $t =$ | 2 |
| Coeficiente de roce rodante, pavimento húmedo. | $f_1 =$ | 0.42 |
| Pendiente longitudinal, en m/m | $i =$ | 6.37% 0.0637 |

$$\text{Distancia de frenado, en m. } D_p = \frac{Vt}{3.6} + \frac{V^2}{254(f_1 \pm i)} \quad D_p = 24$$

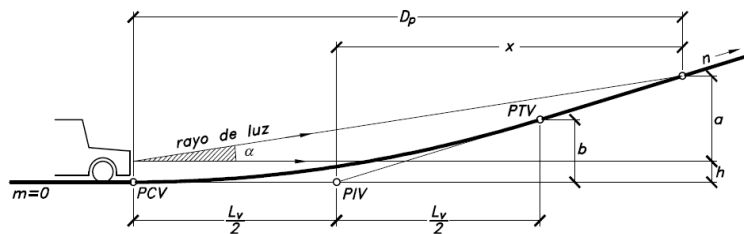
Caso 1: $D_p < L_{min} = L_v$



Longitud mínima de curva vertical, en m.

$$L_{min} = \frac{\theta D_p^2}{2(h + D_p \operatorname{sen} \alpha)} \quad 11 \text{ FALSO}$$

Caso 2: $L_{min} = L_v < D_p$



Longitud mínima de curva vertical, en m.

$$L_{min} = 2D_p - \frac{2(h + D_p \operatorname{sen} \alpha)}{\theta} \quad -6.64 \text{ OK}$$

Longitud mínima por comodidad y estética:

La longitud mínima debe ser igual o mayor a la velocidad de proyecto en km/hra.

$$L_{min} (\text{m}) \geq V_p (\text{Km/hr}) \quad L_{min} = 30 \text{ m}$$

Situaciones en que se puede aceptar valores de $L_{min} = L_v < V_p$:

$$\frac{2.24}{D_p} \leq \theta \leq \frac{4.48}{D_p} \quad \left\{ \begin{array}{l} \frac{2.24}{D_p} = 0.0934 \\ \frac{4.48}{D_p} = 0.1867 \end{array} \right. \quad \theta = 0.0373 \longrightarrow L_{min} = \text{Siguiente}$$

$$\theta < \frac{2.24}{D_p} \quad \left[\longrightarrow \right] \quad L_{min} (\text{m}) \geq 0.6V_p (\text{Km/hr}) \quad L_{min} = 18$$

$$\text{Longitud de curva vertical de diseño} \quad L_v = 18 \text{ m}$$

| | | | |
|-------------------------------------|-------|-------|------|
| VELOCIDAD DE PROYECTO | 30 | Km/hr | CV47 |
| LONGITUD DE CURVA VERTICAL | 18 | m | |
| DIFERENCIA ALGEBRAICA DE PENDIENTES | 3.13% | | |

Curvas verticales convexas:

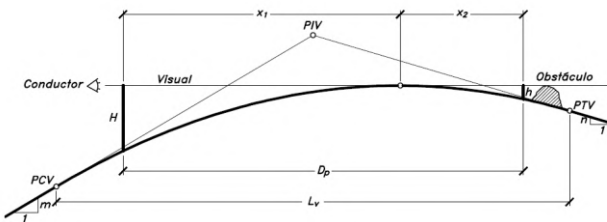
| | | |
|---|--------------------|--------------|
| Altura ojos del conductor, en m. | $h_1 =$ | 1.1 |
| Altura obstáculo fijo, en m | $h_2 =$ | 0.2 |
| Pendiente de entrada a la CV, en decimal. | $m =$ | 10.10% 0.101 |
| Pendiente de salida a la CV, en decimal. | $n =$ | 6.97% 0.0697 |
| Diferencia algebraica de pendientes | $\theta = m-n =$ | 3.13% 0.0313 |

Distancia de frenado:

| | | |
|--|---------|--------------|
| Velocidad de proyecto (V_p o V^*), en Km/hr. | $V =$ | 30 |
| Tiempo de percepción + Reacción, en seg. | $t =$ | 2 |
| Coeficiente de roce rodante, pavimento húmedo. | $f_1 =$ | 0.42 |
| Pendiente longitudinal, en m/m | $i =$ | 10.10% 0.101 |

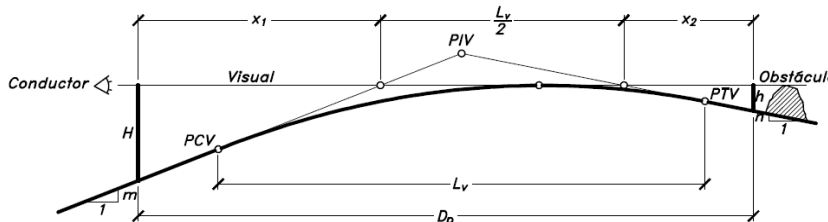
$$\text{Distancia de frenado, en m. } D_p = \frac{Vt}{3.6} + \frac{V^2}{254(f_1 \pm i)} \quad D_p = 23$$

Caso 1: $D_p < L_{min} = L_v$



$$\text{Longitud mínima de curva vertical, en m. } L_{min} = \frac{\theta D_p^2}{2(\sqrt{h_1} + \sqrt{h_2})^2} \quad 4 \text{ FALSO}$$

Caso 2: $L_{min} = L_v < D_p$



$$\text{Longitud mínima de curva vertical, en m. } L_{min} = 2D_p - \frac{2(\sqrt{h_1} + \sqrt{h_2})^2}{\theta} \quad -96.07 \text{ OK}$$

Longitud mínima por comodidad y estética:

La longitud mínima debe ser igual o mayor a la velocidad de proyecto en km/hra.

$$L_{min} (\text{m}) \geq V_p (\text{Km/hr}) \quad L_{min} = 30 \text{ m}$$

Situaciones en que se puede aceptar valores de $L_{min} = L_v < V_p$:

$$\frac{2.24}{D_p} \leq \theta \leq \frac{4.48}{D_p} \quad \left\{ \begin{array}{l} \frac{2.24}{D_p} = 0.0955 \\ \frac{4.48}{D_p} = 0.1909 \end{array} \right. \quad \theta = 0.0313 \longrightarrow L_{min} = \text{Siguiente}$$

$$\theta < \frac{2.24}{D_p} \quad \left[\longrightarrow \right. \quad L_{min} (\text{m}) \geq 0.6V_p (\text{Km/hr}) \quad L_{min} = 18$$

$$\text{Longitud de curva vertical de diseño} \quad L_v = 18 \text{ m}$$

| | | | |
|-------------------------------------|-------|-------|------|
| VELOCIDAD DE PROYECTO | 30 | Km/hr | CV48 |
| LONGITUD DE CURVA VERTICAL | 18 | m | |
| DIFERENCIA ALGEBRAICA DE PENDIENTES | 2.17% | | |

Curvas verticales cóncavas:

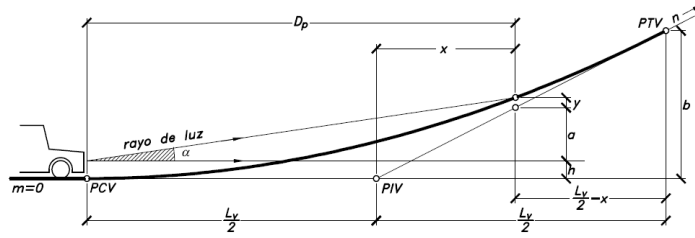
| | | |
|---|--------------------|--------------|
| Angulo de apertura del haz luminoso | $\alpha =$ | 1 ° |
| Altura focos del vehículo | $h =$ | 0.6 |
| Pendiente de entrada a la CV, en decimal. | $m =$ | 6.97% 0.0697 |
| Pendiente de salida a la CV, en decimal. | $n =$ | 9.14% 0.0914 |
| Diferencia algebraica de pendientes | $\theta = m-n =$ | 2.17% 0.0217 |

Distancia de frenado:

| | | |
|--|---------|--------------|
| Velocidad de proyecto (V_p o V^*), en Km/hr. | $V =$ | 30 |
| Tiempo de percepción + Reacción, en seg. | $t =$ | 2 |
| Coeficiente de roce rodante, pavimento húmedo. | $f_1 =$ | 0.42 |
| Pendiente longitudinal, en m/m | $i =$ | 6.97% 0.0697 |

$$\text{Distancia de frenado, en m. } D_p = \frac{Vt}{3.6} + \frac{V^2}{254(f_1 \pm i)}$$

Caso 1: $D_p < L_{min} = L_v$

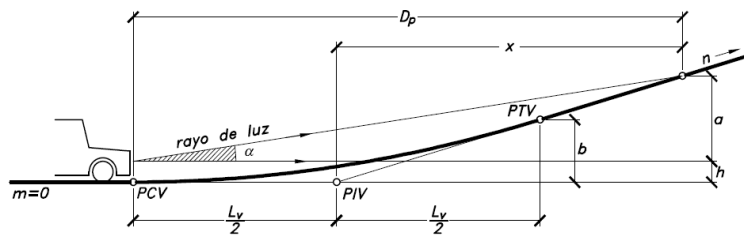


Longitud mínima de curva vertical, en m.

$$L_{min} = \frac{\theta D_p^2}{2(h + D_p \operatorname{sen} \alpha)}$$

6 FALSO

Caso 2: $L_{min} = L_v < D_p$



Longitud mínima de curva vertical, en m.

$$L_{min} = 2D_p - \frac{2(h + D_p \operatorname{sen} \alpha)}{\theta}$$

-45.94 OK

Longitud mínima por comodidad y estética:

La longitud mínima debe ser igual o mayor a la velocidad de proyecto en km/hra.

$$L_{min} (\text{m}) \geq V_p (\text{Km/hr}) \quad L_{min} = \quad 30 \text{ m}$$

Situaciones en que se puede aceptar valores de $L_{min} = L_v < V_p$:

$$\frac{2.24}{D_p} \leq \theta \leq \frac{4.48}{D_p} \quad \left\{ \begin{array}{l} \frac{2.24}{D_p} = 0.0937 \\ \frac{4.48}{D_p} = 0.1874 \end{array} \right. \quad \theta = 0.0217 \longrightarrow L_{min} = \text{Siguiente}$$

$$\theta < \frac{2.24}{D_p} \quad \left[\longrightarrow \right] \quad L_{min} (\text{m}) \geq 0.6V_p (\text{Km/hr}) \quad L_{min} = \quad 18$$

$$\text{Longitud de curva vertical de diseño} \quad L_v = \quad 18 \text{ m}$$

| | | | |
|-------------------------------------|-------|-------|------|
| VELOCIDAD DE PROYECTO | 30 | Km/hr | CV49 |
| LONGITUD DE CURVA VERTICAL | 18 | m | |
| DIFERENCIA ALGEBRAICA DE PENDIENTES | 1.87% | | |

Curvas verticales cóncavas:

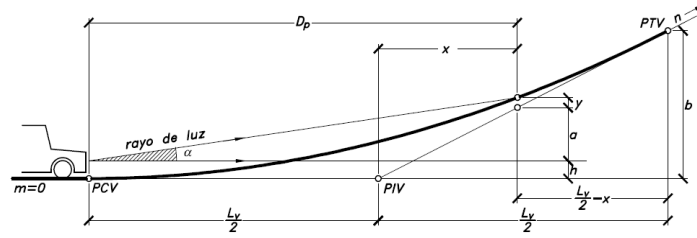
| | | |
|---|--------------------|---------------|
| Angulo de apertura del haz luminoso | $\alpha =$ | 1 ° |
| Altura focos del vehículo | $h =$ | 0.6 |
| Pendiente de entrada a la CV, en decimal. | $m =$ | 9.14% 0.0914 |
| Pendiente de salida a la CV, en decimal. | $n =$ | 11.01% 0.1101 |
| Diferencia algebraica de pendientes | $\theta = m-n =$ | 1.87% 0.0187 |

Distancia de frenado:

| | | |
|--|---------|--------------|
| Velocidad de proyecto (V_p o V^*), en Km/hr. | $V =$ | 30 |
| Tiempo de percepción + Reacción, en seg. | $t =$ | 2 |
| Coeficiente de roce rodante, pavimento húmedo. | $f_1 =$ | 0.42 |
| Pendiente longitudinal, en m/m | $i =$ | 9.14% 0.0914 |

$$\text{Distancia de frenado, en m. } D_p = \frac{Vt}{3.6} + \frac{V^2}{254(f_1 \pm i)}$$

Caso 1: $D_p < L_{min} = L_v$

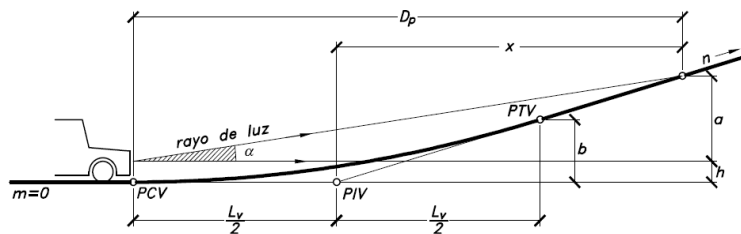


Longitud mínima de curva vertical, en m.

$$L_{min} = \frac{\theta D_p^2}{2(h + D_p \operatorname{sen} \alpha)}$$

5 FALSO

Caso 2: $L_{min} = L_v < D_p$



Longitud mínima de curva vertical, en m.

$$L_{min} = 2D_p - \frac{2(h + D_p \operatorname{sen} \alpha)}{\theta}$$

-61.02 OK

Longitud mínima por comodidad y estética:

La longitud mínima debe ser igual o mayor a la velocidad de proyecto en km/hra.

$$L_{min} (\text{m}) \geq V_p (\text{Km/hr}) \quad L_{min} = \quad 30 \text{ m}$$

Situaciones en que se puede aceptar valores de $L_{min} = L_v < V_p$:

$$\frac{2.24}{D_p} \leq \theta \leq \frac{4.48}{D_p} \quad \left\{ \begin{array}{l} \frac{2.24}{D_p} = 0.0949 \\ \frac{4.48}{D_p} = 0.1899 \end{array} \right. \quad \theta = 0.0187 \longrightarrow L_{min} = \text{Siguiente}$$

$$\theta < \frac{2.24}{D_p} \quad \left[\longrightarrow \right] \quad L_{min} (\text{m}) \geq 0.6V_p (\text{Km/hr}) \quad L_{min} = \quad 18$$

$$\text{Longitud de curva vertical de diseño} \quad L_v = \quad 18 \text{ m}$$

| | | | |
|-------------------------------------|-------|-------|------|
| VELOCIDAD DE PROYECTO | 30 | Km/hr | CV50 |
| LONGITUD DE CURVA VERTICAL | 18 | m | |
| DIFERENCIA ALGEBRAICA DE PENDIENTES | 3.37% | | |

Curvas verticales convexas:

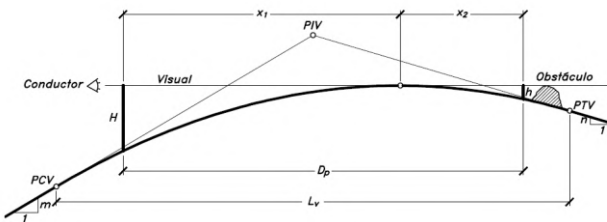
| | | |
|---|--------------------|---------------|
| Altura ojos del conductor, en m. | $h_1 =$ | 1.1 |
| Altura obstáculo fijo, en m | $h_2 =$ | 0.2 |
| Pendiente de entrada a la CV, en decimal. | $m =$ | 11.01% 0.1101 |
| Pendiente de salida a la CV, en decimal. | $n =$ | 7.64% 0.0764 |
| Diferencia algebraica de pendientes | $\theta = m-n =$ | 3.37% 0.0337 |

Distancia de frenado:

| | | |
|--|---------|---------------|
| Velocidad de proyecto (V_p o V^*), en Km/hr. | $V =$ | 30 |
| Tiempo de percepción + Reacción, en seg. | $t =$ | 2 |
| Coeficiente de roce rodante, pavimento húmedo. | $f_1 =$ | 0.42 |
| Pendiente longitudinal, en m/m | $i =$ | 11.01% 0.1101 |

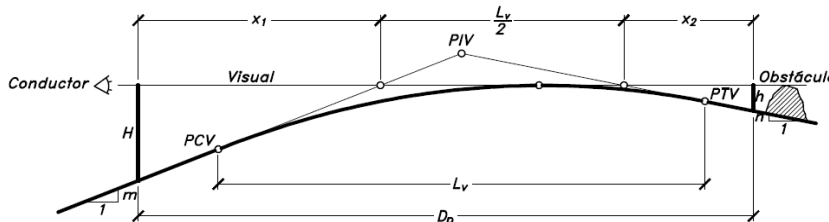
$$\text{Distancia de frenado, en m. } D_p = \frac{Vt}{3.6} + \frac{V^2}{254(f_1 \pm i)} \quad D_p = 23$$

Caso 1: $D_p < L_{min} = L_v$



$$\text{Longitud mínima de curva vertical, en m. } L_{min} = \frac{\theta D_p^2}{2(\sqrt{h_1} + \sqrt{h_2})^2} \quad 4 \text{ FALSO}$$

Caso 2: $L_{min} = L_v < D_p$



$$\text{Longitud mínima de curva vertical, en m. } L_{min} = 2D_p - \frac{2(\sqrt{h_1} + \sqrt{h_2})^2}{\theta} \quad -86.12 \text{ OK}$$

Longitud mínima por comodidad y estética:

La longitud mínima debe ser igual o mayor a la velocidad de proyecto en km/hra.

$$L_{min} (\text{m}) \geq V_p (\text{Km/hr}) \quad L_{min} = 30 \text{ m}$$

Situaciones en que se puede aceptar valores de $L_{min} = L_v < V_p$:

$$\frac{2.24}{D_p} \leq \theta \leq \frac{4.48}{D_p} \quad \left\{ \begin{array}{l} \frac{2.24}{D_p} = 0.0959 \\ \frac{4.48}{D_p} = 0.1919 \end{array} \right. \quad \theta = 0.0337 \longrightarrow L_{min} = \text{Siguiente}$$

$$\theta < \frac{2.24}{D_p} \quad \left[\longrightarrow \right. \quad L_{min} (\text{m}) \geq 0.6V_p (\text{Km/hr}) \quad L_{min} = 18$$

$$\text{Longitud de curva vertical de diseño} \quad L_v = 18 \text{ m}$$

| | | | |
|-------------------------------------|-------|-------|------|
| VELOCIDAD DE PROYECTO | 30 | Km/hr | CV51 |
| LONGITUD DE CURVA VERTICAL | 18 | m | |
| DIFERENCIA ALGEBRAICA DE PENDIENTES | 7.44% | | |

Curvas verticales convexas:

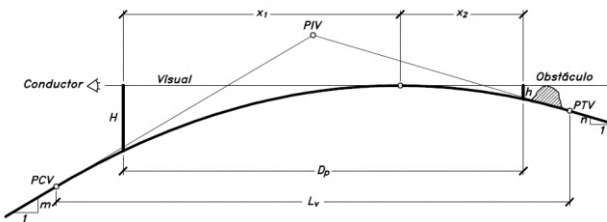
| | | |
|---|--------------------|--------------|
| Altura ojos del conductor, en m. | $h_1 =$ | 1.1 |
| Altura obstáculo fijo, en m | $h_2 =$ | 0.2 |
| Pendiente de entrada a la CV, en decimal. | $m =$ | 7.64% 0.0764 |
| Pendiente de salida a la CV, en decimal. | $n =$ | 0.20% 0.002 |
| Diferencia algebraica de pendientes | $\Theta = m-n =$ | 7.44% 0.0744 |

Distancia de frenado:

| | | |
|--|---------|--------------|
| Velocidad de proyecto (V_p o V^*), en Km/hr. | $V =$ | 30 |
| Tiempo de percepción + Reacción, en seg. | $t =$ | 2 |
| Coeficiente de roce rodante, pavimento húmedo. | $f_1 =$ | 0.42 |
| Pendiente longitudinal, en m/m | $i =$ | 7.64% 0.0764 |

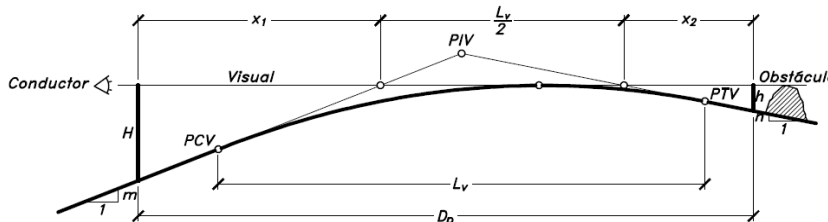
$$\text{Distancia de frenado, en m. } D_p = \frac{Vt}{3.6} + \frac{V^2}{254(f_1 \pm i)} \quad D_p = 24$$

Caso 1: $D_p < L_{min} = L_v$



$$\text{Longitud mínima de curva vertical, en m. } L_{min} = \frac{\theta D_p^2}{2(\sqrt{h_1} + \sqrt{h_2})^2} \quad 9 \text{ FALSO}$$

Caso 2: $L_{min} = L_v < D_p$



$$\text{Longitud mínima de curva vertical, en m. } L_{min} = 2D_p - \frac{2(\sqrt{h_1} + \sqrt{h_2})^2}{\theta} \quad -12.55 \text{ OK}$$

Longitud mínima por comodidad y estética:

La longitud mínima debe ser igual o mayor a la velocidad de proyecto en km/hra.

$$L_{min} (\text{m}) \geq V_p (\text{Km/hr}) \quad L_{min} = 30 \text{ m}$$

Situaciones en que se puede aceptar valores de $L_{min} = L_v < V_p$:

$$\frac{2.24}{D_p} \leq \theta \leq \frac{4.48}{D_p} \quad \left\{ \begin{array}{l} \frac{2.24}{D_p} = 0.0941 \\ \frac{4.48}{D_p} = 0.1882 \end{array} \right. \quad \theta = 0.0744 \longrightarrow L_{min} = \text{Siguiente}$$

$$\theta < \frac{2.24}{D_p} \quad \left[\longrightarrow \right] \quad L_{min} (\text{m}) \geq 0.6V_p (\text{Km/hr}) \quad L_{min} = 18$$

$$\text{Longitud de curva vertical de diseño} \quad L_v = 18 \text{ m}$$

SECCIÓN TRANSVERSAL.

1. Ancho de plataforma

El ancho de los carriles de circulación proviene, generalmente, de adicionar el ancho del vehículo tipo de proyecto adoptado o ancho de seguridad. Ese ancho de seguridad depende de la velocidad directriz, de la categoría del tramo de carretera y de que la calzada tenga uno o ambos sentidos de circulación.

Con la anterior premisa para proyecto la categoría de la vía, es camino en desarrollo con una velocidad de proyecto de 30 km/hr entrando a la tabla 3.1-1 del manual de diseño geométrico de la A.B.C. se define el ancho total de plataforma en 6 m, con dos carriles de 2.5 m, y con bermas de 0.5 m.

2. Pendiente transversal de la calzada.

La inclinación mínima o bombeo, que depende del tipo de superficie de rodadura y de la intensidad de lluvia de una hora de duración, con periodo de retorno de 10 años.

La pendiente trasversal de la calzada se adopta según el siguiente cuadro.

Cuadro N° 1: Bombeos de la calzada [%].

| Tipo de superficie | Pendiente transversal | |
|----------------------------|------------------------------------|------------------------------------|
| | $(I_{10}) \leq 15.0 \text{ mm hr}$ | $(I_{10}) \geq 15.0 \text{ mm hr}$ |
| Pav. De hormigón o asfalto | 2.0 | 2.5 |
| Tratamiento superficial | 3.0 | 3.5 |
| Tierra, grava, chancado | 3.0 -3.5 | 3.5 - 4.0 |

Fuente: Manual de diseño geométrico A.B.C.

Del cuadro N°10 del estudio hidrológico (ver anexos), la intensidad para una duración de una hora con periodo de retorno de 10 años es de 0.7 mm/min (42mm/hra). Por lo tanto, la pendiente del bombeo será de 2.5% según cuadro N°1.

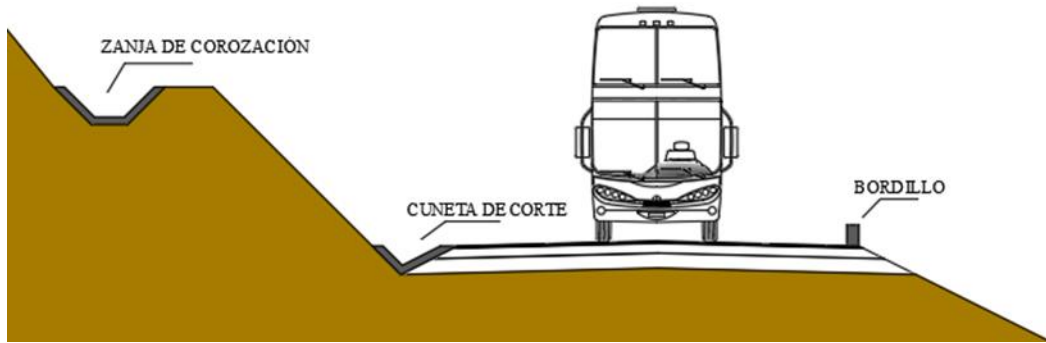
3. Costados de camino

3.1. Sección cunetas

Las cunetas son zanjas longitudinales ubicadas a ambos lados de la carretera o, en su defecto, a un solo lado, revestidas o no revestidas, con el objeto de captar, conducir, y evacuar en forma adecuada los flujos de agua superficial.

La sección transversal puede ser triangular, trapezoidal, o rectangular; en la práctica, la cuneta triangular es la más usada.

Figura N° 1: Sección transversal típica de una carretera



Fuente: Apuntes del ing. Limberth Campos Barrera.

El talud interior (**Z₁ H: 1V**) de una cuneta está en función de la velocidad de proyecto asumido y el volumen de tráfico de la carretera, como se indica en el Cuadro N° 2.

Cuadro N° 2: Valores de diseño de talud interior Z1

| Valores de diseño de talud interior Z1 | | |
|--|---|---------|
| Velocidad de diseño (km/hr) | Trafico promedio diario (número de vehículos día) | |
| | ≤ 750 | > 750 |
| ≤ 70 | 2:1* | 3:1 |
| | 3:1 | 3:1 |
| > 70 | 3:1 | 4:1 |

Fuente: Ministerio de transportes y comunicaciones, Perú

Las dimensiones mínimas a considerar para las cunetas, está en función al clima, como se muestra en el cuadro N° 3.

Cuadro N° 3: Dimensiones mínimas de cunetas de sección triangular

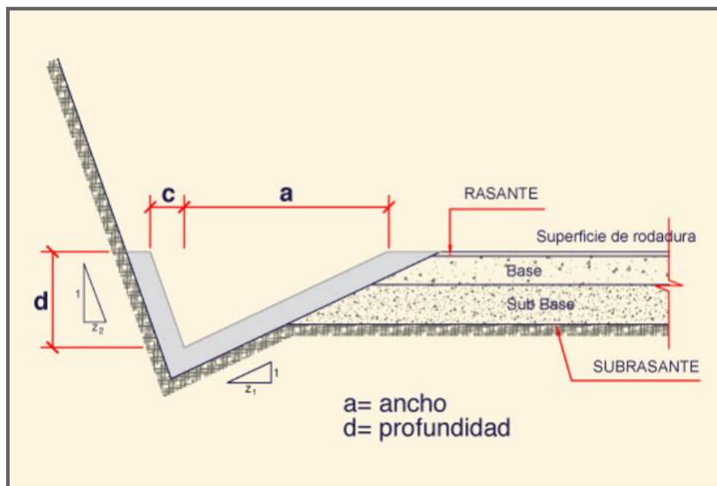
| Dimensiones mínimas de cunetas de sección triangular | | | |
|--|--------------------------------|-------------------|-------------|
| Clima | Precipitación media anual (mm) | Profundidad d (m) | Ancho a (m) |
| Árido | $P \leq 400$ | 0.2 | 0.5 |
| Semiárido a subhúmedo | $400 < P \leq 1600$ | 0.3 | 0.75 |
| húmedo | $1600 < P \leq 3200$ | 0.4 | 1.2 |
| Híper húmedo | $P > 3200$ | 0.3* | 1.2 |

*sección trapezoidal, con ancho de fondo $b = 0.3$ m como mínimo

Fuente: Ministerio de transportes y comunicaciones, Perú

El ancho “a” se mide desde el borde de la cuneta adyacente a la plataforma, hasta la vertical que pasa por el vértice inferior. La profundidad “d” se mide verticalmente desde el nivel del borde de la rasante hasta el fondo o vértice de la cuneta triangular.

Figura N° 2: Sección típica de una cuneta triangular.



Fuente: Drenaje de carreteras, Victor Miguel Ponce

Según recomendaciones indicadas el talud interior de la cuneta tomara la relación de 2H:1V, debido a que la velocidad de proyecto es de 30 km/hora y el tráfico vehicular diario es menor a 750 vehículos/día. Como se muestra en el cuadro N° 2.

El talud exterior **Z₂** usualmente sigue la inclinación del talud del corte adyacente.

Las dimensiones mínimas de las cunetas al estar en función del clima, se toma como estación base la estación meteorológica de Yesera Norte con 42 años de registro de datos de precipitación anual (cuadro N° 4), obteniendo del mismo una precipitación media anual de 659 mm. Con este valor el tipo de clima del tramo en estudio se caracteriza como semiárido a sub húmedo, como se muestra en el cuadro N° 3. Y de esta manera se lograría a definir que las dimensiones mínimas de las cunetas tendrían un ancho mínimo $a= 0.75$ m y la profundidad mínima $d=0.3$ m.

Cuadro N° 4: Precipitación anual, Estación Yesera Norte

| Nº | Precipitación anual (mm) | Nº | Precipitación anual (mm) | Nº | Precipitación anual (mm) |
|----|--------------------------|----|--------------------------|----|--------------------------|
| 1 | 728.7 | 15 | 669 | 29 | 717.5 |
| 2 | 755.2 | 16 | 469.5 | 30 | 933.8 |
| 3 | 752.8 | 17 | 597 | 31 | 603.5 |
| 4 | 566.9 | 18 | 678 | 32 | 525 |
| 5 | 875.2 | 19 | 616.5 | 33 | 665.5 |
| 6 | 707.8 | 20 | 494.5 | 34 | 621.6 |
| 7 | 403.1 | 21 | 652.5 | 35 | 713.3 |
| 8 | 986.9 | 22 | 632.5 | 36 | 592.5 |
| 9 | 716.7 | 23 | 603 | 37 | 786.2 |
| 10 | 820.3 | 24 | 505.5 | 38 | 594 |
| 11 | 599.1 | 25 | 684.2 | 39 | 551.7 |
| 12 | 693 | 26 | 561.1 | 40 | 716.6 |
| 13 | 620.5 | 27 | 693.8 | 41 | 598.8 |
| 14 | 597 | 28 | 737 | 42 | 662 |

Fuente: Senamhi, Tarija

3.2. Sección taludes

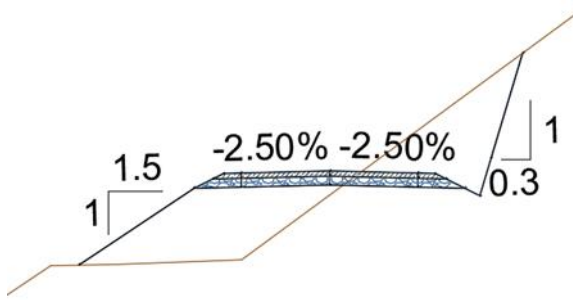
Los objetivos de los cortes y rellenos comunes en caminos son: crear espacio para el camino; para balancear las cantidades de materiales de corte y de relleno; permanecer estables con el paso del tiempo; no ser causa de la formación de sedimentos; y minimizar los costos a largo plazo.

Con la premisa indicada consideramos en lo posible, mantener sus taludes actuales que permanecen estables, este talud en corte es 0.3 en horizontal y 1 en vertical, y para terraplenes 1.5 en horizontal y 1 en vertical.

4. Secciones transversales representativa

Por lo indicado en secciones anteriores, el tipo de sección transversal que conformara el camino se muestra en la siguiente figura y cuadro.

Figura N° 3: Sección transversal



Fuente: Elaboración propia

Cuadro N° 5: Dimensiones de sección transversal

| Descripción | Parámetro |
|--|-----------|
| Ancho de pista | 2.5 m |
| Ancho de berma | 0.5 m |
| Ancho total plataforma | 6.0 m |
| Espesor de capa base | 0.15 m |
| Espesor de capa sub base | 0.25 m |
| Pendiente transversal | 2.5 % |
| Talud de relleno | 1V: 1.5H |
| Talud de corte | 1V: 0.3H |
| Talud interior de cuneta (Z1) | 1V:2H |
| Talud exterior de cuneta (Z2) | 1V:0.3H |
| Espesor de hormigón de cunetas | 0.1 m |
| Ancho a (parámetro de cuneta) | 0.85 m |
| Profundidad d (parámetro de cuneta) | 0.4 m |

Fuente: Elaboración propia

MOVIMIENTO DE TIERRAS

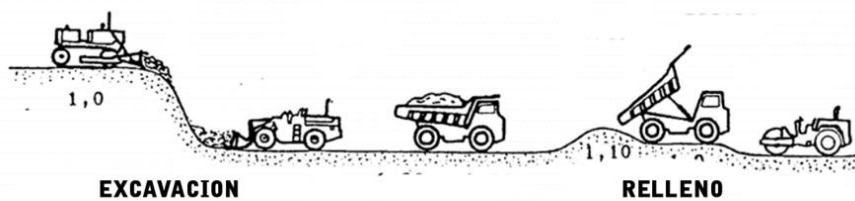
1. Introducción

Se entiende por movimiento de tierras al conjunto de actuaciones a realizarse en un terreno para la ejecución de una obra. Dicho conjunto de movimiento se desarrollará de forma mecánica y para lograr esto se desarrollará en base al diagrama curva masa el cual nos ayudará a definir la distancia de libre acarreo, excedente de terraplén, excedente de corte, exceso de transporte, sobrante o faltante, distancia económica de transporte.

2. Concepto de diagrama de masas.

Curva de masa o diagrama de masa, es el estudio de la distribución, y movimiento de las cantidades de corte y de relleno.

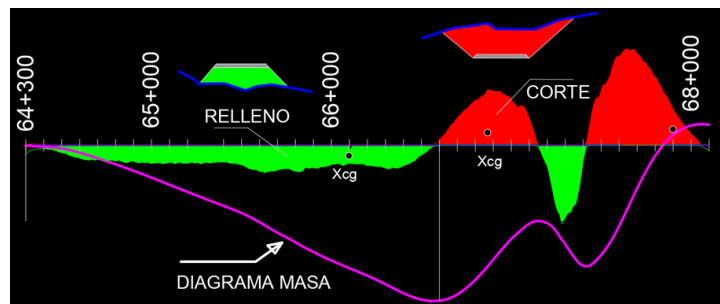
Imagen N° 1. Volumen aparente en movimiento de tierras



Fuente: Manual de movimiento de tierras, Juan Ch & Andrés

Es un diagrama en la cual las ordenadas representan los volúmenes acumulados de cortes y rellenos, y las abscisas las progresivas.

Imagen N° 2. Esquema de diagrama masa



Fuente: Elaboración propia

2.1. Objetivos del diagrama de masas

El objetivo del diagrama de masas es de cuantificar y distribuir los materiales de corte y relleno en movimiento de tierras.

Los objetivos específicos de una curva masa son los siguientes:

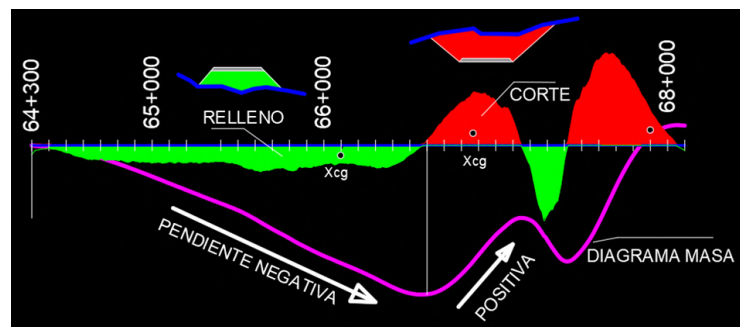
- Compensar volúmenes de corte a relleno (Mediante una línea de compensación)
- Fijar el sentido de los movimientos del material
- Fijar los límites del acarreo libre (Es el transporte sin costo)
- Calcular las distancias de sobre acarreo (Es el transporte con costo)
- Calcular los volúmenes de Bancos de préstamos y desperdicios.

2.2. Propiedades del diagrama de masas

En pendientes positivas indica que existe corte.

En pendientes negativas indica que existe relleno.

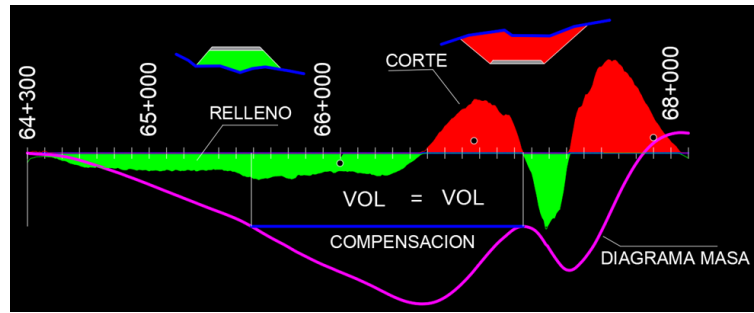
Imagen N° 3. Propiedades del diagrama masa



Fuente: Elaboración propia

Cualquier línea horizontal que intercepta a la curva de diagrama de masas indica que existe la misma cantidad de volumen de corte y de relleno, se denomina línea de compensación.

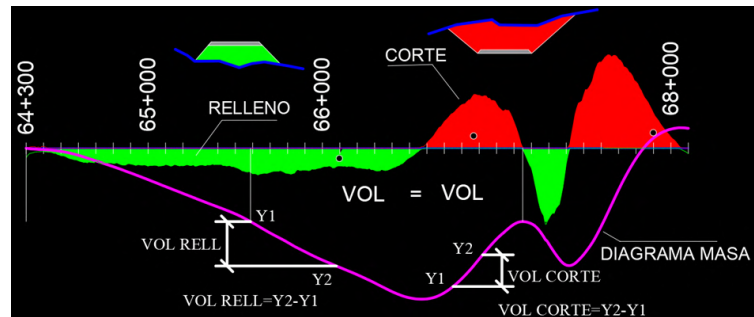
Imagen N° 4. Línea de compensación del diagrama masa



Fuente: Elaboración propia

La diferencia de cotas entre dos puntos representa el volumen de corte si la pendiente es positiva, y rellenos si la pendiente es negativa.

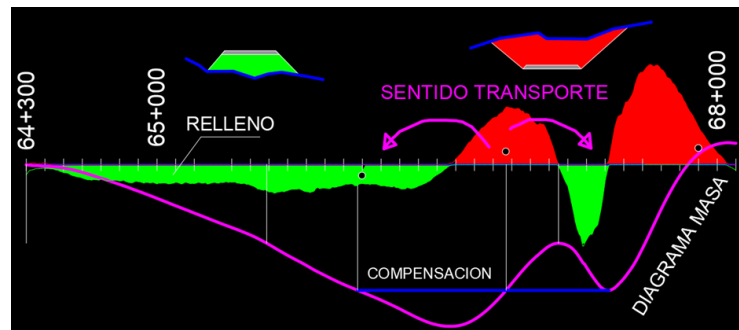
Imagen N° 5. Cotas de volúmenes del diagrama masa



Fuente: Elaboración propia

En sectores donde la curva masa esta sobre la línea de compensación el transporte será ascendente de izquierda a derecha y si está bajo la línea de compensación el sentido del transporte será descendente de derecha a izquierda.

Imagen N° 6. Dirección de movimiento de tierras en el diagrama masa



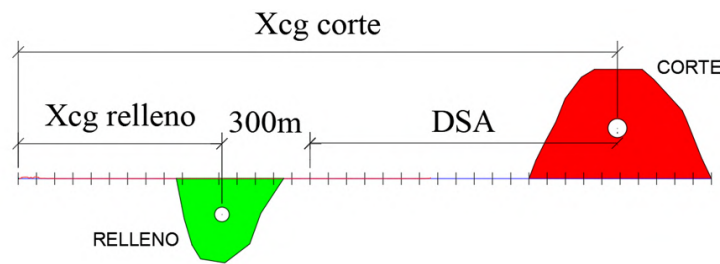
Fuente: Elaboración propia

3. Distancia de libre acarreo (DLA)

Es la distancia que se adopta en el diseño de una carretera, en la cual los volúmenes del material de corte no son transportados a los terraplenes utilizando volquetas, sino acarreando material con el mismo equipo pesado, esta distancia libre de acarreo es un volumen que no se considera para pago. Con lo mencionado adoptamos como distancia de libre acarreo de 300 metros y al volumen que se encuentra dentro esta distancia lo denominaremos volumen compensado.

4. Distancia de sobre acarreo

Imagen N° 7. Esquema para deducir la distancia de sobre acarreo



Fuente: Elaboración propia

De la imagen se puede deducir la siguiente expresión matemática:

$$DSA = (X_{cg\ corte} - X_{cg\ relleno}) - 300m$$

Donde:

DSA = Distancia de sobre acarreo.

$X_{cg\ corte}$ = Centro de gravedad de corte.

$X_{cg\ relleno}$ = Centro de gravedad de relleno.

El sobre acarreo se mide en unidades de $[m^3 \cdot km]$, esto quiere decir que el sobre acarreo es la multiplicación del volumen del material por la distancia de sobre acarreo.

La expresión de sobre acarreo (SA), es:

$$SA = DSA \cdot VOL.$$

5. Excedente de terraplén

Considerando que los volúmenes están fuera de la distancia libre de acarreo, son excedentes cuando el diagrama masa tiene una dirección descendente y es considerada como excedente de terraplén, cuyo valor se obtiene directamente en el diagrama de los volúmenes acumulados.

6. Excedente de corte

Todos los volúmenes que están fuera de la distancia libre de acarreo son excedentes, que deben ser considerados como volúmenes a transportarse del corte al terraplén, considerando volúmenes que requiere el terraplén para su conformación. En el caso de excedente de corte se identifica en el diagrama curva masa en la parte ascendente. Su determinación numérica se realiza directamente en la gráfica a la escala volumétrica.

7. Exceso de transporte

Los sectores del diagrama que tienen excedentes de corte, ese material tiene dos posibilidades de ser transportados. 1) transportar a un sector de terraplén 2) transportar a un sector de buzón.

En el diseño geométrico se considera todos los cortes prioritariamente deben cubrir volúmenes de terraplén, desde el punto de vista constructivo y también depende de otros factores como la calidad de los materiales.

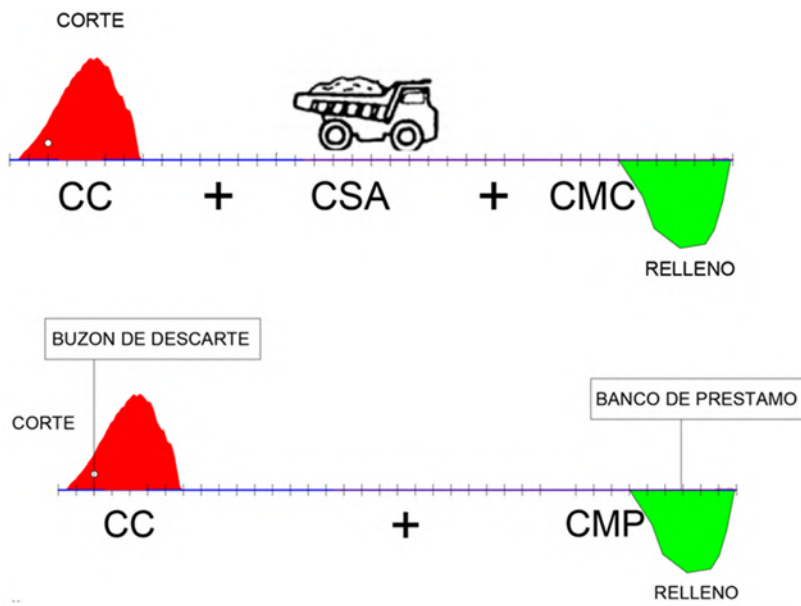
8. Sobrante o faltante

Al final del diagrama masa el último punto puede quedar por encima de la línea de balance, siendo en ese caso un sobrante de material de corte. O puede quedar por debajo de la línea de balance, en cuyo caso se convierte en un faltante de material.

9. Distancia económica de transporte

Como el diagrama masa permite determinar los excesos de transporte es importante definir cuando es conveniente transportar los volúmenes de corte a terraplén en comparación de traer material compensado desde un material de préstamo al terraplén, para ello se define la distancia económica de transporte que es aquella que se toma como referencia, para validar los excesos de transporte.

Imagen N° 8. Esquema para deducir la distancia de sobre acarreo



Fuente: Elaboración propia

Si el material de corte es bueno, el objetivo del ingeniero debe tener la tendencia a que todo el material de corte entre al terraplén.

Si el material es malo, llevar a terrenos como ser a buzones. El buzón elige el ingeniero ambiental.

La distancia económica sirve para evaluar si es conveniente transportar el material.

La expresión matemática para deducir la distancia de acarreo económico, es:

$$CC + CSA * (DAE - DLA) + CMC = CC + CMP$$

$$DAE = (CMP - CMC) / CSA + DLA$$

Donde:

CC = Costo de corte, en Bs/m³.

CSA = Costo de sobre acarreo, en Bs/(m³*km.)

CMC = Costo relleno con material de corte, en Bs/m³.

CMP = Costo relleno con material de préstamo, en Bs/m³.

DLA = Distancia de libre acarreo, en km.

DAE = Distancia de acarreo económico, en Km.

10. Distancia máxima de sobre acarreo

La distancia máxima de sobre acarreo se consideró de 1800 metros. En base a esta distancia podremos hacer la distribución de suelos, el mismo estará reflejado en un plano de diagrama de curva masa. Para la distribución de tierras se considera que, en todo el tramo, los cortes presentan suelos de buenas condiciones para hacer los terraplenes.

10.1. Movimientos de tierras

10.1.1. Diagrama curva masa

Los volúmenes que se muestran en el siguiente cuadro son determinados con la ayuda del AutoCAD Civil 3D y a partir del mismo es posible determinar el diagrama curva masa como se muestra en la imagen.

Al realizar movimientos de tierras resulta que el suelo natural tiende a expandirse y en terraplenes tiende a comprimirse, por tal razón al volumen de terraplén es afectado por el factor de 1.1.

Cuadro N° 1. Diagrama curva masa, Carlazo Centro-Carlazo Este

| Progresiva | Área de corte (m ²) | Área de relleno (m ²) | Volumen de corte (m ³) | Volumen de relleno (m ³) | Masa (m ³) |
|------------|---------------------------------|-----------------------------------|------------------------------------|--------------------------------------|------------------------|
| 0+000 | 3.95 | 0.31 | 0 | 0 | 0 |
| 0+020 | 34.57 | 0 | 385.2 | 3.41 | 381.79 |
| 0+040 | 25.25 | 0 | 598.2 | 0 | 979.99 |
| 0+060 | 15.79 | 0 | 410.4 | 0 | 1390.39 |
| 0+080 | 7.43 | 0.2 | 232.2 | 2 | 1620.59 |
| 0+100 | 2.68 | 0.08 | 101.1 | 2.8 | 1718.89 |
| 0+120 | 2.83 | 0.08 | 55.1 | 1.6 | 1772.39 |
| 0+140 | 2.16 | 0.33 | 49.9 | 4.1 | 1818.19 |
| 0+160 | 2.96 | 0.05 | 51.2 | 3.8 | 1865.59 |
| 0+180 | 2.42 | 0.11 | 53.8 | 1.6 | 1917.79 |
| 0+200 | 1.88 | 0.24 | 43 | 3.5 | 1957.29 |
| 0+220 | 1.45 | 0.4 | 33.3 | 6.4 | 1984.19 |
| 0+240 | 0.91 | 0.41 | 23.6 | 8.1 | 1999.69 |
| 0+260 | 0.71 | 1.22 | 16.2 | 16.3 | 1999.59 |
| 0+280 | 1.09 | 4.31 | 18 | 55.3 | 1962.29 |
| 0+290 | 1.51 | 4.2 | 13 | 42.55 | 1932.74 |
| 0+300 | 2.91 | 2.76 | 22.1 | 34.8 | 1920.04 |
| 0+310 | 4.01 | 1.9 | 34.6 | 23.3 | 1931.34 |
| 0+320 | 3.26 | 0.77 | 36.35 | 13.35 | 1954.34 |
| 0+340 | 2.21 | 0.32 | 54.7 | 10.9 | 1998.14 |
| 0+360 | 1.84 | 0.54 | 40.5 | 8.6 | 2030.04 |
| 0+380 | 1.62 | 0.4 | 34.6 | 9.4 | 2055.24 |
| 0+400 | 0.26 | 1.14 | 18.8 | 15.4 | 2058.64 |
| 0+420 | 0 | 3.08 | 2.6 | 42.2 | 2019.04 |
| 0+440 | 0 | 5.1 | 0 | 81.8 | 1937.24 |
| 0+460 | 0.3 | 1.19 | 3 | 62.9 | 1877.34 |
| 0+480 | 0.45 | 0.42 | 7.5 | 16.1 | 1868.74 |
| 0+500 | 1.55 | 1.06 | 20 | 14.8 | 1873.94 |
| 0+520 | 2.09 | 0.97 | 36.4 | 20.3 | 1890.04 |
| 0+530 | 2.48 | 0.87 | 22.85 | 9.2 | 1903.69 |
| 0+540 | 1.62 | 0.97 | 20.5 | 9.2 | 1914.99 |
| 0+550 | 0.07 | 1.97 | 8.45 | 14.7 | 1908.74 |
| 0+560 | 0 | 2.55 | 0.35 | 22.6 | 1886.49 |
| 0+580 | 0 | 2.11 | 0 | 46.6 | 1839.89 |

| Progresiva | Área de corte (m2) | Área de relleno (m2) | Volumen de corte (m3) | Volumen de relleno (m3) | Masa (m3) |
|------------|--------------------|----------------------|-----------------------|-------------------------|-----------|
| 0+600 | 0.47 | 0.57 | 4.7 | 26.8 | 1817.79 |
| 0+620 | 0.9 | 0.33 | 13.7 | 9 | 1822.49 |
| 0+640 | 0.41 | 1.14 | 13.1 | 14.7 | 1820.89 |
| 0+660 | 0.6 | 0.87 | 10.1 | 20.1 | 1810.89 |
| 0+680 | 0 | 2.86 | 6 | 37.3 | 1779.59 |
| 0+700 | 0 | 3.41 | 0 | 62.7 | 1716.89 |
| 0+720 | 0 | 3.72 | 0 | 71.3 | 1645.59 |
| 0+740 | 0.08 | 2.13 | 0.8 | 58.5 | 1587.89 |
| 0+760 | 3.16 | 0.69 | 32.4 | 28.2 | 1592.09 |
| 0+770 | 3.93 | 0.08 | 35.45 | 3.85 | 1623.69 |
| 0+780 | 2.69 | 0.25 | 33.1 | 1.65 | 1655.14 |
| 0+800 | 0.24 | 1.01 | 29.3 | 12.6 | 1671.84 |
| 0+820 | 2.58 | 0.61 | 28.2 | 16.2 | 1683.84 |
| 0+840 | 4.76 | 0.17 | 73.4 | 7.8 | 1749.44 |
| 0+860 | 4.97 | 0.25 | 97.3 | 4.2 | 1842.54 |
| 0+880 | 0 | 30.03 | 49.7 | 302.8 | 1589.44 |
| 0+900 | 0 | 62.69 | 0 | 927.2 | 662.24 |
| 0+920 | 27.69 | 0.31 | 276.9 | 630 | 309.14 |
| 0+930 | 26.99 | 0 | 273.4 | 1.55 | 580.99 |
| 0+940 | 24.4 | 0 | 256.95 | 0 | 837.94 |
| 0+950 | 6.78 | 0.87 | 155.9 | 4.35 | 989.49 |
| 0+960 | 0 | 18.62 | 33.9 | 97.45 | 925.94 |
| 0+980 | 0.43 | 5.92 | 4.3 | 245.4 | 684.84 |
| 1+000 | 8.94 | 0.04 | 93.7 | 59.6 | 718.94 |
| 1+020 | 3.32 | 1.94 | 122.6 | 19.8 | 821.74 |
| 1+040 | 1.72 | 5.91 | 50.4 | 78.5 | 793.64 |
| 1+060 | 2.04 | 2.97 | 37.6 | 88.8 | 742.44 |
| 1+080 | 0.64 | 3.23 | 26.8 | 62 | 707.24 |
| 1+100 | 0.92 | 1.87 | 15.6 | 51 | 671.84 |
| 1+120 | 0.4 | 1.69 | 13.2 | 35.6 | 649.44 |
| 1+140 | 3.2 | 0.72 | 36 | 24.1 | 661.34 |
| 1+160 | 5.21 | 1.48 | 84.1 | 22 | 723.44 |
| 1+180 | 4.89 | 0.54 | 101 | 20.2 | 804.24 |
| 1+200 | 3.64 | 1.03 | 85.3 | 15.7 | 873.84 |
| 1+220 | 2.91 | 2.08 | 65.5 | 31.1 | 908.24 |
| 1+230 | 1.91 | 2.39 | 24.1 | 22.35 | 909.99 |
| 1+240 | 0.55 | 2.7 | 12.3 | 25.45 | 896.84 |
| 1+250 | 0 | 4.01 | 2.75 | 33.55 | 866.04 |
| 1+260 | 0 | 3.21 | 0 | 36.1 | 829.94 |
| 1+280 | 0.78 | 0.55 | 7.8 | 37.6 | 800.14 |
| 1+300 | 2.24 | 0 | 30.2 | 5.5 | 824.84 |

| Progresiva | Área de corte (m ²) | Área de relleno (m ²) | Volumen de corte (m ³) | Volumen de relleno (m ³) | Masa (m ³) |
|------------|---------------------------------|-----------------------------------|------------------------------------|--------------------------------------|------------------------|
| 1+320 | 1.44 | 0.85 | 36.8 | 8.5 | 853.14 |
| 1+340 | 2.28 | 5.66 | 37.2 | 65.1 | 825.24 |
| 1+350 | 2.08 | 9.37 | 21.8 | 75.15 | 771.89 |
| 1+360 | 2.82 | 7.91 | 24.5 | 86.4 | 709.99 |
| 1+370 | 3.29 | 6.2 | 30.55 | 70.55 | 669.99 |
| 1+380 | 7.16 | 1.33 | 52.25 | 37.65 | 684.59 |
| 1+400 | 9.88 | 0 | 170.4 | 13.3 | 841.69 |
| 1+420 | 5.72 | 0.04 | 156 | 0.4 | 997.29 |
| 1+440 | 3.19 | 0.42 | 89.1 | 4.6 | 1081.79 |
| 1+460 | 4.68 | 0.08 | 78.7 | 5 | 1155.49 |
| 1+480 | 4.96 | 0.04 | 96.4 | 1.2 | 1250.69 |
| 1+500 | 5.09 | 0.91 | 100.5 | 9.5 | 1341.69 |
| 1+510 | 5.09 | 0.77 | 50.9 | 8.4 | 1384.19 |
| 1+520 | 10.93 | 0.06 | 80.1 | 4.15 | 1460.14 |
| 1+540 | 25.41 | 0 | 363.4 | 0.6 | 1822.94 |
| 1+560 | 38.62 | 0 | 640.3 | 0 | 2463.24 |
| 1+580 | 52.07 | 0 | 906.9 | 0 | 3370.14 |
| 1+590 | 52.2 | 0 | 521.35 | 0 | 3891.49 |
| 1+600 | 44.36 | 0 | 482.8 | 0 | 4374.29 |
| 1+620 | 14.82 | 0.99 | 591.8 | 9.9 | 4956.19 |
| 1+630 | 0 | 0 | 74.1 | 4.95 | 5025.34 |
| 1+640 | 0 | 0 | 0 | 0 | 5025.34 |
| 1+660 | 0 | 0 | 0 | 0 | 5025.34 |
| 1+670 | 0 | 78.17 | 0 | 390.85 | 4634.49 |
| 1+680 | 0 | 49.16 | 0 | 636.65 | 3997.84 |
| 1+700 | 0 | 52.76 | 0 | 1019.2 | 2978.64 |
| 1+720 | 0 | 25.29 | 0 | 780.5 | 2198.14 |
| 1+740 | 0 | 37.38 | 0 | 626.7 | 1571.44 |
| 1+760 | 0 | 53.7 | 0 | 910.8 | 660.64 |
| 1+780 | 0 | 18.12 | 0 | 718.2 | -57.56 |
| 1+800 | 43.65 | 0 | 436.5 | 181.2 | 197.74 |
| 1+810 | 51.16 | 0 | 474.05 | 0 | 671.79 |
| 1+820 | 46.03 | 0 | 485.95 | 0 | 1157.74 |
| 1+840 | 28.41 | 0 | 744.4 | 0 | 1902.14 |
| 1+860 | 19.81 | 0 | 482.2 | 0 | 2384.34 |
| 1+880 | 12.88 | 0 | 326.9 | 0 | 2711.24 |
| 1+900 | 6.45 | 0.02 | 193.3 | 0.2 | 2904.34 |
| 1+920 | 1.64 | 0.74 | 80.9 | 7.6 | 2977.64 |
| 1+940 | 0 | 0.48 | 16.4 | 12.2 | 2981.84 |
| 1+960 | 1.36 | 0.25 | 13.6 | 7.3 | 2988.14 |
| 1+980 | 0.08 | 2.21 | 14.4 | 24.6 | 2977.94 |

| Progresiva | Área de corte (m ²) | Área de relleno (m ²) | Volumen de corte (m ³) | Volumen de relleno (m ³) | Masa (m ³) |
|------------|---------------------------------|-----------------------------------|------------------------------------|--------------------------------------|------------------------|
| 2+000 | 0.09 | 1.06 | 1.7 | 32.7 | 2946.94 |
| 2+020 | 6.41 | 0.99 | 65 | 20.5 | 2991.44 |
| 2+040 | 0.12 | 1.08 | 65.3 | 20.7 | 3036.04 |
| 2+060 | 0.96 | 1.39 | 10.8 | 24.7 | 3022.14 |
| 2+070 | 0.35 | 2.49 | 6.55 | 19.4 | 3009.29 |
| 2+080 | 1.71 | 1.43 | 10.3 | 19.6 | 2999.99 |
| 2+090 | 0.24 | 1.85 | 9.75 | 16.4 | 2993.34 |
| 2+100 | 0 | 6.32 | 1.2 | 40.85 | 2953.69 |
| 2+120 | 0.89 | 4.03 | 8.9 | 103.5 | 2859.09 |
| 2+140 | 1.46 | 4.08 | 23.5 | 81.1 | 2801.49 |
| 2+160 | 1.91 | 3.19 | 33.7 | 72.7 | 2762.49 |
| 2+180 | 1.54 | 4.12 | 34.5 | 73.1 | 2723.89 |
| 2+200 | 1.91 | 3.57 | 34.5 | 76.9 | 2681.49 |
| 2+220 | 0 | 1.24 | 19.1 | 48.1 | 2652.49 |
| 2+240 | 4.05 | 1.43 | 40.5 | 26.7 | 2666.29 |
| 2+260 | 3.41 | 2.73 | 74.6 | 41.6 | 2699.29 |
| 2+270 | 3.18 | 2.83 | 32.95 | 27.8 | 2704.44 |
| 2+280 | 3.75 | 2.78 | 34.65 | 28.05 | 2711.04 |
| 2+290 | 5.31 | 1.99 | 45.3 | 23.85 | 2732.49 |
| 2+300 | 6.64 | 5.54 | 59.75 | 37.65 | 2754.59 |
| 2+310 | 5.28 | 15.69 | 59.6 | 106.15 | 2708.04 |
| 2+320 | 2.05 | 16.84 | 36.65 | 162.65 | 2582.04 |
| 2+330 | 0.21 | 13.83 | 11.3 | 153.35 | 2439.99 |
| 2+340 | 0.36 | 16.62 | 2.85 | 152.25 | 2290.59 |
| 2+350 | 1.17 | 15.95 | 7.65 | 162.85 | 2135.39 |
| 2+360 | 0 | 15.71 | 5.85 | 158.3 | 1982.94 |
| 2+370 | 2.15 | 12.3 | 10.75 | 140.05 | 1853.64 |
| 2+380 | 10.1 | 6.91 | 61.25 | 96.05 | 1818.84 |
| 2+390 | 28.31 | 2.32 | 192.05 | 46.15 | 1964.74 |
| 2+400 | 31.06 | 0.17 | 296.85 | 12.45 | 2249.14 |
| 2+410 | 22.96 | 0.92 | 270.1 | 5.45 | 2513.79 |
| 2+420 | 9.32 | 0.6 | 161.4 | 7.6 | 2667.59 |
| 2+430 | 0.22 | 1.4 | 47.7 | 10 | 2705.29 |
| 2+440 | 0.16 | 1.6 | 1.9 | 15 | 2692.19 |
| 2+450 | 0.05 | 1.8 | 1.05 | 17 | 2676.24 |
| 2+460 | 0 | 1.72 | 0.25 | 17.6 | 2658.89 |
| 2+470 | 0 | 2.83 | 0 | 22.75 | 2636.14 |
| 2+480 | 0 | 3.61 | 0 | 32.2 | 2603.94 |
| 2+500 | 0 | 2.23 | 0 | 58.4 | 2545.54 |
| 2+520 | 0 | 1.28 | 0 | 35.1 | 2510.44 |
| 2+540 | 0.38 | 0.86 | 3.8 | 21.4 | 2492.84 |

| Progresiva | Área de corte (m ²) | Área de relleno (m ²) | Volumen de corte (m ³) | Volumen de relleno (m ³) | Masa (m ³) |
|------------|---------------------------------|-----------------------------------|------------------------------------|--------------------------------------|------------------------|
| 2+560 | 1.55 | 0.67 | 19.3 | 15.3 | 2496.84 |
| 2+580 | 0.74 | 1.6 | 22.9 | 22.7 | 2497.04 |
| 2+590 | 0.18 | 3.58 | 4.6 | 25.9 | 2475.74 |
| 2+600 | 0 | 4.85 | 0.9 | 42.15 | 2434.49 |
| 2+620 | 0 | 3.02 | 0 | 78.7 | 2355.79 |
| 2+640 | 0 | 1.61 | 0 | 46.3 | 2309.49 |
| 2+660 | 0.26 | 0.7 | 2.6 | 23.1 | 2288.99 |
| 2+680 | 0.68 | 2.06 | 9.4 | 27.6 | 2270.79 |
| 2+700 | 0 | 9.56 | 6.8 | 116.2 | 2161.39 |
| 2+720 | 0 | 19.08 | 0 | 286.4 | 1874.99 |
| 2+740 | 0 | 13.2 | 0 | 322.8 | 1552.19 |
| 2+760 | 0 | 5.89 | 0 | 190.9 | 1361.29 |
| 2+780 | 0.43 | 1.13 | 4.3 | 70.2 | 1295.39 |
| 2+800 | 5.05 | 0.16 | 54.8 | 12.9 | 1337.29 |
| 2+820 | 8.12 | 0 | 131.7 | 1.6 | 1467.39 |
| 2+840 | 8.92 | 0 | 170.4 | 0 | 1637.79 |
| 2+860 | 7.92 | 0.01 | 168.4 | 0.1 | 1806.09 |
| 2+880 | 9.34 | 0 | 172.6 | 0.1 | 1978.59 |
| 2+900 | 2.1 | 0.77 | 114.4 | 7.7 | 2085.29 |
| 2+920 | 0 | 2.9 | 21 | 36.7 | 2069.59 |
| 2+930 | 0 | 2.88 | 0 | 28.9 | 2040.69 |
| 2+940 | 0.73 | 3.12 | 3.65 | 30 | 2014.34 |
| 2+950 | 1.26 | 3.7 | 9.95 | 34.1 | 1990.19 |
| 2+960 | 0 | 2.66 | 6.3 | 31.8 | 1964.69 |
| 2+970 | 0 | 5.41 | 0 | 40.35 | 1924.34 |
| 2+980 | 0 | 14.89 | 0 | 101.5 | 1822.84 |
| 2+990 | 0 | 16.52 | 0 | 157.05 | 1665.79 |
| 3+000 | 0 | 21.48 | 0 | 190 | 1475.79 |
| 3+020 | 0.08 | 9.14 | 0.8 | 306.2 | 1170.39 |
| 3+040 | 1.66 | 1.84 | 17.4 | 109.8 | 1077.99 |
| 3+060 | 3.96 | 0.75 | 56.2 | 25.9 | 1108.29 |
| 3+080 | 7.75 | 0.07 | 117.1 | 8.2 | 1217.19 |
| 3+090 | 8.33 | 0.81 | 80.4 | 4.4 | 1293.19 |
| 3+100 | 10.21 | 0.83 | 92.7 | 8.2 | 1377.69 |
| 3+110 | 9.29 | 1.18 | 97.5 | 10.05 | 1465.14 |
| 3+120 | 5.37 | 0.41 | 73.3 | 7.95 | 1530.49 |
| 3+130 | 1.02 | 3.57 | 31.95 | 19.9 | 1542.54 |
| 3+140 | 0 | 7.58 | 5.1 | 55.75 | 1491.89 |
| 3+150 | 0 | 9.44 | 0 | 85.1 | 1406.79 |
| 3+160 | 0 | 8 | 0 | 87.2 | 1319.59 |
| 3+170 | 0 | 5.87 | 0 | 69.35 | 1250.24 |

| Progresiva | Área de corte (m2) | Área de relleno (m2) | Volumen de corte (m3) | Volumen de relleno (m3) | Masa (m3) |
|------------|--------------------|----------------------|-----------------------|-------------------------|-----------|
| 3+180 | 0 | 5.51 | 0 | 56.9 | 1193.34 |
| 3+190 | 0 | 5.49 | 0 | 55 | 1138.34 |
| 3+200 | 0.88 | 3.24 | 4.4 | 43.65 | 1099.09 |
| 3+210 | 1.26 | 3.01 | 10.7 | 31.25 | 1078.54 |
| 3+220 | 0.48 | 3.92 | 8.7 | 34.65 | 1052.59 |
| 3+230 | 0.85 | 3.11 | 6.65 | 35.15 | 1024.09 |
| 3+240 | 1.1 | 2.49 | 9.75 | 28 | 1005.84 |
| 3+260 | 13.1 | 0.35 | 142 | 28.4 | 1119.44 |
| 3+280 | 24.1 | 0 | 372 | 3.5 | 1487.94 |
| 3+300 | 16.56 | 0.29 | 406.6 | 2.9 | 1891.64 |
| 3+310 | 2.52 | 0.42 | 95.4 | 3.55 | 1983.49 |
| 3+320 | 1.94 | 0.92 | 22.3 | 6.7 | 1999.09 |
| 3+330 | 3.82 | 0.28 | 28.8 | 6 | 2021.89 |
| 3+340 | 13.24 | 0 | 85.3 | 1.4 | 2105.79 |
| 3+360 | 13.24 | 0.07 | 264.8 | 0.7 | 2369.89 |
| 3+380 | 15.35 | 0.36 | 285.9 | 4.3 | 2651.49 |
| 3+400 | 15.09 | 1.87 | 304.4 | 22.3 | 2933.59 |
| 3+420 | 14.82 | 1.02 | 299.1 | 28.9 | 3203.79 |
| 3+430 | 13.12 | 8.63 | 139.7 | 48.25 | 3295.24 |
| 3+440 | 13.3 | 0.69 | 132.1 | 46.6 | 3380.74 |
| 3+450 | 20.01 | 7.43 | 166.55 | 40.6 | 3506.69 |
| 3+460 | 20.05 | 2 | 200.3 | 47.15 | 3659.84 |
| 3+470 | 24.47 | 0.09 | 222.6 | 10.45 | 3871.99 |
| 3+480 | 27.85 | 0 | 261.6 | 0.45 | 4133.14 |
| 3+500 | 13.95 | 0.69 | 418 | 6.9 | 4544.24 |
| 3+520 | 12.88 | 0.45 | 268.3 | 11.4 | 4801.14 |
| 3+540 | 8.36 | 3.67 | 212.4 | 41.2 | 4972.34 |
| 3+550 | 9.35 | 9.08 | 88.55 | 63.75 | 4997.14 |
| 3+560 | 0.36 | 21.18 | 48.55 | 151.3 | 4894.39 |
| 3+570 | 0 | 30.29 | 1.8 | 257.35 | 4638.84 |
| 3+580 | 0 | 19.56 | 0 | 249.25 | 4389.59 |
| 3+590 | 1.01 | 1.74 | 5.05 | 106.5 | 4288.14 |
| 3+600 | 12.53 | 0.3 | 67.7 | 10.2 | 4345.64 |
| 3+620 | 10.63 | 0.1 | 231.6 | 4 | 4573.24 |
| 3+640 | 6.56 | 0.48 | 171.9 | 5.8 | 4739.34 |
| 3+660 | 0.68 | 1.6 | 72.4 | 20.8 | 4790.94 |
| 3+680 | 0 | 1.25 | 6.8 | 28.5 | 4769.24 |
| 3+700 | 1.37 | 0.59 | 13.7 | 18.4 | 4764.54 |
| 3+720 | 1.31 | 0.51 | 26.8 | 11 | 4780.34 |
| 3+740 | 0.87 | 1.13 | 21.8 | 16.4 | 4785.74 |
| 3+760 | 0.56 | 2.33 | 14.3 | 34.6 | 4765.44 |

| Progresiva | Área de corte (m ²) | Área de relleno (m ²) | Volumen de corte (m ³) | Volumen de relleno (m ³) | Masa (m ³) |
|------------|---------------------------------|-----------------------------------|------------------------------------|--------------------------------------|------------------------|
| 3+770 | 0.74 | 2.03 | 6.5 | 21.8 | 4750.14 |
| 3+780 | 2.19 | 1.33 | 14.65 | 16.8 | 4747.99 |
| 3+790 | 3.36 | 0.53 | 27.75 | 9.3 | 4766.44 |
| 3+800 | 2.36 | 1.17 | 28.6 | 8.5 | 4786.54 |
| 3+810 | 0.58 | 0.27 | 14.7 | 7.2 | 4794.04 |
| 3+820 | 1.37 | 2.61 | 9.75 | 14.4 | 4789.39 |
| 3+830 | 1.75 | 11.27 | 15.6 | 69.4 | 4735.59 |
| 3+840 | 0.83 | 17.34 | 12.9 | 143.05 | 4605.44 |
| 3+850 | 0 | 10.69 | 4.15 | 140.15 | 4469.44 |
| 3+860 | 3.91 | 6.38 | 19.55 | 85.35 | 4403.64 |
| 3+870 | 22.39 | 3.12 | 131.5 | 47.5 | 4487.64 |
| 3+880 | 26.55 | 1.21 | 244.7 | 21.65 | 4710.69 |
| 3+900 | 8.57 | 1.32 | 351.2 | 25.3 | 5036.59 |
| 3+910 | 6.93 | 1.46 | 77.5 | 13.9 | 5100.19 |
| 3+920 | 9.16 | 2.86 | 80.45 | 21.6 | 5159.04 |
| 3+940 | 14.53 | 3.49 | 236.9 | 63.5 | 5332.44 |
| 3+960 | 14.28 | 4.26 | 288.1 | 77.5 | 5543.04 |
| 3+980 | 6.43 | 6.06 | 207.1 | 103.2 | 5646.94 |
| 4+000 | 3.51 | 7.56 | 99.4 | 136.2 | 5610.14 |
| 4+010 | 2.38 | 6.98 | 29.45 | 72.7 | 5566.89 |
| 4+020 | 14.43 | 3.13 | 84.05 | 50.55 | 5600.39 |
| 4+040 | 12.24 | 1.87 | 266.7 | 50 | 5817.09 |
| 4+060 | 10.74 | 3.95 | 229.8 | 58.2 | 5988.69 |
| 4+080 | 5.9 | 6.44 | 166.4 | 103.9 | 6051.19 |
| 4+100 | 2.65 | 5.66 | 85.5 | 121 | 6015.69 |
| 4+110 | 5.97 | 5.46 | 43.1 | 55.6 | 6003.19 |
| 4+120 | 5.59 | 7.11 | 57.8 | 62.85 | 5998.14 |
| 4+140 | 0.94 | 8.27 | 65.3 | 153.8 | 5909.64 |
| 4+160 | 2.78 | 9.95 | 37.2 | 182.2 | 5764.64 |
| 4+170 | 3.7 | 12.17 | 32.4 | 110.6 | 5686.44 |
| 4+180 | 3.64 | 11.74 | 36.7 | 119.55 | 5603.59 |
| 4+200 | 0.29 | 9.43 | 39.3 | 211.7 | 5431.19 |
| 4+220 | 1.47 | 7.09 | 17.6 | 165.2 | 5283.59 |
| 4+240 | 4.62 | 6.37 | 60.9 | 134.6 | 5209.89 |
| 4+260 | 2.83 | 8.68 | 74.5 | 150.5 | 5133.89 |
| 4+280 | 0.24 | 11.59 | 30.7 | 202.7 | 4961.89 |
| 4+290 | 1.04 | 10.52 | 6.4 | 110.55 | 4857.74 |
| 4+300 | 1.85 | 10.16 | 14.45 | 103.4 | 4768.79 |
| 4+310 | 1.04 | 6.73 | 14.45 | 84.45 | 4698.79 |
| 4+320 | 4.78 | 4.16 | 29.1 | 54.45 | 4673.44 |
| 4+330 | 0.23 | 7.16 | 25.05 | 56.6 | 4641.89 |

| Progresiva | Área de corte (m2) | Área de relleno (m2) | Volumen de corte (m3) | Volumen de relleno (m3) | Masa (m3) |
|------------|--------------------|----------------------|-----------------------|-------------------------|-----------|
| 4+340 | 0 | 11.92 | 1.15 | 95.4 | 4547.64 |
| 4+350 | 0 | 11.12 | 0 | 115.2 | 4432.44 |
| 4+360 | 0 | 10.24 | 0 | 106.8 | 4325.64 |
| 4+370 | 0 | 10.75 | 0 | 104.95 | 4220.69 |
| 4+380 | 2.29 | 7.24 | 11.45 | 89.95 | 4142.19 |
| 4+390 | 11.89 | 3.29 | 70.9 | 52.65 | 4160.44 |
| 4+400 | 10.95 | 4.56 | 114.2 | 39.25 | 4235.39 |
| 4+410 | 5.78 | 6.89 | 83.65 | 57.25 | 4261.79 |
| 4+420 | 5 | 7.32 | 53.9 | 71.05 | 4244.64 |
| 4+430 | 8.07 | 4.95 | 65.35 | 61.35 | 4248.64 |
| 4+440 | 6.48 | 3.76 | 72.75 | 43.55 | 4277.84 |
| 4+460 | 15.92 | 2.4 | 224 | 61.6 | 4440.24 |
| 4+480 | 14.25 | 2.15 | 301.7 | 45.5 | 4696.44 |
| 4+500 | 13.75 | 2.38 | 280 | 45.3 | 4931.14 |
| 4+520 | 0 | 14.93 | 137.5 | 173.1 | 4895.54 |
| 4+530 | 0 | 9.68 | 0 | 123.05 | 4772.49 |
| 4+540 | 0 | 9.12 | 0 | 94 | 4678.49 |
| 4+550 | 8.23 | 3.48 | 41.15 | 63 | 4656.64 |
| 4+560 | 12.8 | 2.6 | 105.15 | 30.4 | 4731.39 |
| 4+580 | 11.88 | 1.84 | 246.8 | 44.4 | 4933.79 |
| 4+600 | 13.88 | 3.06 | 257.6 | 49 | 5142.39 |
| 4+620 | 9.42 | 7.51 | 233 | 105.7 | 5269.69 |
| 4+640 | 7.68 | 9.19 | 171 | 167 | 5273.69 |
| 4+660 | 18.64 | 4.18 | 263.2 | 133.7 | 5403.19 |
| 4+680 | 25.1 | 3.84 | 437.4 | 80.2 | 5760.39 |
| 4+700 | 11.36 | 10.04 | 364.6 | 138.8 | 5986.19 |
| 4+710 | 7.68 | 12.17 | 95.2 | 111.05 | 5970.34 |
| 4+720 | 12.1 | 7.84 | 98.9 | 100.05 | 5969.19 |
| 4+740 | 6.89 | 2.88 | 189.9 | 107.2 | 6051.89 |
| 4+760 | 5.47 | 0.11 | 123.6 | 29.9 | 6145.59 |
| 4+780 | 6.05 | 0.42 | 115.2 | 5.3 | 6255.49 |
| 4+790 | 4.2 | 0.47 | 51.25 | 4.45 | 6302.29 |
| 4+800 | 4.07 | 0.47 | 41.35 | 4.7 | 6338.94 |
| 4+810 | 3.92 | 0.54 | 39.95 | 5.05 | 6373.84 |
| 4+820 | 3.66 | 0.04 | 37.9 | 2.9 | 6408.84 |
| 4+830 | 9.05 | 0.34 | 63.55 | 1.9 | 6470.49 |
| 4+840 | 14.4 | 0.72 | 117.25 | 5.3 | 6582.44 |
| 4+850 | 17.6 | 0.59 | 160 | 6.55 | 6735.89 |
| 4+860 | 11.75 | 0.45 | 146.75 | 5.2 | 6877.44 |
| 4+870 | 17.62 | 1.93 | 146.85 | 11.9 | 7012.39 |
| 4+880 | 16.67 | 2.91 | 171.45 | 24.2 | 7159.64 |

| Progresiva | Área de corte (m ²) | Área de relleno (m ²) | Volumen de corte (m ³) | Volumen de relleno (m ³) | Masa (m ³) |
|------------|---------------------------------|-----------------------------------|------------------------------------|--------------------------------------|------------------------|
| 4+890 | 26.91 | 2.99 | 217.9 | 29.5 | 7348.04 |
| 4+900 | 40.34 | 2.75 | 336.25 | 28.7 | 7655.59 |
| 4+910 | 36.06 | 1.42 | 382 | 20.85 | 8016.74 |
| 4+920 | 21.92 | 0.42 | 289.9 | 9.2 | 8297.44 |
| 4+930 | 14.9 | 5.38 | 184.1 | 29 | 8452.54 |
| 4+940 | 16.74 | 5.28 | 158.2 | 53.3 | 8557.44 |
| 4+950 | 17.56 | 6.48 | 171.5 | 58.8 | 8670.14 |
| 4+960 | 22.2 | 2.79 | 198.8 | 46.35 | 8822.59 |
| 4+970 | 31.74 | 0 | 269.7 | 13.95 | 9078.34 |
| 4+980 | 39.36 | 0 | 355.5 | 0 | 9433.84 |
| 4+990 | 42.91 | 0 | 411.35 | 0 | 9845.19 |
| 5+000 | 32.97 | 0 | 379.4 | 0 | 10224.59 |
| 5+010 | 28.65 | 0.13 | 308.1 | 0.65 | 10532.04 |
| 5+020 | 21.77 | 0.73 | 252.1 | 4.3 | 10779.84 |
| 5+030 | 17.48 | 0.04 | 196.25 | 3.85 | 10972.24 |
| 5+040 | 17.09 | 0.02 | 172.85 | 0.3 | 11144.79 |
| 5+050 | 15.39 | 0.18 | 162.4 | 1 | 11306.19 |
| 5+060 | 5.52 | 1.66 | 104.55 | 9.2 | 11401.54 |
| 5+070 | 3.38 | 2.71 | 44.5 | 21.85 | 11424.19 |
| 5+080 | 3.08 | 2.7 | 32.3 | 27.05 | 11429.44 |
| 5+090 | 4.17 | 2.11 | 36.25 | 24.05 | 11441.64 |
| 5+100 | 6.08 | 1.38 | 51.25 | 17.45 | 11475.44 |
| 5+110 | 3.68 | 1.17 | 48.8 | 12.75 | 11511.49 |
| 5+120 | 3.81 | 1.28 | 37.45 | 12.25 | 11536.69 |
| 5+130 | 3.09 | 0.88 | 34.5 | 10.8 | 11560.39 |
| 5+140 | 14.37 | 0.38 | 87.3 | 6.3 | 11641.39 |
| 5+150 | 12.1 | 0.58 | 132.35 | 4.8 | 11768.94 |
| 5+160 | 13.38 | 1.24 | 127.4 | 9.1 | 11887.24 |
| 5+170 | 9.64 | 2.92 | 115.1 | 20.8 | 11981.54 |
| 5+180 | 3.39 | 6.33 | 65.15 | 46.25 | 12000.44 |
| 5+200 | 4.46 | 5.46 | 78.5 | 117.9 | 11961.04 |
| 5+220 | 15.56 | 1.72 | 200.2 | 71.8 | 12089.44 |
| 5+230 | 18.37 | 0.68 | 169.65 | 12 | 12247.09 |
| 5+240 | 22.1 | 0.35 | 202.35 | 5.15 | 12444.29 |
| 5+250 | 16.82 | 0.89 | 194.6 | 6.2 | 12632.69 |
| 5+260 | 24.79 | 0.94 | 208.05 | 9.15 | 12831.59 |
| 5+270 | 16.7 | 2.02 | 207.45 | 14.8 | 13024.24 |
| 5+280 | 0.45 | 4.34 | 85.75 | 31.8 | 13078.19 |
| 5+290 | 7.98 | 3.58 | 42.15 | 39.6 | 13080.74 |
| 5+300 | 6.9 | 6.79 | 74.4 | 51.85 | 13103.29 |
| 5+310 | 8.4 | 5.84 | 76.5 | 63.15 | 13116.64 |

| Progresiva | Área de corte (m ²) | Área de relleno (m ²) | Volumen de corte (m ³) | Volumen de relleno (m ³) | Masa (m ³) |
|------------|---------------------------------|-----------------------------------|------------------------------------|--------------------------------------|------------------------|
| 5+320 | 4.19 | 6.39 | 62.95 | 61.15 | 13118.44 |
| 5+330 | 3.18 | 1.55 | 36.85 | 39.7 | 13115.59 |
| 5+340 | 7.02 | 0.24 | 51 | 8.95 | 13157.64 |
| 5+350 | 13.08 | 0 | 100.5 | 1.2 | 13256.94 |
| 5+360 | 19.44 | 0 | 162.6 | 0 | 13419.54 |
| 5+370 | 25.64 | 0 | 225.4 | 0 | 13644.94 |
| 5+380 | 37.57 | 0 | 316.05 | 0 | 13960.99 |
| 5+390 | 34.03 | 0 | 358 | 0 | 14318.99 |
| 5+400 | 32.42 | 0 | 332.25 | 0 | 14651.24 |
| 5+410 | 37.77 | 0 | 350.95 | 0 | 15002.19 |
| 5+420 | 42.78 | 0 | 402.75 | 0 | 15404.94 |
| 5+430 | 31.22 | 0 | 370 | 0 | 15774.94 |
| 5+440 | 18.18 | 0 | 247 | 0 | 16021.94 |
| 5+450 | 18.8 | 0 | 184.9 | 0 | 16206.84 |
| 5+460 | 4.1 | 4.59 | 114.5 | 22.95 | 16298.39 |
| 5+470 | 14.62 | 11.7 | 93.6 | 81.45 | 16310.54 |
| 5+480 | 0 | 35.66 | 73.1 | 236.8 | 16146.84 |
| 5+495 | 0 | 0 | 0 | 267.45 | 15879.39 |
| 5+500 | 0 | 0 | 0 | 0 | 15879.39 |
| 5+507 | 0 | 125.32 | 0 | 438.62 | 15440.77 |
| 5+520 | 0 | 69.83 | 0 | 1268.475 | 14172.295 |
| 5+530 | 0 | 39.63 | 0 | 547.3 | 13624.995 |
| 5+540 | 0 | 19.5 | 0 | 295.65 | 13329.345 |
| 5+550 | 0.93 | 7.73 | 4.65 | 136.15 | 13197.845 |
| 5+560 | 3.14 | 13.4 | 20.35 | 105.65 | 13112.545 |
| 5+580 | 17.64 | 6.87 | 207.8 | 202.7 | 13117.645 |
| 5+600 | 35.53 | 2.37 | 531.7 | 92.4 | 13556.945 |
| 5+620 | 54.05 | 2.05 | 895.8 | 44.2 | 14408.545 |
| 5+630 | 42.2 | 3.96 | 481.25 | 30.05 | 14859.745 |
| 5+640 | 34.64 | 3.77 | 384.2 | 38.65 | 15205.295 |
| 5+660 | 18.05 | 4.85 | 526.9 | 86.2 | 15645.995 |
| 5+680 | 21.73 | 7.97 | 397.8 | 128.2 | 15915.595 |
| 5+690 | 16.15 | 10.57 | 189.4 | 92.7 | 16012.295 |
| 5+700 | 5.21 | 10.85 | 106.8 | 107.1 | 16011.995 |
| 5+710 | 6.67 | 8.24 | 59.4 | 95.45 | 15975.945 |
| 5+720 | 5.69 | 6.48 | 61.8 | 73.6 | 15964.145 |
| 5+730 | 5.73 | 4.57 | 57.1 | 55.25 | 15965.995 |
| 5+740 | 4.27 | 4.27 | 50 | 44.2 | 15971.795 |
| 5+760 | 3.78 | 3.62 | 80.5 | 78.9 | 15973.395 |
| 5+780 | 3.55 | 4.7 | 73.3 | 83.2 | 15963.495 |
| 5+800 | 1.97 | 8.5 | 55.2 | 132 | 15886.695 |

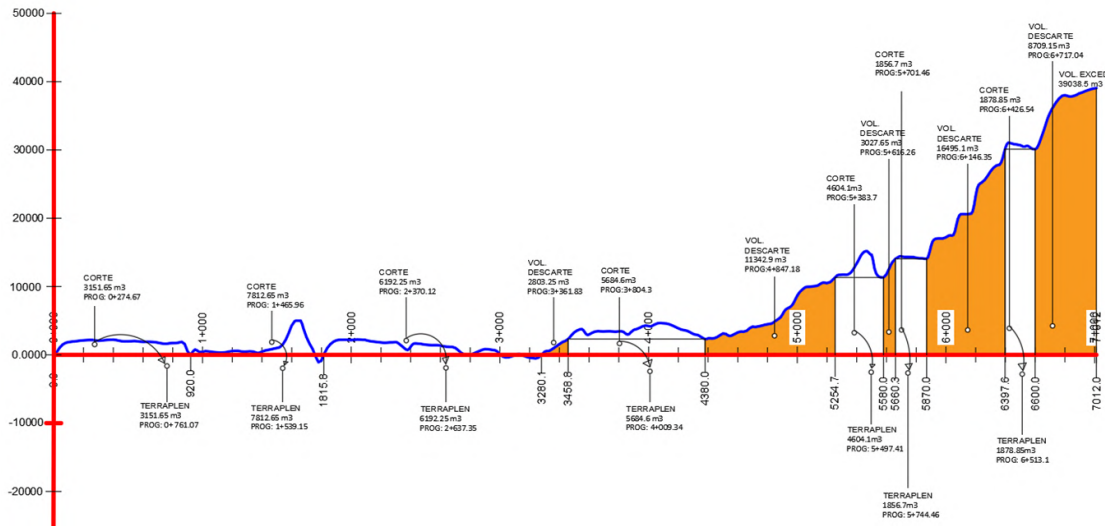
| Progresiva | Área de corte (m2) | Área de relleno (m2) | Volumen de corte (m3) | Volumen de relleno (m3) | Masa (m3) |
|------------|--------------------|----------------------|-----------------------|-------------------------|-----------|
| 5+820 | 4.18 | 3.21 | 61.5 | 117.1 | 15831.095 |
| 5+840 | 4.12 | 4.6 | 83 | 78.1 | 15835.995 |
| 5+860 | 0.11 | 4.73 | 42.3 | 93.3 | 15784.995 |
| 5+870 | 2.23 | 0.49 | 11.7 | 26.1 | 15770.595 |
| 5+880 | 50.15 | 0 | 261.9 | 2.45 | 16030.045 |
| 5+890 | 84.38 | 0 | 672.65 | 0 | 16702.695 |
| 5+900 | 79.7 | 0 | 820.4 | 0 | 17523.095 |
| 5+910 | 42.99 | 4.66 | 613.45 | 23.3 | 18113.245 |
| 5+920 | 19.66 | 5.71 | 313.25 | 51.85 | 18374.645 |
| 5+930 | 14.91 | 7.28 | 172.85 | 64.95 | 18482.545 |
| 5+940 | 10.95 | 7.83 | 129.3 | 75.55 | 18536.295 |
| 5+950 | 10.15 | 9.04 | 105.5 | 84.35 | 18557.445 |
| 5+960 | 8.48 | 8.67 | 93.15 | 88.55 | 18562.045 |
| 5+980 | 7.1 | 5.25 | 155.8 | 139.2 | 18578.645 |
| 6+000 | 17.52 | 3.17 | 246.2 | 84.2 | 18740.645 |
| 6+020 | 16.46 | 5.86 | 339.8 | 90.3 | 18990.145 |
| 6+030 | 4.79 | 8.29 | 106.25 | 70.75 | 19025.645 |
| 6+040 | 0.74 | 2.78 | 27.65 | 55.35 | 18997.945 |
| 6+050 | 18.31 | 0.19 | 95.25 | 14.85 | 19078.345 |
| 6+060 | 71.05 | 0 | 446.8 | 0.95 | 19524.195 |
| 6+070 | 103.8 | 0 | 874.25 | 0 | 20398.445 |
| 6+080 | 63.37 | 0 | 835.85 | 0 | 21234.295 |
| 6+090 | 32 | 3.11 | 476.85 | 15.55 | 21695.595 |
| 6+100 | 14.4 | 6.43 | 232 | 47.7 | 21879.895 |
| 6+120 | 2.15 | 6.44 | 165.5 | 128.7 | 21916.695 |
| 6+140 | 7.57 | 4.46 | 97.2 | 109 | 21904.895 |
| 6+160 | 3.31 | 0.6 | 108.8 | 50.6 | 21963.095 |
| 6+170 | 3.38 | 0.38 | 33.45 | 4.9 | 21991.645 |
| 6+180 | 60.13 | 0 | 317.55 | 1.9 | 22307.295 |
| 6+190 | 114.87 | 0 | 875 | 0 | 23182.295 |
| 6+200 | 126.74 | 0 | 1208.05 | 0 | 24390.345 |
| 6+210 | 71.91 | 1.73 | 993.25 | 8.65 | 25374.945 |
| 6+220 | 28.06 | 1.27 | 499.85 | 15 | 25859.795 |
| 6+230 | 13.68 | 0.97 | 208.7 | 11.2 | 26057.295 |
| 6+240 | 12.96 | 0.68 | 133.2 | 8.25 | 26182.245 |
| 6+260 | 22.06 | 0.35 | 350.2 | 10.3 | 26522.145 |
| 6+280 | 33.33 | 0 | 553.9 | 3.5 | 27072.545 |
| 6+300 | 28.79 | 0 | 621.2 | 0 | 27693.745 |
| 6+320 | 19.6 | 0.04 | 483.9 | 0.4 | 28177.245 |
| 6+340 | 11.96 | 0.39 | 315.6 | 4.3 | 28488.545 |
| 6+350 | 9.53 | 11.48 | 107.45 | 59.35 | 28536.645 |

| Progresiva | Área de corte (m2) | Área de relleno (m2) | Volumen de corte (m3) | Volumen de relleno (m3) | Masa (m3) |
|------------|--------------------|----------------------|-----------------------|-------------------------|-----------|
| 6+360 | 15.59 | 0.96 | 125.6 | 62.2 | 28600.045 |
| 6+370 | 35.86 | 0 | 257.25 | 4.8 | 28852.495 |
| 6+380 | 70.64 | 0 | 532.5 | 0 | 29384.995 |
| 6+390 | 79.21 | 0 | 749.25 | 0 | 30134.245 |
| 6+400 | 66.16 | 0 | 726.85 | 0 | 30861.095 |
| 6+410 | 33.84 | 0 | 500 | 0 | 31361.095 |
| 6+420 | 9.11 | 1.98 | 214.75 | 9.9 | 31565.945 |
| 6+430 | 2.71 | 12.49 | 59.1 | 72.35 | 31552.695 |
| 6+440 | 1.07 | 6.12 | 18.9 | 93.05 | 31478.545 |
| 6+460 | 1.32 | 4.71 | 23.9 | 108.3 | 31394.145 |
| 6+480 | 2.31 | 4.18 | 36.3 | 88.9 | 31341.545 |
| 6+500 | 1.58 | 7.01 | 38.9 | 111.9 | 31268.545 |
| 6+510 | 0.94 | 11.67 | 12.6 | 93.4 | 31187.745 |
| 6+520 | 1.66 | 7.86 | 13 | 97.65 | 31103.095 |
| 6+530 | 7.54 | 0.48 | 46 | 41.7 | 31107.395 |
| 6+540 | 8.17 | 0.2 | 78.55 | 3.4 | 31182.545 |
| 6+550 | 0 | 4.45 | 40.85 | 23.25 | 31200.145 |
| 6+560 | 0 | 15.5 | 0 | 99.75 | 31100.395 |
| 6+570 | 0 | 12.43 | 0 | 139.65 | 30960.745 |
| 6+580 | 0.27 | 7.15 | 1.35 | 97.9 | 30864.195 |
| 6+590 | 2.81 | 7.48 | 15.4 | 73.15 | 30806.445 |
| 6+600 | 7.67 | 3.2 | 52.4 | 53.4 | 30805.445 |
| 6+610 | 23.48 | 0 | 155.75 | 16 | 30945.195 |
| 6+620 | 40.71 | 0 | 320.95 | 0 | 31266.145 |
| 6+630 | 56.78 | 0 | 487.45 | 0 | 31753.595 |
| 6+640 | 55.42 | 0 | 561 | 0 | 32314.595 |
| 6+650 | 56.23 | 0 | 558.25 | 0 | 32872.845 |
| 6+660 | 61.05 | 0 | 586.4 | 0 | 33459.245 |
| 6+670 | 65.07 | 0 | 630.6 | 0 | 34089.845 |
| 6+680 | 62.05 | 0 | 635.6 | 0 | 34725.445 |
| 6+690 | 45.73 | 0 | 538.9 | 0 | 35264.345 |
| 6+700 | 42.65 | 0 | 441.9 | 0 | 35706.245 |
| 6+710 | 38.07 | 0 | 403.6 | 0 | 36109.845 |
| 6+720 | 35.91 | 0 | 369.9 | 0 | 36479.745 |
| 6+740 | 26.1 | 0 | 620.1 | 0 | 37099.845 |
| 6+760 | 25.62 | 0 | 517.2 | 0 | 37617.045 |
| 6+780 | 10.13 | 0 | 357.5 | 0 | 37974.545 |
| 6+790 | 5.61 | 0.49 | 78.7 | 2.45 | 38050.795 |
| 6+800 | 1.09 | 1.27 | 33.5 | 8.8 | 38075.495 |
| 6+810 | 0.09 | 5.86 | 5.9 | 35.65 | 38045.745 |
| 6+820 | 0 | 8.85 | 0.45 | 73.55 | 37972.645 |

| Progresiva | Área de corte (m ²) | Área de relleno (m ²) | Volumen de corte (m ³) | Volumen de relleno (m ³) | Masa (m ³) |
|------------|---------------------------------|-----------------------------------|------------------------------------|--------------------------------------|------------------------|
| 6+840 | 4.45 | 0.34 | 44.5 | 91.9 | 37925.245 |
| 6+860 | 5.25 | 1.02 | 97 | 13.6 | 38008.645 |
| 6+880 | 12.16 | 0.64 | 174.1 | 16.6 | 38166.145 |
| 6+890 | 13.33 | 0.82 | 127.45 | 7.3 | 38286.295 |
| 6+900 | 12.93 | 6.06 | 131.3 | 34.4 | 38383.195 |
| 6+910 | 11.37 | 5.67 | 121.5 | 58.65 | 38446.045 |
| 6+920 | 11.64 | 1.42 | 115.05 | 35.45 | 38525.645 |
| 6+940 | 6.37 | 0.07 | 180.1 | 14.9 | 38690.845 |
| 6+960 | 7.81 | 0.04 | 141.8 | 1.1 | 38831.545 |
| 6+980 | 5.8 | 0.05 | 136.1 | 0.9 | 38966.745 |
| 7+000 | 2.62 | 1.19 | 84.2 | 12.4 | 39038.545 |

Fuente: Elaboración propia

Imagen N° 1: Diagrama curva masa, Carlazo Centro- Carlazo Este.



Fuente: Elaboración propia

10.2. Excavación no clasificada distancia <= 300 m

Los volúmenes de excavación son obtenidos de la distribución de tierras del diagrama curva masa.

Cuadro N° 2. Volumen de excavación no clasificada D < = 300 metros

| Nº | Tramo | | Volumen (m3) |
|----|--------|---------|-----------------|
| | Inicio | Final | |
| 1 | 0+000 | 0+920 | 3151.65 |
| 2 | 0+920 | 1+816 | 7812.65 |
| 3 | 1+816 | 3+280 | 6192.25 |
| 4 | 3+280 | 3+459 | 2803.25 |
| 5 | 3+459 | 4+380 | 5684.6 |
| 6 | 4+380 | 5+255 | 11342.9 |
| 7 | 5+255 | 5+580 | 4604.1 |
| 8 | 5+580 | 5+660 | 3027.65 |
| 9 | 5+660 | 5+870 | 1856.7 |
| 10 | 5+870 | 6+398 | 16495.1 |
| 11 | 6+398 | 6+600 | 1878.85 |
| 12 | 6+600 | 7+000 | 8709.15 |
| | | Total = | 73558.85 |

Fuente: Elaboración propia

10.3. Conformación de terraplén con material de corte

Los cómputos de esta actividad, se logran conocer, a partir del diagrama curva masa y es el siguiente.

Cuadro N° 3. Volumen de terraplén con material de corte

| Nº | Tramo | | Volumen (m3) |
|----|--------|---------|-----------------|
| | Inicio | Final | |
| 1 | 0+000 | 0+920 | 3151.65 |
| 2 | 0+920 | 1+816 | 7812.65 |
| 3 | 1+816 | 3+280 | 6192.25 |
| 4 | 3+459 | 4+380 | 5684.6 |
| 5 | 5+255 | 5+580 | 4604.1 |
| 6 | 5+660 | 5+870 | 1856.7 |
| 7 | 6+398 | 6+600 | 1878.85 |
| | | Total = | 31180.8 |

Fuente: Elaboración propia

10.4. Sobre acarreo para D > 300 m

Los cómputos de esta actividad se logró obtener a partir del diagrama curva masa. El mismo mostramos en el siguiente cuadro, considerando para DSA igual 500 metros.

Cuadro N° 4. Sobre acarreo para distancia mayor a 300 metros

| Nº | Tramo | | Volumen (m3) | DSA (m) | SA (Km- m3) |
|----|--------|---------|-----------------|---------|------------------|
| | Inicio | Final | | | |
| 1 | 3+280 | 3+459 | 2803.25 | 500 | 1401.625 |
| 2 | 4+380 | 5+255 | 11342.9 | 500 | 5671.45 |
| 3 | 5+580 | 5+660 | 3027.65 | 500 | 1513.825 |
| 4 | 5+870 | 6+398 | 16495.1 | 500 | 8247.55 |
| 5 | 6+600 | 7+000 | 8709.15 | 500 | 4354.575 |
| | | Total = | 42378.05 | | 21189.025 |

Fuente: Elaboración propia

10.5. Cantidad de tierra a mover

De las secciones anteriores se resume el siguiente cuadro:

Cuadro N° 5. Cantidad de tierra a mover

| Actividad | Unidad | Cantidad |
|---|---------|-----------|
| Excavación no clasificada distancia <= 300 m | (m3) | 73558.85 |
| Conformación de terraplén con material de corte | (m3) | 31180.8 |
| Sobre acarreo para D > 300 m | (m3-km) | 21189.025 |

Fuente: Elaboración propia

DISEÑO ESTRUCTURAL DE PAVIMENTOS

1. Introducción

Con la guía AASHTO-93 nos centramos en determinar el ESALS que será utilizada para definir los espesores del paquete estructural.

2. Cálculo del número de ESALS

La información obtenida, en el estudio de tráfico, se muestra en el siguiente cuadro:

Cuadro N° 1. Tráfico promedio diario proyectado

| Año | Tráfico promedio diario proyectado | | | | |
|------|------------------------------------|-----------|----------------|------------------|-------|
| | Tipo de vehículo | | | | |
| | Automóvil | Camioneta | Camión mediano | Camión grande 2E | Total |
| 2021 | 15 | 5 | 2 | 3 | 22 |
| 2022 | 17 | 6 | 3 | 4 | 30 |
| 2023 | 19 | 7 | 3 | 4 | 33 |
| 2024 | 20 | 7 | 3 | 4 | 34 |
| 2025 | 22 | 8 | 3 | 5 | 38 |
| 2026 | 24 | 8 | 4 | 5 | 41 |
| 2027 | 26 | 9 | 4 | 6 | 45 |
| 2028 | 29 | 10 | 4 | 6 | 49 |
| 2029 | 32 | 11 | 5 | 7 | 55 |
| 2030 | 35 | 12 | 5 | 7 | 59 |
| 2031 | 38 | 13 | 6 | 8 | 65 |
| 2032 | 42 | 14 | 6 | 9 | 71 |
| 2033 | 46 | 16 | 7 | 10 | 79 |
| 2034 | 50 | 17 | 7 | 10 | 84 |
| 2035 | 55 | 19 | 8 | 11 | 93 |
| 2036 | 60 | 20 | 8 | 12 | 100 |
| 2037 | 66 | 22 | 9 | 14 | 111 |
| 2038 | 72 | 24 | 10 | 15 | 121 |
| 2039 | 79 | 27 | 11 | 16 | 133 |
| 2040 | 86 | 29 | 12 | 18 | 145 |
| 2041 | 94 | 32 | 13 | 19 | 158 |
| 2042 | 103 | 35 | 14 | 21 | 173 |
| 2043 | 113 | 38 | 16 | 23 | 190 |
| 2044 | 124 | 42 | 17 | 25 | 208 |
| 2045 | 136 | 46 | 19 | 28 | 229 |

| Tráfico promedio diario proyectado | | | | | |
|------------------------------------|------------------|-----------|----------------|------------------|-------|
| Año | Tipo de vehículo | | | | |
| | Automóvil | Camioneta | Camión mediano | Camión grande 2E | Total |
| 2046 | 149 | 50 | 20 | 30 | 249 |

Fuente: Elaboración propia

Los pesos se obtienen de una base de información ya realizada por el ministerio de transporte y ley # 441 (control de pesos) para cada tipo de vehículo. Debido a que no se cuenta por el camino balanzas de pesaje, este peso se obtiene por semejanza al tipo de vehículo, como se muestra en el siguiente cuadro.

Tabla N° 1. Peso por eje, por tipo de vehículo

| Tipo de vehículo | Peso por eje (Tn) | |
|---------------------|-------------------|-------------|
| | Eje delantero | Eje trasero |
| Automóvil, vagoneta | 1.36 | 1.33 |
| Camioneta | 1.82 | 1.82 |
| Camión mediano | 7 | 11 |
| Camión grande 2ejes | 7 | 18 |

Fuente: Ministerio de transporte, ley # 441

Los ESALS para el periodo de diseño, representa el número acumulado desde el momento en que la vía es abierta al tráfico, hasta el momento en que la serviciabilidad se reduce a un valor terminal.

Para el diseño de estructuras de pavimentos, es necesario estimar el número acumulado de cargas por ejes equivalentes de 80 KN (ESALS) para el de diseño.

El número total de ejes equivalentes para cada tipo de vehículo se calcula con la siguiente ecuación.

$$W_{18} = \sum_{i=2026}^{i=2036} (365 * TPD * D) * FC$$

Donde:

W18 = Número de ejes Equivalentes del vehículo.

TPD = Tráfico promedio diario de diseño correspondiente al año i.

D = Factor de distribución en dirección (0.5).

FC = Factor camión equivalente del vehículo.

Factor camión equivalente (FC)

Para el cálculo del factor camión de carga equivalente se tomó como referencia la guía AASHTO-93, donde sugiere para carreteras de bajo volumen tomar el valor del número estructural SN= 2 pulgadas y una serviciabilidad terminal pt= 2. Por otro lado, los factores están tabuladas en la misma guía, en función a la carga por eje. También nos da fórmulas para programar en Excel y poder determinar estos factores para cada vehículo tipo. Es por esto que a partir de los pesos por eje y haciendo uso del Excel se podrá encontrar el factor de carga equivalente FCE que corresponde a cada tipo de vehículo y con esto conseguir el factor camión FC. Este procedimiento se desarrolló con la ayuda de Excel y logrando conseguir el FC.

Cuadro N° 2. Factor camión, pavimento flexible

| Tipo de vehículo | FC |
|---------------------|----------|
| Automóvil, vagoneta | 0.001709 |
| Camioneta | 0.004948 |
| Camión mediano | 4.333230 |
| Camión grande 2E | 2.624036 |

Fuente: Elaboración propia

Haciendo uso de la ecuación para el cálculo del número de ESALS se tiene el siguiente:

Cuadro N° 3. ESALS para pavimento flexible

| Año | ESALS para diseño de pavimento flexible | | | | Total | Total, acumulado |
|--------------|---|-----------|----------------|------------------|-------|------------------|
| | Automóvil | Camioneta | Camión mediano | Camión grande 2E | | |
| 2026 | 7 | 7 | 3163 | 2394 | 5572 | 5572 |
| 2027 | 8 | 8 | 3163 | 2873 | 6053 | 11625 |
| 2028 | 9 | 9 | 3163 | 2873 | 6055 | 17680 |
| 2029 | 10 | 10 | 3954 | 3352 | 7326 | 25006 |
| 2030 | 11 | 11 | 3954 | 3352 | 7328 | 32334 |
| 2031 | 12 | 12 | 4745 | 3831 | 8600 | 40934 |
| 2032 | 13 | 13 | 4745 | 4310 | 9081 | 50014 |
| 2033 | 14 | 14 | 5536 | 4789 | 10353 | 60368 |
| 2034 | 16 | 15 | 5536 | 4789 | 10356 | 70723 |
| 2035 | 17 | 17 | 6327 | 5268 | 11629 | 82352 |
| 2036 | 19 | 18 | 6327 | 5747 | 12110 | 94462 |
| 2037 | 21 | 20 | 7117 | 6704 | 13862 | 108324 |
| 2038 | 22 | 22 | 7908 | 7183 | 15136 | 123459 |
| 2039 | 25 | 24 | 8699 | 7662 | 16410 | 139870 |
| 2040 | 27 | 26 | 9490 | 8620 | 18163 | 158032 |
| 2041 | 29 | 29 | 10281 | 9099 | 19438 | 177470 |
| 2042 | 32 | 32 | 11071 | 10057 | 21192 | 198662 |
| 2043 | 35 | 34 | 12653 | 11014 | 23737 | 222399 |
| 2044 | 39 | 38 | 13444 | 11972 | 25493 | 247891 |
| 2045 | 42 | 42 | 15025 | 13409 | 28518 | 276410 |
| 2046 | 46 | 45 | 15816 | 14367 | 30275 | 306684 |
| Total: ESALS | 136 | 135 | 50612 | 43579 | 94462 | |

Fuente: Elaboración propia

A continuación, se muestra el procedimiento del cálculo del factor camión

| Pt= | 2 | Indice de serviciabilidad (bondad de servicio) | | | L2=1 | Eje Simple | | | | | | |
|--|--------------------------------------|--|--|-------|--|-------------------|--|-------------------------|----------------|-----------------------------|-------------------------------------|------------|
| SN= | 1.62 | Número estructural, (calidad de la capa) | | | L2=2 | Eje Tandem | $EALF = \frac{W_{x18}}{W_x}$ | | | | | |
| Lx = | | Carga en Kips sobre un eje Simple, Tandem y tridem | | | L2=3 | Eje Tridem | | | | | | |
| L2 = | 1, 2, 3 | Código de eje | | | | | | | | | | |
| EALF = | FACTOR DE EJE DE CARGA EQUIVALENTE : | | | | | | | | | | | |
| | | Es el número de cargas equivalentes que definen el daño por paso, sobre una superficie de rodadura debido al eje en cuestión, en relación al paso de un eje de carga Stándar, que usualmente es de 18 Kips=18000lb Calculado mediante las siguientes expresiones | | | | | | | | | | |
| $\log\left(\frac{W_x}{W_{x18}}\right) = 4.79 \log(18+1) - 4.79 \log(Lx + L2) + 4.33 \log(L2) + \frac{G_t}{B_x} - \frac{G_t}{B_{18}}$ | | | $B_x = 0.4 + \frac{0.08(Lx + L2)^{3.23}}{(SN + 1)^{5.19} Lx^{3.23}}$ | | $B_{18} = 0.4 + \frac{0.08(18 + 1)^{3.23}}{(SN + 1)^{5.19}}$ | | $G_t = \log\left(\frac{4.2 - P_t}{4.2 - 1.5}\right)$ | | | | | |
| | | | | | B ₁₈ = 7.686 | Para Lx=18 y L2=1 | | G _t = -0.089 | | | | |
| MEDIO DE TRANSPORTE | TPD | PESO TOTAL (Tn) | PESO POR EJES (Tn) | | | PESO TOTAL (Kips) | Lx POR EJES (Kips) | L2 | B _x | EALF _i (POR EJE) | FACTOR CAMIÓN FC=SEALF _i | FC*TPD |
| CATEGORIA "M" | 32 | | EJE | % | Lx | | | | | | | |
| STATION WAGON  | 24 | 2.70 | Del. | 50.6% | 1.37 | 5.943 | 3.007 | 1 | 0.448 | 0.0008899 | 0.001709 | 0.0410093 |
| | | | Post. 01 | 49.4% | 1.33 | | 2.936 | 1 | 0.445 | 0.0008188 | | |
| CAMIONETA PICK UP  | 8 | 3.64 | Del. | 50.0% | 1.82 | 8.018 | 4.009 | 1 | 0.498 | 0.0024742 | 0.004948 | 0.0395877 |
| | | | Post. 01 | 50.0% | 1.82 | | 4.009 | 1 | 0.498 | 0.0024742 | | |
| CATEGORIA "N" | 9 | | | | | | | | | | | |
| C=CAMION | | | | | | | | | | | | |
| CAMION (C2)  | 4 | 18.00 | Del. | 38.9% | 7.00 | 39.648 | 15.419 | 1 | 4.946 | 0.5042293 | 4.333230 | 17.3329197 |
| | | | Post. 01 | 61.1% | 11.00 | | 24.229 | 1 | 18.607 | 3.8290006 | | |
| CAMION (C3)  | 5 | 25.00 | Del. | 28.0% | 7.00 | 55.066 | 15.419 | 1 | 4.946 | 0.5042293 | 2.624036 | 13.1201788 |
| | | | Post. 02 | 72.0% | 18.00 | | 39.648 | 2 | 10.196 | 2.1198064 | | |

3. Diseño de pavimento flexible por el método AASHTO-93

El modelo básico del método AASHTO, se resume en la siguiente ecuación:

$$\log W_{18} = Z_R \cdot S_o + 9.36 \cdot \log(SN + 1) - 0.20 + \frac{\log \frac{\Delta PSI}{4.2 - 1.5}}{0.40 + \frac{1094}{(SN+1)^{5.19}}} + 2.32 \cdot \log M_R - 8.07$$

Los parámetros y valores necesarios para resolver la ecuación se describen en las siguientes secciones.

Módulo resiliente

La propiedad que se usa para caracterizar la subrasante es el módulo resiliente “Mr”. Este valor es una medida de la elasticidad del suelo reconociendo características no lineales. El módulo resiliente puede ser utilizado directamente para el diseño de pavimentos flexibles.

La guía AASHTO menciona que, ante la imposibilidad de contar con los equipos para ejecutar un ensayo de módulo resiliente, es conveniente relacionarlo con otras propiedades de los materiales. Con respecto al CBR se tiene:

- Si $CBR < 10\%$ y $B = 1500$, pero este valor puede variar entre 750 y 3600 para el módulo de resiliencia MR en (psi).

$$MR = B * CBR$$

- Para materiales de sub-rasante con CBR mayor de 7.2% pero menor o igual a 20% (psi).

$$MR = 3000 * CBR^{0.65}$$

- Para materiales de sub-rasante con valores de CBR mayores a 20%, se deberán emplear otras formas de correlación, tal como la recomendada por la propia guía de diseño AASHTO-93. En (psi).

$$MR = 4326 * \ln(CBR) + 241$$

El CBR de diseño de la sub-rasante, se determina a partir de un análisis de los resultados de estudio de suelos que se muestra en el siguiente cuadro.

Cuadro N° 4. Resultados de estudio de suelos

| Propiedades | Muestra | | |
|-----------------------------------|------------------|------------------|------------------|
| | 2 | 6 | 9 |
| Tramo en progresivas | 0+000 a 2+940 | 2+940 a 5+484 | 5+484 a 7+012 |
| Longitud del tramo | 2940 | 2544 | 1528 |
| Clasificación AASHTO | A-4(2) | A-2-6(0) | A-2-4(0) |
| CBR al 100% de la densidad máxima | 25 | 37 | 29 |
| CBR al 95% de la densidad máxima | 23 | 34 | 26 |

Fuente: Elaboración propia

El análisis es el siguiente:

- Se escoge como CBR de diseño al más crítico, siendo este el suelo que presente menor CBR.
- Del cuadro anterior el CBR menor es de 23% perteneciente al suelo clasificado según AASHTO el A-4 (2).
- Por otro lado, el tramo que tiene el mismo tipo de suelo con mayor magnitud en longitud es el A-4 (2). Por esto igual se escoge como CBR de diseño el 23%.

Como ya se definió el CBR de diseño, es momento de determinar el módulo resiliente de la sub-rasante o también llamado suelo de fundación. Se determina a partir de las fórmulas de correlación mencionadas arriba.

El módulo resiliente de la sub-rasante es de 13800 psi.

3.1.1. Materiales de construcción

El pavimento flexible consiste de una subrasante preparada, sub base, base y una superficie bituminosa.

Sub base. - es la porción del pavimento entre la base y la subrasante. Consiste de material granular. Las especificaciones, granulometría de los materiales se ven en la especificación ETG2-06 del ABC con CBR mayor o igual a 40%. Por otro lado, según

el manual de diseño de pavimentos del IBCH, el CBR caracterizado como buena para sub base esta entre 30% a 50%. Por tanto, para el diseño utilizamos el 30%, por el lado de la seguridad.

Base. - la base es la capa inmediatamente debajo de la superficie. Construida encima de la sub base. Consiste de agregado de piedra triturada. Las especificaciones para la capa base son más estrictas que las de la sub base. Las especificaciones, granulometría de los materiales se ven en la especificación ETG2-07 del ABC con CBR mayor o igual a 90%. Por otro lado, según el manual de diseño de pavimentos del IBCH, el CBR caracterizado para base esta entre 50% a 100%, y requerido según especificaciones es de 80%. Por tanto, para el diseño utilizamos 80%.

Bajo estas premisas se calcula y definen los módulos de resiliencia de las capas del pavimento flexible como se muestra en el siguiente cuadro.

Cuadro N° 5. Módulo de resiliencia de las capas del pavimento flexible

| Capa | CBR | M _r |
|-------------------------|-------|----------------|
| | | (psi) |
| Carpeta asfáltica | ----- | 435000 |
| Base granular triturada | 80% | 28000 |
| Sub base granular | 30% | 14600 |

Fuente: Relación entre CBR y Mr., AASHTO 93

Periodo de diseño

El periodo de diseño definido para un pavimento flexible, se considera que será de 10 años, por tratarse un camino de bajo volumen de tránsito vehicular.

Tabla N° 2. Periodos de diseño

| Tipo de camino | Periodo de diseño |
|--------------------------------|-------------------|
| Gran volumen de tránsito | 15-20 años |
| Gran volumen de tránsito rural | 15-20 años |
| Bajo volumen pavimentado | 5-12 años |

Fuente: (AASHTO -93) Maestría del Ing. Gustavo Corredor

Índice de serviciabilidad

La serviciabilidad de un pavimento está definida como la habilidad de servir a tráfico de alto volumen y alta velocidad. Se mide por medio del índice de serviciabilidad actual “psi”, que es una escala que va desde el 5 (camino perfecto) hasta 0 (camino imposible).

3.1.2. Serviciabilidad inicial

Se llama serviciabilidad inicial “ p_0 ” al valor de psi que tendrá un pavimento inmediatamente luego de la construcción. En la mayoría de los casos la serviciabilidad inicial debe ser mayor a 4. Según la AASHTO tenemos:

- Pavimentos flexibles: $p_0 = 4.2$

3.1.3. Serviciabilidad final

Serviciabilidad terminal “ p_t ” es el valor de psi mínimo tolerable de un pavimento. Cuando la serviciabilidad de un pavimento alcanza este valor, se requiere rehabilitación. Para volúmenes de bajo tránsito la AASHTO recomienda un valor de $p_t = 2$.

Se ha tomado una serviciabilidad inicial de 4.2 y serviciabilidad final de proyecto de 2, con una diferencia entre ambos de $\Delta\text{psi}=2.2$, conforme recomienda la guía de la AASHTO.

Confiabilidad

La confiabilidad de un proceso de diseño de un pavimento es la probabilidad de que una sección diseñada con ese proceso rendirá satisfactoriamente con las condiciones de tráfico y ambientales para el período de diseño.

Los parámetros que miden esa confiabilidad son dos:

- Nivel de confiabilidad
- Desviación estándar

3.1.4. Nivel de confiabilidad

El nivel de confiabilidad es la probabilidad en porcentaje de que la estructura dure el período de diseño. Esta probabilidad es extraída de una curva de distribución normal. La selección de este parámetro depende del uso e importancia del pavimento. Un nivel de confiabilidad alto implica mayores costos iniciales, pero menores costos de mantenimiento. Según recomendaciones de la AASHTO, para una carretera rural, local el rango es de 50-80, se adoptará un $R = 70\%$.

Tabla N° 3. Niveles sugeridos de confiabilidad

| Clasificación funcional | Nivel recomendado de confiabilidad | |
|---------------------------|------------------------------------|---------|
| | Urbano | Rural |
| Interestatal y otras vías | 85-99.9 | 80-99.9 |
| Arterias principales | 80-99 | 75-95 |
| Colectores | 80-95 | 75-95 |
| Local | 50-80 | 50-80 |

Fuente: Diseño de pavimentos (AASHTO -93) del IBCH

La desviación normal standard para el grado de confiabilidad r elegido es $Z_r=-0.524$

3.1.5. Desviación estándar

La desviación estándar es una medición de los errores o variabilidad de los datos introducidos, propiedades de los materiales, tráfico, propiedades de la subrasante, condiciones climáticas y calidad de construcción. En la ausencia de valores locales, la AASHTO recomienda los siguientes valores:

- Pavimentos flexibles: $s_0 = 0.49$

Coeficientes estructurales de las capas

El coeficiente estructural de una capa representa la relación empírica entre el número estructural SN y el espesor de dicha capa, siendo una medida de la capacidad relativa del material para actuar como componente estructural de un dado pavimento.

El método AASHTO (guía de diseño de pavimentos AASHTO – 93) presenta las siguientes fórmulas para de obtener el valor del coeficiente estructural.

- Carpeta asfáltica.

$$a_1 = 0.400 \cdot \log \frac{E_{CA}}{435} + 0.440$$

$$0.200 \leq a_1 \leq 0.440$$

Donde:

Módulo de elasticidad del asfalto a 68°F (20°C) $E_{CA} = 435$ ksi

Coeficiente estructural carpeta asfáltica $a_1 = 0.440$

- Base granulares.

$$a_2 = 0.249 \log(E_B) - 0.977$$

$$0.060 \leq a_2 \leq 0.200$$

Donde:

Módulo resiliente de la base granular $E_B = 28000$ psi

Coeficiente estructural base granular $a_2 = 0.130$

- Sub base granulares.

$$a_3 = 0.227 \log(E_{SB}) - 0.839$$

$$0.060 \leq a_3 \leq 0.200$$

Donde:

Módulo resiliente de la sub base granular $E_{SB} = 14600$ psi

Coeficiente estructural sub base granular $a_3 = 0.1$

Coefficiente de drenaje

El método AASHTO propone la utilización de los coeficientes modificados para las capas de pavimento, en función de las características de drenaje de los materiales. Para eso, la calidad del drenaje es definida en función del tiempo exigido para la remoción del agua del pavimento.

Se consideraron los coeficientes de drenaje en función del material empleado y de la posición de la capa en la estructura. Además, de eso, en las tablas indicadas en la guía de la AASHTO que la calidad del drenaje será regular para capa subbase, es decir, el tiempo de remoción del agua del pavimento será de cerca de una semana, y el porcentaje de tiempo a que el pavimento estará sujeto a condiciones de humedad próxima de la saturación será de 5% y 25% y la calidad de drenaje para la capa base será buena.

Resulta que los días de lluvia en promedio para nuestra zona es de 68 días¹, con este dato se determina el porcentaje de tiempo en que el pavimento está sometido a niveles cercanos de saturación que es igual a 18.6%, con este valor interpolando obtenemos que para la capa base, sub base, se adoptó coeficiente igual a $m_2 = 1.03$ y $m_3 = 0.93$

Tabla N° 4. Drenaje en función al tiempo en que alcanza 85% de saturación

| Calidad de drenaje | 85% de saturación alcanzado en: |
|--------------------|---------------------------------|
| Excelente | 2 horas |
| Buena | 1 día |
| Regular | 1 semana |
| Pobre | 1 mes |
| Muy pobre | El agua no drena |

Fuente: Diseño de pavimentos (AASHTO -93) del IBCH

¹ Obtenida de datos de precipitación de la estación aeropuerto, Tarija Bolivia.

Tabla N° 5. Coeficiente de drenaje

| Calidad de drenaje | Porcentaje de tiempo en que el pavimento está sometido a niveles cercanos de saturación | | | |
|--------------------|---|---------------|---------------|------------|
| | Menos de 1% | 1 – 5% | 5 – 25% | Más de 25% |
| Excelente | 1.250 - 1.20 | 1.200 - 1.150 | 1.150 - 1.100 | 1.100 |
| Bueno | 1.250 - 1.150 | 1.150 - 1.100 | 1.100 - 1.000 | 1.000 |
| Regular | 1.150- 1.100 | 1.100 - 1.000 | 1.000 - 0.900 | 0.900 |
| Pobre | 1.100 - 1.000 | 1.000 - 0.900 | 0.900 - 0.800 | 0.800 |
| Muy pobre | 1.000 - 0.900 | 0.900 - 0.800 | 0.800 - 0.700 | 0.700 |

Fuente: Diseño de pavimentos (AASHTO -93) del IBCH

4. Numero estructural

Con los parámetros y valores determinados posteriormente se determina el numero estructural.

$$\log W_{18} = Z_R \cdot S_o + 9.36 \cdot \log(SN + 1) - 0.20 + \frac{\log \frac{\Delta PSI}{4.2 - 1.5}}{0.40 + \frac{1094}{(SN+1)^{5.19}}} + 2.32 \cdot \log M_R - 8.07$$

Para un periodo de diseño de 10 años.

| | |
|-------------------------------------|----------------------------|
| Numero de ejes equivalentes | W ₁₈ = 94462 |
| Serviciabilidad inicial. | P _o = 4.2 |
| Serviciabilidad final. | P _f = 2.0 |
| Diferencia serviciabilidad. | Δpsi= 2.2 |
| Nivel de confianza. | R= 70.0% |
| Desviación normal. | Z _r = -0.524 |
| Desviación estándar. | S _o = 0.49 |
| Módulo resiliente de la subrasante. | M _r = 13800 psi |
| Numero estructural | S _n = 1.62 plg |
| | S _n = 4.12 cm |

5. Determinación de espesores de las capas del pavimento

Alternativa I: Pavimento flexible

El numero estructural de soporte deberá tener un valor mayor o igual al requerido. La fórmula para determinar es el siguiente:

$$SN = a_1 \cdot D_1 + a_2 \cdot D_2 \cdot m_2 + a_3 \cdot D_3 \cdot m_3$$

Donde:

$a_1 = 0.440$ Coeficiente estructural carpeta asfáltica

$a_2 = 0.130$ Coeficiente estructural capa base

$a_3 = 0.100$ Coeficiente estructural capa sub base

$m_2 = 1.03$ Coeficiente drenaje capa base

$m_3 = 0.93$ Coeficiente drenaje capa sub base

$D_1 =$ Espesor de la carpeta asfáltica

$D_2 =$ Espesor de la capa base

$D_3 =$ Espesor de la capa sub base

Por tanto, los espesores del pavimento flexible que tienen un numero estructural de soporte mayor al requerido es el siguiente:

| Periodo de diseño | Capa | Carlazo Centro- Carlazo Este |
|-------------------------|-------------------|------------------------------|
| 2026 – 2036 (n=10 años) | Carpeta asfáltica | 2.5 cm |
| | Base triturada | 15 cm |
| | Sub base granular | 20 cm |

$$SN_1 + SN_2 + SN_3 \geq SN$$

$$SN_1 + SN_2 + SN_3 = 4.96 > SN = 4.12 \quad \text{Verifica}$$

Costo por metro cuadrado. – Para hacer este análisis, partimos con los espesores determinados y con precios unitarios que nos proporcionó SEDECA-TARIJA.

Cuadro Nº 6. Costo por metro cuadrado alternativa I

| Capa | PU (Bs/m3) | Espesor (m) | PU (Bs/m2) |
|-------------------|---------------|----------------|---------------|
| Carpeta asfáltica | 2598.44 | 0.025 | 64.96 |
| Imprimación | | | 17.51 |
| Base | 156.63 | 0.15 | 23.49 |
| Sub-base | 146.53 | 0.2 | 29.31 |
| | | Total | 135.27 |

Fuente: Elaboración propia

Alternativa II: Tratamiento superficial

Los tratamientos superficiales, en su variante más sencilla (tratamiento superficial simple) se definen como una aplicación uniforme de un ligante asfáltico, usualmente emulsión asfáltica, cubierta por una capa uniforme de agregados de igual tamaño. Esta aplicación puede llevarse a cabo sobre pavimentos flexibles o sobre bases granulares.

En nuestro caso consiste en aplicar el tratamiento superficial sobre la capa base. Por tanto, los espesores de capa base y sub-base con numero estructural de soporte mayor al requerido son:

| Periodo de diseño | Capa | Carlazo Centro- Carlazo Este |
|-------------------------|-------------------|------------------------------|
| 2026 – 2036 (n=10 años) | Base triturada | 15 cm |
| | Sub base granular | 25 cm |

$$SN_1 + SN_2 + SN_3 \geq SN$$

$$SN_1 + SN_2 + SN_3 = 4.33 > SN = 4.12 \quad \text{Verifica}$$

Costo por metro cuadrado. – Al igual que la alternativa I, partimos con los espesores determinados y con precios unitarios que nos proporcionó SEDECA-TARIJA.

Cuadro N° 7. Costo por metro cuadrado alternativa II

| Capa | PU (Bs/m ³) | Espesor (m) | PU (Bs/m ²) |
|--------------------|----------------------------|----------------|----------------------------|
| Tratamiento simple | | | 43.99 |
| Imprimación | | | 17.51 |
| Base | 156.63 | 0.15 | 23.49 |
| Sub-base | 146.53 | 0.25 | 36.63 |
| | | Total | 121.63 |

Fuente: Elaboración propia

DISEÑO HIDRÁULICO-PUENTES

1. Diseño hidráulico

El cálculo hidráulico considerado para establecer la sección hidráulica para los puentes, es lo establecido por la fórmula de Robert Manning para canales abiertos, por ser el procedimiento más utilizado y de fácil aplicación, la cual permite obtener la velocidad del flujo y caudal para una condición de régimen uniforme mediante la siguiente relación.

$$V = \frac{R^{2/3}S^{1/2}}{n}$$

$$R = \frac{A}{P}$$

$$Q = VA$$

Donde:

Q = Caudal, en m³/seg.

V = Velocidad del flujo, en m/seg.

A = Área de la sección hidráulica, en m².

P = Perímetro mojado, en m.

R = Radio hidráulico, en m.

S = Pendiente de fondo, en m/m.

n = Coeficiente de Manning.

2. Determinación del tiempo de concentración

Hidrológicamente está demostrado que el caudal máximo en una corriente de agua para una sección particular de interés, se produce para una lluvia o tormenta cuya duración es igual al tiempo de concentración.

El tiempo de concentración queda definido como el tiempo que tardaría una gota de agua en llegar a la sección de interés, desde el punto más alejado de la cuenca.

Para la estimación del tiempo de concentración se han analizado varias ecuaciones empíricas, correspondientes a diferentes autores. Las fórmulas recopiladas por el manual de hidrología y drenaje del ABC para regiones con pendientes se indican a continuación:

Fórmula propuesta por Kirpich:

$$t_c = 0.0078 \left(\frac{3.28L}{S^{1/2}} \right)^{0.77}$$

Donde:

t_c = Tiempo de concentración, en min.

L = Longitud del cauce principal, en m.

S = Pendiente del cauce principal, en m/m.

Válida para cuencas pequeñas.

Fórmula propuesta por normas españolas:

$$t_c = 0.3 \left(\frac{L}{S^{0.25}} \right)^{0.76}$$

Donde:

t_c = Tiempo de concentración, en hr.

L = Longitud del cauce principal, en km.

S = Pendiente del cauce principal, en m/m.

Fórmula propuesta por Giandotti:

$$t_c = \frac{4\sqrt{A} + 1.5L}{0.8\sqrt{H}}$$

$$\frac{L}{3.6} \geq t_c \geq \frac{L}{3.6 + 1.5}$$

Donde:

t_c = Tiempo de concentración, en hr.

A = Área de la cuenca, en km².

L = Longitud del cauce principal, en km.

H = Altura media descontando la elevación de origen de la cuenca, en km.

Válida para áreas de cuencas comprendidas entre 70 a 170 km².

Fórmula propuesta por SCS:

$$t_c = \frac{0.0287 L^{0.8} \left(\frac{1000}{CN} - 9 \right)^{1.67}}{\sqrt{S}}$$

Donde:

t_c = Tiempo de concentración, en min.

CN = Número de curva del SCS.

S = Pendiente de la cuenca, en %.

L = Longitud del cauce principal, en m.

Válida para cuencas con áreas menores a 8 km².

Fórmula propuesta por California Highway y Public work:

$$t_c = 0.95 \left(\frac{L^3}{H} \right)^{0.385}$$

Donde:

t_c = Tiempo de concentración, en hrs.

L = Longitud del cauce principal, en km.

H = Desnivel máximo de la cuenca, en m.

Válida para cuencas pequeñas.

Fórmula propuesta por Johnstone y Cross (1949):

$$t_c = 300 \sqrt{\frac{L}{S}}$$

Donde:

t_c = Tiempo de concentración, en min.

L = Longitud del cauce principal, en millas.

S = Pendiente del cauce principal de la cuenca, en pies por millas.

Válida para áreas de cuencas comprendidas entre 64 a 4200 km².

Fórmula propuesta por Ventura Heras:

$$t_c = a \frac{A^{0.5}}{S}, \text{ siendo } 0.05 \leq a = L/\sqrt{A} \leq 0.5$$

Donde:

t_c = Tiempo de concentración, en hr.

A = Área de la cuenca, en km².

S = Pendiente de la cuenca, en %.

L = Longitud del cauce principal, en km.

a = Alejamiento medio.

Fórmula propuesta por Passini:

$$t_c = a \frac{(AL)^{1/3}}{S}, \text{ siendo } 0.05 \leq a = L/\sqrt{A} \leq 0.5$$

Donde:

t_c = Tiempo de concentración, en hr.

A = Área de la cuenca, en km².

S = Pendiente de la cuenca, en %.

L = Longitud del cauce principal, en km.

a = Alejamiento medio.

Para este cálculo se precisa saber algunos datos característicos sobre la cuenca, estos datos son empleados en las fórmulas empíricas del tiempo de concentración y son los que se indican en el cuadro N° 1;**Error! No se encuentra el origen de la referencia.**. Los resultados del tiempo de concentración para la cuenca se muestran en el cuadro N° 2, debido a su extensión son tres fórmulas que se adaptan a la cuenca y con estos obtener un promedio.

Cuadro N° 1. Datos característicos de la cuenca

| Características físicas de la cuenca | | |
|--------------------------------------|--------|-----------------|
| Área de la cuenca | 107.6 | km ² |
| Elevación inicial del cauce mayor | 2180 | m.s.n.m |
| Elevación máxima del cauce mayor | 2440.5 | m.s.n.m |
| Elevación media de la cuenca | 2429.9 | m.s.n.m |
| Pendiente de la cuenca | 0.2511 | m/m |
| Longitud del cauce más largo | 15.13 | km |
| Pendiente del río principal | 0.0242 | m/m |

Fuente: Elaboración propia

Cuadro N° 2. Resultados del tiempo de concentración

| Formula | Resultados del tiempo de concentración | |
|--------------------------|--|--------|
| | hr | min |
| Normas españolas | 4.80 | 287.76 |
| Giandotti | 3.61 | 216.62 |
| Johnstone y Cross (1949) | 4.45 | 266.98 |
| Promedio | 4.29 | 257.12 |

Fuente: Elaboración propia

3. Coeficiente de escorrentía

El coeficiente de escorrentía es la relación entre la escorrentía directa y la intensidad promedio de la lluvia.

Se entiende como escorrentía directa el exceso de precipitación que se obtiene por toda la cuenca. El coeficiente de escorrentía también se puede expresar como la relación entre la escorrentía y la precipitación en un periodo.

El coeficiente de escorrentía depende, además, de la intensidad de lluvia, de las características del suelo, la vegetación y pendiente del suelo.

Para el coeficiente se elaboró mapas en base a las variables mencionadas, información de imagen satelital, uso del ArcGis 10.2, información del Zonisig y tabla de referencia de coeficiente de escorrentía según Benites (1980), citado por Lemus y Navarro (2003).

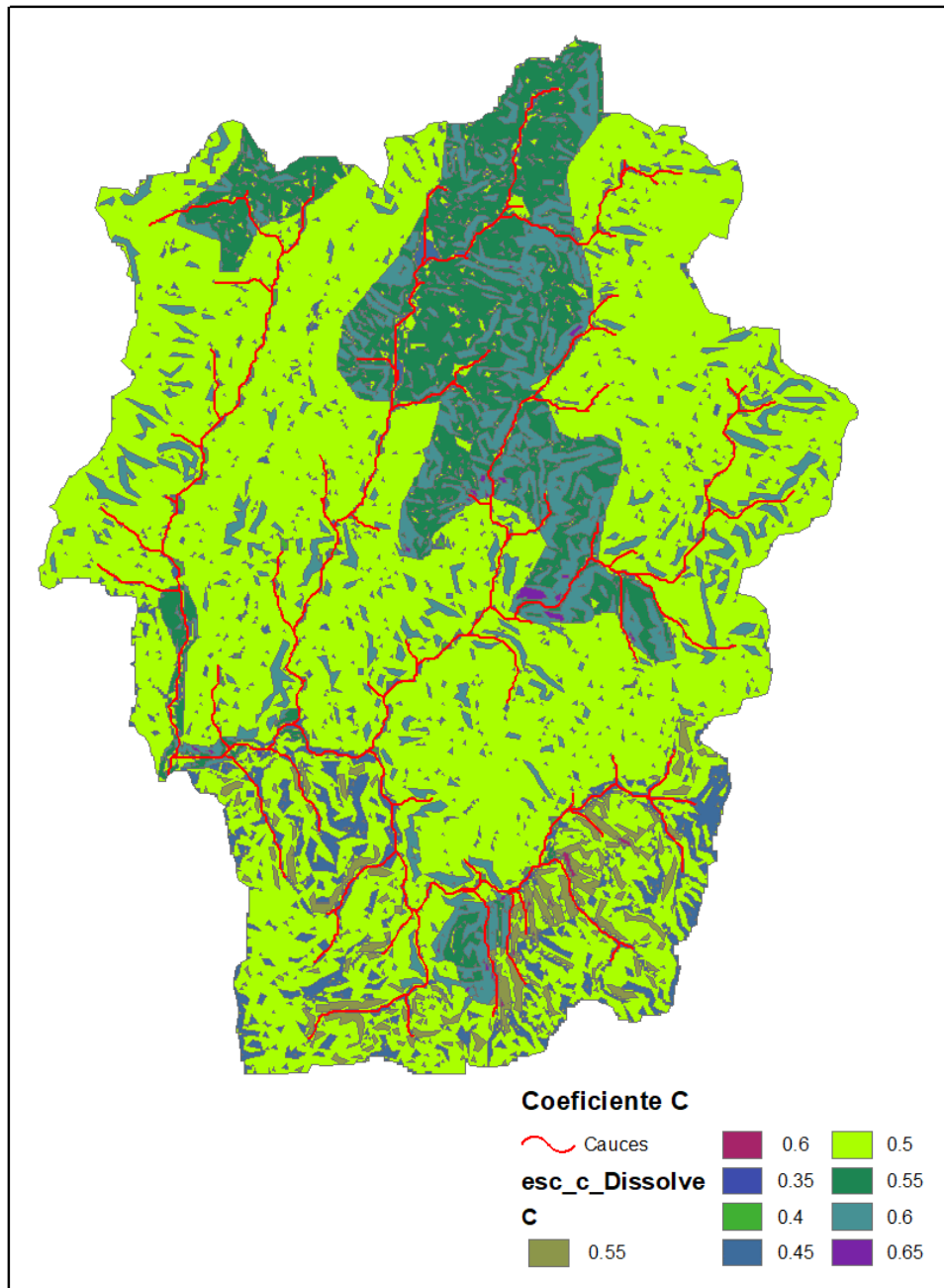
Cuadro N° 3. Coeficiente de escorrentía según tipo de suelo y pendiente

| | | Coeficiente de escorrentía C | | | | |
|---------------------------|-----------------|------------------------------|---------|-------|------|------|
| Cobertura del suelo | Tipo de suelo | Pendiente (%) | | | | |
| | | > 50 | 20 - 50 | 5 -20 | 1-5 | 0-1 |
| Cultivos | Semipermeable B | 0.6 | 0.55 | 0.5 | 0.45 | 0.4 |
| | Impermeable C | 0.65 | 0.6 | 0.55 | 0.5 | 0.45 |
| | Impermeable D | 0.7 | 0.65 | 0.6 | 0.55 | 0.5 |
| Pastos, vegetación ligera | Semipermeable B | 0.55 | 0.5 | 0.45 | 0.4 | 0.35 |
| | Impermeable C | 0.6 | 0.55 | 0.5 | 0.45 | 0.4 |
| | Impermeable D | 0.65 | 0.6 | 0.55 | 0.5 | 0.45 |

Fuente: Elaboración propia

El coeficiente de escorrentía ponderada para la cuenca es 0.51, determinada en base a datos del mapa N° 1.

Mapa N° 1. Áreas de incidencia del coeficiente de escorrentía



Fuente: Elaboración propia

4. Generación del mapa número de curva

Los métodos para estimar la escorrentía a partir de la precipitación tratan de descontar de la lluvia caída sobre una cuenca todas aquellas pérdidas que se deben a factores tales como la infiltración, la evapotranspiración, la intercepción y el almacenamiento superficial.

El procedimiento más generalizado y fácil de adaptar a cualquier región es el método del número de curva (NC), que es un método desarrollado por el Soil Conservation Service de los Estados Unidos en 1950.

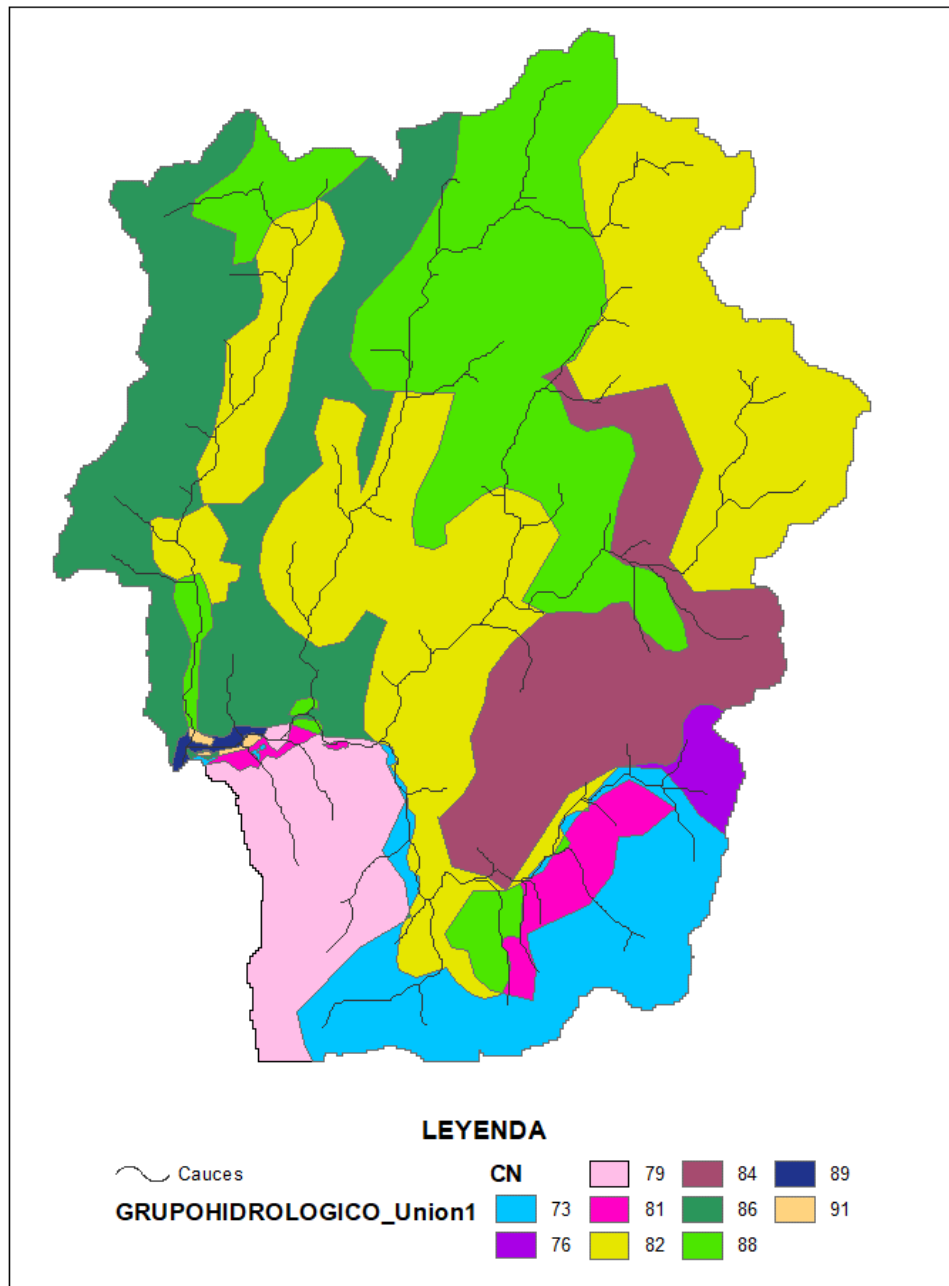
Para estandarizar estas curvas, se definió un número adimensional de curva CN, tal que $0 \leq CN \leq 100$. Para superficies impermeables y de agua $CN = 100$; para superficies naturales $CN < 100$ y para superficie sin escurrimiento $CN = 0$. Los números de curva se aplican para condiciones antecedentes de humedad normales (Condición II); para condiciones secas (Condición I) o condiciones húmedas (Condición III), se calculan los números de curva equivalentes.

La metodología del número de la curva (NC) es la más empleada para transformar la precipitación total en precipitación efectiva.

El número de curva depende, del tipo de suelo y uso del suelo, el tipo de suelo está clasificada en cuatro grupos llamados grupos hidrológicos.

El mapa del número de curva se generó, en base a las variables mencionadas, información de imagen satelital, uso del ArcGis 10.2, información del Zonisig y tabla de referencia de numero de curva de hidrología aplicada, Ven Te Chow.

Mapa N° 2. Áreas de incidencia del número de curva CN



Fuente: Elaboración propia

Cuadro N° 4. CN para usos selectos de tierra y grupo hidrológico del suelo

| Número de curva para usos selectos de tierra cultivadas y pastizales de la cuenca (Condiciones antecedentes de Humedad II, Ia = 0.2 S) | | | | | |
|---|----------------------------------|-----------------------------|----|----|----|
| Descripción del uso de la tierra | | Grupo hidrológico del suelo | | | |
| | | A | B | C | D |
| Tierras cultivadas | sin tratamiento de conservación | 72 | 81 | 88 | 91 |
| | Con tratamientos de conservación | 62 | 71 | 78 | 81 |
| Pastizales | Condiciones pobres tipo 1 | 68 | 79 | 86 | 89 |
| | Condiciones pobres tipo 2 | 63 | 76 | 84 | 88 |
| | Condiciones pobres tipo 3 | 59 | 73 | 82 | 86 |
| | Condición intermedia | 54 | 70 | 80 | 85 |
| | Condiciones óptimas | 39 | 61 | 74 | 80 |

Fuente: Elaboración propia

El número de curva ponderada para la cuenca en condiciones antecedentes de humedad dos es 83, ver Excel de anexos.

5. Caudales máximos para diferentes períodos de retorno

En la cuenca de estudio del río principal y demás afluentes no se dispone de datos hidrométricos; por esta razón nos basaremos en métodos empíricos, semi-empíricos basado en las precipitaciones máximas y las características de la cuenca en estudio; y además se tomará como dato importante para la información histórica de los vecinos de la comunidad, ya que ellos son la mejor fuente de información donde no se tiene estaciones de control.

5.1. Método Racional para caudales máximos

La metodología usada para dicha estimación está basada en la aplicación de la Fórmula “Racional”, mediante la cual podemos obtener los caudales máximos.

La expresión matemática es la siguiente:

$$Q = \frac{CIA}{3.6}$$

Donde:

Q = Caudal, en m³/seg.

A = Área de la cuenca en proyección horizontal, en km².

I = Intensidad media de lluvia máxima para un tiempo igual al tiempo de concentración, en mm/hr.

C = Coeficiente de escorrentía, adimensional.

Cuadro N° 5. Caudales máximos para diferentes periodos de retorno

| Periodo de retorno | Probabilidad de ocurrencia | tc (hr) | I (mm/hr) | A (km ²) | C | Q (m ³ /seg) |
|--------------------|----------------------------|---------|-----------|----------------------|------|-------------------------|
| 5 | 20.00% | 4.29 | 13.04 | 107.6 | 0.51 | 198.75 |
| 10 | 10.00% | 4.29 | 14.56 | 107.6 | 0.51 | 222.01 |
| 25 | 4.00% | 4.29 | 16.86 | 107.6 | 0.51 | 256.99 |
| 50 | 2.00% | 4.29 | 18.83 | 107.6 | 0.51 | 287.07 |
| 100 | 1.00% | 4.29 | 21.04 | 107.6 | 0.51 | 320.68 |
| 200 | 0.50% | 4.29 | 23.50 | 107.6 | 0.51 | 358.21 |

Fuente: Elaboración propia

5.2. Método del hidrograma unitario triangular

La expresión matemática es la siguiente:

$$Q_p = \frac{2.08Ah}{t_p}$$

Donde:

Q_p = Caudal pico que es el caudal máximo, en m³/s.

A = Área de la cuenca, en km².

t_p = Tiempo al pico, en hr.

h = Altura de lluvia neta unitaria, en cm.

La expresión del tiempo al pico es:

$$t_p = \frac{D}{2} + t_r$$

$$t_r = 0.6t_c$$

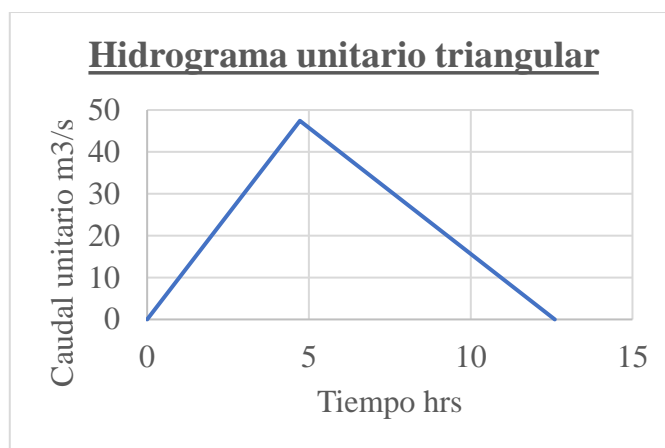
Donde:

D = Duracion de la lluvia, igual al tiempo de concentración, en hr.

t_r = Tiempo de retardo, en hr.

t_c = Tiempo de concentración, en hr.

Gráfico N° 1. Hidrograma unitario triangular



Fuente: Elaboración propia

Cuadro N° 6. Caudales máximos método del hidrograma unitario

| Periodo de retorno | Probabilidad de ocurrencia | Pmax (cm) | C | D (hr) | P(efectiva) (cm) | Q (m ³ /s) |
|--------------------|----------------------------|-----------|------|--------|------------------|-----------------------|
| 5 | 20.00% | 5.2 | 0.51 | 4.29 | 2.7 | 125.78 |
| 10 | 10.00% | 6.3 | 0.51 | 4.29 | 3.2 | 152.38 |
| 25 | 4.00% | 7 | 0.51 | 4.29 | 3.6 | 169.31 |
| 50 | 2.00% | 7.6 | 0.51 | 4.29 | 3.9 | 183.83 |
| 100 | 1.00% | 8.3 | 0.51 | 4.29 | 4.2 | 200.76 |
| 200 | 0.50% | 8.9 | 0.51 | 4.29 | 4.5 | 215.27 |

Fuente: Elaboración propia

5.3. Método del número de curva CN

La expresión matemática es la siguiente:

$$P_e = \frac{(P - 0.2S)^2}{(P + 0.8S)}$$

Donde:

P_e = Escorrentía directa, en mm.

P = Precipitación neta, en mm.

S = Potencial máximo de retención, en mm.

La expresión del potencial máximo de retención es:

$$S = \frac{25400}{CN} - 254$$

Donde:

S = Potencial máximo de retención, en mm.

CN = Número de curva, adimensional.

5.3.1. Coeficiente de escorrentía por el método del número de curva CN

La expresión matemática es la siguiente:

$$\alpha = \frac{P_e}{P}$$

Donde:

α = Coeficiente de escorrentía, adimensional.

P_e = Escorrentía directa, en mm.

P = Precipitación neta, en mm.

Cuadro N° 7. Precipitación máxima para duración de lluvia igual al t_c

| Periodo de retorno | Probabilidad de ocurrencia | D (hr) | Pmax (mm) |
|--------------------|----------------------------|--------|-----------|
| 5 | 20.00% | 4.29 | 52 |
| 10 | 10.00% | 4.29 | 63 |
| 25 | 4.00% | 4.29 | 70 |
| 50 | 2.00% | 4.29 | 76 |
| 100 | 1.00% | 4.29 | 83 |
| 200 | 0.50% | 4.29 | 89 |

Fuente: Elaboración propia

Cuadro N° 8. Caudales máximos método del número de curva

| Pmax (mm) | CN | S (mm) | Pe (mm) | α | I (mm/hr) | Q (m ³ /seg) |
|-----------|----|--------|---------|----------|-----------|-------------------------|
| 52 | 83 | 52.02 | 18.48 | 0.36 | 12.1 | 128.76 |
| 63 | 83 | 52.02 | 26.44 | 0.42 | 14.7 | 184.22 |
| 70 | 83 | 52.02 | 31.82 | 0.45 | 16.3 | 221.68 |
| 76 | 83 | 52.02 | 36.58 | 0.48 | 17.7 | 254.87 |
| 83 | 83 | 52.02 | 42.29 | 0.51 | 19.3 | 294.63 |
| 89 | 83 | 52.02 | 47.29 | 0.53 | 20.7 | 329.49 |

Fuente: Elaboración propia

5.4. Caudales de crecida mediante fórmulas empíricas

Se ha calculado el caudal máximo mediante fórmulas empíricas que están expresados en función al área de la cuenca, a continuación, se presenta:

FORMULA DE KUILCHLING

$$Q = \left(\frac{1246}{A + 440} + 0.22 \right) A = 268.5 \text{ m}^3/\text{seg}$$

FORMULA DE DICKENS

$$Q = 6.9A^{3/4} = 230.52 \text{ m}^3/\text{seg}$$

FORMULA DE GAUGUILLET

$$Q = \frac{25A}{5 + \sqrt{A}} = 174.98 \text{ m}^3/\text{seg}$$

5.5. Resumen de caudales máximos

A continuación, se muestra un resumen de los caudales máximos de crecida para la cuenca en estudio, obtenidos por los distintos métodos utilizados; posteriormente se efectuará el análisis para cada uno de ellos con el fin de adoptar el más representativo.

Cuadro Nº 9. Resumen de caudales máximos

| Método utilizado | Caudal máximo (m ³ /s) | | | | |
|-----------------------|-----------------------------------|--------|--------|--------|--------|
| | 5 | 10 | 25 | 50 | 100 |
| Kuilchling | | | | 268.5 | |
| Dickens | | | | 230.52 | |
| Gauguillet | | | | 174.98 | |
| Metodo racional | 198.75 | 222.01 | 256.99 | 287.07 | 320.68 |
| Hidrograma triangular | 125.78 | 152.38 | 169.31 | 183.83 | 200.76 |
| Numero de curva | 128.76 | 184.22 | 221.68 | 254.87 | 294.63 |
| Adoptado | 151.09 | 186.20 | 216.00 | 233.30 | 272.02 |

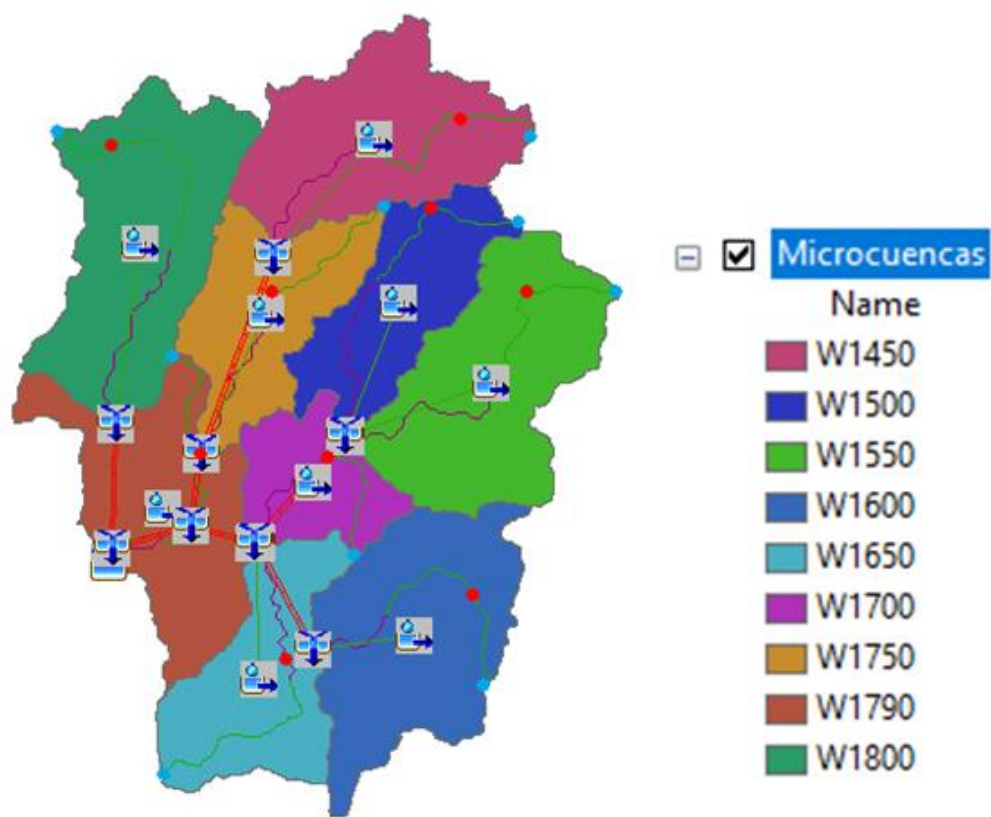
Fuente: Elaboración propia

6. Caudales máximos de las subcuenca

El procedimiento de dividir la cuenca en microcuenca, consiste en determinar los hidrogramas de escorrentía de las microcuenca y luego, mediante superposición y traslado hacer el tránsito de los hidrogramas a lo largo de la corriente principal de la cuenca hasta el punto de salida.

A continuación, se presenta un mapa y cuadros del tiempo de concentración, las intensidades y los caudales máximos de las subcuenca.

Mapa N° 3. Subcuencas en estudio



Fuente: Elaboración propia

Cuadro N° 10. Parámetros de las subcuenca que compone la cuenca

| Parámetros de las subcuenca que compone la cuenca en estudio. | | | | |
|---|---------|-------------|---------|---------|
| Parámetros | Unid. | Microcuenca | | |
| | | W1790 | W1450 | W1500 |
| Área de la cuenca | km2 | 13.2 | 13.6 | 9.2 |
| Elevación inicial del cauce mayor | m.s.n.m | 2180 | 2312 | 2293.8 |
| Elevación máxima del cauce mayor | m.s.n.m | 2265.34 | 2526.49 | 2443.7 |
| Elevación media de la cuenca | m.s.n.m | 2285.58 | 2461.23 | 2464.87 |
| Pendiente de la cuenca | m/m | 0.1974 | 0.16 | 0.1804 |
| Longitud del cauce más largo | km | 4.2 | 6.2 | 5.6 |
| Pendiente del río principal | m/m | 0.0027 | 0.005 | 0.0037 |
| numero de curva CN | | 83 | 86 | 85 |
| | | W1550 | W1600 | W1650 |
| Área de la cuenca | km2 | 15.0 | 15.0 | 10.4 |
| Elevación inicial del cauce mayor | m.s.n.m | 2293.7 | 2311.99 | 2228.45 |
| Elevación máxima del cauce mayor | m.s.n.m | 2575.85 | 2478.8 | 2361.1 |
| Elevación media de la cuenca | m.s.n.m | 2536.94 | 2480.33 | 2452.41 |
| Pendiente de la cuenca | m/m | 0.2465 | 0.2167 | 0.2614 |
| Longitud del cauce más largo | km | 6.6 | 4.44 | 3.7 |
| Pendiente del río principal | m/m | 0.012 | 0.0029 | 0.0055 |
| numero de curva CN | | 84 | 79 | 78 |
| | | W1700 | W1750 | W1800 |
| Área de la cuenca | km2 | 6.1 | 9.8 | 15.7 |
| Elevación inicial del cauce mayor | m.s.n.m | 2228.58 | 2245.21 | 2212.96 |
| Elevación máxima del cauce mayor | m.s.n.m | 2338.7 | 2361.03 | 2444.67 |
| Elevación media de la cuenca | m.s.n.m | 2373.44 | 2369.07 | 2395.62 |
| Pendiente de la cuenca | m/m | 0.2545 | 0.1761 | 0.2013 |
| Longitud del cauce más largo | km | 3.16 | 4.5 | 7.6 |
| Pendiente del río principal | m/m | 0.0029 | 0.0005 | 0.0102 |
| numero de curva CN | | 83 | 85 | 85 |

Fuente: Elaboración propia

Cuadro N° 11. Tiempo de concentración de las subcuenca que compone la cuenca

| Tiempo de concentración de las subcuenca que compone la cuenca | | Unid. | Subcuenca | | |
|--|----|-------|-----------|-------|-------|
| Formula | | | W1790 | W1450 | W1500 |
| Kirpitch | hr | 1.95 | 2.08 | 2.16 | |
| California Higliway y Public Work | hr | 0.90 | 0.99 | 1.01 | |
| SCS. | hr | 0.55 | 0.65 | 0.61 | |
| Chereque (utilizada en EE.UU) | hr | 0.90 | 0.99 | 1.01 | |
| Promedio | hr | 1.07 | 1.18 | 1.20 | |
| | | W1550 | W1600 | W1650 | |
| Kirpitch | hr | 1.55 | 1.98 | 1.34 | |
| California Higliway y Public Work | hr | 0.96 | 0.74 | 0.66 | |
| SCS. | hr | 0.65 | 0.74 | 0.63 | |
| Chereque (utilizada en EE.UU) | hr | 0.96 | 0.74 | 0.65 | |
| Promedio | hr | 1.03 | 1.05 | 0.82 | |
| | | W1700 | W1750 | W1800 | |
| Kirpitch | hr | 1.52 | 3.94 | 1.85 | |
| California Higliway y Public Work | hr | 0.59 | 0.87 | 1.21 | |
| SCS. | hr | 0.38 | 0.52 | 0.74 | |
| Chereque (utilizada en EE.UU) | hr | 0.59 | 0.86 | 1.21 | |
| Promedio | hr | 0.77 | 1.55 | 1.25 | |

Fuente: Elaboración propia

Cuadro N° 12. Resumen de las intensidades en las subcuenca

| Nº | Sub-cuenca | Área (km2) | Intensidad (mm/hr) | | | | | |
|----|------------|------------|--------------------|---------|---------|---------|----------|----------|
| | | | 5 años | 10 años | 25 años | 50 años | 100 años | 200 años |
| 1 | W1790 | 13.2 | 31.96 | 35.70 | 41.33 | 46.17 | 51.57 | 57.61 |
| 2 | W1450 | 13.6 | 30.00 | 33.52 | 38.80 | 43.34 | 48.41 | 54.08 |
| 3 | W1500 | 9.2 | 29.68 | 33.16 | 38.38 | 42.87 | 47.89 | 53.50 |
| 4 | W1550 | 15 | 32.76 | 36.59 | 42.36 | 47.32 | 52.86 | 59.04 |
| 5 | W1600 | 15 | 32.35 | 36.14 | 41.84 | 46.73 | 52.20 | 58.31 |
| 6 | W1650 | 10.4 | 37.95 | 42.40 | 49.08 | 54.82 | 61.24 | 68.41 |
| 7 | W1700 | 6.1 | 39.53 | 44.15 | 51.11 | 57.10 | 63.78 | 71.24 |
| 8 | W1750 | 9.8 | 25.16 | 28.10 | 32.53 | 36.34 | 40.60 | 45.35 |
| 9 | W1800 | 15.7 | 28.91 | 32.29 | 37.38 | 41.76 | 46.64 | 52.10 |

Fuente: Elaboración propia

Cuadro N° 13. Resumen de caudales máximos en las subcuenca

| Nº | Sub-cuenca | Área (km2) | Resumen de caudales máximos en las subcuenca | | | | | |
|----|------------|---------------|--|---------|---------|---------|----------|----------|
| | | | 5 años | 10 años | 25 años | 50 años | 100 años | 200 años |
| 1 | W1790 | 13.2 | 41.36 | 47.73 | 57.67 | 66.50 | 76.63 | 88.21 |
| 2 | W1450 | 13.6 | 45.13 | 51.97 | 62.56 | 71.90 | 82.55 | 94.64 |
| 3 | W1500 | 9.2 | 29.58 | 34.07 | 41.05 | 47.21 | 54.23 | 62.24 |
| 4 | W1550 | 15 | 50.54 | 58.27 | 70.30 | 80.96 | 93.17 | 107.10 |
| 5 | W1600 | 15 | 44.82 | 51.62 | 62.31 | 71.87 | 82.89 | 95.57 |
| 6 | W1650 | 10.4 | 34.46 | 39.64 | 47.80 | 55.13 | 63.62 | 73.42 |
| 7 | W1700 | 6.1 | 23.22 | 26.78 | 32.34 | 37.29 | 42.99 | 49.52 |
| 8 | W1750 | 9.8 | 27.39 | 31.54 | 37.96 | 43.62 | 50.07 | 57.39 |
| 9 | W1800 | 15.7 | 47.95 | 55.28 | 66.66 | 76.72 | 88.19 | 101.25 |

Fuente: Elaboración propia

7. Modelamiento con HEC HMS

7.1. Modelo de la cuenca

En este componente se informa al programa de las diferentes subcuenca y sus características. Un proyecto muy sencillo puede constar de una sola subcuenca, lo normal es que tenga varias. En cada subcuenca se realizan las tres primeras etapas de cálculo. Al circular por otra subcuenca, se calcula la evolución del hidrograma generado en una subcuenca, al transitar por la subcuenca siguiente.

Para el modelo de la cuenca se utilizó la cuenca delimitada en ArcGis 10.2, la cual se convirtió a Shapefile, tanto la cuenca como la red hídrica.

7.2. Modelo meteorológico

En este componente, se asocian los registros de los pluviógrafos con la subcuenca que le corresponda, también se introducen los datos de los pluviómetros, se pueden utilizar precipitaciones reales, precipitaciones teóricas o tormentas de diseño.

Para este estudio se utilizó las precipitaciones máximas registradas en 24 horas para diferentes periodos de retorno y finalmente se desgregó la precipitación en diferentes duraciones.

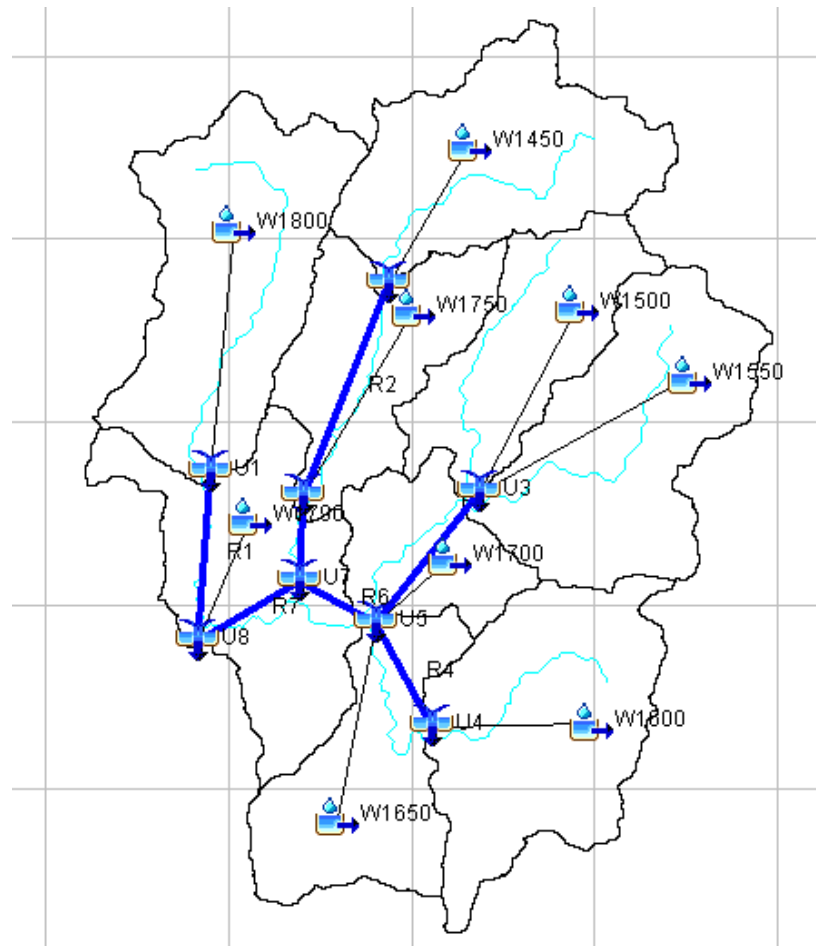
7.3. Especificaciones de control

En este componente, se indican cuando debe empezar y terminar los cálculos, así como el incremento del tiempo, con el que se deben realizar los cálculos. Es decir, en este componente se indican los tiempos de simulación y optimización.

Por ejemplo, si en el modelo meteorológico se ha indicado que ha llovido desde las 05:00 hasta las 11:00, los cálculos deben realizarse desde las 05:00 hasta un tiempo superior a las 11:00, porque si la precipitación cesa a las 11:00, hay que permitir que el caudal generado por esa lluvia llegue a las estaciones de aforo de la cuenca, eso dependerá del tiempo de concentración.

7.4. Modelamiento Hidrológico de la cuenca mediante HEC-HMS.

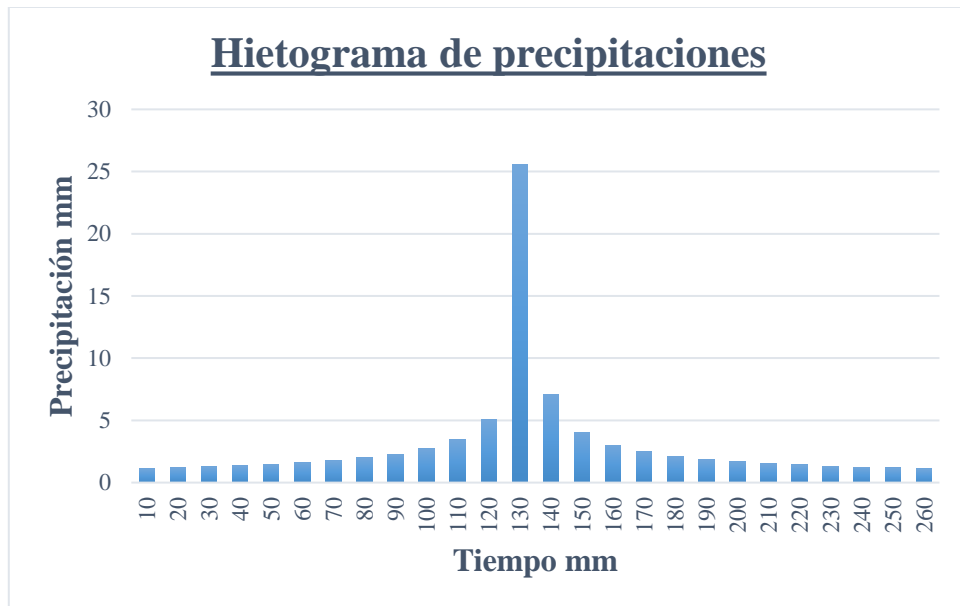
Mapa N° 4. Modelo de las subcuenca



Fuente: Elaboración propia

A continuación, presentamos un ejemplo del hietograma de precipitaciones, considerado para periodo de retorno de 50 años.

Gráfico N° 2. Hietograma de precipitaciones



Fuente: Elaboración propia

Los caudales de las subcuenca y el caudal de salida, se determina, realizando el tránsito de avenidas por el método de Muskingum, este método modela el almacenamiento volumétrico de creciente en un canal de un río mediante la combinación del almacenamiento de cuña y prisma. Durante el avance de la onda de creciente, el caudal de entrada es mayor que el caudal de salida, siendo un almacenamiento de cuña.

Este método trabaja con dos parámetros¹, siendo X que fluctúa con valores de 0 y 0.3 con un valor medio cercano de 0.2 y el valor de K según bibliografía revisada tiene un valor igual a 0.6 del tiempo de concentración.

¹ Estos valores se encuentran en el libro hidrología aplicada Ven Te Chow.

El valor de X depende de la forma del almacenamiento por cuña modelado, el parámetro K es el tiempo de tránsito de una honda de creciente a través del tramo de canal.

Los valores tomados de K y X tomados para el modelamiento son:

Cuadro N° 14. Parámetros del método Muskingum

| Parámetros del método Muskingum | | |
|---------------------------------|---------|-----|
| Canal | K (hrs) | X |
| R1 | 0.64 | 0.2 |
| R2 | 0.93 | 0.2 |
| R3 | 0.46 | 0.2 |
| R4 | 0.49 | 0.2 |
| R5 | 0.4 | 0.2 |
| R6 | 0.4 | 0.2 |
| R7 | 0.49 | 0.2 |

Fuente: Elaboración propia

Los caudales máximos determinados realizando el modelo hidrológico con el HEC-HMS de las subcuencas son:

Cuadro N° 15. Caudales máximos en las subcuencas método Muskingum con el HEC-HMS

| Caudales máximos en las subcuenca método Muskingum con el HEC HMS | | | | | | | | |
|---|------------|------------|----------------|---------|---------|---------|----------|----------|
| Unión | Sub-cuenca | Área (km2) | Qmax. (m3/seg) | | | | | |
| | | | 5 años | 10 años | 25 años | 50 años | 100 años | 200 años |
| 8 | W1790 | 13.2 | 248.6 | 305.5 | 396.7 | 478.5 | 572.6 | 680.2 |
| | R1 | - | | | | | | |
| | R7 | - | | | | | | |

Fuente: Elaboración propia

8. Caudales máximos por métodos directos

La utilización de los llamados métodos directos requiere contar con observaciones de caudales o niveles de agua en el punto de interés. Los registros permiten hacer un análisis de frecuencia de la variable de interés y entregar como resultado una relación entre la magnitud de la crecida y su probabilidad de ocurrencia o, en otras palabras, asociar a cada valor de crecida una probabilidad.

Al no contar con registros en la sección de análisis de la cuenca, es posible determinar el caudal de máxima avenida, observando las huellas de avenida en la sección y haciendo uso de la ecuación de Manning. La sección al contar con un levantamiento topográfico es posible determinar todas las propiedades de la sección para el uso de la ecuación de Manning, con la ayuda del paquete AutoCAD Civil 3D.

La ecuación de Manning es:

$$Q_{max} = \frac{1}{n} A R^{2/3} S^{1/2}$$

Donde:

Q_{max} = Caudal máximo de máxima avenida, en m³/seg.

n = Coeficiente de rugosidad de Manning, adimensional.

A = Área de la sección de aforo, en m².

R = Radio hidráulico, en m.

S = pendiente del río, en m/m.

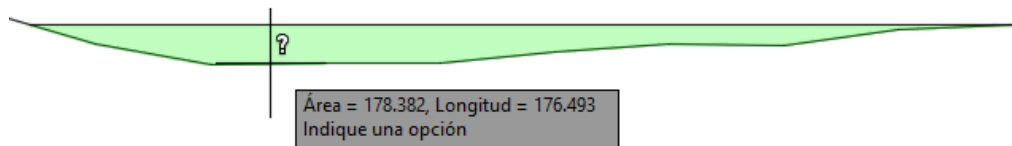
La ecuación del radio hidráulico es:

$$R = \frac{A}{P}$$

Donde:

P = perímetro mojado, en m.

Sus propiedades de la sección de aforo es el siguiente:



Cuadro N° 16. Caudales máximos por método directo

| | |
|-------------------------------------|--------|
| Área (m ²) | 178.38 |
| Espejo de agua (m) | 85.74 |
| Perímetro (m) | 176.49 |
| Perímetro mojado (m) | 90.75 |
| Pendiente (m/m) | 0.012 |
| Radio hidráulico (m) | 1.97 |
| Rugosidad de Manning | 0.04 |
| Caudal máximo (m ³ /seg) | 766.57 |

Fuente: Elaboración propia

Indicar que la sección analizada para el método directo corresponde al tramo entre las progresivas K1+630 a K1+670.

9. Resumen de los caudales máximos determinados para diseño

9.1. Caudales máximos para puentes

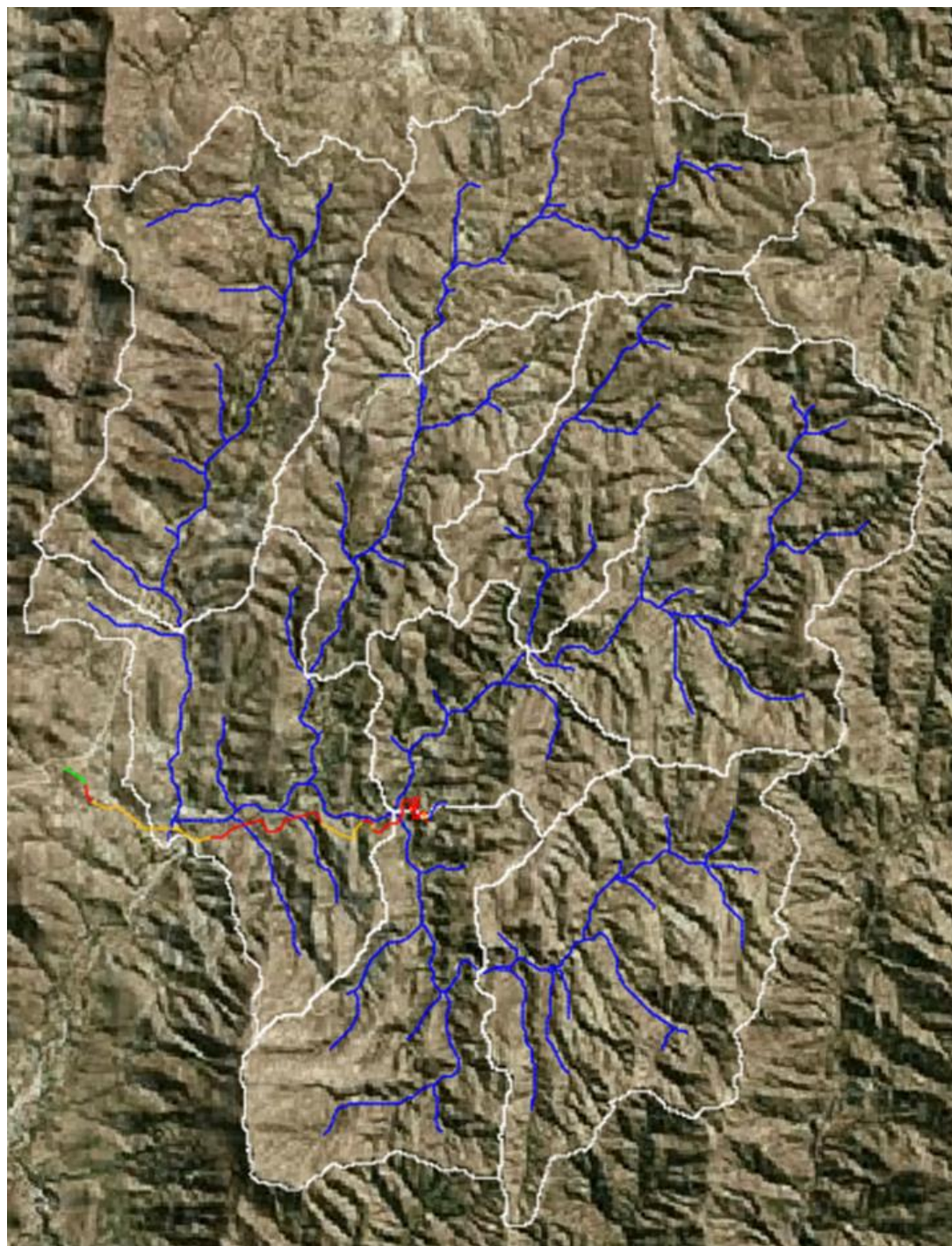
Los puentes se han decidido colocar según muestra el siguiente cuadro; los valores de caudales que se decidió tomar para el diseño hidráulico de los puentes corresponden al determinado con el modelado del HEC HMS.

Cuadro Nº 17.Caudales de diseño para puentes

| Caudales de diseño para puentes | | | |
|---------------------------------|-----------------------------------|---------------------------|------------------------------|
| Progresiva | Área de aporte (km ²) | Periodo de retorno (años) | Caudal (m ³ /seg) |
| 1+640 | 107.6 | 100 | 572.6 |
| 5+500 | 25.4 | 100 | 137.3 |

Fuente: Elaboración propia

Imagen N° 1. Cauces que interceptan el camino con necesidad de dos puentes



Fuente: Elaboración propia

10. Longitudes de puentes

Los puentes deben ser diseñados de modo que las alteraciones u obstáculos que estos presenten ante estos cursos de agua sean previstos y puedan ser admitidos en el desempeño de la estructura a lo largo de su vida útil o se tomen medidas preventivas. Para esto deben establecerse las características del sistema fluvial. Entre las características que determinaremos serán las longitudes de los puentes, en función a la avenida máxima.

De acuerdo a la red de drenaje estudiado en el estudio hidrológico seara el colocado de 2 puentes, por lo tanto, el primer puente estará ubicado entre las progresivas 1+630 KM a la 1+670 Km y el segundo puente entre las progresivas 5+495 KM a la 5+507 KM.

Cuadro N° 1: Características definidas de los puentes

| Característica | Primer puente | Segundo puente |
|-------------------------|---------------|----------------|
| Altura del puente (m) | 6 | 6 |
| Longitud del puente (m) | 40 | 12 |

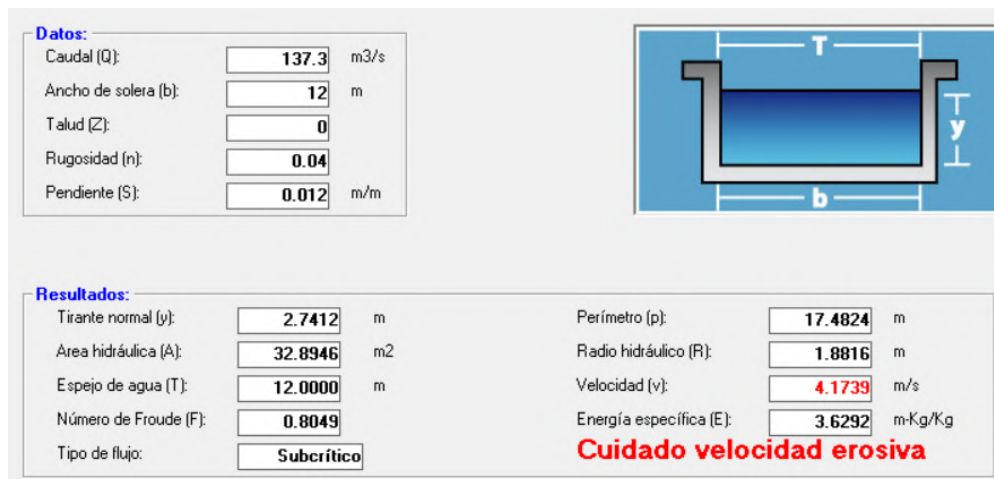
Fuente: Elaboración propia

Figura N° 1: Calculo del tirante normal, para el primer puente.



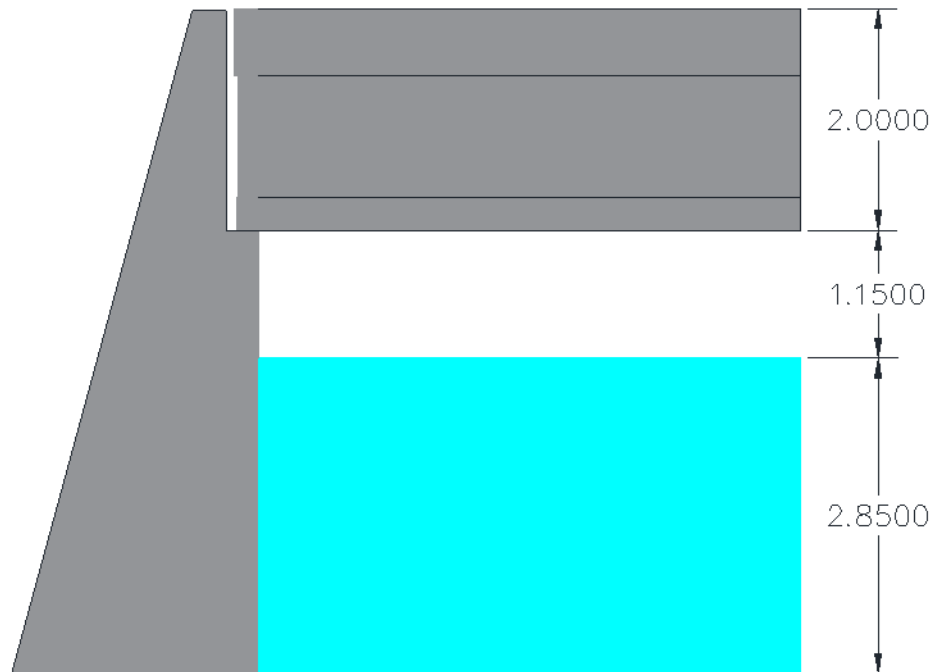
Fuente: Elaboración propia

Figura N° 2: Calculo del tirante normal, para el segundo puente puente.



Fuente: Elaboración propia

Figura N° 3: Representación esquemática del primer puente y el tirante de agua



Fuente: Elaboración propia

DISEÑO DE DRENAJE TRANSVERSAL

1.1. Criterios de diseño

Las obras viales se diseñan para durar la vida útil, es decir el tiempo (en años) que debe permanecer la plataforma de la carretera y sus obras accesorias (obras de arte) en servicio y sin falla. Para un determinado caudal de diseño Q, el período de retorno es el tiempo transcurrido entre los eventos para los cuales este caudal Q es excedido.

Los valores recomendados en la tabla de referencia son los que se presentan a continuación:

Tabla N° 1. Período de diseño

| Tipo de obra | Tipo de ruta | Período de retorno | | Vida útil (años) | Riesgo de falla (%) | |
|--|--------------|--------------------|--------------|------------------|---------------------|--------------|
| | | Diseño | Verificación | | Diseño | Verificación |
| Puentes y viaductos | Carretera | 200 | 300 | 50 | 22 | 15 |
| | Camino | 100 | 150 | 50 | 40 | 28 |
| Alcantarillas ($S > 1.75$ m ²) o $H_{terra} \geq 10$ m y estructuras enterradas | Carretera | 100 | 150 | 50 | 40 | 28 |
| | Camino | 50 | 100 | 30 | 45 | 26 |
| Alcantarillas ($s < 1.75$ m ²) | Carretera | 50 | 100 | 50 | 64 | 40 |
| | Camino | 25 | 50 | 30 | 71 | 45 |
| Drenaje de la plataforma | Carretera | 10 | 25 | 10 | 65 | 34 |
| | Camino | 5 | 10 | 5 | 67 | 41 |
| Defensa de riberas | Carretera | 100 | | 20 | 18 | |
| | Camino | 100 | | 20 | 18 | |

Fuente: Manual de la ABC “Manual de hidrología y drenaje”

2. Drenaje transversal de la carretera

2.1. Alcantarillas

Se define como alcantarilla a la estructura cuya luz sea menor a 6.0 m y su función es evacuar el flujo superficial proveniente de cursos naturales o artificiales que interceptan la carretera.

La densidad de alcantarillas en un proyecto vial influye directamente en los costos de construcción y de mantenimiento, por ello, es muy importante tener en cuenta la adecuada elección de su ubicación, alineamiento y pendiente, a fin de garantizar el paso libre del flujo que intercepta la carretera, sin que afecte su estabilidad.

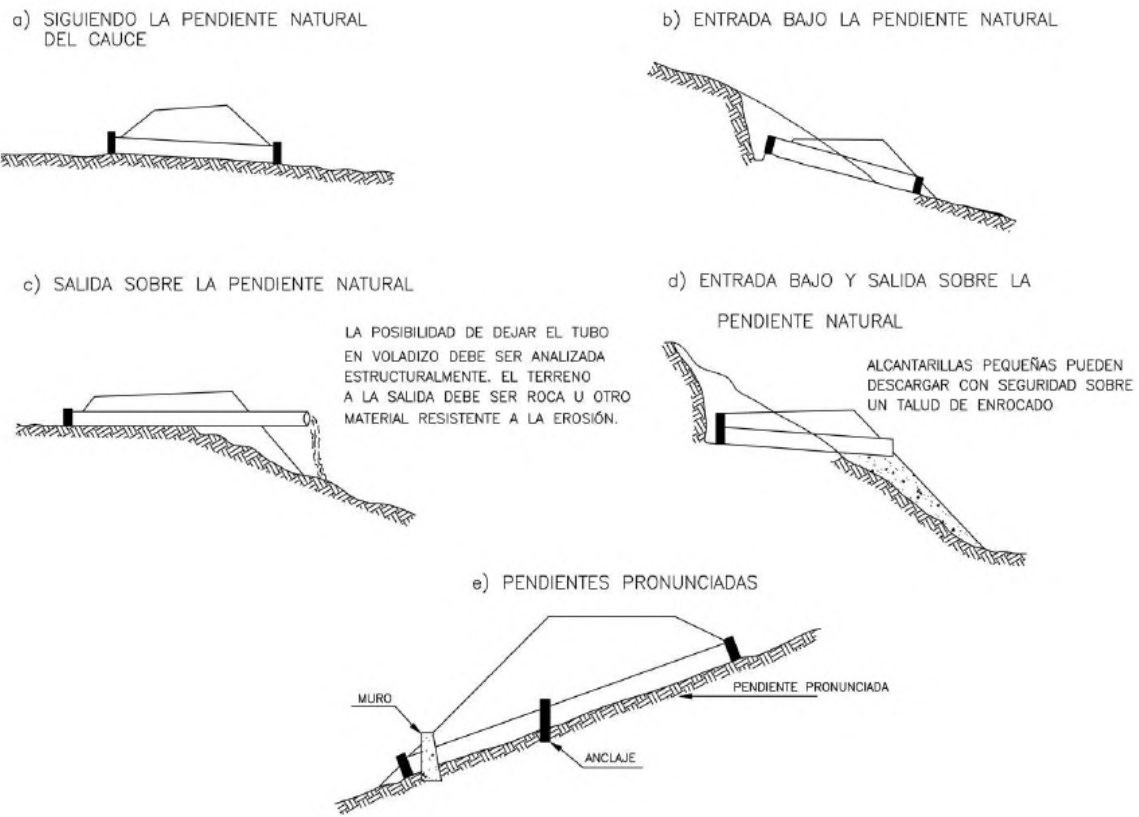
La ubicación óptima de las alcantarillas depende de su alineamiento y pendiente, la cual se logra proyectando dicha estructura siguiendo la alineación y pendiente del cauce natural. Sin embargo, se debe tomar en cuenta que el incremento y disminución de la pendiente influye en la variación de la velocidad de flujo, que a su vez incide en la capacidad de transporte de materiales en suspensión y arrastre de fondo.

En la proyección e instalación de alcantarillas el aspecto técnico debe prevalecer sobre el aspecto económico, es decir que no pueden sacrificarse ciertas características hidráulicas sólo con el objetivo de reducir los costos. Sin embargo, es recomendable que la ubicación, alineamiento y pendiente que se elija para cada caso, estará sujeta al buen juicio del especialista, quien deberá estudiar los aspectos hidrológicos, hidráulicos, estructurales y fenómenos de geodinámica externa de origen hídrico, para obtener finalmente la solución más adecuada compatible con los costos, operatividad, servicialidad y seguridad de la carretera.

La ubicación de la alcantarilla en planta, ideal es la que sigue la dirección de la corriente, sin embargo, según requerimiento del proyecto la ubicación natural puede desplazarse, lo cual implica el acondicionamiento del cauce, a la entrada y salida con la construcción de obras de encauzamiento u otras obras complementarias.

La pendiente longitudinal de la alcantarilla debe ser tal que no altere desmesuradamente los procesos geomorfológicos, como la erosión y sedimentación, por ello, los cambios de pendiente deben ser estudiados en forma cuidadosa, para no incidir en dichos procesos que pueden provocar el colapso de la estructura.

Figura N° 1. Tipos de colocados de alcantarillas



Fuente: Manual de la ABC “Manual de hidrología y drenaje”

2.2. Elección del tipo de alcantarilla

Los tipos de alcantarillas comúnmente utilizadas en proyectos de carreteras son; marco de concreto, tuberías metálicas corrugadas, tuberías de concreto y tuberías de polietileno de alta densidad.

Las secciones más usuales son circulares, rectangulares y cuadradas. En ocasiones especiales que así lo ameriten puede usarse alcantarillas de secciones parabólicas y abovedadas.

En carreteras de alto volumen de tránsito y por necesidad de limpieza y mantenimiento de las alcantarillas, se adoptará una sección mínima circular de 0.90 m (36") de diámetro o su equivalente de otra sección, salvo en cruces de canales de riego donde se adoptarán secciones de acuerdo a cada diseño particular.

Las alcantarillas tipo marco de concreto de sección rectangular o cuadrada pueden ubicarse a niveles que se requiera, como colocarse de tal manera que el nivel de la rasante coincida con el nivel superior de la losa o debajo del terraplén. Generalmente, se recomienda emplear este tipo de alcantarillas cuando se tiene la presencia de suelos de fundación de mala calidad.

En el caso del proceso constructivo de tuberías para alcantarillas múltiples, se recomienda que la separación de los tubos, medida entre las superficies externas, deberá ser tal que facilite la compactación del material de relleno igual a la mitad del diámetro de la tubería con un máximo de 1.0 m y 0.4 m como mínimo.

2.3. Materiales para alcantarillas

La elección del tipo de material de la alcantarilla depende de varios aspectos, entre ellos podemos mencionar el tiempo de vida útil, costo, resistencia, rugosidad, condiciones del terreno, resistencia a la corrosión, abrasión, fuego e impermeabilidad. En conclusión, no es posible dar una regla general para la elección del tipo de material a emplear en la construcción de la alcantarilla, sino que además de los aspectos mencionados anteriormente depende del tipo de suelo, del agua y principalmente de la disponibilidad de materiales en el lugar.

2.4. Recomendaciones y factores a tomar en cuenta para el diseño de una alcantarilla

- Utilizar el período de retorno para el diseño.
- Para asegurar la estabilidad de la carretera ante la presencia de asentamientos provocados por filtraciones de agua, la alcantarilla debe asegurar la impermeabilidad.
- La durabilidad, altura de relleno disponible para la colocación de la alcantarilla, cargas actuantes sobre la alcantarilla y calidad y tipo de terreno existente.
- El caudal de diseño, pendiente del cauce, velocidad de flujo, material de arrastre, pendiente de la alcantarilla y rugosidad del conducto.

Se debe tener en cuenta la velocidad, parámetro que es necesario verificar de tal manera que se encuentre dentro de un rango, cuyos límites se describen a continuación.

Tabla N° 2. Velocidades máximas admisibles para alcantarillas

| Velocidades máximas admisibles | |
|----------------------------------|-------------------|
| Tipo de revestimiento | Velocidad (m/seg) |
| Concreto | 3.0-6.0 |
| Ladrillo con concreto | 2.5-3.5 |
| Mampostería de piedra y concreto | 2 |

Fuente: Hcanales, Máximo Billón B.

Se deberá verificar que la velocidad mínima del flujo dentro del conducto no produzca sedimentación que pueda incidir en una reducción de su capacidad hidráulica, recomendándose que la velocidad mínima sea igual a 0.25 m/s.

Asimismo, se debe tener muy en cuenta la velocidad de flujo a la salida de la alcantarilla, generalmente esta velocidad es mayor que la velocidad de escurrimiento en el cauce natural y debe limitarse a fin de evitar procesos de socavación del cauce aguas abajo de la estructura y no afecte su estabilidad.

El borde libre en alcantarillas es un parámetro muy importante a tomar en cuenta durante su diseño hidráulico, por ello, las alcantarillas no deben ser diseñadas para trabajar a sección llena, ya que esto incrementa su riesgo de obstrucción, afectando su capacidad hidráulica.

Se recomienda que el diseño hidráulico considere como mínimo el 25% de la altura, diámetro o flecha de la estructura.

Si la velocidad del flujo a la entrada y particularmente a la salida de la alcantarilla es alta, puede producir procesos de socavación local que afecte su estabilidad, por ello, se recomienda la protección del cauce natural mediante la construcción de emboquillados de piedra, encapado de rocas acomodadas u otros tipos de revestimientos, los cuales deberán extenderse hasta zonas donde la socavación local no tenga incidencia sobre la protección.

Una medida para reducir la velocidad del flujo, es la construcción de aliviaderos de entrada y salida de la alcantarilla en forma escalonada con el objetivo de disipar la energía hidráulica.

3. Diseño hidráulico

El cálculo hidráulico considerado para establecer las dimensiones mínimas de la sección para las alcantarillas y cunetas a proyectarse, es lo establecido por la fórmula de Robert Manning para canales abiertos y tuberías, por ser el procedimiento más utilizado y de fácil aplicación, la cual permite obtener la velocidad del flujo y caudal para una condición de régimen uniforme mediante la siguiente relación.

$$V = \frac{R^{2/3}S^{1/2}}{n}$$

$$R = \frac{A}{P}$$

$$Q = VA$$

Donde:

Q = Caudal, en m³/seg.

V = Velocidad del flujo, en m/seg.

A = Área de la sección hidráulica, en m².

P = Perímetro mojado, en m.

R = Radio hidráulico, en m.

S = Pendiente de fondo, en m/m.

n = Coeficiente de Manning.

4. Cálculos de diseño

4.1. Alcantarillas

El diseño de las secciones de las alcantarillas se logró realizar con el aplicativo Hidra Flow. Es un aplicativo que viene dentro el programa del AutoCAD Civil 3D.

Las alcantarillas se han decidido colocar según muestra en los siguientes cuadros; los valores de caudales que se decidió tomar para el diseño hidráulico de las alcantarillas de paso corresponden al determinado con el método racional. Para el coeficiente de escorrentía C, en el suelo es de 0.5 y para el camino 0.83. Para las alcantarillas de alivio, los caudales de diseño son los provenientes de las cunetas.

Cuadro N° 1. Caudales de diseño y alcantarillas de paso

| Progresiva de posición | Lado | Área aporte (km ²) | Periodo de retorno (años) | Q de aporte (m ³ /s) | Alcantarilla tipo |
|------------------------|------|--------------------------------|---------------------------|---------------------------------|-------------------|
| 0+897 | LI | 2.550 | 50 | 25.2 | DTC 3(2X1.8) |
| 2+420 | LD | 0.210 | 50 | 8.0 | DTC 2(1.4X1.4) |
| 2+730 | LD | 1.650 | 50 | 24.3 | DTC 3(2X1.8) |
| 3+572 | LD | 1.350 | 50 | 18.7 | DTC 2(2X2) |
| 4+531 | LD | 0.280 | 50 | 7.8 | DTC 2(1.5X1.5) |

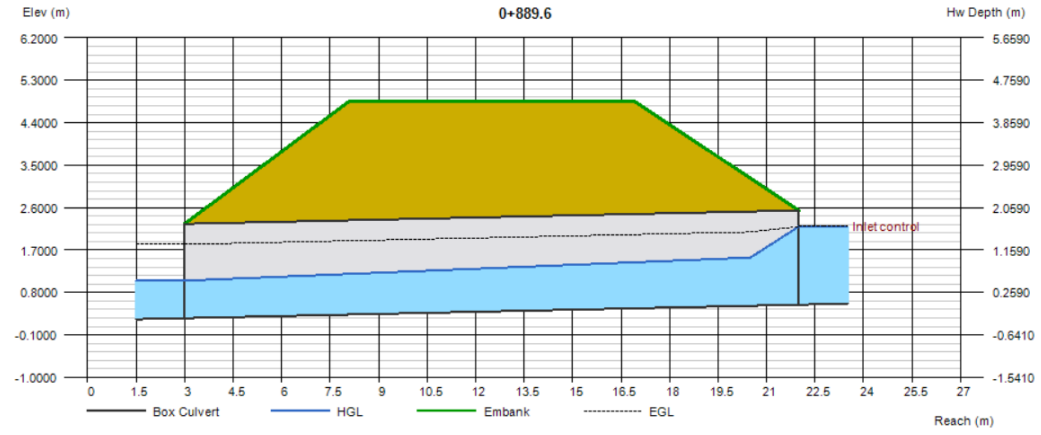
Fuente: Elaboración propia

Cuadro N° 2. Alcantarillas de alivio

| Progresiva de posición | Lado | Q de cunetas (m ³ /s) | Alcantarilla tipo |
|------------------------|------|----------------------------------|-------------------|
| 1+135 | LI | 1.34 | 1ATH Ø 0.9 |
| 1+365 | LI | 0.73 | 1ATH Ø 0.9 |
| 4+180 | LD | 0.83 | 1ATH Ø 0.9 |
| 4+760 | LD | 0.43 | 1ATH Ø 0.9 |
| 4+960 | LD | 0.56 | 1ATH Ø 0.9 |
| 5+090 | LD | 0.91 | 1ATH Ø 0.9 |

Fuente: Elaboración propia

Figura N° 2. Representación esquemática de diseño hidráulico prog. 0+897



| Q | | | Veloc | | Depth | | HGL | | | |
|----------------|---------------|---------------|-------------|-------------|------------|------------|-----------|-----------|-----------|--------|
| Total (cms) | Pipe (cms) | Over (cms) | Dn (m/s) | Up (m/s) | Dn (mm) | Up (mm) | Dn (m) | Up (m) | Hw (m) | Hw/D |
| 10.0000 | 10.0000 | 0.0000 | 3.2890 | 2.3670 | 405.3838 | 565.6898 | 0.6614 | 1.1067 | 1.4195 | 0.4392 |
| 15.0000 | 15.0000 | 0.0000 | 3.6657 | 2.6988 | 545.5916 | 741.0632 | 0.8016 | 1.2821 | 1.7052 | 0.5821 |
| 20.0000 | 20.0000 | 0.0000 | 3.9409 | 2.9710 | 676.6556 | 897.5619 | 0.9327 | 1.4386 | 1.9626 | 0.7108 |
| 25.0000 | 25.0000 | 0.0000 | 4.1901 | 3.2009 | 795.5274 | 1041.3730 | 1.0515 | 1.5824 | 2.2010 | 0.8300 |

Fuente: Elaboración propia

DISEÑO DE DRENAJE LONGITUDINAL

1. Drenaje longitudinal de la carretera

El agua que fluye sobre la plataforma de una carretera es aportada ya sea por los taludes superiores adyacentes, o por el escurrimiento local. Este flujo debe ser encauzado de tal manera que no se produzcan daños a la carretera ni se afecte su transitabilidad. En esta sección se detallan los distintos tipos de obras necesarios para captar y eliminar las aguas, asegurando así la estabilidad, durabilidad, y transitabilidad de la carretera.

1.1. Criterios de diseño

La velocidad del agua sobre la plataforma de la carretera debe estar comprendida entre límites apropiados; ni muy baja que produzca obstrucciones por la sedimentación de materiales acarreados, y ni muy alta que produzca cualquier tipo de erosión. Con el fin de propiciar la auto limpieza y evitar la erosión, la pendiente transversal debe fijarse en el rango de 0.5% a 2%. La sedimentación excesiva (de grava, arena y limo) debe evitarse mediante un programa adecuado de conservación y mantenimiento.

Tabla N° 1. muestra valores de velocidades máximas admisibles de agua para varios tipos de superficie.

| Velocidades máximas admisibles de agua. | |
|---|-----------------------------|
| Tipo de superficie | Velocidad máxima (m/seg) |
| Arena fina o limo (poca o ninguna arcilla) | 0.2-0.6 |
| Arena arcillosa dura, margas duras | 0.6-0.9 |
| Terreno parcialmente cubierto de vegetación | 0.6-1.2 |
| Arcilla, grava, pizarras blandas con cubierta vegetal | 1.2-1.5 |
| Hierba | 1.2-1.8 |
| Conglomerado, pizarras duras, rocas blandas | 1.4-2.4 |
| Mampostería, rocas duras | 3-4.5* |
| Concreto | 4.5-6* |

*Indicados para flujos de muy corta duración.

Fuente: Drenaje de carreteras, Víctor Miguel Ponce

1.2. Cunetas

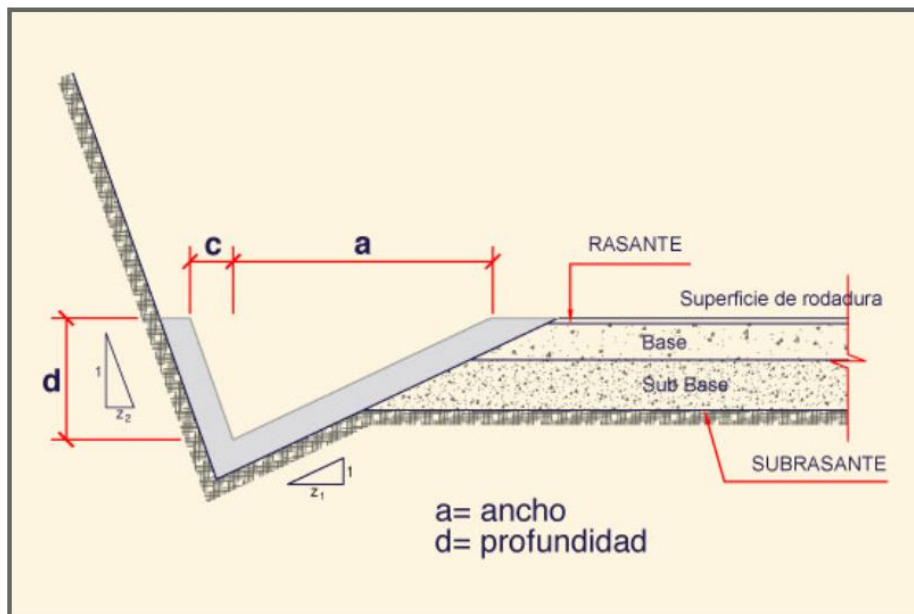
Las cunetas son zanjas longitudinales ubicadas a ambos lados de la carretera o, en su defecto, a un solo lado, revestidas o no revestidas, con el objeto de captar, conducir, y evacuar en forma adecuada los flujos de agua superficial.

Las cunetas se proyectan para todos los tramos ubicados al pie de los taludes de corte, y/o en los lugares donde se esperen flujos considerables de agua que puedan interferir con la transitabilidad de la carretera. La sección transversal puede ser triangular, trapezoidal, o rectangular; en la práctica, la cuneta triangular es la más usada.

El ancho **a** se mide desde el borde de la cuneta adyacente a la plataforma, hasta la vertical que pasa por el vértice inferior. La profundidad **d** se mide verticalmente desde el nivel del borde de la rasante hasta el fondo o vértice de la cuneta triangular (Figura N° 1).

El talud interior z_1 de una cuneta (z_1 H : 1 V) es función de la velocidad y volumen de tráfico de la carretera, como se indica en la tabla N° 2 (Ministerio de transportes y comunicaciones, Perú). El talud exterior z_2 usualmente sigue la inclinación del talud del corte adyacente.

Figura N° 1: Sección típica de una cuneta triangular



Fuente: Drenaje de carreteras, Víctor Miguel Ponce

Tabla N° 2. Valores de diseño de talud interior Z1

| Valores de diseño de talud interior Z1 | | |
|--|---|---------|
| Velocidad de diseño (km/hr) | Trafico promedio diario (número de vehículos día) | |
| | ≤ 750 | > 750 |
| ≤ 70 | 2:1* | 3:1 |
| | 3:1 | 3:1 |
| > 70 | 3:1 | 4:1 |

Fuente: Ministerio de Transportes y Comunicaciones, Perú

*Indicado solo para casos muy especiales, en los que se requiera una sección de corte reducida, (terrenos escarpados), la que contara con elementos de protección (guardavías).

El manual de diseño geométrico de carreteras del A.B.C. en la sección 3.3.4. Elementos de la infraestructura para sección en corte, propone las inclinaciones máximas del talud interior de la cuneta como se muestra en el siguiente cuadro:

Tabla N° 3. Inclinaciones máximas del talud interior de la cuneta

| Inclinaciones máximas del talud interior de la cuneta | |
|---|----------------|
| Velocidad de proyecto (km/hr) | Relación (V:H) |
| ≤ 70 | 1:2 |
| 80-90 | 1:2.5 |
| 100 | 1:3 |
| 120 | 1:4 |

Fuente: Manual de la ABC “Manual de hidrología y drenaje”

En el caso típico de cuencas pequeñas, con áreas tributarias menores a 2.5 km², el caudal de diseño Q se determina utilizando el método racional. Para cuencas mayores, es recomendable el uso del método del hidrograma unitario.

La profundidad óptima de una cuneta es aquélla que pueda pasar el caudal de diseño Q estando la cuneta llena de agua. La velocidad media correspondiente al caudal de diseño debe ser menor o igual a la velocidad máxima admisible. de lo contrario, será necesario revestir la cuneta con mampostería o concreto. El revestimiento de concreto deberá tener una resistencia a la compresión $f'c = 175 \text{ kg/cm}^2$ y un espesor de 7.5 cm.

En la tabla N° 4 se muestra las dimensiones mínimas de cunetas de sección triangular. Debe construirse una berma exterior de recepción, con un ancho mínimo de 0.60 m (entre la cuneta y el pie del talud de corte), con el fin de decepcionar la posible caída de materiales del talud superior, evitando así que éstos se depositen en la cuneta. Las cunetas deben mantenerse (mediante limpieza y remoción de materiales) por lo menos dos veces al año, usualmente antes y después de la estación lluviosa. En los casos en que el ancho de la plataforma esté limitado, pueden proyectarse cunetas que sirvan no sólo para drenaje pluvial, sino también como área de emergencia (berma). En estos casos, la solución puede consistir de cunetas cubiertas o berma-cunetas.

La descarga de agua de las cunetas se efectúa mediante alcantarillas de alivio. En regiones áridas, la longitud de las cunetas será de 250 m como máximo. En regiones húmedas, la longitud máxima de una cuneta debe ser 200 m. Deberá hacerse una evaluación exhaustiva del lugar de descarga de las cunetas, con el fin de evitar que el flujo local afecte negativamente las propiedades vecinas.

Tabla N° 4. Dimensiones mínimas de cunetas de sección triangular

| Dimensiones mínimas de cunetas de sección triangular | | | |
|--|--------------------------------|-------------------|-------------|
| Clima | Precipitación media anual (mm) | Profundidad d (m) | Ancho a (m) |
| Árido | $P \leq 400$ | 0.2 | 0.5 |
| Semiárido a subhúmedo | $400 < P \leq 1600$ | 0.3 | 0.75 |
| húmedo | $1600 < P \leq 3200$ | 0.4 | 1.2 |
| Híper húmedo | $P > 3200$ | 0.3* | 1.2 |

*sección trapezoidal, con ancho de fondo $b = 0.3 \text{ m}$ como mínimo

Fuente: Drenaje de carreteras, Víctor Miguel Ponce

1.3. Zanjas de coronación

Una zanja de coronación (o cuneta de coronación) se construye en la parte superior de un talud de corte, con el objeto de colectar las aguas que bajan por las pendientes naturales y conducirlas hacia el área de descarga más próxima del sistema general de drenaje, evitando de este modo la erosión del terreno, particularmente en zonas con pendiente pronunciada como se muestra en la siguiente figura:

Figura N° 2: Detalle típico de una zanja de coronación.



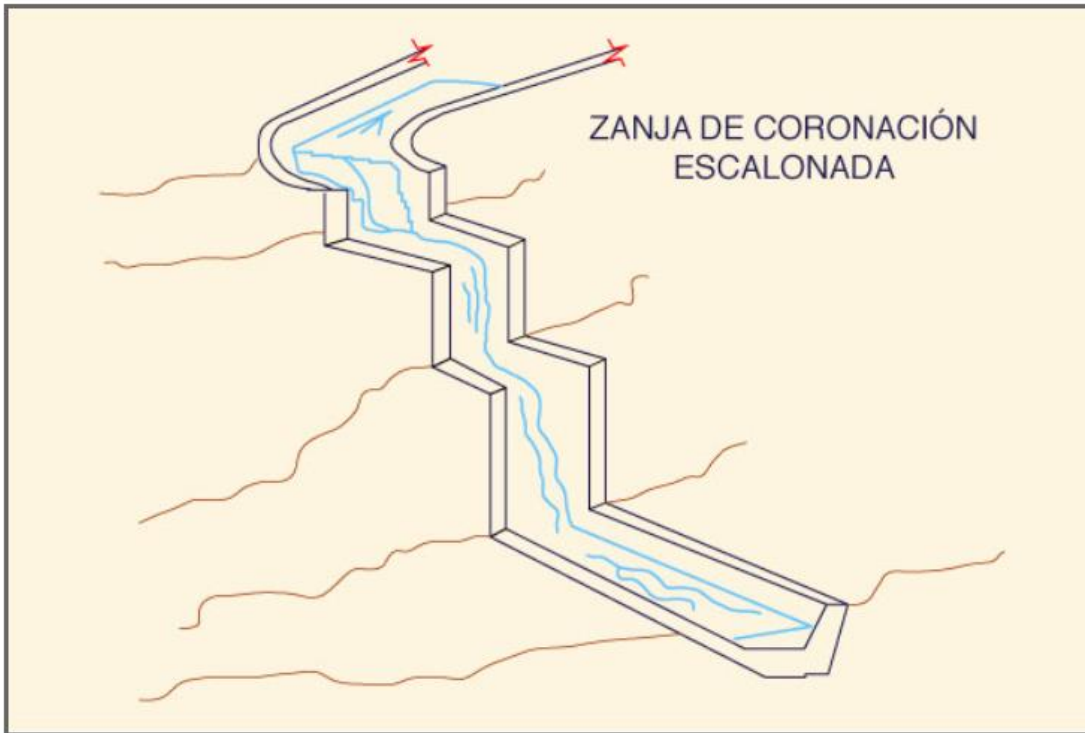
Fuente: Drenaje de carreteras, Víctor Miguel Ponce

Las zanjas de coronación son normalmente de forma rectangular, pero también pueden ser trapezoidales, si se requiere un mayor tamaño.

Es recomendable sembrar especies naturales a ambos lados de la zanja (pastos, ichu, maleza, raíces, o árboles). También pueden incluirse ramas cortadas amarradas entre sí en forma de estructuras alargadas. Éstas se entierran o se colocan como estacas siguiendo el contorno de un talud, para evitar que el agua erosione bajo la cuneta y ésta se obstruya con sedimentos.

En el caso en que la pendiente longitudinal sea mayor de 2%, es necesario que la zanja o canal tenga un recubrimiento de concreto simple o enrocado. Para pendientes mayores, las zanjas deben ser escalonadas con emboquillado de piedra bajo la caída. De preferencia, estas zanjas deben drenar a la quebrada más próxima.

Figura N° 3: Detalle de una zanja de coronación escalonada.

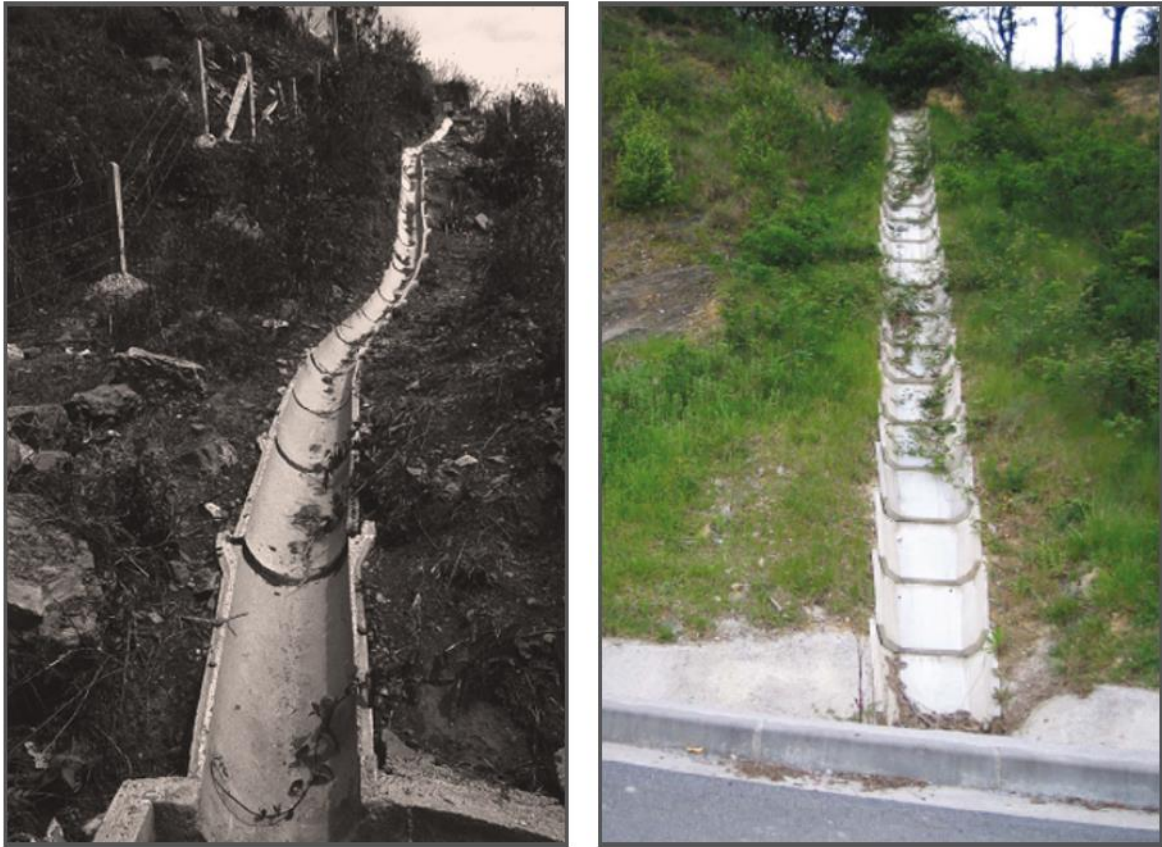


Fuente: Drenaje de carreteras, Víctor Miguel Ponce

Las zanjas de coronación suelen no ser necesarias en taludes de suelos resistentes a la erosión, con declives de 2 H : 1 V o menores, o donde se hayan adoptado medidas efectivas de control de erosión.

Las bajantes o rápidas son una serie de pequeñas canaletas prefabricadas alineadas formando un canal de fuerte pendiente, con el propósito de evacuar en forma controlada el flujo de las zanjas de coronación (Fig. 4). La bajante debe conectar directamente a una alcantarilla, o en su defecto, a una alcantarilla cercana.

Figura N° 4: Ejemplos de bajantes



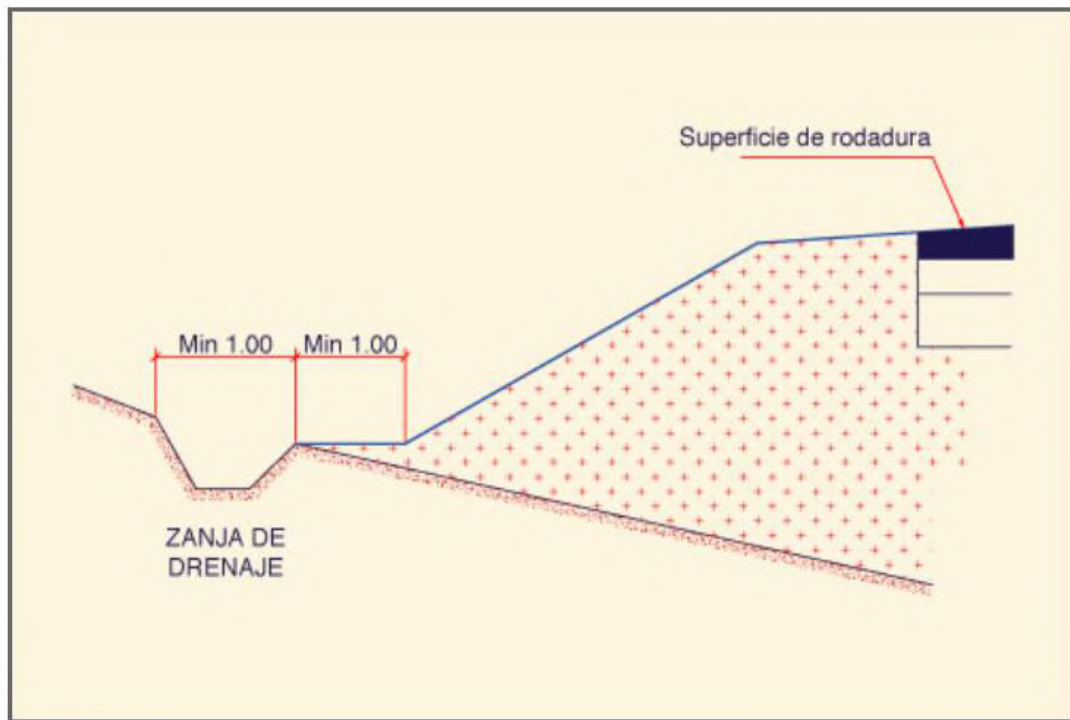
Fuente: Drenaje de carreteras, Víctor Miguel Ponce

1.4. Zanjas de drenaje

Las zanjas de drenaje se construyen en la parte inferior de los taludes de relleno en forma longitudinal, lateral, o transversal al alineamiento de la carretera. Estas zanjas colectan las aguas que bajan por el talud y terrenos adyacentes, y las conducen hacia la quebrada o descarga más próxima del sistema general de drenaje, evitando de este modo la erosión del terreno.

Normalmente las zanjas de drenaje son de forma rectangular, pero también pueden ser trapezoidales, si se requiere una mayor dimensión.

Figura N° 5: Detalle típico de una zanja de drenaje



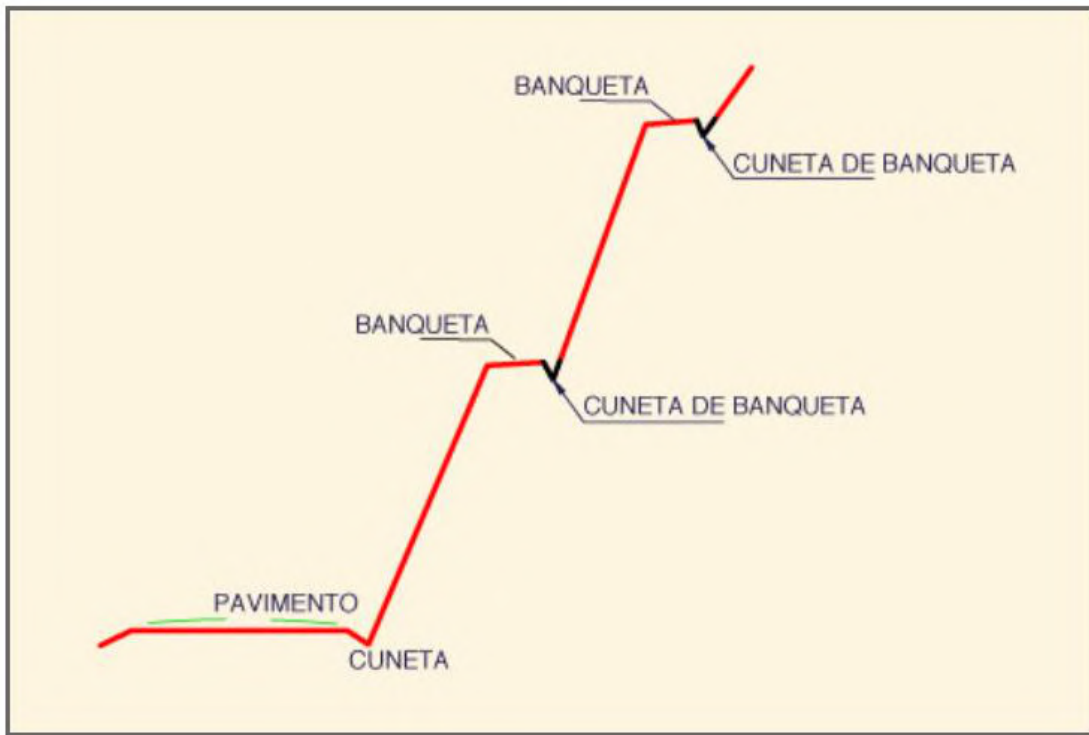
Fuente: Drenaje de carreteras, Víctor Miguel Ponce

1.5. Cunetas de banqueta

Las cunetas de banqueta se ubican al pie del talud inclinado de cada banqueta, las cuales consisten en la construcción de una o más terrazas sucesivas con el objetivo de estabilizar un talud.

Estas cunetas pueden tener sección triangular, rectangular o trapezoidal, de acuerdo al caudal que transportará. Su descarga se efectuará hacia un curso natural o mediante caídas escalonadas hacia las cunetas.

Figura N° 6: Detalle típico de una serie de cunetas de banqueta.



Fuente: Drenaje de carreteras, Víctor Miguel Ponce

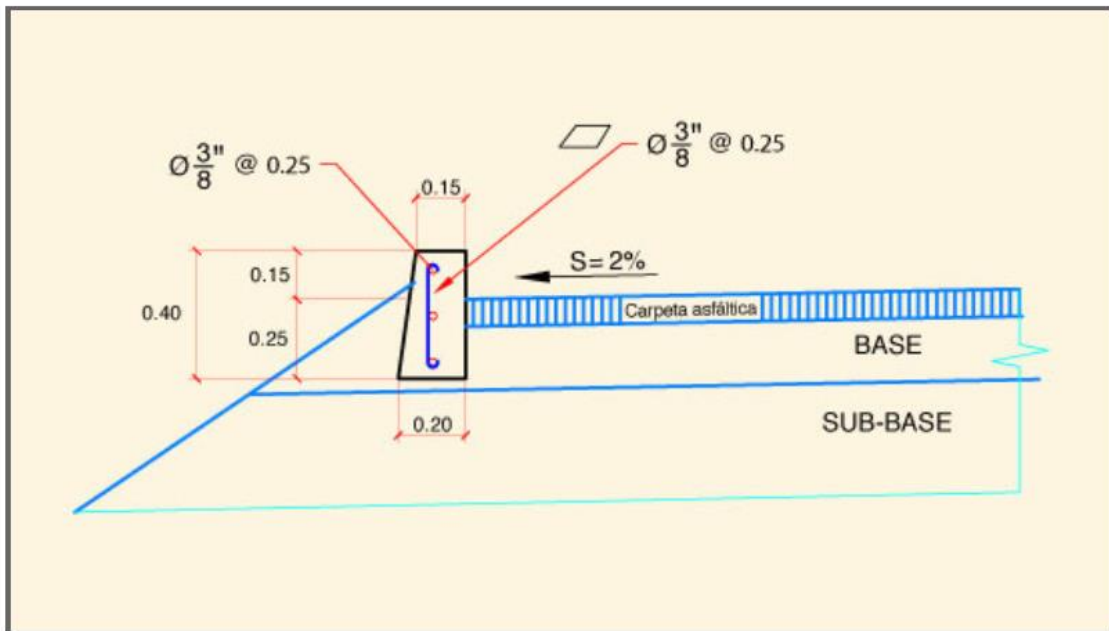
1.6. Bordillos

Los bordillos son elementos que interceptan y conducen el agua que por efecto del bombeo discurre sobre la plataforma de la carretera. Los bordillos descargan el agua mediante aliviaderos ubicados en sitios adecuados, con el objetivo de evitar la erosión de los taludes de terraplenes que estén conformados por material erosionable.

Los bordillos se construyen en los terraplenes mayores de 1.5 m de altura. Se emplazan en el lado exterior de la plataforma y generalmente tienen una sección trapezoidal con base inferior de 0.2 m, base superior de 0.15 m y altura de 0.40 m, sobresaliendo de la superficie de rodadura 0.15 m. Son usualmente de concreto, reforzados con varillas de construcción de 3/8" de diámetro, espaciados cada 0.20 m en forma de malla simple.

En los tramos en tangente, debe dejarse un espacio libre para la descarga del escurrimiento hacia aliviaderos ubicados a una distancia de 50 a 100 m.

Figura N° 7: Detalle típico de un bordillo de concreto armado



Fuente: Drenaje de carreteras, Víctor Miguel Ponce

1.7. Drenaje en cunetas

Las cunetas son diseñadas con la ayuda del Excel, ya que es posible programarlo e ir revisando a medida que se va cargando los datos, la condicionante es que el caudal determinado con la ecuación de Manning para la sección de la cuneta sea mayor o igual al caudal de aporte determinado por el método racional. El tipo de sección de la cuneta es triangular y trapezoidal en lugares con pendiente baja.

Cuadro N° 1. Caudales máximos para diseño de cunetas

| Caudales máximos para diseño de cunetas | | | | |
|---|-------|------|-----------------------|-----------------------|
| Tramo de progresiva | | Lado | Área aporte. (km2) | Q de aporte (m3/s) |
| DE | A | | | |
| 0+000 | 0+080 | LD | 0.0023 | 0.07 |
| 0+000 | 0+060 | LI | 0.0002 | 0.01 |
| 0+080 | 0+540 | LD | 0.0341 | 0.61 |
| 0+897 | 1+000 | LI | 0.0506 | 1.20 |
| 1+000 | 1+135 | LI | 0.0379 | 0.70 |
| 1+135 | 1+220 | LI | 0.0323 | 0.64 |
| 1+220 | 1+325 | LI | 0.0197 | 0.49 |
| 1+365 | 1+437 | LI | 0.0050 | 0.24 |
| 1+437 | 1+609 | LI | 0.0422 | 0.96 |
| 1+540 | 1+609 | LD | 0.0002 | 0.01 |
| 1+800 | 1+880 | LI | 0.0009 | 0.02 |
| 1+800 | 1+880 | LD | 0.0004 | 0.01 |
| 2+090 | 2+188 | LD | 0.0105 | 0.51 |
| 2+188 | 2+420 | LD | 0.0227 | 0.66 |
| 3+040 | 3+320 | LD | 0.0648 | 0.96 |
| 3+320 | 3+580 | LD | 0.0177 | 0.42 |
| 3+850 | 4+180 | LD | 0.0283 | 0.68 |
| 4+180 | 4+350 | LD | 0.0386 | 0.83 |
| 4+350 | 4+530 | LD | 0.0106 | 0.37 |
| 4+550 | 4+760 | LD | 0.0298 | 0.43 |
| 4+760 | 4+960 | LD | 0.0159 | 0.38 |
| 4+960 | 5+090 | LD | 0.0051 | 0.13 |
| 5+090 | 5+270 | LD | 0.0402 | 0.91 |
| 5+270 | 5+470 | LD | 0.0098 | 0.37 |
| 5+360 | 5+470 | LI | 0.0003 | 0.02 |
| 5+560 | 5+900 | LD | 0.0112 | 0.35 |
| 5+880 | 6+080 | LI | 0.0052 | 0.19 |
| 6+050 | 6+200 | LD | 0.0037 | 0.17 |
| 6+180 | 6+410 | LI | 0.0073 | 0.27 |
| 6+370 | 6+500 | LD | 0.0082 | 0.40 |
| 6+590 | 6+780 | LI | 0.0040 | 0.18 |
| 6+610 | 6+760 | LD | 0.0004 | 0.03 |
| 6+880 | 6+980 | LD | 0.0026 | 0.15 |

Fuente: Elaboración propia

Cuadro N° 2. Diseño de cunetas

| Q de aporte (m ³ /s) | Coef. Manning | Talud | | Base (m) | Tirante de agua (m) | Pendiente (m/m) | Área de sec. (m ²) | Radio hidr. (m) | Parámetro ancho "a" | Velocidad (m/s) | Caudal (m ³ /s) | Qmannig > Qaporte |
|---------------------------------|---------------|-------|----|----------|---------------------|-----------------|--------------------------------|-----------------|---------------------|-----------------|----------------------------|-------------------|
| | | Za | Zb | | | | | | | | | |
| 0.07 | 0.012 | 0.3 | 2 | 0 | 0.4 | 0.027 | 0.184 | 0.14 | 0.8 | 3.70 | 0.68 | ok |
| 0.01 | 0.012 | 0.3 | 2 | 0 | 0.4 | 0.027 | 0.184 | 0.14 | 0.8 | 3.70 | 0.68 | ok |
| 0.61 | 0.012 | 0.3 | 2 | 0 | 0.4 | 0.045 | 0.184 | 0.14 | 0.8 | 4.77 | 0.88 | ok |
| 1.20 | 0.012 | 0.3 | 2 | 0.2 | 0.4 | 0.054 | 0.264 | 0.17 | 0.8 | 6.05 | 1.60 | ok |
| 0.70 | 0.012 | 0.3 | 2 | 0.3 | 0.4 | 0.013 | 0.304 | 0.19 | 0.8 | 3.12 | 0.95 | ok |
| 0.64 | 0.012 | 0.3 | 2 | 0.2 | 0.4 | 0.0271 | 0.264 | 0.17 | 0.8 | 4.29 | 1.13 | ok |
| 0.49 | 0.012 | 0.3 | 2 | 0.2 | 0.4 | 0.009 | 0.264 | 0.17 | 0.8 | 2.47 | 0.65 | ok |
| 0.24 | 0.012 | 0.3 | 2 | 0 | 0.4 | 0.1189 | 0.184 | 0.14 | 0.8 | 7.76 | 1.43 | ok |
| 0.96 | 0.012 | 0.3 | 2 | 0 | 0.4 | 0.1189 | 0.184 | 0.14 | 0.8 | 7.76 | 1.43 | ok |
| 0.01 | 0.012 | 0.3 | 2 | 0 | 0.4 | 0.1189 | 0.184 | 0.14 | 0.8 | 7.76 | 1.43 | ok |
| 0.02 | 0.012 | 0.3 | 2 | 0 | 0.4 | 0.046 | 0.184 | 0.14 | 0.8 | 4.82 | 0.89 | ok |
| 0.01 | 0.012 | 0.3 | 2 | 0 | 0.4 | 0.046 | 0.184 | 0.14 | 0.8 | 4.82 | 0.89 | ok |
| 0.51 | 0.012 | 0.3 | 2 | 0 | 0.4 | 0.095 | 0.184 | 0.14 | 0.8 | 6.93 | 1.28 | ok |
| 0.66 | 0.012 | 0.3 | 2 | 0 | 0.4 | 0.0706 | 0.184 | 0.14 | 0.8 | 5.98 | 1.10 | ok |
| 0.96 | 0.012 | 0.3 | 2 | 0.3 | 0.4 | 0.027 | 0.304 | 0.19 | 0.8 | 4.50 | 1.37 | ok |
| 0.42 | 0.012 | 0.3 | 2 | 0 | 0.4 | 0.0389 | 0.184 | 0.14 | 0.8 | 4.44 | 0.82 | ok |
| 0.68 | 0.012 | 0.3 | 2 | 0 | 0.4 | 0.0654 | 0.184 | 0.14 | 0.8 | 5.75 | 1.06 | ok |
| 0.83 | 0.012 | 0.3 | 2 | 0 | 0.4 | 0.0654 | 0.184 | 0.14 | 0.8 | 5.75 | 1.06 | ok |
| 0.37 | 0.012 | 0.3 | 2 | 0 | 0.4 | 0.0847 | 0.184 | 0.14 | 0.8 | 6.55 | 1.20 | ok |
| 0.43 | 0.012 | 0.3 | 2 | 0.3 | 0.4 | 0.0045 | 0.304 | 0.19 | 0.8 | 1.84 | 0.56 | ok |
| 0.38 | 0.012 | 0.3 | 2 | 0 | 0.4 | 0.043 | 0.184 | 0.14 | 0.8 | 4.66 | 0.86 | ok |
| 0.13 | 0.012 | 0.3 | 2 | 0 | 0.4 | 0.044 | 0.184 | 0.14 | 0.8 | 4.72 | 0.87 | ok |
| 0.91 | 0.012 | 0 | 2 | 0.2 | 0.4 | 0.106 | 0.24 | 0.16 | 0.8 | 8.02 | 1.92 | ok |
| 0.37 | 0.012 | 0.3 | 2 | 0 | 0.4 | 0.11 | 0.184 | 0.14 | 0.8 | 7.46 | 1.37 | ok |
| 0.02 | 0.012 | 0.3 | 2 | 0 | 0.4 | 0.11 | 0.184 | 0.14 | 0.8 | 7.46 | 1.37 | ok |
| 0.35 | 0.012 | 0.3 | 2 | 0 | 0.4 | 0.119 | 0.184 | 0.14 | 0.8 | 7.76 | 1.43 | ok |
| 0.19 | 0.012 | 0.3 | 2 | 0 | 0.4 | 0.0663 | 0.184 | 0.14 | 0.8 | 5.79 | 1.07 | ok |
| 0.17 | 0.012 | 0.3 | 2 | 0 | 0.4 | 0.0847 | 0.184 | 0.14 | 0.8 | 6.55 | 1.20 | ok |
| 0.27 | 0.012 | 0.3 | 2 | 0 | 0.4 | 0.0847 | 0.184 | 0.14 | 0.8 | 6.55 | 1.20 | ok |
| 0.40 | 0.012 | 0.3 | 2 | 0 | 0.4 | 0.0914 | 0.184 | 0.14 | 0.8 | 6.80 | 1.25 | ok |
| 0.18 | 0.012 | 0.3 | 2 | 0 | 0.4 | 0.11 | 0.184 | 0.14 | 0.8 | 7.46 | 1.37 | ok |
| 0.03 | 0.012 | 0.3 | 2 | 0 | 0.4 | 0.11 | 0.184 | 0.14 | 0.8 | 7.46 | 1.37 | ok |
| 0.15 | 0.012 | 0.3 | 2 | 0 | 0.4 | 0.0764 | 0.184 | 0.14 | 0.8 | 6.22 | 1.14 | ok |

Fuente: Elaboración propia